

**HTCON**  
The Conference on Health Technology of Thailand

งานประชุมวิชาการเทคโนโลยีสุขภาพแห่งประเทศไทย ครั้งที่ 1

The 1<sup>st</sup> Conference on Health Technology of Thailand: HTCON2021  
Innovation and Health Technology in COVID-19 Era



# Proceedings of The 1<sup>st</sup> Conference on Health Technology of Thailand (HTCON2021)



สมาคมเทคโนโลยีสุขภาพไทย  
Thai Health Technology Association



สมาคมเทคโนโลยีสุขภาพไทย  
Thai Health Technology Association

Health Innovation on Cooperation & Sharing  
“นวัตกรรมสุขภาพบนความร่วมมือและแบ่งปัน”

<https://www.ThaiHTA.org>



## "Innovation and Health Tecnology in COVID-19 Era"

### Keynote speakers :



**ดร.ดร.นิพนธ์ สิริอำพน**  
ผู้อำนวยการ BMEI CMU  
"AI in Health Technology"



**พว.สตี๊วตัน ประชาธำรงพิ้วตัน**  
ที่ปรึกษาสมาคม ThaiHTA  
"Health Technology Trends  
in COVID-19 Era"



**ดร.ศุกกษย์ บวรภิญโญ**  
ผู้อำนวยการ ECDD MU  
"Open Innovation Platform for  
the Discovery of Thai Herbs  
against COVID-19"

## Research Areas

- AI for Healthcare
- Hospital Information System
- Medical Image Processing
- Radiological Technology
- Human Kinetics and Health
- Science in Paramedicine
- Medical Knowledge-Based System/ Medical Expert System
- Medical Devices / Measurement and Instrumentation
- Technology for Sport and Exercise Medicine
- Others Related Health Technology.
- Telemedicine
- Healthcare Chatbot
- Medical Informatics
- Health Big Data
- Sonography
- ICT for Healthcare

## REGISTRATION FEES

| Participant Category | Early Registration | Regular Registration |
|----------------------|--------------------|----------------------|
| Authors              |                    |                      |
| - Regular*           | 2,000              | 2,500                |
| - Member             | 1,000              | 1,500                |
| - Student            | 300                | 500                  |
| Non Authors*         | 2,000              | 2,500                |
| Public               | FREE               |                      |

\* ได้รับสิทธิพิเศษเป็นสมาชิกสมาคมเทคโนโลยีสุขภาพไทยตลอดชีพ

## Important Dates

**30 April 2021**

PAPER SUBMISSION DEADLINE

- Full paper
- Abstract and Highlight

**10 May 2021**

NOTIFICATION OF PAPER ACCEPTANCE

**15 May 2021**

CAMERA-READY PAPER

**15 May 2021**

EARLY BIRD REGISTRATION

**16 - 28 May 2021**

REGULAR REGISTRATION

**29 May 2021**

CONFERENCE DATE

[thaihta.org/htcon2021](http://thaihta.org/htcon2021)



ลงทะเบียนเข้าร่วมงาน





## “สาส์นจากนายกสมาคมเทคโนโลยีสุขภาพไทย” การจัดงานประชุมวิชาการเทคโนโลยีสุขภาพแห่งประเทศไทย ครั้งที่ 1 สมาคมเทคโนโลยีสุขภาพไทย ประจำปี 2564

ในยุคที่เทคโนโลยีเข้ามาเป็นส่วนหนึ่งในเรื่องของสุขภาพมากขึ้น การอำนวยความสะดวก ลดขั้นตอนในการรักษา ถือได้ว่าเป็นความก้าวหน้าทางการแพทย์ด้วยกัน การศึกษา ค้นคว้า และการวิจัยของนักวิชาการทางด้านสุขภาพ สามารถสร้างผลงานหรือผลิตภัณฑ์ที่มีคุณค่า และนำมาซึ่งประสิทธิผลต่อมวลมนุษยชาติอย่างแท้จริง

ผมหวังเป็นอย่างยิ่งว่า การจัดงานประชุมวิชาการเทคโนโลยีสุขภาพแห่งประเทศไทย ครั้งที่ 1 จะสามารถสร้างและเกิดผลงานเชิงวิชาการที่นำไปสู่การใช้ประโยชน์ได้จริง และประสบความสำเร็จตามเป้าหมายของการจัดกิจกรรมในครั้งนี้ ผมขอขอบคุณทุกท่านมาในโอกาสนี้ครับ



ดร.ปรีชา คุณหาเวียร  
นายกสมาคมเทคโนโลยีสุขภาพไทย





**HTCON**

The Conference on Health Technology of Thailand

3-5 กรกฎาคม 2564 โรงแรมบางกอกอินดิโกกรุงเทพฯ (THHTA)

งานประชุมวิชาการเทคโนโลยีสุขภาพแห่งประเทศไทย ครั้งที่ 1  
The 1<sup>st</sup> Conference on Health Technology of Thailand  
: **HTCON2021**

## สาส์นจากประธานคณะกรรมการอำนวยการ การจัดประชุมวิชาการเทคโนโลยีสุขภาพไทยแห่งประเทศไทย ครั้งที่ 1 สมาคมเทคโนโลยีสุขภาพไทย ประจำปี 2564



สมาคมเทคโนโลยีสุขภาพแห่งประเทศไทยได้จัดงานประชุมวิชาการเทคโนโลยีสุขภาพไทย ครั้งที่ 1 ในวันที่ 29 พฤษภาคม 2564 ภายใต้ชื่อ “นวัตกรรมและเทคโนโลยีสุขภาพในยุคโควิด 19” เพื่อให้อาจารย์ นักวิจัย นิสิต นักศึกษา ในระดับอุดมศึกษา ตลอดจนภาคเอกชนได้มีโอกาสเผยแพร่ผลงานทางวิชาการสู่สาธารณะ และเปลี่ยนความคิดเห็น และประสบการณ์เชิงวิชาการที่นำไปสู่การใช้ประโยชน์ได้จริง

คณะกรรมการจัดงานประชุมวิชาการเทคโนโลยีสุขภาพไทย ครั้งที่ 1 และสมาคมเทคโนโลยีสุขภาพแห่งประเทศไทย ขอขอบคุณทุกท่านที่มีส่วนร่วมในการจัดประชุมวิชาการในครั้งนี้ และหวังเป็นอย่างยิ่งว่าการจัดกิจกรรมครั้งนี้จะเป็นประโยชน์ต่อประเทศชาติต่อไป

(ผู้ช่วยศาสตราจารย์ ดร. ปิยะมาศ เสือเพ็ง)

ประธานคณะกรรมการอำนวยการ

การจัดประชุมวิชาการเทคโนโลยีสุขภาพไทยแห่งประเทศไทยครั้งที่ 1

| ผู้ทรงคุณวุฒิพิจารณาบทความ (Reviewer) งานประชุมวิชาการ HTCON2021  |   |
|---|---|
| รศ.ดร.พรชัย พฤกษ์ภัทรานันต์<br>คณะวิศวกรรมศาสตร์ มอ.  | ดร.กมล ไชยสิทธิ์<br>สมาคมโภชนาการและสมุนไพรเชิงบูรณาการ   |
| ผศ.ดร.ศุภฤกษ์ จันทร์จรุสจิดต์<br>คณะวิศวกรรมศาสตร์ ม.อุบลราชธานี  | รศ.สมชาติ แตรตุลาการ<br>คณะสหเวชศาสตร์ มอ.  |
| ดร.วลิตะ นาคบัวแก้ว<br>สำนักงานพัฒนาวิทยาศาสตร์และเทคโนโลยีแห่งชาติ สวทช  | ผศ.ชะไมพร ธรรมวาสี<br>คณะพยาบาลศาสตร์ ม.นอร์ทกรุงเทพ  |
| อ.อนุชิต นิรภัย<br>วิทยาลัยวิศวกรรมชีวการแพทย์ ม.รังสิต   | ดร.พ.พ.ป.ปพิชญา เทพณา<br>วิทยาลัยแพทยศาสตร์บูรณาการ ม.ธุรกิจบัณฑิตย์                                  |
| ผศ.นพ.สรวุฒิ พงศ์โรจน์ผำ<br>คณะแพทยศาสตร์ มศว   | อ.ภก.ศิวพร ลิมปนิลชาติ<br>คณะกายภาพบำบัด มมหิตล   |
| รศ.นพ.เมธาพันธ์ กิจพรธีรานันท์<br>คณะแพทยศาสตร์ มศว   | ดร.องค์อุมา ณ ถลาง<br>คณะสหเวชศาสตร์ มอ.  |
| ดร.รสจรินทร์ รัตนสุนทร<br>คณะวิทยาศาสตร์ประยุกต์ มจพ.   | ดร.ภารดี แสงวัฒนกุล<br>วิทยาลัยแพทยศาสตร์นานาชาติจุฬาภรณ์ มอ.   |
| ผศ.ดร.ณลณต เกษตร<br>คณะสหเวชศาสตร์ มอ.  | รศ.นพ.สงวนศักดิ์ ฤกษ์สุกมล<br>คณะแพทยศาสตร์ มศว   |
| ผศ.วัชรชัย วิริยะสุทิวังศ์<br>ภาควิชาวิศวกรรมคอมพิวเตอร์ คณะวิศวกรรมศาสตร์ มศว  | ผศ.ดร.สุธาดา ตันติสถิระพงษ์<br>ภาควิชาวิศวกรรมชีวการแพทย์ คณะวิศวกรรมศาสตร์ มศว                       |
| ผศ.ดร.สิรินดา ชูเมียน<br>คณะสหเวชศาสตร์ มอ.   | ผศ.ดร.ชไมพร สุขแจ่มศรี<br>ภาควิชาวิศวกรรมชีวการแพทย์ คณะวิศวกรรมศาสตร์ มศว                            |
| ดร.ยูทธนา คงจีน<br>คณะวิศวกรรมศาสตร์ ม.เทคโนโลยีราชมงคลธัญบุรี  | ดร.ธีระศักดิ์ จันทรวินมลิอง<br>ภาควิชาวิศวกรรมชีวการแพทย์ คณะวิศวกรรมศาสตร์ มศว                       |
| ผศ.พญ. เดชอยู่<br>ภาควิชาฟิสิกส์อุตสาหกรรมและอุปกรณ์การแพทย์<br>คณะวิทยาศาสตร์ประยุกต์ มจพ.                             | ผศ.ดร.อมรินทร์ รัตนวิชิต<br>ภาควิชาฟิสิกส์อุตสาหกรรมและอุปกรณ์การแพทย์<br>คณะวิทยาศาสตร์ประยุกต์ มจพ. |
| รศ.ดร.ธงชัย แก้วพินิจ<br>สำนักนวัตกรรมการเรียนรู้ มศว   | ดร.กำไร วรรณุช<br>คณะวิทยาศาสตร์และเทคโนโลยีสุขภาพ นมร.   |
| ผศ.ดร.ปิยะมาศ เสือเฟื่อง<br>คณะวิทยาศาสตร์และเทคโนโลยีสุขภาพ นมร.   | อ.อู๊ดพิงษ์ คำเคนทรงพานุช<br>คณะวิทยาศาสตร์และเทคโนโลยีสุขภาพ นมร.                                    |
| คุณสุรีย์ ไตรวิวัฒน์วงศ์<br>ผู้เชี่ยวชาญทางด้านเทคโนโลยีสุขภาพ ภาคเอกชน   | ผศ.ดร.ก้ำพล วรดิษฐ์<br>ภาควิชาวิศวกรรมคอมพิวเตอร์ คณะวิศวกรรมศาสตร์ มช.                               |
| อ.พญ.สาลินี โรจนศิริอุสกุล<br>ศูนย์ผิวหนัง มศว  | รศ.ดร.มนตรี กาญจนะเดชะ<br>ภาควิชาวิศวกรรมคอมพิวเตอร์ คณะวิศวกรรมศาสตร์ มอ.                            |
| อ.พญ.ศิลดา กนกรังษี<br>ศูนย์ผิวหนัง มศว   | ดร.ศุภชัย ยิ่งเจริญ<br>สาขาวิชาวิศวกรรมชีวการแพทย์ คณะวิทยาศาสตร์สุขภาพ<br>มหาวิทยาลัยคริสเตียน       |
| ผศ.ดร.ธิดารัตน์ หวังคำ<br>ภาควิชาฟิสิกส์อุตสาหกรรมและอุปกรณ์การแพทย์<br>คณะวิทยาศาสตร์ประยุกต์ มจพ.                     | ดร.อาคม โสงาม<br>สาขาวิชาวิศวกรรมชีวการแพทย์ คณะวิทยาศาสตร์สุขภาพ<br>มหาวิทยาลัยคริสเตียน             |
| ดร.เสาวภาคย์ ธงจิตรมณี<br>สำนักงานพัฒนาวิทยาศาสตร์และเทคโนโลยีแห่งชาติ สวทช.  | อ.ศลิษา สีบคล้าย<br>คณะวิทยาศาสตร์และเทคโนโลยีสุขภาพ นมร.   |
| ผศ.ดร. ศรวัฒน์ ชิวปรีชา<br>ภาควิชาวิศวกรรมโทรคมนาคม คณะวิศวกรรมศาสตร์<br>สถาบันเทคโนโลยีพระจอมเกล้าเจ้าคุณทหารลาดกระบัง | ผศ. สุรัตน์ สุนทรโรภาส<br>ภาควิชาฟิสิกส์อุตสาหกรรมและอุปกรณ์การแพทย์<br>คณะวิทยาศาสตร์ประยุกต์ มจพ.   |
| อาจารย์เอกศักดิ์ ศิลากุล<br>คณะวิทยาศาสตร์และเทคโนโลยีสุขภาพ นมร.   | ผศ.ดร.ดิเรก เสือสีนาค<br>ภาควิชาวิศวกรรมชีวการแพทย์ คณะวิศวกรรมศาสตร์ มศว                             |

คณะกรรมการดำเนินการจัดการประชุมวิชาการเทคโนโลยีสุขภาพแห่งประเทศไทย ครั้งที่ ๑  
The ๑<sup>st</sup> Conference on Health Technology of Thailand (HTCON๒๐๒๑)

**คณะกรรมการที่ปรึกษา**

|                                  |                        |
|----------------------------------|------------------------|
| ๑. ดร.ปรีชา คุณหาณิช             | ประธานกรรมการที่ปรึกษา |
| ๒. ศ.นพ.ยง ภู่วรวรรณ             | กรรมการที่ปรึกษา       |
| ๓. รศ.ดร.ชูศักดิ์ ลิ่มสกุล       | กรรมการที่ปรึกษา       |
| ๔. รศ.ยีน ภู่วรวรรณ              | กรรมการที่ปรึกษา       |
| ๕. นพ.ธิตินันท์ ประสาทรังพิวัฒน์ | กรรมการที่ปรึกษา       |
| ๖. รศ.ดร.สุรพันธ์ ยิ้มมั่น       | กรรมการที่ปรึกษา       |

**คณะกรรมการอำนวยการและดำเนินการ**

|                                      |                     |
|--------------------------------------|---------------------|
| ๑. ผศ.ดร.ปิยะมาศ เสือเพ็ง            | ประธานกรรมการ       |
| ๒. ดร.รณจรินทร์ รัตนสุนทร            | รองประธานกรรมการ    |
| ๓. ผศ.วัชรชัย วิริยะสุทธีวงศ์        | กรรมการ             |
| ๔. รศ.นพ.เมธาพันธ์ กิจพรานันท์       | กรรมการ             |
| ๕. ผศ.ดร.อมรินทร์ รัตนะวิศ           | กรรมการ             |
| ๖. ผศ.ดร.เฉลิมต เกษตร                | กรรมการ             |
| ๗. ผศ.สุตารัตน์ สุนทโรภาส            | กรรมการ             |
| ๘. ดร.เสาวภาคย์ ธงวิจิตรมณี          | กรรมการ             |
| ๙. ผศ.ดร.สิรินาถ ชูเมียน             | กรรมการ             |
| ๑๐. ดร.วรชาติ เติตขมจันทร์           | กรรมการ             |
| ๑๑. รศ.ดร.ธงชัย แก้วพินิจ            | กรรมการ             |
| ๑๒. ดร.กำไร วรรณช                    | กรรมการ             |
| ๑๓. อ.ฐิติพงษ์ คำเคนตรงพานิช         | กรรมการ             |
| ๑๔. อ.ศลิษา สืบคล้าย                 | กรรมการ             |
| ๑๕. อ.สุนาหะ พงศเกียรติ              | กรรมการ             |
| ๑๖. ดร.ภามื่น จิตต์มิตรภาพ           | กรรมการ             |
| ๑๗. คุณเมธาวี จันทร์มล               | กรรมการ             |
| ๑๘. คุณวันชัย วีระภามภูมิ            | กรรมการ             |
| ๑๙. คุณไกรศร มาน้อย                  | กรรมการ             |
| ๒๐. ว่าที่ร้อยตรี วีรยุทธ หมั่นบุญมี | กรรมการ             |
| ๒๑. คุณจรรยา นพรัตน์                 | กรรมการและเลขานุการ |



## คณะกรรมการฝ่ายวิชาการ

|                                       |                            |
|---------------------------------------|----------------------------|
| ๑. ศ.ดร.ชิตชนก เหลือสินทรัพย์         | ประธานกรรมการ              |
| ๒. รศ.นพ.เมธาพันธ์ กิจพรานันท์        | รองประธานกรรมการ           |
| ๓. ศ.นพ.ชัยรัตน์ นรินทร์รัตน์         | กรรมการ                    |
| ๔. ผศ.ดร.อมรินทร์ รัตนะวิศ            | กรรมการ                    |
| ๕. รศ.นพ.พงษ์ศักดิ์ น้อยพยัคฆ์        | กรรมการ                    |
| ๖. ผศ.ดร.ปิยะมาศ เสือเพ็ง             | กรรมการ                    |
| ๗. รศ.ดร.นิพนธ์ อีร์อำพน              | กรรมการ                    |
| ๘. รศ.ดร.นพ.ดำเนินสันต์ พฤชชากร       | กรรมการ                    |
| ๙. รศ.ดร.คันสนีย์ เอื้อพันธ์วิริยะกุล | กรรมการ                    |
| ๑๐. รศ.นพ.เพชร รอดอารีย์              | กรรมการ                    |
| ๑๑. รศ.ดร.พรชัย พฤษย์ภัทรานนต์        | กรรมการ                    |
| ๑๒. รศ.ดร.มนตรี กาญจนะเดชะ            | กรรมการ                    |
| ๑๓. รศ.นพ.สงวนศักดิ์ ฤกษ์สุภผล        | กรรมการ                    |
| ๑๔. รศ.สมชาติ แตรตุลาการ              | กรรมการ                    |
| ๑๕. ผศ.นพ.สมเกียรติ แสงวัฒนาโรจน์     | กรรมการ                    |
| ๑๖. ดร.เสาวภาคย์ ธงวิจิตรมณี          | กรรมการ                    |
| ๑๗. ดร.วลิตะ นาคบัวแก้ว               | กรรมการ                    |
| ๑๘. ผศ.นพ.สรวิทย์ พงศ์โรจน์เผ่า       | กรรมการ                    |
| ๑๙. ผศ.ดร.ศุภฤกษ์ จันทร์จรัสจิตต์     | กรรมการ                    |
| ๒๐. ผศ.ดร.ทพญ.ณปภา เอี่ยมจิตรกุล      | กรรมการ                    |
| ๒๑. ผศ.ดร.ศรววัฒน์ ชิวปรีชา           | กรรมการ                    |
| ๒๒. ผศ.ดร.ชนิดา ปิโชติการ             | กรรมการ                    |
| ๒๓. ผศ.นพ.วิศาล มหาสิทธิ์วัฒน์        | กรรมการ                    |
| ๒๔. ดร.กมล ไชยสิทธิ์                  | กรรมการ                    |
| ๒๕. ดร.กำไร วรนุช                     | กรรมการ                    |
| ๒๖. อ.ฐิติพงษ์ คำเคนทรงพานุช          | กรรมการ                    |
| ๒๗. อ.นพ.อำนาจ จิระสิริกุล            | กรรมการ                    |
| ๒๘. อ.พญ. สาลินี โรจน์หิรัญสกุล       | กรรมการ                    |
| ๒๙. อ.พญ. ศิลดา กนกรังษี              | กรรมการ                    |
| ๓๐. อ.ภก.ศิวพร สิมป์นิลชาติ           | กรรมการ                    |
| ๓๑. ดร.ยุทธมา คงเงิน                  | กรรมการ                    |
| ๓๒. ผศ.วัชรชัย วิริยะสุทธีวงศ์        | กรรมการและเลขานุการ        |
| ๓๓. อ.อนุชิต นีรภัย                   | กรรมการและผู้ช่วยเลขานุการ |

## คณะกรรมการฝ่ายเอกสารและจัดทำรูปเล่ม

|                               |                     |
|-------------------------------|---------------------|
| ๑. ผศ.วีชรชัย วิริยะสุทธีวงศ์ | ประธานกรรมการ       |
| ๒. ดร.รสงรินทร์ รัตนสุนทร     | กรรมการ             |
| ๓. ผศ.ดร.ปิยะมาศ เสือเพ็ง     | กรรมการ             |
| ๔. ผศ.ดร.สมภพ รอดอัมพร        | กรรมการ             |
| ๕. ผศ.ดร.ติเรก เสือสีนาค      | กรรมการ             |
| ๖. ผศ.พญ.ลัดดา ฤกษ์कुผล       | กรรมการ             |
| ๗. ทพ.ณภัทร พชรพฤทธิภากร      | กรรมการ             |
| ๘. คุณสมเกียรติ พรชัยวิวัฒน์  | กรรมการ             |
| ๙. คุณชาคริยา วงค์แก้ว        | กรรมการ             |
| ๑๐. คุณสุธี ไตรวิวัฒน์วงศ์    | กรรมการ             |
| ๑๑. ดร.กำไร วรบุษ             | กรรมการ             |
| ๑๒. อ.สุนาทะ พงศเกียรติ       | กรรมการ             |
| ๑๓. อ.อนุชิต นირภัย           | กรรมการและเลขานุการ |

## คณะกรรมการฝ่ายพิธีการและต้อนรับ

|                                    |                     |
|------------------------------------|---------------------|
| ๑. อ.ฐิติพงษ์ คำเคนทรงพานุช        | ประธานกรรมการ       |
| ๒. อ.ศลิษา สืบคล้าย                | รองประธานกรรมการ    |
| ๓. ผศ.ดร.ปิยะมาศ เสือเพ็ง          | กรรมการ             |
| ๔. ดร.กำไร วรบุษ                   | กรรมการ             |
| ๕. อ.สุนาทะ พงศเกียรติ             | กรรมการ             |
| ๖. ว่าที่ร้อยตรีวีรยุทธ หมั่นบุญมี | กรรมการ             |
| ๗. คุณวันชัย วีรภามภูมิ            | กรรมการ             |
| ๘. คุณไกรสร มาน้อย                 | กรรมการ             |
| ๙. คุณกฤติยา ศรีพวงค์              | กรรมการ             |
| ๑๐. คุณนวรรตน์ ภูพานไร่            | กรรมการ             |
| ๑๑. คุณญามิศา เสนะวัต              | กรรมการ             |
| ๑๒. คุณชัยพฤกษ์ วงศ์ประชา          | กรรมการ             |
| ๑๓. คุณอรุณี โกวิทวีธรรม           | กรรมการ             |
| ๑๔. คุณเมธากร ทองขาวบัว            | กรรมการ             |
| ๑๕. คุณทินกฤต พงศนียพงษ์           | กรรมการ             |
| ๑๖. คุณนันทพล ผิวงาม               | กรรมการ             |
| ๑๗. คุณเอกรัตน์ สุขะปานนท์         | กรรมการ             |
| ๑๘. คุณเมธาวี จันทร์ผล             | กรรมการและเลขานุการ |

## คณะกรรมการฝ่ายลงทะเบียนและสารสนเทศ

|                                    |                            |
|------------------------------------|----------------------------|
| ๑. ดร.กำไร วรบุษ                   | ประธานกรรมการ              |
| ๒. ว่าที่ร้อยตรีวิรัชพร หมื่นบุญมี | รองประธานกรรมการ           |
| ๓. ผศ.ดร.ปิยะมาศ เสือเพ็ง          | กรรมการ                    |
| ๔. ผศ.วัชรชัย วิริยะสุทธีวงศ์      | กรรมการ                    |
| ๕. อาจารย์ฐิติพงษ์ คำเคนทรงพานุช   | กรรมการ                    |
| ๖. อาจารย์ศลิษา สืบคล้าย           | กรรมการ                    |
| ๗. อาจารย์สุนาทะ พงศเกียรติ        | กรรมการ                    |
| ๘. คุณไกรสร มาน้อย                 | กรรมการ                    |
| ๙. คุณเมธาวี จันทร์มล              | กรรมการ                    |
| ๑๐. คุณวันชัย วิรามภูมิ            | กรรมการ                    |
| ๑๑. คุณจรรยา นพรัตน์               | กรรมการและเลขานุการ        |
| ๑๒. คุณชาคริยา วงศ์แก้ว            | กรรมการและผู้ช่วยเลขานุการ |

## คณะกรรมการบริหารสมาคมเทคโนโลยีสุขภาพไทย (Thai Health Technology Association Committee)

|                                |                                   |
|--------------------------------|-----------------------------------|
| ศ.นพ.pong ภู่วรรณ              | ที่ปรึกษาสมาคม                    |
| ศ.ดร.ชิดชนก เหลือสินทรัพย์     | ที่ปรึกษาสมาคม                    |
| เรืออากาศโท นพ.นาวิน สุรภักดิ์ | ที่ปรึกษาสมาคม                    |
| รศ.ยีน ภู่วรรณ                 | ที่ปรึกษาสมาคม                    |
| รศ.ดร.ชูศักดิ์ ลิ่มสกุล        | ที่ปรึกษาสมาคม                    |
| นพ.ธิตวัฒน์ ประชาธำรงพิวัฒน์   | ที่ปรึกษาสมาคม                    |
| อ.สุวัฒน์ วิรัชกุล             | ที่ปรึกษาสมาคมด้านกฎหมาย          |
| อ.เมธี แสงมณี                  | ที่ปรึกษาสมาคมด้านการเงินและบัญชี |
| ดร.ปรีชา คุณหวานิช             | นายกสมาคม                         |
| รศ.ดร.สุรพันธ์ ยิ้มมัน         | อุปนายก ๑                         |
| รศ.นพ.เมธาพันธ์ กิจพรธีรานันท์ | อุปนายก ๒                         |
| ผศ.วัชรชัย วิริยะสุทธีวงศ์     | อุปนายก ๓                         |
| ผศ.ดร.ปิยะมาศ เสือเพ็ง         | กรรมการและเลขาธิการ               |
| ดร.สมศักดิ์ วาหินชัย           | กรรมการและเหรัญญิก                |
| คุณสมเกียรติ พรชัยวิวัฒน์      | กรรมการและนายทะเบียน              |
| ดร.ภาฝัน จิตต์มิตรภาพ          | กรรมการและประชาสัมพันธ์           |
| ดร.วรชาติ เอ็ดชมจันทร์         | กรรมการ                           |
| ดร.รสจรินทร์ รัตนสุนทร         | กรรมการ                           |
| ผศ.นพ.สรวิทย์ พงศ์โรจน์เผ่า    | กรรมการ                           |
| รศ.ดร.ธงชัย แก้วพินิจ          | กรรมการ                           |
| ดร.เสาวภาคย์ ธงวิจิตรมณี       | กรรมการ                           |
| ผศ.ดร.สิรินาถ ชูเมียน          | กรรมการ                           |



The logo for HTC@N features the letters 'HTC' in a bold, green, sans-serif font, followed by a stylized '@' symbol consisting of a grey circle with a green cross inside, and the letter 'N' in a bold, grey, sans-serif font.

**HTC@N**

**The Conference on Health Technology of Thailand**

**2021**

*"Innovation and Health Technology in COVID-19 Era"*

The background is a light blue gradient with faint, stylized molecular or network diagrams in shades of green and blue, consisting of interconnected lines and hexagonal shapes.

## บทบรรณาธิการ

หนังสือ Proceedings เล่มนี้ จัดทำขึ้น เพื่อรวบรวมบทความวิจัย และบทความวิจัยที่มานำเสนอในการประชุมวิชาการเทคโนโลยีสุขภาพแห่งประเทศไทย ครั้งที่ ๑ (HTCON2021) ในหัวข้อเรื่อง "Innovation and Health Technology in COVID-19 Era"

การประชุม HTCON2021 ครั้งนี้ มีนิสิตนักศึกษา คณาจารย์ นักวิจัย และผู้ประกอบการ ทั้งสายเทคโนโลยี และสายสุขภาพ จากสถาบันอุดมศึกษา สมาคม สถาบันวิจัย และองค์กรต่างๆ ที่สนใจเข้าร่วม อาทิเช่น มหาวิทยาลัยนวมินทราชิวราช จุฬาลงกรณ์มหาวิทยาลัย มหาวิทยาลัยธรรมศาสตร์ สถาบันเทคโนโลยีพระจอมเกล้าเจ้าคุณทหารลาดกระบัง มหาวิทยาลัยมหิดล มหาวิทยาลัยเชียงใหม่ มหาวิทยาลัยสงขลานครินทร์ มหาวิทยาลัยเทคโนโลยีพระจอมเกล้าพระนครเหนือ มหาวิทยาลัยอุบลราชธานี มหาวิทยาลัยรังสิต สมาคมโภชนาการและสมุนไพรเชิงบูรณาการ สมาคมเทคโนโลยีสุขภาพไทย สำนักงานพัฒนาวิทยาศาสตร์และเทคโนโลยีแห่งชาติ (สวทช) มหาวิทยาลัยเทคโนโลยีราชมงคลธัญบุรี มหาวิทยาลัยคริสเตียน มหาวิทยาลัยศรีนครินทรวิโรฒ สมาคมนักกำหนดอาหารแห่งประเทศไทย โรงพยาบาลราชวิถี บริษัทอาร์ไอพีเอส จำกัด และสถาบันการแพทย์จักรินฤบดินทร์ เป็นต้น

สถาบันข้างต้นส่งบทความวิจัยเข้ามาร่วมงาน HTCON2021 จำนวนมาก โดยหลังจากแต่ละบทความได้ผ่านการพิจารณาของ Reviewer จำนวน 3 ท่านแล้ว มีบทความที่ได้รับการตอบรับทั้งสิ้นจำนวน 31 Papers แบ่งเป็นบทความในกลุ่ม AI for Healthcare / ICT for Healthcare จำนวน 4 Papers บทความในกลุ่ม Medical Imaging จำนวน 1 Paper บทความกลุ่ม Hospital Information System จำนวน 5 Papers กลุ่ม Medical Devices / Measurement and Instrumentation จำนวน 13 Papers กลุ่ม Others Related Health Technology จำนวน 8 Papers และบทความจาก Keynote Speaker คือ นพ.ธิตติวัฒน์ ประชาธารณ์พิวัฒน์ รศ.ดร.นิพนธ์ ธีรยาพน และ ดร.ศุภฤกษ์ บวรภิญโญ

ทั้งนี้ ทางคณะกรรมการฝ่ายจัดทำหนังสือ Proceedings of the HTCON2021 และคณะกรรมการฝ่ายวิชาการ การประชุมวิชาการเทคโนโลยีสุขภาพแห่งประเทศไทยของสมาคมฯ ทุกท่าน หวังเป็นอย่างยิ่งว่า องค์ความรู้ที่ถูกบันทึกไว้ในหนังสือเล่มนี้ จะมีส่วนช่วยพัฒนาเสริมสร้างรากฐานทางวิชาการ จุดประกายการสร้างงานวิจัยใหม่ๆ รวมถึงการต่อยอดเป็นนวัตกรรมเชิงพาณิชย์ และเป็นขุมพลังทางปัญญาที่มีประโยชน์ต่อวงการวิจัยด้านเทคโนโลยีสุขภาพของประเทศชาติต่อไป ขอขอบพระคุณทุกท่านที่มีส่วนร่วมในการจัดทำหนังสือเล่มนี้ และพบกันใหม่ปีหน้าในการประชุม HTCON2022 ครับ



ผู้ช่วยศาสตราจารย์วิรัชชัย วิริยะสุทธีวงศ์  
บรรณาธิการ Proceedings of the HTCON2021

# HTCON2021 Presentation Program

The 1<sup>st</sup> Conference on Health Technology of Thailand

วันเสาร์ที่ 29 พฤษภาคม 2564

เวลา 13.00 – 16.00 น. Online ผ่านระบบ ZOOM

| ROOM          | ห้องธารา   | ห้องธาริน   | ห้องเทวิน  | ห้องธิชา  |
|---------------|--|---|--|---|
| Research Area | AI for Healthcare<br>ICT for Healthcare<br>(4 Papers)<br><br>+<br><br>Hospital<br>Information<br>System (4 Papers) | Others Related<br>Health Technology<br>(8 Papers) | Medical Devices /<br>Measurement and<br>Instrumentation 1<br>(7 Papers)<br><br>+<br><br>Medical Image<br>Processing<br>(1 Paper) | Medical Devices /<br>Measurement and<br>Instrumentation 2<br>(6 Papers)<br><br>+<br><br>Hospital<br>Information<br>System (1 Paper) |

| ROOM     | ห้องธารา  | ห้องธาริน  | ห้องเทวิน  | ห้องธิชา  |
|----------|---|--|--|---|
| Chair    | รศ.นพ.เมธาพันธ์<br>กิจพรธำนันท์<br><i>คณะแพทยศาสตร์<br/>มศว</i>                   | ผศ.ดร.อัมรินทร์<br>รัตนวิศ<br><i>คณะวิทยาศาสตร์<br/>ประยุกต์<br/>ม.พระนครเหนือ</i> | ดร.วลิตะ นาคบัวแก้ว<br><i>สำนักงานพัฒนา<br/>วิทยาศาสตร์และ<br/>เทคโนโลยีแห่งชาติ<br/>สวทช.</i> | รศ.ดร.พรชัย<br>พลกษัฏธานนท์<br><i>คณะวิศวกรรมศาสตร์<br/>ม.สงขลานครินทร์</i>         |
| Co-chair | ผศ.ดร.ธิดารัตน์<br>หวังคำ<br><i>คณะวิทยาศาสตร์<br/>ประยุกต์<br/>ม.พระนครเหนือ</i> | อ.ศลิษา สืบคล้าย<br><i>คณะวิทย์และ<br/>เทคโนโลยีสุขภาพ<br/>ม. นวมินทร์ราช</i>      | ดร.รสรินทร์<br>รัตนสุนทร<br><i>คณะวิทยาศาสตร์<br/>ประยุกต์<br/>ม.พระนครเหนือ</i>               | ผศ. สุดารัตน์<br>สุนทรโรภาส<br><i>คณะวิทยาศาสตร์<br/>ประยุกต์<br/>ม.พระนครเหนือ</i> |



| ROOM                | ห้องธารา  | ห้องธาริน   | ห้องเทวิน   | ห้องธิดา  |
|---------------------|---|---|---|---|
| 1<br>13.00-13.15 น. | (AA-O-001)<br>หุ่นยนต์โต้ตอบ<br>การสนทนาสำหรับ<br>การดูแลสุขภาพใน<br>วัยรุ่น<br><br>*จิตติวัฒน์ สุวรรณ<br>ทัต   | (BB-O-001)<br>ระบบแจ้งเตือนการ<br>ล้มและประมาณ<br>ตำแหน่งภายใน<br>อาคารชั้นเดียว<br><br>*จิรสิน ชื่นเทศ   | (CC-O-001)<br>ระบบแสดงผลและ<br>แจ้งเตือนในห้อง<br>สะอาดหรือห้อง<br>ปลอดเชื้อ<br><br>*ปภาสรณ์ หล้าเนียม        | (DD-O-001)<br>เครื่องส่องไฟรักษา<br>ทารกภาวะตัว<br>เหลืองอัจฉริยะ<br>แบบแอลอีดี<br><br>*โสธรา เตียววงษ์<br>สุวรรณ |
| 2<br>13.20-13.35 น. | (AA-O-002)<br>ระบบตรวจจับ<br>หน้ากากอนามัยบน<br>ใบหน้าโดยใช้การ<br>เรียนรู้เชิงลึก<br><br>*ณัฏฐพล เตียววัฒนา<br>นนท์  | (BB-O-002)<br>หมวกกันน็อคแจ้ง<br>เตือนการเกิด<br>อุบัติเหตุผ่านแอป<br>พลิเคชัน LINE<br><br>*กริชเพชร สนธิระ<br>นะ   | (CC-O-002)<br>การศึกษา<br>ประสิทธิภาพการ<br>กรองอนุภาคของ<br>หน้ากากทาง<br>การแพทย์<br><br>*ดาริกา ชุติจิรนาท | (DD-O-002)<br>เครื่องบิมลุลวม<br>ช่วยหายใจ<br>อัตโนมัติ<br><br>*ศิริภรณ์ ม่วง<br>ทองกลาง                          |
| 3<br>13.40-13.55 น. | (AA-O-003)<br>การออกแบบแอป<br>พลิเคชันดูแล<br>สุขภาพบน<br>ระบบปฏิบัติการ<br>แอนดรอยด์ โดย<br>ใช้การเรียนรู้ของ<br>เครื่องและหุ่นยนต์<br>โต้ตอบการสนทนา<br><br>*ชาญชัย โภคะนุตรา<br>นนท์ | (BB-O-003)<br>Development of a<br>web-based<br>validating system<br>for improving the<br>nutritional<br>surveillance<br>system in under-<br>five children: A<br>Field-testing in<br>Trang Province,<br>Thailand<br><br>*ทรงยศ ราชบริรักษ์ | (CC-O-003)<br>การออกแบบและ<br>สร้างเครื่องช่วย<br>เดิน<br><br>*ปิยธิดา จินดาวัฒนา                             | (DD-O-003)<br>เครื่องดึงถ่วงแนว<br>กระดูกขาแบบ<br>ควบคุมด้วยรีโมท<br><br>*จิรภัทร นุชาติ                          |
| 4<br>14.00-14.15 น. | (AA-O-004)<br>ระบบนับและจำกัด<br>จำนวนคนโดยใช้<br>การเรียนรู้ของ<br>เครื่อง   | (BB-O-004)<br>ผลของฤทธิ์ต้าน<br>อนุมูลอิสระจาก<br>แบคทีเรียสังเคราะห์   | (CC-O-004)<br>เครื่องติดตามและ<br>บันทึกคลื่นไฟฟ้า<br>หัวใจแบบพกพา  | (DD-O-004)<br>เครื่องวัดปริมาณ<br>ก๊าซสำหรับตู้   |

| ROOM                    | ห้องธารา   | ห้องธาริน  | ห้องเทวิน  | ห้องธิดา   |
|-------------------------|--|--|--|--|
|                         | เครื่องใน<br>สถานการณ์การ<br>แพร่ระบาดของโรค<br>ติดเชื้อ COVID-19<br><br>*นฤตล อิมอุตม | แสง และการ<br>ประยุกต์ใช้ในจังหวัด<br>ปลาแก้วไทย และ<br>มะเซือเทศ<br><br>*สมภพ ทินิจ   | *วิระยา ดรวงอก   | เพาะเลี้ยงเชื้อ<br>ห้องปฏิบัติการ<br><br>*นฤเบศร เกตุถิ่น                            |
|                         |  |  |  |  |
| Chair                   | ผศ.ดร.ศุภฤกษ์<br>จันทร์จรัสจิตต์<br><i>คณะวิศวกรรมศาสตร์<br/>ม.อุบลราชธานี</i>         | ผศ.ดร.ถลนเดช เกษตร<br><i>คณะสหเวชศาสตร์ ม.<br/>ธรรมศาสตร์</i>  | ผศ.ดร.ศรวิวัฒน์<br>ชีวปรีชา<br><i>คณะวิศวกรรมศาสตร์<br/>ม.ลาดกระบัง</i>          | ผศ.นพ.สรวิณี<br>พงศ์โรจนเฒ่า<br><i>คณะแพทยศาสตร์<br/>มศว</i>                         |
| Co-chair                | ผศ.ดร.ธิดารัตน์<br>หวังคำ<br><i>คณะวิทยาศาสตร์<br/>ประยุกต์<br/>ม.พระนครเหนือ</i>      | อ.ศลิษา สืบคล้าย<br><i>คณะวิทยาศาสตร์และ<br/>เทคโนโลยีสุขภาพ<br/>ม. นวมินทราชินธิราช</i>   | ดร.รสรินทร์<br>รัตนสุนทร<br><i>คณะวิทยาศาสตร์<br/>ประยุกต์<br/>ม.พระนครเหนือ</i> | ผศ. สุดารัตน์<br>สุนทรโรภาส<br><i>คณะวิทยาศาสตร์<br/>ประยุกต์<br/>ม.พระนครเหนือ</i>  |
| 5<br>14.30-<br>14.45 น. | (AA-O-005)<br>เว็บเบสระบบ<br>สารสนเทศต่อแก้มัส<br>ทางการแพทย์<br><br>*รวิทร์ ปิ่นน้อย  | (BB-O-005)<br>การทดสอบความ<br>เที่ยงตรงและความ<br>เชื่อมั่นของแบบ<br>ประเมินการปฏิบัติ<br>บทบาทของ<br>อาสาสมัคร<br>สาธารณสุขในการ<br>จัดการภัยพิบัติ ช่วง<br>สถานการณ์การ<br>ระบาดของโรคโค<br>วิด-19<br><br>*ธัชชัย วิระวัฒน์นันท์ | (CC-O-005)<br>หุ่นยนต์ฆ่าเชื้อด้วย<br>รังสียูวีซี<br><br>*สุภัชชา บัวเผื่อน      | (DD-O-005)<br>The Stress<br>Radiographic<br>Device of Ankle<br><br>*ภัณฑิรา วงษ์เนิน |

| ROOM                | ห้องธารา  | ห้องธาริน  | ห้องเทวิน   | ห้องธิดา   |
|---------------------|---|--|---|--|
| 6<br>14.50-15.05 น. | (AA-O-006)<br>แบบฟอร์มการฉีด<br>วัคซีนสำหรับเด็ก<br><br>*พรภวิษย์ สิ้นสุข<br>อุดมชัย                      | (BB-O-006)<br>การทดสอบความ<br>เที่ยงตรงและความ<br>เชื่อมั่นของแบบ<br>ประเมินการรับรู้<br>ทัศนคติ แรงจูงใจ<br>พฤติกรรมการใช้สื่อ<br>และการตัดสินใจ<br>บริจาคโลหิตของ<br>ประชากรกลุ่มเจาะ<br>เร้นหาย ใน<br>สถานการณ์การ<br>ระบาดของโรคโค<br>วิด-19<br><br>*ภูษณิศา นวลตา | (CC-O-006)<br>ระบบเรียกพยาบาล<br>แบบไร้สาย<br><br>*ถวัลย์กนิษฐ์ ช่างรู้จัก                    | (DD-O-006)<br>หุ่นจำลองฟังเสียง<br>ปอด<br><br>*ชยพัทธ์ แก้วเพ็ง  |
| 7<br>15.10-15.25 น. | (AA-O-007)<br>เว็บเบสระบบ<br>สารสนเทศของ<br>หน่วยงาน<br>โภชนาการ<br><br>*กาญจน์วัน ดินคำ                  | (BB-O-007)<br>ผลของสารสกัด<br>สมุนไพรในครัวเรือน<br>ต่อประสิทธิภาพการ<br>ยับยั้งเชื้อรา<br><i>Aspergillus niger</i><br><br>*สมภพ พิณีจ   | (CC-O-007)<br>การศึกษา<br>โครงสร้างวัสดุของ<br>หน้ากากทาง<br>การแพทย์<br><br>*ถวัลยา ชาวอาราม | (DD-O-007)<br>เว็บเบสสารสนเทศ<br>การยืมและคืน<br>เครื่องมือทางการ<br>แพทย์ในกลุ่มความ<br>เสี่ยงสูง<br><br>*ปภาสรณ์ หล้าเนียม |
| 8<br>15.30-15.45 น. | (AA-O-008)<br>เว็บเบสระบบ<br>สารสนเทศทาง<br>คลินิกสำหรับมะ<br>เร็ง<br>ท่อน้ำดี<br><br>*ศัทธลียา พุ่มเจริญ | (BB-O-008)<br>คู่มือฆ่าเชื้อโอโซน<br><br>*ฐิติดาภรณ์ เทวจินดา<br>พันธ์   | (CC-O-008)<br>อุปกรณ์แจ้งเตือน<br>ผู้ป่วยตกเตียง<br><br>*ปิยฉัตร แยมสุริโย<br>ทัย             |  |

### Standby Chair:

ผศ.วีรชัช วิริยะสุทธรังศ์ มศว / ผศ.ดร.ปิยะมาศ เลือเพ็ง นมร. / อ.อนุชิต นีร์ภัย ม.รังสิต



# สารบัญ

|   |    |
|---|----|
| Keynote Speeches #1 .....   | 1  |
| Health Technology Trends in COVID-19 Era<br><i>นายแพทย์ธิตีวัฒน์ ประชาธำรงพิวัฒน์</i>   |    |
| Keynote Speeches #2 .....   | 19 |
| AI in Health Technology<br><i>รศ.ดร. นิพนธ์ ชีรอำพน</i>   |    |
| Keynote Speeches #3 .....   | 21 |
| Open Innovation Platform for the Discovery of Thai Herbs<br>against COVID-19<br><i>ดร.ศุภฤกษ์ บวรภิญโญ</i>  |    |
| ระบบตรวจจับหน้ากากอนามัยบนใบหน้าโดยใช้การเรียนรู้เชิงลึก .....  | 22 |
| Face Mask Detection System Using Deep Learning<br><i>ณัฐพล เตียววัฒนานนท์, ณัฐกร คณานุสรณ์, ณัฐนนท์ สุวรรณแสง, ศวรรยา วิภูศิริ,<br/>อนชิต นีร์ภย์, สรวุฒิ พงศ์โรจน์เฝ้า, วัชรชัย วิริยะสุทธิวงศ์</i>  |    |
| เครื่องติดตามและบันทึกคลื่นไฟฟ้าหัวใจแบบพกพา .....  | 32 |
| Cardiac Event Monitor<br><i>ธีระพล จทรมา, วีระยา ตรวจนอก, สุรพันธ์ ยิ้มมัน, รสจรินทร์ รัตนสุนทร, เฉลิมพล สงกา</i>   |    |
| เว็บเบสสารสนเทศการยืมและคืนเครื่องมือทางการแพทย์ในกลุ่มความเสี่ยงสูง ...  | 37 |
| A Web-based Medical High-Risk Equipment Request Form<br><i>สุนาทะ พงศเกียรติ, ปภาสรณ์ หล้าเนียม, เมธาวี รอดเสมอ, เบญจพร พลายบัว,<br/>สมิตานันท์ แสนสุภา, วราภรณ์ ศรีจันทา, อริยาอร ชีราเวชชปัญญา,<br/>ณนันท แก้วประไพ, ชยพัทธ์ แก้วเพ็ง, ปิยะมาศ เสือเพ็ง</i> |    |
| หุ่นยนต์ฆ่าเชื้อด้วยรังสียูวีซี .....   | 42 |
| UVC Robotic<br><i>พกรวิชัย สีนสุขอุดมชัย, สุภัชชา บัวเผื่อน, รสจรินทร์ รัตนสุนทร, วัลลภ นโรดม</i>   |    |
| เครื่องช่วยวัดการเคลื่อนไหวของข้อเท้ารังสีแบบวัดข้อเท้า .....   | 49 |
| The Stress Radiographic Device of Ankle<br><i>ภักขิรา วงษ์เนิน, ทิมพ์ชนก ภูมิจิตต์, สุรพันธ์ ยิ้มมัน, จุมพล บำรุงวงศ์, บรรจง ถันทอง</i>   |    |
| หุ่นจำลองการฟังเสียงปอด .....   | 54 |
| Model for Lung Sound<br><i>ชยพัทธ์ แก้วเพ็ง, ธิดารัตน์ หวังคำ, ชีรวุฒิ นาคนครสิงห์,<br/>พยุง เดชอยู่, สรณธรรม ใจสมคม</i>  |    |

# สารบัญ (ต่อ)

|   |  |
|---|--|
| ระบบแสดงผลและแจ้งเตือนในห้องสะอาดหรือห้องปลอดเชื้อ .....60<br>Cleanroom Monitoring Real-time and Alarm System<br><i>ปภาสธรณ์ หล้าเนียม, ภาณุวัฒน์ ดินดำ, สุเมธ อ่ำขิด, พยุง เดชอยู่, ศรณรินทร์ ทุนไธสง</i>  |  |
| หุ่นยนต์โต้ตอบการสนทนาสำหรับการคุมกำเนิดในวัยรุ่น .....66<br>Healthcare Chatbot for Adolescent Contraception<br><i>ณัฐสินี เบ็ญฮัดยีสึลาศ, จิตติวัฒน์ สุวรรณหัต, ชาตศักดิ์ ประกอบบุญกุล,<br/>เมธาพันธ์ กิจพรธีรานันท์, อนุชิต นირภัย, วิชรชัย วิริยะสุทธีวงศ์</i>   |  |
| การออกแบบและสร้างเครื่องช่วยเดิน .....76<br>A Design and Construction for Walking Aids<br><i>กมลภา เหล่าบัวบาน, ชนิศวรา พงษ์สุพรรณ, ธนภรณ์ ขอมอบกลาง, นิธิพร รัตนวัน,<br/>ปิยธิดา จินดาววัฒน์, ยลดา ไอศถสงเคราะห์, อรอุมา เปรมสุข, พรสวรรค์ อัยวรรณ,<br/>อับดุลมาซีค ปาแนมาแล, จันทิมา ปานทอง, ศลิษา สืบคล้าย, ปิยะมาศ เสือเพ็ง</i> |  |
| เครื่องดึงถ่วงแนวกระดูกขาแบบควบคุมด้วยรีโมท .....80<br>Skin Traction with Remote Control<br><i>จิรภัทร นุตชาติ, นภัสสร คำแหง, สุรพันธ์ ยิ้มมัน, สุเมธ อ่ำขิด,<br/>รสจรินทร์ รัตนสุนทร, บรรจง ถิ่นทอง</i>  |  |
| เว็บเบสระบบสารสนเทศทางคลินิกสำหรับมะเร็งท่อน้ำดี .....86<br>A Web-based Integrated Clinical Information System<br>for Cholangiocarcinoma<br><i>ศัทธินยา พุ่มเจริญ, ประสงค์ ชูสุรานนท์, ปิยะมาศ เสือเพ็ง</i>   |  |
| ระบบแจ้งเตือนการล้มและประมาณตำแหน่งภายในอาคารชั้นเดียว .....92<br>Fall Warning System and Estimate the Location<br>within a Single Floor Building<br><i>ชัยณรงค์ คล้ายมณี, จิรสิน ชื่นเทศ, เสฏฐวุฒิ มਾਲยสุวรรณ, ชนะภัย มุกดากรรณ์</i>   |  |
| อุปกรณ์แจ้งเตือนผู้ป่วยตกเตียง .....97<br>Bed Fall Alarm Detector<br><i>รวินทร์ บีนน้อย, ปิยะฉัตร แยมสุริโยทัย, พยุง เดชอยู่, รสจรินทร์ รัตนสุนทร,<br/>เขาวนันต์ อุดมางคาวร, นงลักษณ์ ทองไทย, เกียรติศักดิ์ ไม้อ่อน,<br/>สมศักดิ์ สำใจ, สุทธิชัย คำคล่อง</i>  |  |

# สารบัญ (ต่อ)

|   |  |
|---|--|
| การออกแบบแอปพลิเคชันดูแลสุขภาพบนระบบปฏิบัติการแอนดรอยด์ .....106<br>โดยใช้การเรียนรู้ของเครื่องและหุ่นยนต์โต้ตอบการสนทนา<br>Healthcare Application Design on Android Operating System<br>Using Chatbot and Machine Learning<br><i>ชาญชัย โภคะนุทรานนท์, อธิติ สุวรรณโษษฐ, ชีรภัทร มีธรรม,<br/>ปฎิภาณ เหลืองอ่อน, ชนิตา ปโตชิตการ, วัชรชัย วิริยะสุทธีวงศ์</i> |  |
| การศึกษาประสิทธิภาพการกรองอนุภาคของหน้ากากทางการแพทย์ .....115<br>A Study of Particle Filtration Efficiency of Medical Mask<br><i>ปิยะมาศ เสือเพ็ง, ดาริกา ชุตติจิราท, ณัฐยา ชาวอาราม, ศศิษา สืบคล้าย</i>   |  |
| ตู้อบฆ่าเชื้อด้วยโอโซน .....121<br>Ozone Sterilization Incubator<br><i>ฐิตาภรณ์ เทวจินดาพันธ์, ปิยะธิดา กิจฉัญญะสัมพันธ์, สударัตน์ สุนทโรภาส,<br/>รสจรินทร์ รัตนสุนทร, สุรพันธ์ ยิ้มมัน</i>  |  |
| หมวกกันน็อคแจ้งเตือนการเกิดอุบัติเหตุผ่านแอปพลิเคชัน LINE .....126<br>Accident Alert Helmet via LINE Application<br><i>ชัยณรงค์ คล้ายมณี, กริชเพชร สนธิระ, กิ่งพัสมา บุตรศาสตร์, ศิวกร โชติพิณีจ</i>  |  |
| เว็บเบสระบบสารสนเทศท่อแก๊สทางการแพทย์ .....131<br>A Web-based Information System for Medical Gas Cylinders<br><i>ฐิติพงษ์ คำเคนทรงพานิช, นพดล จุลตามระ, ปัทมพร พลเดช, ปิยะจิตร แยมสุริโยทัย,<br/>รวินท์ ปิ่นน้อย, ศิริภรณ์ ม่วงทองกลาง, ศุภศักดิ์ โชคภคฤติยา, สรณธรรม ใจสมคม,<br/>อุษณีย์ ฉลองโภาคศิลป์, ปิยะมาศ เสือเพ็ง</i>                                 |  |
| ระบบนับและจำกัดจำนวนคนโดยใช้การเรียนรู้ของเครื่อง .....136<br>ในสถานการณ์การแพร่ระบาดของโรคติดเชื้อ COVID-19<br>Counting and Limiting People System Using Machine Learning<br>for COVID-19 Pandemic Situation<br><i>นฤตล อัมมุดม, นัฐพล ขจรวัฒนากุล, ชีรธร ฤไกรวงศ์, ศตวรรษ ภิรมย์สุข,<br/>อนุชิต นีรภัย, วัชรชัย วิริยะสุทธีวงศ์</i>                         |  |
| เว็บเบสระบบสารสนเทศของหน่วยงานโภชนาการ .....141<br>A Web-based Information of Nutrition Department<br>for In Patient Department<br><i>ก่าไร วรณช, ปทิตตา สิมสายหัว, วรินทร์ หุ่นสุนทร, ฐิตาภรณ์ เทวจินดาพันธ์,<br/>นฤเบศร เกตถิน, ปิยะธิดา กิจฉัญญะสัมพันธ์, พรสิร สุขยั้ง, ภาณุวัฒน์ ดินดำ,<br/>วิศิษฎ์ เบียมเมตตา, ปิยะมาศ เสือเพ็ง</i>                     |  |

# สารบัญ (ต่อ)

|  |     |
|--|-----|
| เครื่องบีบถุงลมช่วยหายใจอัตโนมัติ .....  | 146 |
| Auto AMBU Bag<br><i>ศิริภรณ์ ม่วงทองกลาง, อุษณีย์ ฉลอง โภคศิลาชัย, รสจรินทร์ บุญทวัน,<br/>พวง เดชอยู่, อนุภาพ มากมี, ชลนิตา หมอสินธุ์, ญัฐอนัญญา นุ่มจ้อย,<br/>ศิริพร ภูมิถาวร</i>   |     |
| การศึกษาโครงสร้างวัสดุของหน้ากากทางการแพทย์ .....  | 153 |
| A Study of Material Structure of Medical Mask<br><i>ปิยะมาศ เสือเพ็ง, ญัฐยา ขาวอาราม, ดาริกา ชุตติจิรนาท, ศลิษา สืบคล้าย</i>   |     |
| เครื่องส่องไฟรักษาภาวะตัวเหลืองอัจฉริยะแบบแอลอีดี .....  | 159 |
| Smart LED Phototherapy<br><i>ชนิษฐา ศรีวิชัยงามกุล, ไสยธรา เตียววงศ์สุวรรณ, ธิดารัตน์ หวังคำ, พวง เดชอยู่,<br/>บรรจง ถิ่นทอง</i>   |     |
| เครื่องวัดปริมาณก๊าซสำหรับตู้เพาะเลี้ยงเชื้อห้องปฏิบัติการ .....   | 168 |
| Gas Monitoring Device for Laboratory Incubator<br><i>วรินทร์ หุ่นสุนทร, นฤเบศร เกตุถิ่น, สุเมธ อ่ำขิด, ธิดารัตน์ หวังคำ,<br/>บรรจง ถิ่นทอง</i>   |     |
| ระบบเรียกพยาบาลแบบไร้สาย .....   | 174 |
| Wireless Nurse Call System<br><i>ญัฐกนิษฐ ช่างรู้จัก, ลักษณะาทิพย์ ปิ่นจันทิก, วิศิษฎ์ เบียมเมตตา<br/>สรพันธ์ ยิ้มมัน, รสจรินทร์ รัตนสุนทร</i>   |     |
| เว็บเบสระบบสารสนเทศของการฉีดวัคซีนสำหรับเด็ก .....   | 180 |
| A Web-based Information System of Vaccination for Child<br><i>ศลิษา สืบคล้าย, ภูบัติ รักขำเกิด, ญัฐกนิษฐ ช่างรู้จัก, พรภวิชัย สิ้นสุขอุดมชัย,<br/>ธีระพล จรทพา, ลักษณะาทิพย์ ปิ่นจันทิก, วีระยา ตรวจนอก, สุภัชชา บัวเผื่อน,<br/>ปิยะมาศ เสือเพ็ง</i> |     |
| ผลของสารสกัดสมุนไพรในครัวเรือนต่อประสิทธิภาพการยับยั้งเชื้อรา .....  | 185 |
| <i>Aspergillus niger</i><br>Effect of Household Herb Extracts on Antifungal Activity in <i>Aspergillus<br/>niger</i><br><i>ปรัชญา อารวิงค์, สรเชษฐ จันทร์ปาน, ธีรารัตน์ ทองงามดี, จรรยา นพรัตน์,<br/>กำไร วรรณช, สมภพ พินิจ</i>                      |     |

# สารบัญ (ต่อ)

|  |     |
|--|-----|
| การทดสอบความเที่ยงตรงและความเชื่อมั่นของแบบประเมินการรับรู้ ทัศนคติ...193<br>แรงจูงใจ พฤติกรรมการใช้สื่อและการตัดสินใจบริจาคโลหิตของประชากร<br>กลุ่มเจนเนอเรชันวาย ในสถานการณ์การระบาดของโรคโควิด-19<br>Validity and Reliability of Perceive Attitude Motivation Media Behavior<br>and Blood Donation Decision of Generation Y during COVID-19 Situation<br><i>ภูษณิศรา นวลตา, ปชาณัญญ์ นันทไทยทวีกุล</i>  |     |
| ผลของฤทธิ์ต้านอนุมูลอิสระจากแบคทีเรียสังเคราะห์แสงและการประยุกต์ใช้ ...201<br>ในจิ้งหรีด ปลากัดไทย และมะเขือเทศ<br>Effect of Antioxidant Activity from Photosynthetic Bacteria<br>and the Applications in Cricket, Siamese Fighting Fish, and Tomato<br><i>จารุกิตต์ จันทรวงาม, ภูณลิตซ์ สัมมามิตร, เขตแดน นูนदान, ศุภกฤต วรธนะกุลกิจ,<br/>ปฐิภาณ เสือเปรม, พงศพันธ์ คงปราโมทย์, ชนณสิษฐ์ ทรัพย์พิ้ง, อภิวัฒน์ คงเนียม,<br/>พงศธร หล่อสุวานนท์, ณัฐดนัย เมืองพระฝาง, จรรยา นพรัตน์, ก้าวไร วรนุช, สมภพ พิณีจ</i> |     |
| การทดสอบความเที่ยงตรงและความเชื่อมั่นของแบบประเมินการปฏิบัติ .....212<br>บทบาทของอาสาสมัครสาธารณสุขในการจัดการภัยพิบัติ<br>ช่วงสถานการณ์การระบาดของโรคโควิด-19<br>Validity and Reliability of Performance on Disaster Management of<br>Village Health Volunteers' Role with Epidemic COVID-19<br><i>ชนชัย วีระวัฒนานันท์, ปชาณัญญ์ นันทไทยทวีกุล</i>   |     |
| Development of a Web-based Validating System for Improving .....219<br>the Nutritional Surveillance System in Under-five Children:<br>A Field-testing in Trang Province, Thailand<br><i>Songyos Rajborirug, Tippawan Liabsuetrakul, Tagoon Prappre,<br/>Panu Pakdeesan</i>   |     |
| Authors Index .....  | 228 |



# Keynote Speeches #1



## Health Technology Trends in COVID-19 era

นายแพทย์ธิตีวัฒน์ ประชาธำรงพิวัฒน์  
Dhitiwat Prachathomrongpiwat MD.

ที่ปรึกษาสมาคมเทคโนโลยีสุขภาพไทย

Email: [prachathomrongpiwat@gmail.com](mailto:prachathomrongpiwat@gmail.com)

<https://minsencept.com>

# Overviews

- Health Tech: digital tech is **the use of technology to improve** the delivery, payment and or consumption of care with the ability to increase the development and commercialization of medicine product.
- Past 5 years running up to the end of 2015, venture funding has grown 200 %, allowing US \$11.7 billion to flow into Health Tech business from over 30,000 investors in the space. The industry was valued at US \$ 7.2 trillion in 2015 in the US alone.
- Key reasons behind the growth, and continued evolution:
  - 1) consumers are used to seeing **technology disruption** in other sectors.
  - 2) **Digital health** has arrived just as consumers are beginning to take more interest in their health
  - 3) Global health and population trends are also **aging and innovative Health Tech** evolved to meet these challenges and more
- Privacy protection is proving to be a major roadblock to health tech

# Outlines

- Overviews
- Time line
- Smart Healthcare: Mobile health, IoT in Health, Wearable Devices
- Personalized medicine
- Genetic and Tissue engineering
- Nanomedicine
- Drug discovery and delivery
- Nutrition and Cosmetic procedures
- Psychedelic medicine and Cannabis
- Covid 19 vaccine

# Time lines

- 1816 Stethoscope
- 1895 First documented use of X-rays
- 1948 Plastic contact lens developed
- 1955 Ultrasound used for pregnant
- 1958 First cardiac pacemaker implant
- 1962 First modern artificial hip replace
- 1965 First dedicated mammography
- 1973 CAT scan for whole body invented
- 1977 First image of human whole body MRI
- 1982 First permanent artificial heart
- 1987 First laser surgery on human cornea
- 1995 Lasik eye surgery approved
- 2000 First robotic system in laparoscope
- 2004 64 slice CT scanner approved

## Outbreaks

2001 SARS

2009 H1N2 Flu outbreak

2012 MERS

2015 Zika outbreak

2019 COVID-19

## Innovations

2003 Human Genome

2006 Cancer Vaccine

2010 Drone delivered medical supplies

2014 Vertex Pharmaceutical implant device for replace beta cells and stem cell cure for D.M.

2016 First human trial using CRISPR

2020 Sanofi and Eli Lilly in Evidation worked on bigdata in wearable devices

# 2020 Innovations

- Sanofi and Eli Lilly in Evidation worked on bigdata in wearable devices
- Personalized medicine especially in human genome for make and develop drug based on the DNA of African people (due to 54 gene to change)
- Disruptive approach to clinical research by infuse the project with his market sensibility either by licensing a product or spinning it out.
- Benevolent AI created algorithms that score research papers, clinical trial results and other source of biomedical information.
- Walmart ification of healthcare. September 2020 they open medical mall that prices are affordable without insurance (primary care, vision tests, dental exams and root canals, lab work, X-ray, EKG: counseling even fitness and diet classes.
- CTRL lab, wrist watch that detects the electrical impulses that travel from the motor neurons down the arm muscles and to the hand almost as soon as a person thinks about a particular movement.
- Ultrasound in your iPhone app. It went on sale in 2020 from Butterfly iQ.
- AI for detection lung cancer by Google Health team
- 3D digital heart, help patients avoid invasive diagnostic procedures and improve treatment outcomes by HeartFlow which doctor can simulate various approaches on screens.
- Rehab in virtual reality.

# 10 medical Innovations in 2020

- Dual Acting Osteoporosis Drug (romosozumab) increase bone strength.
- Minimal Invasive Mitral Valve Surgery
- New agent to prevent misfolding of the deposited proteins causing stiffen the left ventricle. (tafamidis)
- New oral immunotherapy medication to gradually build tolerance to peanut exposure may improve protection.
- Closed Loop Spinal Cord stimulation to optimizing stimulation and pain relief.
- Biologics in Orthopedic Repair.
- Antibiotic Envelope for Cardiac Implantable Device Infection Prevention.
- Bempedoic acid to lower LDL cholesterol without muscle pain.
- PARP Inhibitors for Ovarian Cancer.
- SGLT2 inhibitors improve ejection fraction



# Smart Healthcare

## IoT in Health

- 2015 Goldman Sachs report indicated the healthcare IoT devices can save the USA more than \$300 billion in annual healthcare expenditures.
- IoT is a vision which is still at very early stages with 3 main vision
  - Physical object with sensors to get real time information
  - Internet for all devices with unique IP
  - Semantic technique for interpretation

## IoT in Remote patient monitoring

- 45% reduction in mortality rate
- 20 % reduction in emergency admission
- 15 % reduction in A&E visits
- 14% reduction in elective admission
- 14 % reduction in bed days
- 8 % reduction in tariff costs

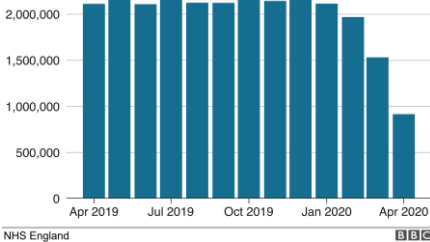
## Mobile Health

- Health app explodes during COVID 25 %, totally 5 millions downloads/day.
- Mental health increased by nearly 200 % from summer 2019 to 2020.
- Diet and weight loss rose by 1294 % from mid 2019 to mid 2020.
- Managing D.M. rose by 482 %
- ORCHA , FibriCheck, Vinehealth,

# Attendance & Emergency visit

## People staying away from A&E

Total monthly attendances in England



NHS England

BBC

- Before coronavirus outbreak in UK, more than 2.1 million patients a month were visiting A&E.
- Patient who suffered strokes and heart problems have stayed away because of fears over coronavirus.
- Number of patient admitted for routine surgery and treatment was dropped 30 %
- Hospitals were told to start stopping routing care to free up beds.

# Smart Healthcare

## Wearable devices

### Potential Pain Point

- Supply chain from **multiple providers**
- **Multiple malware**
- **Privacy problems**
- **Global regulatory** realities
- Increased data volumes can contribute **clinician burnout** (technostress, time pressure and workflow related issues)

## Wearable devices

### Revolution

- Apple watch as luxury.
- FitBit (Google)\$ 2.1 billion
- Oura (tracks via a ring), WHOOP (wristband)
- Apollo Neuroscience developed HRV (heart rate variability) It send gentle waves to increase HRV and parasympathetic activity, which can assist the body when it is under stress.

## Wearable devices

### Wearable devices and Pandemic

- Remote patient monitoring capabilities
- In quarantined hospital, wearable medical device makes early diagnosis for better outcomes.
- Cybersecurity risks
- Lower engagement
- Connectivity and Interoperability

## Wearable devices

### Development

- Accuracy of the data.
- Capabilities in Machine Learning in AI
- In D.M. monitor blood glucose and automate insulin pump.
- Detected infection from changes in heart rate.
- Thryve to monitor spread of COVID

# Smart Healthcare

- Brain-machine interfaces: F8 conference 2017 technology would read a person's brainwaves and allow them to compose messages and emails without using an actual keyboard, by just thinking about the words that needed to be written.

2019 when the person was giving the answer, recording both and using them to detect the context and narrow down a set of likely answers, accuracy up to 76 %

- Brain-reading devices, Elon Musk launched a company to work on embedding flexible threads into people's brains to allow complex communication between man and machine, in 2019.

- Facebook has been pouring extensive funding into systems that use fiber optics, lasers and draw inspiration from MRI machines in order to see changes in blood flow patterns.

- Handwriting with brain implant: (Nature, 27 May 2021) A Brain implant in a paralyzed person allows them to communicate by translating neural activity into text.

Frank Willett and team, Stanford University, build algorithm that trained on paralyzed brain pattern while he thought about writing. And after a while, he was able to type text on a computer screen with impressive speed

# Personalized Medicine

Scientific and technological advances regarding the study of genes have decrease the costs and time associated with the implementation of precision medicine practices. The companies will involve more and more such as Novartis, Pfizer, IBM, etc.

- **Oncology will retain the highest** market share in finding different treatments for oncological diseases. It is being used to test in breast cancer have receptors for estrogen or progesterone, tumor DNA.
- **Genomic research and precision medicine** researchs in D.M., Alzheimer's and Parkinson's and other central nervous system diseases, cardiovascular diseases.
- **Precision Medicine Initiatives (PMI)**, aims to bring the concept of precision of medicine into mainstream medicine to create customized treatment options.

# Genetic and Tissue engineering

- Bayer agreed to acquire Asklepios BioPharmaceutical \$4 billion in October 2020
- Novartis purchasing ocular gene therapy developer Vedere Bio %280 million,
- Roche spent \$1.8 billion to use Dyno therapeutics' CapsidMap platform to develop next generation adeno associated virus (AAV) vectors for gene therapies for central nervous system disease and liver directed therapies,
- Pfizer invested \$60 million in Homology Medicines, a gene therapy for adults with phenylketonuria.
- Biogen and Sangamo Therapeutics develop gene regulation therapy \$2.7 billion.
  
- In October, Lysogene disclosed that a 5 year old girl with mucopolysaccharidosis type IIIA died in a Phase II/III trial
- Audentes therapeutics acquired Astella Pharma and 3 patients died in Phase I/II trial X-linked myotubular myopathy



# Genetic and Tissue engineering

- **CRISPR Therapeutic** Application (oncology, autoimmune/inflammation), Application (Genome engineering, Disease Models, Functional Genomics and others) Technology (CRISPR/Cas9, Zinc Finger Nucleases) Products (GenCrispr/Cas9 kits, GenCrispr Cas9 Antibodies, GenCrispr Cas9 enzymes)
- Global CRISPR technology market will grow from \$1.65 billion 2020, to \$2.57 billion by 2023, \$6.7 billion by 2030.
- PerkinElmer agreed to acquire Horizon Discovery Group for \$383 million deal intended to add gene editing and gene modulation tools to PerkinElmer
- Sanofi acquire Kiadis Pharma, a developer of **natural killer cell therapies**
- Takeda Pharmaceutical R&D cell therapy manufacturing facility in Boston
- CRISPR therapeutics and Vertex Pharmaceuticals continue to study CTX001 (gene edited therapy for beta thalassemia and sickle cell disease)
  
- **Def:** is a biomedical engineering discipline that uses a combination of cells, engineering, materials methods, and suitable biochemical and physicochemical factors to restore, maintain, improve, or replace different types of biological tissues. In practice the term is closely associated with application that repair or replace portions of or whole tissue (bone, cartilage, blood vessels, bladder, muscle etc.)
- The term has been applied to efforts to perform specific biochemical functions using cells within an artificially-created support system (artificial pancreas, bio artificial liver)
- The term **regenerative medicine** is often used synonymously with tissue engineering, although those involved in regenerative medicine place more emphasis on the use of stem cells or progenitor cells to produce tissues.
  
- The growth of the tissue engineering and regeneration market is due to stiff regulations, a lack of awareness and a low rate of adoption. Regulatory policies are countering market expansion.
- Leading companies: Medtronic, Zimmer Biomet Holdings, Allergan, Acell, Athertsys, Organogenesis Holdings, Stryker Corporation, Baxter International, RTI Surgical, ReproCell
- Tissue Engineering Market is valued at \$10.23 billion in 2018, \$28.47 billion in 2025
  - 3 D bioprinting are some key factors helps to grow tissue engineering market.

# Nanomedicine

- Nanomedicine was developed for treatment of several cancer types and infectious diseases through immunotherapy, where nano-emulsion vaccines and drugs play a significant role.
- Nanotechnology is likely to play a significant role in the delivery of drugs (nanoparticle-encapsulated drugs). The insufficient absorbance of oral drugs administered for a range of neurological conditions, such as Alzheimer's, Parkinson, Neuro-AIDS.
- Market valued at \$219,850 million in 2020, \$461,252 million in 2026,
- Major market players are Sanofi SA, Pfizer, Celgene Corporation, Luminex Corporation, Taiwan Liposome Company, Bristol-Myers Squibb, AstraZeneca, GE global Research, Gilead Sciences, Nanobiotix SA, PerkinElmer, Shimadzu, Smith & Nephew, St. Jude Medical, Stryker Corp.
- Growth is being driven by growing prevalence of cancer and genetic and cardiovascular diseases, increasing advancements in nanoscale technologies for diagnostic procedures, and growing preference for personalized medicine.
  
- Globally, the prevalence of cancer increasing. The global burden increased to 19.3 million cases and 10 million cancer deaths in 2020. The adoption of nano-based cancer therapies and diagnostic has witnessed noteworthy progress and numerous new developments are currently in the pipeline.
- Hensify (NBTXR3), an aqueous suspension of crystalline hafnium oxide nanoparticles designed for injection directly into the tumor prior to a patient's first standard radiotherapy treatment of advanced soft tissue sarcoma.
- Silica-hybrid nanoparticles (C-dots) for PET imaging of patients with metastatic melanoma or malignant brain tumors.
- Stanford University developed a drug coated with nanoparticles that limits the development of atherosclerosis in mice by reducing plaque build up in their arteries without causing harmful side effects.
- Nanox ARC uses nanotechnology and semiconductors to replace the cathode ray tubes in traditional machines.
  
- Precision NanoSystem to develop an RNA vaccine for COVID-19. This investment will support the development of a cost-effective COVID-19 vaccine by using lipid based drug delivery systems and nanomedicine.

# Drug Discovery and Delivery

- Drug for Alzheimer's disease
  - Aducanumab clear amyloid plaques (Biogen and Eisai company) waiting for FDA approved in March 2021
- Antibody-drug conjugates
  - Seagen (Seattle Genetics)
- Breast cancer
  - AstraZeneca's Enhertu (fam-trastuzumab deruxtecan)
  - Trodelvy (Sacituzumab govitecan)
- Cell therapy

# Nutrition and Cosmetic Procedures

- **Immunity booster**, support a healthy immune system to better prepare them for illness. Immune health will continue to be a top focus of the health and wellness industry in 2021 by adding Zinc, Selenium, Vit C, Vit D.
  - Herbal supplement: Elderberry, Echinacea, Astragalus, Turmeric, Ginger
  - Specific target: olive oil for heart health, Vit C for boost the immune system, Probiotic in kombucha to promote healthy digestive system.
  - COVID curing:
- **Mental Health**, Diets rich in antioxidants, vitamins (B), minerals (zinc, magnesium), fiber, healthy fat (omega 3s), other active bio-compounds (probiotics) linked to better mental well-being.
- **Localism**, trend of purchasing and consuming locally grown food to support local economy, fresher, less of environmental impact.
- **Backstory**, consumers are also interested in learning a company's backstory more than product appealing or nice packaging

# Nutrition and Cosmetic Procedures

- **Flexitarianism**, consumers may swap a few meat-based meals for plant-based one each week or decrease the portion of animal products in their recipes and add more plant-based ingredients.
- **Diet protocol changing**, (Keto, Whole 30, paleo, F-Factor) turn to be all foods in moderation for their happiness, strength, and vitality over attaining impossible standards of beauty.
- **Cooking from home** like premade meal kits and health food boxes that save time and allow you to eat healthy from home.
- **Family nutrition**, food for kit belong to virtual school and staying home the new tasks is making lunches instead of relying on the school cafeteria, elderly society are increased so they should have special meal for them for their digestive and health problems.
  
- **Elevated hygiene**, hand soap and sanitizer
- **Clean and transparent skincare**, consumer want to know what's in their products, and rightfully.
- **Advanced blue light protection**: rosa rubiginosa, licochalcone, turmeric, some algae
- **Soothing face sprays and face masks** with zinc oxide to face masks made to alleviate the symptoms of wearing a face mask.
- **Liquid lipstick**,
- **Skinimalism**, no makeup makeup
- **Plant-based skincare**
- **Antibacterial haircare**

# Psychedelic medicine and Cannabis

- Psychedelics are a subset of hallucinogenic drugs whose primary effect is to trigger non-ordinary state of consciousness via serotonin 2A receptor agonism. This causes specific psychological, visual and auditory changes, and often a substantially altered state of consciousness.
- The Classic Psychedelics are mescaline, LSD, Psilocybin, DMT. Most psychedelic drugs fall into one of **three families** of chemical compounds: **tryptamines, phenethylamines, lysergamides**. These chemical all bind to serotonin 5HT 2A receptors, which modulate the activity of key circuits in the brain involved with sensory perception and cognition,
- The most common reasons for people to seek psychedelic therapy are Depression, anxiety, PTSD, Addict
- **Natural:** ruderalis, saltiva, indica and hybrids
- **Synthetics:** dronabinol, nabilone, Epidiolex, Nobiximol
- Medical indication
  - Seizure
  - Pain, appetite and sleep
  - Parkinson, Multiple Sclerosis
  - Alzheimer's
  - Cancer
- Others indication
  - Anti diabetic: CBD
  - Anti Fungal: CBCA, caryophyllene, limonene
  - Anti psoriatic: CBD
  - Bone Stimulant: THCV, CBD, CBC, CBG
  - Immunostimulant: limonene
  - Immunosuppressive: CBD
  - Neuroprotective: CBD

| company                   | Revenue (\$M) | Market Cap (\$M) |
|---------------------------|---------------|------------------|
| CuraLeaf                  | 653           | 10,166           |
| Aphria                    | 550           | 4,130            |
| Canopy Growth Corporation | 400           | 19,260           |
| Green Thumb Industries    | 216           | 7,320            |
| Aurora Cannabis           | 54            | 8,010            |
| Tilray                    | 33            | 3,057            |
| OrganiGram                | 17            | 1,065            |

- Cannabis Market Cap: \$34,915,886,320
- North America dominated the market for legal marijuana with a revenue share of 88.4 % in 2019.
- COVID-19 legal marijuana market impact 32.1 % decline in revenue growth. The market is estimated to witness of Y-o-y growth of approximately 25-28 % in the next 5 years.
- The Chronic pain segment dominated the market in 2020 with a share of 44.8%
- The mental disorders segment is expected to emerge as the fastest growing segment over the forecast period.<sup>1</sup>



# Vaccine COVID-19 (March 31,2021)

| Stock       | Value of invest | % growth | Market cap. |
|-------------|-----------------|----------|-------------|
| Novavax     | \$16.491        | 1549.1   | \$ 14.3 B   |
| Moderna     | \$ 5.019        | 401.9    | \$ 59.9 B   |
| BioNtech    | \$ 3.247        | 224.7    | \$ 31.3 B   |
| Johnson &   | \$ 1.252        | 25.2     | \$ 419.8 B  |
| Pfizer      | \$ 1.122        | 12.2     | \$ 207.2 B  |
| AstraZeneca | \$ 1.121        | 12.1     | \$93.8 B    |
| Sanofi      | \$ 1.096        | 9.6      | \$105.2 B   |

## Pan coronavirus vaccine

- Andrew Ward, Scripps Research foreseen SARS will attack or new pandemic in 2017.
- Prof. Pamela Bjorkman, California Institute of Technology design molecular cage as spy catcher or RBD (receptor binding domain to attack SARS-CoV2
- Anthony Fauci discuss the need for a pan-coronavirus vaccine.

## Novavax

- Developed a protein based coronavirus vaccine called NVX-CoV2372. In march the company announced an efficacy rate of 96 % against the original coronavirus, 86 % against the B1.1.7 variant, 49 % against the B1.351 variant.
- They inserted the gene into a different virus call a baculovirus to modified spike gene. They harvested the spike protein from the moth cells and assembled them into nanoparticles
- Novavax in Maryland-based company, before the pandemic Novavax had revenues of just \$18.7 million.
- Novavax can stay stable for 3 months in a refrigerator, 2 dose in 21 days later.
- March 11,2021 The company is developing a new version of the vaccine that is tailored to that variant.
- April 13 Novavax says it could reach its production goal of 150 million doses per month by the 3rd quarter of 2021

# Thai Health Tech

- Service Search: Doctor A-Z, Healthsmile, Ucaree, ZeekDoc, Optimize, Health Record, Medical Departures,
- HIS/EMR/HER: The VC Group, Block M.D.
- Personal health & Fitness: Diamate, PharmaSafe, Dietz, Get Fit, Smile Migraine
- Big Data & Analytic: Nudmor, Tely
- Funding: RuckDee
- TeleHealth: ooca, Doctor Anywheree, Chiiwii+True Health, SeeDoctor Now, Tankoon, Raksa, Vitaboose,
- AI: Perceptra
- Clinic/Pharmacy Management system: DA clinic, Arincare, MCS MeDiSee
- Remote Monitoring: MIDAT, Med flip & Scan, Hextech Thai
- Insurance/Finance: TQLD, UTU
- Digital Transformation: Gridsignage, Piwat Air, Medvinw, Pillpocket
- Doctor Network: ThaiRefe, Vetlist, Chiiwii, DiagMe
- Communication Aid: MediTech
- EEG Monitoring System Brain Dynamics

# Conclusion and Challenging

- Technology driven: IoT, Robot, Big Data, 5G communication (5.5G or 6G)
- Applied Science:
  - Mobile to wearable devices
  - Aging society
  - Communicable diseases
  - Cancer
  - Etc.
- Personal Hygiene: touchless
- Cost effectiveness
- Environmental Concern
- Cyber security
- Personal right
- Rule and regulation: Global and local

## Electronic health records to access and share information

- Share information between healthcare providers and clients
  - Devices
  - System
  - Human
  - Budgeting
- Personal information right
- Cyber security
- Community benefit

## Keynote Speeches #2



### AI in Health Technology

รศ.ดร.นิพนธ์ ธีรอำพน

**Nipon Theera-Umpon, Ph.D., SMIEEE**

*Director, Biomedical Engineering Institute, Chiang Mai University, Chiang Mai, Thailand*

*and*

*Department of Electrical Engineering, Faculty of Engineering, Chiang Mai University,*

*E-mail:nipon@ieee.org*

Artificial intelligence (A.I.) has been applied in several areas including military, medicine, science, engineering, economics, etc. This presentation briefly describes biomedical engineering, digital technology, and biological/artificial intelligence. The research works conducting at Computational Intelligence (C.I.) Research Laboratory, Chiang Mai University, are also presented. The research works at C.I. Lab on that applied to biomedical engineering applications are particularly focused in this presentation. We successfully applied A.I./C.I. techniques in several real-world health/biomedical problems.

**Keywords:** Artificial Intelligence, Computational Intelligence, Biomedical Engineering, Health Technology, Medical Image and Signal Processing, Pattern Recognition

Nipon Theera-Umpon received his B.Eng. (Hons.) degree from Chiang Mai University, Thailand, M.S. degree from University of Southern California, U.S.A., and Ph.D. degree from the University of Missouri-Columbia, U.S.A., all in electrical engineering. He has been working with the Department of Electrical Engineering, Chiang Mai University since 1993. He has served as editor, reviewer, general chair, technical chair and committee member for several journals and conferences. He has been bestowed several royal decorations and won several awards. He was associate dean of Engineering and chairman for graduate study in electrical engineering. He is serving as the director of Biomedical Engineering Institute and the chairman for graduate study in biomedical engineering, Chiang Mai University. He is a member of Thai Robotics Society, Biomedical Engineering Society of Thailand, Council of Engineers in Thailand. He has served as Vice President of the Thai Engineering in Medicine and Biology Society. Dr. Theera-Umpon is a senior member of the IEEE, and is a member of IEEE-IES Technical Committee on Human Factors, and IEEE-CIS Travel Grant Subcommittee. He has published more than 200 full research papers in international refereed publications and a handful of them in national publications. His textbooks in Thai language include Digital Signal and Image Processing: Theories and Applications, Advanced Digital Signal Processing, Digital Signal Processing in Telecommunications, etc. His research interests include Pattern Recognition, Digital Image Processing, Neural Networks, Fuzzy Sets and Systems, Machine Learning, Big Data Analysis, Data Mining, Medical Signal and Image Processing.

For more information, please visit <https://ee.eng.cmu.ac.th/nipon>

## Keynote Speeches #3



***Open Innovation Platform for the Discovery of Thai Herbs  
against COVID-19***

ดร.ศุภฤกษ์ บวรภิญโญ

ผู้อำนวยการศูนย์ความเป็นเลิศด้านการค้นหาตัวยา

คณะวิทยาศาสตร์ มหาวิทยาลัยมหิดล

# ระบบตรวจจับหน้ากากอนามัยบนใบหน้าโดยใช้การเรียนรู้เชิงลึก

## Face Mask Detection System Using Deep Learning

ณัฐพล เตียววัฒนานนท์<sup>1</sup> ณัฐกร คณานุสรณ์<sup>1</sup> ณัฐนนท์ สุวรรณแสง<sup>1</sup> ศวรรรยา วิภูศิริ<sup>1</sup>

อนุชิต นირภัย<sup>2</sup> สรวุฒิ พงศ์โรจน์เผ่า<sup>3</sup> วัชรชัย วิริยะสุทธิวงศ์<sup>1</sup>

<sup>1</sup>ภาควิชาวิศวกรรมคอมพิวเตอร์ คณะวิศวกรรมศาสตร์ มหาวิทยาลัยศรีนครินทรวิโรฒ

องครักษ์ นครนายก 26120 Email: watch@g.swu.ac.th

<sup>2</sup>ภาควิชาวิศวกรรมชีวการแพทย์ วิทยาลัยวิศวกรรมชีวการแพทย์ มหาวิทยาลัยรังสิต

เมือง ปทุมธานี 12000 Email: anuchit@rsu.ac.th

<sup>3</sup>กุมารแพทย์ เวชศาสตร์ระบบทางเดินหายใจ คณะแพทยศาสตร์ มหาวิทยาลัยศรีนครินทรวิโรฒ

องครักษ์ นครนายก 26120 Email: psorawuth@gmail.com

### บทคัดย่อ

บทความวิจัยนี้นำเสนอการออกแบบและพัฒนาระบบตรวจจับหน้ากากอนามัยบนใบหน้า โดยใช้โครงข่ายประสาทเทียมแบบคอนโวลูชัน และเทคนิคการเรียนรู้เชิงลึก ในการสอนแบบจำลองจากชุดข้อมูลภาพสำหรับการฝึก เพื่อช่วยคัดกรองการสวมใส่หน้ากากอนามัยของคนทั่วไป โดยให้ผู้ใช้สามารถเลือกวิธีการตรวจจับได้ 2 แบบ คือ การตรวจจับหน้ากากอนามัยแบบเวลาจริง หรือการตรวจจับหน้ากากอนามัยผ่านไฟล์วิดีโอ จากการทดสอบการทำงานของระบบโดยทดลองใช้งานกับกลุ่มทดลองจำนวนหนึ่ง ปรากฏว่าระบบสามารถตรวจจับและแยกแยะประเภทคนใส่

หน้ากากอนามัย และคนไม่ได้ใส่หน้ากากอนามัย ได้อย่างถูกต้องแม่นยำ และสามารถใช้ประโยชน์ได้จริง

**คำสำคัญ:** โควิด-19 หน้ากากอนามัย การเรียนรู้เชิงลึก โครงข่ายประสาทเทียม

### Abstract

This research paper presents the design and development of a face mask detection system. Using a convolutional neural network and deep learning techniques for training the model from a training image dataset. To help screening the wear of face mask of people. By allowing users to choose between two detection methods: real-



time mask detection or detecting a mask through a video files. From testing the operation of the system by working with a number of experimental groups, it was found that the system can detect and classify people wearing masks and people without wearing masks accurately, and can actually be used.

**Keywords:** COVID-19, Face Mask, Deep Learning, Artificial Neural Network

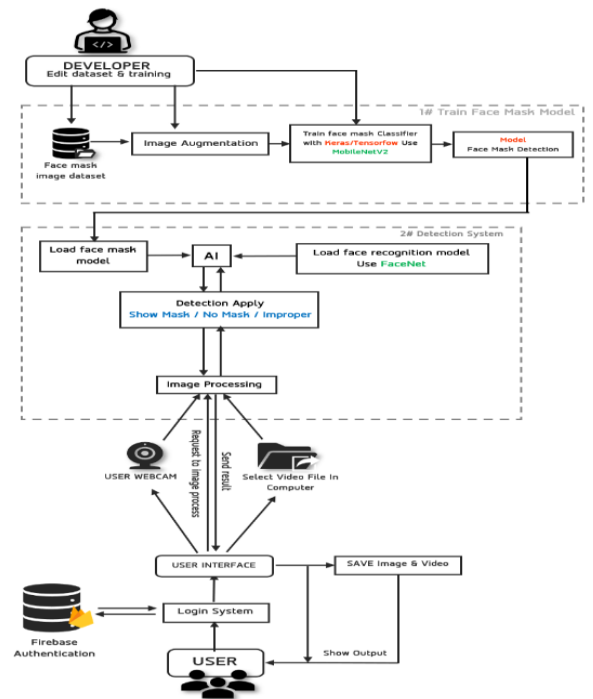
## 1. บทนำ

ปัจจุบันมีการแพร่ระบาดของเชื้อไวรัสโควิด-19 ส่งผลต่อการเปลี่ยนแปลงวิถีชีวิตของคนเรามากขึ้น เช่นจากการเดินทางออกจากร้าน จะต้องพกและสวมหน้ากากอนามัยทุกครั้งก่อนเข้าไปยังสถานที่ปิด เช่น ร้านค้า ห้างสรรพสินค้า โรงพยาบาล เพื่อเป็นการลดความเสี่ยงต่อการกระจายของเชื้อไวรัสทั้งจากตัวคนใส่และคนอื่นๆ รอบข้าง ซึ่งแต่ละสถานที่มักใช้เจ้าหน้าที่รักษาความปลอดภัย เป็นคนคอยตรวจเช็คว่าคุณที่จะเข้ายังสถานที่นั้นได้สวมใส่หน้ากากอยู่หรือไม่ หากพนักงานที่คอยตรวจสอบพบการใส่หน้ากากที่ผิดวิธีหรือพบคนไม่สวมหน้ากาก ก็จะสามารถช่วยห้ามคนที่ไม่สวมใส่หน้ากากคนนั้นเข้าไป หรือคัดเตือนให้สวมใส่อย่างถูกวิธีได้ แต่อย่างไรก็ตาม บางสถานที่นั้นมักมีคนจำนวนมาก และหากตรวจสอบทีละคน อาจทำให้ล่าช้า นอกจากนั้นข้อจำกัดของมนุษย์ก็อาจเกิดการตรวจสอบที่คลาดเคลื่อน ซึ่งส่งผลให้เกิดความเสี่ยงในการระบาดของโรคติดเชื้อได้ การวิจัยนี้จึงเสนอการออกแบบระบบตรวจจับหน้ากากอนามัยบนใบหน้า โดยใช้โครงข่ายประสาทเทียมแบบคอนโวลูชัน และ

เทคนิคการเรียนรู้เชิงลึก ในการสอนแบบจำลองจากชุดข้อมูลภาพสำหรับการฝึก เพื่อคัดกรองการสวมใส่หน้ากากอนามัยของคนทั่วไป และน่าจะเป็นเครื่องมือช่วยลดอัตราการแพร่ระบาดของเชื้อไวรัสโควิด-19 ในประเทศไทยได้

## 2. การออกแบบระบบ

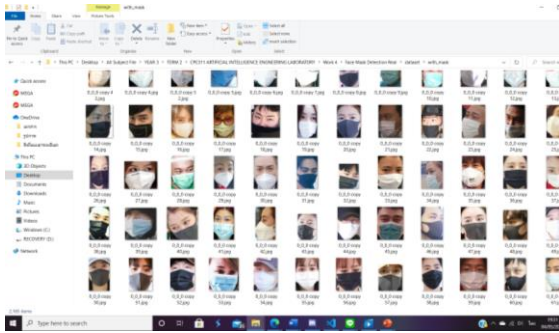
การออกแบบระบบตรวจจับหน้ากากอนามัยในการวิจัยนี้แบ่งออกเป็น 4 ระบบงานย่อย คือ ระบบงานฝึกสอน Model ระบบงานตรวจจับหน้ากากอนามัยแบบ Real Time ระบบงานตรวจจับหน้ากากอนามัยผ่านไฟล์วิดีโอ และระบบงาน GUI ได้ต่อกับผู้ใช้งาน



รูปที่ 1. สถาปัตยกรรมระบบ (System Architecture)

## 2.1 ระบบงานฝึกสอน Model

โครงสร้างการทำงานของระบบในการวิจัยนี้ สามารถแสดงได้ดังรูปที่ 1. โดย Training Face Mask Model จะมีการดึง Dataset รูปภาพ จากโฟลเดอร์ที่มีการแบ่งประเภทรูป ออกเป็น 3 รูปแบบคือ คนใส่หน้ากากอนามัยถูกวิธี (ดังรูปที่ 2.) คนไม่ได้ใส่หน้ากากอนามัย และคนใส่หน้ากากอนามัยไม่ถูกวิธี



รูปที่ 2. ตัวอย่างรูปภาพที่ใช้เป็น Training Dataset ใน Class คนใส่หน้ากาก

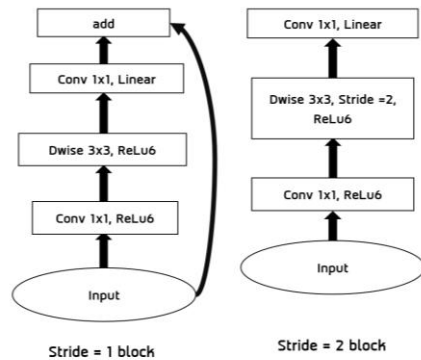


รูปที่ 3. ตัวอย่างรูปภาพก่อน-หลัง ผ่านกระบวนการ Image Augmentation (พลิกภาพแนวนอนแบบสุ่ม และการหมุนภาพแบบสุ่มไม่เกิน 30 องศา)

จากนั้นนำรูปภาพที่ดึงมาปรับเข้าสู่กระบวนการ Image Augmentation เช่น การตัดแปลงภาพให้มีการบิดรูปภาพแบบสุ่มไม่เกิน 30 องศา มีการ Zoom รูปภาพแบบสุ่มไม่เกิน 10% เป็นต้น เนื่องจาก ถ้านำรูปภาพมา

Training ทันทันที อาจทำให้เกิดปัญหา Overfitting ซึ่งเป็นปัญหาที่เกิดจากการจดจำที่ไม่มีประสิทธิภาพ เช่น อาจมีการจดจำว่าถ้ามีวัตถุสีฟ้าอยู่เมื่อไหร่ ภาพนั้นคือหน้ากากอนามัย จำได้ว่าหน้ากากจะต้องมีสีและลักษณะตามนั้นแบบ 100% หากคิดเพี้ยนไปเล็กน้อยจะไม่ใช่หน้ากากอนามัยทันที และอื่นๆ ที่เป็นลักษณะท่องจำรายละเอียดในรูปภาพที่อาจไม่เกี่ยวกับ "ความเป็นหน้ากาก" เป็นต้น

MobileNetV2



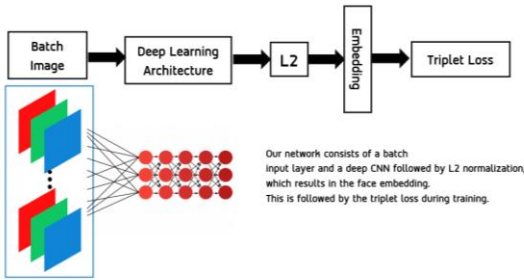
รูปที่ 4. MobileNetV2 Architecture

เมื่อผ่าน กระบวนการ Image Augmentation แล้วจะทำการ Train ข้อมูลเพื่อแบ่ง Class โดย Packet จาก Library Keras และ Tensorflow ซึ่งกระบวนการนี้จะมีการเรียกใช้ Model MobileNetV2 ซึ่งเป็นสถาปัตยกรรมโครงข่ายประสาทเทียมแบบ CNN เป็น Model ขนาดเล็ก ไม่ใช่หน่วยความจำมาก มาปรับแต่งค่าและทำการตั้งค่า Model ปรับ Layer แต่ละชั้น ให้เรียบร้อย จากนั้นทำการ Optimization Model เพื่อเป็นการเพิ่มประสิทธิภาพให้ Algorithm

เมื่อทำการ Training เสร็จ จะได้ Model สำหรับตรวจจับหน้ากากที่ต้องการ โดย Developer สามารถปรับแต่งเพิ่ม

รูปภาพใน Dataset ปรับแต่งรูปแบบ Image Augmentation และ ตั้งค่าการ Training ตามที่ต้องการ เพื่อความเหมาะสมของ Model ที่จะนำไปใช้งานได้

### FaceNet

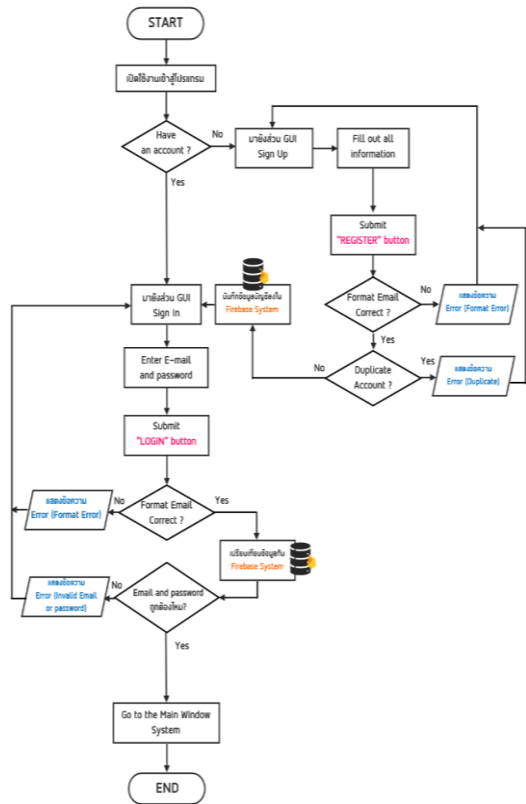


รูปที่ 5. FaceNet Architecture

**2.2 ระบบงานตรวจจับหน้ากากอนามัยแบบ Real Time**  
 ส่วน Detection System ในส่วนนี้จะมีการดึง Model ที่ทำการ Train แล้ว รวมถึง Model ที่ใช้จดจำใบหน้า Face Recognition อย่าง FaceNet Model เพื่อนำมาเตรียมการตรวจจับหน้ากากอนามัยตามที่ผู้ใช้ต้องการ โดยจะส่ง Model ไปให้ระบบ AI ช่วยพิจารณาตรวจจับ Input Video ที่ได้รับ และนำมาตัดสินใจเพื่อระบุว่าบุคคลในวิดีโอที่ตรวจจับได้ มีการใส่หน้ากากอนามัยหรือไม่ ในฝั่งของผู้ใช้ จะต้องมีการ Login เข้าสู่ระบบ เพื่อเข้าใช้งานระบบผ่านการเปรียบเทียบข้อมูลผู้ใช้ที่ Firebase Authentication ผู้ใช้สามารถสั่งการผ่าน User Interface ได้ว่า ต้องการจะตรวจจับหน้ากากอนามัยด้วยวิธีใด โดยสามารถเลือกได้ 2 วิธีคือ ถ้าต้องการตรวจจับวิดีโอแบบ Real Time จะต้องใช้ User Webcam ในการส่งข้อมูลวิดีโอแบบ Real Time ไปให้ระบบ Detection System หรือถ้าต้องการตรวจจับผ่านไฟล์วิดีโอที่มีอยู่แล้ว ก็จะส่งข้อมูลวิดีโอผ่านทางเลือกไฟล์ภายในเครื่อง ซึ่งทั้ง 2 วิธีก็จะส่งข้อมูลมาที่กระบวนการ Image

Processing ที่จะทำงานร่วมกับ AI และ ตัวระบบการตรวจจับที่ได้ เมื่อ AI พิจารณาตาม Model ที่ได้รับ (FaceNet และ Face Mask Model Trained) แล้วว่าบุคคลที่เห็นตรงหน้า ใส่หรือไม่ใส่หน้ากาก ก็จะส่งให้ตัวระบบระบุกับข้อความว่าคนนี้ใส่หน้ากากอยู่หรือไม่ จากนั้นจะส่งผลลัพธ์ที่ได้กลับมาให้ User ดูผ่าน User Interface พร้อมกับส่งเสียงแจ้งเตือนถ้าไม่ใส่หน้ากากอนามัย

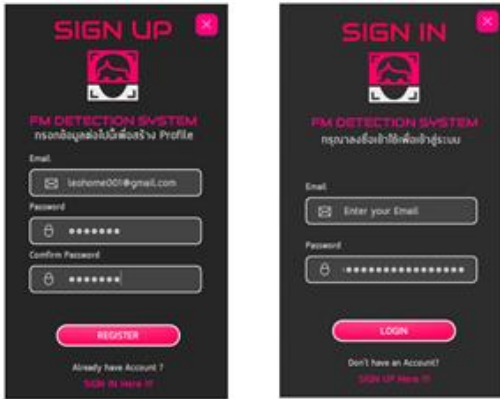
### 2.3 ระบบงาน GUI ได้ตอบกับผู้ใช้งาน



รูปที่ 6. ฟังก์ชันระบบงาน Login Authentication

รูปที่ 6. แสดงการทำงานทั้งหมดของระบบ GUI Login Authentication ที่มีการทำงานร่วมกับ Firebase ซึ่งเป็น

Real Time Database Online ผู้ใช้สามารถลงทะเบียนเพื่อสร้างบัญชีในการใช้งานและลงชื่อเข้าใช้ระบบได้ ดังรูปที่ 7



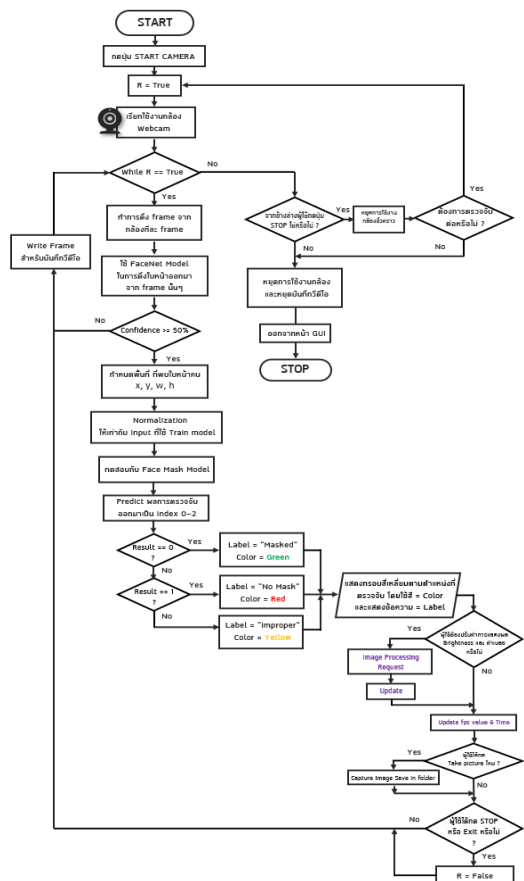
รูปที่ 7. หน้าต่างลงทะเบียนสร้างบัญชีผู้ใช้ และหน้าต่างลงชื่อเข้าใช้งานระบบ

เมื่อข้อมูลที่ผู้ใช้กรอกในส่วน Sign in GUI ถูกนำมาตรวจสอบใน Firebase แล้วพบว่าไม่มีข้อมูลอยู่จริงและถูกต้อง ก็จะสามารรถเข้าสู่ระบบได้ และจะเข้าสู่หน้า Main Window ตามรูปที่ 10. แต่ถ้าไม่ถูกก็จะปรากฏข้อความ Error แล้วให้ผู้ใช้กรอกข้อมูลใหม่อีกครั้ง

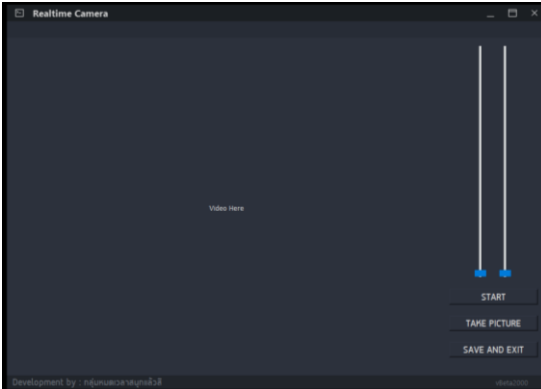
เมื่อผู้ใช้ผ่านระบบ Login Authentication มาแล้วจะเข้าสู่หน้า Main Window ในส่วนนี้ผู้ใช้จะสามารถเลือกวิธีการตรวจจับได้ 2 รูปแบบ คือปุ่ม “DETECT REALTIME” คือเลือกการตรวจจับวิดีโอแบบ Real time ผ่านกล้อง User Webcam และปุ่ม “SELECT YOUR FILE VIDEO” จะเป็นการตรวจจับวิดีโอจากการเลือกไฟล์วิดีโอภายในเครื่อง



รูปที่ 8. หน้าต่าง Main Window GUI



รูปที่ 9. ผังงานระบบ Real Time Detection GUI



รูปที่ 10. หน้า Realtime Detection GUI

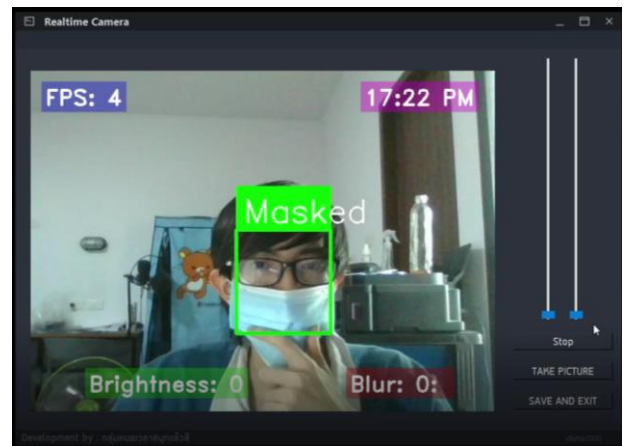
ในส่วนของการตรวจจับหน้ากากแบบ Real Time เริ่มต้นให้ผู้ใช้คลิกที่ปุ่ม “START” จากรูปที่ 10. เพื่อเริ่มต้นการใช้งานกล้อง และทำการตรวจจับหน้ากอกอนามัย ซึ่งกระบวนการทำงานในส่วนนี้นั้น จากรูปที่ 9. เมื่อเริ่มเรียกใช้กล้อง Webcam จากผู้ใช้แล้ว ระบบจะทำการดึง Frame ออกมาจากกล้องทีละ Frame และนำ FaceNet Model ที่จะช่วยตรวจจับใบหน้า ช่วยดึงใบหน้าออกจาก Frame ที่ถูกดึงมานั้น โดยการค้นหาส่วนที่จะดึงใบหน้าออกมานั้น จะใช้ค่า Confidence หรือค่าความเชื่อมั่นเป็นตัวชี้วัด ในที่นี้หากค่าความเชื่อมั่นมีน้อยกว่า 50% จะไม่ถือว่าเป็นใบหน้า และจะวนกลับไปตรวจหาใบหน้าจาก Frame ที่จะถูกดึงอีกครั้ง แต่ถ้าได้ค่ามากกว่าหรือเท่ากับ 50% จะถือว่าเป็นใบหน้าคน การทำเช่นนี้เพราะต้องการป้องกันไม่ให้ระบบมีความ Sensitive มากเกินไป จนตรวจจับอะไรก็เป็นใบหน้าทุกอย่างนั่นเอง

เมื่อตรวจจับใบหน้าได้แล้ว จะทำการกำหนดพื้นที่ที่มีการพบใบหน้าคนตรงนั้น ตามค่า x,y,w,h จากนั้นทำการ Normalization รูปที่ตำแหน่งนั้น ให้มีค่าเท่ากับ

Input ที่ใช้ในการ Train Model เพื่อเตรียมนำมาทดสอบกับ Face Mask Model เมื่อนำมาเปรียบเทียบกันแล้ว จะได้ผลลัพธ์ (Result) ออกมาเป็นค่า Index=0 จนถึง 2 โดยก่อนหน้านี้อาจจะมีการประกาศตัวแปร array เป็นชื่อ Label = ['Masked', 'No mask', 'Improper'] จึงนำผลลัพธ์ที่ได้จากการเปรียบเทียบ model ที่เป็นค่า Index นำมาใช้กับคำสั่ง if-else เช่น

- ถ้า Result == 0 -> Label = Label[Result] , color = green จึงหมายความว่า การตรวจจับนี้ได้เป็น **Masked** นั่นเอง
- ถ้า Result == 1 -> Label = Label[Result] , color = red จึงหมายความว่า การตรวจจับนี้ได้เป็น **No Mask** นั่นเอง
- ถ้า Result == 2 -> Label = Label[Result] , color = yellow จึงหมายความว่า การตรวจจับนี้ได้เป็น **Improper** นั่นเอง

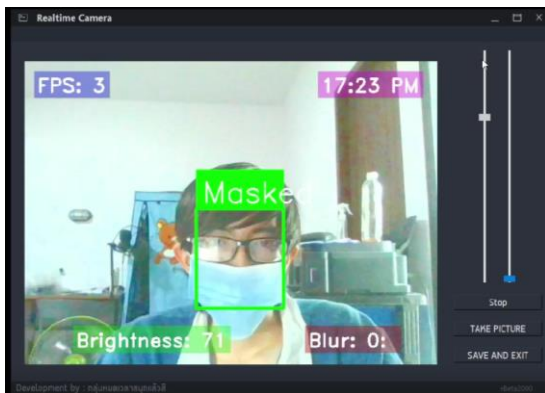
และนำมาแสดงผลผ่านการวาดกรอบสี่เหลี่ยม และใช้สีกับตัวอักษร Label ตามเงื่อนไขที่กำหนดไว้



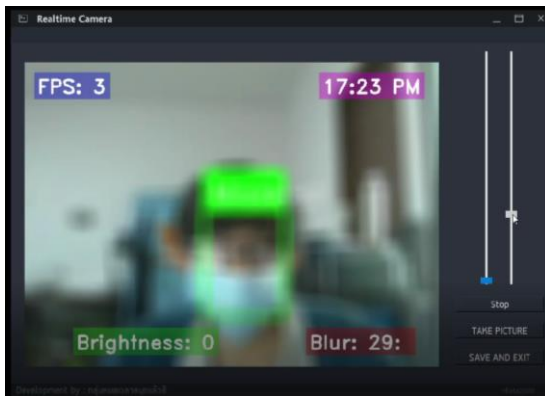
รูปที่ 11. ผลลัพธ์จากการตรวจจับ กรณีตรวจจับได้ว่าบุคคลตรงหน้าใส่หน้ากากอนามัย

ก่อนแสดงผลมายังหน้าจอ จะมีการตรวจสอบเพิ่มเติมว่าผู้ใช้ได้ทำการเปลี่ยนแปลงค่า Brightness กับค่าความเบล

ของภาพด้วยหรือไม่ ผ่านการเลื่อนที่ Slide Bar ทั้ง 2 ฟัง ตามรูปที่ 12 และ 13 ซึ่งหากระบบพบว่าผู้ใช้ทำการเปลี่ยนแปลงค่าเหล่านั้น ก็จะทำการแปลงค่าตามที่ผู้ใช้ต้องการผ่านกระบวนการ Image Processing และ Update ค่าสถานะและผลลัพธ์ของค่า Brightness กับ ค่าความเบลอปัจจุบัน รวมถึง Update ค่า fps และเวลาให้นำมาแสดงผลเป็นตัวเลข ซึ่งผลลัพธ์ที่ได้จะถูกนำมาแสดงผ่าน User Interface ให้ผู้ใช้ได้เห็น ดังรูปที่ 11.



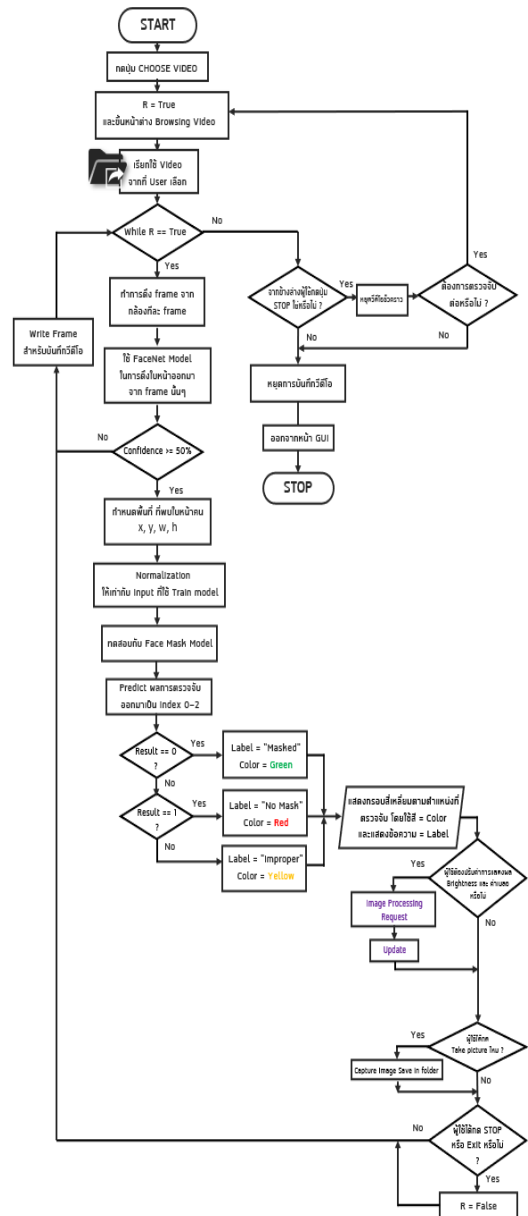
รูปที่ 12. ผลที่ได้จากการเพิ่มค่า Brightness



รูปที่ 13. ผลที่ได้จากการเพิ่มค่าเบลอ

ซึ่งหลังจากแสดงผลผ่าน User Interface แล้ว จะทำการเขียน Frame ผลลัพธ์นั้น เพื่อบันทึกเป็นไฟล์วิดีโอต่อไป และจะวนกลับมาที่ขั้นตอนการดึง Frame ออกมาจากกล้องอีกครั้ง เพื่อเตรียมการตรวจจับใหม่

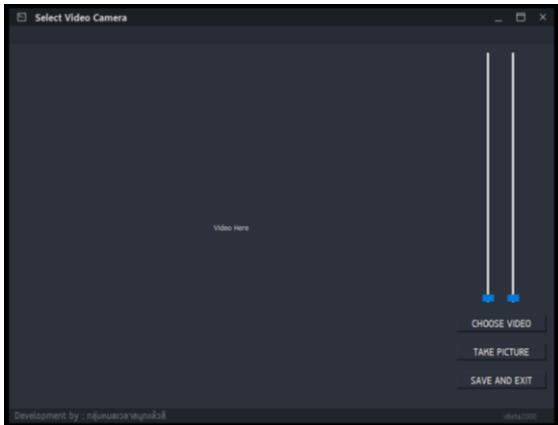
ซึ่งกระบวนการตรวจจับหน้ากอนามยนี้ จะวนซ้ำเรื่อยๆ จนกว่า ผู้ใช้จะกดปุ่ม “STOP” ชั่วคราว หรือกดปุ่ม “SAVE AND EXIT” เพื่อออกจากระบบ



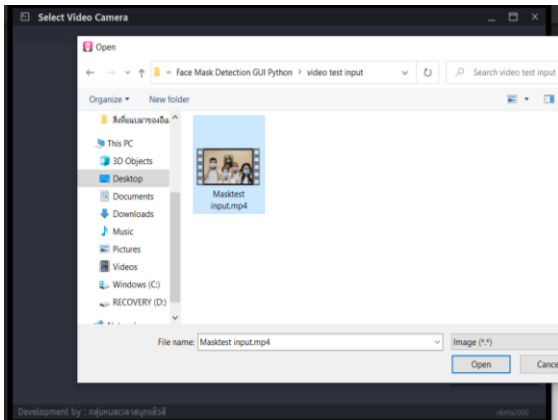
รูปที่ 14. ฟังงานระบบ Video Detection GUI



**2.4 ระบบงานตรวจจับหน้ากากอนามัยผ่านไฟล์วิดีโอ**  
 หลักการทำงานส่วนใหญ่ใกล้เคียงกับแบบ Real Time แต่ต่างกันที่ Input Video โดยหากผู้ใช้เลือกที่ “CHOOSE VIDEO” ระบบจะแสดงหน้าต่างค้นหา File Video จากภายในเครื่อง ตามรูปที่ 15.



รูปที่ 15. หน้า Video Detection GUI



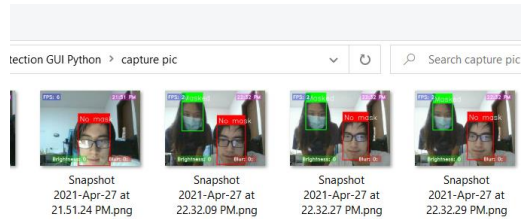
รูปที่ 16. แสดงตัวอย่างการเลือก File Video

และเมื่อทำการเลือกไฟล์ที่จะนำมาตรวจจับเรียบร้อยแล้ว ระบบจะแสดงการตรวจจับหน้ากากอนามัย พร้อมแสดงผลที่ได้ให้เห็นเช่นเดียวกับแบบ Realtime

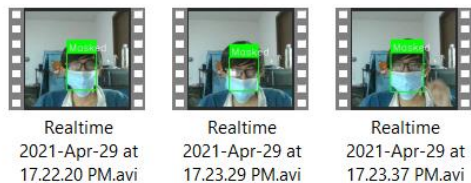
แต่ครั้งนี้จะไม่แสดงค่า fps กับค่าเวลา ที่ User Interface เนื่องจากเป็นไฟล์วิดีโอ จึงไม่ได้อิงตามเวลา ณ ขณะนั้น

### 3. การทดสอบระบบ

จากการทดสอบการทำงานของระบบตรวจจับหน้ากากอนามัยแบบ Real Time โดยทดลองใช้งานระบบที่พัฒนาขึ้นในการวิจัยนี้กับกลุ่มทดลองจำนวนหนึ่งปรากฏว่า ระบบสามารถตรวจจับและแยกแยะประเภทคนใส่หน้ากากอนามัย และคนไม่ได้ใส่หน้ากากอนามัยได้อย่างถูกต้องโดยทันที ตามตัวอย่างดังรูปที่ 17 และมีการบันทึกผลลัพธ์ออกมาเป็นไฟล์วิดีโอไว้ให้ดูย้อนหลังได้ ตามตัวอย่างดังรูปที่ 18



รูปที่ 17. ตัวอย่างผลการตรวจจับแบบ Real Time

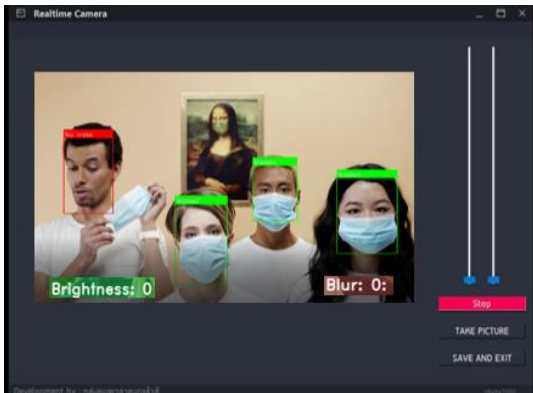


รูปที่ 18. ตัวอย่างวิดีโอผลการตรวจจับแบบ Real Time

และจากการทดสอบการทำงานของระบบตรวจจับหน้ากากอนามัยผ่านไฟล์วิดีโอ โดยทดลองใช้งานระบบที่พัฒนาขึ้นในการวิจัยนี้กับกลุ่มทดลองจำนวนหนึ่ง



ปรากฏว่า ระบบสามารถตรวจจับและแยกแยะประเภทคนใส่หน้ากากอนามัย และคนไม่ได้ใส่หน้ากากอนามัย จากไฟล์วิดีโอได้อย่างถูกต้อง ตามตัวอย่างดังรูปที่ 19



รูปที่ 19. ตัวอย่างผลการตรวจจับผ่านไฟล์วิดีโอ

#### 4. บทสรุป

จากการออกแบบและพัฒนาระบบการตรวจจับหน้ากากอนามัยบนใบหน้า โดยมีชุดข้อมูลภาพฝึกสอน (Training Image Dataset) ที่รวบรวมเอาไว้และนำมาใช้สอนแบบจำลอง (Training Model) เพื่อที่สามารถนำมาใช้ในการตรวจจับและแยกแยะประเภทของการสวมใส่หน้ากากของบุคคลที่ตรวจจับได้ โดยแบ่งเป็น 3 Class คือ สวมใส่หน้ากากอนามัย การไม่ได้สวมใส่หน้ากากอนามัย และการสวมใส่หน้ากากอนามัยไม่ถูกวิธี ซึ่งสามารถตรวจจับได้ตามเวลาจริงในขณะนั้น หรือผู้ใช้สามารถเลือกไฟล์วิดีโอที่มีอยู่แล้ว มาใช้ตรวจสอบได้เช่นกัน การออกแบบสถาปัตยกรรมของระบบประกอบด้วย 4 ระบบงานคือ ระบบงานฝึกสอน Model ระบบงานตรวจจับหน้ากากอนามัยแบบ Real Time ระบบงานตรวจจับหน้ากากอนามัยผ่านไฟล์วิดีโอ และระบบงาน GUI โต้ตอบกับผู้ใช้งาน การ

พัฒนาระบบใช้ภาษา Python และ IDE Visual Studio ร่วมกับ Qt Designer เป็นเครื่องมือในการพัฒนา และนำเทคนิคการประมวลผลภาพ การเรียนรู้เชิงลึก และโครงข่ายประสาทเทียมแบบคอนโวลูชัน มาประยุกต์ใช้ในการพัฒนาระบบตรวจจับหน้ากากอนามัย ผลการทดสอบระบบ พบว่า ระบบสามารถทำการตรวจจับและแยกแยะลักษณะการสวมใส่หน้ากากอนามัยบนใบหน้าคนได้อย่างถูกต้องและแม่นยำเป็นที่น่าพอใจ

อย่างไรก็ตาม ในการพัฒนาต่อขอระบบการตรวจจับหน้ากากอนามัยบนใบหน้าในการวิจัยนี้ให้สมบูรณ์แบบขึ้นในอนาคตนั้น ควรออกแบบและพัฒนาให้ระบบมีการเก็บบันทึกรายละเอียดข้อมูลบุคคล วันเวลา สถานที่เพิ่มเติม และเชื่อมต่อกับอุปกรณ์ IoT สำหรับการวัดอุณหภูมิร่างกาย รวมทั้งเชื่อมโยงกับระบบฐานข้อมูลการรักษาความปลอดภัยขององค์กรที่จะนำระบบในการวิจัยนี้ไปใช้ประโยชน์ เพื่อช่วยให้มาตรการการป้องกันและลดการแพร่ระบาดของโรคติดเชื้อทางเดินหายใจขององค์กรมีประสิทธิภาพมากยิ่งขึ้น

#### 5. กิตติกรรมประกาศ

ขอขอบคุณภาควิชาวิศวกรรมคอมพิวเตอร์ คณะวิศวกรรมศาสตร์ และศูนย์การแพทย์สมเด็จพระเทพฯ มหาวิทยาลัยศรีนครินทรวิโรฒ และวิทยาลัยวิศวกรรมชีว

การแพทย์ มหาวิทยาลัยรังสิต ที่มีส่วนให้การสนับสนุน  
การวิจัยในครั้งนี้ งานประสพผลสำเร็จลงด้วยดี

## 6. เอกสารอ้างอิง

[1] Charu C. Aggarwal. Neural Networks and Deep Learning. Springer, 2018.

[2] François Chollet. Deep Learning with Python 1st Edition. Nanning, 2018.

[3] Josh Patterson. and Adam Gibson. Deep Learning: A Practitioner's Approach. O'Reilly Media. Inc., 2017.

[4] Kevin Gurney. An Introduction to Neural Networks. UCL Press, 1997.

[5] Li Deng. and Dong Yu. Deep Learning Methods and Applications. Foundations and Trends® in Signal Processing Volume 7 Issues 3-4. (2013) 197–387.

[6] Martin T. Hagan., Howard B. Demuth. and et al. Neural Network Design, 2nd Edition, eBook. 2014.

[7] Simon Haykin. Neural Networks and Learning Machines Third Edition. Pearson Education Ltd. , 2009.

[8] Stuart J. Russell and Peter Norvig. Artificial Intelligence: A Modern Approach. Pearson, 2015.

[9] Susanto Susanto, et al. The Face Mask Detection For Preventing the Spread of COVID-19 at Politeknik

Negeri Batam. Proceedings of IEEE The 3rd International Conference on Applied Engineering (ICAE), 2020.

[10] Venkata Reddy Konasani. Machine Learning and Deep Learning Using Python and TensorFlow 1st Edition. McGrawHill., 2021.

[11] Yuxi (Hayden) Liu. Python Machine Learning By Example. Packt Publishing Ltd., 2020.

# เครื่องติดตามและบันทึกคลื่นไฟฟ้าหัวใจแบบพกพา

## Cardiac Event Monitor

ธีระพล จทรผา<sup>1</sup>, วีระชา ตรีวจนอก<sup>1</sup>, สุรพันธ์ ชีมันัน<sup>1</sup>, รสจรินทร์ รัตนสุนทร<sup>1</sup>, เฉลิมพล สงกา<sup>2</sup>

<sup>1</sup>สาขาวิชาวิศวกรรมชีวการแพทย์ ภาควิชาฟิสิกส์อุตสาหกรรมและอุปกรณ์การแพทย์  
คณะวิทยาศาสตร์ประยุกต์ มหาวิทยาลัยเทคโนโลยีพระจอมเกล้าพระนครเหนือ  
บางซื่อ กรุงเทพมหานคร 10800

Email: s6004035630101@email.kmutnb.ac.th, Sym4412@gmail.com, rodjarin.r@sci.kmutnb.ac.th,

<sup>2</sup>บริษัท อาร์เอฟเอส จำกัด โรงพยาบาลรามารบิตี ราชเทวี กรุงเทพมหานคร 10400

Email: chaleampon.s@rfs.co.th

### บทคัดย่อ

งานวิจัยนี้เป็นการออกแบบและสร้างเครื่องวัดคลื่นไฟฟ้าหัวใจ (Cardiac Event Monitor) จัดทำขึ้นมาเพื่อเฝ้าระวังติดตามและทำการบันทึกข้อมูลคลื่นไฟฟ้าหัวใจที่ผิดปกติในระหว่างการดำเนินชีวิตประจำวันที่เกิดขึ้น โดยการสร้างเครื่องใช้บอร์ด ESP32 มี chip AD8232 เป็นเซนเซอร์วัดคลื่นไฟฟ้าหัวใจ จากนั้นทำการประมวลผลที่ได้ไปแสดงผลผ่านหน้าจอและบันทึกผล 2 ส่วน คือ บันทึกที่ SD Card และบันทึกที่ Database เพื่อนำข้อมูลจาก Database ไปแสดงผลผ่านทางเว็บไซต์ ให้แพทย์สามารถเปิดดูได้ สามารถนำเครื่องไปใช้งานในสถานที่ใดก็ได้ในการดำเนินชีวิตประจำวัน

**คำสำคัญ:** หัวใจเต้นผิดจังหวะ, เครื่องวัดคลื่นไฟฟ้าหัวใจ, เจ็บแน่นหน้าอกข้างซ้าย

### Abstract

This research is to design and construct an ECG (Cardiac Event Monitor) device to monitor and record abnormal ECG data during everyday life that occur. By creating a machine using the ESP32 board and chip AD8232 is an ECG sensor Then the processing has been displayed through the screen

and recorded the results in 2 parts, which are saved on the SD Card and saved at the Database to bring the data from the Database to be displayed on the website for doctors to open and view. Cardiac Event Monitor can be used in any place in daily life.

**Keywords:** Cardiac Arrhythmia ,Cardiac Event Monitor , Pain in the left chest

### 1. บทนำ

การรักษาผู้ป่วยจำเป็นที่จะต้องให้ความสำคัญต่อการวินิจฉัย ตลอดจนการติดตามหรือเฝ้าระวังอาการผิดปกติที่เกิดขึ้น และรวบรวมอาการต่างๆเพื่อนำไปสู่การรักษาที่ถูกต้องและแม่นยำของอาการที่เกิดขึ้น

โรคหัวใจเต้นผิดจังหวะ(Cardiac Arrhythmias) เป็นหนึ่งในความผิดปกติของการทำงานของหัวใจที่พบได้บ่อยครั้ง ซึ่งความผิดปกติที่เกิดขึ้นไม่แสดงอาการออกมาอย่างชัดเจนเหมือนกับโรคหัวใจชนิดอื่น จึงทำให้ผู้ป่วยไม่คิดว่านั่นคือความผิดปกติ ในการดำเนินชีวิตประจำวันมีปัจจัยหลายอย่างที่ไปกระตุ้นทำให้หัวใจเต้นผิดจังหวะ เช่น การดื่มชา กาแฟ เครื่องดื่มแอลกอฮอล์ เครื่องดื่มชูกำลัง การ

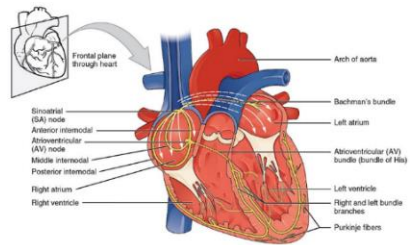
สูบบุหรี่และการออกกำลังกายที่หักโหมเกินไป เป็นต้น ซึ่งอาการที่เกิดขึ้น เราไม่สามารถทราบได้ว่าจะเกิดความผิดปกติในสถานที่ใดหรือช่วงเวลาใด โดยมีอาการได้หลายอย่างตั้งแต่ไม่มีอาการเลย ใจสั่น เหนื่อยง่าย หน้ามืด เป็นลม หมดสติ เจ็บแน่นหน้าอก ความเครียด ความวิตก โดยเฉพาะผู้ป่วยที่เป็นโรคกล้ามเนื้อหัวใจขาดเลือด เป็นเบาหวาน ความดันโลหิตสูงจะมีโอกาสเสี่ยงต่อการเกิดหัวใจเต้นผิดจังหวะมากกว่าคนทั่วไป

การเต้นของหัวใจที่ผิดปกติ หัวใจอาจเต้นเร็ว (Tachycardia) หรือเต้นช้ากว่าปกติ (Bradycardia) รวมถึงจังหวะการเต้นที่ไม่สม่ำเสมอ (Irregular) บ่อยครั้งที่ความผิดปกติการเต้นของหัวใจมักจะเกิดขึ้นภายในระยะเวลาอันสั้นโดยทั่วไปน้อยกว่า 1 นาที ภายในระยะเวลาสั้นๆ ผู้ป่วยไม่สามารถเดินทางไปโรงพยาบาลได้ทันที ซึ่งหากเดินทางไปขณะที่เกิดอาการหัวใจเต้นผิดปกติเมื่อถึงโรงพยาบาลอาการนั้นอาจจะหายไปแล้ว จึงจำเป็นต้องทำการบันทึกคลื่นไฟฟ้าหัวใจที่ผิดปกติในระหว่างการดำเนินชีวิตประจำวัน

ดังนั้นงานวิจัยนี้จึงมีจุดประสงค์เพื่อใช้ในการเฝ้าระวังติดตามของภาวะหัวใจเต้นผิดปกติที่เกิดขึ้นในสถานการณ์ที่ไม่คาดคิด โดยบันทึกคลื่นไฟฟ้าหัวใจที่ผิดปกติในระหว่างการดำเนินชีวิตประจำวัน เมื่อมีอาการผิดปกติให้ทำการรูดคลื่นไฟฟ้าหัวใจ ในการวัดแต่ละครั้งจะใช้ระยะเวลาในการวัด 30 วินาที จากนั้นจะมีการบันทึกค่าของคลื่นไฟฟ้าหัวใจไว้บน SD Card และขณะเดียวกันก็ส่งไปยังเว็บไซต์ที่แพทย์สามารถเปิดดูคลื่นไฟฟ้าหัวใจของผู้ป่วยได้ โดยที่ผู้ป่วยไม่จำเป็นต้องเดินทางไปโรงพยาบาล เพื่อเก็บข้อมูลคลื่นไฟฟ้าหัวใจที่ผิดปกติและนำไปวินิจฉัยต่อการรักษาอาการของผู้ป่วย

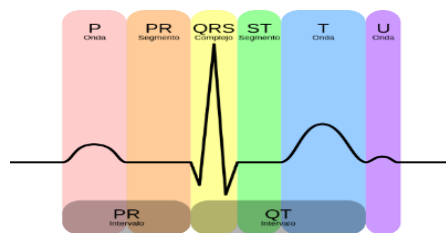
## 2. หลักการคลื่นไฟฟ้าหัวใจ

จุดกำเนิดหลักของคลื่นไฟฟ้าหัวใจเริ่มที่ SA node ส่งผ่านทาง intra-atrial และ internodal pathways ไปยัง AV node แล้วผ่าน Bundle of His ไปสู่ Left และ Right bundle branches และ ไปสู่ Purkinje fibers ดังรูปที่ 1



รูปที่ 1 จุดกำเนิดคลื่นไฟฟ้าหัวใจ

ทำให้เกิด cycle ของ EKG เริ่มจาก P wave เกิดจาก SA node ส่งกระแสสมากระตุ้น RA และ LA เกิด Depolarization ทำให้ atrium ทั้งสองข้างจะบีบตัว ผลรวม Depolarization ของ Ventricle ซ้ายและขวา ที่เกิดก่อนที่ Ventricle ทั้งสองข้างจะบีบตัวจะเกิด QRS complex จุดสิ้นสุดของ QRS complex เรียกว่า j point จนถึงจุดเริ่มต้น T wave จะเกิด ST segment จากนั้นผลรวมทางไฟฟ้าจาก Repolarization ของ ventricle สำหรับ Repolarization ของ atrium มักไม่เห็นเนื่องจากเกิดในช่วง Depolarization ของ ventricle จะเกิด T wave และเกิด U wave มีขนาดเล็กโค้งกลมตามหลัง T wave ดังรูปที่ 2

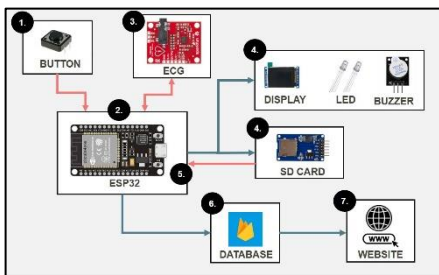


รูปที่ 2 คลื่นไฟฟ้าหัวใจ

### 3. การออกแบบและขั้นตอนการดำเนินการ

#### 3.1 หลักการทำงาน

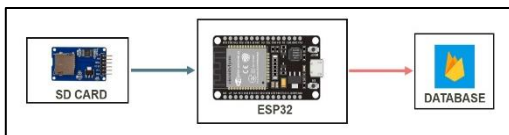
กด Switch เริ่มวัดโดยใช้ AD8232 ทำหน้าที่วัดคลื่นไฟฟ้าหัวใจ ส่งเข้าไปที่ไมโครคอนโทรลเลอร์ ESP32 เพื่อทำการรับค่า เพื่อบันทึกข้อมูลลงใน SD Card และแสดงผลผ่าน Display แสดงสถานะการทำงานด้วย LED และ Buzzer จากนั้นจะนำข้อมูลที่บันทึกลงใน SD Card ส่งไปยัง Database เพื่อนำไปสร้างกราฟแสดงผลบน Website ดังรูปที่ 3



รูปที่ 3 การทำงานเครื่อง Cardiac Event Monitor

#### 3.2 การออกแบบส่วนการบันทึกข้อมูล

การออกแบบส่วนนี้เป็นการบันทึกข้อมูลโดยใช้ SD Card เพื่อทำการบันทึกและจัดเก็บสำรองในกรณีที่อินเทอร์เน็ตมีปัญหา เช่น ถ้าทำการส่งค่าที่ได้จากการวัดคลื่นไฟฟ้าโดยตรงไปยัง Database แล้วในขณะที่อินเทอร์เน็ตมีปัญหา ก็จะส่งผลทำให้ข้อมูลบางช่วงหายไป จึงควรออกแบบให้มีการบันทึกข้อมูลสำรองไว้ จากนั้นเมื่อบันทึกลง SD Card สำเร็จ ESP32 จะทำการอ่านค่าจาก SD Card เพื่อส่งค่าข้อมูลคลื่นไฟฟ้าหัวใจไปยัง Database ดังรูปที่ 4

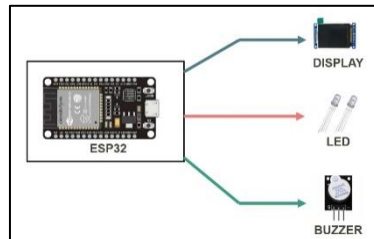


รูปที่ 4 การออกแบบส่วนการบันทึกและสำรองข้อมูล

#### 3.3 การออกแบบส่วนการแสดงผล

##### 3.3.1 การออกแบบส่วนการแสดงผลที่เครื่อง

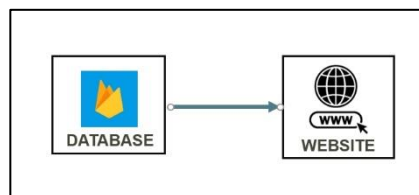
การออกแบบส่วนนี้เป็นแสดงผลที่หน้าจอ โดยที่หน้าจอจะแสดงเวลา เปร็เซ็นต์แบตเตอรี่ เวลาในการบันทึกคลื่นไฟฟ้าหัวใจ และอัตราการเต้นของหัวใจ โดยที่ LED แสดงสถานะการทำงานของเครื่อง ส่วน Buzzer เสียงจะดังตามจังหวะการเต้นของหัวใจ ดังรูปที่ 5



รูปที่ 5 การออกแบบส่วนการแสดงผลที่เครื่อง

##### 3.3.2 การออกแบบส่วนการแสดงผลที่ Website

การออกแบบส่วนนี้เป็นแสดงผลที่ Website เพื่อให้แพทย์สามารถเปิดดูกราฟคลื่นไฟฟ้าหัวใจของผู้ป่วย โดยดึงข้อมูลมาจาก Database ดังรูปที่ 6

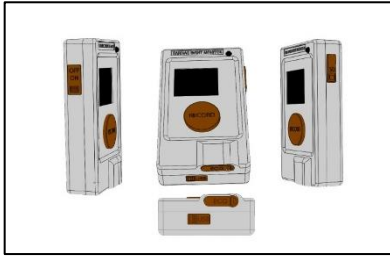


รูปที่ 6 การออกแบบส่วนการแสดงผลที่ Website

#### 3.4 การออกแบบตัวเครื่อง

การออกแบบตัวเครื่อง งานวิจัยนี้ได้ออกแบบโดยใช้โปรแกรม Solid work และ 3D printer เลือกใช้พลาสติก PLA เป็นวัสดุในการทำตัวเครื่อง ดังรูปที่

7



รูปที่ 7 การออกแบบเครื่อง Cardiac Event Monitor

#### 4. ผลการทดลอง

##### 4.1 ผลการทดลองการบันทึกผล SD card และส่งข้อมูลไปยัง Database

ทดสอบการทำงานจากการกด switch การทำงาน 1 ครั้ง เพื่อทำการรับค่าจาก AD 8232 ส่งข้อมูลบันทึกค่า ECG และ HR ลงบน SD card จากนั้นนำข้อมูลที่บันทึกใน SD card ส่งไปยัง Firebase ดังตารางที่ 1

ตารางที่ 1 ผลการทดลองการบันทึกและส่งค่า

| ครั้งที่ | SD card                  | Firestore                |
|----------|--------------------------|--------------------------|
| 1        | <input type="checkbox"/> | <input type="checkbox"/> |
| 2        | <input type="checkbox"/> | <input type="checkbox"/> |
| 3        | <input type="checkbox"/> | <input type="checkbox"/> |
| 4        | <input type="checkbox"/> | <input type="checkbox"/> |
| 5        | <input type="checkbox"/> | <input type="checkbox"/> |
| 6        | <input type="checkbox"/> | <input type="checkbox"/> |
| 7        | <input type="checkbox"/> | <input type="checkbox"/> |
| 8        | <input type="checkbox"/> | <input type="checkbox"/> |
| 9        | <input type="checkbox"/> | <input type="checkbox"/> |
| 10       | <input type="checkbox"/> | <input type="checkbox"/> |

##### 4.2 ผลการทดลองการใช้งานแบตเตอรี่

การทดลองเพื่อหาเวลาในการใช้งานของเครื่อง Cardiac Event Monitor จากหน้าการ Power consumption ใช้งานต่อชั่วโมงของแต่ละอุปกรณ์มารวมกันและนำไปหารกับปริมาณแบตเตอรี่ต่อชั่วโมง ได้ผลการทดลอง ดังตารางที่ 2

ตารางที่ 2 ผลการทดลองการใช้งานแบตเตอรี่

| ครั้งที่                     | เวลาจากการคำนวณการใช้ (ชั่วโมง) | เวลาจากการทดลองการใช้ (ชั่วโมง) | ค่าความคลาดเคลื่อน (%) |
|------------------------------|---------------------------------|---------------------------------|------------------------|
| 1                            | 4.45                            | 4.25                            | 4.49                   |
| 2                            | 4.45                            | 4.38                            | 1.57                   |
| 3                            | 4.45                            | 4.31                            | 3.14                   |
| 4                            | 4.45                            | 4.32                            | 2.92                   |
| 5                            | 4.45                            | 4.27                            | 4.04                   |
| 6                            | 4.45                            | 4.35                            | 2.24                   |
| 7                            | 4.45                            | 4.31                            | 3.15                   |
| 8                            | 4.45                            | 4.32                            | 2.92                   |
| 9                            | 4.45                            | 4.29                            | 3.59                   |
| 10                           | 4.45                            | 4.37                            | 1.79                   |
| ค่าความคลาดเคลื่อนเฉลี่ย (%) |                                 |                                 | 2.985                  |

#### 5. สรุป

งานวิจัยนี้เป็นการออกแบบและสร้างเครื่องติดตามและบันทึกคลื่นไฟฟ้าหัวใจแบบพกพา (Cardiac event monitor) เพื่อทำการบันทึกคลื่นไฟฟ้าหัวใจสำหรับผู้ป่วยที่มีความเสี่ยงที่จะเป็นโรคหัวใจเต้น

ผิดปกติและลดค่าใช้จ่ายในการเช่าเครื่องของผู้ป่วย โดยการทดลองพบว่าเครื่องสามารถเก็บบันทึกข้อมูลคลื่นไฟฟ้าหัวใจและอัตราการเต้นของหัวใจเพื่อส่งไปแสดงผลบน website ให้แพทย์เพื่อทำการวินิจฉัยและสามารถใช้งานเครื่องโดยเฉลี่ย 4 ชั่วโมง 19 นาที

## 6. กิตติกรรมประกาศ

งานวิจัยนี้สามารถดำเนินการสำเร็จลุล่วงไปได้ด้วยดีตามวัตถุประสงค์ จึงขอขอบพระคุณที่ปรึกษาอาจารย์สุรพันธ์ ยิ้มมั่น, อาจารย์สรจรินทร์รัตนสุนทร และนายเฉลิมพล สงกา ได้ช่วยให้คำแนะนำ ให้ปรึกษาในด้านข้อมูลในการทำวิจัย การทดสอบวิจัย อุปกรณ์ในการทำวิจัย และแนวทางในการดำเนินการตลอดมาเป็นอย่างดี

## เอกสารอ้างอิง

- [1] รุ่งโรจน์ กฤตยพงษ์. (2560). หัวใจเต้นผิดปกติหวัะ. ค้นเมื่อ 25 กุมภาพันธ์ 2564, จาก [https://www.si.mahidol.ac.th/siriraj\\_online/thai\\_version/Health\\_detail.asp?id=1275](https://www.si.mahidol.ac.th/siriraj_online/thai_version/Health_detail.asp?id=1275)
- [2] อ่ำไพ สารจันทร์ (2557). ความรู้พื้นฐานคลื่นไฟฟ้าหัวใจและการพยาบาลผู้ป่วยโรคหลอดเลือดและหัวใจ. ค้นเมื่อ 1 มีนาคม 2564, จาก <https://www.slideshare.net/doodeewa/ekg-31015769>
- [3] โอฟาร์ สัมฤทธิ์เกียรติผล. (2560). สอนสร้างเว็บไซต์ เริ่มต้นสร้างเว็บไซต์แรกด้วย HTML. ค้นเมื่อ 8 มีนาคม 2564, จาก <http://share.olanlab.com/th/it/blog/view/132>

- [4] Jirawatee. (2559). รู้จัก Firebase Realtime Database ตั้งแต่ Zero จนเป็น Hero. ค้นเมื่อ 8 มีนาคม 2564, จาก <https://medium.com/firebasethailand/รู้จัก-firebase-realtime-database-ตั้งแต่-zero-จนเป็น-hero-5d09210e6fd6>
- [5] Mohammadreza Akbari. (n.d.). SD Card Module w/ Arduino: How to Read/Write Data. Retrieved March 8, 2021, from <https://electropeak.com/learn/sd-card-module-read-write-arduino-tutorial/>
- [6] Olivier Lourme. (2018). Post 1 of 3. Our IoT journey through ESP8266, Firebase and Plotly.js. Retrieved March 10, 2021, from <https://medium.com/@o.lourme/our-iot-journey-through-esp8266-firebase-angular-and-plotly-js-part-2-14b0609d3f5e>
- [7] Alex Newton. (2020). ECG Graph Monitoring with AD8232 ECG Sensor & Arduino. Retrieved March 10, 2021, from <https://how2electronics.com/ecg-monitoring-with-ad8232-ecg-sensor-arduino/>
- [8] Doug Stevenson. (2019). Should I query my Firebase database directly, or use Cloud Functions. Retrieved March 11, 2021, from <https://medium.com/firebase-developers/should-i-query-my-firebase-database-directly-or-use-cloud-functions-fbb3cd14118c>

# เว็บเบสสารสนเทศการยืมและคืนเครื่องมือทางการแพทย์ในกลุ่มความเสี่ยงสูง

## A Web-based Medical High-Risk Equipment Request Form

สุนาทะ พงศเกียรติ<sup>1</sup>, ปภาสธน์ หล้าเนียม<sup>2</sup>, เมธวี รอดเสมอ<sup>3</sup>, เบญจพร พลายบัว<sup>4</sup>, สมิตานันท์ แสนสุภา<sup>5</sup>, วรารักษ์ ศรีจันทา<sup>6</sup>, อริยาร ชีราเวชชปัญญา<sup>7</sup>, ฉนวนนท์ แก้วประไพ<sup>8</sup>, ชยพัทธ์ แก้วเพ็ง<sup>9</sup>, ปิยะมาส เสือเพ็ง<sup>1</sup>

<sup>2-9</sup>สาขาวิศวกรรมชีวการแพทย์ ภาควิชาฟิสิกส์อุตสาหกรรมและอุปกรณ์การแพทย์ คณะวิทยาศาสตร์  
ประยุกต์ มหาวิทยาลัยเทคโนโลยีพระจอมเกล้าพระนครเหนือ กรุงเทพมหานคร 10800

<sup>1</sup>ภาควิชาเทคโนโลยีสุขภาพ คณะวิทยาศาสตร์และเทคโนโลยีสุขภาพ มหาวิทยาลัยนวมินทราธิราช

กรุงเทพมหานคร 10300 Email: sunata@nmu.ac.th

### บทคัดย่อ

การยืมและคืนเครื่องมือทางการแพทย์ในกลุ่มความเสี่ยงสูงปกติโดยทั่วไปตามแต่ละโรงพยาบาลในประเทศไทยส่วนใหญ่ยังใช้เป็นแบบฟอร์มเอกสารการกรอกข้อมูลเพื่อที่จะยืมเครื่องมือแต่ละชนิดไปใช้กับยังห้องปฏิบัติการต่าง ๆ และหอยังไม่สามารถเข้าถึงในระบบสารสนเทศของระบบภายในโรงพยาบาลซึ่งการที่ทำให้เข้าถึงระบบนี้ได้ง่ายขึ้นจะช่วยให้ข้อมูลในเอกสารนั้นสามารถเข้าถึงและจัดเก็บข้อมูลได้ง่าย สะดวกและสามารถกรอกข้อมูลที่ไหนก็ได้เพื่อจัดการกับข้อจำกัดของระบบการบันทึกและการสื่อสารทางการแพทย์ในรูปแบบเดิม การพัฒนาเว็บเบสสารสนเทศการยืมและคืนเครื่องมือทางการแพทย์ในกลุ่มความเสี่ยงสูงนั้น เพื่อการเข้าถึงระบบแบบดิจิทัลได้อย่างรวดเร็วและช่วยรายงานข้อมูลสำหรับการตรวจสอบยืมและคืนเครื่องมือได้อย่างเป็นระบบโดยเน้นการรักษาความปลอดภัยและรักษาความลับด้วยการไม่ระบุชื่อผู้ใช้ที่ทำการเข้าถึงข้อมูล ซึ่งระบบนี้ได้

จัดเตรียมรูปแบบการทำงานร่วมกันที่สามารถบูรณาการชุดข้อมูลภายในโรงพยาบาลได้หลากหลาย ระบบสารสนเทศนี้สามารถสนับสนุนการให้เข้าถึงข้อมูลระยะไกลอย่างมีประสิทธิภาพและสามารถวิเคราะห์ข้อมูลทางสถิติของผู้ใช้ระบบจากเครื่องมือของระบบสารสนเทศที่หลากหลายภายในระบบนี้

คำสำคัญ: เว็บเบส แบบฟอร์ม ระบบสารสนเทศการยืมและคืนเครื่องมือแพทย์ เครื่องมือแพทย์ที่มีความเสี่ยงสูง การยืมและคืนเครื่องมือแพทย์

คำสำคัญ: เว็บเบส เครื่องมือแพทย์ ความเสี่ยงสูง

### Abstract

Generally, Medical High-Risk Equipment Request Form in almost hospitals in Thailand are using paper document forms for loaning type of equipment to use in laboratories and wards are inaccessible information system within hospital system which makes it easy to access this system, will make the data in the document



easily accessible and stored, convenient and able to fill in information from everywhere to deal with the limitations of traditional medical recording and communication systems. A Web-based Medical High Risk Equipment Request Form in order to access digital information rapidly and systematic reporting the data for loan and return medical equipment by focus on security system and confidentiality with incognito for accessible to the data. This system provides a collaborative model that can gather various data sets within a hospital. Information system can support telecommunication efficiently and analyst statistic for user who access system from a variety of information system tools within this system.

**Keywords:** Web-based, Medical Equipment, High-Risk

## 1. บทนำ

ในปัจจุบันเทคโนโลยีสารสนเทศได้มีบทบาทเข้ามา โดย การ แก้ไข ปัญหา และ จัดการ ใน ด้าน การ ติดต่อ สื่อสาร และ ทำธุรกรรม ต่างๆ รวมถึง รวม โรงพยาบาล ด้วย จะ ต้อง มี เทคโนโลยี สารสนเทศ ในการ จัดการ เข้าถึง ข้อมูล เพื่อให้ สะดวก ต่อ การ ดำเนิน การ รักษา ผู้ป่วย หรือ การ เข้าถึง ข้อมูล ของ บุคคล การ ทาง การ แพทย์ จึง ทำให้ เกิด การ จัดการ โปรแกรม ที่ เขียน มา เพื่อ ทำงาน บน เว็บไซต์ โดย เรียก ใช้ งาน ผ่าน ทาง ออนไลน์ ทั้ง ระบบ อินเทอร์เน็ต หรือ อินทราเน็ต ผู้ใช้ สามารถ ใช้ งาน โปรแกรม ได้ ง่าย ผ่าน Browser สามารถ ใช้ งาน ได้ โดย ไม่ ต้อง ติด ตั้ง ซอฟต์แวร์ บน อุปกรณ์ ของ ผู้ใช้ สามารถ เข้ามา ใช้ งาน โปรแกรม ได้ อยู่ ตลอด เหมาะ กับ

ระบบ ที่ ให้ บริการ แบบ Real Time หรือ ระบบ ที่ ต้อง ใช้ ข้อมูล ออนไลน์ การ พัฒนา เว็บไซต์ สารสนเทศ การ ยืม และ คืน เครื่องมือ ทาง การ แพทย์ ใน กลุ่ม ความ เสี่ยง สูง นั้น เพื่อ การ เข้าถึง ระบบ แบบ คิ จิต ติ ล ได้ อย่าง รวด เร็ว และ ช่วย ราช งาน ข้อมูล สำหรับ การ ตรวจสอบ ยืม และ คืน เครื่องมือ ได้ อย่าง เป็น ระบบ แบบ บูรณาการ บน เว็บไซต์ สำหรับ การ ยืม คืน เครื่องมือ แพทย์ ใน กลุ่ม ความ เสี่ยง สูง ภายใน โรงพยาบาล เช่น มอนิเตอร์ การ ยืม เครื่องมือ แพทย์ ของ บุคคล การ ทาง การ แพทย์ วันที่ และ เวลา ในการ ยืม และ คืน เครื่องมือ สามารถ ติดตาม สถาน ที่ อยู่ ของ เครื่องมือ แพทย์ ที่ ผู้ ใช้ ได้ ทำ การ ยืม เครื่อง และ ตรวจสอบ สภาพ และ อุปกรณ์ การ ใช้ งาน ของ เครื่องมือ ที่ ถูก ยืม ไป ได้ เนื่อง จาก มี ผู้ ใช้ งาน เครื่องมือ แพทย์ ภายใน โรงพยาบาล ก่อน ข้าง มาก งาน วิจัย นี้ สามารถ ตอบ โจทย์ การ ใช้ งาน ยืม และ คืน อุปกรณ์ ทาง การ แพทย์ ได้ เหมาะ สม กับ การ ใช้ งาน ใน ปัจจุบัน

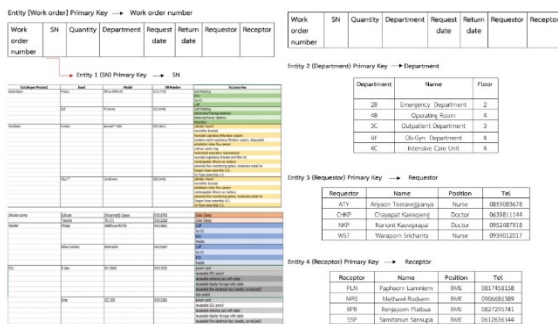
## 2. ระเบียบวิธีวิจัย

### 2.1 การออกแบบฐานข้อมูลสารสนเทศในการยืมและคืนเครื่องมือแพทย์

การพัฒนาเว็บไซต์ระบบสารสนเทศทางคลินิกใช้คำสั่ง PHP Script ร้องขอสารสนเทศจาก My SQL Database Server ซึ่งเป็นที่จัดเก็บฐานสารสนเทศในการยืมและคืนเครื่องมือแพทย์ซึ่งประกอบไปด้วยตารางข้อมูลหลัก ได้แก่ ตาราง Work Order ตาราง SN ตาราง Location ตาราง Requestor ตาราง Receptor โดยแต่ละตารางข้อมูลมีความสัมพันธ์กันดังรูปที่ 1

## 2.2 การออกแบบเว็บเบสระบบสารสนเทศในการยืมและคืนเครื่องมือแพทย์

เว็บเบสระบบสารสนเทศในการยืมและคืนเครื่องมือแพทย์ เป็นสถาปัตยกรรมเครื่องลูกข่ายและเครื่องแม่ข่าย ที่มีข้อกำหนดที่สำคัญที่สุดประการหนึ่งสำหรับระบบ คือ แอปพลิเคชันต้องทำงานบนเว็บอย่างสมบูรณ์ วิธีนี้จะทำให้เข้าถึงข้อมูลได้สะดวกมากขึ้น ยิ่งไปกว่านั้นเทคโนโลยีบนเว็บจะช่วยให้ระบบสามารถใช้งานได้ทุกที่ทุกเวลาทั่วในเขตของโรงพยาบาล เว็บเบสระบบสารสนเทศรับผิดชอบในการอัปเดตข้อมูลการยืมและคืนเครื่องมือแพทย์ สิ่งนี้ดำเนินการโดยใช้ฐานข้อมูล (MySQL) ซึ่งใช้ฐานข้อมูลเชิงสัมพันธ์ที่เชื่อถือได้และได้รับการพิสูจน์แล้ว เพื่อจัดการทั้งข้อมูลข้อความและรูปภาพ



รูปที่ 1 แผนผังแสดงความสัมพันธ์ของแต่ละตารางข้อมูลในฐานข้อมูลสารสนเทศในการยืมและคืนเครื่องมือแพทย์

เซิร์ฟเวอร์ Apache2.0 HTTP และเอ็นจินการเขียน สคริปต์ PHP ถูกนำมาใช้เพื่อพัฒนาฟังก์ชัน อินเทอร์เฟซผู้ใช้งาน เว็บสถาปัตยกรรมของระบบข้อมูลเหล่านี้เรียกรวมกันว่า ข้อมูลอินพุต ข้อได้ เปรียบของความสามารถในการค้นหาของ MySQL คือข้อมูลทั้งหมดที่ดึงมาจากรายงาน

ข้อความและคำอธิบายประกอบ สามารถค้นหาได้ในเว็บเบสระบบ สารสนเทศในการยืมและคืนเครื่องมือแพทย์ เว็บเบสระบบสารสนเทศในการยืมและคืนเครื่องมือแพทย์ ให้ตัวเลือกมากมายสำหรับการค้นหา เช่น การค้นหาตามหมวดหมู่ ซึ่งได้รับการออกแบบมาสำหรับการค้นหาเพื่อหาเครื่องมือที่ต้องการ มีการค้นหาตาม Location , SN และ Work order ค้นหาที่สำคัญในหัวข้อต่าง ๆ การค้นหาโดยการศึกษาช่วยให้สามารถรวบรวมกลุ่มตามวันที่ยืมและคืนของเครื่องมือแพทย์หรือหมายเลข Serial Number ส่วนไฟล์ข้อความที่ป้อนลงในระบบ สามารถแยกวิเคราะห์และจำแนกประเภทได้โดยการจำแนกประเภทขึ้นอยู่กับการลงทะเบียนข้อมูลของบุคลากรภายใน โรงพยาบาล ทั้งในส่วนของหมอยาบาลและวิศวกรรมชีวการแพทย์ การติดตามงานตามตาราง

Work order การค้นหาสถานที่ และการค้นหาเครื่องมือแพทย์ที่ลงทะเบียนภายในโรงพยาบาล ส่วนข้อความของเว็บเบสระบบสารสนเทศในการยืม – คืนเครื่องมือแพทย์ ถูกแบ่งออกเป็นสาขาต่างๆ ซึ่งเชื่อมโยงกันผ่าน Work order โดยข้อมูลการทำงานทั้งหมดอนุญาตให้บุคลากรทางการแพทย์และวิศวกรรมชีวการแพทย์เท่านั้นที่จะเข้าถึงระบบของข้อมูลได้เพื่อป้องกันข้อมูลภายในโรงพยาบาลรั่วไหล ซึ่งการดำเนินการโดยใช้ อัลกอริทึมที่สมมาตร เพื่อสร้างรหัสสำหรับตัวระบุจริงทั้งหมด ตัวระบุที่ไม่ระบุตัวตนที่เป็นผลลัพธ์ถูกนำมาใช้ เพื่อแทนที่ตัวระบุจริงก่อนที่จะเก็บไว้ในเว็บเบสระบบสารสนเทศในการยืม-คืนเครื่องมือแพทย์

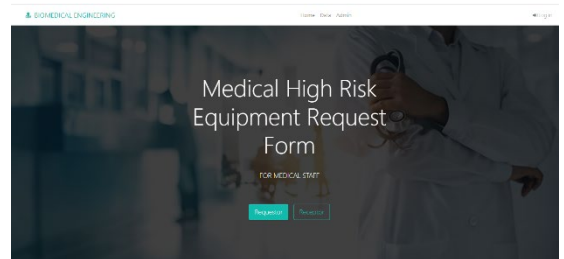
### 3. ผลการทดลองและการอภิปรายผล

การใช้เว็บไซต์เวิร์กโอเดอร์เพื่อเก็บข้อมูล Work order , SN , Location , Requestor และ Receptor เว็บไซต์ระบบสารสนเทศในการขี้มและคืนเครื่องมือแพทย์ ไม่จำเป็นต้องติดตั้งหรือปรับแต่งซอฟต์แวร์คอมพิวเตอร์ฝั่งเครื่องลูกข่ายในฐานะที่เป็นฐานข้อมูลออนไลน์จึงสามารถเข้าถึงได้ โดยผ่านระบบปฏิบัติการใด ๆ ก็ได้ ซึ่งช่วยให้บุคลากรทางการแพทย์และวิศวกรรมชีวการแพทย์เข้าถึงสารสนเทศได้แบบเรียลไทม์ สิ่งนี้จะเป็นประโยชน์อย่างยิ่งในการบันทึกข้อมูลของการขี้มและคืนเครื่องมือแพทย์ เพื่อสะดวกต่อการใช้งานเครื่องมือแพทย์ในครั้งต่อไป และอาจเป็นประโยชน์สำหรับสถานพยาบาลอื่น ๆ จุดมุ่งหมายของเว็บเบสระบบสารสนเทศในการขี้มและคืนเครื่องมือแพทย์ คือการสร้างระบบสารสนเทศแบบบูรณาการออนไลน์สำหรับบุคลากรทางการแพทย์และกลุ่มวิศวกรรมชีวการแพทย์ เพื่อที่ช่วยในการค้นหาเครื่องมือแพทย์ที่อยู่ตามสถานที่ต่าง ๆ ในโรงพยาบาล เพื่อที่จะนำมา PM และ Calibrate เครื่องมือแพทย์ได้ตามรอบที่ควรจะเป็น อีกทั้งยังสามารถอัปเดตข้อมูลออนไลน์ในระบบได้

### 4. สรุปผลการทดลอง

งานวิจัยนี้อธิบายถึงการพัฒนาเว็บเบสสารสนเทศการขี้มและคืนเครื่องมือทางการแพทย์ในกลุ่มความเสี่ยงสูง ซึ่งเป็นระบบสารสนเทศที่เกี่ยวข้องทางด้าน การขี้มและคืนเครื่องมือทางการแพทย์แบบออนไลน์ ซึ่งมีการบันทึกและจัดเก็บข้อมูลในการขี้ม-คืนเครื่องมือแพทย์ ประกอบไปด้วย 1) แบบฟอร์มหน้าเว็บสำหรับผู้ขี้มเครื่องมือแพทย์ 2) ตารางแสดงผลข้อมูลสำหรับการขี้ม-คืนเครื่องมือแพทย์ที่แสดงผ่านหน้าเว็บไซต์สำหรับ

เจ้าหน้าที่ 3) ฐานข้อมูลที่ใช้สำหรับจัดเก็บข้อมูลสำหรับการขี้ม-คืนเครื่องมือแพทย์ ซึ่งอำนวยความสะดวกให้กับบุคลากรทางการแพทย์ในการเข้าถึงข้อมูลตรวจสอบและติดตามประวัติการใช้งานของเครื่องมือแพทย์ได้ง่ายขึ้น เพื่อที่จะสามารถติดตามเครื่องกลับมาทำการบำรุงรักษา หรือแก้ไขหากเกิดข้อผิดพลาดขึ้น



รูปที่ 2 ส่วนติดต่อกับผู้ใช้งานเว็บเบสสารสนเทศการขี้มและคืนเครื่องมือทางการแพทย์ในกลุ่มความเสี่ยงสูง

### 5. กิตติกรรมประกาศ

งานวิจัยนี้ได้รับการสนับสนุนเป็นอย่างดีจากภาควิชาฟิสิกส์อุตสาหกรรมและอุปกรณ์การแพทย์ มหาวิทยาลัยเทคโนโลยีพระจอมเกล้าพระนครเหนือ และผู้สนับสนุนของขอพระคุณที่ปรึกษาและคณะกรรมการสมาคมเทคโนโลยีสุขภาพไทย (Advisory and ThaiHTA Committee) ที่กรุณามาให้คำแนะนำเป็นอย่างดีในการจัดทำรูปแบบบทความภาษาไทย สำหรับการประชุมวิชาการเทคโนโลยีสุขภาพแห่งประเทศไทย (The Conference on Health Technology of Thailand) นี้ และขอพระคุณสถาบันการแพทย์รามามาจักรีนฤพดินทร์ที่ให้การเอื้อเฟื้อทางด้านข้อมูลเกี่ยวกับรูปแบบการขี้ม-คืนเครื่องมือแพทย์

## เอกสารอ้างอิง

[1] ผศ.ดร.ปิยะมาศ เสือเพ็ง. (2563). **คู่มือปฏิบัติการ ออกแบบระบบสารสนเทศทางการแพทย์**. กรุงเทพมหานคร : มหาวิทยาลัยนวมินทราชินราชมงคล.

[2] ทศวรรษ. (2556). การเขียนเว็บเชื่อมต่อฐานข้อมูล php. สืบค้นวันที่ 22 เมษายน 2564, จาก <https://www.mindphp.com/%E0%B8%9A%E0%B8%97%E0%B9%80%E0%B8%A3%E0%B8%B5%E0%B8%A2%E0%B8%99%E0%B8%AD%E0%B8%99%E0%B9%84%E0%B8%A5%E0%B8%99%E0%B9%8C/%E0%B8%9A%E0%B8%97%E0%B9%80%E0%B8%A3%E0%B8%B5%E0%B8%A2%E0%B8%99- php/ 3093-%E0%B8%AA%E0%B8%AD%E0%B8%99- php-mysql-insert.html>

[3] **แบบฟอร์มการยืม-คืนเครื่องมือแพทย์** จากสถาบันการแพทย์รามจักรีนฤพดินทร์

[4] ณัฐชานนท์. (2557). ความหมายของคำว่า "เครื่องมือแพทย์". สืบค้นวันที่ 22 เมษายน 2564, จาก <https://busnatchanon.blogspot.com/2014/02/blog-post.html>

[5] (ไม่ทราบชื่อผู้แต่ง). (2558). **เครื่องมือแพทย์กลุ่มความเสี่ยงสูง**. สืบค้นวันที่ 22 เมษายน 2564, จาก [http://www.attest.co.th/news/view.php?id\\_main=7&cate=](http://www.attest.co.th/news/view.php?id_main=7&cate=)

[6] (ไม่ทราบชื่อผู้แต่ง). (2558). **PHP MySQL สอน PHP กับ MySQL**. สืบค้นวันที่ 22 เมษายน 2564, จาก <https://www.thaicreate.com/php/php-mysql.html>

# หุ่นยนต์ฆ่าเชื้อด้วยรังสียูวีซี

## UVC Robotic

พรภวิชัย สีนสุขอุดมชัย<sup>1</sup>, สุภัสษา บัวเพื่อน<sup>1</sup>, รสจรินทร์ รัตนสุนทร<sup>1</sup>, วัลลภ นโรดม<sup>2</sup>

<sup>1</sup>สาขาวิชาวิศวกรรมชีวการแพทย์ ภาควิชาฟิสิกส์อุตสาหกรรมและอุปกรณ์การแพทย์  
คณะวิทยาศาสตร์ประยุกต์ มหาวิทยาลัยเทคโนโลยีพระจอมเกล้าพระนครเหนือ  
บางซื่อ กรุงเทพมหานคร 10800

Email: s6004035620041@email.kmutnb.ac.th, s6004035630348@email.kmutnb.ac.th,  
rodjarin.r@sci.kmutnb.ac.th

<sup>2</sup> บริษัท อาร์เอฟเอส จำกัด สถาบันการแพทย์จักรีนฤพดินทร์  
บางพลี สมุทรปราการ 10540 Email: wanlop.n@rfs.co.th

### บทคัดย่อ

งานวิจัยนี้เป็นการออกแบบและสร้างหุ่นยนต์ฆ่าเชื้อด้วยรังสียูวีซี (UVC Robotic) เพื่อใช้ในการฆ่าเชื้อไวรัสภายในห้องแยกโรคความดันลบสำหรับผู้ป่วยที่เข้ารับการรักษาด้วยโรคที่ติดต่อผ่านระบบทางเดินหายใจได้ โดยการออกแบบและสร้างหุ่นยนต์ฆ่าเชื้อด้วยรังสียูวีซีจะใช้บอร์ด NodeMCU ESP8266 กับเซนเซอร์ GY-US42 สำหรับวัดระยะทางและเซนเซอร์ SC-HR501 สำหรับตรวจจับความเคลื่อนไหวจากความร้อน จากนั้นจะนำค่าระยะทางที่วัดได้ไปคำนวณเป็นระยะเวลาในการฉายรังสี สามารถสั่งการได้ 2 วิธี คือ สั่งการผ่านทางเว็บไซต์และสั่งการผ่านปุ่มกดบริเวณตัวเครื่อง เพื่อลดความเสี่ยงในการสัมผัสรังสียูวีซี

**คำสำคัญ:** หุ่นยนต์ฆ่าเชื้อ, หุ่นยนต์ยูวี, การฆ่าเชื้อด้วยรังสียูวีซี

### Abstract

This research has designed and created a UVC Robotic sterilization robot to kill viruses in negative pressure isolation rooms for patients treated with respiratory congenient diseases. By designing and

building a UVC sterilization robot, NodeMCU ESP8266 board is used with GY-US42 sensor for measuring distance and SC-HR501 sensor for detecting movements from heat, and then calculates the distance measured for irradiation time. There are two ways to do this: through the website and through the keypad on the machine to reduce the risk of UVC exposure.

**Keywords:** Sterilization Robot, Sterilized with UVC, UV Robot

### 1. บทนำ

เนื่องจากในช่วงเวลาที่ผ่านมามีโรคอุบัติใหม่เกิดขึ้น ซึ่งเป็นโรคที่ติดต่อทางบริเวณระบบทางเดินหายใจ และดวงตา เรียกว่า “โรคโควิด-19” เกิดจากเชื้อไวรัสโคโรนาในกลุ่มของอาการทางเดินหายใจเฉียบพลันรุนแรง 2 (SARS-CoV-2) เชื้อไวรัสจะสามารถแพร่กระจายทางอากาศระหว่างบุคคลที่มีการสัมผัสใกล้ชิดกันเป็นหลัก โดยผ่านทางละอองเสมหะขนาดเล็กซึ่งเกิดจากการไอ, จาม, หรือการสนทนา เชื้อไวรัสสามารถอยู่บนพื้นผิวได้นานถึง 72 ชั่วโมง และผู้ติดเชื้อสามารถแพร่เชื้อไวรัสได้

ตั้งแต่ขณะที่ร่างกายยังไม่แสดงอาการใดๆของโรค จนถึงเริ่มมีอาการเฉื่อยชาระยะเวลาประมาณ 14 วัน หรือ 2 สัปดาห์

นอกจากนี้ยังมีโรคที่สามารถติดต่อผ่านทางบริเวณระบบทางเดินหายใจอื่นๆ เช่น วัณโรคของระบบทางเดินหายใจ, หัด, ไข้สุกใส

ซึ่งผู้ป่วยที่เข้าทำการรักษาด้วยโรคติดต่อทางบริเวณระบบทางเดินหายใจ จะทำการรักษาด้วยยาที่อยู่ในห้องแยกโรคความดันลบและหลังจากที่ทำการรักษาจนหายจากโรคเรียบร้อยแล้ว ภายในห้องจำเป็นต้องทำการฆ่าเชื้อไวรัสภายในห้องด้วยรังสียูวีซีในการฉายแสงไปยังบริเวณพื้นที่นั้นๆ โดยรังสียูวีซีมีความเสี่ยงและเป็นอันตรายต่อผู้ใช้งานเป็นอย่างมาก หากไม่ระมัดระวังในการใช้งานจะส่งผลกระทบต่อร่างกายของผู้ใช้งาน เช่น หากมีการสัมผัสโดยตรงอาจทำให้ผิวหนังอักเสบ, และหากได้รับในระดับความเข้มสูงเป็นเวลานานอาจจะทำให้เกิดต่อมหรือต่อกระจุก เป็นต้น

จากที่กล่าวมาข้างต้น ทางผู้จัดทำวิจัยจึงได้คิดค้นการทำหุ่นยนต์สำหรับฆ่าเชื้อไวรัสด้วยรังสียูวีซีขึ้นเพื่อฆ่าเชื้อภายในห้องแยกโรคความดันลบ และเพื่อลดความเสี่ยงของผู้ใช้งานในการนำหลอดไฟยูวีซีเข้าไปติดตั้งและทำความสะอาดภายในห้อง ในส่วนของหุ่นยนต์จะสามารถคำนวณระยะเวลาในการฉายรังสียูวีซีได้, ผู้ใช้งานสามารถสั่งการเปิด-ปิดหลอดไฟยูวีซีได้ผ่านทางเว็บไซต์, มีการแจ้งเตือนทั้งก่อนและหลังการทำงาน

## 2. ทฤษฎีที่เกี่ยวข้อง

### 2.1 คุณสมบัติของรังสียูวีซี

เป็นคลื่นแม่เหล็กไฟฟ้าที่มีความยาวคลื่น 200 - 280 นาโนเมตร มีความสามารถทำลายเชื้อโรคที่เรียกว่า Ultraviolet Germicidal Irradiation ( UVGI ) โดยปกติจะไม่พบ UVC ในธรรมชาติเนื่องจากไม่สามารถผ่านชั้นโอโซนของโลกลงมาได้ การทำลาย

เชื้อโรคจึงต้องใช้แหล่งกำเนิดรังสี ได้แก่ หลอดไอปรอทที่มีแรงดันภายในหลอดต่ำหรือเรียกว่า “หลอดฆ่าเชื้อ” และ UVC-LEDs ที่ให้รังสี UVC ที่ความยาวคลื่นไม่ต่ำกว่า 253.7 นาโนเมตร

### 2.2 ประสิทธิภาพในการทำลายเชื้อโรค

ประสิทธิภาพของรังสียูวีซีในการทำลายเชื้อขึ้นอยู่กับระยะเวลาที่ได้รับ, ความเข้มของรังสี, และความยาวคลื่นของรังสี สำหรับการฆ่าเชื้อในอากาศหรือพื้นผิวสามารถประเมินประสิทธิภาพจากปริมาณรังสีซึ่งเป็นปริมาณรังสีที่เชื้อสัมผัส ถ้าเชื้อต้องลอยอยู่ในอากาศ ผลของรังสีจะเทียบเท่ากับค่า UV dose แต่ถ้ามีฝุ่นละอองในอากาศร่วมด้วย ปริมาณรังสีที่สัมผัสกับเชื้ออาจลดลง จึงต้องใช้ระยะเวลาในการทำลายเชื่อนานขึ้น ดังสมการที่ (1)

$$UV\ dose = UV\ intensity \times Exposure\ time \quad (1)$$

จากการศึกษาพบปริมาณรังสียูวีซีที่ใช้ทำลายเชื้อชนิดต่างๆ ดังรูปที่ 1-5

| Mold                   | 90%     | 100%    |
|------------------------|---------|---------|
| Aspergillus Favis      | 60,000  | 99,000  |
| Aspergillus glaucus    | 44,000  | 88,000  |
| Aspergillus niger      | 132,000 | 330,000 |
| Mucor racemosus A      | 17,000  | 35,200  |
| Mucor racemosus B      | 17,000  | 35,200  |
| Oospora lactis         | 5,000   | 11,000  |
| Penicillium expansum   | 13,000  | 22,000  |
| Penicillium roqueforti | 13,000  | 26,400  |
| Penicillium digitatum  | 44,000  | 88,000  |
| Rhizopus nigricans     | 111,000 | 220,000 |

รูปที่ 1 ประสิทธิภาพในการทำลายสปอร์ของเชื้อรา

| Protozoa           | 90%    | 100%   |
|--------------------|--------|--------|
| Chlorella Vulgaris | 13,000 | 22,000 |
| Nematode Eggs      | 4,000  | 92,000 |
| Paramecium         | 11,000 | 20,000 |

รูปที่ 2 ประสิทธิภาพในการทำลายเชื้อโปรโตซัว

| Organisms :                                | Energy dosage of Ultraviolet radiation in uW sec/cm2 needed for kill factor |        |
|--|---|--------|
|  | 90%   | 100%   |
| <b>Bacteria</b>                            |   |        |
| Bacillus anthracis - Anthrax               | 4,520   | 8,700  |
| Bacillus anthracis spores - Anthrax spores | 24,320  | 46,200 |
| Bacillus magisterium sp. (spores)          | 2,730   | 5,200  |
| Bacillus magisterium sp. (veg.)            | 1,300   | 2,500  |
| Bacillus paratyphus                        | 3,200   | 6,100  |
| Bacillus subtilis spores                   | 11,600  | 22,000 |
| Bacillus subtilis                          | 5,800   | 11,000 |
| Clostridium tetani                         | 13,000  | 22,000 |
| Corynebacterium diphtheriae                | 3,370   | 6,510  |
| Eberthella typhosa                         | 2,140   | 4,100  |
| Escherichia coli                           | 3,000   | 6,600  |
| Leptospirocanicola - infectious jaundice   | 3,150   | 6,000  |
| Micrococcus candidus                       | 6,050   | 12,300 |
| Micrococcus sphaeroides                    | 1,000   | 15,400 |
| Mycobacterium tuberculosis                 | 6,200   | 10,000 |
| Neisseria catarrhalis                      | 4,400   | 8,500  |
| Phytomonas tumefaciens                     | 4,400   | 8,000  |
| Proteus vulgaris                           | 3,000   | 6,900  |
| Pseudomonas aeruginosa                     | 5,500   | 10,500 |
| Pseudomonas fluorescens                    | 3,500   | 6,800  |
| Salmonella enteritidis                     | 4,000   | 7,800  |
| Salmonella paratyphi - Enteric fever       | 3,200   | 6,100  |
| Salmonella typhosa - Typhoid fever         | 2,150   | 4,100  |
| Salmonella typhimurium                     | 8,000   | 15,200 |
| Sarcina lutea                              | 19,700  | 26,400 |
| Serratia marcescens                        | 2,420   | 6,160  |
| Shigella dysenteriae - Dysentery           | 2,200   | 4,200  |
| Shigella flexneri - Dysentery              | 1,700   | 3,400  |
| Shigella paradyseriae                      | 1,680   | 3,400  |
| Spirillum rubrum                           | 4,400   | 6,160  |
| Staphylococcus albus                       | 1,840   | 5,720  |
| Staphylococcus aureus                      | 2,620   | 6,600  |
| Staphylococcus hemolyticus                 | 2,160   | 5,500  |
| Staphylococcus lactis                      | 6,150   | 8,800  |
| Streptococcus viridans                     | 2,000   | 3,800  |
| Vibrio comma - Cholera                     | 3,375   | 6,500  |

รูปที่ 3 ประสิทธิภาพในการทำลายเชื้อแบคทีเรีย

| Virus                       | 90%     | 100%    |
|-----------------------------|---------|---------|
| Bacteriophage - E. Coli     | 2,500   | 6,900   |
| Infectious Hepatitis        | 5,800   | 8,000   |
| Influenza                   | 3,400   | 6,900   |
| Polliovirus - Poliomyelitis | 3,150   | 6,800   |
| Tobacco mosaic              | 240,000 | 440,000 |

รูปที่ 4 ประสิทธิภาพในการทำลายเชื้อไวรัส

| Yeast                      | 90%   | 100%   |
|----------------------------|-------|--------|
| Brewers yeast              | 3,300 | 6,600  |
| Common yeast cake          | 6,000 | 13,200 |
| Saccharomyces cerevisiae   | 6,000 | 13,200 |
| Saccharomyces ellipsoideus | 6,000 | 13,200 |
| Saccharomyces spores       | 8,000 | 17,600 |

รูปที่ 5 ประสิทธิภาพในการทำลายยีสต์

การทดสอบประสิทธิภาพการฆ่าเชื้อโคโรนาไวรัสที่ทำให้เกิดอาการทางเดินหายใจเฉียบพลันรุนแรง หรือ SARS-CoV ด้วยรังสียูวีซีที่ความยาวคลื่น 254 นาโนเมตร มีระยะห่าง 3 เซนติเมตร ความเข้มแสง 4016  $\mu\text{W}/\text{cm}^2$  สามารถกำจัดเชื้อได้หมดภายในเวลา 15 นาที ถ้าหากใช้ความเข้มแสง 90  $\mu\text{W}/\text{cm}^2$  ที่ระยะห่าง 80 เซนติเมตร จะต้องใช้เวลา 60 นาที จึงจะทำลายเชื้อได้หมด จะเห็นได้ว่าประสิทธิภาพการ

ทำลายเชื้อขึ้นอยู่กับความเข้มแสงของรังสียูวีซี ระยะห่างของแหล่งกำเนิดแสง และระยะเวลา ดังนั้นการใช้แสงยูวีซีเพื่อทำลายเชื้อให้ได้ประสิทธิผลต้องคำนึงถึงปัจจัยดังกล่าวรวมด้วย

### 3. วิธีการดำเนินการและการทดลอง

#### 3.1 อุปกรณ์ที่ใช้งาน

##### 3.1.1 Board Microcontroller : NodeMCU ESP8266

บอร์ดคอนโทรลเลอร์ที่มีลักษณะการทำงานตามคำสั่งภาษา C คล้ายกับ Arduino แต่มีลักษณะพิเศษกว่าตรงที่สามารถเชื่อมต่อกับ WiFi ได้

##### 3.1.2 Ultrasonic Sensor : GY-US42

เซนเซอร์จะวัดระยะทางโดยการส่งสัญญาณ Ultrasonic ออกไปแล้วจับเวลาที่เสียงเดินทางในอากาศวิ่งไปหาวัตถุและสะท้อนกลับมา เสียงเดินทางในอากาศมีความเร็วคงที่ เซนเซอร์สามารถจับเวลาที่เสียงสะท้อนกลับมาทำให้สามารถคำนวณระยะทางระหว่างวัตถุได้

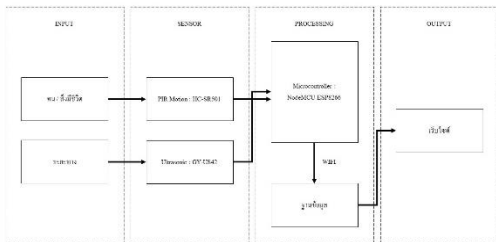
##### 3.1.3 Motion Sensor : HC-SR501

PIR Motion Sensor เป็นเซนเซอร์ที่ใช้สำหรับตรวจจับความเคลื่อนไหวจากความร้อน เช่นสิ่งมีชีวิต โดยเมื่อมีสิ่งมีชีวิตเดินผ่าน เซนเซอร์จะจับค่าความร้อนที่เปลี่ยนแปลงแล้วส่งสัญญาณออกมา

#### 3.2 การออกแบบการทำงาน

อุปกรณ์โดยรวมของหุ่นยนต์ฆ่าเชื้อด้วยรังสียูวีซี จะประกอบไปด้วย 3 ส่วนสำคัญ คือ ส่วนของการรับค่าจากเซนเซอร์, ส่วนของการประมวลผลข้อมูล, และส่วนของการแสดงผลข้อมูล ดังภาพที่ 6 โดยการทำงานของหุ่นยนต์ฆ่าเชื้อด้วยรังสียูวีซีจะมี Switching Power Supply ทำหน้าที่เป็นแหล่งจ่าย

ไฟฟ้าให้กับระบบไมโครคอนโทรลเลอร์ ในขณะที่เซนเซอร์ GY-US42 จะทำหน้าที่วัดระยะทางที่ไกลที่สุดภายในห้อง จากนั้นจะส่งค่าระยะทางที่วัดได้ไปยังบอร์ดไมโครคอนโทรลเลอร์เพื่อนำไปคำนวณหาระยะเวลาในการฉายรังสี และทางผู้ใช้งานสามารถสั่งการเปิด-ปิดหลอดไฟยูวีซีได้ผ่านทางหน้าเว็บไซต์, มีการแสดงระยะเวลาในการทำงานแจ้งให้ทราบ และยังมีการแจ้งเตือนเตือนในขณะที่หุ่นยนต์กำลังทำงานและหลังจากที่ทำงานเสร็จเรียบร้อยแล้ว หากในกรณีฉุกเฉินสัญญาณ WiFi ขาดหาย ทางผู้ใช้งานสามารถปรับเป็นโหมด Manual และสั่งการผ่านปุ่มกดได้เช่นเดียวกัน นอกจากนี้ในขณะที่หุ่นยนต์กำลังทำงานอยู่ ถ้าเซนเซอร์ HC-SR501 สามารถจับการเคลื่อนไหวภายในห้องได้จะสั่งการให้หุ่นยนต์หยุดการทำงานในทันที

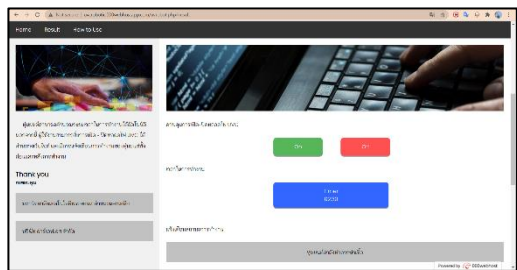


รูปที่ 6 แผนผังแสดงหลักการการทำงานของหุ่นยนต์ฆ่าเชื้อด้วยรังสียูวีซี

### 3.3 การออกแบบส่วนแสดงผล

ในส่วนของการแสดงผลจะแบ่งเป็น 2 ส่วน โดยส่วนหนึ่งจะเป็นการแสดงผลบนเว็บไซต์ โดยจะสามารถสั่งการเปิด-ปิดหลอดไฟ, แสดงเวลาในการฉายรังสีแบบนับถอยหลัง, และนอกจากนี้ยังมีการแสดงผลสถานะการทำงานของหุ่นยนต์ ดังรูปที่ 7

และในส่วนที่สองจะเป็นการแจ้งเตือนด้วยเสียงและสัญญาณไฟ โดยเมื่อมีการกดปุ่มเริ่มการทำงานจะมีเสียงสัญญาณเตือนดังขึ้น 3 ครั้ง จากนั้นหุ่นยนต์จะเริ่มทำงานและในขณะที่หุ่นยนต์กำลังทำงานอยู่จะมีสัญญาณไฟสีแดงแสดงขึ้นเพื่อให้ทราบและเมื่อทำงานเสร็จเรียบร้อยแล้วสัญญาณไฟจะดับลง



รูปที่ 7 ส่วนการแสดงผลบนเว็บไซต์

### 3.4 วิธีการทดลอง

#### 3.4.1 การทดสอบการวัดระยะทางและการคำนวณระยะเวลาในการฉายรังสี

การทดสอบการวัดระยะทางของเซนเซอร์ จะทำการทดสอบทั้งหมด 10 ครั้งเปรียบเทียบค่าระหว่างการวัดระยะทางด้วยคัลลิเบรเตอร์เทียบกับการวัดระยะทางจากเซนเซอร์ จากนั้นเปรียบเทียบระยะเวลาในการฉายรังสีจากบอร์ดไมโครคอนโทรลเลอร์เทียบกับค่าที่คำนวณเอง แล้วคำนวณหาค่าความคลาดเคลื่อนเฉลี่ยทั้งหมด

#### 3.4.2 การทดสอบระยะเวลาการเชื่อมต่อสัญญาณ WiFi ตามแนวราบ

การทดสอบระยะเวลาการเชื่อมต่อสัญญาณ WiFi จะทดสอบโดยการเชื่อมต่อบอร์ดไมโครคอนโทรลเลอร์เข้ากับสัญญาณ WiFi จากนั้นทำการวัดระยะเวลาการเชื่อมต่อของสัญญาณโดยระยะเวลาการเชื่อมต่อที่วัดได้เทียบกับระยะเวลาการเชื่อมต่อจริง



ทำซ้ำทั้งหมด 10 ครั้ง แล้วคำนวณหาค่าความคลาดเคลื่อนเฉลี่ยทั้งหมด

### 3.4.3 การทดสอบการเก็บข้อมูลลงในฐานข้อมูลและการแสดงผล

การทดสอบการเก็บข้อมูลลงในฐานข้อมูลทำได้โดยการเชื่อมต่อบอร์ดไมโครคอนโทรลเลอร์เข้ากับสัญญาณ WiFi จากนั้นเขียนโปรแกรมเพื่อส่งค่าไปยังฐานข้อมูลและออกแบบส่วนแสดงผลเพื่อนำค่าจากฐานข้อมูลมาแสดงผลบนเว็บไซต์

### 3.4.4 การทดสอบการฆ่าเชื้อไวรัส

การทดสอบการฆ่าเชื้อไวรัสโดยการนำหุ่นยนต์ที่เสิร์จสมบูรณ์ไปทดลองฆ่าเชื้อ E.coli และเพื่อหาข้อจำกัดของหุ่นยนต์

## 4. ผลการทดลอง

### 4.1 ผลการทดลองการวัดระยะทางและการคำนวณระยะเวลาในการฉายรังสี

การทดลองเพื่อหาค่าความคลาดเคลื่อนเฉลี่ยของหุ่นยนต์ฆ่าเชื้อด้วยรังสียูวีซี ได้ผลการทดลองดังนี้

ตารางที่ 1 ผลการทดสอบการวัดระยะทาง

| ครั้งที่ | ระยะทาง ( cm ) |          | ค่าความคลาดเคลื่อน (%) |
|----------|----------------|----------|------------------------|
|          | วัดจริง        | เซนเซอร์ |                        |
| 1        | 100            | 101      | 1                      |
| 2        | 100            | 99       | 1                      |
| 3        | 100            | 100      | 0                      |
| 4        | 100            | 101      | 1                      |
| 5        | 100            | 101      | 1                      |
| 6        | 100            | 102      | 2                      |
| 7        | 100            | 102      | 2                      |
| 8        | 100            | 100      | 0                      |

|                              |     |     |     |
|------------------------------|-----|-----|-----|
| 9                            | 100 | 100 | 0   |
| 10                           | 100 | 100 | 0   |
| ค่าความคลาดเคลื่อนเฉลี่ย (%) |     |     | 0.8 |

ตารางที่ 2 ผลการทดสอบการคำนวณระยะเวลาในการฉายรังสี

| ครั้งที่                     | ระยะเวลา ( sec ) |          | ค่าความคลาดเคลื่อน (%) |
|------------------------------|------------------|----------|------------------------|
|                              | วัดจริง          | เซนเซอร์ |                        |
| 1                            | 1082             | 1081     | 0.09                   |
| 2                            | 1041             | 1040     | 0.1                    |
| 3                            | 1059             | 1061     | 0.19                   |
| 4                            | 1082             | 1081     | 0.09                   |
| 5                            | 1082             | 1081     | 0.09                   |
| 6                            | 1100             | 1103     | 0.27                   |
| 7                            | 1100             | 1103     | 0.27                   |
| 8                            | 1059             | 1061     | 0.19                   |
| 9                            | 1059             | 1061     | 0.19                   |
| 10                           | 1059             | 1061     | 0.19                   |
| ค่าความคลาดเคลื่อนเฉลี่ย (%) |                  |          | 0.167                  |

จากตารางที่ 1 และ 2 พบว่าค่าความคลาดเคลื่อนเฉลี่ยของการวัดระยะทางมีค่าเท่ากับร้อยละ 0.8 และค่าความคลาดเคลื่อนเฉลี่ยของการคำนวณระยะเวลาในการฉายรังสีมีค่าเท่ากับร้อยละ 0.167

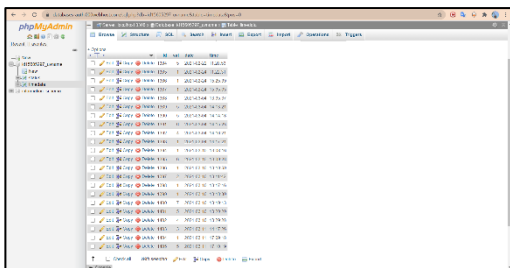
### 4.2 ผลการทดลองการทดสอบระยะการเชื่อมต่อสัญญาณ WiFi ตามแนวราบ

ตารางที่ 3 ผลการทดสอบระยะการเชื่อมต่อสัญญาณ WiFi ตามแนวราบ

| ครั้งที่                     | ระยะการเชื่อมต่อจริง (m) | ระยะการเชื่อมต่อที่วัดได้(m) | ค่าความคลาดเคลื่อน (%) |
|------------------------------|--------------------------|------------------------------|------------------------|
| 1                            | 70                       | 71                           | 1.43                   |
| 2                            | 70                       | 70                           | 0                      |
| 3                            | 70                       | 76                           | 8.57                   |
| 4                            | 70                       | 75                           | 7.14                   |
| 5                            | 70                       | 70                           | 0                      |
| 6                            | 70                       | 71                           | 1.43                   |
| 7                            | 70                       | 75                           | 7.14                   |
| 8                            | 70                       | 70                           | 0                      |
| 9                            | 70                       | 70                           | 0                      |
| 10                           | 70                       | 70                           | 0                      |
| ค่าความคลาดเคลื่อนเฉลี่ย (%) |                          |                              | 2.57                   |

จากตารางที่ 3 พบว่าค่าความคลาดเคลื่อนเฉลี่ยของการวัดระยะการเชื่อมต่อของสัญญาณ WiFi ตามแนวราบมีค่าเท่ากับร้อยละ 2.57

### 4.3 ผลการทดลองการทดสอบการเก็บข้อมูลลงในฐานข้อมูลและการแสดงผล



รูปที่ 8 การจัดเก็บข้อมูลบนฐานข้อมูล

จากรูปที่ 7 และ 8 พบว่าสามารถจัดเก็บข้อมูลบนฐานข้อมูล และสามารถนำข้อมูลจากฐานข้อมูลมาแสดงผลผ่านหน้าเว็บไซต์ได้

### 5. สรุปผลการทดลอง

งานวิจัยนี้เป็นการออกแบบและสร้างหุ่นยนต์ฆ่าเชื้อด้วยรังสียูวีซี (UVC Robotic) เพื่อฆ่าเชื้อภายในโรงพยาบาลและลดความเสี่ยงในการสัมผัสรังสียูวีซีของผู้ใช้งาน โดยจากการทดลองพบว่า หุ่นยนต์ฆ่าเชื้อด้วยรังสียูวีซีสามารถวัดระยะทางเพื่อคำนวณระยะเวลาในการฉายรังสีและสามารถสั่งการทำงานผ่านเว็บไซต์ได้ ซึ่งหุ่นยนต์ฆ่าเชื้อด้วยรังสียูวีซีจะมีข้อจำกัดในเรื่องของขนาดพื้นที่การใช้งาน

### 6. กิตติกรรมประกาศ

งานวิจัยนี้ได้รับการสนับสนุนเป็นอย่างดีจากภาควิชาฟิสิกส์อุตสาหกรรมและอุปกรณ์การแพทย์ มหาวิทยาลัยเทคโนโลยีพระจอมเกล้าพระนครเหนือ และแผนกเครื่องมือแพทย์ บริษัท อาร์เอฟเอส จำกัด ทางคณะผู้จัดทำขอขอบพระคุณอาจารย์ที่ปรึกษาและแผนกเครื่องมือแพทย์ บริษัท อาร์เอฟเอส จำกัด ที่ให้คำปรึกษา, คำแนะนำ, และชี้แนะทางในการทำและพัฒนางานวิจัยชิ้นนี้

### เอกสารอ้างอิง

- [1] ศูนย์ความเป็นเลิศด้านเทคโนโลยีปิโตรเคมีและวัสดุ. (2563). การฆ่าเชื้อโรคด้วยรังสี UVC. ค้นเมื่อ 3 พฤษภาคม 2564, จาก <https://www.petro-mat.org/home/2020/04/23/uvc-sterilization/>
- [2] บริษัท ไบโอ พลัส เมดิคอล จำกัด. (2562). มาตรฐานการฆ่าเชื้อด้วยหลอด UVC. ค้นเมื่อ 3 พฤษภาคม 2564, จาก <https://www.bioplusgroup.com/page/id/1549425686944480>
- [3] ลุงเมกเกอร์. (2563). การใช้งาน NodeMCU ESP8266 กับ Arduino IDE. ค้นเมื่อ 3 พฤษภาคม 2564, จาก <http://www.lungmaker>

.com/การใช้งาน-nodemcu-esp8266-กับ-arduino-ide

คำแนะนำ-การเลือกหลอดยูวีทำลายเชื้อโควิด-19-ตอนที่1.pdf

[4] ผศการอง วณไพศาล. (2563). การฆ่าเชื้อด้วยรังสียูวีซี (UVC). ค้นเมื่อ 6 พฤษภาคม 2564, จาก [https://pharmacy.mahidol.ac.th/th/knowledge/article/488/การฆ่าเชื้อด้วยรังสียูวีซี\(UVC\)/](https://pharmacy.mahidol.ac.th/th/knowledge/article/488/การฆ่าเชื้อด้วยรังสียูวีซี(UVC)/)

[5] U.S. FOOD & DRUG Administration. (2021). **UV Lights and Lamps: Ultraviolet- C Radiation, Disinfection, and Coronavirus.** Retrieved May 6, 2021 from <https://www.fda.gov/medical-devices/coronavirus-covid-19-and-medical-devices/uv-lights-and-lamps-ultraviolet-c-radiation-disinfection-and-coronavirus>

[6] MOSTORI. (2563). **UVC Light การฆ่าเชื้อด้วยรังสียูวีซี.** ค้นเมื่อ 6 พฤษภาคม 2564, จาก [https://www.mostori.com/blog\\_detail.php?b\\_id=90](https://www.mostori.com/blog_detail.php?b_id=90)

[7] INNOVATE PLUS CO.LTD. (ม.ป.ป.). **Ultraviolet Germicidal Irradiation (UVGI) หรือ ระบบทำลายเชื้อโรคด้วยรังสียูวี.** ค้นเมื่อ 6 พฤษภาคม 2564, จาก [https://www.innovateplus.co.th/UVGI\\_Und\\_Solutions/5fd3b8fafe5a100019f6326a](https://www.innovateplus.co.th/UVGI_Und_Solutions/5fd3b8fafe5a100019f6326a)

[8] สถาบันมาตรวิทยาแห่งชาติ. (ม.ป.ป.). **คำแนะนำสำหรับการใช้“หลอดยูวี”ทำลายเชื้อโควิด19.** ค้นเมื่อ 6 พฤษภาคม 2564, จาก <http://www.nimt.or.th/main/wp-content/uploads/2020/06/>

# เครื่องช่วยวัดการเคลื่อนของข้อทางรังสีแบบวัดข้อเท้า

## The Stress Radiographic Device of Ankle

กัญทิรา วงษ์เนิน<sup>1</sup>, พิมพ์ชนก ภูมิจิตติ<sup>1</sup>, สุรพันธ์ ชัยมั่น<sup>1</sup>, จุมพล บำรุงวงศ์<sup>1</sup>, บรรจง ถันทอง<sup>2</sup>

<sup>1</sup> สาขาวิศวกรรมชีวการแพทย์ ภาควิชาฟิสิกส์อุตสาหกรรมและอุปกรณ์การแพทย์ คณะวิทยาศาสตร์ประยุกต์ มหาวิทยาลัยเทคโนโลยีพระจอมเกล้าพระนครเหนือ บางซื่อ กรุงเทพมหานคร 10800

<sup>2</sup> งานนวัตกรรมทางการแพทย์ โรงพยาบาลราชวิถี

### บทคัดย่อ

ปริญญานิพนธ์ฉบับนี้นำเสนอต้นแบบการสร้างเครื่องช่วยวัดการเคลื่อนของข้อทางรังสีแบบวัดข้อเท้า เป็นอุปกรณ์การแพทย์ในการทดสอบการเคลื่อนที่ของข้อเท้ารวมถึงประเมินความมั่นคงของ ข้อเท้าที่อาจเกิดจากการเสื่อมหรือการบาดเจ็บของข้อโดยจะอัดแรงไปยังตำแหน่งที่ต้องการ จากนั้นแพทย์จะทำการฉายรังสีเอกซ์ซึ่งจะวัดระยะของข้อที่คลาดเคลื่อนจากความเป็นจริง เพื่อประเมิน ใช้เป็นระยะอ้างอิงในการรักษา ซึ่งเครื่องช่วยวัดการเคลื่อนของข้อทางรังสีแบบวัดข้อเท้าจะมีการประยุกต์ใช้มอเตอร์แนวราบ ในการสร้างแรงอัดไปยังข้อเท้าของผู้ป่วยซึ่งภายในตัวของแป้นอัดแรงจะมีเซ็นเซอร์ตรวจวัดน้ำหนัก ซึ่งทำการรับแรงอัดจากมอเตอร์แล้วแปลงค่าแรงอัดนั้นเป็นค่านิวตัน ซึ่งในการอัดแรงนั้นค่าแรงที่ใช้ในการอัดบริเวณข้อของผู้ป่วยขึ้นอยู่กับตำแหน่งของอวัยวะนั้นๆ จึงสามารถทำการตั้งค่า ซึ่งจะควบคุมผ่านทางแอปพลิเคชันบนโทรศัพท์มือถือที่เชื่อมต่อด้วย ระบบบลูทูธ

### Abstract

This project presents a prototype of Stress Radiographic Device of Ankle which is instrument device for test the movement of ankle caused by Osteoarthritis or joint's injury of the patient by compression force to the position wanted. After that, the doctor will x-ray the joint and measure the distance of deviation's bone from the true for evaluate the patient's joint working and to be a distance reference This device will be applied the linear actuator motor to create the compression force to the patient's ankle. So, it have load cell

sensor in the cushion to convert the compression force form linear actuator motor in newton unit. The force that the doctor use, it is based on the position so the stress radiographic device of ankle has been created. This device will connect Bluetooth with application on smartphone to control the compression force.

### 1. บทนำ

ความมั่นคงของข้อ เกิดจากการทำงานร่วมกันของส่วนต่างๆ ที่ประกอบเป็นข้อ เริ่มตั้งแต่กระดูก หมอนรองกระดูก เส้นเอ็นที่ยึดกระดูกระหว่างข้อ รวมทั้งกล้ามเนื้อรอบข้อนั้น เมื่อมีการได้รับบาดเจ็บ ของเส้นเอ็นที่ยึดกระดูกระหว่างข้อ ย่อมทำให้ข้อนั้นสูญเสียการทำงาน มีอาการข้อไม่มั่นคง จนทำให้ไม่สามารถทำกิจกรรมเหมือนที่เคยทำก่อนได้รับบาดเจ็บได้ การประเมินความมั่นคงของข้อนั้นเริ่ม จากการตรวจร่างกายของผู้ป่วย โดยการใส่แรงของผู้ตรวจบังคับให้ข้อเคลื่อนไปในทิศทางต่าง ๆ ของ เอ็นที่จะทดสอบ โดยบันทึกผลเป็นระดับการเคลื่อนของข้อจากการอ้างอิงระยะการเคลื่อนของข้อที่ผู้ตรวจพบ การเอ็กซเรย์คลื่นแม่เหล็กไฟฟ้า (Magnetic resonance imaging, MRI) สามารถเพิ่มความถูกต้องในการวินิจฉัยการผิดปกติของเส้นเอ็นเพราะสามารถเห็นรูปร่างของเอ็นได้ แต่ก็ยังเป็นเพียงการ วินิจฉัยในด้านรูปร่างเท่านั้น ไม่ได้บ่งบอกถึงการทำงานของเส้นเอ็น เช่น เอ็นที่ยึดจนทำให้ข้อหลวม ก็อาจจะวินิจฉัยได้ว่าเอ็นไม่ขาด หรือขาดบางส่วน เป็นต้น และยังมีข้อจำกัดในการตรวจหลังผ่าตัด เนื่องจากในการผ่าตัดเอ็นจะมีการใช้วัสดุช่วยยึดเอ็นทำให้ภาพที่ได้มาไม่ชัด แต่การใช้เครื่องวัดการเคลื่อนของข้อทางรังสีร่วมกับการ

เอ็กซ์เรย์นั้นจะสามารถช่วยในการ วินิจฉัยให้ถูกต้องมากยิ่งขึ้น โดยการใส่แรงกดไปยังข้อเคลื่อนไปในทิศทางต่าง ๆ ของเอ็นที่จะทดสอบ จากนั้นทำการถ่ายภาพรังสีเอ็กซ์เรย์และทำการบันทึกผลเป็นระดับการเคลื่อนของข้อจากการอ้างอิง ระยะการเคลื่อนของข้อที่ผู้ตรวจพบในหน่วยเซนติเมตรเพื่อเทียบเป็นค่าอ้างอิงกับค่าที่ทำการวัด หลังจากผู้ป่วยได้รับการผ่าตัดไปแล้ว จากที่ได้กล่าวมาข้างต้นปริญญานิพนธ์นี้จึงจัดทำเครื่องช่วยวัดการเคลื่อนของข้อทางรังสี แบบ วัดข้อเท้า สำหรับผู้ป่วยที่ได้รับบาดเจ็บของเส้นเอ็นที่ยึดกระดูกระหว่างข้อหรือมีอาการข้อเสื่อม (Osteoarthritis) เพื่อรักษาภาวะเอ็นฉีกขาดในข้อเท้าหรือเอ็นที่ได้รับบาดเจ็บที่ข้อเท้า ซึ่งสามารถควบคุมแรงในการดันข้อเท้าให้คงที่ รวมไปถึงการสามารถแสดงน้ำหนักของแรงที่ดันไปยังข้อเท้าของ ผู้ป่วยได้ทำการปรับปรุงรูปร่างและโครงสร้างเพื่อเพิ่มความสะดวกในการทำงานให้มากยิ่งขึ้น

## 2. วิธีการดำเนินงาน

### 2.1 ทฤษฎีที่เกี่ยวข้อง

2.1.1 ข้อหรือข้อต่อ (Joints) ในทางกายวิภาคศาสตร์ หมายถึง บริเวณที่กระดูกตั้งแต่ 2 ชิ้นขึ้นไปมี การติดต่อกัน โดยที่มีกระดูกอ่อนหุ้มที่ปลายกระดูกและปกคลุมรอบตัวเยื่อข้อ ซึ่งทำหน้าที่สร้างน้ำหล่อลื่นและยังช่วยห่อหุ้มให้แข็งแรงและมั่นคง ภายนอกข้อต่อที่สำคัญคือ เอ็นยึดข้อ หรือบางทีจะมีหมอนกระดูกอ่อนรองข้อ เช่น ข้อเข่าทำให้กระดูกมีการทำงานร่วมกันเป็นระบบ เพื่อการค้ำจุน ปกป้องร่างกายและการเคลื่อนไหวในรูปแบบต่าง ๆ ที่เหมาะสม

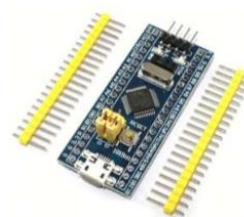
2.1.2 ข้อเสื่อม (Osteoarthritis) เป็นอาการที่กระดูกอ่อน (Cartilage) ในข้อต่อกระดูกเสื่อมสภาพจาก ปัจจัยเสี่ยงต่าง ๆ เช่น อายุ การใช้งาน เป็นต้น การเสื่อมสภาพของกระดูกอ่อนส่งผลให้กระดูกเสียดสี กันหรือเกิดแรงกดมากขึ้นจนทำให้เจ็บบริเวณข้อต่อและขยับข้อต่อลำบาก หากไม่รักษาอาการอาจรุนแรงขึ้นหรือเกิดภาวะแทรกซ้อนได้ โดยทั่วไปแล้ว Osteoarthritis มักเกิดบริเวณข้อนิ้วมือ เข่า สะโพก กระดูกสันหลัง และเกิดขึ้นได้กับทุกคน โดยเฉพาะผู้สูงวัยที่อายุมากกว่า 50 ปี

2.1.3 X-ray เป็นการตรวจวินิจฉัยซึ่งมีที่มาจากชื่อของรังสีที่ใช้ในการตรวจ นั่นก็คือรังสี X โดยรังสีดังกล่าวมี ลักษณะเป็นคลื่นแม่เหล็กไฟฟ้า ทั้งนี้การเอกซเรย์จะช่วยให้เห็นภาพของอวัยวะภายในรูปแบบของ ภาพขาวดำที่มีปริมาณความเข้มที่ต่างกัน การเอกซเรย์ส่วนใหญ่มักจะใช้ในการตรวจดูความผิดปกติ ของกระดูกส่วนต่างๆเช่น ข้อเท้า และทรอกอก เป็นต้น โดยปกติแล้วเนื้อเยื่อในร่างกายของเราจะมีคุณสมบัติในการดูดซับรังสีที่แตกต่างกัน จึงทำให้ ภาพที่ออกมามีความชัดเจนไม่เท่ากัน เช่น แคลเซียมในกระดูกจะดูดซับรังสีได้มากที่สุด จึงทำให้เห็น ภาพเอกซเรย์กระดูกเป็นสีขาว ในขณะที่ไขมันและเนื้อเยื่ออื่นๆ จะดูดซับได้น้อยจึงทำให้เห็นเป็นเพียงสีเทา ส่วนอากาศจะดูดซับได้น้อยที่สุด จึงทำให้เมื่อเอกซเรย์ปอดออกมาแล้วเป็นสีดำโดยในการ เอกซเรย์อาจมีการใช้สื่อกลางที่เป็นสารเคมีเช่น ไอโอดีนหรือแบเรียม เพื่อช่วยให้เห็นภาพได้ชัดขึ้น

## 2.2 อุปกรณ์ที่ใช้ในวงจรการทำงาน

### 2.2.1 บอร์ด STM32F103C8T6 ARM Cortex-M3

STM32F103C8T6 รองรับ โปรแกรม Arduino IDE บอร์ด STM32F103C8T6 ARM Cortex-M3 เป็น MCU 32 บิต ความถี่สัญญาณนาฬิกาสูงสุด 72 MHz แรม 20 K หน่วยความจำ Flash 64 K ใช้ไฟเลี้ยง 2-3.6 โวลต์ ลักษณะของบอร์ด STM32F103C8T6 ARM Cortex-M3



รูปที่ 1 บอร์ด STM32F103C8T6 ARM Cortex-M3

### 2.2.2 มอเตอร์ไฟฟ้าตัวกระตุ้นเชิงเส้น (Linear Actuator Motor)

เครื่องกระตุ้นเชิงเส้นเชิงกลพร้อมการอ่านข้อมูลดิจิทัล (ไมโครมอเตอร์ชนิดหนึ่ง) การดำเนินการของสกรูกลิ้งด้วยสกรูสำหรับการเดินทาง (หมุนนี้) โดยทั่วไปแล้วแอกชูเอเตอร์เชิงกลจะทำงานโดยการแปลงการเคลื่อนที่แบบหมุนเป็นการเคลื่อนไหวเชิงเส้น



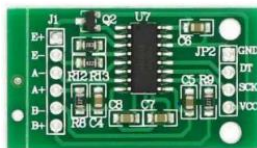
### 2.2.3 โมดูลควบคุมมอเตอร์ไฟฟ้ากระแสตรง VNH2SP30



### 2.2.4 เซนเซอร์สำหรับตรวจวัดน้ำหนัก 20 กิโลกรัม

โหลดเซลล์ (Load Cell) คือ เซนเซอร์สำหรับตรวจวัดน้ำหนัก แรงกระทำทางกล หรือปริมาณของวัตถุที่ต้องการทราบค่า โดยใช้สเตรนเกจ (Strain Gauge) ซึ่งก็คือเครื่องมือที่ใช้ในการตรวจวัดแรงดึงเครียด (Strain) ของวัตถุมาติดตั้งในบริเวณที่มีการเปลี่ยนแปลงรูปทรงของโหลดเซลล์ เมื่อมีแรงมากระทำกับตัวโหลดเซลล์ จะทำให้สเตรนเกจ (Strain Gauge) ที่ติดอยู่ในบริเวณที่มีการเปลี่ยนแปลงรูปทรง ยืด หรือ หดตัว ทำให้ค่าความต้านทานที่ตัวสเตรนเกจ (Strain Gauge) เปลี่ยนไป

### 2.2.5 โมดูลขยายสัญญาณ รุ่น HX711



### 2.2.6 สวิตซ์เพาเวอร์ซัพพลาย

### 2.2.7 โมดูลแปลงไฟเรกูลเตอร์ DC-to-DC Step Down Converter LM2596



### 2.4.8 โมดูลตัวแปลงสัญญาณขาออก USB KIS3R33S



### 2.4.9 โมดูลบลูทูธ HC-06



### 2.4.10 สวิตซ์แบบกดดับปล่อยติด



2.4.11 โปรแกรม Arduino IDE [17] IDE (Integrated Development Environment) คือ ซอฟต์แวร์เครื่องมือสำหรับพัฒนา โปรแกรม ซึ่งมีสิ่งอำนวยความสะดวกต่าง ๆ เช่น RUN, Compile, DEBUG ซึ่งมี GUI ที่ถูกออกแบบ มาให้มีสภาวะแวดล้อม (Environment) เหมาะสมการพัฒนาโปรแกรม โดยหน้าที่หลักของ IDE คือ การเขียนไฟล์เปิดไฟล์ บันทึกไฟล์ ทดสอบการทำงาน จัดเตรียมข้อมูล รวมถึงจัดการ Directory สำหรับภาษานั้นๆ ที่รองรับ

2.4.12 โปรแกรมสร้างแอปพลิเคชัน MIT App Inventor เป็นเครื่องมือที่ใช้สำหรับสร้าง App บนระบบปฏิบัติการ Android ที่ใช้หลักการของ Component-based Software Development ในรูปแบบของ Visual Programming นอกจากนั้นยังใช้หลักการการประมวลผลแบบ Client/Server ทำให้เครื่องที่ใช้ในการสร้าง Apps ไม่ต้องติดตั้งโปรแกรมเพิ่มเติม ทำให้สะดวกในการใช้งาน ง่ายต่อการทำความเข้าใจ เหมาะสมสำหรับนักเรียน นักศึกษา หรือผู้ที่สนใจเริ่มต้นเขียน โปรแกรมบนระบบปฏิบัติการ Android โดยจะมี ข้อจำกัดอยู่บ้างตรงที่

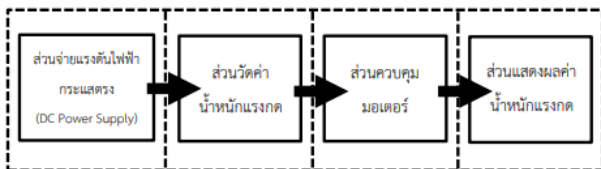
Framework ที่มี ไม่ครอบคลุมขนาด จอภาพของอุปกรณ์ที่ หลากหลาย และ ตลอดเวลาที่ใช้งานเครื่องมือนี้จะต้องเชื่อมต่อ Internet อยู่ตลอดเวลาด้วย

### 2.4.13 เครื่องวัดแรงดึง-แรงกด (Push Pull Gauge) รุ่น nk-500



### 3.การออกแบบและการดำเนินการ

เมื่อมีการตั้งค่าแรงกดที่ต้องการในการดันแรงผ่านแอปพลิเคชันบนโทรศัพท์ โดยใช้มอเตอร์ไฟฟ้ากระแสตรง (DC Linear Actuator Motor) 12 โวลต์ ทำการสร้างน้ำหนักที่ใช้เป็นแรงกด จะมีเซนเซอร์ตรวจวัดและ รับแรงกด (Load Cell) จะทำการตรวจวัดแรงกดที่ใช้ ซึ่งเมื่อได้น้ำหนักตามที่ตั้งค่าไว้มอเตอร์จะหยุดทำงานตามคำสั่งในกระบวนการประเมินผล และมีการแสดงค่าแรงกดที่ได้บนหน้าจอโทรศัพท์แบบ Real time

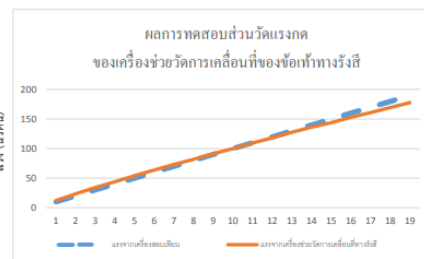


### 4.การทดสอบและผลการทดสอบ

วิธีการทดสอบโครงการเรื่องการออกแบบและการสร้างของ เครื่องช่วยวัดการเคลื่อนที่ของข้อเท้า ทางรังสี (Stress Radiographic Device of Ankle) ได้แบ่งการทดสอบ ดังนี้

4.1 การทดสอบส่วนวัดแรงกดของเครื่องช่วยวัดการเคลื่อนที่ของข้อเท้าทางรังสี การทดสอบอุปกรณ์ดันแรงกดแนวข้อเท้า โดยเปรียบเทียบกับเครื่องวัดแรงดึง-แรงกด (Push Pull Gauge) รุ่น nk-500 หรือเรียกว่า เครื่องสอบเทียบ โดยทดสอบที่แรงกดคือ 10, 20, 30, 40, 50, 60, 70, 80, 90, 100, 110, 120, 130, 140,

150, 160, 170, 180 และ 190 ทั้งหมดแรงละ 10 รอบ โดยทำการติดตั้งอุปกรณ์และนำผลที่อ่านได้จากส่วนวัด แรงกดของ อุปกรณ์เครื่องช่วยวัดการเคลื่อนที่ของข้อเท้าทางรังสีไปเปรียบเทียบกับเครื่องวัดแรงดึง-59 แรงกด (Push Pull Gauge) รุ่น nk-500 เพื่อทดสอบการทำงานในส่วนวัดแรงกดที่ใช้ดันข้อเท้า



4.2 ทดสอบส่วนควบคุมหยุดการทำงานฉุกเฉินเครื่องช่วยวัดการเคลื่อนที่ของข้อเท้าทางรังสี การทดสอบส่วนควบคุมหยุดการทำงานฉุกเฉินเครื่องช่วยวัดการเคลื่อนที่ของข้อเท้าทางรังสีทั้งหมด 10 ครั้ง ทำการทดสอบในระหว่างการใช้งานเครื่องช่วยวัดการเคลื่อนที่ของข้อเท้าทางรังสี ทำการสั่งหยุดการทำงานแบบทันทีผ่านทางสวิทช์ที่อยู่บริเวณเครื่องและผ่านทาง Smartphone จากนั้นนำผลที่ทดสอบได้จากส่วนควบคุมหยุดการทำงานฉุกเฉินเครื่องช่วยวัดการเคลื่อนที่ของข้อเท้า ทางรังสีไปบันทึกผลการทดสอบ

### 5. สรุปผล

จากผลการทดสอบการทำงานในส่วนวัดแรงกด ของ เครื่องช่วยวัดการเคลื่อนที่ของข้อเท้าทาง รังสี พบว่า ส่วนวัดแรงกดที่ใช้ดันแรง มีค่าความคลาดเคลื่อนเฉลี่ยไม่เกิน 0.1946 และค่าความไม่แน่นอนของการวัดเท่ากับ  $\pm 2.5$  นิวตัน เมื่อ

เปรียบเทียบกับเครื่องวัดแรงดึง-แรงกด (Push Pull Gauge) รุ่น nk-500 ซึ่งใช้เป็นเครื่องสอบเทียบและจากกราฟแสดงผลทดสอบปรากฏว่าในช่วงแรงกด ที่ 100-110 นิวตัน มีการซ้อนทับกันของกราฟจากเครื่องสอบเทียบและกราฟจากเครื่องช่วยวัดการเคลื่อนที่ของข้อเท้าทางรังสี เมื่อนำค่าความคลาดเคลื่อนของน้ำหนักในช่วงที่ 100-110 นิวตัน มาคิดเป็นค่าความคลาดเคลื่อนเท่ากับ  $\pm 0.0025$  สามารถคิดเป็นเปอร์เซ็นต์ความคลาดเคลื่อนเฉลี่ยเท่ากับ  $\pm 0.25$  เปอร์เซ็นต์ จากการทดสอบส่วนควบคุมหยุดการทำงานฉุกเฉินเครื่องช่วยวัดการเคลื่อนที่ของข้อเท้าทางรังสี พบว่า เมื่อทำการสั่งหยุดการทำงานแบบทันทีผ่านทางสวิตช์และทาง Smartphone ทั้งหมด 10 ครั้ง เครื่องสามารถหยุดการทำงานได้ในทันทีทุกครั้งที่เกิดขึ้น ผล ดังนั้นส่วนควบคุมหยุดการทำงานฉุกเฉิน เครื่องช่วยวัดการเคลื่อนที่ของข้อเท้าทางรังสี จึงสามารถยอมรับได้

### กิตติกรรมประกาศ

งานวิจัยนี้เล่มนี้สำรวจลงได้ด้วยความกรุณาช่วยเหลือแนะนำอย่างดียิ่งจาก รศ.ดร.สุรพันธ์ ยิ้มมั่น อาจารย์ที่ปรึกษาโครงการและ นายบรรจง ถันทอง ที่ปรึกษาโครงการฝ่ายนวัตกรรมโรงพยาบาลราชวิถีที่ได้สละเวลาอันมีค่ามาให้คำปรึกษาแนะนำและให้ข้อคิดเห็นต่างๆ ในการวิจัยตลอดจนแก้ไขข้อบกพร่องต่างๆมาโดยตลอด ผู้วิจัยขอกราบขอบพระคุณเป็นอย่างสูง

### เอกสารอ้างอิง

[1] ความหมาย ชนิด และการเคลื่อนไหวนของข้อต่อ. (2559). [ออนไลน์]. [สืบค้นวันที่ 3 กุมภาพันธ์ 2564]. จาก <http://fat.surin.rmuti.ac.th/teacher/songchai/skeleton%20web/joint%20compose.htm>

[2] ความหมายข้อเสื่อม (Osteoarthritis). (2560). [ออนไลน์]. [สืบค้นวันที่ 3 กุมภาพันธ์ 2564]. จาก <https://www.pobpad.com/osteoarthritis>

[3] sanomaru. (2560). [ออนไลน์]. รังสีเอกซ์ (X-rays) คืออะไร. [สืบค้นวันที่ 3 กุมภาพันธ์ 2564]. จาก

<https://www.trueplookpanya.com/knowledge/content/66435/-blo-sciphy- sci-xray.com>

[4] STM32F103C8T6 ARM Cortex-M3 Development Board. (2563). [ออนไลน์]. [สืบค้นวันที่ 3 กุมภาพันธ์ 2564]. จาก <http://fitrox.lnwshop.com/product/24/stm32f103c8t6-arm-cortex-m3-development-board>

[5] หลักการของมอเตอร์กระแสไฟฟ้าตรง. (2559). [ออนไลน์]. <https://sites.google.com/site/seennoppadon015/mxtexr/mxtexr>

[6] หลักการทำงานของเซนเซอร์สำหรับตรวจวัดน้ำหนัก. (2562). [ออนไลน์]. [สืบค้นวันที่ 18 กุมภาพันธ์ 2564]. จาก <https://www.thaieasyelec.com/article-wiki/review-product-article/how...>



# หุ่นจำลองการฟังเสียงปอด Model for Lung Sound

ชยพัทธ์ แก้วเพ็ง<sup>1</sup>, ธิดารัตน์ หวังคำ<sup>1</sup>, ธีรวุฒิ นาคนครสิงห์<sup>2</sup>, พงษ์ เฉลยอยู่<sup>1</sup>, สรณธรรม ใจสมคม<sup>1</sup>

<sup>1</sup>สาขาวิศวกรรมชีวการแพทย์ ภาควิชาฟิสิกส์อุตสาหกรรมและอุปกรณ์การแพทย์ คณะวิทยาศาสตร์ประยุกต์ มหาวิทยาลัยเทคโนโลยีพระจอมเกล้าพระนครเหนือ กรุงเทพมหานคร 10800

Email: saranathum@gmail.com

<sup>2</sup>บริษัท อาร์เอฟเอส จำกัด, โรงพยาบาลรามาริบดิจักษ์รัตนอุบลินทร์, สมุทรปราการ, 10540

## บทคัดย่อ

ในปัจจุบันพบว่าโรคระบบทางเดินหายใจและโรคปอดมีอัตราการเกิดโรคและอัตราการเสียชีวิตสูงยิ่งขึ้น แต่เนื่องด้วยโรคเกี่ยวกับปอดมีหลากหลายโรค ปัญหาที่พบได้บ่อยคือ บุคลากรทางการแพทย์ที่ขาดความชำนาญ วินิจฉัยโรคผิดพลาด ทำให้เกิดผลเสียต่อชีวิตและทรัพย์สินของผู้ป่วยรวมถึงชื่อเสียงของโรงพยาบาล ดังนั้นคณะผู้จัดทำจึงได้มีแนวคิดที่จะทำโครงการสร้างหุ่นจำลองการฟังเสียงปอด ในการนำไปใช้ในการสอน สาธิต ให้กับบุคลากรทางการแพทย์ที่เกี่ยวข้อง ได้ฝึกฟังเสียงและ หาดำแหน่งในการฟังเสียงของโรคปอด เพื่อให้มีความชำนาญ และมีความแม่นยำในการวินิจฉัยโรคมกยิ่งขึ้น โดยสามารถใช้แอปพลิเคชันบนสมาร์ตโฟนในการเลือกเสียงของโรคปอดได้

**คำสำคัญ:** หุ่นจำลองการฟังเสียงปอด, การฟังเสียงปอด, หุ่นจำลองทางการแพทย์

## Abstract

At present it has been found that respiratory and lung diseases have a higher incidence and mortality rate. But there are a variety of lung diseases. The most common problems are Lack of expertise in medical personnel is misdiagnosed. It has a negative effect on the life and property of the patient, as well as the reputation of the hospital.

Therefore, the organizers have an idea to create a project to create a model for lung sound. For use in teaching demonstrations to relevant medical personnel have practiced listening to the sound and Finding a position for listening to lung disease to have expertise and to be more accurate in diagnosing disease. You can use an app on your smartphone to select the sound of lung disease.

**KEYWORDS:** model for lung sound, auscultation of lungs, lung sound, medical model

## 1. บทนำ

เนื่องด้วยในปัจจุบันเมื่อพูดถึงโรคระบบทางเดินหายใจและโรคปอด บางคนอาจมองว่าเป็นโรคทั่วไปที่พบได้บ่อย และไม่ใช่โรคที่ร้ายแรง อีกทั้งสามารถเกิดขึ้นได้กับทุกวัย ซึ่งในปัจจุบันทั่วโลกมีประชากรที่พบว่าเป็นโรคปอดในอัตราที่สูงขึ้น และยังเป็นสาเหตุของการเสียชีวิตของประชากรโลกสูงยิ่งขึ้น นอกจากนั้นยังเป็นโรคที่ต้องให้การรักษาอาการป่วยเรื้อรังจึงทำให้ผู้ป่วยต้องมาพบแพทย์เพื่อทำการรักษา แต่เนื่องด้วยโรคเกี่ยวกับปอดมีหลากหลายโรค จึงเป็นสาเหตุที่ทำให้บุคลากรที่ขาดความชำนาญเกิดการวินิจฉัยโรคที่ผิดพลาด ทำให้เกิดผลเสียต่อชีวิตและทรัพย์สินของผู้ป่วยรวมถึงชื่อเสียงของโรงพยาบาล

ดังนั้น งานวิจัยนี้จึงได้มีแนวคิดในการเสริมสร้างความชำนาญให้แก่ผู้ปฏิบัติงานในการฟังเสียงของปอดและคลำหาตำแหน่งการฟัง เพื่อลดปัญหาที่เกิดจากการวินิจฉัยโรคผิดพลาด และยังสามารถเพิ่มความมั่นใจและความปลอดภัยแก่ผู้ป่วยที่เข้ารับการรักษาโดยผู้จัดทำโครงการเล็งเห็นถึงการจำลองเสียงของโรคปอด มาใช้เพื่อฝึกฝนการฟังเสียงของโรคปอด

จากที่กล่าวมาข้างต้นจึงจัดทำหุ่นจำลองฟังเสียงปอด ให้ผู้ฝึกฝนสามารถคลำหาตำแหน่ง และได้ฟังเสียงของปอด หุ่นจำลองสามารถจำลองเสียงของโรคปอดได้ คือ เสียงปอดปกติ(normal lung) เสียงหายใจไม่ออก (Wheezes), เสียงฮีด (stridor), เสียงฮีด (rhonchi), เสียง fine crackle และตำแหน่งที่ฟังเสียงได้ ด้านหน้ามี 5 ตำแหน่ง คือ Tracheal Site, First Left intercostal, First right intercostal, Lower anterior, Midaxillary ด้านหลังมี 4 ตำแหน่ง คือ Right Upper posterior , Left Upper posterior, Right Lower posterior, Left Lower posterior โดยให้ผู้ฝึกฝนเป็นผู้ควบคุมผ่านแอปพลิเคชันบน Smartphone

## 2. วิธีการดำเนินงาน

### 2.1 การออกแบบวงจรและสร้างส่วนจ่ายแรงดันไฟฟ้า

การออกแบบและสร้างส่วนจ่ายไฟให้กับไมโครคอนโทรลเลอร์ ESP32 ได้ใช้โมดูลชาร์จแบตเตอรี่ 18650 Battery Shield V3 เป็นแหล่งพลังงานในการจ่ายไฟ ซึ่งจ่ายไฟ 5 V โดยใช้แบตเตอรี่ Li-Ion (Lithium-ion battery) เบอร์ 18650 ที่มีความจุ 1800 mAh

เซนเซอร์ RFID และ โมดูล MP3 ซึ่งใช้แรงดันไฟฟ้า 3.3 โวลต์ จึงออกแบบแรงดันไฟฟ้าขนาด 3.3 V โดยใช้ไฟ 3.3 V จาก ESP32 เป็นแหล่งพลังงานไปจ่ายให้กับเซนเซอร์ RFID และ โมดูล MP3

### 2.2 การออกแบบและสร้างส่วนโมดูล MP3

ใช้โมดูล Serial MP3 Player V1.0.1 ในการควบคุมการเล่นเสียงของโรคปอด ซึ่งใช้แรงดันไฟฟ้า 3.3 โวลต์ โดยโมดูลจะมี 4 ขา คือ ขา Vcc สำหรับต่อเข้ากับแหล่งจ่ายไฟ ขา GND ต่อเข้ากับ GND ของวงจร ขา Rx ต่อเข้ากับ Tx2 ของบอร์ด ESP32 และ ขา Tx ต่อเข้ากับ Rx2 ของบอร์ด ESP32

### 2.3 การออกแบบและสร้างส่วนเซนเซอร์ RFID

ใช้เซนเซอร์ RFID RC522 mini 13.56MHZ ในการระบุตำแหน่งการฟังเสียงของโรคปอด ซึ่งจะทำงานโดยเซนเซอร์จะทำการอ่านแท็กที่ส่งข้อมูลที่หรือหมายเลขประจำตัวออกมาเป็นคลื่นวิทยุ เซนเซอร์จะมีส่วนที่รับสัญญาณคลื่นวิทยุได้เพื่อถอดรหัสข้อมูลที่ส่งมาจากแท็ก เมื่อแท็กอยู่ในระยะที่เซนเซอร์อ่านค่าได้ เซนเซอร์จะอ่านค่าหมายเลขของแท็กนั้นออกมา ทำให้สามารถระบุแท็กแต่ละตัวได้ เซนเซอร์จะใช้แรงดันไฟฟ้า 3.3 โวลต์ โดยจะมี 7 ขา คือ ขา Vcc สำหรับต่อเข้ากับแหล่งจ่ายไฟ ขา GND ต่อเข้ากับ GND ของวงจร ขา RST ต่อเข้ากับขา D22 ของบอร์ด ESP32 ขา SDA ต่อเข้ากับ D21 ของบอร์ด ESP32 ขา MOSI ต่อเข้ากับ D23 ของบอร์ด ESP32 ขา MISO ต่อเข้ากับ D19 ของบอร์ด ESP32 และ ขา SCK ต่อเข้ากับ D18 ของบอร์ด ESP32

### 2.4 การออกแบบและสร้างหุ่นจำลองสำหรับการฟังเสียงปอด

ออกแบบหุ่นจำลองฟังเสียงปอดโดยทำการฝังแท็ก RFID ไว้ในหุ่นตามตำแหน่งต่างๆ ด้านหน้ามี 5 ตำแหน่ง คือ Tracheal Site, First Left intercostal, First right intercostal, Lower anterior, Midaxillary ด้านหลังมี 4 ตำแหน่ง คือ Right Upper posterior , Left Upper posterior, Right Lower posterior,

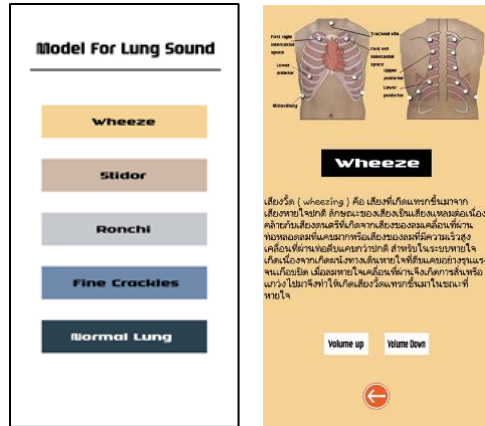
Left Lower posterior เพื่อใช้ในการระบุตำแหน่งในการฟังเสียงปอด (ดังรูปที่ 1) เมื่อเซนเซอร์ RFID มาอ่านค่าแท็ก RFID ตามตำแหน่งที่ตั้งอยู่ในหุ่น ก็จะได้เสียงเสียงของปอดในตำแหน่งนั้นๆ



รูปที่ 1. แสดงการออกแบบหุ่น และตำแหน่งที่ติดแท็ก RFID

## 2.5 การออกแบบและสร้างส่วนควบคุมการเลือกเสียงปอดผ่านแอปพลิเคชัน

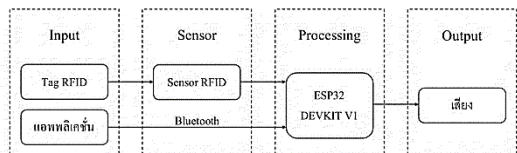
แอปพลิเคชันที่ได้ออกแบบไว้เริ่มต้นจากการเชื่อมต่อผ่าน Bluetooth กับตัวบอร์ด ESP32 จากนั้นเมื่อเชื่อมต่อสำเร็จจะพบกับหน้าต่างหลักของแอปพลิเคชัน ซึ่งมีให้เลือกโหมดของเสียงปอด 5 โหมดด้วยกัน  
 1. Wheeze 2. Stidor 3. Ronchi 4. Fine crackles 5. Normal lung เมื่อทำการเลือกโหมดใดโหมดหนึ่ง จะเข้าไปที่หน้าต่างของโหมดนั้น ซึ่งจะสามารถกดปุ่มสั่งการทำงานในโหมดเสียงนั้นได้ และยังมีปุ่มสำหรับเพิ่มเสียงและลดเสียง รวมถึงมีข้อมูลอธิบายลักษณะเสียงของโรคนั้นด้วย (ดังรูปที่ 2.)



รูปที่ 2. การออกแบบหน้าแอปพลิเคชัน

## 2.6 การออกแบบการทำงานโปรแกรมไมโครคอนโทรลเลอร์

การทำงานของโปรแกรมโดยเริ่มต้นจากการกำหนดค่าเริ่มต้นต่างๆให้กับระบบ การกำหนดฟังก์ชันการทำงานของอุปกรณ์รับข้อมูลและส่งข้อมูล โดยใช้ Application บน Smartphone เป็นตัวควบคุมการทำงานในการเลือกใช้ฟังก์ชันต่างๆในการฟังเสียง โดยเมื่อเลือกโหมดเสียงแล้ว จะส่งข้อมูลผ่าน Bluetooth ไปที่ไมโครคอนโทรลเลอร์เพื่อประมวลผล จากนั้นนำตัว RFID ซึ่งเป็นเซนเซอร์ในการตรวจจับแท็ก RFID เมื่อนำไปสัมผัสตามตำแหน่งที่ได้ติดตั้งแท็ก RFID ไว้กับตัวหุ่น จะเกิดการ Detect และส่งค่าไปยังไมโครคอนโทรลเลอร์เพื่อประมวลผลและทำการสั่งการให้ Module MP3 ทำงานตามโหมดเสียงที่เลือกไว้ใน Smartphone (ดังรูปที่ 3)



รูปที่ 3 แสดงหลักการทำงานหุ่นจำลองฟังเสียงปอด

## 2.7 การประกอบวงจร

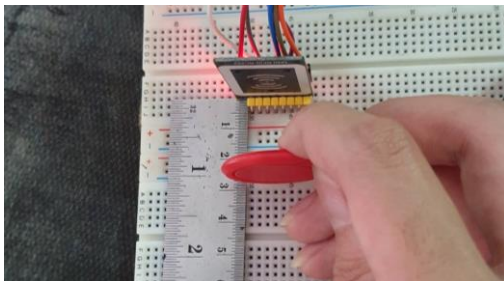
การประกอบวงจรชุดอุปกรณ์สำหรับฟังของ model for lung sound (ดังรูปที่ 4)



รูปที่ 4 การประกอบวงจรชุดอุปกรณ์

## 3. ผลการทดลองและการอภิปรายผล

3.1 ทำการทดลองวัดระยะการทำงานของ sensor RFID โดยการวัดระยะห่างของ sensor RFID กับแท็ก RFID ในระยะที่ไกลที่สุดที่สามารถทำงานได้ (ดังตารางที่ 1 และ รูปที่ 5) โดยทำการทดสอบทั้งหมด 10 ครั้ง แล้วนำมาหาค่าเฉลี่ย ค่าระยะที่ sensor สามารถ จาก Data sheet ระยะที่ ได้คือ 3 cm



รูปที่ 5 การทดลองวัดระยะการทำงานของ sensor RFID

ตารางที่ 1 แสดงผลการทดลองที่ทำการวัดระยะการทำงานของ sensor RFID

| ครั้งที่ | ระยะการที่วัดได้ (cm) |
|----------|-----------------------|
| 1        | 2.8                   |
| 2        | 2.5                   |

|           |      |
|-----------|------|
| 3         | 2.6  |
| 4         | 2.8  |
| 5         | 2.8  |
| 6         | 2.8  |
| 7         | 2.6  |
| 8         | 2.7  |
| 9         | 2.7  |
| 10        | 2.6  |
| ค่าเฉลี่ย | 2.69 |

การคำนวณค่า % Error โดยจะคำนวณได้จากค่าจาก Data sheet และการหาค่าเฉลี่ยของระยะที่วัดได้

$$\frac{\text{ค่าจริง} - \text{ค่าเฉลี่ยจากการทดลอง}}{\text{ค่าจริง}} \times 100\% \quad (1)$$

จากตารางที่ 1 พบว่า มีค่าคลาดเคลื่อนที่ 10.33 %

3.2 ทำการทดลองการทำงานของ sensor RFID กับแท็ก RFID ที่ติดอยู่ในตัวหุ่น โดยจะทำการวัดว่าตรวจเจอแท็ก RFID หรือไม่เจอแท็ก RFID (ดังรูปที่ 6 และ รูปที่ 7)



รูปที่ 7 การทดลองการทำงานของ sensor RFID กับหุ่นจำลองฟังเสียงปอด

ตารางที่ 2 แสดงผลการทดลองการทำงานของ sensor RFID กับแท็ก RFID ที่ติดอยู่ในตัวหุ่น

| ตำแหน่งบนหุ่น           | ครั้งที่ 1 | ครั้งที่ 2 | ครั้งที่ 3 |
|-------------------------|------------|------------|------------|
| Tracheal site           | Detect     | Detect     | Detect     |
| First right intercostal | Detect     | Detect     | Detect     |
| First left intercostal  | Detect     | Detect     | Detect     |
| Lower anterior          | Detect     | Detect     | Detect     |
| Midaxillary             | Detect     | Detect     | Detect     |
| Right Upper posterior   | Detect     | Detect     | Detect     |
| Left Upper posterior    | Detect     | Detect     | Detect     |
| Right Lower posterior   | Detect     | Detect     | Detect     |
| Left Lower posterior    | Detect     | Detect     | Detect     |

#### 4. สรุปการทดลอง

จากการทดลองวัดระยะการทำงานของ sensor RFID โดยการวัดระยะห่างของ sensor RFID กับแท็ก RFID ในระยะที่ไกลที่สุดที่สามารถทำงานได้ โดยทำการทดสอบทั้งหมด 10 ครั้ง แล้วนำมาหาค่าเฉลี่ย ระยะที่วัดได้จริงมีค่าเฉลี่ย 2.69 cm ซึ่งน้อยกว่า ระยะตาม Data sheet ที่มีค่า 3 cm จะพบว่ามีความคลาดเคลื่อนที่ 10.33 % และ จากการทดลองการทำงานของ sensor RFID กับหุ่นจำลองฟังเสียงปอด พบว่า sensor RFID สามารถ Detect ได้และได้ยินเสียงของโรคปอด

#### 5. กิตติกรรมประกาศ

งานวิจัยนี้ได้รับการสนับสนุนเป็นอย่างดีจาก ภาควิชาฟิสิกส์อุตสาหกรรมและอุปกรณ์การแพทย์

มหาวิทยาลัยเทคโนโลยีพระจอมเกล้าพระนครเหนือและ แผนกเครื่องมือแพทย์ บริษัท อาร์เอฟเอส จำกัด คณะผู้จัดทำขอขอบพระคุณอาจารย์ที่ปรึกษาและ แผนกเครื่องมือแพทย์ บริษัท อาร์เอฟเอส จำกัด ที่กรุณาให้คำแนะนำและคำปรึกษาในการจัดทำหุ่นจำลองการฟังเสียงปอดเป็นอย่างดี

#### เอกสารอ้างอิง

- [1] HellAngel, “โรคเกี่ยวกับปอด”, [Online]. Available:<https://sites.google.com/site/hellange13782/pxd>. [Accessed: 13 พฤศจิกายน 2563].
- [2] Amprohealth, “Abnormal Sound During Breathing”, [Online]. Available: <https://amprohealth.com/symptoms/abnormal-sound-during-breathing/>. [Accessed: 24 เมษายน 2564].
- [3] ThaiNurseClub, “การตรวจร่างกายระบบการหายใจ”, [Online]. Available: <http://thainurseclub.blogspot.com/2015/04/2.html>. [Accessed: 31 มีนาคม 2564].
- [4] บทความการดูแลสุขภาพ และเคล็ดลับเพื่อสุขภาพดี, “การประเมินทางระบบหายใจผู้ป่วย”, [Online]. Available: <https://www.healthcarethai.com/ระบบหายใจผู้ป่วย/>. [Accessed: 13 เมษายน 2564].
- [5] ทันพงษ์ ภูรักษา, “ความรู้เกี่ยวกับไมโครคอนโทรลเลอร์เบื้องต้น”, [Online]. Available: [http://www.sbt.ac.th/new/sites/default/files/TNP\\_Unit\\_1.pdf](http://www.sbt.ac.th/new/sites/default/files/TNP_Unit_1.pdf). [Accessed: 1 พฤศจิกายน 2563].

- [6] robotsiam, “รู้จัก ไมโครคอนโทรลเลอร์ ESP32”, [Online]. Available: <https://www.robotsiam.com/article/42/esp32-1-รู้จัก-ไมโครคอนโทรลเลอร์-esp32>. [Accessed: 1 พฤศจิกายน 2563].
- [7] SUPPORT THAIEASYELEC, “RFID ตอนที่ 1 ความรู้เบื้องต้นเกี่ยวกับ RFID”, [Online]. Available: <https://blog.thaieasyelec.com/rfid-ch1-basic-rfid/>. [Accessed: 1 พฤศจิกายน 2563].
- [8] mindzone, “การพัฒนาโมบายแอปพลิเคชันคืออะไร”, [Online]. Available: <https://www.mindzone.net/content/article/การพัฒนาโมบายแอปพลิเคชันคืออะไร>. [Accessed: 2 พฤศจิกายน 2563].

# ระบบแสดงผลและแจ้งเตือนในห้องสะอาดหรือห้องปลอดเชื้อ

## Cleanroom Monitoring Real-time and Alarm System

ปภาสรณ์ หล้าเนียม<sup>1</sup>, ภาณุวัฒน์ ดินดำ<sup>1</sup>, สุเมธ อ่ำชิต<sup>1</sup>, พยุง เดชอยู่<sup>1\*</sup>, นายศรณรินทร์ ทุนไชสง<sup>2</sup>  
<sup>1</sup>วิศวกรรมชีวการแพทย์ คณะวิทยาศาสตร์ประยุกต์ มหาวิทยาลัยเทคโนโลยีพระจอมเกล้าพระนครเหนือ

กรุงเทพมหานคร

<sup>2</sup> บริษัท อาร์เอฟเอส จำกัด เขตราชเทวี กรุงเทพมหานคร

Corresponding author email : pdyimi1@gmail.com

### บทคัดย่อ

ห้องสะอาดหรือห้องปลอดเชื้อในโรงพยาบาลมีความสำคัญอย่างยิ่งในการทำการผ่าตัด ดูแลรักษาผู้ป่วยให้ปลอดภัยและมีอาการที่ดีขึ้นตามมา โดยภายในห้องมีปัจจัยต่างๆ ที่ต้องควบคุมให้อยู่ในระดับมาตรฐานสากล ISO 14644 ประกอบด้วย อุณหภูมิ ความชื้นสัมพัทธ์ ความดัน ความสว่าง และปริมาณอนุภาคฝุ่นละออง เพื่อให้เป็นไปตามมาตรฐาน และอำนวยความสะดวกในการทำงานให้กับบุคลากรที่มีหน้าที่ในการตรวจสอบ บันทึกผลปัจจัยภายในห้องสะอาดหรือห้องปลอดเชื้อประจำวัน เพื่อความพร้อมใช้งาน และป้องกันความผิดพลาดที่อาจจะเกิดขึ้นขณะใช้งาน

**คำสำคัญ:** ห้องสะอาด ห้องปลอดเชื้อ ระบบแสดงผลและแจ้งเตือน

### Abstract

Clean rooms or sterile rooms in a hospital are extremely important when performing surgery. Keep the patient safe and have better symptoms followed. In which there are various factors inside the room That must be controlled in accordance with the international standard ISO 14644, consisting of temperature, relative humidity, pressure, brightness and particle volume. To meet

the standards And facilitate work for the personnel responsible for the audit. Record the results of factors in the clean room or aseptic room on a daily basis. For availability And prevent mistakes that may occur while using.

**Keywords:** Clean room, sterile room, display and alarm system

### 1. บทนำ

โรงพยาบาลเป็นสถานที่ที่ใช้ในการรักษาผู้ป่วย จำเป็นต้องให้ความสำคัญในด้านระบบอาคาร ระบบไฟฟ้า และสาธารณูปโภค ตลอดจนห้องที่ใช้ในการรักษาผู้ป่วยต้องมีความสะอาด ปลอดภัย และพร้อมใช้งานตลอด 24 ชั่วโมง ตามมาตรฐานที่โรงพยาบาลระบุไว้ ซึ่งห้องต่างๆ ที่ทำการรักษาผู้ป่วยจะต้องมีการตรวจเช็คความพร้อมก่อนใช้งานอยู่เสมอ เพื่อไม่ให้เกิดความผิดพลาดต่อการรักษาผู้ป่วย จากความไม่พร้อมภายในห้องหรือห้องไม่ได้มาตรฐานตามที่โรงพยาบาลได้ระบุไว้ จะทำให้การรักษาผู้ป่วยปลอดภัยมากยิ่งขึ้น

ห้องผ่าตัดหรือห้องปลอดเชื้อ (Clean room) ถือเป็นส่วนหนึ่งที่สำคัญในโรงพยาบาล มีผลต่อการรักษาผู้ป่วยให้ปลอดภัย โดยเฉพาะอย่างยิ่งกับผู้ป่วยขั้นวิกฤต ในช่วงเวลาที่ผู้ป่วยได้รับการผ่าตัด อุณหภูมิ ความชื้นสัมพัทธ์ ความดัน ความสว่าง

และปริมาณฝุ่นละออง มีผลต่อการทำการผ่าตัด ผู้ป่วย ปัจจัยเหล่านี้ควรควบคุมให้อยู่ในมาตรฐาน ห้องผ่าตัดที่โรงพยาบาลได้ระบุไว้ จึงทำให้ต้องมี การติดตามและประเมินผลทุกครั้งก่อนการใช้งาน ระบบแสดงผลและแจ้งเตือนในห้องปลอดเชื้อ (Clean room Monitoring Real-time and Alarm system) จะประกอบด้วยอุปกรณ์เซ็นเซอร์ที่ใช้ใน การวัดอุณหภูมิ ความชื้นสัมพัทธ์ ความดัน ความ สว่าง และปริมาณอนุภาคฝุ่นละออง เพื่อนำไป ตรวจสอบวัดและแสดงผลยังหน้าจอของตัวอุปกรณ์ที่ ผู้จัดทำโครงการมีความคิดที่ริเริ่มที่จะประดิษฐ์ ขึ้นมา อีกทั้งยังสามารถส่งข้อมูลและจัดเก็บจัดเก็บ ข้อมูลไว้บนระบบฐานข้อมูล (Cloud) แล้วนำข้อมูล ทั้งหมดที่ได้แสดงผลผ่านหน้าเว็บไซต์ได้แบบทันที (Real-time) ซึ่งได้ทำการออกแบบขึ้นมาเพื่อเป็น การติดตามข้อมูลแบบออนไลน์ และสามารถเรียกดู ข้อมูลย้อนหลังได้สำหรับเจ้าหน้าที่ / ผู้ปฏิบัติงานที่ ดูแลห้องผ่าตัดหรือห้องปลอดเชื้อ (Clean room)

ดังนั้นผู้จัดทำโครงการจึงได้มีความคิดริเริ่มใน การประดิษฐ์อุปกรณ์และระบบแสดงผลและแจ้ง เตือนห้องปลอดเชื้อขึ้นมาเพื่อ 1) ความปลอดภัย และพร้อมใช้งานก่อนทำการรักษาผู้ป่วย 2) เพื่อ แจ้งเตือนความผิดปกติของอุณหภูมิ ความชื้นสัมพัทธ์ ความดัน ความสว่าง และปริมาณอนุภาคฝุ่นละออง ที่ไม่เป็นไปตามมาตรฐานห้องปลอดเชื้อ (Clean room) 3) เพื่อสะดวกต่อเจ้าหน้าที่ / ผู้ปฏิบัติงานใน การเช็คข้อมูลแบบออนไลน์

#### วัตถุประสงค์ของงานวิจัย

1. เพื่อออกแบบและสร้างชุดค้นแบบอุปกรณ์การวัด และแจ้งเตือนความผิดปกติของอุณหภูมิ ความชื้น สัมพัทธ์ ความดัน ความสว่างและปริมาณอนุภาค ฝุ่นละอองในห้องผ่าตัดหรือห้องปลอดเชื้อ (Clean room)

2. เพื่อสามารถแสดงผลของอุณหภูมิ ความชื้น สัมพัทธ์ ความดัน ความสว่างและปริมาณอนุภาค ฝุ่นละอองในห้องผ่าตัดหรือห้องปลอดเชื้อ (Clean room) ได้แบบทันที (Real-time)
3. เพื่อสามารถบันทึกและเรียกดูข้อมูลย้อนหลังได้ ผ่านทางเว็บไซต์
4. เพื่อลดทรัพยากรคนและงานในส่วนของ การตรวจเช็คประจำวัน (Routine)
5. เพื่อนำความรู้ ความสามารถด้านวิศวกรรมชีว การแพทย์มาสร้างเครื่องมือทางการแพทย์ ที่ใช้งาน ในโรงพยาบาลได้จริง

#### ขอบเขตของงานวิจัย

1. วัดค่าอุณหภูมิ ความชื้นสัมพัทธ์ ความดัน ความ สว่างและปริมาณอนุภาคฝุ่นละอองในห้องผ่าตัด หรือห้องปลอดเชื้อ (Clean room) ได้แบบทันที (Real-time)
2. สามารถส่งและจัดเก็บค่าอุณหภูมิ ความชื้น สัมพัทธ์ ความดัน ความสว่างและปริมาณอนุภาค ฝุ่นละอองในห้องผ่าตัดหรือห้องปลอดเชื้อ (Clean room) ไว้บนระบบฐานข้อมูล (Cloud) ได้
3. สามารถนำข้อมูลในระบบฐานข้อมูล (Cloud) แสดงผ่านเว็บไซต์ได้
4. สามารถเรียกดูค่าอุณหภูมิ ความชื้นสัมพัทธ์ ความดัน ความสว่างและปริมาณอนุภาคฝุ่นละออง ในห้องผ่าตัดหรือห้องปลอดเชื้อย้อนหลังได้
5. สามารถแจ้งเตือนความผิดปกติ (Alarm) ของ อุณหภูมิ ความชื้นสัมพัทธ์ ความดัน ความสว่าง และปริมาณอนุภาคฝุ่นละอองในห้องผ่าตัดหรือ ห้องปลอดเชื้อ (Clean room) ได้ผ่านแอปพลิเคชัน ไลน์







รูปที่ 4 แสดงตัวอย่างข้อมูลย้อนหลังความดัน



รูปที่ 5 แสดงตัวอย่างกราฟความดัน

### 3. ผลการทดลองและการอภิปรายผล

จากการทดลองวัดค่าอุณหภูมิ ความชื้นสัมพัทธ์ ความดัน ความสว่างและปริมาณอนุภาคฝุ่นละอองแสดงผลผ่านหน้าเว็บไซต์ จดเก็บ และแจ้งเตือนความผิดปกติผ่านทางแอปพลิเคชัน ไลน์พบว่าค่าที่แสดงผลผ่านหน้าเว็บนั้นเป็นการแสดงผลแบบทันทีตรงกับเวลาที่แสดงบนหน้า Serial monitor ของโปรแกรม Arduino และการจัดเก็บข้อมูลบนระบบฐานข้อมูลนั้นมีค่าที่ตรงกับบนโปรแกรม Arduino ที่แสดงค่าออกมา อีกทั้งเมื่อค่าอุณหภูมิ ความชื้นสัมพัทธ์ ความดัน ความสว่างและปริมาณอนุภาคฝุ่นละออง เกินหรือต่ำกว่ามาตรฐานที่กำหนดจะมีการแจ้งเตือนผ่านไลน์กลุ่ม Cleanroom CNMI ที่ได้ทำการสร้างไว้ให้กับเจ้าหน้าที่ปฏิบัติงาน

| เวลา (นาที) | Serial monitor | SD card | เว็บไซต์ | Database | % Error |
|-------------|----------------|---------|----------|----------|---------|
| 1           | 30.7           | 30.7    | 30.7     | 30.7     | 0       |
| 2           | 30.7           | 30.7    | 30.7     | 30.7     | 0       |
| 3           | 30.8           | 30.8    | 30.8     | 30.8     | 0       |
| 4           | 30.7           | 30.7    | 30.7     | 30.7     | 0       |
| 5           | 30.7           | 30.7    | 30.7     | 30.7     | 0       |
| 6           | 30.7           | 30.7    | 30.7     | 30.7     | 0       |
| 7           | 30.7           | 30.7    | 30.7     | 30.7     | 0       |
| 8           | 30.8           | 30.8    | 30.8     | 30.8     | 0       |
| 9           | 30.7           | 30.7    | 30.7     | 30.7     | 0       |
| 10          | 30.7           | 30.7    | 30.7     | 30.7     | 0       |

รูปที่ 6 ตารางแสดงค่าของอุณหภูมิ (□) โดยให้ส่งค่าทุกๆ 1 นาที

| เวลา (นาที) | Serial monitor | SD card | เว็บไซต์ | Database | % Error |
|-------------|----------------|---------|----------|----------|---------|
| 1           | 70.1           | 70.1    | 70.1     | 70.1     | 0       |
| 2           | 69.9           | 69.9    | 69.9     | 69.9     | 0       |
| 3           | 70.1           | 70.1    | 70.1     | 70.1     | 0       |
| 4           | 70.0           | 70.0    | 70.0     | 70.0     | 0       |
| 5           | 70.2           | 70.2    | 70.2     | 70.2     | 0       |
| 6           | 70.2           | 70.2    | 70.2     | 70.2     | 0       |
| 7           | 70.2           | 70.2    | 70.2     | 70.2     | 0       |
| 8           | 70.3           | 70.3    | 70.3     | 70.3     | 0       |
| 9           | 70.3           | 70.3    | 70.3     | 70.3     | 0       |
| 10          | 70.1           | 70.1    | 70.1     | 70.1     | 0       |

รูปที่ 7 ตารางแสดงค่าของความชื้น(%RH) โดยให้ส่งค่าทุกๆ 1 นาที

| เวลา (นาที) | Serial monitor | SD card | เว็บไซต์ | Database | % Error |
|-------------|----------------|---------|----------|----------|---------|
| 1           | 2.10           | 2.10    | 2.10     | 2.10     | 0       |
| 2           | 1.93           | 1.93    | 1.93     | 1.93     | 0       |
| 3           | 1.83           | 1.83    | 1.83     | 1.83     | 0       |
| 4           | 1.98           | 1.98    | 1.98     | 1.98     | 0       |
| 5           | 2.07           | 2.07    | 2.07     | 2.07     | 0       |
| 6           | 1.98           | 1.98    | 1.98     | 1.98     | 0       |
| 7           | 2.10           | 2.10    | 2.10     | 2.10     | 0       |
| 8           | 2.05           | 2.05    | 2.05     | 2.05     | 0       |
| 9           | 1.66           | 1.66    | 1.66     | 1.66     | 0       |
| 10          | 2.00           | 2.00    | 2.00     | 2.00     | 0       |

รูปที่ 8 ตารางแสดงค่าของความดัน (Pa) โดยให้ส่งค่าทุกๆ 1 นาที

| เวลา (นาฬิกา) | Serial monitor | SD card | เว็บไซต์ | Database | % Error |
|---------------|----------------|---------|----------|----------|---------|
| 1             | 40.83          | 40.83   | 40.83    | 40.83    | 0       |
| 2             | 32.50          | 32.50   | 32.50    | 32.50    | 0       |
| 3             | 25.00          | 25.00   | 25.00    | 25.00    | 0       |
| 4             | 27.50          | 27.50   | 27.50    | 27.50    | 0       |
| 5             | 36.67          | 36.67   | 36.67    | 36.67    | 0       |
| 6             | 34.17          | 34.17   | 34.17    | 34.17    | 0       |
| 7             | 40.83          | 40.83   | 40.83    | 40.83    | 0       |
| 8             | 30.83          | 30.83   | 30.83    | 30.83    | 0       |
| 9             | 26.67          | 26.67   | 26.67    | 26.67    | 0       |
| 10            | 31.67          | 31.67   | 31.67    | 31.67    | 0       |

รูปที่ 9 ตาราง แสดงค่าความเข้มแสง(Lux) โดยให้ส่งค่าทุกๆ 1 นาที

| เวลา (นาฬิกา) | Output ที่แสดง | PM1 | PM2.5 | PM10 | ปริมาณอนุภาคฝุ่นในอากาศ(> umv/0.1L air) |       |       |       |       |        |
|---------------|----------------|-----|-------|------|---|-------|-------|-------|-------|--------|
|               |                |     |       |      | 0.3um                                   | 0.5um | 1.0um | 2.0um | 5.0um | 10.0um |
| 1             | Serial monitor | 7   | 9     | 9    | 1677                                    | 453   | 53    | 3     | 0     | 0      |
|               | SD card        | 7   | 9     | 9    | 1677                                    | 453   | 53    | 3     | 0     | 0      |
|               | เว็บไซต์       | 7   | 9     | 9    | 1677                                    | 453   | 53    | 3     | 0     | 0      |
|               | Data base      | 7   | 9     | 9    | 1677                                    | 453   | 53    | 3     | 0     | 0      |
|               | %error         | 0   | 0     | 0    | 0                                       | 0     | 0     | 0     | 0     | 0      |
| 2             | Serial monitor | 7   | 9     | 9    | 1680                                    | 465   | 60    | 2     | 0     | 0      |
|               | SD card        | 7   | 9     | 9    | 1680                                    | 465   | 60    | 2     | 0     | 0      |
|               | เว็บไซต์       | 7   | 9     | 9    | 1680                                    | 465   | 60    | 2     | 0     | 0      |
|               | Data base      | 7   | 9     | 9    | 1680                                    | 465   | 60    | 2     | 0     | 0      |
|               | %error         | 0   | 0     | 0    | 0                                       | 0     | 0     | 0     | 0     | 0      |
| 3             | Serial monitor | 7   | 9     | 9    | 1680                                    | 465   | 60    | 2     | 0     | 0      |
|               | SD card        | 7   | 9     | 9    | 1680                                    | 465   | 60    | 2     | 0     | 0      |
|               | เว็บไซต์       | 7   | 9     | 9    | 1680                                    | 465   | 60    | 2     | 0     | 0      |
|               | Data base      | 7   | 9     | 9    | 1680                                    | 465   | 60    | 2     | 0     | 0      |
|               | %error         | 0   | 0     | 0    | 0                                       | 0     | 0     | 0     | 0     | 0      |
| 4             | Serial monitor | 10  | 13    | 13   | 1932                                    | 531   | 96    | 2     | 0     | 0      |
|               | SD card        | 10  | 13    | 13   | 1932                                    | 531   | 96    | 2     | 0     | 0      |
|               | เว็บไซต์       | 10  | 13    | 13   | 1932                                    | 531   | 96    | 2     | 0     | 0      |
|               | Data base      | 10  | 13    | 13   | 1932                                    | 531   | 96    | 2     | 0     | 0      |
|               | %error         | 0   | 0     | 0    | 0                                       | 0     | 0     | 0     | 0     | 0      |
| 5             | Serial monitor | 9   | 13    | 16   | 2004                                    | 571   | 101   | 8     | 3     | 3      |
|               | SD card        | 9   | 13    | 16   | 2004                                    | 571   | 101   | 8     | 3     | 3      |
|               | เว็บไซต์       | 9   | 13    | 16   | 2004                                    | 571   | 101   | 8     | 3     | 3      |
|               | Data base      | 9   | 13    | 16   | 2004                                    | 571   | 101   | 8     | 3     | 3      |
|               | %error         | 0   | 0     | 0    | 0                                       | 0     | 0     | 0     | 0     | 0      |

รูปที่ 10 ตาราง แสดงค่าปริมาณฝุ่นละออง โดยให้ส่งค่าทุกๆ 1 นาที

#### 4. สรุปผลการทดลอง

งานวิจัยนี้เป็นการวัดและแสดงผลแจ้งเตือนความผิดปกติภายในห้องสะอาดหรือห้องปลอดเชื้อ ซึ่งจากการทำการทดลองวัดและแสดงผลผ่านทางเว็บไซต์พบว่าสามารถแสดงผลได้แบบทันที และ

สามารถจัดเก็บข้อมูลบนระบบฐานข้อมูลได้อีกทั้งยังสามารถแจ้งเตือนความผิดปกติได้ผ่านทางแอปพลิเคชันไลน์ แต่อาจจะเกิดความไม่เสถียรเนื่องจากสัญญาณ WIFI ที่ใช้ในการส่งข้อมูลจากตัวเครื่องไปยังเซิร์ฟเวอร์ เพราะเป็นระบบเครือข่ายไร้สาย

#### 5. กิตติกรรมประกาศ

งานวิจัยนี้ได้รับการสนับสนุนเป็นอย่างดีจากภาควิชาฟิสิกส์อุตสาหกรรมและอุปกรณ์การแพทย์ มหาวิทยาลัยเทคโนโลยีพระจอมเกล้าพระนครเหนือ และแผนกเครื่องมือแพทย์ บริษัท อาร์เอฟเอส จำกัด คณะผู้จัดทำขอขอบคุณอาจารย์ที่ปรึกษาและแผนกเครื่องมือแพทย์ บริษัท อาร์เอฟเอส จำกัด ที่กรุณาให้คำแนะนำและคำปรึกษาเป็นอย่างดีในการจัดทำ ระบบแสดงผลและแจ้งเตือนในห้องสะอาดหรือห้องปลอดเชื้อ นี้ขึ้น

#### เอกสารอ้างอิง

- [1] CLEANROOM PERFORMANCE TEST REPORT. (2019). Samutprakan : Inovative Instrument CO., Ltd.
- [2] TutorialRepublic. (2021). PHP Connect to MySQL Server. Retrieved 13 March 2021 from <https://www.tutorialrepublic.com/php-tutorial/php-mysql-connect.php>
- [3] Cleanroom Monitoring Real-time and Alarm system. (2021). [Online] from <https://cleanroomcnmi.000webhostapp.com/index.php>
- [4] (ไม่ทราบชื่อผู้แต่ง). [ออนไลน์]. สอนใช้งาน ESP32 เริ่มต้นใช้งานติดตั้งโปรแกรมเบื้องต้น ESP32. [สืบค้น 28 ธันวาคม 2563]. จาก <https://www.myarduino.net/article/226/>

- [5] (ไม่ทราบชื่อผู้แต่ง). [ออนไลน์]. Module DHT22. [สืบค้น 3 มกราคม 2564]. จาก <https://www.arduitronics.com/product/178/module-dht22-am2302-high-accuracy-digital-temperature-and-humidity-sensor-module>
- [6] (ไม่ทราบชื่อผู้แต่ง). [ออนไลน์]. Differential Pressure Sensor ( $\pm 500\text{pa}$ ) LWLP5000. [สืบค้น 3 มกราคม 2564]. จาก <https://www.arduitronics.com/product/4229/differential-pressure-sensor-%C2%B1500pa-lwlp5000>
- [7] (ไม่ทราบชื่อผู้แต่ง). [ออนไลน์]. การใช้งานเซ็นเซอร์วัดแสงสว่าง BH1750. [สืบค้น 3 มกราคม 2564]. จาก <https://www.ioxhop.com/article/69/esp32>
- [8] (ไม่ทราบชื่อผู้แต่ง). [ออนไลน์]. PMS5003 PM2.5 เซนเซอร์วัดฝุ่น PM2.5 Laser Dust. [สืบค้น 3 มกราคม 2564]. จาก <https://www.allnewstep.com/product/4352/pms5003-pm2-5>

# หุ่นยนต์โต้ตอบการสนทนาสำหรับการคุมกำเนิดในวัยรุ่น

## Healthcare Chatbot for Adolescent Contraception

ณัฐสินี เบ็ญชัยลีลาศ<sup>1</sup> จิตติวัฒน์ สุวรรณทัต<sup>1</sup> ชาตศักดิ์ ประกอบบุญกุล<sup>1</sup> เมธาพันธ์ กิจพรธีรานันท์<sup>2</sup>

อนุชิต นีรภัย<sup>3</sup> วัชรชัย วิริยะสุทธีวงศ์<sup>1</sup>

<sup>1</sup>ภาควิชาวิศวกรรมคอมพิวเตอร์ คณะวิศวกรรมศาสตร์ มหาวิทยาลัยศรีนครินทรวิโรฒ

องครักษ์ นครนายก 26120 Email: watch@g.swu.ac.th

<sup>2</sup>ภาควิชาสถิติศาสตร์-นรีเวชวิทยา คณะแพทยศาสตร์ มหาวิทยาลัยศรีนครินทรวิโรฒ

องครักษ์ นครนายก 26120 Email: mtp\_swu@hotmail.com

<sup>3</sup>ภาควิชาวิศวกรรมชีวการแพทย์ วิทยาลัยวิศวกรรมชีวการแพทย์ มหาวิทยาลัยรังสิต

เมือง ปทุมธานี 12000 Email: anuchit@rsu.ac.th

### บทคัดย่อ

บทความวิจัยนี้นำเสนอการออกแบบและพัฒนาหุ่นยนต์โต้ตอบการสนทนาสำหรับช่วยงานสูตินรีแพทย์ เพื่อช่วยตอบคำถามเรื่องคุมกำเนิดในวัยรุ่น ตามความรู้มาตรฐานทางการแพทย์ที่ผ่านการตรวจสอบจากแพทย์ผู้เชี่ยวชาญ สามารถให้คำปรึกษาตลอด 24 ชั่วโมง เมื่อรับข้อความจากผู้ใช้เป็นภาษาไทยจะผ่านกระบวนการประมวลผลภาษาธรรมชาติ (Natural Language Processing) และโครงข่ายประสาทเทียม

(Artificial Neural Network) เพื่อให้สามารถตอบคำถามของผู้ใช้ได้ถูกต้องแม่นยำ และตอบกลับไปยังผู้ใช้ผ่าน Web Application ได้ตามที่ออกแบบไว้

**คำสำคัญ:** หุ่นยนต์โต้ตอบการสนทนา การคุมกำเนิด การประมวลผลภาษาธรรมชาติ

### Abstract

This research presents the design and development of a Chatbot for assisting obstetricians/ gynecologists in solving problems of adolescent contraception. The

standardized knowledge is reviewed by a specialist doctor. This Chatbot is a 24-hour available for users to participate. The inputs of Thai messages are interpreted through a Natural Language Processing and Artificial Neural Networks in order to answer questions accurately and precisely via web application.

**Keywords:** Chatbot, Contraception, Natural language processing

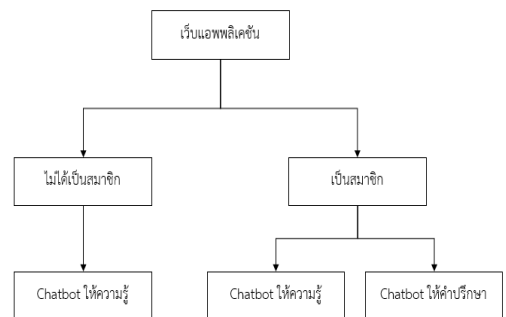
## 1. บทนำ

ปัจจุบันโรงพยาบาลรัฐและเอกชน มีผู้ป่วยที่เข้ามาใช้บริการเป็นจำนวนมาก จึงเกิดการความแออัดและต้องรอคิวหลายชั่วโมง ส่งผลให้โรงพยาบาลบริการผู้ป่วยได้ไม่ทั่วถึง ทำให้เกิดความล่าช้าและเสียเวลา ในเบื้องต้นเริ่มมีบริการตอบคำถามหรือให้คำปรึกษาผ่านทางไลน์ ซึ่งมีข้อจำกัดอยู่มาก เช่นพยาบาลที่ให้คำปรึกษามีน้อย สอบถามได้เฉพาะในเวลาทำการเท่านั้น ผู้ป่วยส่วนหนึ่งจึงหาข้อมูลจากเว็บไซต์ต่างๆ ซึ่งเป็นการรับข้อมูลเพียงฝ่ายเดียว ไม่มีการโต้ตอบและปัญหาบางอย่างนั้นไม่สามารถรอเวลาได้ จากปัญหาข้างต้น งานวิจัยนี้จึงนำเสนอการออกแบบและพัฒนาหุ่นยนต์โต้ตอบการสนทนาหรือ Chatbot ที่มีข้อมูลเกี่ยวกับการคุมกำเนิดที่ได้รับการตรวจสอบจากแพทย์ผู้เชี่ยวชาญทางด้านสูตินรีเวช และมีความรวดเร็วในการตอบคำถามและสามารถตอบได้ตลอด 24 ชั่วโมง มาใช้สำหรับช่วยงานแผนกสูตินรีเวชกรรม

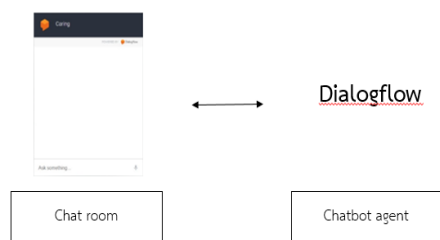
ในการคุมกำเนิดของวัยรุ่นในเบื้องต้น โดยนำเทคนิคการประมวลผลภาษาธรรมชาติและโครงข่ายประสาทเทียม มาประยุกต์ใช้เพื่อสามารถให้คำปรึกษาแก่คนไข้ได้ถูกต้องและแม่นยำ

## 2. การออกแบบระบบ

การออกแบบระบบหุ่นยนต์โต้ตอบการสนทนาในการวิจัยนี้ แบ่งออกเป็น 3 ส่วน คือ การออกแบบหุ่นยนต์โต้ตอบการสนทนาสำหรับผู้ที่เป็นสมาชิก การออกแบบหุ่นยนต์โต้ตอบการสนทนาสำหรับผู้ไม่ใช่ทั่วไป และการออกแบบเว็บแอปพลิเคชัน

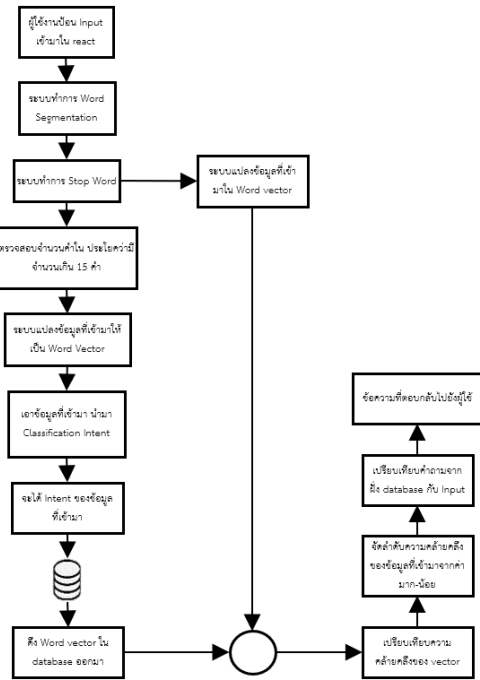


รูปที่ 1. กรอบการทำงานในการออกแบบระบบ



รูปที่ 2. การออกแบบ Chatbot สำหรับผู้ที่เป็นสมาชิก

ระบบหุ่นยนต์ได้ตอบการสนทนาสำหรับผู้ใช้ทั่วไปสามารถสอบถามข้อมูลเกี่ยวกับการคุมกำเนิดในวัยรุ่นได้ ผังโครงสร้างโดยรวมแสดงให้เห็นถึงภาพรวมในการทำงานของระบบหุ่นยนต์ได้ตอบการสนทนาที่เกิดขึ้นในการรับข้อความจากผู้ใช้ ดังรูป 3

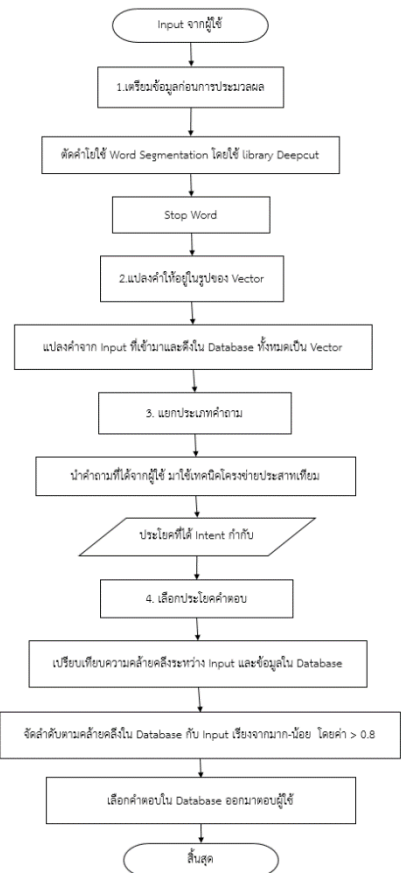


รูปที่ 3. ผังงานแสดงกลไกการทำงานของ Chatbot

จากรูป 3 จะเห็นว่า ขั้นตอนการทำงานของระบบ Chatbot เริ่มจากผู้ใช้งานทำกรสมัครสมาชิกกับระบบ และจากนั้นรอ Admin อนุมัติในการเข้าใช้งานเมื่อผู้ใช้เข้ามาใช้งานในระบบ Chatbot ระบบ Chatbot จะนำประโยคคำถามที่ได้รับจากผู้ใช้งานมาเตรียมข้อมูลก่อนการประมวลผล จะประกอบไปด้วย 2 ขั้นตอน คือ การ

ตัดคำ (Word Segmentation) และการกรองคำหยุด (Stop Word Elimination )

เมื่อผ่านขั้นตอนในการเตรียมข้อมูลก่อนการประมวลผลแล้วนั้น ระบบก็จะทำการแปลงข้อมูลที่เข้ามาให้อยู่ในรูปแบบของ Vector จากนั้น ระบบจะนำข้อมูลที่เข้ามาเพื่อแยกประเภทคำถาม (Intent) ด้วยเทคนิคโครงข่ายประสาทเทียม โดยให้ระบบทราบว่าข้อมูลที่เข้ามานั้นเป็นประเภทคำถามใด (Intent) แบบใด



รูปที่ 4 Workflow กระบวนการทำงานของ Chatbot สำหรับผู้ใช้ทั่วไป

เมื่อทราบว่าข้อมูลที่เข้ามานั้นอยู่ใน Intent ใดเรียบร้อยแล้ว ก็จะเข้าสู่ขั้นตอนในการเลือกคำตอบจากใน Database เพื่อส่งคำตอบนั้นคืนกลับมายังผู้ใช้ โดยจะมีการค้นหาคำตอบจาก Database ของระบบ ที่ประมวลผลแล้วว่า Input นั้นอยู่ใน Intent แล้วจึงเปรียบเทียบความคล้ายคลึง หรือใกล้เคียงของข้อมูลกับ Database ใน Intent นั้น และทำการจัดลำดับความคล้ายคลึงของข้อมูลที่เข้ามาจาก มาก-น้อย

กระบวนการทำงานของระบบหุ่นยนต์ได้ตอบการสนทนาลำหรับผู้ใช้ทั่วไป แบ่งออกเป็น 4 ขั้นตอน คือ

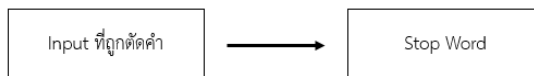
1) กระบวนการเตรียมข้อมูลก่อนการประมวลผล (Pre-processing) ประกอบด้วยระบบงานดังนี้

- ระบบตัดคำ (Word Segmentation) จะรับข้อมูลเข้ามาจากผู้ใช้งานและผ่านกระบวนการตัดคำโดยใช้ Deepcut ซึ่งสามารถแสดงตัวอย่างการตัดคำได้ดังตาราง 1

ตารางที่ 1. ผลลัพธ์จากการตัดคำ

| ข้อความจากผู้ใช้                | ข้อความที่ถูกตัด  |
|---------------------------------|---|
| การคุมกำเนิดคืออะไรคะ           | ['การ', 'คุม', 'กำเนิด', 'คือ', 'อะไร', 'คะ']                   |
| การฝังยาคุมคืออะไรคะ            | ['การ', 'ฝัง', 'ยาคุม', 'คือ', 'อะไร', 'คะ']                    |
| ฉีดยาคุมแล้วไม่ป้องกันได้ไหมจ๊ะ | ['ฉีด', 'ยาคุม', 'แล้ว', 'ไม่', 'ป้องกัน', 'ได้', 'ไหม', 'จ๊ะ'] |
| ถ้าลืมกินยาคุมต้องทำยังไงคะ     | ['ถ้า', 'ลืม', 'กิน', 'ยาคุม', 'ต้อง', 'ทำ', 'ยังไง', 'คะ']     |
| ห่วงอนามัยคืออะไรคะ             | ['ห่วง', 'อนามัย', 'คือ', 'อะไร', 'คะ']                         |
| หลั่งนอกไม่ท้องจริงรีเปล่าคะ    | ['หลั่ง', 'นอก', 'ไม่', 'ท้อง', 'จริง', 'รี', 'เปล่า', 'คะ']    |

- ระบบกรองคำหยุด (Stop Word Elimination System) จะรับข้อมูลเข้ามาจากระบบตัดคำ มาผ่านกระบวนการกรองคำหยุดโดยใช้ Deepcut ดังรูป 5 ซึ่งสามารถแสดงตัวอย่างการตัดคำได้ดังตาราง 2

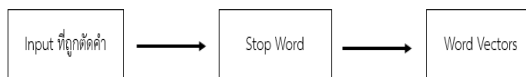


รูปที่ 5 แผนภาพระบบกรองคำหยุด

ตารางที่ 1.2 ผลลัพธ์จากการกรองคำหยุด

| ข้อความจากผู้ใช้                | ข้อความที่ถูกกรอง   |
|---------------------------------|---|
| การคุมกำเนิดคืออะไรคะ           | ['คุม', 'กำเนิด', 'คือ', 'อะไร']                                |
| การฝังยาคุมคืออะไรคะ            | ['ฝัง', 'ยาคุม', 'คือ', 'อะไร']                                 |
| ฉีดยาคุมแล้วไม่ป้องกันได้ไหมจ๊ะ | ['ฉีด', 'ยาคุม', 'แล้ว', 'ไม่', 'ป้องกัน', 'ได้', 'ไหม', 'จ๊ะ'] |
| ถ้าลืมกินยาคุมต้องทำยังไงคะ     | ['ถ้า', 'ลืม', 'กิน', 'ยาคุม', 'ต้อง', 'ทำ', 'ยังไง', 'คะ']     |
| ห่วงอนามัยคืออะไรคะ             | ['ห่วง', 'อนามัย', 'คือ', 'อะไร']                               |
| หลั่งนอกไม่ท้องจริงรีเปล่าคะ    | ['หลั่ง', 'นอก', 'ไม่', 'ท้อง', 'จริง', 'รี', 'เปล่า']          |

2) กระบวนการ Word Vector จะการแปลงข้อมูลจากขั้นตอน Pre-processing ให้อยู่ในรูปแบบของ Vector ดังรูป 6



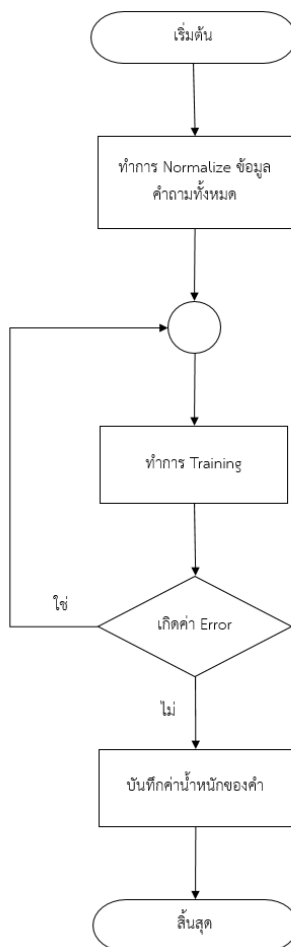
รูปที่ 6 กระบวนการการแปลงข้อมูลให้อยู่ในรูป Vector



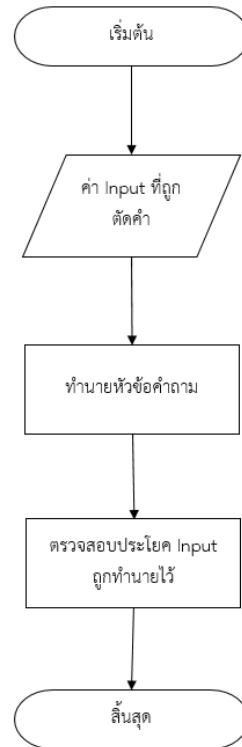
### 3) กระบวนการแยกประเภทคำถาม (Question Classification)

กระบวนการแยกประเภทคำถาม จะใช้เทคนิคโครงข่ายประสาทเทียม เพื่อให้ได้ประโยคที่มี Intent กำกับ โดยแบ่งการทำงานออกเป็น 2 ส่วนคือ

- การสอน (Training) Model ของชุดคำถาม
- การทำนาย (Prediction) หัวข้อคำถาม



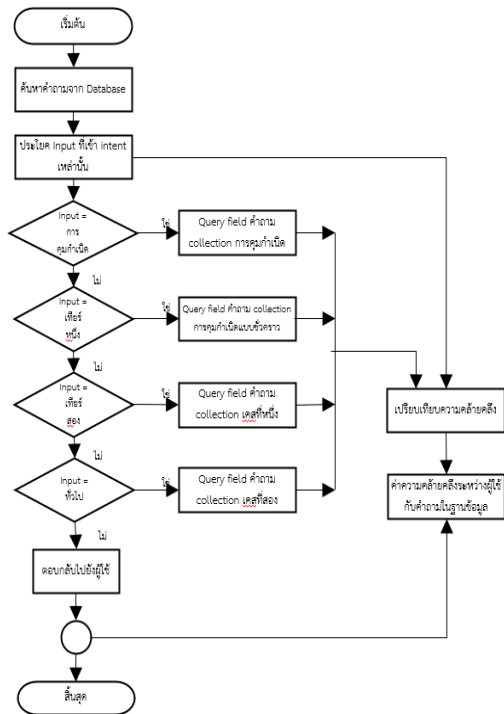
รูปที่ 7 ผังงานแสดงการ Training ข้อมูลของชุดคำถาม



รูปที่ 8 ผังงานแสดงการทำนายหัวข้อคำถาม

### 4) กระบวนการเลือกประโยคคำตอบ (Answer Selection)

เป็นการเลือกประโยคคำตอบ โดยในฐานข้อมูลจะแบ่งออกเป็น 5 Collections เพื่อให้สอดคล้องกับ Intent ที่ได้จัดกลุ่มตามคำตอบ ทั้งหมด 5 กลุ่ม อันได้แก่ การคุมกำเนิด การคุมกำเนิดแบบชั่วคราว เคสที่หนึ่ง เคสที่สอง และทั่วไป



รูปที่ 9. ฟังงานแสดงการค้นหาข้อมูลจากฐานข้อมูลที่มี Intent กำกับ

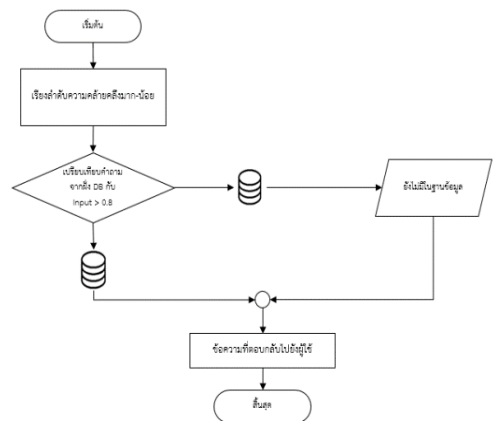
กระบวนการเปรียบเทียบความคล้ายคลึงของ Vector ข้อความจากผู้ใช้และ Vector จากฐานข้อมูล จะดำเนินการตามสมการ

$$Similarity = \cos(\theta) * [(A \cdot B) / (\|A\| \|B\|)]$$

ผลลัพธ์จากการคำนวณ Cosine Similarity จะมีค่าอยู่ระหว่าง -1 ถึง 1 โดย 1 หมายถึง มีความหมายเหมือนกัน และศูนย์ หมายถึง ไม่มีความหมายเกี่ยวข้องกันสำหรับงานวิจัยนี้ตัดสินใจเลือกใช้เอกสารที่มีค่าความคล้ายคลึงของ Vector ใกล้เคียงหรือเท่ากับ 1 มาใช้ในการพิจารณาขั้นตอนต่อไป

กระบวนการเปรียบเทียบความคล้ายกันของ Vector Input และ Vector Database เพื่อเลือกประโยคคำตอบ ขั้นตอนนี้จะเป็นการนำประโยคมาเรียงที่ได้จากการจัดลำดับความคล้ายคลึง โดยนำข้อมูลทั้งหมดในฐานข้อมูลมาเรียงกัน ซึ่งคำถามที่ถูกต้องที่สุดหรือเข้าใกล้ 1 ที่สุดจะถูกนำมาวางไว้บนสุด และตามด้วยคำถามที่ถูกต้องรองลงมา โดยในการเลือกประโยคคำตอบแบ่งออกเป็น 2 ส่วน

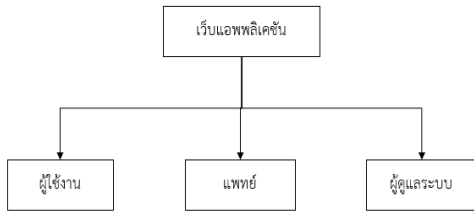
- ส่วนที่ 1 คือคำถามที่ตรงกับฐานข้อมูลหรือใกล้เคียงที่สุด จะนำคำถามนั้นมาขึ้นมาไว้ในลำดับแรกสุด ซึ่งจะมีความใกล้เคียงกับคำถามที่ผู้ใช้งานพิมพ์เข้ามาที่สุด และจากนั้น ก็จะทำให้การ Query Field คำตอบนั้นกลับมาให้ผู้ใช้งาน
- ส่วนที่ 2 คือ คำถามที่ไม่มีอยู่ในฐานข้อมูล หรือมีค่าน้อยกว่าค่าที่ผู้วิจัยนั้นได้กำหนด ก็จะเก็บคำถามที่ระบบตอบไม่ได้ลงในฐานข้อมูลอีกชุดเพื่อให้ผู้พัฒนาแก้ไข และปรับปรุงต่อไปในอนาคต



รูปที่ 10. ฟังงานแสดงการเลือกประโยคคำตอบ

### 3. การพัฒนาเว็บแอปพลิเคชัน

การใช้งานระบบเว็บแอปพลิเคชัน ประกอบด้วยผู้มีส่วนเกี่ยวข้อง ดังรูป 11.



รูปที่ 11. ผู้ใช้งานเว็บแอปพลิเคชันของระบบ Chatbot

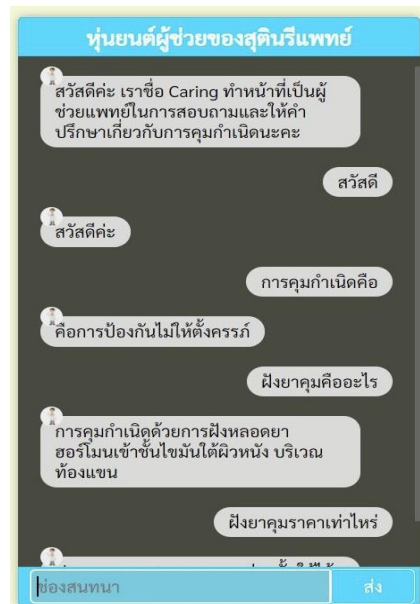
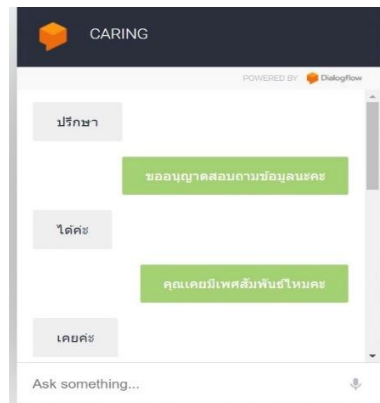
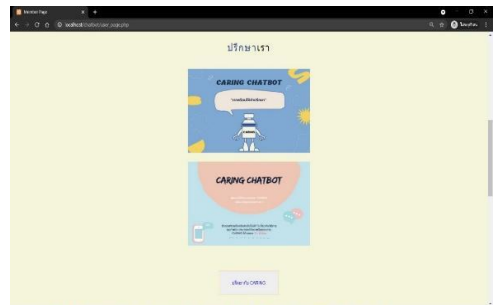
ผู้ใช้งานสามารถลงทะเบียนเพื่อสมัครเป็นสมาชิกในการใช้งานหน้าเว็บแอปพลิเคชัน ดังรูป 12



รูปที่ 12. การลงทะเบียนสำหรับสมาชิก



รูปที่ 13. หน้าเว็บแอปพลิเคชันส่วนของผู้ใช้งาน



รูปที่ 14. หน้าเว็บแอปพลิเคชันส่วนของผู้ใช้งาน Chatbot

ส่วนของสูตินรีแพทย์ จะมีการแสดงปุ่มต่างๆ เพื่อใช้งานส่วนต่างๆ ที่ได้รับอนุญาตให้ใช้งาน โดยแพทย์จะมีหน้าที่ในการให้ข้อมูลแก่ผู้ดูแลระบบ และสามารถติดตามผลของผู้ใช้ได้โดยเฝ้าดูตามรายงาน ดังรูป 15

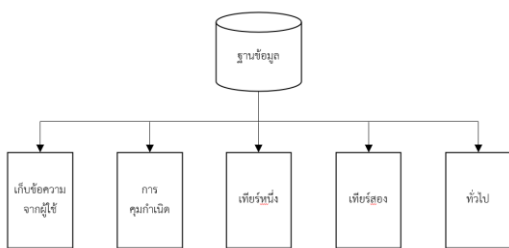
| CARING |        |              |      |          |             |       |       |
|--------|--------|--------------|------|----------|-------------|-------|-------|
| อันดับ | ชื่อ   | ประเภท       | อายุ | เพศ      | โรคประจำตัว | จำนวน | สถานะ |
| 2      | Nidhoo | Scrub/medic  | 23   | 05430305 | nc          | 58    | 185   |
| 4      | Wifaa  | Scrub        | 22   | 05242767 | -           | 76    | 174   |
| 5      | Wafaa  | Scrub        | 23   | 09030989 | nc          | 68    | 175   |
| 7      | Wafaa  | Scrub        | 22   | 09100376 | -           | 65    | 174   |
| 8      | Chanan | Practitioner | 22   | 09030796 | -           | 65    | 185   |
| 9      | Jib    | Scrub        | 22   | 09070421 | -           | 112   | 185   |

รูปที่ 15. เว็บแอปพลิเคชันส่วนรายงานของแพทย์

ส่วนของผู้ดูแลระบบ มีหน้าที่ในการจัดการ แก้ไข ปรับปรุงคำศัพท์ในระบบสร้างข้อมูลในฐานข้อมูล MongoDB และอนุมัติการเข้าใช้งานของผู้ใช้ผ่าน MySQL โดยผ่านระบบการจัดการฐานข้อมูล ดังรูป 16.

| CARING |        |              |      |          |             |       |       |
|--------|--------|--------------|------|----------|-------------|-------|-------|
| อันดับ | ชื่อ   | ประเภท       | อายุ | เพศ      | โรคประจำตัว | จำนวน | สถานะ |
| 2      | Nidhoo | Scrub/medic  | 23   | 05430305 | nc          | 58    | 185   |
| 4      | Wifaa  | Scrub        | 22   | 05242767 | -           | 76    | 174   |
| 5      | Wafaa  | Scrub        | 23   | 09030989 | nc          | 68    | 175   |
| 7      | Wafaa  | Scrub        | 22   | 09100376 | -           | 65    | 174   |
| 8      | Chanan | Practitioner | 22   | 09030796 | -           | 65    | 185   |
| 9      | Jib    | Scrub        | 22   | 09070421 | -           | 116   | 185   |

รูปที่ 16. การจัดการฐานข้อมูลของผู้ดูแลระบบ



รูปที่ 17. แสดงโครงสร้างของฐานข้อมูล

#### 4. ผลการทดสอบระบบ

การทดสอบระบบ Chatbot ในการวิจัยนี้ ได้ทำการทดลองโดยใช้คำถามที่เกี่ยวข้องกับการคุมกำเนิดในวัยรุ่น โดยการวัดผลความถูกต้องของ Chatbot และวัดค่าความแม่นยำของระบบ ดังนี้

1) การทดสอบโดยใช้ Test Case สตรีที่มีช่วงอายุระหว่าง 11-21 ปี ที่จำลองประวัติการสนทนาขึ้นมาโดยสูตินรีแพทย์ จำนวน 20 Cases และนำมาเปรียบเทียบกับการตอบคำถามของระบบหุ่นยนต์ได้ตอบการสนทนาสำหรับผู้ที่เป็นสมาชิก เพื่อเปรียบเทียบว่าสามารถตอบคำถามได้เหมือนผู้เชี่ยวชาญที่ได้จำลองขึ้นมาหรือไม่ ซึ่งในการวัดความความถูกต้องนั้นคำตอบจากระบบหุ่นยนต์ได้ตอบการสนทนาจะต้องเหมือนหรือคล้ายคลึงกับคำตอบจากผู้เชี่ยวชาญจะถือว่าถูกต้อง

2) การทดสอบหาความแม่นยำ (Precision) จากคำถามจำนวน 100 คำถาม นำมาวัดประสิทธิภาพ 2 ส่วน คือ หัวข้อ (Intent) และการตอบคำถาม โดยวัดประสิทธิภาพ ดังสมการ

$$Precision = \frac{TP}{TP+TF}$$

- ผลความแม่นยำการทำนายหัวข้อคำถาม (Intent) จากจำนวนข้อมูลที่ถูกดึงมาอย่างถูกต้อง (TP) ซึ่งการทดลองนี้ได้มาเท่ากับ 72 คำถาม และจำนวนข้อมูลที่ผิดพลาดที่ถูกดึงออกมา (TF) ซึ่งเท่ากับ 28 คำถาม ปรากฏว่า ได้ค่าความแม่นยำเท่ากับ 0.72 หรือร้อยละ 72 จากข้อมูลที่ผิดพลาดที่ถูกดึงออกมานั้นจะแก้ไขโดยการเพิ่มชุดข้อมูลให้มีความหลากหลายยิ่งขึ้น

## - ผลความแม่นยำการทำนายหัวข้อคำถาม (Intent)

จากจำนวนข้อมูลที่ถูกดึงมาอย่างถูกต้อง (TP) ซึ่งได้มาเท่ากับ 67 คำถาม และจำนวนข้อมูลที่ผิดพลาดที่ถูกดึงออกมา (TF) ซึ่งเท่ากับ 33 คำถาม ปรากฏว่า ได้ค่าความแม่นยำเท่ากับ 0.66 หรือร้อยละ 66 จากข้อมูลที่ผิดพลาดที่ถูกดึงออกมานั้นจะแก้ไขโดยการเพิ่มชุดข้อมูลให้มีความหลากหลายยิ่งขึ้น

## 5. สรุปผล

Chatbot ในการวิจัยนี้ได้รับการออกแบบและพัฒนาให้เป็นระบบตอบคำถามที่จะรับข้อความจากผู้ใช้ผ่านทางหน้า Web Application โดยใช้เทคนิคการประมวลผลภาษาธรรมชาติ ในการนำประโยคของผู้ใช้มาตัดแบ่งเป็นคำ นำคำที่ไม่เกี่ยวข้องหรือไม่มีความหมายของประโยคออก และแปลงคำแต่ละคำให้เป็น Vector เพื่อนำไปประมวลผลหาประเภทของคำถาม โดยใช้เทคนิคโครงข่ายประสาทเทียมในการคัดแยกคำถามตามประเภทที่กำหนดเอาไว้ อันได้แก่ การคุมกำเนิด การคุมกำเนิดแบบชั่วคราว เคสที่หนึ่ง เคสที่สอง และทั่วไป จากนั้นจะนำค่าของ Vector ของคำถามจากผู้ใช้ไปเปรียบเทียบกับค่า Vector ของประโยคในฐานข้อมูลของประเภทคำถามทั้งหมด และนำคำตอบของประโยคคำถามที่ใกล้เคียงกับคำถามจากผู้ใช้ที่ตอบกลับไปยังช่องทางที่ผู้ใช้ส่งข้อความมาผ่านทางหน้า Web Application ได้

จากการทดสอบระบบ Chatbot สำหรับสมาชิก จาก 20 Cases พบว่า ระบบสามารถตอบคำถามได้ทุกคำถามตามบทสนทนาที่ถูกจำลองขึ้นเป็นจำนวน 15 Case

จากการทดสอบ Chatbot สำหรับผู้ใช้ทั่วไปที่ไม่ได้เป็นสมาชิกจาก 100 คำถาม พบว่า ระบบสามารถทำนายหัวข้อคำถามได้ 72% และทำนายคำตอบได้ 66 %

## 6. ปัญหาและข้อเสนอแนะ

ในส่วนของผู้สนทนาได้ตอบการสนทนานั้น จำนวนข้อมูลในฐานข้อมูลที่ใช้ในการเรียนรู้ยังไม่ครอบคลุมถึงสิ่งที่ผู้ใช้จะถามทั้งหมด ทำให้ไม่สามารถตอบคำถามเหล่านั้นได้ อีกทั้งการตัดคำต่างๆ อาจส่งผลต่อการแปลงค่าจากข้อความ เป็น ค่า Vector ยังเกิดการประมวลผลที่ผิดพลาดและไม่สามารถตอบในสิ่งที่ถูกต้องได้ ดังนั้น เพื่อให้ส่วนของผู้สนทนาได้ตอบการสนทนาสามารถทำนายหัวข้อคำถามและทำนายคำตอบจากผู้ใช้ได้ดีขึ้น ควรเพิ่มชุดข้อมูลสำหรับฝึกสอนของแต่ละประเภทของคำถามและความหลากหลายของประโยค และเพื่อให้ส่วนของ Web Application มีความสมบูรณ์มากยิ่งขึ้น ควรเพิ่มฟังก์ชันลิ้มรสผ่าน เรื่องความปลอดภัยในการเข้าสู่ระบบ เพื่อเพิ่มประสิทธิภาพของ Web Application ให้ดียิ่งขึ้น ตลอดจนควรนำระบบไปทดสอบกับผู้ใช้จริงต่อไป

## 6. เอกสารอ้างอิง

- [1] เกศสุดา ตรียาภรณ์ และชวลีรัตน์ จรัสกุลชัย(ม.ป.ป). ระบบคำถาม – คำตอบประยุกต์ใช้กับข้อความภาษาไทย. สืบค้นเมื่อ 20 ธันวาคม 2563 เข้าถึงได้จาก <https://kukr.lib.ku.ac.th>
- [2] กมลวรรณ โพธิ์สาย. (ม.ป.ป). การวิเคราะห์หาความหมายแฝงและการเรียนรู้เครื่องจักรระบบถามตอบอัตโนมัติภาษาไทย. สืบค้นเมื่อ 20 ธันวาคม 2563 เข้าถึงได้จาก <https://dric.nrct.go.th>

- [3] โกฎจน์พงษ์ ทองเพชร. (2555). การตัดคำภาษาไทยสำหรับการค้นหาข้อมูลด้านเทคโนโลยีสารสนเทศ. สืบค้นเมื่อ 5 กันยายน 2563 เข้าถึงได้จาก <http://sutir.sut.ac.th:8080/sutir>
- [4] ปิยะ นากสงส์. (2563). สร้างและจัดการฐานข้อมูลสมัยใหม่ด้วย MongoDB. พิมพ์ครั้งที่ 1. กรุงเทพฯ
- [5] ลิงห์ทัย สุขสว่างโรจน์; และ ระพีพรรณ พิริยะกุล. (ม.ป.ป.). ระบบถาม-ตอบภาษาไทยเพื่อสนับสนุนการตัดสินใจของนักศึกษามหาวิทยาลัยรามคำแหง. กรุงเทพฯ: สาขาระบบสนับสนุนการตัดสินใจ คณะวิทยาศาสตร์ มหาวิทยาลัยรามคำแหง.
- [6] เมธาพันธ์ กิจพรธีรพันธ์ เอกสารประกอบการสอนเรื่องการคุมกำเนิดในวัยรุ่น ภาควิชาสูติรีเวช คณะแพทยศาสตร์ มหาวิทยาลัยศรีนครินทรวิโรฒ
- [7] Charu C. Aggarwal. Neural Networks and Deep Learning, Springer, September 2018.
- [8] Hobson Lane, Hannes Hapke, and Cole Howard. Natural Language Processing in Action: Understanding, analyzing, and generating text with Python., Manning., 2019.
- [9] Kevin Gurney. An introduction to neural networks., UCL Press, 1997.
- [10] Rashid Khan. and Anik Das. Build Better Chatbots: A Complete Guide to Getting Started with Chatbots. Apress. 2017.
- [11] Smart Reads. Artificial Intelligence: Understanding AI and the Implications of Machine Learning. 2016.
- [12] Sumit Raj., Building Chatbots with Python: Using Natural Language Processing and Machine Learning. Apress, 2018.
- [13] Vyas Ajay Bhagwat San Jose State University. (2018). Deep Learning for Chatbots. Retrieved September 11, 2020 from <https://scholarworks.sjsu.edu>
- [14] WigoHunter. (2017). A ready-to-use React Component for Chatroom สืบค้นเมื่อ 10 พฤศจิกายน 2563 เข้าถึงได้จาก [WigoHunter/react-chatapp](https://github.com/WigoHunter/react-chatapp)

# การออกแบบและสร้างเครื่องช่วยเดิน A Design and Construction for Walking Aids

กมลฎา เหล่าบัวบาน<sup>1</sup>, ชนิศวรา พงษ์สุพรรณ<sup>2</sup>, ชนภรณ์ ขอมอบกลาง<sup>3</sup>,  
นิธิพร รัตนวัน<sup>4</sup>, ปิยธิดา จินดาวัฒน์<sup>5</sup>, ชลดา โอสถสงเคราะห์<sup>6</sup>, อรุมา เปรมสุข<sup>7</sup>, พรสวรรค์ อัยวรรณ<sup>8</sup>,  
อัฒลบาชิช ปาเนมาเล<sup>9</sup>, จันทิมา ปานทอง<sup>10</sup>, ศลิษา สืบคล้าย<sup>11</sup>, ปิยะมาศ เสือเพ็ง<sup>12,\*</sup>  
1-11ภาควิชาเทคโนโลยีสุขภาพ คณะวิทยาศาสตร์และเทคโนโลยีสุขภาพ มหาวิทยาลัยนวมินทราธิราช  
กรุงเทพมหานคร 10300 Email: piyamas.sua@nmu.ac.th

## บทคัดย่อ

เนื่องจากผู้ป่วยที่แขนขาอ่อนแรงจะมีปัญหาเรื่องการเดินหรือการทรงตัวที่ยากลำบาก อีกทั้งการที่จะต้องเดินทางไปทำกายภาพบำบัดที่โรงพยาบาลทุกวันหรืออย่างสม่ำเสมอ จึงอาจส่งผลกระทบต่อค่าใช้จ่ายที่ตามมา การวิจัยนี้จึงมีแนวคิดที่จะออกแบบและสร้างเครื่องช่วยพยุงเดินสำหรับการกายภาพบำบัดผู้ป่วยที่แขนขาอ่อนแรง โดยตั้งชื่ออุปกรณ์นี้ว่า เดินเหินเวหา โดยมีแนวคิดมาจากรถหัดเดินสำหรับเด็กที่อยู่ในวัยหัดเดิน โดยอาศัยหลักการทางฟิสิกส์ทางการแพทย์ เพื่อออกแบบและสร้างอุปกรณ์นี้ เครื่องช่วยพยุงเดินนี้ช่วยให้ผู้ป่วยฝึกเดินได้ด้วยตัวเอง โดยไม่ล้ม เหมาะสำหรับผู้ที่ต้องการกายภาพบำบัด คนที่มีปัญหาด้านการเดิน ต้องการฝึกเดิน ผู้บาดเจ็บทางกระดูก ฟ่าตัดเข้า หรือผู้ที่มีปัญหาด้านกระดูก เครื่องช่วยพยุงเดินนี้สามารถนำไปใช้งานได้กับทุกเพศทุกวัย นอกจากนี้ยังเป็นการลดค่าใช้จ่ายจากการทำกายภาพบำบัดที่สถานพยาบาล และยังสามารถลดภาระหรือช่วยผ่อนแรงของผู้ดูแลได้

**คำสำคัญ:** เครื่องช่วยเดิน ฟิสิกส์การแพทย์ กายภาพบำบัด

## Abstract

Due to, the patient is the limb weakness who has difficulty walking or balancing. In addition, the patient must travel to the hospital for physical therapy every day or regularly. It may affect the expenses that follow. This research aims to design and construct a walking aid for physical therapy in limb weakness. It calls the device “Deinhein Weha”, with the thought of it coming from a toddler carriage. The walking aid based on the principles of medical physics for design and build. This walking aid allows the patient to practice walking on their own without falling, suitable for people who need to exercise their legs, people with walking problems, want to practice walking, sports injuries, knee surgery, or people with bone decay. The walking aid can be used by all genders and ages. It also reduces the cost of physical therapy at the hospital and can also reduce the burden or help relieve the strength of the elderly

**Keywords:** Walking Aids, Medical Physics, Physical Therapy

## 1. บทนำ

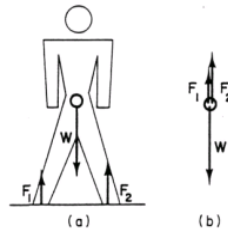
ในปัจจุบันมีผู้ป่วยจำนวนมากที่มีปัญหาเกี่ยวกับสุขภาพ ปัญหาที่เกิดขึ้นอาจเกิดจากโรค พฤติกรรมสุขภาพ การประสบอุบัติเหตุ นำไปสู่ปัญหาสุขภาพตามมาหรืออาจนำไปสู่การสูญเสียการทรงตัว เช่น ผู้ป่วยที่เป็นอัมพาตครึ่งซีกที่เกิดจากโรคหลอดเลือดสมอง ผู้ป่วยผ่าตัดเข้า ผู้ป่วยกล้ามเนื้อลีบ เป็นต้น การฟื้นฟูร่างกายของผู้ป่วยให้สามารถกลับมาทรงตัวได้ และเดิน ได้อย่างเป็นปกติหรือใกล้เคียงปกติมากที่สุดตามแผนการรักษาจำเป็นจะต้องทำกายภาพบำบัด ฝึกเดินอย่างสม่ำเสมอ และต้องมีผู้ดูแลคอยประคองอย่างใกล้ชิดเพื่อหลีกเลี่ยงการหกล้ม

ดังนั้นคณะผู้จัดทำจึงได้นำความรู้ด้านฟิสิกส์ การแพทย์ที่ได้ศึกษา นำมาประยุกต์สร้างอุปกรณ์ช่วยฟื้นฟูสุขภาพ หรือฝึกเดิน ที่ช่วยให้ผู้ป่วยสามารถฝึกเดินได้ด้วยตัวเองที่บ้าน และได้มีการนำแนวคิดมาจากรถหัดเดินของเด็กเล็กที่กำลังเข้าสู่ช่วงวัยหัดเดิน เกิดเป็น โครงการเดินเห็นเวหา (Walking Aids) ที่มีความแตกต่างจากอุปกรณ์ช่วยฝึกเดินทั่วไป โดยมีวัตถุประสงค์ออกแบบและสร้างเครื่องช่วยพยุงเดินสำหรับการกายภาพผู้ป่วยที่แขนขาอ่อนแรง ช่วยฟื้นฟูสุขภาพสำหรับผู้ที่มีปัญหาด้านการเดิน และการสูญเสียการทรงตัว ซึ่งเดินเห็นเวหา (Walking Aids) สามารถป้องกัน รักษา และฟื้นฟูสุขภาพของผู้ป่วย เพื่อให้ผู้ป่วยที่ต้องการทำกายภาพบำบัด หรือสามารถฝึกเดินได้ด้วยตนเอง และสามารถช่วยผ่อนแรงของผู้ดูแลได้

## 2. ระเบียบวิธีวิจัย

การออกแบบและสร้างเครื่องช่วยพยุงเดินนี้อาศัยหลักการฟิสิกส์ทางการแพทย์เกี่ยวกับกลศาสตร์ของร่างกาย (Mechanics of Body) ดังรูปที่ 1 และแนวคิดการออกแบบรถหัดเดินของเด็กเล็ก (Saddle-

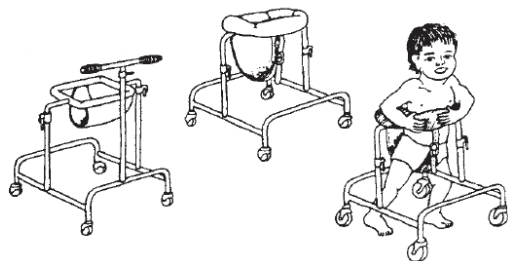
$$\sum \vec{F}_i = 0$$



$$\vec{F}_1 + \vec{F}_2 = W$$

$\vec{F}_1, \vec{F}_2$  are the forces the ground applies to the feet (Type Walker) ดังรูปที่ 2

รูปที่ 1 การศึกษาเสถียรภาพผลรวมของเวกเตอร์ของแรงทั้งหมด



รูปที่ 2 รถหัดเดินของเด็กเล็ก (Saddle-Type Walker)

เครื่องช่วยพยุงเดินนี้ถือเป็นอุปกรณ์อีกรูปแบบหนึ่งสำหรับการกายภาพผู้ป่วยที่แขนขาอ่อนแรง ช่วยให้ฝึกเดินได้ด้วยตัวเอง โดยไม่ล้ม เครื่องช่วยพยุงฝึกเดินสำหรับผู้ที่ต้องการกายภาพด้านขา เหมาะสำหรับคนที่มีปัญหาด้านการเดิน ต้องการฝึกเดิน



ไม่ว่าจะเป็นผู้ป่วยที่ต้องการกายภาพ ผู้มีปัญหาด้านขา คนแก่ เด็ก ผู้ใหญ่ ผู้บาดเจ็บทางการกีฬา ผ่าตัดเข่า หรือผู้ที่มีปัญหาด้านกระดูก

การออกแบบและสร้างเครื่องพยุงเดินจะมีล้อขนาดใหญ่พวงอยู่ที่ 6 ล้อ วางอยู่ตามตำแหน่งรอบตัวผู้ใช้งาน เพื่อคอยพยุงเดิน มีสายลือคล้องระหว่างขาและตัวพองน้ำกันกระแทกโอบล้อมผู้ใช้งานในทั้ง 4 ด้าน สามารถปรับใช้ได้ทั้งแบบนั่งและยืน มีจุดปรับได้หลายระดับทำให้เหมาะกับทุกเพศทุกวัยและหลายช่วงสรีระ

### 3. ผลการทดสอบ

จากแนวคิดคณะผู้จัดทำสามารถออกแบบและสร้างเครื่องพยุงเดินต้นแบบได้ดังรูปที่ 3 ซึ่งประกอบไปด้วยสมบัติที่สำคัญ คือ ปรับระดับความสูง-ต่ำได้ถึง 140 เซนติเมตร ที่ระดับได้เร็ว ล้อประกอบรอบฐาน 6 ล้อ และสายรัดได้ขา (เบาะ) สำหรับประคอง



รูปที่ 3 เครื่องพยุงเดินต้นแบบ

### 4. สรุป

เมื่อคนไข้ได้ใช้เครื่องช่วยเดินนี้อย่างสม่ำเสมอเพื่อรักษาและฟื้นฟูขาแล้ว จะสามารถสังเกตได้ถึงอาการที่ดีขึ้นอย่างมีนัยสำคัญ สอดคล้องกับวัตถุประสงค์ที่ได้ตั้งไว้ และเครื่องช่วยเดินนี้มีต้นทุนในการผลิตไม่แพง ทำให้ผู้ป่วยสามารถ

เข้าถึงการรักษาได้ทุกระดับ อีกทั้งผู้ป่วยสามารถให้ความช่วยเหลือและใช้เครื่องนี้ได้ด้วยตนเอง แต่อาจต้องอยู่ในการควบคุมดูแลของผู้เชี่ยวชาญ เพื่อความปลอดภัย โดยเครื่องช่วยเดินนี้สามารถปรับระดับความสูงให้เข้ากับตัวผู้ป่วยได้ เพื่อการใช้งานอย่างมีประสิทธิภาพมากยิ่งขึ้น

### 5. กิตติกรรมประกาศ

งานวิจัยนี้ได้รับการสนับสนุนเป็นอย่างดีจากวิทยาลัยพัฒนาชุมชนเมือง คณะวิทยาศาสตร์และเทคโนโลยีสุขภาพ มหาวิทยาลัยนวมินทราธิราช และผู้สนับสนุนขอขอบพระคุณที่ปรึกษาและคณะกรรมการสมาคมเทคโนโลยีสุขภาพไทย (Advisory and ThaiHTA Committee) ที่กรุณาให้คำแนะนำเป็นอย่างดี ในการจัดทำรูปแบบบทความภาษาไทย สำหรับการประชุมวิชาการเทคโนโลยีสุขภาพแห่งประเทศไทย (The Conference on Health Technology of Thailand) นี้

### เอกสารอ้างอิง

- [1] สิโรตม์ ประทุมศิริ.จุดศูนย์ถ่วง.(ออนไลน์). แหล่งที่มา:  
<https://sites.google.com/site/cudklangkhxngwathus/home/1-cudsunythwng>
- [2] พิสิศรัราชมงคล.จุดศูนย์ถ่วงกับน้ำหนัก.(ออนไลน์).แหล่งที่มา:  
<http://www.rmutphysics.com/physics/oldfront/80/balance.htm>
- [3] *How to Make Basic Hospital Equipment*, compiled by Roger England. Intermediate Technology Publications, Sales

- Office, 103-105 Southampton Row, London  
WC1B 4HH, ENGLAND. 1979, 86 pages.
- [4] *A Plastic Caliper for Children*. Operation  
Handicap International, Sectur Ventes, 14  
Avenue Berthelot, 69361 Lyon Cedex 07,  
FRANCE.
- [5] *UPKARAN: A Manual of Aids For the  
Multiply Handicapped*. Spastics Society of  
India, Upper Colaba Road, Opposite Afghan  
Church, Colaba, Bombay 400-005, INDIA.  
106 pages.
- [6] *How to Make Simple Disability  
Aids*. TALC, P.O. Box 49, St. Albans, Herts  
AL1 4AX, ENGLAND.
- [7] *More with Less: Aids for Disabled People  
for Daily Living*. TOOL Publications, P.O.  
Box 321, 2300 AH Leiden, The Netherlands.
- [8] *Personal Transport for Disabled  
People*. Produced by Healthlink but can also  
be ordered from TALC, (see their address  
above). For a description of this book see p.  
604.
- [9] Hotchkiss, Ralf. *Independence Through  
Mobility: A Guide to the Manufacture of  
the ATI-Hotchkiss Wheelchair*. Wheeled  
Mobility Center, Dept. of Engineering, San  
Francisco State University, San Francisco,  
CA 94132, USA.

# เครื่องดึงถ่วงแนวกระดูกขาแบบควบคุมด้วยรีโมท

## Skin Traction with Remote Control

จิราภัทร นุตาดี้<sup>1\*</sup>, นกัศสร คำแหง<sup>1</sup>, สุรพันธ์ ยิ้มมัน, สุเมธ อ่ำชาติ<sup>1</sup>, รสจรินทร์ รัตนสุนทร<sup>1</sup>, บรรจง ถิ่นทอง<sup>2</sup>

<sup>1</sup>สาขาวิศวกรรมชีวการแพทย์ ภาควิชาฟิสิกส์อุตสาหกรรมและอุปกรณ์การแพทย์ คณะวิทยาศาสตร์  
มหาวิทยาลัยเทคโนโลยีพระจอมเกล้าพระนครเหนือ กรุงเทพมหานคร 10800

Email: jirapatnutadee@gmail.com

<sup>2</sup> งานนวัตกรรมทางการแพทย์ โรงพยาบาลราชวิถี กรุงเทพมหานคร

Email: banchong.bme@gmail.com

### บทคัดย่อ

บทความนี้นำเสนอเครื่องดึงกระดูกขาแบบควบคุมด้วยรีโมท เพื่อให้สะดวกต่อการใช้งานและผู้ป่วยสามารถควบคุมการทำงานของเครื่องได้ด้วยตนเอง เครื่องดึงถ่วงกระดูกขาแบ่งการทำงานเป็นสามส่วน คือ ส่วนรับค่าน้ำหนักซึ่งใช้ Load cell เป็นตัวรับ, ส่วนควบคุมการทำงานของมอเตอร์ และ ส่วนการแสดงผล เครื่องนี้สามารถปรับแรงดึงได้ในช่วง 10-100 นิวตัน การสื่อสารสั่งการระหว่างตัวเครื่องและรีโมทใช้สัญญาณบลูทูธ เนื่องจากเป็นสัญญาณที่ไม่รบกวนการทำงานของเครื่องมือแพทย์ และสิ่งแวดล้อมภายในโรงพยาบาลและก็ไม่รบกวนการทำงานของสัญญาณบลูทูธเช่นกัน

**คำสำคัญ:** การดึงถ่วงกระดูกขา, โหลดเซลล์, สัญญาณบลูทูธ

### Abstract

Skintraction with remote control was made for solve the problem of the normal skin traction machine, such as patient can not control the

machine directly, difficult to install. Skintraction machine with remote control can be set the tension range 10-100 N and time between 1-24 hours. The signal that we use to control and communicate is Bluetooth signal. Bluetooth signal was approved from clinical test in American Standard that Bluetooth does not interfere to another medical devices and hospital environment does not affect the Bluetooth communication negatively.

**Keywords:** Traction of the leg bone, Load cell, Bluetooth signal

### 1. บทนำ

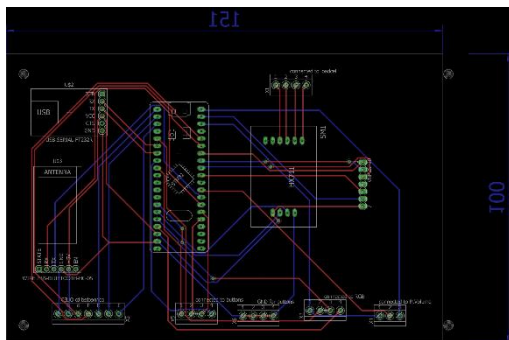
ในปัจจุบันการรักษาผู้ป่วยกระดูกต้นขาหักมักใช้การดึงถ่วงขาพร้อมด้วย เพื่อบรรเทาอาการเจ็บปวด อันเนื่องมาจากการดึงกระดูกที่ไม่สมดุลของเส้นเอ็นและกล้ามเนื้อ ปัจจุบันการดึงถ่วงกระดูกทำโดยใช้ลูกตุ้มน้ำหนักถ่วงที่ขาเอาไว้ น้ำหนักที่ใช้อยู่ระหว่าง 1-10 กิโลกรัม ปัญหาที่พบได้บ่อยคือ ในการดึงถ่วงกระดูกแต่ละครั้ง การติดตั้งมีความลำบากในการเตรียมลูกตุ้มน้ำหนัก ผู้ป่วยหรือผู้ถูก

ดิ่งไม่มีความสะดวกในการปรับตั้งค่าน้ำหนักให้เหมาะสมพอดีกับตนเองหรือถ้าน้ำหนักมากจนเกินไปผู้ป่วยก็ไม่สามารถหยุดการรักษาได้ด้วยตนเองได้ ทางคณะผู้จัดทำจึงมีแนวคิดที่จะทำโครงการสร้างเครื่องดิ่งกระดูกขาแบบควบคุมด้วยรีโมท เพื่อให้ขั้นตอนการเตรียมสะดวกมากขึ้นและผู้ป่วยสามารถควบคุมการทำงานของเครื่องได้ด้วยตนเอง

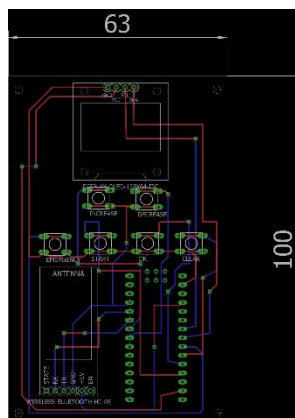
## 2. วิธีการดำเนินงาน

### 2.1 การออกแบบการทำงานและวงจร

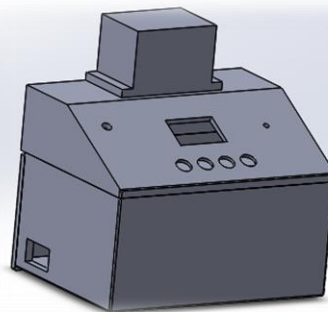
เครื่องดิ่งถ่วงกระดูกแนวขาแบบควบคุมด้วยรีโมทถูกออกแบบวงจรด้วยโปรแกรมอีเกิ้ล (Eagle) และทำเป็น PCB เพื่อนำมาบัดกรีวงจรดังรูปที่ 1 และ 2 ในส่วนของการออกแบบ Housing ของเครื่องนั้น ถูกออกแบบด้วยโปรแกรมโซลิดเวิร์ค (Solid work) ดังรูปที่ 3 และถูกผลิตขึ้นโดยแผ่น PVC มีขนาดกระทัดรัดและสามารถเคลื่อนย้ายได้สะดวก



รูปที่ 1 วงจรการทำงานของเครื่องดิ่งถ่วงกระดูกขา



รูปที่ 2 วงจรการทำงานของรีโมท

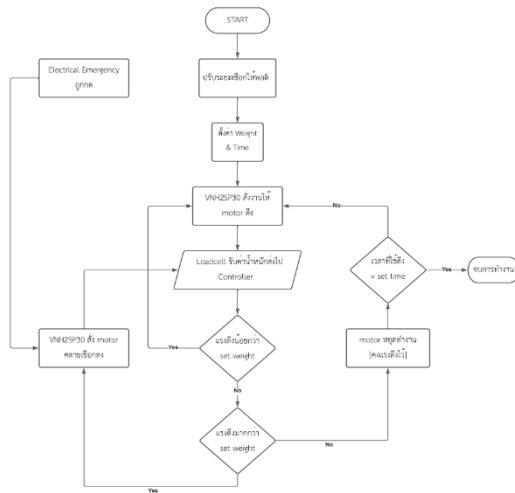


รูปที่ 3 การออกแบบ Housing ของเครื่อง

### 2.2 การออกแบบการทำงานของโปรแกรมไมโครคอนโทรลเลอร์

การทำงานของโปรแกรมเริ่มจากการกดปุ่มที่เครื่องเพื่อทำการปรับระยะของเชือกให้พอดี จากนั้นทำการตั้งค่าน้ำหนักและเวลาที่จะใช้ในการดิ่ง โมดูล VNH2SP30 จะทำงานแล้วส่งให้มอเตอร์เริ่มดิ่ง จากนั้นโหลดเซลล์ (Load cell) จะรับค่าน้ำหนักที่ถูกดิ่งแล้วส่งไปประมวลผลที่คอนโทรลเลอร์ ถ้ามีแรงดิ่งที่น้อยกว่าค่าที่ตั้งไว้ มอเตอร์ก็จะดิ่งต่อไป แต่ถ้าหากมีแรงดิ่งที่มากกว่าค่าที่ตั้งไว้ มอเตอร์จะคลายเชือก แต่ถ้ามีแรงดิ่งที่พอดีตามที่ตั้งไว้ มอเตอร์จะหยุดการทำงานและคงแรงดิ่งค้างไว้เพื่อทำการดิ่งขาผู้ป่วย จนครบ

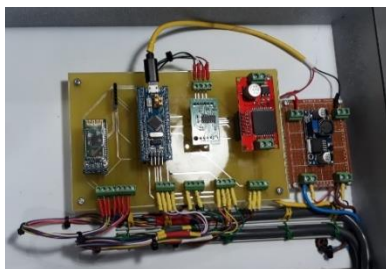
กำหนดเวลาที่ตั้งค่าไว้ ก็จะสิ้นสุดการทำงาน ในตัวเครื่องจะมี Electrical Emergency ถ้าหากเกิดการผิดพลาดในการตั้งหรือเกิดอุบัติเหตุ สามารถกดปุ่มนี้โดยที่มอเตอร์จะทำการคลายเชือก ดังรูปที่ 4



รูปที่ 4 แผนผังการทำงานของไมโครคอนโทรลเลอร์

### 2.3 การประกอบวงจร

การประกอบวงจรชุดอุปกรณ์เครื่องดึงถ่วงกระตุกแนวขาแบบควบคุมด้วยรีโมท ดังรูปที่ 5, 6, 7 และรูปที่ 8



รูปที่ 5 วงจรสำหรับการประกอบชิ้นงาน



รูปที่ 6 การนำอุปกรณ์ประกอบลงในชิ้นงาน



รูปที่ 7 วงจรและอุปกรณ์ของรีโมท



รูปที่ 8 อุปกรณ์ประกอบลงในกล่องชิ้นงานพร้อมนำไปใช้

## 2.4 อุปกรณ์ทดสอบแรงดึงและความปลอดภัยทางไฟฟ้า

ในการทดสอบแรงดึงใช้เครื่อง Force Gauge ดังรูปที่ 9 และในการทดสอบความปลอดภัยทางไฟฟ้าใช้เครื่อง Electrical Safety Analyzer ยี่ห้อ FLUKE รุ่น ESA615 ดังรูปที่ 10



รูปที่ 9 เครื่อง Force Gauge สำหรับทดสอบแรงดึง



รูปที่ 10 เครื่อง Electrical Safety Analyzer ยี่ห้อ FLUKE รุ่น ESA615 สำหรับทดสอบความปลอดภัยทางไฟฟ้า

## 3. ผลการทดลอง

3.1) การทดลองที่ 1 ได้ทดสอบหาแรงดึงที่แสดงค่าบนเครื่องทดสอบและค่าจากเครื่องดึงถ่วงแนวกระดูกงูแบบควบคุมด้วยรีโมท โดยมวลที่ใช้ 10-70 N ทำการทดสอบอย่างละ 5 ครั้งแล้วหาค่าเฉลี่ย ดังรูป 11 และรูปที่ 12 และนำค่าที่ทดสอบมาหาความผิดพลาด (Error) และความถูกต้อง (Accuracy) ได้ผลการทดลองดังรูปที่ 13

3.2) การทดลองที่ 2 ได้ทำการทดสอบค่า Electrical Safety ของเครื่องดังรูปที่ 14 , 15 และ 16

| มวลที่ใช้ (N) | ค่าที่อ่านได้จากเครื่องทดสอบแรงดึง |            |            |            |            |        | S.D.   |
|---------------|------------------------------------|------------|------------|------------|------------|--------|--------|
|               | ครั้งที่ 1                         | ครั้งที่ 2 | ครั้งที่ 3 | ครั้งที่ 4 | ครั้งที่ 5 | เฉลี่ย |        |
| 10            | 9.3                                | 8.8        | 10.6       | 10.4       | 10.02      | 9.824  | 0.7576 |
| 20            | 18.4                               | 17.4       | 17.7       | 16.5       | 18.0       | 17.60  | 0.7176 |
| 30            | 29.2                               | 28.6       | 27.8       | 28.2       | 25.8       | 27.92  | 1.2931 |
| 40            | 36.6                               | 35.0       | 34.2       | 34.5       | 37.5       | 35.56  | 1.4258 |
| 50            | 49.4                               | 48.4       | 48.2       | 50.7       | 48.9       | 49.12  | 0.9985 |
| 60            | 57.6                               | 57.1       | 56.9       | 60.0       | 60.1       | 58.34  | 1.5821 |
| 70            | 68.3                               | 71.4       | 69.5       | 65.3       | 75.0       | 69.9   | 3.6104 |

รูปที่ 11 ค่าทดสอบแรงดึงจากเครื่องทดสอบ

| มวลที่ใช้ (N) | ค่าที่อ่านได้จากเครื่องดึงถ่วงแนวกระดูกงูแบบควบคุมด้วยรีโมท |            |            |            |            |        | S.D.   |
|---------------|---|------------|------------|------------|------------|--------|--------|
|               | ครั้งที่ 1  | ครั้งที่ 2 | ครั้งที่ 3 | ครั้งที่ 4 | ครั้งที่ 5 | เฉลี่ย |        |
| 10            | 8.9   | 8.2        | 9.2        | 8.9        | 8.5        | 8.74   | 0.3912 |
| 20            | 20  | 17.7       | 18.7       | 17.7       | 18.6       | 18.54  | 0.950  |
| 30            | 30  | 29.7       | 28.8       | 29.4       | 27.8       | 29.14  | 0.8706 |
| 40            | 38.7  | 37.9       | 37.2       | 37.7       | 40.0       | 38.30  | 1.0932 |
| 50            | 49.5  | 48.4       | 47.8       | 49.4       | 47.7       | 48.56  | 0.9026 |
| 60            | 57.3  | 57.0       | 56.3       | 57.0       | 56.9       | 56.90  | 0.3674 |
| 70            | 67.2  | 70.3       | 68.4       | 68.6       | 68.7       | 68.64  | 1.1059 |

รูปที่ 12 ค่าทดสอบแรงดึงจากเครื่องดึงถ่วงแนวกระดูกงูแบบควบคุมด้วยรีโมท

| มวลที่ใช้(N) | Relative error | ค่าเฉลี่ย Relative error | %Error | %Accuracy |
|--------------|----------------|--------------------------|--------|-----------|
| 10           | 0.1103         | 0.0484                   | 4.84   | 95.16     |
| 20           | 0.0534         |                          |        |           |
| 30           | 0.0437         |                          |        |           |
| 40           | 0.0771         |                          |        |           |
| 50           | 0.0114         |                          |        |           |
| 60           | 0.0247         |                          |        |           |
| 70           | 0.0180         |                          |        |           |

รูปที่ 13 แสดงความผิดพลาด(Error) และความถูกต้อง (Accuracy)



รูปที่ 14 ทดสอบค่าความต้านทานสายกราวด์ (Grounding wire resistance)



รูปที่ 15 ทดสอบค่ากระแสไฟฟ้าวัดที่ตัวเครื่อง (Chassis leakage current)

| Electrical Safety         |                        |                   |
|---------------------------|------------------------|-------------------|
| Control Setting           | Criteria               | Measured          |
| Grounding wire resistance | $\leq 0.5 \Omega$      | 0.097 $\Omega$    |
| Chassis leakage current   | $\leq 500 \mu\text{A}$ | 1.7 $\mu\text{A}$ |

รูปที่ 16 ค่าทดสอบ Electrical Safety

จากรูปที่ 11 และ 12 ได้ทำการทดสอบหาค่าแรงดันที่ได้จากเครื่องทดสอบและจากเครื่องดึงถ่วงแนวกระดูกขาแบบควบคุมด้วยรีโมท เพื่อหาความถูกต้องของอุปกรณ์ ซึ่งได้ค่า Relative error เท่ากับ 0.0484 คิดเป็นความผิดพลาดร้อยละ 4.84 และมีความถูกต้อง (Accuracy) ร้อยละ 95.16 ดังรูปที่ 13 และจากรูปที่ 16 คือผลการทดสอบค่า

Electrical Safety ได้ค่าความต้านทานสายกราวด์ (Grounding wire resistance) เท่ากับ 0.097 โอห์ม และค่ากระแสไฟฟ้าวัดที่ตัวเครื่อง (Chassis leakage current) เท่ากับ 1.7 ไมโครแอมป์ ซึ่งค่าทั้งสองได้ผ่านตามมาตรฐานที่กำหนด

#### 4. สรุปผลการทดลอง

จากการทดลองพบว่า ตัวเครื่องสามารถใช้งานและควบคุมผ่านรีโมทได้ ผู้ป่วยสามารถควบคุมการทำงานของเครื่องได้ด้วยตนเอง ในส่วนของความแม่นยำค่าที่วัดได้มีความคลาดเคลื่อนที่ยอมรับได้ ความคลาดเคลื่อนเกิดจากปัจจัยต่างๆ เช่น คุณรูปของโพลดเซลล์ ความยืดหยุ่นของอุปกรณ์และตัวเครื่อง สเปคของมอเตอร์ รวมไปถึงทิศทางแนวตั้งของเชือก ในส่วนของระบบความปลอดภัย ปุ่ม Emergency ทั้ง 2 ปุ่ม สามารถใช้งานได้ กล่าวคือเมื่อกดปุ่มเครื่องจะเข้าสู่โหมดฉุกเฉิน เครื่องจะทำการคลายเชือกออกมา และในกรณีที่ปุ่มฉุกเฉินแรกไม่ทำงาน สามารถกดปุ่มฉุกเฉินอีกปุ่มด้านบนตัวเครื่องเพื่อตัดไฟเลี้ยงวงจรไฟฟ้า ทำให้การทำงานทุกอย่างหยุดลงในทันที

#### 5. กิตติกรรมประกาศ

งานวิจัยนี้สามารถดำเนินการสำเร็จลุล่วงไปได้ด้วยดี ตามวัตถุประสงค์นั้น ด้วยเหตุนี้จึงขอขอบพระคุณอาจารย์ที่ปรึกษาโครงการที่ช่วยเหลือแนะนำอย่างดียิ่ง ฝ่ายนวัตกรรมจากทางโรงพยาบาลราชวิถีที่พร้อมทั้งเครื่องมืออุปกรณ์ต่างๆ และเอื้อเฟื้อสถานที่ในการดำเนินการจนประสบความสำเร็จเป็นอย่างดี

#### เอกสารอ้างอิง

- [1] (ม.ป.ป.). การดูแลผู้ป่วยที่ได้รับการดึงถ่วงน้ำหนักผ่านผิวหนัง. ค้นเมื่อ 28 เมษายน 2564,

- จาก  
<https://www.nurse.kku.ac.th/index.php/download/category/50-2019-09-26-03-19-16?download=326:2019-09-26-03-47-08>
- [2] ชดากรณ์ พรหมศร, บุญรุ่ง อริยชัยกุล, และศรีัญญา แปงชุมสืบ. (ม.ป.ป.). skin traction alignment. ค้นเมื่อ 28 เมษายน 2564, จาก  
[https://www.chiangmaihealth.go.th/cmpho\\_web/document/160315145803041049.doc](https://www.chiangmaihealth.go.th/cmpho_web/document/160315145803041049.doc)
- [3] International Hospital. (n.d.). Retrieved May 1, 2021, from  
<https://www.bangkokinternationalhospital.com/th/health-articles/diseases-and-treatments/fracture>
- [4] Mats K E B Wallin, Samson Wajtraub. (2004). Evaluation of Bluetooth as a replacement for cables in intensive care and surgery. (n.d.). Retrieved May 1, 2021, from  
<https://pubmed.ncbi.nlm.nih.gov/14980934/>
- [5] S Bharadwaj Reddy. Load Cell Working Principle. (n.d.). Retrieved May 2, 2021, from  
<https://instrumentationtools.com/load-cell-working-principle/>
- [6] The Royal Children's Hospital Melbourne. Skin traction. (n.d.). Retrieved May 2, 2021, from  
[https://www.rch.org.au/rchcpg/hospital\\_clinical\\_guideline\\_index/Skin\\_traction/](https://www.rch.org.au/rchcpg/hospital_clinical_guideline_index/Skin_traction/)
- [7] Hasan AI-Nashash School of Engineering American University of Sharjah. (n.d.). Electrical Safety of Medical Equipment. Retrieved May 4, 2021, from  
<https://studylib.net/doc/18093679/are-you-aware%E2%80%A6-electrical-safety-outline>



# เว็บเบสระบบสารสนเทศทางคลินิกสำหรับมะเร็งท่อน้ำดี

## A Web-based Integrated Clinical Information System for Cholangiocarcinoma

ศัทธิตยา พุ่มเจริญ<sup>1</sup>, ประสงค์ ชูสรานนท์<sup>2</sup>, ปิยะมาศ เสือเพ็ง<sup>3</sup>

1,2ภาควิชาฟิสิกส์อุตสาหกรรมและอุปกรณ์การแพทย์ คณะวิทยาศาสตร์ประยุกต์ มหาวิทยาลัยเทคโนโลยีพระจอมเกล้าพระนครเหนือ กรุงเทพมหานคร 10800

3ภาควิชาเทคโนโลยีสุขภาพ คณะวิทยาศาสตร์และเทคโนโลยีสุขภาพ มหาวิทยาลัยนวมินทราธิราช กรุงเทพมหานคร 10300 Email: piyamas.sua@nmu.ac.th

### บทคัดย่อ

มะเร็งท่อน้ำดีพบมากที่สุดในภาคตะวันออกเฉียงเหนือของประเทศไทยโดยเป็นมะเร็งต้นกำเนิดปฐมภูมิที่พบมากเป็นอันดับสองของโลก ซึ่งระบบสารสนเทศออนไลน์ช่วยลดภาระการวิจัยและการศึกษาทางคลินิกได้อย่างมาก และขจัดข้อจำกัดของระบบการบันทึกและการสื่อสารภาพทางการแพทย์ การวิจัยนี้ได้พัฒนาเว็บเบสระบบสารสนเทศทางคลินิกสำหรับมะเร็งท่อน้ำดี เพื่อการเข้าถึงภาพดิจิทัลได้อย่างรวดเร็ว และช่วยรายงานข้อมูลสำหรับการตรวจสอบ การศึกษา และการวิจัย โดยเน้นการรักษาความลับด้วยการไม่ระบุชื่อข้อมูล และการควบคุมการเข้าถึง ซึ่งระบบได้จัดเตรียมแพลตฟอร์มการทำงานร่วมกันที่สามารถบูรณาการชุดข้อมูลทางคลินิกอันหลากหลายสำหรับการวิจัยและการศึกษาที่ต่อเนื่อง ระบบสารสนเทศนี้สามารถสนับสนุนการให้คำปรึกษาระยะไกลอย่างมีประสิทธิภาพ และสามารถวิเคราะห์ทางสถิติข้อมูลจากเครื่องมืออันหลากหลายที่รวบรวมไว้

**คำสำคัญ:** เว็บแอปพลิเคชัน ระบบสารสนเทศคลินิก มะเร็งท่อน้ำดี

### Abstract

Cholangiocarcinoma is the most common in northeast Thailand and the second of most common primary liver cancer worldwide. As an online information system, it reduces the burden more clinical research and education are required and eliminates the restrictions of the traditional isolated PACS workstations. This research developed a web-based integrated clinical information system for cholangiocarcinoma to enable rapid access to both digital images and associated text reports for audit, education and research. Emphasizing confidentiality of anonymised data and access control, the system provides a virtual collaboration platform integrating various clinical data sets for research and continuing education. The system can potentially support remote consulting and statistical analysis of aggregated multimodality data.

**Keywords:** Web Application, Clinical Information System, Cholangiocarcinoma

## 1. บทนำ

เมื่อมนุษย์รับประทานปลาน้ำจืดที่มีพยาธิหรือพยาธิใบไม้ในตับ พยาธิใบไม้ในตับ อาจทำให้เกิดการอักเสบเรื้อรังของท่อน้ำดีและพังผืดในช่องท้อง ซึ่งอาจนำไปสู่การพัฒนาของมะเร็งท่อน้ำดีในเวลาต่อมา ซึ่งมะเร็งท่อน้ำดีพบมากที่สุด ในภาคตะวันออกเฉียงเหนือของประเทศไทยโดยเป็นมะเร็งอันดับชนิดปฐมภูมิที่พบมากเป็นอันดับสองของโลก โดยที่การแพร่กระจายของพยาธิ ท่อน้ำดีอักเสบ กระเพาะปัสสาวะอักเสบปฐมภูมิ ถุงน้ำดีท่อน้ำดี ตับ และสารพิษเป็นปัจจัยของมะเร็งท่อน้ำดี ในประเทศไทยการแพร่ระบาดของพยาธิเป็นปัจจัยเสี่ยงที่สำคัญของมะเร็งท่อน้ำดี ซึ่งสอดคล้องกับพื้นที่แพร่กระจายของพยาธิใบไม้ในตับ

ในปัจจุบันระบบการดูแลสุขภาพมีการใช้รังสีวิทยาทางไกล (Teleradiology) เป็นจำนวนมาก สาเหตุประการแรก เพื่อการให้บริการที่เร่งด่วน โดยไม่มีนักรังสีวิทยาและรังสีแพทย์ ประการที่สอง รังสีวิทยาทางไกลสามารถให้การเข้าถึงที่ปรึกษาด้านรังสีวิทยาเฉพาะทางได้ทันที ประการที่สาม การสร้างความคิดเห็นที่สอง ซึ่งสาเหตุที่นำมาอ้างอิงในการนำรังสีวิทยาทางไกลนำมาใช้บ่อยที่สุด นอกจากนี้ รังสีวิทยาทางไกลสามารถนำไปใช้เพื่อดำเนินการศึกษาทางการแพทย์ต่อเนื่อง การพัฒนาความสามารถ การทดสอบและการรับรองซ้ำสำหรับนักรังสีวิทยา ตลอดจนบุคลากรในห้องปฏิบัติการ สิ่งนี้จะเป็นประโยชน์อย่างยิ่งต่อนักศึกษาในพื้นที่ชนบท ด้วยวิธีนี้พวกเขาไม่ต้องเดินทางไกลในการรับการศึกษารหัสหรือสอบ จะเห็นได้ชัดว่า รังสีวิทยาทางไกลกลายเป็นสิ่งสำคัญของการแพทย์ทางไกล (Telemedicine) ในช่วงไม่กี่ปีที่ผ่านมาและจะมีมากขึ้นในอีกไม่กี่ปีข้างหน้าด้วยการถือกำเนิดของเทคโนโลยีคอมพิวเตอร์และการสื่อสาร การสร้างระบบรังสีวิทยาทางไกลที่มีประสิทธิภาพจึงมีความเป็นไปได้ [1]

ระบบบันทึกและการสื่อสารภาพ (PACS) ใช้กันอย่างแพร่หลายในการจัดการไฟล์ไดคอม (DICOM) PACS จัดเตรียมมกลไกสำหรับการสื่อสารข้อมูล การส่ง การจัดเก็บ และการเชื่อมต่อกับระบบสารสนเทศโรงพยาบาล (HIS) หรือระบบสารสนเทศรังสีวิทยา (RIS) ที่มี บ่อยครั้งที่การสืบค้นฐานข้อมูล RIS หรือ PACS ถูกจำกัด [3, 4] นอกจากนี้โปรแกรมเปิดภาพ DICOM มักไม่ได้ใช้ประโยชน์จากนวัตกรรมที่เกี่ยวข้องกับเว็บอย่างเต็มที่

ในงานวิจัยนี้อธิบายถึงการออกแบบและการใช้งานระบบสารสนเทศทางคลินิกแบบบูรณาการบนเว็บสำหรับมะเร็งท่อน้ำดี เพื่อรวบรวมข้อมูลที่เกี่ยวข้องทางคลินิกในการดูแลผู้ป่วย เช่น พารามิเตอร์ทางรังสีวิทยา ผลการตรวจทางห้องปฏิบัติการ และการถ่ายภาพทางรังสีวิทยามักจะแยกกันเก็บรักษาเนื่องจากแพทย์ต้องรวมข้อมูลทางคลินิกทั้งหมดในการตัดสินใจประจำวัน

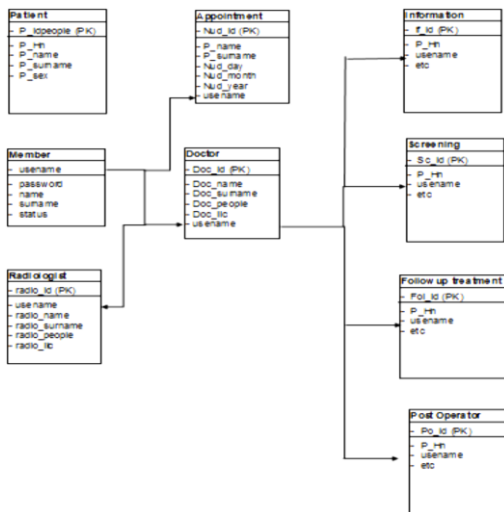
## 2. ระเบียบวิธีวิจัย

### 2.1 การออกแบบฐานข้อมูลสารสนเทศทางคลินิกสำหรับมะเร็งท่อน้ำดี

การพัฒนาเว็บระบบสารสนเทศทางคลินิกใช้คำสั่ง PHP Script ร้องขอสารสนเทศจาก My SQL Database Server ซึ่งเป็นที่จัดเก็บฐานข้อมูลสารสนเทศทางคลินิกสำหรับมะเร็งท่อน้ำดี ซึ่งประกอบด้วยตารางข้อมูลหลัก ได้แก่ ตารางข้อมูลทะเบียนผู้ป่วย ตารางข้อมูลการสัมภาษณ์ ตารางข้อมูลการตรวจอัลตราซาวด์ ตารางข้อมูลแพทย์ ตารางข้อมูลนักรังสีวิทยา ตารางข้อมูลสถานพยาบาล ตารางข้อมูลการนัดหมาย ตารางข้อมูลการติดตามการรักษา และตารางข้อมูลการติดตามผลหลังการรักษา โดยแต่ละตารางข้อมูลมีความสัมพันธ์กันดังรูปที่ 1

## 2.2 การออกแบบเว็บระบบสารสนเทศทางคลินิกสำหรับมะเร็งท่อน้ำดี

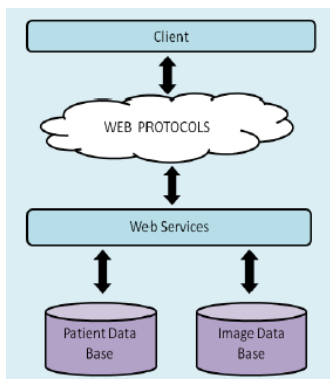
เว็บระบบสารสนเทศทางคลินิกสำหรับมะเร็งท่อน้ำดีเป็นสถาปัตยกรรมเครื่องลูกข่ายและเครื่องแม่ข่าย ข้อกำหนดที่สำคัญที่สุดประการหนึ่งสำหรับระบบ คือ แอปพลิเคชันต้องทำงานบนเว็บอย่างสมบูรณ์ วิธีนี้จะทำให้เข้าถึงข้อมูลได้สะดวกและยั่งยืนมากขึ้น ยิ่งไปกว่านั้นเทคโนโลยีบนเว็บจะช่วยให้ระบบสามารถใช้งานได้จากทุกที่ทุกเวลา ซึ่งเป็นปัจจัยสำคัญสำหรับการใช้งานทางการแพทย์ ที่เวลาไม่กี่ชั่วโมงอาจแสดงถึงความแตกต่างระหว่างการวินิจฉัยในช่วงปลายและการช่วยชีวิต เว็บระบบสารสนเทศสำหรับฝึคชอบในการอัปเดตข้อมูลผู้ป่วยพร้อมกับรูปภาพที่เกี่ยวข้อง สิ่งนี้ดำเนินการโดยใช้ฐานข้อมูล (MySQL) ซึ่งใช้ฐานข้อมูลเชิงสัมพันธ์ที่เชื่อถือได้และได้รับการพิสูจน์แล้ว เพื่อจัดการทั้งข้อมูลข้อความและรูปภาพ



รูปที่ 1 แผนผังแสดงความสัมพันธ์ของแต่ละตารางข้อมูลในฐานข้อมูลสารสนเทศทางคลินิกสำหรับมะเร็งท่อน้ำดี

เซิร์ฟเวอร์ Apache 2.0 HTTP และเอ็นจินการเขียนสคริปต์ PHP ถูกนำมาใช้ เพื่อพัฒนาฟังก์ชันอินเทอร์เน็ตเฟซผู้ใช้บนเว็บ สถาปัตยกรรมของระบบแสดงในรูปที่ 2 ข้อมูลสรุปทางคลินิกของผู้ป่วยในรูปแบบดิจิทัลได้รับการรวบรวมจากฐานข้อมูลแผนกระบบทางเดินอาหาร ข้อมูลเหล่านี้เรียกรวมกันว่า ข้อมูลอินพุต ข้อได้เปรียบของความสามารถในการค้นหาของ MySQL คือ ข้อมูลทั้งหมดที่ดึงมาจากรายงานข้อความ และคำอธิบายประกอบ สามารถค้นหาได้ในเว็บระบบสารสนเทศทางคลินิกสำหรับมะเร็งท่อน้ำดี เว็บระบบสารสนเทศทางคลินิกสำหรับมะเร็งท่อน้ำดีให้ตัวเลือกมากมายสำหรับการค้นหา เช่น การค้นหาตามหมวดหมู่ ซึ่งได้รับการออกแบบมาสำหรับการค้นหาเพื่อการวินิจฉัย การค้นหาตามรายงานนำเสนอ การค้นหาคำสำคัญในหัวข้อต่างๆ การค้นหาโดยการศึกษาช่วยให้สามารถรวบรวมกลุ่มตามวันที่ตรวจหรือหมายเลขซีเรียลอัลตราซาวด์ การค้นหาตามบันทึกเหมาะสำหรับการสืบค้นคำอธิบายประกอบ นอกจากนี้เรายังใช้ทั้งตัวดำเนินการบูลีนและไวด์การ์ดในเครื่องมือค้นหาเพื่อให้สามารถดึงข้อมูลได้อย่างยืดหยุ่นและครอบคลุม ส่วนไฟล์ข้อความที่ป้อนลงในระบบสามารถแยกวิเคราะห์และจำแนกประเภทได้ โดยการจำแนกประเภทขึ้นอยู่กับการลงทะเบียนข้อมูลประชากร การคัดกรองอัลตราซาวด์ การวินิจฉัยและการรักษา การติดตามการรักษา การวินิจฉัยขั้นสุดท้าย และการติดตามผลหลังการผ่าตัด ส่วนข้อความของเว็บระบบสารสนเทศทางคลินิกสำหรับมะเร็งท่อน้ำดีถูกแบ่งออกเป็นสาขาต่างๆ ซึ่งเชื่อมโยงกันผ่าน Patient ID ข้อมูลผู้ป่วยทั้งหมดที่อนุญาตให้ระบุตัวบุคคลได้จะเข้ารหัสเพื่อปกป้องข้อมูลและความเป็นส่วนตัวของผู้ป่วย ซึ่ง

ดำเนินการโดยใช้อัลกอริทึมที่สมมาตร เพื่อสร้างรหัสสำหรับตัวระบุจริงทั้งหมด ตัวระบุที่ไม่ระบุตัวตนที่เป็นผลลัพธ์ถูกนำมาใช้ เพื่อแทนที่ตัวระบุจริงก่อนที่จะเก็บไว้ในเว็บระบบสารสนเทศทางคลินิกสำหรับมะเร็งท่อน้ำดี



รูปที่ 2 องค์ประกอบหลักของเว็บระบบสารสนเทศทางคลินิกสำหรับมะเร็งท่อน้ำดี

### 3. ผลการทดลองและการอภิปรายผล

การใช้เว็บเซิร์ฟเวอร์เพื่อเก็บข้อมูลรังสีวิทยาและเวชระเบียน เว็บระบบสารสนเทศทางคลินิกสำหรับมะเร็งท่อน้ำดีไม่จำเป็นต้องติดตั้งหรือปรับแต่งซอฟต์แวร์คอมพิวเตอร์ฝั่งเครื่องลูกข่าย ในฐานะที่เป็นฐานข้อมูลออนไลน์ จึงสามารถเข้าถึงได้โดยผ่านระบบปฏิบัติการใด ๆ ก็ได้ ซึ่งช่วยให้ผู้ใช้หลายคนเข้าถึงสารสนเทศได้แบบเรียลไทม์ สิ่งนี้จะเป็นประโยชน์อย่างยิ่ง อีกทั้งระบบยังเป็นเวทีที่ผู้ใช้งานสามารถปรึกษาและอภิปรายเกี่ยวกับการวางแผนการรักษาของแพทย์เข้าร่วม โดยไม่จำเป็นต้องอยู่ในที่ตั้งทางภูมิศาสตร์เดียวกัน และอาจเป็นประโยชน์สำหรับสถาบันหรือสถานพยาบาลที่ไม่มีการเข้าถึง PACS จากที่พักอาศัย จุดมุ่งหมายของเว็บระบบสารสนเทศทางคลินิกสำหรับมะเร็งท่อน้ำดี คือ การสร้างระบบสารสนเทศแบบบูรณาการออนไลน์สำหรับกลุ่ม

ผู้ป่วยมะเร็งท่อน้ำดี เพื่อสนับสนุนการเฝ้าระวัง การวิจัยทางคลินิก และการศึกษาเฉพาะทาง เว็บระบบสารสนเทศทางคลินิกสำหรับมะเร็งท่อน้ำดีเป็นแหล่งข้อมูลออนไลน์ที่เต็มไปด้วยเนื้อหาสำหรับการวิจัยและการศึกษามะเร็งท่อน้ำดี นอกจากนี้ยังมีชุดฟังก์ชันแบบโต้ตอบสำหรับแพทย์และนักวิจัยในการเรียกดูภาพ แสดงภาพ จับภาพ แลกเปลี่ยน และแบ่งปันข้อมูลทั้งข้อความและรูปภาพผ่านส่วนติดต่อกับผู้ใช้งานที่ใช้งานง่าย ความเป็นมิตรต่อผู้ใช้และการใช้งานง่ายเป็นคุณสมบัติหลักสองประการที่แพทย์ที่มีงานยุ่งต้องการในการวิจัยและการศึกษา โดยมีภารกิจข้อมูลและแสดงคำอธิบายประกอบภาพ เว็บระบบสารสนเทศทางคลินิกสำหรับมะเร็งท่อน้ำดีมีตัวเลือกการค้นหาที่หลากหลาย ตัวเลือกการแสดงผลภาพและการอัปเดตออนไลน์ โดยอาศัยตัวดำเนินการบูลีนถูกนำมาประยุกต์ใช้ในการค้นหาแบบยืดหยุ่นและแบบผสม ตัวอย่างเช่น ผู้ใช้สามารถค้นหาแบบผสม เช่น ผู้ป่วยชาย อายุระหว่าง 31 ถึง 65 ปีเท่านั้น ลักษณะการทำงานของเว็บระบบสารสนเทศทางคลินิกสำหรับมะเร็งท่อน้ำดีสรุปไว้ในตารางที่ 1 รูปที่ 3 แสดงสมบัติของหน้า “รายงานฉบับเต็ม” โดยแสดงรูปภาพดิจิทัลและข้อความเคียงข้างกัน เพื่อความสะดวกในการเปรียบเทียบ ผู้ใช้งานหลักของเว็บระบบสารสนเทศทางคลินิกสำหรับมะเร็งท่อน้ำดี ได้แก่ แพทย์ นักรังสีวิทยา และนักศึกษาแพทย์ เว็บระบบสารสนเทศทางคลินิกสำหรับมะเร็งท่อน้ำดี ออกแบบมาเพื่ออำนวยความสะดวกในการวิจัยทางคลินิกและการเรียนการสอน งานวิจัยนี้มุ่งเน้นไปที่มะเร็งท่อน้ำดีเนื่องจากเป็นหนึ่งในสาเหตุการเสียชีวิตอันดับต้น ๆ เว็บระบบสารสนเทศทางคลินิกสำหรับการวิจัยที่เกี่ยวข้องกับมะเร็งท่อน้ำดีมักต้องการการบำรุงรักษาฐานข้อมูลที่กว้างขวาง เนื่องจากพบตัวแปรมากมาย การรวมภาพดิจิทัล

ในฐานะข้อมูล ซึ่งดังกล่าวเป็นเรื่องยากในอดีต และเว็บไซต์ระบบสารสนเทศทางคลินิกสำหรับมะเร็งท่อน้ำดีจึงมีการออกแบบมาเพื่อให้สามารถรวมชุดข้อมูลทั้งข้อความและรูปภาพได้อย่างไม่จำกัด

ตารางที่ 1 ลักษณะสำคัญการทำงานของเว็บไซต์สารสนเทศทางคลินิกสำหรับมะเร็งท่อน้ำดี

| หน้าเว็บ (Web Page) | เนื้อหา (Contents)  |
|---------------------|---|
| Home                | แนะนำระบบและการทำงาน  |
| Browser             | ข้อมูลผู้ป่วย รวมถึงการวินิจฉัยและความรุนแรง การระบุตัวตนของผู้ป่วยจะเข้ารหัสจากการดูของผู้ใช้งานระบบทั่วไป ตัวเลือกในการดูรายงานข้อความ รูปภาพ หรือรายงานฉบับเต็ม  |
| Search Engine       | ค้นหาตัวเลือกสำหรับตารางต่าง ๆ ในเว็บไซต์ระบบสารสนเทศทางคลินิกสำหรับมะเร็งท่อน้ำดี พร้อมคำแนะนำและป้ายที่ชัดเจน<br>หมวดหมู่การค้นหา: จัดหมวดหมู่การวินิจฉัยด้วยตัวดำเนินการบูลีน นอกจากนี้ยังสามารถใช้ไอชของผู้ป่วยเพื่อจำกัดช่วงการค้นหาให้แคบลงได้<br>การค้นหาด้วยรายงานข้อความ: ค้นหาที่สำคัญด้วยอักขระ<br>การค้นหาด้วยการตรวจ: ค้นหาตามวันที่ หรือการค้นหากรณีเฉพาะ โดยใช้รหัสการตรวจ<br>การค้นหาด้วยบันทึกย่อ/หมายเหตุ: ตัวเลือกในการค้นหาบันทึกย่อในกรอบเวลา หรือตามชื่อผู้ใช้ หรือหัวข้อของเนื้อหา |
| Image Report        | ตัวเลือกในการดูภาพที่ละเอียดหรือเป็นกลุ่ม ซึ่งทั้งหมดสามารถใส่คำอธิบายประกอบที่ละเอียดหรือเป็นชุดก็ได้ สามารถอัปเดตเพิ่มหรือลบคำอธิบายประกอบได้ทางออนไลน์   |
| Text Report         | ผู้ใช้ระดับสูงสามารถแก้ไขและอัปเดต "ความคิดเห็นของแพทย์" "การวินิจฉัย" และ "ขั้นตอน/ระยะลุกลาม"   |
| Statistics          | สรุปข้อมูลการวินิจฉัยพื้นฐานข้อมูล  |
| Document            | รายละเอียดคำแนะนำผู้ใช้สำหรับระบบ   |

#### 4. สรุปการทดลอง

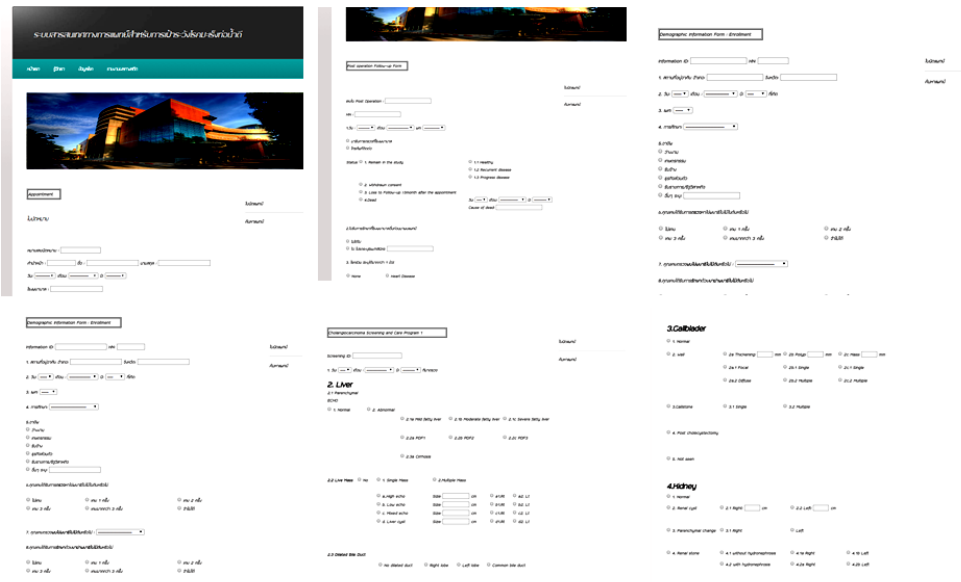
งานวิจัยนี้อธิบายถึงการพัฒนาสารสนเทศทางคลินิกสำหรับมะเร็งท่อน้ำดี ซึ่งเป็นระบบสารสนเทศทางการแพทย์ออนไลน์แบบรวมศูนย์สำหรับการวิจัยและการศึกษามะเร็งท่อน้ำดี สมบัติที่สำคัญของเว็บไซต์ระบบสารสนเทศทางคลินิกสำหรับมะเร็งท่อน้ำดีประกอบด้วย 1) การรวมรายงานรูปภาพและข้อความไว้ในฐานข้อมูลเดียว 2) ตัวเลือกการค้นหาที่หลากหลายช่วยเพิ่มความสามารถในการสืบค้นข้อมูล 3) ส่วนติดต่อกับผู้ใช้งานที่ใช้งานง่าย ซึ่งส่งเสริมการวิจัยทางคลินิกและการเรียนรู้ออนไลน์ เว็บไซต์ระบบสารสนเทศทางคลินิกสำหรับมะเร็งท่อน้ำดีได้รับการพัฒนาและแสดงให้เห็นถึงประโยชน์ในการนำไปใช้งานทางการแพทย์ตามวัตถุประสงค์

#### 5. กิตติกรรมประกาศ

งานวิจัยนี้ได้รับการสนับสนุนเป็นอย่างดีจากภาควิชาฟิสิกส์อุตสาหกรรมและอุปกรณ์การแพทย์ มหาวิทยาลัยเทคโนโลยีพระจอมเกล้าพระนครเหนือ และผู้สนับสนุนของขอบพระคุณที่ปรึกษาและคณะกรรมการสมาคมเทคโนโลยีสุขภาพไทย (Advisory and ThaiHTA Committee) ที่กรุณาให้คำแนะนำเป็นอย่างดี ในการจัดทำรูปแบบบทความภาษาไทย สำหรับการประชุมวิชาการเทคโนโลยีสุขภาพแห่งประเทศไทย (The Conference on Health Technology of Thailand) นี้

#### เอกสารอ้างอิง

- [1] Richard Wootton, Nivritti G Patil, Richard E Scott, Kendall Ho, "Telehealth in the Developing World", Royal Society of Medicine Press Ltd., 2009.
- [2] Bhattathiri PS, Gregson B, Prasad KS, Mitchell P, Soh C, Mitra D, et al: Reliability assessment of computerized tomography scanning measurements in intracerebral hematoma. Neurosurg Focus. 15:E6, 2003.



รูปที่ 3 เว็บไซต์ระบบสารสนเทศทางคลินิกสำหรับมะเร็งท่อน้ำดีและฟังก์ชันการทำงาน

- [3] Richard Wootton, Nivritti G Patil, Richard E Scott, Kendall Ho, "Telehealth in the Developing World", Royal Society of Medicine Press Ltd., 2009.
- [4] Bhattathiri PS, Gregson B, Prasad KS, Mitchell P, Soh C, Mitra D, et al: Reliability assessment of computerized tomography scanning measurements in intracerebral hematoma. *Neurosurg Focus*. 15:E6, 2003.
- [5] Lim CC, Yang GL, Nowinski WL, Hui F: Medical Image Resource Center- - making electronic teaching files from PACS. *J Digit Imaging*. 16:331-336, 2003.
- [6] Minati L, Ghielmetti F, Ciobanu V, D'Incerti L, Maccagnano C, Bizzi A, Bruzzone MG: Bio- image warehouse system: concept and implementation of a diagnosis- based data warehouse for advanced imaging modalities in neuroradiology. *J. Digit. Imaging*. 20:32-41, 2007.
- [7] Radscaper [<http://radscaper.divinet.com>]
- [8] EZDicom [<http://www.sph.sc.edu/cmd/rorden/ezdicom.html>]
- [9] Rosse C and Mejino JL Jr. , A reference ontology for biomedical informatics: the Foundational Model of Anatomy, *J. Biomed Inform*. 36:478-500, 2003.
- [10] Rubin DL, Creating and curating a terminology for radiology: ontology modeling and analysis. *J. Digit Imaging*. 21:355-362, 2008.
- [11] Y. Yu and S. T. Acton, "Speckle Reducing Anisotropic Diffusion," *IEEE Transactions on Image Processing*, vol. 11, 1260-1270, 2002.
- [12] S. T. Acton, "Locally monotonic diffusion," *IEEE Trans. Signal Processing*, vol. 48, pp. 1379-1389, May 2000.
- [13] J. A. Noble and D. Boukerroui, "Ultrasound Image Segmentation: A Survey," *IEEE transactions on medical imaging*, vol. 25, 987-1010, 2006.
- [14] A. M. F. Santos, R. M. d. Santos, P. M. A. C. Castro, E. Azevedo, L. Sousa, and J. M. R. S. Tavares, "A novel automatic algorithm for the segmentation of the lumen of the carotid artery in ultrasound B- mode images," *Expert Systems with Applications*, vol. 40, 6570-6579, 2013.
- [15] D. Lin and J. Yu, "Otsu method and K-means," in *9th International Conference on Hybrid Intelligent Systems*, 2009, 334-349.
- [16] S. Saiyod and P. Wayalun, "A New Technique for Edge Detection of Chromosome G- BAND Images for Segmentation," in *The 6th Asian Conference on Intelligent Information and Database Systems Bangkok, Thailand*, 2014, 315-324.

# ระบบแจ้งเตือนการล้มและประมาณตำแหน่งภายในอาคารชั้นเดียว

## Fall Warning System and Estimate the Location

### within a Single Floor Building

ชัยณรงค์ คล้ายมณี จิรติน ชื่นเทศ เสฏฐวุฒิ มาลัยสุวรรณ ชนະภักย์ มุกดาकरण  
ภาควิชาวิศวกรรมคอมพิวเตอร์ คณะวิศวกรรมศาสตร์ มหาวิทยาลัยศรีนครินทรวิโรฒ  
องครักษ์ นครนายก 26120 Email: [chainaro@g.swu.ac.th](mailto:chainaro@g.swu.ac.th)

#### บทคัดย่อ

งานวิจัยนี้เป็นการสร้างระบบแจ้งเตือนการล้มและประมาณตำแหน่งภายในอาคารชั้นเดียว มีวัตถุประสงค์เพื่อแจ้งเตือนเมื่อเกิดการหกล้มพร้อมกับมีการประมาณตำแหน่งของผู้สวมใส่เพื่อแจ้งให้ผู้ดูแลทราบถึงตำแหน่งภายในอาคารผ่านสมาร์ตโฟน โดยใช้วิธีประมาณการนับก้าว[4]จากความเร่งและทิศทางการเดินเพื่อใช้สำหรับการระบุตำแหน่งภายในอาคาร นอกจากนี้ยังมีระบบตรวจจับการล้ม [1][2][3] โดยใช้ข้อมูลจากเซ็นเซอร์ตรวจจับความเร่งทั้งสามแกน การประยุกต์ใช้กับผู้สูงอายุหรือผู้ป่วยที่เสี่ยงต่อการล้มได้ง่ายเป็นเป้าหมายหลัก โดยใช้พฤติกรรมที่สนใจมีทั้งหมด 7 กลุ่ม ได้แก่ การนั่ง, การยืน, การขึ้นแล้วนั่ง, การนั่งแล้วยืน, การนั่งเก้าอี้, การเดินและการนอน ซึ่งพฤติกรรมเหล่านี้จะถูกเก็บเป็นฐานข้อมูลเพื่อให้ระบบทำการตรวจสอบ และประมวลผล ในการแจ้งเตือนให้กับผู้ดูแล

**คำสำคัญ:** การหกล้ม ความเร่ง แจ้งเตือน ระบุตำแหน่ง ภายในอาคารชั้นเดียว

#### Abstract

This research is to create a falling warning system and estimate the position within a single floor

building. It is intended to provide an alert when a fall occurs, along with an approximation of the wearer's position, to notify the caregiver of the location inside the building via smartphone. Using the method of estimating the step [4] count from the acceleration and walking direction to be used for determining the location inside the building. It also has a fall detection [1][2][3] system using data from all three axes of acceleration sensors. It was applied to the elderly or patients at risk of falling easily as the main goal by using 7 groups of interested behaviors: sitting, standing, standing and sitting, sitting and standing, sitting in a chair, walking and sleeping. The behaviors will be stored as a database for the system to be reviewed and processed in notification to the caretaker.

**Keywords:** The fall, acceleration alert, identifies the location within the one-story building

## 1. บทนำ

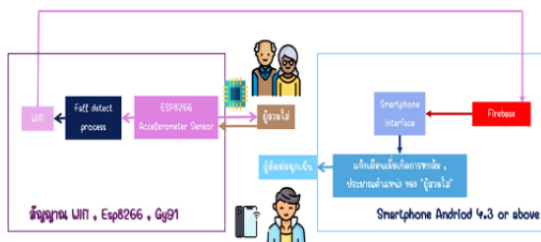
ในปัจจุบันแนวโน้มของประชากรผู้สูงอายุทั่วโลกได้เพิ่มขึ้นสูงรวมถึงในประเทศไทยเป็นผลจากการที่มนุษย์มีอายุขัยที่ยืนยาวร่วมกับการลดลงของอัตราการเกิดของประชากร การเปลี่ยนแปลงทางร่างกายของคนสูงอายุ ส่งผลให้ประสิทธิภาพการทำงานที่ของระบบต่างๆของร่างกายลดลง รวมถึงความสามารถในการเคลื่อนไหวของร่างกายเพื่อทำกิจวัตรประจำวัน โดยพบว่าผู้สูงอายุส่วนใหญ่มีปัญหาการทรงตัว ซึ่งเป็นปัจจัยที่สำคัญต่อการเกิดการล้ม โดยเฉพาะในผู้สูงอายุเพศหญิง

การล้มเป็นสาเหตุสำคัญของการบาดเจ็บและการเสียชีวิตในอันดับต้นๆของผู้สูงอายุ ปัญหาจากภาวะล้มส่งผลกระทบต่อคุณภาพชีวิตทั้งทางด้านร่างกาย จิตใจ เศรษฐกิจ ต่อตัวผู้สูงอายุและครอบครัวอย่างไรก็ตาม เนื่องจากการล้มเป็นภาวะที่สามารถป้องกันได้ การประเมินความเสี่ยงต่อการล้มของผู้สูงอายุจึงเป็นข้อมูลที่สำคัญที่สามารถนำมาใช้เป็นแนวทางในการแจ้งเตือนเมื่อมีการล้มของผู้สูงอายุได้และได้รับการช่วยเหลือหากเป็นเหตุที่อันตรายจึงต้องรู้ตำแหน่งของผู้ล้มด้วย แต่การระบุตำแหน่งภายในอาคารไม่สามารถใช้ GPS ในการระบุตำแหน่งภายในได้ เพราะสัญญาณดาวเทียมของ GPS ไม่สามารถทะลุผ่านวัสดุที่กั้นขวางได้

งานวิจัยนี้จึงได้จัดสร้างระบบการแจ้งเตือนเมื่อเกิดการล้มพร้อมทั้งการประมาณตำแหน่งภายในอาคารชั้นเดียว โดยได้ทำการออกแบบและใช้วิธีการประมวลผลเพื่อให้ทราบตำแหน่งและแจ้ง

เตือนเมื่อมีการล้มโดยผู้สวมใส่อุปกรณ์ตัวนี้ระบบจะแจ้งเตือนไปยังมือถือของผู้ดูแลให้รับทราบและทำการช่วยเหลือได้ทันเวลา

## 2. วิธีการดำเนินงาน



รูปที่ 1 แสดงระบบภาพรวมของระบบ

**Fall detector process** ว่าเกิดการหกล้มขึ้นหรือไม่ ผู้สวมใส่เดินไปในทิศทางใด เมื่อทราบค่าของความเร่งแล้ว ระบบจะส่งข้อมูลไปเก็บที่ **firebase** เพื่อเก็บข้อมูลสถานะการล้ม ความเร่ง จำนวนก้าว พิกัดตำแหน่ง x , y ค่าความเอียง และแสดงข้อความแจ้งเตือนการล้มที่ **Smartphone interface** ส่วนที่สอง คือ **Wifi Esp8266 Gy91** ประกอบไปด้วยเซนเซอร์วัดความเร่ง วัดค่าความเร่งแกน X, Y, Z ส่งข้อมูลไปประมวลผลที่ **Esp8266** โดยเข้าสู่ **Fall detector process** และส่งต่อข้อมูลในรูปแบบการสื่อสารไร้สายไปยังสมาร์ทโฟนด้วย **Wifi**



รูปที่ 2 แสดงการทำงานของระบบ



การทำงานของระบบดังรูปที่ 2 เริ่มโดยติดตั้ง Esp8266 และ Gy91 บริเวณเอวด้านขวา เปิดโปรแกรมเชื่อมต่อกับสัญญาณ wifi หรือ hotspot ที่กำหนดไว้ Esp8266 จะเริ่มรับค่าความเร็ว 3 แกน จาก Gy91 มาทำการประมวลผลเมื่อมีการล้มเป็นไปตามที่โปรแกรมกำหนดจะส่งค่าสถานะการล้ม ตำแหน่งพิกัด x, y จำนวนก้าว ค่าความเร็ว ความเอียง ไปเก็บไว้ที่ firebase พร้อมแสดงผลที่แอปพลิเคชัน ส่งเสียงแจ้งเตือนที่สมาร์ตโฟนของผู้ดูแล หรือผู้ติดต่อฉุกเฉิน เพื่อขอความช่วยเหลือ และส่งการแจ้งเตือนว่ามีการล้ม กับพิกัดระบุตำแหน่งของผู้สวมใส่ให้ผู้ดูแลหรือผู้ติดต่อฉุกเฉินรับทราบ และทำการช่วยเหลือ ผู้ดูแลหรือผู้ติดต่อฉุกเฉินเมื่อมาคูที่หน้าจอก็จะทราบสถานะการล้ม ตำแหน่งพิกัด x, y ที่ล้ม

### 3. ผลการทดลอง

การทดลองจะให้ผู้ทดลองสวมใส่อุปกรณ์ที่ตำแหน่งต่างๆเพื่อสังเกตดูว่า อุปกรณ์จะได้รับค่าต่างๆดีที่สุดในตำแหน่งที่กำหนดไว้จากนั้นจำแนกค่าต่างๆออกจากกัน ซึ่งตัวอุปกรณ์จะรับค่าความเร็วเชิงมุมความเร็วเชิงเส้นและทิศทาง ซึ่งจะแบ่งสถานะต่างๆตามค่าที่ได้ความเร็วจะแบ่งค่าที่ได้เป็นความเร็ว ต่ำ-กลาง-สูง ทิศทางที่รับมาจะแบ่งเป็น 8 ทิศ ได้แก่ ทิศเหนือ ทิศตะวันออกเฉียงเหนือ ทิศ  $T_n$  แทน จำนวนก้าวที่เครื่องนับได้  $W_s$  แทน จำนวนก้าวของผู้สวมใส่  $N$  แทน จำนวนการทดสอบ

ตะวันออก ทิศตะวันออกเฉียงใต้ ทิศใต้ ทิศตะวันตกเฉียงใต้ ทิศตะวันตก ทิศตะวันตกเฉียงเหนือ

สำหรับการพัฒนาโปรแกรมเพื่อการเก็บข้อมูล การรวมสัญญาณการสื่อสารข้อมูลระหว่าง Arduino และ notebook ใช้ภาษา C ใน Arduino IDE package ซึ่ง binary code จะถูก download และทำงานอยู่บน Arduino board ส่วนการสร้างและแสดงกราฟฟิก ใช้ Android studio ในการออกแบบ Application เพื่อแสดงค่าที่ส่งมาจาก Arduino IDE ที่รับมาจากอุปกรณ์ผ่าน Cloud

การทดลองจะให้ผู้ทดลองสวมใส่อุปกรณ์ กำหนดจุดเริ่มต้น โดยการเปิดใช้งานหรือกรีเซตบนตัวแอปพลิเคชัน ในการทดสอบการเดินจะทำการสอบเดินเป็นวงกลมหรือกลับมาตำแหน่งเพื่อเช็คค่าตำแหน่งที่ถูกต้องและจำนวนก้าวเดินโดยจะทำการทดสอบอย่างละ 10 ครั้งในการติดตั้งอุปกรณ์ข้างซ้ายและขวา ความเร็วในการเดิน และการทดสอบการล้มจะใช้คนทดสอบล้มลงเบาๆรองพื้นเพื่อไม่ให้เกิดอันตรายกับผู้ทดสอบ

ผลการทดสอบความถูกต้องการล้มและความถูกต้องการนับก้าวหาว่าได้จากสมการ

$$A_n = \frac{|T_n - W_s| / W_s}{N} \times 100 \quad (1)$$

$A_n$  แทน ค่าเฉลี่ยความถูกต้องในการนับก้าวของอุปกรณ์ (%)

$$A_f = \frac{T_f}{N} \times 100 \quad (2)$$

$A_f$  แทน ค่าเฉลี่ยความถูกต้องในการตรวจล้ม (%)

$T_f$  แทน จำนวนลิ้มที่เครื่องตรวจสอบได้

$N$  แทน จำนวนการทดสอบลิ้ม

ผลการทดสอบความแม่นยำในการนับก้าวเพื่อ  
ประมาณตำแหน่งของผู้สวมใส่เวลาเกิดอุบัติเหตุล้ม  
โดยการทดสอบนี้เป็นการทดสอบที่ค่า Threshold =  
0.8

ลักษณะการเดินคือ เดินท่าทางปกติ เกิดจาก  
ระยะก้าวในแต่ละก้าวมีความไม่เท่ากัน และความยาว  
ก้าวของแต่ละคนไม่เท่ากัน ดังนั้นจึงต้องเป็นการ  
ประมาณตำแหน่ง ไม่สามารถวัดให้ได้แม่นยำ  
100%

ข้อมูลที่ได้จากเซ็นเซอร์เพื่อใช้สำหรับการแจ้ง  
เตือนดังนี้

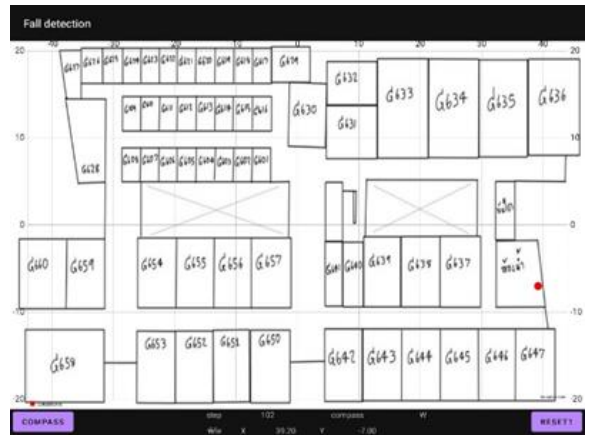


รูปที่ 3 ข้อมูล Gyroscope กรณีล้มทรมานหลัง



รูปที่ 4 ข้อมูล Accelerometer กรณีล้มทรมานหลัง  
การแสดงตำแหน่งที่ได้จากการตรวจสอบการล้ม  
ภายในอาคาร

ค่า Threshold คือ ค่าไว้กำหนดการเดินเป็นสเต็ป  
โดยจะปรับให้เข้ากับตัวใช้งาน



รูปที่ 5 แสดงตำแหน่งเกิดการล้ม(จุดแดง)

โดยมีการทดสอบทั้งหมด 60 ครั้ง ดังตาราง

ตารางที่ 1 แสดงผลการทดสอบ

|              |    |    |    |    |    |    |    |    |    |    |    |    |    |    |    |
|--------------|----|----|----|----|----|----|----|----|----|----|----|----|----|----|----|
| ลำดับที่     | 1  | 2  | 3  | 4  | 5  | 6  | 7  | 8  | 9  | 10 | 11 | 12 | 13 | 14 | 15 |
| การแจ้งเตือน | ✓  | ✓  | ✓  | ✓  | ✓  | ✓  | ×  | ✓  | ×  | ✓  | ✓  | ✓  | ✓  | ✓  | ✓  |
| ลำดับที่     | 16 | 17 | 18 | 19 | 20 | 21 | 22 | 23 | 24 | 25 | 26 | 27 | 28 | 29 | 30 |
| การแจ้งเตือน | ✓  | ✓  | ✓  | ✓  | ✓  | ✓  | ×  | ✓  | ✓  | ×  | ✓  | ×  | ✓  | ✓  | ✓  |
| ลำดับที่     | 31 | 32 | 33 | 34 | 35 | 36 | 37 | 38 | 39 | 40 | 41 | 42 | 43 | 44 | 45 |
| การแจ้งเตือน | ✓  | ✓  | ✓  | ✓  | ✓  | ×  | ✓  | ✓  | ×  | ✓  | ✓  | ✓  | ✓  | ×  | ✓  |
| ลำดับที่     | 46 | 47 | 48 | 49 | 50 | 51 | 52 | 53 | 54 | 55 | 56 | 57 | 58 | 59 | 60 |
| การแจ้งเตือน | ✓  | ×  | ✓  | ×  | ✓  | ×  | ✓  | ✓  | ✓  | ×  | ✓  | ✓  | ✓  | ✓  | ✓  |

ผลการทดสอบปรากฏตามข้อมูลในเบื้องต้น โดย  
ความคลาดเคลื่อนนั้นเกิดจากการก้าวที่ไม่เท่ากันใน  
แต่ละก้าว สำหรับการทดสอบโดยเฉพาะอย่างยิ่ง  
การเปลี่ยนคนทดสอบขนาดในการก้าวต้องมีการ  
ปรับเปลี่ยนขนาดการก้าวให้เหมาะสมในแต่ละคน  
จึงจะมีผลการทดสอบที่แม่นยำมากขึ้น

#### 4. สรุป

โครงการระบบติดตามและประมาณตำแหน่งใน  
อาคารชั้นเดียวด้วยการประมาณการนับก้าวและแจ้ง  
เตือนเมื่อมีการล้มสำหรับผู้สูงอายุ ทำให้ผู้ดูแล ไป

หายังตำแหน่งของผู้สวมใส่ที่เกิดการล้ม จากผลการ  
ลองการเดินปกติแบบซ้ำพบว่าการระบุจำนวนก้าว  
เดินสามารถระบุตำแหน่งที่ติดอุปกรณ์ซึ่งสามารถ  
ตรวจจับความถูกต้องในการนับก้าวอยู่ในระดับค่า  
คลาดเคลื่อนเฉลี่ย 16.93 % ตำแหน่ง การตรวจจับ  
การล้มสามารถตรวจจับการล้มลงได้ 81.7 % และ  
ไม่แจ้งเตือนเมื่อทำกิจกรรมประจำวัน เช่น นั่งลง  
ลุกขึ้นยืน การแสดงพิกัดในแอปพลิเคชันมีค่าความ  
คลาดเคลื่อนห่างจากที่ยืนอยู่ 1-10 เมตรค่าเฉลี่ย  
ความคลาดเคลื่อนการแสดงผลพิกัด 5.76 เมตร

#### เอกสารอ้างอิง

- [1] ชนินท์ วงษ์ใหญ่, สมหมาย บัวเข้มแสง, อภิรักษ์  
ภักดีวงศ์, และจตุพล ศรีวิลาส (2562) การพัฒนา  
ระบบตรวจสอบการ ล้มในกรณีล้มแบบกระทบ  
พื้นไม่รุนแรง ภาควิชาวิศวกรรมคอมพิวเตอร์  
วิทยาลัยวิศวกรรมศาสตร์ มหาวิทยาลัยรังสิต  
ปทุมธานี 12000.
- [2] พงษ์พันธ์ สมแพง (2561) ระบบตรวจจับการล้ม  
แบบ 2 มิติด้วย Bluetooth Accelerometer Sensor  
วิศวกรรมศาสตรมหาบัณฑิต สาขาวิชา  
วิศวกรรมคอมพิวเตอร์และโทรคมนาคม  
วิทยาลัยวิศวกรรม ด้านเทคโนโลยีและวิศวกรรม  
ศาสตร์ มหาวิทยาลัยธุรกิจบัณฑิตย์
- [3] จันทนิภา กาญจนนพวงศ์ และ กรชนก พุทธะ  
(2556) ระบบตรวจจับพฤติกรรมกรรมการหกล้มโดย  
ใช้เซ็นเซอร์วัดความเร่งแบบ 3 แกน โดย FiO  
Std Board วิศวกรรม โทรคมนาคมหลักสูตร  
วิศวกรรมศาสตรบัณฑิต สาขาวิชาวิศวกรรม

โทรคมนาคม หลักสูตรปรับปรุง พ.ศ. 2546  
สำนักวิชาวิศวกรรมศาสตร์ มหาวิทยาลัย  
เทคโนโลยีสุรนารี

- [4] Ashish Choudhary. (2019). DIY Arduino  
Pedometer - Counting Steps using Arduino and  
Accelerometer 20 ธันวาคม 2563 จาก  
<https://circuitdigest.com/users/ashish-cho>

# อุปกรณ์แจ้งเตือนผู้ป่วยตกเตียง Bed Fall Alarm Detector

รวินท์ ปิ่นน้อย<sup>1\*</sup>, ปิยฉัตร เข้มสุริโยทัย<sup>1</sup>, พยุง เดชอยู่<sup>1</sup>, รสจรินทร์ รัตนสุนทร<sup>1</sup>, เซาวนันต์ อุดมวงคาวร<sup>2</sup>,  
นงลักษณ์ ทองไทย<sup>2</sup>, เกียรติศักดิ์ โมอ่อน<sup>2</sup>, สมศักดิ์ ลำใจ<sup>2</sup>, สุทธิชัย ค้าคลอง<sup>2</sup>

<sup>1</sup>สาขาวิศวกรรมชีวการแพทย์ ภาควิชาฟิสิกส์อุตสาหกรรมและอุปกรณ์การแพทย์ คณะวิทยาศาสตร์ประยุกต์  
มหาวิทยาลัยเทคโนโลยีพระจอมเกล้าพระนครเหนือ กรุงเทพมหานคร 10800

Email: rwin.mo@gmail.com

<sup>2</sup>บริษัท อาร์เอฟเอส จำกัด โรงพยาบาลรามาริบัติ กรุงเทพมหานคร 10400

## บทคัดย่อ

วิจัยนี้ คือการออกแบบและสร้างอุปกรณ์แจ้งเตือนผู้ป่วยตกเตียง มีวัตถุประสงค์เพื่อเพิ่มความปลอดภัย หากมีเหตุฉุกเฉินผู้ป่วยตกเตียง โดยอาศัยหลักการ ไมโครคอนโทรลเลอร์ และ image processing เป็น อุปกรณ์ที่สร้างขึ้นโดยการใช้บอร์ด Raspberry pi 4 Model B โดยกล้องทำการบันทึกภาพของผู้ป่วย ขณะอยู่บนเตียง จากนั้นส่งข้อมูลภาพไปทำการประมวลผลที่บอร์ด และแสดงผลทาง LED, buzzer และ Line application เพื่อแจ้งเตือนผู้ป่วยบนเตียง แบบ Realtime จากการทดลองพบว่า อุปกรณ์แจ้งเตือนผู้ป่วยตกเตียงมีเปอร์เซ็นต์ความน่าเชื่อถือ ประมาณ 97%

**คำสำคัญ:** อุปกรณ์แจ้งเตือนผู้ป่วยตกเตียง  
โรงพยาบาลรามาริบัติ เหตุฉุกเฉินของผู้ป่วย

## Abstract

This project is the design and construction of bed alarm devices. It is intended to increase safety in the event of an emergency, the patient falls off the bed based on the principles of microcontroller and image processing. It is a device created using the Raspberry pi 4 Model B board. The camera records

images of the patient while in bed Then send the image data to the processing on the board and displayed on LED, buzzer and Line application to alert patients in bed in real time. The experimental results show that the device had a 97% reliability percentage.

**Keywords:** Bed Fall Alarm Detector Ramathibodi Hospital emergency patient

## 1. บทนำ

มาตรฐานการพยาบาลใน โรงพยาบาลหรือสถานพยาบาลต่างๆ เป็นหนึ่งในเหตุผลสำคัญที่ทำให้พัฒนาหน่วยงานในโรงพยาบาลให้มีคุณภาพมากขึ้น และทำให้การบริการทางการแพทย์มีมาตรฐาน เพื่อนำไปสู่การรับรองคุณภาพระดับประเทศ (HA : Hospital Accreditation) และพัฒนาต่อไปยังมาตรฐานสากล (JCI) ได้ [1,2] และใช้เป็นแนวทางในการพัฒนาวิชาชีพแพทย์ พยาบาลและบุคลากรในโรงพยาบาล โดยยึดผู้ใช้บริการและครอบครัวเป็นศูนย์กลางจะต้องปฏิบัติให้ตรงตามมาตรฐานที่กำหนด โรงพยาบาลและสถานพยาบาลต่างๆ จึงเกิดการวางแผนดำเนินงานหาแนวทางในการบริการ

ดูแล และรักษาผู้ป่วยในโรงพยาบาลให้มีความปลอดภัย

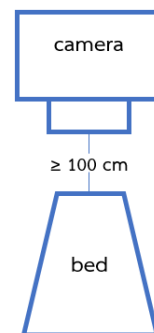
การพลัดตกเตียงเป็นอุบัติการณ์ความเสี่ยงซึ่งเป็นตัวชี้วัดคุณภาพทางการพยาบาล และเป็นตัวชี้วัดมาตรฐานความปลอดภัยของโรงพยาบาลให้มีความปลอดภัย การพลัดตกจากเตียงส่งผลต่อคุณภาพทางการพยาบาลทางด้านลบ ทำให้เกิดความไม่พอใจและในด้านกฎหมายของโรงพยาบาล เสี่ยงต่อการถูกฟ้องร้องในที่สุด [3] ในปัจจุบันพบว่าการพลัดตกเตียงเป็นสาเหตุสำคัญที่ทำให้เกิดบาดเจ็บของผู้ป่วยในโรงพยาบาล รวมทั้งเด็กและผู้ใหญ่ [4,5] แม้ว่าเตียงผู้ป่วยจะมีลักษณะ เป็นเตียงลูกกรงมีที่กั้น สองข้างสามารถปรับขึ้นลงได้แต่สาเหตุหลักการตกเตียง คือ ผู้ดูแลไม่ได้ยกที่กั้นเตียงขึ้น ซึ่งการพลัดตกเตียงทำให้เกิดการบาดเจ็บ พิการและระยะเวลาในการรักษายาวนานขึ้นเสียค่าใช้จ่ายมากขึ้นในการรักษาพยาบาลเพิ่มมากขึ้น [6,7]

เนื่องด้วยสถานการณ์โรคระบาดไวรัสโควิด-19 ทำให้มีผู้มาใช้บริการเข้ารับการรักษา พยาบาลเป็นจำนวนมาก ส่งผลทำให้นุคลากรทางการแพทย์ ได้แก่ แพทย์ พยาบาล ผู้ช่วยพยาบาล เป็นต้น ไม่สามารถดูแลผู้ป่วยได้ตลอด 24 ชั่วโมง โดยเฉพาะผู้ป่วยที่ต้องพักรักษาพยาบาลในหอผู้ป่วย ทั้งในหอผู้ป่วยสามัญ และหอผู้ป่วยพิเศษ เป็นต้น ทั้งนี้โรงพยาบาลรามาริบัติ เป็นสถานพยาบาลภาครัฐที่มีขนาดใหญ่ และมีผู้มาเข้ารับการรักษาเป็นจำนวนมาก การดูแลผู้ป่วยที่พักรักษาพยาบาลจึงไม่สามารถทำได้ตลอดเวลา และเตียงไฟฟ้า เป็นอุปกรณ์การแพทย์ชนิดหนึ่งที่มีความสำคัญในการประกอบการรักษาของแพทย์ โดยเตียงไฟฟ้านั้น จะถูกใช้อยู่ในแผนกหอผู้ป่วยต่างๆ เพื่อรองรับการเข้าพักรักษาพยาบาลของผู้ป่วย ผู้ป่วยที่เข้ารับการรักษาในหอผู้ป่วยนั้น มีทั้งผู้ป่วยที่รู้สึกตัว ไม่รู้สึกตัว คนชรา ผู้ใหญ่ และเด็ก เป็นต้น [8]

สืบเนื่องจากการที่มีผู้ป่วยมารับการรักษาเป็นจำนวนมาก ทำให้การดูแลหรือเฝ้าระวังไม่ทั่วถึง ทางคณะผู้จัดทำจึงได้สังเกตเห็นถึงประเด็นปัญหา และได้พิจารณาว่าการออกแบบและจัดทำเครื่องมือที่ช่วยในการป้องกันการตกเตียงไฟฟ้าของผู้ป่วย เป็นเครื่องมืออีกชนิดหนึ่งที่สามารถช่วยในการทำงานและแบ่งเบาภาระงานของแพทย์และพยาบาลได้ในเรื่องของการเฝ้าระวังผู้ป่วยตกเตียง อีกทั้งอุปกรณ์แจ้งเตือนผู้ป่วยตกเตียงไฟฟ้า ยังสามารถนำไปใช้ได้กับผู้ป่วยที่พักรักษาพยาบาลอยู่ที่บ้าน (Home Care) ได้อีกด้วยเพื่อช่วยในการแจ้งเตือนเมื่อผู้ป่วยอยู่ในสภาวะที่เอื้อต่อการเกิดการพลัดตกจากเตียง ซึ่งอุปกรณ์ชนิดนี้จะช่วยแจ้งเตือนก่อนการเกิดอันตราย เพื่อให้พยาบาล ผู้เฝ้าไข้ หรือญาติ เข้ามาทำการช่วยเหลือก่อนเกิดเหตุการณ์ผู้ป่วยตกเตียงเกิดขึ้น

## 2. ระเบียบวิธีวิจัย

ในการออกแบบตัวเครื่อง เริ่มจากการวัดระยะห่างของกล้องและเตียงของผู้ป่วย โดยให้กล้องสามารถมองเห็นผู้ป่วยได้ ซึ่งระยะห่างจะอยู่ประมาณหรือมากกว่า 100 เซนติเมตร โดยกล้องที่ใช้คือ infrared night vision unit for raspberry pi camera module ระดับความละเอียดอยู่ที่ 5 ล้านพิกเซล [9]



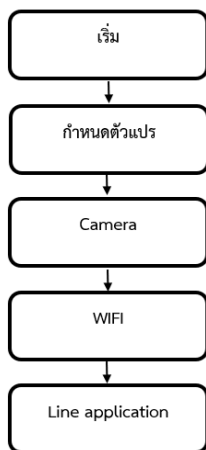
รูปที่ 1 ระยะห่างระหว่าง camera กับเตียงของผู้ป่วย

## 2.1 การออกแบบอุปกรณ์แจ้งเตือนผู้ป่วยตกเตียง ส่วน Hardware

ในการบันทึกภาพขณะที่ผู้ป่วยอยู่บนเตียง ผู้จัดทำได้เลือกใช้อุปกรณ์ camera ในการบันทึกภาพ ซึ่งมีหลักการการทำงานดังนี้ camera จะทำการบันทึกภาพขณะที่ผู้ป่วยอยู่บนเตียงแบบ real time และให้สัญญาณ output จากนั้นสัญญาณจะถูกส่งเข้ามายัง Microcontroller ของ Raspberry pi 4 ซึ่งเป็นอุปกรณ์ที่มีขนาดเล็กและมีหน่วยประมวลผลถึง 64 bit [10,11] ดังนั้น เมื่อตัว Microcontroller รับสัญญาณจาก camera สัญญาณจะถูกตอบสนองอย่างรวดเร็วและแสดงผลในส่วนถัดไป โดยมีการเชื่อมต่อระหว่าง camera กับ Microcontroller ดังรูปที่ 3

## 2.2 การออกแบบอุปกรณ์แจ้งเตือนผู้ป่วยตกเตียง ส่วน Soft ware

การทำงานของโปรแกรม จะเริ่มจากการกำหนดค่าเริ่มต้นให้กับระบบและกำหนดฟังก์ชันการทำงานของอุปกรณ์รับข้อมูล หรืออุปกรณ์แสดงผล จากนั้น camera จะทำการบันทึกภาพแบบ real time และส่งสัญญาณไปยัง WIFI เพื่อแจ้งเตือนผ่านทาง Line application

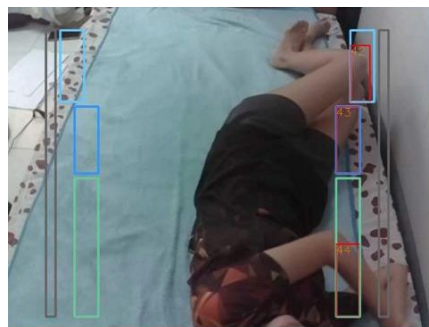


รูปที่ 2 แผนผังการทำงานส่วน Software

โดยแบ่งโหมดการทำงานเป็น 2 ส่วนคือ โหมด HSV คือการจับสี และโหมด frame คือการจับภาพเป็นเฟรม ได้ดังรูปต่อไปนี้



รูปที่ 3 การจับภาพแบบ HSV

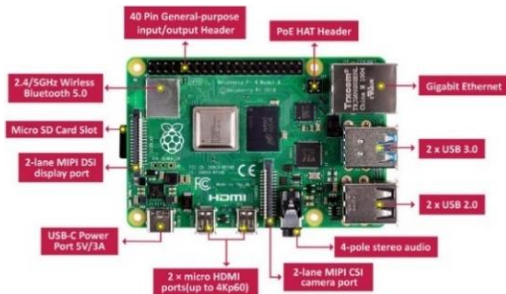


รูปที่ 4 การจับภาพแบบ Frame

## 2.3 การออกแบบอุปกรณ์แจ้งเตือนผู้ป่วยตกเตียง ส่วนการประมวลผล

การออกแบบส่วนประมวลผลงานวิจัยนี้เลือกใช้โปรแกรม Python เนื่องจากเป็นโปรแกรมที่ใช้งานง่าย และเป็นโปรแกรมที่เขียนด้วยภาษา open cv ซึ่งใช้งานได้ทั้งบนระบบปฏิบัติการ Window (XP, Vista, 7, 8) ทั้ง 32 และ 64 บิต, Mac OS X และ Linux [12] โดยใช้บอร์ด raspberry pi model B เป็น CPU หลัก บอร์ด Raspberry Pi นี้ถูกออกแบบมาให้มี CPU GPU และ RAM อยู่ภายในชิปเดียวกัน มีขา GPIO (General Purpose Input/Output) สำหรับ

ติดต่อกับสายกับวงจรถอนิกส์ภายนอกได้ Wireless LAN แบบ Dual-Band รองรับ 2.4 GHz และ 5 GHz พร้อมรองรับ Bluetooth 5.0 BLE มีพอร์ต LAN รองรับ Gigabit Ethernet พอร์ต USB 3.0 Host Type A จำนวน 2 พอร์ตและ USB 2.0 Host Type A จำนวน 2 พอร์ตมีพอร์ต micro HDMI จำนวน 2 พอร์ตรองรับการเชื่อมต่อจอ 4K60P [13]

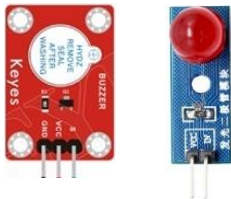


รูปที่ 5 ตำแหน่งขาและอุปกรณ์บนบอร์ด

## 2.4 การออกแบบอุปกรณ์แจ้งเตือนผู้ป่วยตกเตียง ส่วนการแสดงผล

ในการออกแบบการแสดงผลของงานวิจัยนี้ ได้มีการออกแบบเป็น 2 ประเภท คือ การแสดงผลทาง LED และ buzzer กับการแสดงผลบน Line application ที่แสดงผลผ่านคอมพิวเตอร์ โดยมีรายละเอียดดังนี้

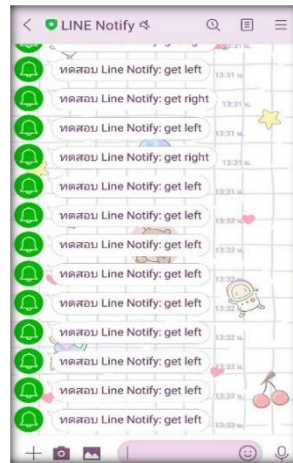
การออกแบบส่วนแสดงผลบน LED ของงานวิจัยนี้เป็น LED ขนาด 10mm. แรงดันที่จะใช้อยู่ที่ 3.3 – 5V มีกระแสไหลผ่านอยู่ที่ 20mA และ buzzer ใช้ไฟเลี้ยง 3.3 ถึง 5 V



รูปที่ 6 ลักษณะของ LED และ Buzzer

## 2.5 การออกแบบอุปกรณ์แจ้งเตือนผู้ป่วยตกเตียง ส่วนการแจ้งเตือนผ่าน Application Line

กรณีที่ผู้ป่วยเคลื่อนที่มาบริเวณขอบเตียงและใกล้จะพลัดตกจากเตียง อุปกรณ์ Raspberry pi Model B จะส่งสัญญาณผ่านการแจ้งเตือนไปยัง PC/ Smart phone โดยการเชื่อมต่อระหว่าง Microcontroller กับส่วนแสดงผล Application Line



รูปที่ 7 การแจ้งเตือนผ่าน Application Line



รูปที่ 8 ชิ้นงานจริงที่เสร็จสมบูรณ์

## 3. ผลการทดลองและการอภิปรายผล

งานวิจัยนี้ได้ทำการทดสอบอุปกรณ์แจ้งเตือนผู้ป่วยตกเตียงผลการทดสอบได้ ดังนี้ โดย status detect ok = 1 และ status detect empty = 0

ตารางที่ 1 การทดสอบโหมด HSV แบบความสว่าง  
2 ข้างไม่เท่ากัน (ข้างซ้าย)

| ครั้งที่ | ซ้าย |    |    |   |    |    |
|----------|------|----|----|---|----|----|
|          | L    | LM | LF | R | RM | RF |
| 1        | 1    | 1  | 1  | 0 | 0  | 0  |
| 2        | 1    | 1  | 1  | 0 | 0  | 0  |
| 3        | 1    | 0  | 1  | 0 | 0  | 0  |
| 4        | 1    | 1  | 1  | 0 | 0  | 0  |
| 5        | 1    | 1  | 1  | 0 | 0  | 0  |
| 6        | 1    | 1  | 1  | 0 | 0  | 0  |
| 7        | 1    | 1  | 1  | 0 | 0  | 0  |
| 8        | 1    | 1  | 0  | 0 | 0  | 0  |
| 9        | 1    | 1  | 1  | 0 | 0  | 0  |
| 10       | 1    | 1  | 1  | 0 | 0  | 0  |

ตารางที่ 3 การทดสอบโหมด HSV ตอนกลางวัน  
(ข้างซ้าย)

| ครั้งที่ | ซ้าย |    |    |   |    |    |
|----------|------|----|----|---|----|----|
|          | L    | LM | LF | R | RM | RF |
| 1        | 1    | 1  | 1  | 0 | 0  | 0  |
| 2        | 1    | 1  | 1  | 0 | 0  | 0  |
| 3        | 1    | 1  | 0  | 0 | 0  | 0  |
| 4        | 1    | 1  | 1  | 0 | 0  | 0  |
| 5        | 1    | 1  | 1  | 0 | 0  | 0  |
| 6        | 1    | 1  | 1  | 0 | 0  | 0  |
| 7        | 1    | 1  | 1  | 0 | 0  | 0  |
| 8        | 1    | 1  | 1  | 0 | 0  | 0  |
| 9        | 1    | 1  | 1  | 0 | 0  | 0  |
| 10       | 1    | 1  | 0  | 0 | 0  | 0  |

ตารางที่ 2 การทดสอบโหมด HSV แบบความสว่าง  
2 ข้างไม่เท่ากัน (ข้างขวา)

| ครั้งที่ | ขวา |    |    |   |    |    |
|----------|-----|----|----|---|----|----|
|          | L   | LM | LF | R | RM | RF |
| 1        | 0   | 0  | 0  | 1 | 1  | 1  |
| 2        | 0   | 0  | 0  | 1 | 1  | 1  |
| 3        | 0   | 0  | 0  | 1 | 1  | 1  |
| 4        | 0   | 0  | 0  | 1 | 1  | 1  |
| 5        | 0   | 0  | 0  | 1 | 1  | 1  |
| 6        | 0   | 0  | 0  | 1 | 1  | 1  |
| 7        | 0   | 0  | 0  | 1 | 1  | 1  |
| 8        | 0   | 0  | 0  | 1 | 1  | 1  |
| 9        | 0   | 0  | 0  | 1 | 1  | 1  |
| 10       | 0   | 0  | 0  | 1 | 1  | 1  |

ตารางที่ 4 การทดสอบโหมด HSV ตอนกลางวัน  
(ข้างขวา)

| ครั้งที่ | ขวา |    |    |   |    |    |
|----------|-----|----|----|---|----|----|
|          | L   | LM | LF | R | RM | RF |
| 1        | 0   | 0  | 0  | 1 | 1  | 1  |
| 2        | 0   | 0  | 0  | 1 | 1  | 1  |
| 3        | 0   | 0  | 0  | 1 | 1  | 1  |
| 4        | 0   | 0  | 0  | 1 | 1  | 1  |
| 5        | 0   | 0  | 0  | 1 | 0  | 1  |
| 6        | 0   | 0  | 0  | 1 | 1  | 1  |
| 7        | 0   | 0  | 0  | 1 | 1  | 1  |
| 8        | 0   | 0  | 0  | 1 | 1  | 1  |
| 9        | 0   | 0  | 0  | 1 | 1  | 1  |
| 10       | 0   | 0  | 0  | 1 | 1  | 1  |



ตารางที่ 5 การทดสอบโหมค HSV ตอนกลางคืน (ข้างซ้าย)

| ครั้งที่ | ซ้าย |    |    |   |    |    |
|----------|------|----|----|---|----|----|
|          | L    | LM | LF | R | RM | RF |
| 1        | 0    | 0  | 0  | 0 | 0  | 0  |
| 2        | 0    | 0  | 0  | 0 | 0  | 0  |
| 3        | 0    | 0  | 0  | 0 | 0  | 0  |
| 4        | 0    | 0  | 0  | 0 | 0  | 0  |
| 5        | 0    | 0  | 0  | 0 | 0  | 0  |
| 6        | 0    | 0  | 0  | 0 | 0  | 0  |
| 7        | 0    | 0  | 0  | 0 | 0  | 0  |
| 8        | 0    | 0  | 0  | 0 | 0  | 0  |
| 9        | 0    | 0  | 0  | 0 | 0  | 0  |
| 10       | 0    | 0  | 0  | 0 | 0  | 0  |

ตารางที่ 7 การทดสอบโหมค Frame แบบความสว่าง 2 ข้างไม่เท่ากัน (ข้างซ้าย)

| ครั้งที่ | ซ้าย |    |    |   |    |    |
|----------|------|----|----|---|----|----|
|          | L    | LM | LF | R | RM | RF |
| 1        | 1    | 1  | 1  | 0 | 0  | 0  |
| 2        | 1    | 1  | 1  | 0 | 0  | 0  |
| 3        | 1    | 1  | 1  | 0 | 0  | 0  |
| 4        | 1    | 1  | 1  | 1 | 0  | 1  |
| 5        | 1    | 1  | 1  | 1 | 1  | 1  |
| 6        | 1    | 1  | 1  | 0 | 0  | 0  |
| 7        | 1    | 1  | 1  | 0 | 1  | 0  |
| 8        | 1    | 1  | 1  | 0 | 1  | 0  |
| 9        | 1    | 1  | 1  | 0 | 0  | 0  |
| 10       | 1    | 1  | 1  | 0 | 0  | 0  |

ตารางที่ 6 การทดสอบโหมค HSV ตอนกลางวัน (ข้างขวา)

| ครั้งที่ | ขวา |    |    |   |    |    |
|----------|-----|----|----|---|----|----|
|          | L   | LM | LF | R | RM | RF |
| 1        | 0   | 0  | 0  | 1 | 1  | 1  |
| 2        | 0   | 0  | 0  | 1 | 1  | 1  |
| 3        | 0   | 0  | 0  | 1 | 1  | 1  |
| 4        | 0   | 0  | 0  | 1 | 1  | 1  |
| 5        | 0   | 0  | 0  | 1 | 1  | 1  |
| 6        | 0   | 0  | 0  | 1 | 1  | 1  |
| 7        | 0   | 0  | 0  | 1 | 1  | 1  |
| 8        | 0   | 0  | 0  | 1 | 1  | 1  |
| 9        | 0   | 0  | 0  | 1 | 1  | 1  |
| 10       | 0   | 0  | 0  | 1 | 1  | 1  |

ตารางที่ 8 การทดสอบโหมค Frame แบบความสว่าง 2 ข้างไม่เท่ากัน (ข้างขวา)

| ครั้งที่ | ขวา |    |    |   |    |    |
|----------|-----|----|----|---|----|----|
|          | L   | LM | LF | R | RM | RF |
| 1        | 0   | 0  | 0  | 0 | 0  | 0  |
| 2        | 0   | 0  | 0  | 0 | 0  | 0  |
| 3        | 0   | 0  | 0  | 0 | 0  | 0  |
| 4        | 0   | 0  | 0  | 0 | 0  | 0  |
| 5        | 0   | 0  | 0  | 0 | 0  | 0  |
| 6        | 0   | 0  | 0  | 0 | 0  | 0  |
| 7        | 0   | 0  | 0  | 0 | 0  | 0  |
| 8        | 0   | 0  | 0  | 0 | 0  | 0  |
| 9        | 0   | 0  | 0  | 0 | 0  | 0  |
| 10       | 0   | 0  | 0  | 0 | 0  | 0  |

ตารางที่ 9 การทดสอบโหมด Frame ตอนกลางวัน (ข้างซ้าย)

| ครั้งที่ | ซ้าย |    |    |   |    |    |
|----------|------|----|----|---|----|----|
|          | L    | LM | LF | R | RM | RF |
| 1        | 1    | 0  | 1  | 0 | 0  | 0  |
| 2        | 1    | 1  | 1  | 0 | 0  | 0  |
| 3        | 1    | 1  | 0  | 0 | 0  | 0  |
| 4        | 1    | 1  | 1  | 0 | 0  | 0  |
| 5        | 1    | 1  | 1  | 0 | 0  | 0  |
| 6        | 1    | 1  | 1  | 0 | 0  | 0  |
| 7        | 1    | 1  | 1  | 0 | 0  | 0  |
| 8        | 1    | 1  | 1  | 0 | 0  | 0  |
| 9        | 1    | 1  | 1  | 0 | 0  | 0  |
| 10       | 1    | 1  | 1  | 0 | 0  | 0  |

ตารางที่ 11 การทดสอบโหมด Frame ตอนกลางคืน (ข้างซ้าย)

| ครั้งที่ | ซ้าย |    |    |   |    |    |
|----------|------|----|----|---|----|----|
|          | L    | LM | LF | R | RM | RF |
| 1        | 1    | 1  | 1  | 0 | 0  | 0  |
| 2        | 1    | 1  | 1  | 1 | 0  | 0  |
| 3        | 1    | 1  | 1  | 0 | 0  | 0  |
| 4        | 1    | 1  | 1  | 0 | 0  | 0  |
| 5        | 1    | 1  | 1  | 0 | 0  | 0  |
| 6        | 1    | 1  | 1  | 0 | 0  | 0  |
| 7        | 1    | 1  | 1  | 0 | 0  | 0  |
| 8        | 1    | 1  | 1  | 0 | 0  | 0  |
| 9        | 1    | 1  | 1  | 0 | 0  | 0  |
| 10       | 1    | 1  | 1  | 0 | 0  | 0  |

ตารางที่ 10 การทดสอบโหมด Frame ตอนกลางวัน (ข้างขวา)

| ครั้งที่ | ขวา |    |    |   |    |    |
|----------|-----|----|----|---|----|----|
|          | L   | LM | LF | R | RM | RF |
| 1        | 0   | 0  | 0  | 1 | 1  | 1  |
| 2        | 0   | 0  | 0  | 1 | 1  | 1  |
| 3        | 0   | 0  | 0  | 1 | 1  | 1  |
| 4        | 0   | 0  | 0  | 1 | 1  | 1  |
| 5        | 0   | 1  | 0  | 1 | 1  | 1  |
| 6        | 0   | 0  | 0  | 1 | 1  | 1  |
| 7        | 0   | 0  | 0  | 1 | 1  | 1  |
| 8        | 0   | 0  | 0  | 1 | 1  | 1  |
| 9        | 0   | 0  | 0  | 1 | 1  | 1  |
| 10       | 0   | 0  | 0  | 1 | 1  | 1  |

ตารางที่ 12 การทดสอบโหมด Frame ตอนกลางคืน (ข้างขวา)

| ครั้งที่ | ขวา |    |    |   |    |    |
|----------|-----|----|----|---|----|----|
|          | L   | LM | LF | R | RM | RF |
| 1        | 0   | 0  | 0  | 1 | 1  | 1  |
| 2        | 0   | 0  | 0  | 1 | 1  | 1  |
| 3        | 0   | 0  | 0  | 0 | 1  | 1  |
| 4        | 0   | 0  | 0  | 1 | 1  | 1  |
| 5        | 0   | 0  | 0  | 1 | 1  | 1  |
| 6        | 0   | 0  | 0  | 1 | 1  | 1  |
| 7        | 0   | 0  | 0  | 1 | 1  | 1  |
| 8        | 0   | 0  | 0  | 1 | 1  | 1  |
| 9        | 0   | 0  | 0  | 1 | 1  | 1  |
| 10       | 0   | 0  | 0  | 1 | 1  | 1  |

จากผลการทดสอบพบว่า ค่าความแม่นยำเฉลี่ย อยู่ที่ 97.64% และค่าความผิดพลาดเฉลี่ย  $\pm 2.36\%$  ซึ่งจะเห็นว่ามีความแม่นยำในการวัดอยู่ในระดับที่เชื่อถือได้

#### 4. สรุปการทดลอง

จากการนำไปทดลองใช้การ พบว่าอุปกรณ์สามารถแจ้งเตือน เมื่อมีผู้ป่วยออกจากเตียง โดยแจ้งเตือนในรูปแบบสัญญาณไฟและเสียง พร้อมแจ้งเตือนในรูปแบบ Line application เพื่อให้พยาบาลสามารถเข้ามาดูแลได้

#### 5. กิตติกรรมประกาศ

งานวิจัยนี้ได้รับการสนับสนุนเป็นอย่างดีจากภาควิชาฟิสิกส์อุตสาหกรรมและอุปกรณ์การแพทย์ มหาวิทยาลัยเทคโนโลยีพระจอมเกล้าพระนครเหนือ และแผนกเครื่องมือแพทย์ บริษัท อาร์เอฟเอส จำกัด คณะผู้จัดทำขอขอบพระคุณที่กรุณาให้คำแนะนำและคำปรึกษาเป็นอย่างดี พร้อมทั้งเครื่องมืออุปกรณ์ และเอื้อเฟื้อสถานที่ในการดำเนินการจนประสบความสำเร็จเป็นอย่างดี

#### เอกสารอ้างอิง

- [1] โรงพยาบาลโขงเจียม, “มาตรฐานของสถานพยาบาล HA,” [Online]. Available: <https://www.khongch.go.th/web/index.php?r=km%2Fview&id=2>. [Accessed: 22 ตุลาคม 2563].
- [2] พรพิมล พรหมชาติ, “แนวคิดการพัฒนาและรับรองคุณภาพโรงพยาบาล,” [Online]. Available: <https://sites.google.com/site/wichakaywiphakhsastr/reuxng/neuxha-sara>. [Accessed: 22 ตุลาคม 2563].

- [3] thaititc, “ความเสี่ยงโรงพยาบาล,” [Online]. Available: [http://110.164.68.234/news\\_raja/files/rzET7gmMon11632.pdf](http://110.164.68.234/news_raja/files/rzET7gmMon11632.pdf). [Accessed: 22 ตุลาคม 2564].
- [4] โรงพยาบาลกรุงเทพ, “ลดอุบัติเหตุ 'พลัดตกหกล้ม' ในผู้สูงอายุ,” [Online]. Available: <https://www.bangkokhospital.com/content/reduce-accidents-in-the-elderly>. [Accessed: 22 ตุลาคม 2563].
- [5] AERIAL, “คนไข้ตกเตียง ความเสี่ยงที่สูงเกินไปไม่ได้,” [Online]. Available: <https://www.aerialcoms.com/health-trend-falling-prevention-%E0%B8%84%E0%B8%99%E0%B9%84%E0%B8%82%E0%B9%89%E0%B8%95%E0%B8%81%E0%B9%80%E0%B8%95%E0%B8%B5%E0%B8%A2%E0%B8%87-%E0%B8%84%E0%B8%A7%E0%B8%B2%E0%B8%A1%E0%B9%80%E0%B8%AA/>. [Accessed: 22 ตุลาคม 2563].
- [6] สายรุ้ง ดินก, “ดูแลผู้ป่วยเพื่อป้องกันการพลัดตกหกล้ม,” [Online]. Available: [http://med.swu.ac.th/msmc/w11-1/images/km/km\\_Fall.pdf](http://med.swu.ac.th/msmc/w11-1/images/km/km_Fall.pdf). [Accessed: 22 ตุลาคม 2563].
- [7] นฤมล กะการดี, “ลดอุบัติเหตุการเกิดพลัดตกหกล้ม (Fall) ในหน่วยงาน,” [Online]. Available: [http://www.med.swu.ac.th/msmc/w12-1/images/KM/KM\\_1-2560.pdf](http://www.med.swu.ac.th/msmc/w12-1/images/KM/KM_1-2560.pdf) [Accessed: 22 ตุลาคม 2563].

- [8] Paramount Bed, “อุปกรณ์แจ้งเตือนการลุกออก จากเตียง,” [Online]. Available: <https://www.paramountbed.co.th/product/hospital/icu-ward/alius-series>. [Accessed: 22 ตุลาคม 2563].
- [9] LNW, “กล้องสำหรับ Raspberry Pi 5 Mega Pixel OV5647 Night Vision Camera พร้อม หลอด Infrared,” [Online]. Available: <https://www.mosfex.com/product/184/%E0%B8%81%E0%B8%A5%E0%B9%89%E0%B8%AD%E0%B8%87%E0%B8%AA%E0%B8%B3%E0%B8%AB%E0%B8%A3%E0%B8%B1%E0%B8%9A-raspberry-pi-5-megapixel-ov5647-night-vision-camera-%E0%B8%9E%E0%B8%A3%E0%B9%89%E0%B8%AD%E0%B8%A1%E0%B8%AB%E0%B8%A5%E0%B8%AD%E0%B8%94-infrared>. [Accessed: 22 ตุลาคม 2563].
- [10] อพวช, “Raspberry Pi,” [Online]. Available: <https://www.nsm.or.th/other-service/666-online-science/knowledge-inventory/sci-article/sci-article-information-technology-museum/4394-raspberry-pi.html>. [Accessed: 22 ตุลาคม 2563].
- [11] ICHI.PRO, “การเปรียบเทียบ Raspberry Pi 4,” [Online]. Available: <https://ichi.pro/th/kar-pe-riyb-theiyb-raspberry-pi-4-12743033309319-5>. [Accessed: 29 ตุลาคม 2563].
- [12] PHIBLAS, “opencv-python เบื้องต้น บทที่ ๑: บทนำ,” [Online]. Available: <https://phyblas.hinaboshi.com/oshi01>. [Accessed: 22 ตุลาคม 2563].
- [13] Beer, “การใช้งาน Raspberry Pi3 ในการถ่ายทอดสด ด้วย USB WebCam,” [Online]. Available: <https://medium.com/@marutpapao/%E0%B8%81%E0%B8%B2%E0%B8%A3%E0%B8%87%E0%B8%B2%E0%B8%99-raspberry-pi3-%E0%B9%83%E0%B8%99%E0%B8%81%E0%B8%B2%E0%B8%A3%E0%B8%96%E0%B9%88%E0%B8%B2%E0%B8%A2%E0%B8%97%E0%B8%AD%E0%B8%94%E0%B8%AA%E0%B8%94-%E0%B8%94%E0%B9%89%E0%B8%A7%E0%B8%A2-usb-webcam-767bd1388738>. [Accessed: 22 ตุลาคม 2563].

# การออกแบบแอปพลิเคชันดูแลสุขภาพบนระบบปฏิบัติการแอนดรอยด์ โดยใช้การเรียนรู้ของเครื่องและหุ่นยนต์โต้ตอบการสนทนา Healthcare Application Design on Android Operating System Using Chatbot and Machine Learning

ชาญชัย โภคะนุทรานนท์<sup>1</sup> อธิ สุวรรณโษษฐ์<sup>1</sup> ชีรภัทร มีธรรม<sup>1</sup> ปฏิภาณ เหลืองอ่อน<sup>1</sup>  
ชนิดา ปโตชิตการ<sup>2</sup> วัชรชัย วิริยะสุทธีวงศ์<sup>1</sup>

<sup>1</sup>ภาควิชาวิศวกรรมคอมพิวเตอร์ คณะวิศวกรรมศาสตร์ มหาวิทยาลัยศรีนครินทรวิโรฒ

องครักษ์ นครนายก 26120 Email: watch@g.swu.ac.th

<sup>2</sup>สมาคมนักกำหนดอาหารแห่งประเทศไทย จตุจักร กรุงเทพมหานคร 10900

Email: chanida.par@mahidol.ac.th

## บทคัดย่อ

บทความวิจัยนี้นำเสนอการออกแบบแอปพลิเคชันบนระบบปฏิบัติการแอนดรอยด์ โดยใช้การเรียนรู้ของเครื่องและหุ่นยนต์โต้ตอบการสนทนา เพื่อช่วยแนะนำการออกกำลังกายและการกินอาหารเพื่อสุขภาพ โดยผู้ใช้งานสามารถเลือกเป้าหมายของตัวเองว่าต้องการจะมีรูปร่างเป็นแบบไหน แอปพลิเคชันจะทำการกำหนดจำนวนแคลอรีที่ควรกินต่อวันให้ โดยการคำนวณจะคำนวณค่าของพลังงานที่ใช้ทั้งหมดในแต่ละวัน เมื่อมีการทำกิจกรรมต่างๆ หรือค่า TDEE และมีหุ่นยนต์โต้ตอบการสนทนาคอยให้คำแนะนำต่างๆ จากการทดสอบแอปพลิเคชัน โดยการสอน Model ด้วยชุดข้อมูลภาพอาหาร 5 ประเภทๆ ละ 100 รูป และทดลอง

ใช้ Model นั้น จำแนกอาหารที่ได้จากการนำโทรศัพท์มือถือถ่ายภาพอาหาร 5 ประเภทๆ ละ 25 รูปผ่านแอปพลิเคชันที่พัฒนาขึ้น ปรากฏว่า ระบบสามารถรู้จักและแยกแยะประเภทอาหาร เพื่อกำหนดแคลอรีได้อย่างถูกต้อง

**คำสำคัญ:** แอปพลิเคชันการดูแลสุขภาพ การเรียนรู้ของเครื่อง หุ่นยนต์โต้ตอบการสนทนา การกินเพื่อสุขภาพ

## Abstract

This research paper presents the design of healthcare application on android operating system using machine learning and chatbot, to help guide exercise and healthy eating. In which users can choose their own goals that

they want to have a good body. The application will determine the number of calories you should eat per day. By It is calculated by calculating the total amount of energy used for each day. When doing various activities or values or TDEE and have a chatbot as a consultant. From the application testing by training a model with the food images dataset of 5 types, 100 images each and experiment with using the model to classify the food obtained from mobile phone photography of 5 different types of food, 25 each through the application. It was found that the system was able to recognize and classify food, to correctly determine the calories.

**Keywords:** Healthcare Application, Machine Learning, Chatbot, Healthy Eating

## 1. บทนำ

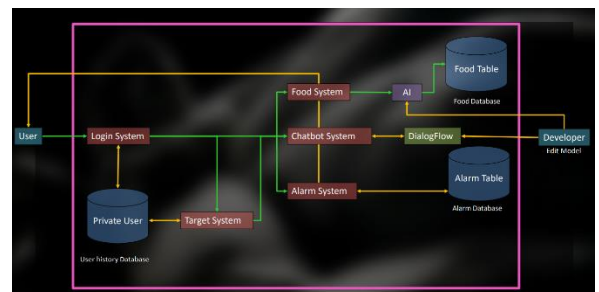
ในปัจจุบันปัญหาด้านสุขภาพของคนทั่วไปมีมากขึ้นเรื่อยๆ เนื่องจากผู้คนมักจะมองข้ามสิ่งเล็กๆ ใกล้เคียงตัว อย่างเช่นการรับประทานอาหาร โดยไม่คำนึงถึง คุณประโยชน์ พลังงาน และสารอาหารที่ควรได้รับในแต่ละวัน ซึ่งสมาคมกำหนดอาหารแห่งประเทศไทย ได้เปิดเผยข้อมูลว่า 80% ของคนไทยมีการกินอาหารเกินความจำเป็นของร่างกาย จึงทำให้เกิดโรคต่างๆ เช่น โรคเบาหวาน โรคไขมัน หรือโรคความดันโลหิตสูง เป็นต้น และมีแนวโน้มเพิ่มสูงขึ้นทุกปี นอกจากเรื่องอาหารแล้ว การออกกำลังกายที่ถูกวิธีก็เป็นอีกหนึ่งเรื่องที่สำคัญ เนื่องจากการออกกำลังกายจะทำให้ร่างกาย

แข็งแรง และช่วยสร้างภูมิคุ้มกันต่อโรคต่างๆ ได้เป็นอย่างดี ในการดูแลสุขภาพนั้น จึงควรเลือกรับประทานอาหาร และควบคุมแคลอรีในแต่ละวัน ควบคู่กับการออกกำลังกายให้เหมาะสมต่อร่างกายด้วย อย่างไรก็ตาม โดยทั่วไปแล้ว คนเรามักจะไม่ทราบเลยว่าอาหารที่เรากิน ในระหว่างวันมีแคลอรีเท่าไร จึงไม่ทราบปริมาณเหลือที่เราควรรับประทานในวันนั้น ดังนั้น งานวิจัยนี้จึงเสนอแนวคิดในการออกแบบและพัฒนาแอปพลิเคชัน เพื่อช่วยดูแลสุขภาพในเรื่องการกินอาหารและการออกกำลังกายให้เหมาะสมสำหรับแต่ละบุคคล โดยนำเทคโนโลยี ปัญญาประดิษฐ์ อันได้แก่ การเรียนรู้ของเครื่องและหุ่นยนต์ได้ตอบการสนทนา มาประยุกต์ใช้ในการพัฒนาแอปพลิเคชันนี้

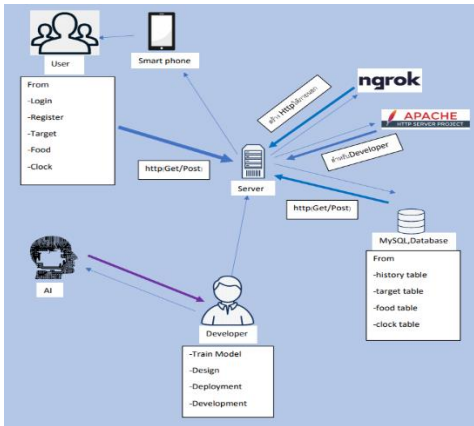
## 2. การออกแบบแอปพลิเคชัน

### 2.1 สถาปัตยกรรมและสภาพแวดล้อมการพัฒนา

การออกแบบสถาปัตยกรรมของแอปพลิเคชันการดูแลสุขภาพในการวิจัยนี้ สามารถแสดงดังรูปที่ 1. และสภาพแวดล้อมการพัฒนาแอปพลิเคชันในการวิจัยนี้ สามารถแสดงได้ดังรูปที่ 2.



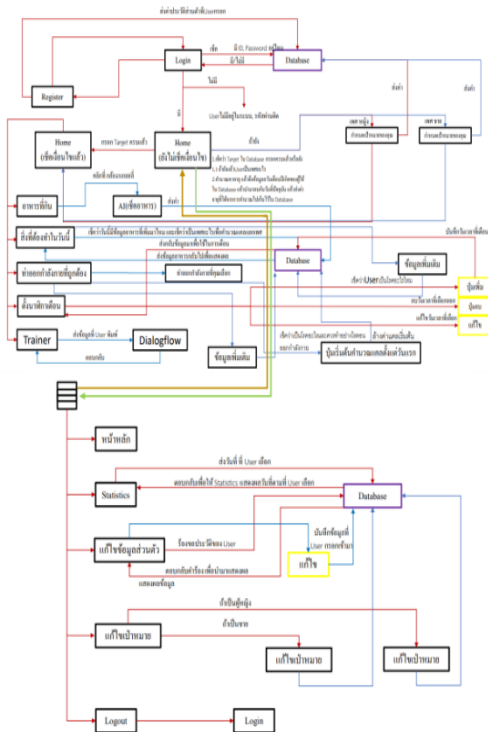
รูปที่ 1. สถาปัตยกรรมของแอปพลิเคชันในการวิจัยนี้



รูปที่ 2. สภาพแวดล้อมในการพัฒนาระบบ

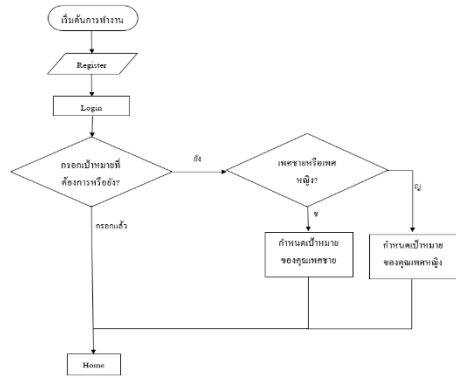
## 2.2 การออกแบบระบบงานต่างๆ

ภาพรวมกระบวนการงานต่างๆ ในการออกแบบการทำงานของระบบ สามารถแสดงได้ดังรูปที่ 3



รูปที่ 3. Work Flow ภาพรวมของระบบ

ก่อนเข้าใช้งานแอปพลิเคชันผู้ใช้จะต้องกรอกอินพุตระบบก่อน โดยมีกระบวนการแสดงได้ดังรูปที่ 6



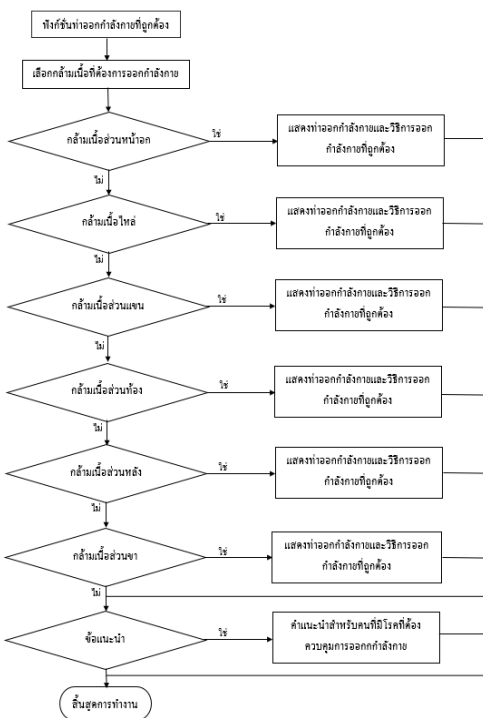
รูปที่ 4. ฟังก์ชันการเข้าสู่ระบบ

เมื่อเข้าสู่ระบบแล้ว จะให้ผู้ใช้เลือกฟังก์ชันเพื่อกำหนดเป้าหมาย ซึ่งประกอบไปด้วยฟังก์ชันอาหารที่กิน ทำออกกำลังกายที่ถูกต้อง การตั้งนาฬิกาเตือน เทรนเนอร์ สถิติ การแก้ไขข้อมูลส่วนตัว การแก้ไขเป้าหมาย และการเข้าสู่ระบบ โดยที่กระบวนการทำงานของฟังก์ชันอาหารที่กิน จะรับค่ารูปภาพอาหารจากผู้ใช้โดยผ่านการถ่ายภาพแล้วแสดงผลพร้อมออกมา ดังรูปที่ 5.



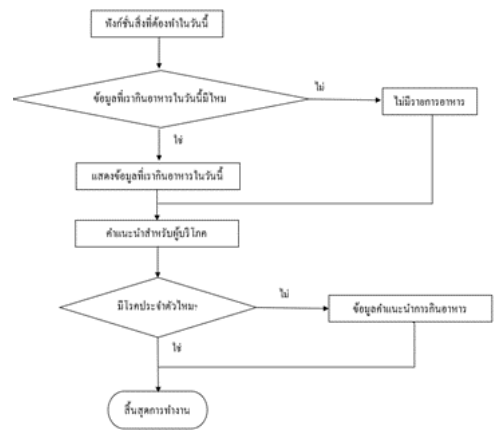
รูปที่ 5. ฟังก์ชันของฟังก์ชันอาหารที่กิน

ส่วนการออกแบบระบบแนะนำการออกกำลังกาย จะใช้ DialogFlow เป็นเครื่องมือพัฒนาหุ่นยนต์ได้ตอบการสนทนา โดยกำหนดให้ใช้ฟังก์ชัน Trainer และมีฟังก์ชันตั้งนาฬิกาเตือนในการออกกำลังกายเพื่อช่วยเตือนเมื่อถึงเวลาที่ตั้งไว้ นอกจากนี้ยังมีฟังก์ชันทำออกกำลังกายที่ถูกต้องในการออกกำลังกายแต่ละส่วน คอยแนะนำผู้ใช้ ดังรูปที่ 6.



รูปที่ 6. ฟังก์ชันของฟังก์ชันทำออกกำลังกายที่ถูกต้อง

ในส่วนการออกแบบระบบที่คอยช่วยพิจารณาว่าวันนี้ผู้ใช้รับประทานอาหารที่มีแคลอรีถึงเกณฑ์ที่กำหนดหรือไม่ จะมีกระบวนการทำงานดังรูปที่ 7.

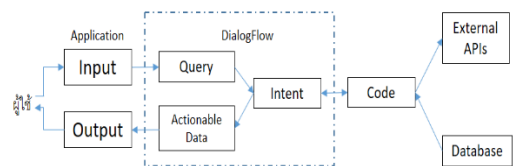


รูปที่ 7. ฟังก์ชันของฟังก์ชันสิ่งที่ต้องทำในวันนี้

ในการออกแบบระบบส่วนนี้ จะมีฟังก์ชัน Statistic ให้ผู้ใช้สามารถเรียกดูสถิติการกินอาหารที่ผ่านมาของผู้ใช้ว่ากินอะไร ไปบ้าง และได้แคลอรีตามเกณฑ์ที่เหมาะสมหรือไม่

### 2.3 หุ่นยนต์ได้ตอบการสนทนาการดูแลสุขภาพ

การออกแบบหุ่นยนต์ได้ตอบการสนทนาหรือ Chatbot ภายในแอปพลิเคชัน จะใช้ DialogFlow เป็นเครื่องมือในการพัฒนาตามแพลตฟอร์มดังรูปที่ 8.

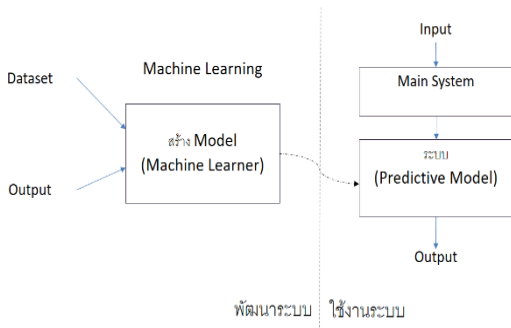


รูปที่ 8. แพลตฟอร์มหุ่นยนต์ได้ตอบการสนทนาของ DialogFlow



## 2.4 กระบวนการเรียนรู้ของเครื่อง

ในการออกแบบระบบการสอน Model และนำ Model นั้นไปทำความเข้าใจและแยกแยะประเภทอาหารที่ใช้กล้องจากโทรศัพท์มือถือถ่ายภาพผ่านแอปพลิเคชันมาเพื่อกำหนดแคลอรีของอาหาร ประกอบในการดูแลสุขภาพของผู้ใช้ จะใช้กระบวนการเรียนรู้ของเครื่อง (Machine Learning) ดังรูปที่ 9.



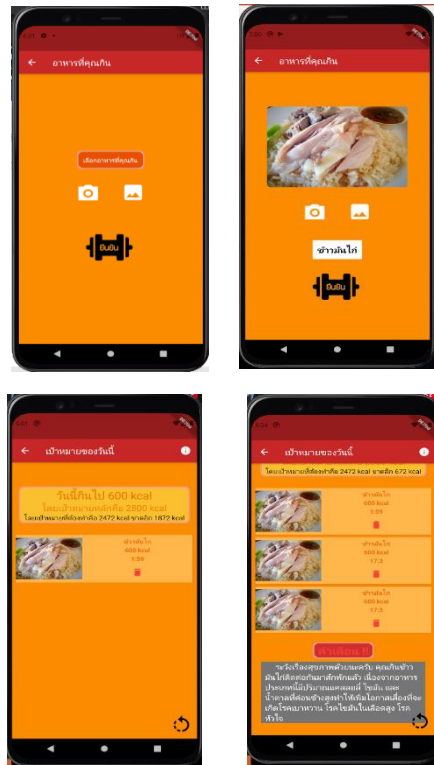
รูปที่ 9. กระบวนการและการใช้การเรียนรู้ของเครื่อง

การพัฒนากระบวนการเรียนรู้ของเครื่องในการวิจัยนี้ได้นำเอา Teachable Machine เข้ามาเป็นเครื่องมือสำหรับสอน Model เรียนรู้ผ่านกล้อง โดยสิ่งที่จะนำมาสอนให้ Model เข้าใจประกอบไปด้วยอาหารทั้งหมด 5 ประเภท อันได้แก่ ผัดซีอิ๊ว ข้าวหมูกรอบ ข้าวมันไก่ ข้าวผัด และข้าวไข่เจียว โดยใช้ชุดข้อมูลภาพอาหารประเภทละ 100 รูป ซึ่งเมื่อ Model เรียนรู้จนจบแล้วตัว Model ที่ได้รับการสอนแล้วนั้น จะมีความสามารถรู้จักและแยกแยะอาหารได้ ซึ่งในการวิจัยนี้ จะใช้ TensorFlow เป็นเครื่องมือในการนำ Model ไปใส่ไว้ในแอปพลิเคชัน

## 3. การพัฒนาแอปพลิเคชันการดูแลสุขภาพ

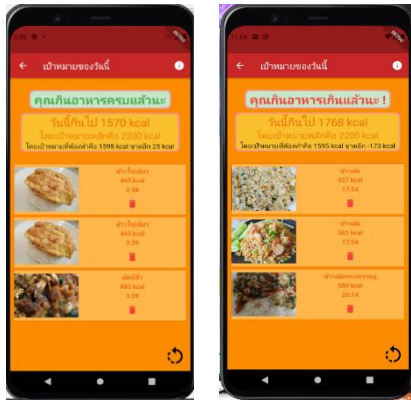
การวิจัยนี้ใช้ Flutter ในการพัฒนาแอปพลิเคชัน โดยเขียนผ่าน Visual Studio Code ด้วยภาษา Dart แล้วจำลองแอปพลิเคชันด้วย Android Studio ซึ่งแอปพลิเคชันนี้จะช่วยผู้ควบคุมพลังงานที่ได้รับ (แคลอรี) ในการกินอาหาร และการออกกำลังกายในแต่ละวัน หน้าหลักของแอปพลิเคชันจะประกอบไปด้วยเมนูทั้งหมด 5 เมนูได้แก่ อาหารที่กิน เป้าหมายที่ต้องทำ ทำออกกำลังกายที่ถูกต้อง ตั้งเวลาเตือน และเทรนเนอร์

ผู้ใช้สามารถใช้แอปพลิเคชันนี้ถ่ายภาพอาหารที่กินภายในแต่ละวันเข้ามาโดยผ่านทางกล้องโทรศัพท์มือถือ ดังรูปที่ 10.



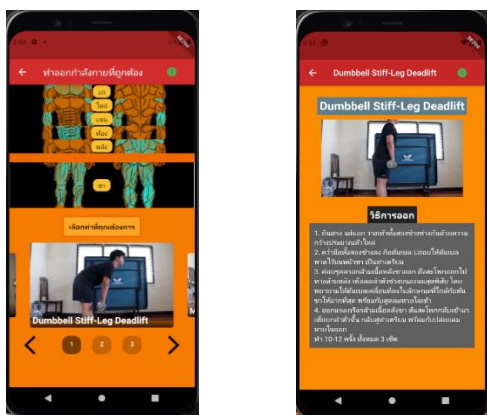
รูปที่ 10. แอปพลิเคชันการกินอาหารเพื่อสุขภาพ

ผู้ใช้สามารถกำหนดเป้าหมายที่ต้องทำ เช่น ต้องการควบคุมแคลอรีในแต่ละวัน ผู้ใช้อาจกินอาหารครบหรือกิน แอปพลิเคชันจะมีการแจ้งเตือนและคำแนะนำมายังผู้ใช้ ดังตัวอย่างในรูปที่ 11.

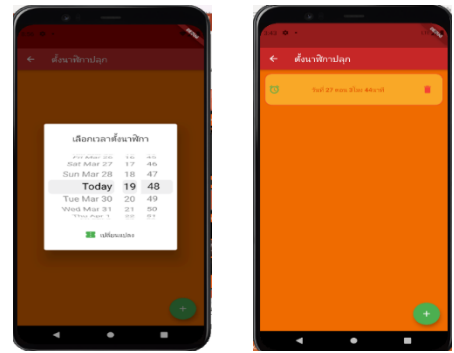


รูปที่ 11. ตัวอย่างการแจ้งเตือนการกินอาหาร

แอปพลิเคชันจะมีคำแนะนำสำหรับผู้ที่เป็นโรคกับผู้ใช้ไม่เป็นโรค ว่าควรออกกำลังกายท่าไหนจึงจะเหมาะสมกับเป้าหมายของการดูแลสุขภาพของผู้ใช้ ดังตัวอย่างในรูปที่ 12.

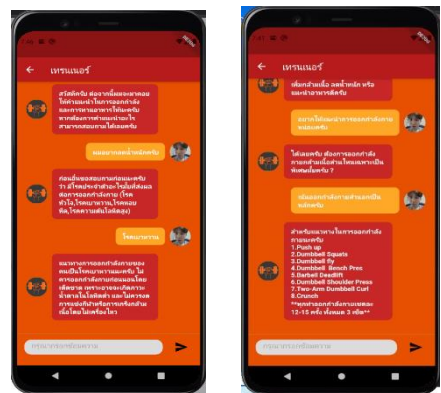


รูปที่ 12. ตัวอย่างการให้คำแนะนำในการออกกำลังกาย



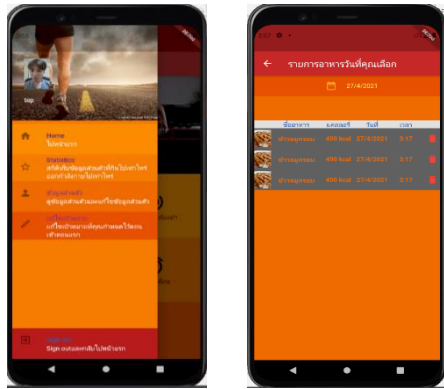
รูปที่ 13. ตัวอย่างการตั้งเวลาแจ้งเตือนการออกกำลังกาย

ส่วนนี้เป็นส่วนของการแจ้งเตือนโดยผู้ใช้สามารถตั้งเวลาเตือนในการออกกำลังกายได้ว่าต้องการออกกำลังกายช่วงไหนจากนั้นแอปพลิเคชันก็จะทำการเตือนตามช่วงเวลาที่ได้เลือกไว้ ดังตัวอย่างในรูปที่ 13. และเมนูสุดท้ายคือ เทรนเนอร์ ซึ่งแอปพลิเคชันใช้หุ่นยนต์โต้ตอบการสนทนาทำหน้าที่เป็นเทรนเนอร์ เพื่อคอยพูดคุยแนะนำการออกกำลังกายที่ถูกวิธีให้กับผู้ใช้ ดังตัวอย่างในรูปที่ 14.



รูปที่ 14. ตัวอย่างการพูดคุยระหว่าง Chatbot กับผู้ใช้

นอกจากนี้ ผู้ใช้ยังสามารถดูสถิติการกินอาหาร และสถิติการออกกำลังกายของตนเองได้ ดังตัวอย่างในรูปที่ 15.



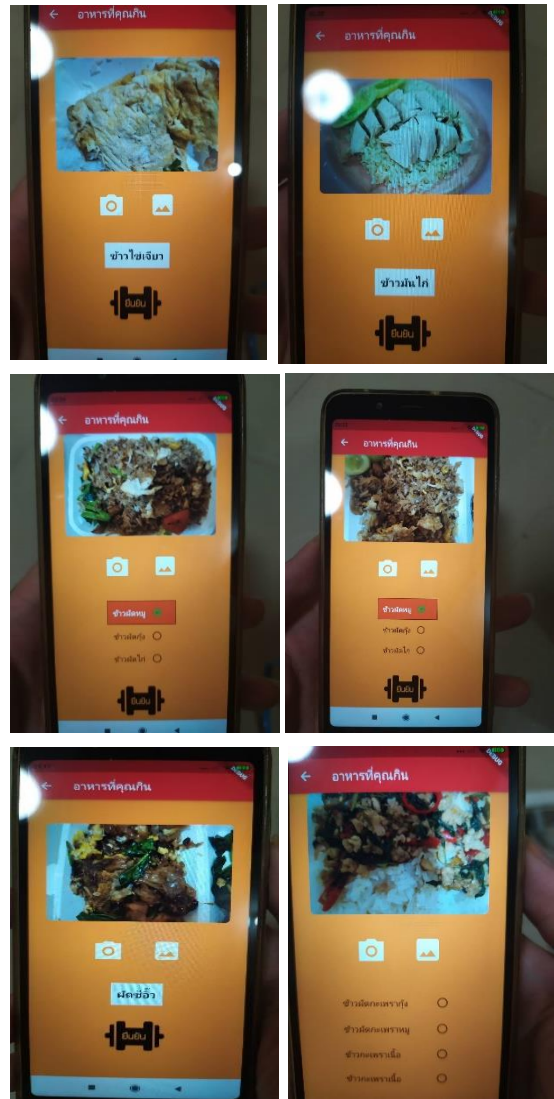
รูปที่ 15. ตัวอย่างสถิติการกินอาหารและออกกำลังกาย

#### 4.การทดสอบแอปพลิเคชัน

การทดสอบประสิทธิภาพของแอปพลิเคชัน ในการวิจัยนี้แบ่งการทดสอบออกเป็น 2 ส่วนคือ

##### 4.1 การทดสอบการทำงานของ Model

การทดสอบนี้ทำโดยใช้กล้องโทรศัพท์มือถือถ่ายภาพ Test Dataset ของอาหารจริง 5 ประเภท ได้แก่ ผัดซีอิ๊ว ข้าวผัดกะเพรา ข้าวมันไก่ ข้าวผัด และข้าวไข่เจียว ดังตัวอย่างในรูปที่ 16. ประเภทละ 25 ภาพผ่านแอปพลิเคชัน ปรากฏว่า แอปพลิเคชันสามารถรู้จักและแยกแยะอาหารได้อย่างถูกต้องทุกประเภท อย่างไรก็ตาม ยังมีความคิดพลาดเกิดขึ้นกับอาหารบางประเภท เช่น ผัดซีอิ๊ว เนื่องจากรูปผัดซีอิ๊วที่ทำการสอน Model ส่วนหนึ่งมีผักในปริมาณมาก ในขณะที่ผัดซีอิ๊วของจริงบางร้าน ใส่ผักปริมาณที่น้อยมากจนแทบจะไม่เห็น จึงทำให้ระบบการตรวจจับไม่รู้จักรับผัดซีอิ๊วในกรณีนี้



รูปที่ 16. ตัวอย่างผลการทดลองถ่ายภาพอาหารแต่ละประเภท จากกล้องโทรศัพท์มือถือผ่านแอปพลิเคชัน

##### 4.2 การทดสอบประสิทธิภาพของ Chatbot

การทดสอบการทำงานของหุ่นยนต์ได้ตอบการสนทนา จะทำการทดสอบโดยการจำลองการซักถามของผู้ใช้ เพื่อขอแนวทางในการออกกำลังกายจากระบบ จากผลการ

ทดลองทำให้ทราบว่า Chatbot สามารถให้คำแนะนำแก่ผู้ใช้ได้ตรงตามที่ต้องการ แต่จะมีข้อจำกัดในเรื่องของบทสนทนาที่ต้องคุยในประเด็นที่กำหนดไว้เท่านั้น ไม่สามารถคุยเล่นหรือสนทนาปกติเหมือนเทรนเนอร์ที่เป็นมนุษย์ได้

## 5. บทสรุป

จากการออกแบบและพัฒนาแอปพลิเคชันการดูแลสุขภาพในการควบคุมแคลอรีและการออกกำลังกายสำหรับผู้ที่ต้องการดูแลสุขภาพและสร้างวินัยในตนเอง โดยการประยุกต์ใช้เทคโนโลยีปัญญาประดิษฐ์ อันได้แก่ การเรียนรู้ของเครื่อง ใช้ทำความรู้จักและแยกแยะอาหาร แอปพลิเคชันจะบอกว่าแต่ละวันผู้ใช้ควรกินแคลอรีในปริมาณที่เท่าไร ถ้ากินอาหารประเภทเดิมซ้ำๆจะมีความเสี่ยงต่อการเกิดโรคอะไรได้บ้าง และหุ่นยนต์ได้ตอบการสนทนา ใช้แนะนำการออกกำลังกายที่ถูกต้องสำหรับผู้ที่ยากมีร่างกายแข็งแรง จากการทดสอบประสิทธิภาพในการประมวลผลรูปภาพ โดยทำการถ่ายรูปรูปอาหารที่กินภายในแต่ละวันเข้ามา พบว่าแอปพลิเคชันสามารถบอกชนิดของอาหารและแคลอรีได้อย่างถูกต้อง และในส่วนของ Chatbot ก็สามารที่จะได้ตอบกับผู้ใช้งานได้

อย่างไรก็ตาม มีข้อเสนอแนะการพัฒนาแอปพลิเคชันนี้ให้มีความสมบูรณ์ในอนาคตดังนี้

1) เนื่องด้วยแอปพลิเคชันดังกล่าวยังมีข้อจำกัดในเรื่องของชนิดอาหารที่ยังน้อยอยู่ จึงควรให้เพิ่มจำนวนอาหารให้มากขึ้น และเพิ่มจำนวน Training Dataset ให้มากขึ้นครอบคลุมอาหารจริงทุกกรณี

2) ควรพัฒนาแอปพลิเคชันให้ผู้ใช้สามารถถ่ายวิดีโอในขณะที่ออกกำลังกาย แล้วส่งเข้ามาภายในแอปพลิเคชันเพื่อทำการตรวจสอบว่า ท่าทางที่ออกกำลังกายนั้นถูกวิธีตามหลักสุขภาพดีหรือไม่

3) ควรพัฒนาแอปพลิเคชันให้สามารถเชื่อมต่อกับเครื่องชั่งน้ำหนักอัจฉริยะ เครื่องวัดความดัน และเครื่องวัดอุณหภูมิร่างกายได้ เพื่อที่จะได้นำข้อมูลไปแนะนำการดูแลสุขภาพสำหรับผู้ใช้งานให้เหมาะสมและครอบคลุมยิ่งขึ้น

4) ควรพัฒนา Chatbot ให้สามารถเชื่อมต่อกับฐานข้อมูลได้ เพื่อที่จะเก็บบันทึกประวัติและนำข้อมูลมาวิเคราะห์ความเสี่ยงต่อโรคและวางแผนการดูแลสุขภาพได้ด้วย

## 6. เอกสารอ้างอิง

- [1] กัลยา กิจบุญชู เพิ่มสมรรถภาพนักกีฬาด้วยโภชนาการซีเอนด์ยูเคชั่น., 2557.
- [2] ชนิดา ปโชติการ, ศัลยา คงสมบูรณ์เวช และอภิสิทธิ์ นัทรทานนท์ อาหารและสุขภาพ. เสริมมิตรพรีนติ้ง., 2557.
- [3] จิรนนท์ แกล้วกล้า โภชนาการสำหรับนักกีฬาและผู้ออกกำลังกาย. กรุงเทพฯ: สำนักพิมพ์แห่งจุฬาลงกรณ์มหาวิทยาลัย, 2552.
- [4] ดร.ณวรรณ สุขสม การออกกำลังกายเพื่อสุขภาพ. กรุงเทพฯ: จุฬาลงกรณ์มหาวิทยาลัย, 2561.
- [5] สุนาฏ เตชางาม กินตามวัย ให้พอดี. อาคารสงเคราะห์ทหารผ่านศึก พิมพ์ครั้งที่ 1., 2552.

- [6] Sumit Raj. Building Chatbots with Python: Using Natural Language Processing and Machine Learning. Apress., 2019.
- [7] Tom M. Mitchell. Machine Learning. McGraw Hill Education., 1990.
- [ 8] Shai Shalev- Shwartz and Shai Ben- David. Understanding Machine Learning. Cambridge University Press., 2014.
- [9] Andreas C. Müller & Sarah Guido. Introduction to Machine Learning with Python: A Guide for Data Scientists. O'Reilly Media., 2017.
- [ 10] Leonard Eddison. Python Machine Learning: A Technical Approach to Machine Learning for Beginners. Paperback, 2018.

# การศึกษาประสิทธิภาพการกรองอนุภาคของหน้ากากทางการแพทย์ A Study of Particle Filtration Efficiency of Medical Mask

ปิยะมาส เสือเพ็ง<sup>1</sup>, คาริกา ชุตติจิรนาท<sup>2</sup>, ณัฐยา ขาวอาราม<sup>3</sup>, ศลิษา สืบคล้าย<sup>4</sup>

1,2,3,4ภาควิชาเทคโนโลยีสุขภาพ คณะวิทยาศาสตร์และเทคโนโลยีสุขภาพ มหาวิทยาลัยนวมินทราชินราชมงคล  
กรุงเทพมหานคร 10300 Email: piyamas.sua@nmu.ac.th

## บทคัดย่อ

หน้ากากทางการแพทย์ที่บุคลากรทางการแพทย์สวมใส่ระหว่างปฏิบัติงาน ซึ่งหน้ากากทางการแพทย์นี้ช่วยดักจับแบคทีเรียที่อยู่ในหยดของเหลวและละอองจากปากและจมูกของผู้สวมใส่จากการจาม การไอ การหายใจ และการพูด ที่อาจเป็นสาเหตุให้เกิดการติดเชื้อหลังการผ่าตัด งานวิจัยนี้มุ่งศึกษาการแบ่งประเภทและการผลิตหน้ากากทางการแพทย์ที่มีจำหน่ายในประเทศไทย โดยอาศัยการทดสอบการแนบสนิทของหน้ากากกับใบหน้าเพื่อหาประสิทธิภาพการกรองอนุภาคของหน้ากากทางการแพทย์ ผลการวิจัยแสดงให้เห็นว่าประสิทธิภาพการกรองอนุภาคของหน้ากากทางการแพทย์ขึ้นอยู่กับประเภทและเทคโนโลยีการผลิตหน้ากากทางการแพทย์ โดยที่หน้ากากกรองอากาศมีประสิทธิภาพการกรองอนุภาคดีกว่าหน้ากากศัลยกรรม

**คำสำคัญ:** หน้ากากทางการแพทย์ ประสิทธิภาพการกรองอนุภาค การทดสอบการแนบสนิทของหน้ากากกับใบหน้า

## Abstract

A medical mask worn by healthcare workers during their operations. The medical mask helps trap

bacteria in liquid droplets and aerosols from the wearer's mouth and nose from sneezing, coughing, breathing and speaking that can cause post-operative infections. This research aimed to study the classification and manufacture of medical masks available in Thailand. Based on the fit test for finding the particle filtration efficiency of medical masks. The results shown that the particle filtration efficiency of medical masks depends on the medical mask of type and manufacturing technology, that respirator masks have better particle filtration efficiency than surgical masks.

**Keywords:** Medical Mask, Particle Filtration Efficiency, Fit Test

## 1. บทนำ

หน้ากากทางการแพทย์ในปัจจุบันมี 2 ประเภท คือ หน้ากากศัลยกรรม (Surgical Masks) และหน้ากากกรองอากาศ (Respirator Masks) โดยทั้งหน้ากากศัลยกรรมและหน้ากากกรองอากาศจัดเป็นอุปกรณ์การแพทย์ที่ใช้ป้องกันอนุภาคขนาดเล็กเข้าสู่ร่างกายซึ่งผลิตจากผ้าแบบไม่ถักไม่ทอ (Non-woven) ที่ขึ้นรูปโดยใช้เส้นใยจากผลิตภัณฑ์ปิโตรเคมี หน้ากากทางการแพทย์ทั้งสองแบบมีประสิทธิภาพการกรองอนุภาคที่แตกต่างกัน โดยที่หน้ากากศัลยกรรม

สามารถกรองอนุภาคที่มีขนาดตั้งแต่ 3 ไมครอนขึ้นไป มีจุดประสงค์การใช้งานเพื่อป้องกันการติดต่อกันของเชื้อโรค จากสารกักตัก เช่น น้ำลาย น้ำเหลือง และเลือด หรือละอองอากาศที่ปนเปื้อนเชื้อโรค ที่สามารถแพร่กระจายเข้าสู่ร่างกายผ่านทางปากและจมูก ส่วนหน้ากากกรองอากาศมีชั้นกระดาษกรองที่สามารถกรองอนุภาคที่มีขนาด 0.3 – 0.1 ไมครอน เช่น หน้ากาก N95 ที่สามารถกรองฝุ่นละออง PM 2.5 ได้ กล่าวคือหน้ากาก N95 สามารถกรองฝุ่นละอองในอากาศที่มีขนาดเส้นผ่านศูนย์กลางน้อยกว่า 2.5 ไมครอนได้ [1] งานวิจัยนี้จึงมุ่งศึกษาการแบ่งประเภทและการผลิตหน้ากากทางการแพทย์ที่มีจำหน่ายในประเทศไทย โดยอาศัยการทดสอบการแนบสนิทของหน้ากากกับใบหน้า (Fit Test) เพื่อหาประสิทธิภาพการกรองอนุภาคของหน้ากากทางการแพทย์

**ตารางที่ 1** ความแตกต่างของหน้ากากสัณยกรและหน้ากากกรองอากาศ

| รายละเอียด                                  | หน้ากากสัณยกร   | หน้ากากกรองอากาศ   |
|---|---|--|
| ผ้าชั้นนอกและชั้นใน (Outer and Inner Layer) | เส้นใยแบบไม่ถักไม่ทอ ที่นิยมทำจากเม็ดพลาสติก Polypropylene เนื่องจากมีจุดหลอมเหลวต่ำ เหมาะกับการนำมาทำแผ่นผ้า Melt-blown non-woven ด้วยเทคโนโลยีการขึ้นเส้นใยโดยการหลอม |  |
| ประสิทธิภาพการกรองอนุภาค                    | มากกว่า 80% (อนุภาคระดับ 3 ไมครอน)  | มากกว่า 95% (อนุภาคระดับ 0.3 – 0.1 ไมครอน) กรองฝุ่น PM 2.5 ได้ |

| รายละเอียด               | หน้ากากสัณยกร   | หน้ากากกรองอากาศ   |
|--------------------------|---|--|
| แผ่นกรองที่นิยมใช้       | 1. Melt-blown Non-woven Nanofiber (นิยมใช้ Polypropylene) | 1. Polytetrafluoroethylene : PTFE<br>2. Melt-blown Non-woven Nanofiber (นิยมใช้ Polypropylene) |
| ความกระชับรูปแบบตัวอย่าง | ไม่แนบสนิท  | แนบสนิท  |

## 2. ระเบียบวิธีวิจัย

รูปแบบการวิจัยเป็นแบบวิจัยโดยการทดลองเชิงวิเคราะห์ โดยอาศัยการทดสอบ Fit Test เพื่อหาประสิทธิภาพการกรองอนุภาคของหน้ากากทางการแพทย์ ประชากรและกลุ่มตัวอย่างหน้ากากทางการแพทย์ และ หน้ากากกรองอากาศ N95 ที่โรงพยาบาลวชิรพยาบาลได้รับการบริจาคในช่วงการแพร่ระบาดของเชื้อโควิด 19 การดำเนินการเก็บข้อมูลประสิทธิภาพการกรองอนุภาคของหน้ากากทางการแพทย์ โดยเริ่มจากการรวบรวมหน้ากากทางการแพทย์ที่ได้รับบริจาคจากโรงพยาบาลวชิรพยาบาล นำตัวอย่างที่ได้มาแบ่งชนิดของกลุ่มตัวอย่างหน้ากากทางการแพทย์เป็น 2 กลุ่ม คือ หน้ากากสัณยกรและหน้ากากกรองอากาศ (N95) และนำมาจัดทำทะเบียนของตัวอย่างหน้ากากทางการแพทย์ทั้ง 2 กลุ่ม คือ หมวด A คือ หน้ากากสัณยกร โดยในหมวด A หมวด B คือ หน้ากาก N95 จากนั้นเตรียมตัวอย่างหน้ากากทางการแพทย์ที่จะทำการทดสอบทั้งหมดแบบไม่ทดสอบแยกชั้น แต่จะทดสอบรวมเป็นชั้น โดยที่หน้ากากสัณยกรซึ่งมีความอ่อนตัวอยู่แล้ว จึง

สามารถติดตั้งชุดอุปกรณ์ของเครื่อง Sibata MT-05U เพื่อทำการทดสอบ Fit Test ได้โดยไม่ต้องเจาะรู ส่วนหน้ากากกรองอากาศ (N95) ต้องเจาะรูขึ้นละ 1 รูให้หน้ากาก เพื่อเป็นรูที่ใช้ใส่ท่อปล่อยอนุภาคเข้าไปในหน้ากากที่สวมกับหุ่นทดสอบ และทำการหาจำนวนอนุภาคที่ผ่านหน้ากาก N95 ด้วยการทดสอบ Fit Test เช่นกัน ชุดท้ายนำข้อมูลจำนวนอนุภาคที่ผ่านหน้ากากทางการแพทย์จากการทดสอบ 10 ครั้งต่อ 1 ตัวอย่างทั้งหมด มาคำนวณการหาค่าเฉลี่ยและหาค่าเบี่ยงเบนเฉลี่ย และอภิปรายผลการทดสอบและประสิทธิภาพการกรองอนุภาค



รูปที่ 1 การติดตั้งชุดอุปกรณ์ของ

เครื่อง Sibata MT-05U เพื่อทำการทดสอบ Fit Test

### 3. ผลการทดลอง

ตารางที่ 1 ตัวอย่างค่าเฉลี่ยและหาค่าเบี่ยงเบนเฉลี่ยของจำนวนอนุภาคที่ผ่านหน้ากากศัลยกรรม

| C | Sum   | Avera  | S.D.  | Su   | Aver  | S.D. | Sum  | Avera | S.D. |
|---|-------|--------|-------|------|-------|------|------|-------|------|
| o | (Out  | ge     | (Out  | m    | age   | (Ma  | (Lea | ge    | (Lea |
| d | side) | (Outsi | side) | (Mas | (Mas  | sk)  | kage | (Leak | kage |
| e |       | de)    |       | sk)  | k)    |      | )    | age)  |      |
| A | 3220  | 3220.  | 1141  | 204  | 2047. | 666. | 671. | 67.16 | 21.6 |
| - | 3     | 3      | .341  | 78   | 8     | 908  | 62   | 2     | 6207 |
| 0 |       |        | 126   |      |       | 256  |      |       | 787  |
| 0 |       |        |       |      |       | 2    |      |       |      |
| 1 |       |        |       |      |       |      |      |       |      |
| A | 5715  | 5715   | 951.  | 302  | 302.6 | 91.0 | 53.0 | 5.305 | 1.24 |
| - | 0     |        | 1807  | 6    |       | 814  | 5    |       | 8343 |
| 0 |       |        | 866   |      |       | 043  |      |       | 347  |
| 0 |       |        |       |      |       | 7    |      |       |      |

|   |      |       |      |     |       |      |      |       |      |
|---|------|-------|------|-----|-------|------|------|-------|------|
| 0 |      |       |      |     |       |      |      |       |      |
| 2 |      |       |      |     |       |      |      |       |      |
| A | 1085 | 1085. | 329. | 678 | 678.3 | 150. | 667. | 66.73 | 22.1 |
| - | 6    | 6     | 6369 | 3   |       | 438  | 33   | 3     | 6797 |
| 0 |      |       | 046  |     |       | 654  |      |       | 893  |
| 0 |      |       |      |     |       | 9    |      |       |      |
| 3 |      |       |      |     |       |      |      |       |      |
| A | 4710 | 4710. | 835. | 109 | 1096. | 249. | 232. | 23.20 | 2.90 |
| - | 8    | 8     | 2327 | 66  | 6     | 980  | 06   | 6     | 5111 |
| 0 |      |       | 42   |     |       | 532  |      |       | 205  |
| 0 |      |       |      |     |       | 6    |      |       |      |
| 4 |      |       |      |     |       |      |      |       |      |
| A | 3606 | 3606. | 683. | 686 | 686.4 | 158. | 193. | 19.38 | 4.96 |
| - | 6    | 6     | 5047 | 4   |       | 841  | 81   | 1     | 4550 |
| 0 |      |       | 265  |     |       | 080  |      |       | 892  |
| 0 |      |       |      |     |       | 6    |      |       |      |
| 5 |      |       |      |     |       |      |      |       |      |
| A | 3362 | 3362. | 217. | 789 | 789   | 134. | 235. | 23.56 | 4.30 |
| - | 1    | 1     | 3759 | 0   |       | 421  | 66   | 6     | 9638 |
| 0 |      |       | 927  |     |       | 393  |      |       | 294  |
| 0 |      |       |      |     |       | 8    |      |       |      |
| 6 |      |       |      |     |       |      |      |       |      |
| A | 4111 | 4111. | 597. | 224 | 224.9 | 42.9 | 109. | 10.94 | 17.3 |
| - | 4    | 4     | 1722 | 9   |       | 507  | 46   | 6     | 8359 |
| 0 |      |       | 625  |     |       | 469  |      |       | 073  |
| 0 |      |       |      |     |       | 9    |      |       |      |
| 7 |      |       |      |     |       |      |      |       |      |
| A | 3220 | 3220. | 1141 | 204 | 2047. | 666. | 671. | 67.16 | 21.6 |
| - | 3    | 3     | .341 | 78  | 8     | 908  | 62   | 2     | 6207 |
| 0 |      |       | 126  |     |       | 256  |      |       | 787  |
| 0 |      |       |      |     |       | 2    |      |       |      |
| 8 |      |       |      |     |       |      |      |       |      |
| A | 9913 | 9913. | 1031 | 151 | 1510. | 124. | 153. | 15.39 | 2.17 |
| - | 2    | 2     | .415 | 08  | 8     | 811  | 99   | 9     | 8819 |
| 0 |      |       | 942  |     |       | 680  |      |       | 507  |
| 0 |      |       |      |     |       | 4    |      |       |      |
| 9 |      |       |      |     |       |      |      |       |      |
| A | 1584 | 1584. | 612. | 839 | 839.4 | 268. | 560. | 56.07 | 14.0 |
| - | 4    | 4     | 6122 | 4   |       | 561  | 73   | 3     | 4792 |
| 0 |      |       | 936  |     |       | 269  |      |       | 99   |
| 1 |      |       |      |     |       | 6    |      |       |      |
| 0 |      |       |      |     |       |      |      |       |      |

ตารางที่ 2 ตัวอย่างค่าเฉลี่ยและหาค่าเบี่ยงเบนเฉลี่ยของจำนวนอนุภาคที่ผ่านหน้ากาก N95

| C | Sum   | Avera  | S.D.  | Su   | Aver | S.D. | Sum  | Avera | S.D. |
|---|-------|--------|-------|------|------|------|------|-------|------|
| o | (Out  | ge     | (Out  | m    | age  | (Ma  | (Lea | ge    | (Lea |
| d | side) | (Outsi | side) | (Mas | (Mas | sk)  | kage | (Leak | kage |
| e |       | de)    |       | sk)  | k)   |      | )    | age)  |      |
| B | 2834  | 283.4  | 12.5  | 455  | 45.5 | 11.  | 160. | 16.05 | 3.84 |
| - |       |        | 4503  |      |      | 247  | 52   | 2     | 8537 |
| 0 |       |        |       |      |      | 221  |      |       | 385  |
| 0 |       |        |       |      |      | 9    |      |       |      |
| 1 |       |        |       |      |      |      |      |       |      |
| B | 2561  | 256.1  | 18.1  | 136  | 13.6 | 12.  | 53.1 | 5.312 | 4.71 |
| - |       |        | 5641  |      |      | 011  | 2    |       | 1465 |
| 0 |       |        | 913   |      |      | 106  |      |       | 448  |
| 0 |       |        |       |      |      |      |      |       |      |
| 2 |       |        |       |      |      |      |      |       |      |
| B | 2214  | 221.4  | 20.4  | 25   | 2.5  | 2.2  | 11.7 | 1.178 | 1.13 |
| - |       |        | 1894  |      |      | 236  | 8    |       | 3948 |
| 0 |       |        | 545   |      |      | 106  |      |       | 852  |
| 0 |       |        |       |      |      | 8    |      |       |      |
| 3 |       |        |       |      |      |      |      |       |      |



|                       |      |       |                     |          |       |                        |            |            |                     |
|-----------------------|------|-------|---------------------|----------|-------|------------------------|------------|------------|---------------------|
| B<br>-<br>0<br>0<br>4 | 2386 | 238.6 | 8.39<br>5766<br>129 | 110<br>3 | 110.3 | 26.<br>895<br>063<br>6 | 463.<br>97 | 46.39<br>7 | 11.8<br>2951<br>68  |
| B<br>-<br>0<br>0<br>5 | 2326 | 232.6 | 20.3<br>0982<br>247 | 88       | 8.8   | 4.5<br>655<br>716<br>4 | 37.4<br>2  | 3,742      | 1.74<br>9576<br>457 |
| B<br>-<br>0<br>0<br>6 | 2249 | 224.9 | 10.6<br>9215<br>704 | 658      | 65.8  | 20.<br>762<br>145      | 294.<br>11 | 29.41<br>1 | 9.33<br>3650<br>53  |
| B<br>-<br>0<br>0<br>7 | 2128 | 212.8 | 15.5<br>4062<br>776 | 138      | 13.8  | 8.5<br>479<br>042<br>3 | 65.5<br>6  | 6,556      | 3.97<br>9553<br>856 |
| B<br>-<br>0<br>0<br>8 | 2478 | 247.8 | 17.3<br>3846<br>078 | 99       | 9.9   | 7.1<br>406<br>504<br>5 | 40.8<br>2  | 4,082      | 2.99<br>2085<br>115 |
| B<br>-<br>0<br>0<br>9 | 2406 | 240.6 | 15.8<br>1279<br>37  | 185      | 18.5  | 9.9<br>805<br>366<br>1 | 76.7<br>1  | 7,671      | 4.18<br>1133<br>419 |
| B<br>-<br>0<br>1<br>0 | 2482 | 248.2 | 18.3<br>5937<br>544 | 88       | 8.8   | 4.0<br>770<br>359<br>6 | 36.0<br>2  | 3,602      | 1.87<br>5187<br>694 |
| B<br>-<br>0<br>1<br>1 | 2600 | 260   | 12.5<br>6980<br>509 | 487      | 48.7  | 9.6<br>384<br>646<br>1 | 186.<br>94 | 18.69<br>4 | 3.51<br>4232<br>017 |

#### 4. อภิปรายและสรุปผลการทดลอง

ผลการวิจัยจากการทดสอบ Fit Test แสดงให้เห็นว่าประสิทธิภาพการกรองอนุภาคของหน้ากากทางการแพทย์ขึ้นอยู่กับประเภทและเทคโนโลยีการผลิต หน้ากากทางการแพทย์ โดยที่หน้ากากกรองอากาศมีประสิทธิภาพการกรองอนุภาคดีกว่าหน้ากากคัดลกรรม ซึ่งเป็นการทดสอบ Fit Test ซึ่งถ้าติดตั้งหน้ากากทางการแพทย์จะต้องแนบสนิทและไม่มีกรร้าว แต่ถ้าหากติดตั้งหรือสวมหน้ากากทางการแพทย์ไม่แนบสนิทและมีการรั่วไหล จะทำให้ประสิทธิภาพการกรองอนุภาคลดลง

#### 5. กิตติกรรมประกาศ

งานวิจัยนี้ได้รับการสนับสนุนเป็นอย่างดีจาก คณะแพทยศาสตร์วชิระพยาบาล วิทยาลัยพัฒนาชุมชนเมือง และวิทยาลัยพัฒนามหานคร มหาวิทยาลัยนวมินทราธิราช และผู้สนับสนุนของขอพระคุณที่ปรึกษาและคณะกรรมการสมาคมเทคโนโลยีสุขภาพไทย (Advisory and ThaiHTA Committee) ที่กรุณาให้คำแนะนำเป็นอย่างดี ในการจัดทำรูปแบบบทความภาษาไทย สำหรับการประชุมวิชาการเทคโนโลยีสุขภาพแห่งประเทศไทย (The Conference on Health Technology of Thailand) นี้

#### เอกสารอ้างอิง

- [1] ฉัฐนันท์ อภินันท์วัฒนกุล, EIC มองโอกาสลงทุนผ้าทำหน้ากากอนามัย เพื่อคนไทยมีใช้อย่างยั่งยืน [อินเทอร์เน็ต]. [เข้าถึงเมื่อ 8 ก.พ. 2564]. เข้าถึงได้จาก: [https://www.scbeic.com/th/detail/file/product/6833/fmIfdIolk/EIC\\_Note\\_Mask\\_20200520.pdf](https://www.scbeic.com/th/detail/file/product/6833/fmIfdIolk/EIC_Note_Mask_20200520.pdf).
- [2] ดร.จุริรัตน์ ประสาร, นอนนุพวงวน ผ้าไม่ถักไม่ทอ {อินเทอร์เน็ต}. 2552[เข้าถึงเมื่อ 12 ก.พ. 2564]. เข้าถึงได้จาก: [https://www2.mtec.or.th/th/e-magazine/admin/upload/246\\_21-27.pdf](https://www2.mtec.or.th/th/e-magazine/admin/upload/246_21-27.pdf).
- [3] มหาวิทยาลัยสงขลานครินทร์, การศึกษาภาพระคนเผาด้วยกรวิเคราะห์ด้วยกล้องจุลทรรศน์ อิเล็กตรอนแบบส่องกราด (Scanning Electron Microscope / SEM) [อินเทอร์เน็ต]. [เข้าถึงเมื่อ 3 ก.พ. 2564].

- เข้าถึงได้จาก:  
[https://soreda.oas.psu.ac.th/files/944\\_file\\_Chapter4.pdf](https://soreda.oas.psu.ac.th/files/944_file_Chapter4.pdf)
- [4] รศ.นพ.อนันต์ มโนมัยพิบูลย์, ผศ.ดร. ปิยะ มาศ เสือเพ็ง, สติธา สืบคล้ายและคณะ. หน้ากากทางการแพทย์ (Medical masks). วารสารวิชาการเทคโนโลยีสุขภาพ ประเทศไทย. 2564;1-13.
- [5] รองศาสตราจารย์ ดร.ภญ. มนทัทธม์ ถาวร เจริญทรัพย์. หน้ากากอนามัยกับโควิด-19 [อินเทอร์เน็ต]. [เข้าถึงเมื่อ 1 มี.ค. 2564]. เข้าถึงได้จาก:  
[http://healthydee.moph.go.th/view\\_article.php?id=976](http://healthydee.moph.go.th/view_article.php?id=976).
- [6] ศ.เกียรติคุณ ดร.พิไลพันธ์ พุฒวัฒน์ และ ดร. หทัยรัตน์ เลิศสำราญ. หน้ากากอนามัย ธรรมดา (Surgical mask). วารสารหน้ากากอนามัยใช้ด้วยความเข้าใจที่ถูกต้อง [อินเทอร์เน็ต]. กรุงเทพฯ:คณะเทคนิคการแพทย์ มหาวิทยาลัยมหิดล;2563 [เข้าถึงเมื่อ 29 ม.ค. 2564]. เข้าถึงได้จาก:  
<https://mahidol.ac.th/temp/2020/02/mask.pdf>
- [7] สถาบันวิจัยแสงซินโครตรอน(องค์การมหาชน) กระทรวงวิทยาศาสตร์และเทคโนโลยี. กล้องจุลทรรศน์อิเล็กตรอนแบบส่องกราด (Scanning Electron Microscope หรือ SEM) [อินเทอร์เน็ต]. [เข้าถึงเมื่อ 31 ม.ค. 2564]. เข้าถึงได้จาก:  
<https://www.slri.or.th/bdd/th/22-บริการเครื่องมือวิทยาศาสตร์/73-scanning-electron-microscope-sem.html>.
- [8] สถาบันนวัตกรรมและพัฒนากระบวนการเรียนรู้ มหาวิทยาลัยมหิดล. Electron microscope (กล้องจุลทรรศน์อิเล็กตรอน) [อินเทอร์เน็ต]. [เข้าถึงเมื่อ 3 มี.ค. 2564]. เข้าถึงได้จาก: <https://il.mahidol.ac.th/e-media/nano/Page/Unit4-5.html>.
- [9] สถาบันพลาสติก (Plastics Institute Of Thailand). ผลิตภัณฑ์หน้ากากอนามัย {อินเทอร์เน็ต}. [เข้าถึงเมื่อ 7 ก.พ. 2564]. เข้าถึงได้จาก:  
<http://medicaldevices.oie.go.th/box/Article/8482/โครงสร้างอุตสาหกรรมหน้ากากอนามัย.pdf>.
- [10] สมาคมส่งเสริมความปลอดภัยและอนามัยในการทำงาน (ประเทศไทย) ในพระราชูปถัมภ์ฯ. หน้ากากอนามัย N95 ตัวช่วยป้องกันฝุ่นพิษ PM 2.5 ใส่อย่างไรให้ถูกวิธี [อินเทอร์เน็ต]. [เข้าถึงเมื่อ 2 มี.ค. 2564]. เข้าถึงได้จาก:  
[https://www.shawpat.or.th/index.php?option=com\\_content&view=article&id=1067:-n95-pm25-&catid=49:-m---m-s&Itemid=203](https://www.shawpat.or.th/index.php?option=com_content&view=article&id=1067:-n95-pm25-&catid=49:-m---m-s&Itemid=203).
- [11] อาจารย์ ดร.ภญ.ศกาทิพย์ รุ่งระเริงศักดิ์. หน้ากากอนามัยทางการแพทย์ [อินเทอร์เน็ต]. [เข้าถึงเมื่อ 4 ก.พ. 2564]. เข้าถึงได้จาก:  
[http://healthydee.moph.go.th/backend/fileAttach/21072020\\_035649-0000003704.pdf](http://healthydee.moph.go.th/backend/fileAttach/21072020_035649-0000003704.pdf).

- [12] โรงพยาบาลมหาราชนครเชียงใหม่. ความรู้เกี่ยวกับหน้ากากอนามัย [อินเทอร์เน็ต]. [เข้าถึงเมื่อ 12 ก.พ. 2564]. เข้าถึงได้จาก: [https://w2.med.cmu.ac.th/nd/wp-content/uploads/2020/02/คำแนะนำในการสวมหน้ากากอนามัย\\_Final\\_7Feb20.pdf](https://w2.med.cmu.ac.th/nd/wp-content/uploads/2020/02/คำแนะนำในการสวมหน้ากากอนามัย_Final_7Feb20.pdf).
- [13] Tcharktchi and et al. An overview of filtration efficiency through the masks: Mechanisms of the aerosols [อินเทอร์เน็ต]. [เข้าถึงเมื่อ 20 ก.พ. 2564]. เข้าถึงได้จาก: <https://www.ncbi.nlm.nih.gov/pmc/articles/PMC7426537/>.
- [14] Chih-Chieh Chen, PhD and Klaus Willeke, PhD. Aerosol penetration through surgical masks [อินเทอร์เน็ต]. 2535 [เข้าถึงเมื่อ 23 ก.พ. 2564]. เข้าถึงได้จาก: [https://www.ajicjournal.org/article/S0196-6553\(05\)80143-9/pdf](https://www.ajicjournal.org/article/S0196-6553(05)80143-9/pdf).
- [15] FEI Company. Quanta 450 FEG [อินเทอร์เน็ต]. [เข้าถึงเมื่อ 10 ก.พ. 2564]. เข้าถึงได้จาก: <https://engineering.temple.edu/sites/engineering/files/Specification%20of%20Quanta450%20FEG.pdf>.
- [16] FEI Company. Quanta 450 FEG [อินเทอร์เน็ต]. [เข้าถึงเมื่อ 10 ก.พ. 2564]. เข้าถึงได้จาก: [http://www.fei.co.jp/\\_documents/DS0005-05-2015\\_Quanta\\_450\\_FEG-WEB.pdf](http://www.fei.co.jp/_documents/DS0005-05-2015_Quanta_450_FEG-WEB.pdf).
- [17] K.P. Chellamani and et al. Surgical Face Masks: Manufacturing Methods and Classification [อินเทอร์เน็ต]. 2556 [เข้าถึงเมื่อ 27 ก.พ. 2564]. เข้าถึงได้จาก: <http://jaijrp.com/NOVEMBER%202013/02%20CHELLAMANI%201.pdf>.
- [18] Krishnan Jayaraman. Recent advances in polymer nanofibers [อินเทอร์เน็ต]. 2547 [เข้าถึงเมื่อ 28 ก.พ. 2564]. เข้าถึงได้จาก: <https://pubmed.ncbi.nlm.nih.gov/15112541/>.
- [19] Lizzie Enfield. A history of medical masks [อินเทอร์เน็ต]. [เข้าถึงเมื่อ 15 ก.พ. 2564]. เข้าถึงได้จาก: <https://wellcomecollection.org/articles/XwMmcBQAAGwR9GY8>.
- [20] World Health Organization. นิชามหน้ากากทางการแพทย์ (medical mask). วารสารคำแนะนำการใช้หน้ากากอนามัยในบริบทของโรคโควิด 19 [อินเทอร์เน็ต]. 2563 [เข้าถึงเมื่อ 27 ม.ค. 2564]; 2563:3. เข้าถึงได้จาก: <http://who-2019-ncov-ipc-masks-2020-4th.pdf>.

# ตู้อบฆ่าเชื้อด้วยโอโซน

## Ozone Sterilization Incubator

จิตาภรณ์ เทวจินดาพันธุ์<sup>1</sup>, ปิยะธิดา กิจชัยญะสัมพันธ์<sup>1</sup>, สุภารัตน์ สุนทโรภาส<sup>1</sup>, รสจรินทร์ รัตนสุนทร<sup>1</sup>,  
สุรพันธ์ ชัยมมัน<sup>1\*</sup>

<sup>1</sup> ภาควิชาฟิสิกส์อุตสาหกรรมและอุปกรณ์การแพทย์, คณะวิทยาศาสตร์ประยุกต์,  
มหาวิทยาลัยเทคโนโลยีพระจอมเกล้าพระนครเหนือ, กรุงเทพมหานคร, 10800,  
ประเทศไทย Email: s6004035630071@email.kmutnb.ac.th

### บทคัดย่อ

การระบาดของโรคไวรัสโคโรนา 2019 ทำให้เราตระหนักขึ้นมาได้ว่าสิ่งมีชีวิตเล็ก ๆ เหล่านี้สามารถก่อให้เกิดโรคที่ร้ายแรงให้แก่สิ่งมีชีวิตอื่น ๆ ได้ การออกแบบตู้อบโอโซนจึงเป็นทางเลือกที่ดีอีกทางเลือกหนึ่งสำหรับการฆ่าเชื้อโรค เนื่องจากโอโซนมีคุณสมบัติในการฆ่าเชื้อโรคได้ หากใช้อย่างถูกต้องและเหมาะสม งานวิจัยนี้จึงได้ทำการออกแบบตู้อบโอโซนนี้ขึ้นมาจากหลอดยูวี-ซี ที่มีความยาวคลื่น 185 นาโนเมตรและ 254 นาโนเมตรที่ใช้สำหรับการสร้างโอโซนและการสลายโอโซนให้เป็นออกซิเจนก่อนปล่อยออกสู่บรรยากาศภายนอกคุณสมบัติเหล่านี้จึงสามารถฆ่าเชื้อได้

**คำสำคัญ:** โอโซน, ยูวี-ซีความยาวคลื่น 185 นาโนเมตร, ยูวี-ซีความยาวคลื่น 254 นาโนเมตร, เชื้อโรค

### Abstract

The current spreader of coronavirus 2019 made us realize that tiny living things are infection agent to other living things. Ozone sterilization incubator is the best choice to sterilize because ozone can kill pathogens If used correctly and properly. We made

ozone sterilization incubator from UV-C lamp with wavelengths of 185 nm and 254 nm. Used UV-C lamp with wavelengths of 185 nm to change oxygen to be ozone and used UV-C lamp with wavelengths of 254 nm to change ozone to be oxygen before release to out side.

**Keywords:** Ozone, UV-C, Pathogens, UV-C lamp with wavelengths of 185 nm , UV-C lamp with wavelengths of 185 nm

### 1. บทนำ

จากการระบาดของโรคติดเชื้อไวรัสโคโรนา 2019 (โควิด 19) ที่เป็นอันตรายต่อสิ่งมีชีวิตต่าง ๆ รวมถึงมนุษย์ด้วย และไม่ใช่ว่าเพียงแค่เชื้อไวรัสเท่านั้นแต่ยังมีสิ่งมีชีวิตต่าง ๆ (แบคทีเรีย, จุลินทรีย์, โฟโตริซัว) ทำให้ต้องมีความระมัดระวังตัวในการใช้ชีวิตประจำวันให้มากขึ้น เนื่องจากว่าไวรัสและสิ่งมีชีวิตเหล่านี้ อาจส่งผลร้ายให้เราได้ตั้งแต่เจ็บไข้จนถึงขั้นเสียชีวิตได้ และทางเรามองเห็นปัญหาว่า เชื้อโรคและสิ่งมีชีวิตต่าง ๆ ที่ก่อให้เกิดโรคเหล่านี้ มีอยู่ทั่วไป ไปใกล้ ๆ ตัวเราไม่ว่าจะเป็นเชื้อที่มาจากมนุษย์ด้วยกันเอง ติดต่อกับคนสู่คน สัตว์สู่คน หรือ คนสู่สัตว์นั้น ก็ล้วนแล้วเป็นอันตรายมากมาย ทั้งสิ้น และการติดเชื้อต่าง ๆ นี้สามารถติดมาได้จากทุก ๆ ที่ ทั้งจากอากาศ การสัมผัส การรับประทาน

เข้าสู่ร่างกาย และด้วยความที่เชื้อโรคต่าง ๆ นั้นมีขนาดที่เล็กมากจนเราไม่สามารถมองเห็นได้ด้วยตาเปล่า จึงก่อเป็นปัญหาใหญ่สำหรับสิ่งมีชีวิตอื่น ๆ และยังเป็นในพื้นที่ที่มีการอาศัยของผู้คนเป็นจำนวนมาก ๆ นั้น ยิ่งมีความเสี่ยงสูงที่จะได้รับเชื้อโรคเหล่านี้เข้าสู่ร่างกายของเรา โดยเฉพาะอย่างยิ่งกับวัสดุอุปกรณ์ต่าง ๆ ที่เราใช้งานจนบางครั้งมองข้ามไปว่าบนวัสดุต่าง ๆ เหล่านี้กำลังเก็บสะสมเชื้อโรคไว้มากมายขนาดไหน [1],[2] ทางเราจึงได้คิดทำเครื่องอบฆ่าเชื้อด้วยโอโซนขึ้นมา เพื่อให้เราได้ลดการสัมผัสกับเชื้อโรคลง หลักการของเราจะทำการใช้รังสี UV-C ที่มีความยาวคลื่น 185 นาโนเมตรเพื่อเปลี่ยนออกซิเจนให้เป็น ออกซิเจน 3 โมเลกุล(โอโซน) เพื่อใช้โอโซนในการฆ่าเชื้อโรคต่าง ๆ ก๊าซโอโซน ( $O_3$ ) มีค่า Oxidation Potential สูงกว่าสารเคมีชนิดอื่น ๆ มีคุณสมบัติ ในการฆ่าเชื้อโรคต่าง ๆ ได้เป็นอย่างดี โดยโอโซนที่ผลิตออกมาจะไปทำลายเซลล์เนื้อเยื่อของเชื้อโรค แบบเฉียบพลันและทำการย่อยสลาย โดยการเปลี่ยนโครงสร้างของเชื้อโรค หรือสารนั้น ๆ การฆ่าเชื้อโรคด้วยโอโซนนั้น จะสามารถฆ่าเชื้อโรคได้อย่างมีประสิทธิภาพ จะต้องคำนึงถึงการผลิตโอโซนให้เพียงพอต่อพื้นที่ และการใช้ระยะเวลาที่เหมาะสม [3]

## 2. วิธีการดำเนินงาน

### 2.1 ทฤษฎีและหลักการ

#### 2.1.1 โอโซน

ความรู้พื้นฐานทางวิทยาศาสตร์ทำให้เรารู้ว่าโอโซนเป็นก๊าซที่เกิดขึ้นตามธรรมชาติบนพื้นผิวโลกและในชั้นบรรยากาศสูงขึ้นไป ที่เรียกว่า Lower Stratosphere ในระดับความสูง 14.4-30.4 กม. จากพื้นผิวโลก ก๊าซออกซิเจนมีออกซิเจนอะตอมอยู่รวมกัน 2 อะตอม ( $O_2$ ) ในขณะที่ในรูปของโอโซนมีอยู่ 3 อะตอม ( $O_3$ ) โอโซนมีประโยชน์และมีโทษ

ขึ้นอยู่กับแหล่งที่เกิดโอโซนตามธรรมชาติ เป็นก๊าซที่ไม่คงรูป จะมีการเปลี่ยนแปลงกลับไปอยู่ในสภาพของก๊าซออกซิเจนในช่วง 10-20 นาที เมื่อโอโซนแตกตัวให้ประจุของออกซิเจนที่มีความสามารถในการออกซิไดส์สูง มีผลรบกวนต่อการถ่ายโอนประจุระหว่างชั้นผนังเซลล์ทำลายโครงสร้างผนังเซลล์ของจุลินทรีย์และทำลายของค์ประกอบต่าง ๆ ภายในเซลล์ ส่งผลให้เซลล์ของจุลินทรีย์เสียหาย แบบเฉียบพลันและตายในที่สุด [4] อีกนัยหนึ่งคือทำลายแบบสิ้นซากความสามารถในการทำลายเชื้อโรคและกลิ่นของโอโซน จะขึ้นกับความเข้มข้นที่สูงและระยะเวลาที่โอโซนสัมผัสนานพอ ไม่ใช่ว่าทุกความเข้มข้นจะสามารถทำงานได้อย่างมีประสิทธิภาพ [5]

#### 2.1.2 หลอด UV-C

ใช้รังสีจากหลอดยูวีที่มีความยาวคลื่น 185 นาโนเมตร จะผลิตก๊าซโอโซนความเข้มข้นต่ำ 0.01% - 0.1% โดยน้ำหนัก (หรือ 100 ppm -1,000 ppm)นิยมใช้กับอากาศมากกว่าใช้กับน้ำ [6] โดยเราจะให้อากาศปริมาณมากผ่านหลอดแสงยูวี ส่งผลให้ก๊าซออกซิเจนในอากาศแตกกระจายออกเป็นออกซิเจนอะตอม ( $O$ ) ที่มีความคงตัว และรวมตัวกับก๊าซออกซิเจนโมเลกุลอื่น ได้เป็นก๊าซโอโซน และโอโซนจะเข้าทำลายผนังเซลล์ ของจุลินทรีย์ทันทีเป็นผลทำให้กิจกรรมของ เอนไซม์และเซลล์สูญเสียไป [7] ใช้รังสีจากหลอดยูวีที่มีความยาวคลื่น 254 นาโนเมตรซึ่งเป็นรังสีที่มีความยาวคลื่นสั้นแต่มีพลังงานมากพอสามารถทำไ้ทั้งฆ่าเชื้อโรคและใช้สำหรับสลายโอโซนในอากาศหรือในน้ำเนื่องจากแสงยูวีที่สูงกว่า 240 นาโนเมตรจะโฟโตไลซ์โอโซนกลับไปเป็นออกซิเจน [9]

## 2.2 อุปกรณ์หลักที่ใช้

### 2.2.1 บอร์ด ESP32 DEVKIT V1

โมดูล Wifi ESP-32 รุ่น ESP-WROOM-32 โมดูล Wifi + Bluetooth 4.2 + Touch/Temp Sensor ทำงานแบบ Dual Core ที่ความเร็ว 160 MHz มี SRAM 512K หน่วยความจำ Flash สำหรับอัปโหลดโปรแกรมขนาด 16M มีขา GPIO 36 ขา ความละเอียดในการอ่านค่า ADC 12 Bit สามารถเขียนโปรแกรมผ่าน Arduino IDE เหมือนเขียน Arduino ได้

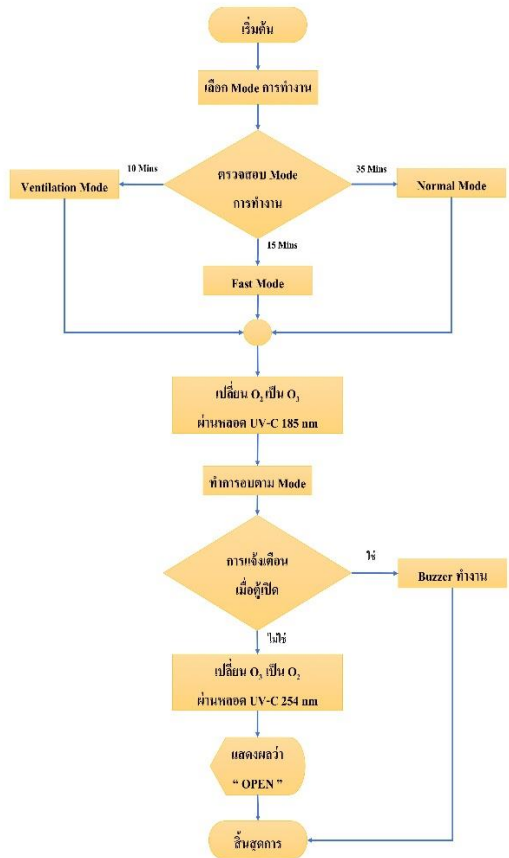
### 2.2.2 MQ131 Gas Sensor Module

MQ131 เป็นวัสดุที่ไวต่อการตรวจจับก๊าซโอโซน ซึ่งมีค่าการนำไฟฟ้าต่ำกว่าในอากาศบริสุทธิ์ เมื่อก๊าซโอโซนออกค่าการนำไฟฟ้าของเซ็นเซอร์จะสูงขึ้นพร้อมกับความเข้มข้นของก๊าซที่เพิ่มขึ้น

### 2.2.3 จอแสดงผล TFT LCD ขนาด 3.5" Color module 480x320 (ILI9488)

หน้าจอ TFT LCD คือจอ LCD ที่ใช้เทคโนโลยีการผลิตแบบ Active Matrix ซึ่งมีแผ่นฟิล์ม TFT (Thin-Film Transistor) ทำหน้าที่เป็นตัวส่งสัญญาณควบคุมผลึกเหลวให้เรียงตัวกันเพื่อปิดกั้น หรือเปิดทางให้แสง backlight ผ่านออกมาบนเม็ดพิกเซลคุณภาพการแสดงผลดีพอสำหรับการใช้งานทั่วไป และมีราคาถูกกว่าจอประเภทอื่น เราจึงมักจะพบจอ TFT

## 2.3 ไคอะแกรมการทำงานของเครื่อง

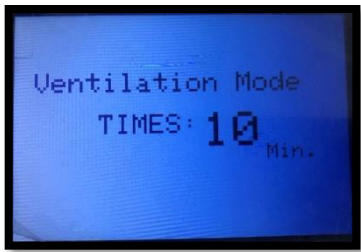
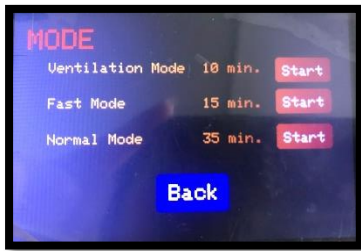


รูปที่ 1 ไคอะแกรมแสดงการทำงานของตู้อบฆ่าเชื้อด้วยโอโซน

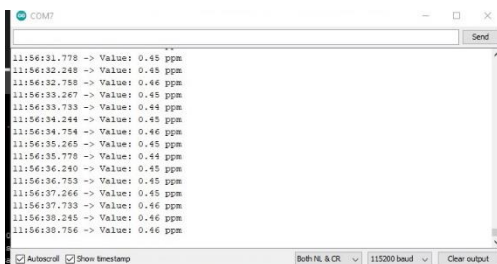
## 3. ผลการทดลอง



รูปที่ 2 หน้าจอขณะเริ่มการทำงาน



รูปที่ 3 การเลือกโหมดในการทำความสะอาด



รูปที่ 4 ปริมาณก๊าซโอโซนที่วัดได้ หน่วย ppm

#### 4. สรุปและอภิปรายผล

จากการทดลองทำการวิจัยได้ทำการวัดก๊าซโอโซนในอากาศภายในเต็นท์ ได้ผลดังรูปที่ 4 ซึ่งสามารถวัดผลของก๊าซโอโซนได้ซึ่งถือว่ายังอยู่เกณฑ์ที่ยอมรับได้ในอากาศโดยทั่วไป แต่ในส่วนของหลอดรังสียูวี-ซี 185 นาโนเมตร ที่ใช้สำหรับการผลิตโอโซนเพื่อใช้ฆ่าเชื้อโรคภายในตู้อบฆ่าเชื้อด้วยโอโซนและหลอดรังสียูวี 254 นาโนเมตรที่ใช้สำหรับการสลายโอโซนในอากาศภายในตู้ กำลังอยู่ในขั้นตอนการดำเนินการและทดสอบพร้อมทั้งพัฒนาให้สามารถใช้งานได้ดีขึ้น ทั้งนี้ตัวต้นแบบยัง

ไม่เสถียรมากพอควรได้รับการพัฒนาต่อไปในอนาคต

#### 5. กิตติกรรมประกาศ

ขอขอบพระคุณคณาจารย์ประจำภาควิชาฟิสิกส์ อุตสาหกรรมและอุปกรณ์การแพทย์ สาขาวิศวกรรมชีวการแพทย์ มหาวิทยาลัยเทคโนโลยีพระจอมเกล้าพระนครเหนือ สำหรับคำแนะนำระหว่างการทำงานวิจัย, พื้นที่ในการทดสอบ การสนับสนุนและช่วยเหลือด้านต่าง ๆ จนลุล่วงเป้าหมายในการดำเนินงาน รวมทั้งครอบครัวที่คอยช่วยเหลือและกำลังใจ

#### 6. เอกสารอ้างอิง

- [1] PropertyGuru. (2563). **อบโอโซนคืออะไร ฆ่าเชื้อโรคได้จริงหรือ**. ค้นเมื่อ 2 พฤษภาคม 2564, จาก <https://www.ddproperty.com>
- [2] Pneumax. (2561). **OZONE**. ค้นเมื่อ พฤษภาคม 2564, จาก <https://www.pneumax.co.th/article-ozone>
- [3] ดร.สืบตระกูล วิเศษสมบัติ. (2563). **โอโซน (Ozone)**. ค้นเมื่อ 1 พฤษภาคม 2564, จาก [https://medtech.psu.ac.th/Files\\_Article/20140721xU9evoENlycr.pdf](https://medtech.psu.ac.th/Files_Article/20140721xU9evoENlycr.pdf)
- [4] Big Ozone treatment. (2558). **ปริมาณโอโซนกับการกำจัดเชื้อโรคต่าง ๆ**. ค้นเมื่อ 2 พฤษภาคม 2564, จาก <https://www.bigoozone.com>
- [5] Chatcharee. (ม.ป.ป.). **เกร็ดความรู้เรื่องโอโซน**. ค้นเมื่อ 1 พฤษภาคม 2564, จาก <http://www.chatcharee.co.th/index.php?>

route= information/ information&  
information\_id=9

- [6] GLASCO UV Ultraviolet Light Technologies. (2021). **about UV LIGHT**. Retrieved May 1, 2021 from <http://www.glascouv.com/uv-info.html>
- [7] ปิยวิทย์ ทิพรส. (2552). โอโซน : สมบัติทางเคมี กายภาพและการประยุกต์ใช้เพิ่มความขาว ผลิตภัณฑ์เรือปลา. วารสารสุทธิปริทัศน์, **23**(70), 105-119.
- [8] Oxidation Technology. (n.d.). **Ozone production from UV**. Retrieved May 1, 2021 from [ozone/ozone- production/uv-lamp.html](http://ozone/ozone-production/uv-lamp.html)
- [9] สถาบันมาตรวิทยาแห่งชาติ กระทรวงการอุดมศึกษา วิทยาศาสตร์ วิจัยและนวัตกรรม (ม.ป.ป). คำแนะนำสำหรับการใช้ “หลอดยูวี” ทำลายเชื้อโควิด 19. ค้นเมื่อ 1 พฤษภาคม 2564, จาก <http://www.nimt.or.th/main/wp-content/uploads/2020/06/คำแนะนำ-การเลือกหลอดยูวีทำลายเชื้อโควิด-19-ตอนที่1.pdf>



# หมวกกันน็อกแจ้งเตือนการเกิดอุบัติเหตุผ่านแอปพลิเคชัน LINE

## Accident Alert Helmet via LINE Application

ชัยณรงค์ คล้ายมณี<sup>1</sup>    กริชเพชร สนธิระ<sup>2</sup>    กิ่งพัชฌา บุตรศาสตร์<sup>3</sup>    สีวกร โชติพิณี<sup>4</sup>

<sup>1</sup>ภาควิชาวิศวกรรมคอมพิวเตอร์ คณะวิศวกรรมศาสตร์ มหาวิทยาลัยศรีนครินทรวิโรฒ  
องครักษ์ นครนายก 26120 Email: chainaro@g.swu.ac.th

<sup>2</sup>ภาควิชาวิศวกรรมคอมพิวเตอร์ คณะวิศวกรรมศาสตร์ มหาวิทยาลัยศรีนครินทรวิโรฒ  
องครักษ์ นครนายก 26120 Email: kritpet.sontira@g.swu.ac.th

<sup>3</sup>ภาควิชาวิศวกรรมคอมพิวเตอร์ คณะวิศวกรรมศาสตร์ มหาวิทยาลัยศรีนครินทรวิโรฒ  
องครักษ์ นครนายก 26120 Email: kingpatcha.butsart@g.swu.ac.th

<sup>4</sup>ภาควิชาวิศวกรรมคอมพิวเตอร์ คณะวิศวกรรมศาสตร์ มหาวิทยาลัยศรีนครินทรวิโรฒ  
องครักษ์ นครนายก 26120 Email: siwakhon.chotpinit@g.swu.ac.th

### บทคัดย่อ

บทความนี้กล่าวถึงการนำเซ็นเซอร์ Gyroscope, Accelerometer และ Vibration Sensor มาประยุกต์ใช้ในการทำระบบแจ้งเตือนการเกิดอุบัติเหตุ ที่เกิดขึ้นกับผู้ขับขี่รถจักรยานยนต์ โดยได้ตั้งเห็นปัญหาของการเกิดอุบัติเหตุของผู้ที่ขับขี่รถจักรยานยนต์ โดยเฉพาะในตำแหน่งที่เกิดเหตุ นั้นอาจจะไม่มีผู้พบเห็นหรือผู้ก่อเหตุหลบหนีจึงอาจจะทำให้การช่วยเหลือไม่ได้ทันเวลา ดังนั้นการนำเซ็นเซอร์ทั้งสามชนิดมาใช้ในการตรวจจับอุบัติเหตุ โดยใช้การตรวจสอบการกระแทกในรูปแบบต่างๆ เพื่อเพิ่มโอกาสรอดชีวิตของผู้บาดเจ็บ ซึ่งระบบนี้จะมีแจ้งเตือนไปยังโทรศัพท์มือถือที่ถูกลำหนดเบอร์ไว้ในระบบ ผลลัพธ์ที่ได้หลังจากทำการ

ทดสอบหมวกกันน็อกที่ติดเซ็นเซอร์เข้าสู่รูปแบบการเกิดเหตุในแบบต่างๆ ซึ่งผลปรากฏว่าสามารถแจ้งเตือนได้ตามที่ออกแบบไว้โดยค่าเฉลี่ยความถูกต้องมากกว่า 90%

**คำสำคัญ:** การเกิดอุบัติเหตุ การแจ้งเตือน

### Abstract

This article applies Gyroscope, Accelerometer and Vibration Sensor sensors to make an accident alarm system. That happened to motorcyclists by recognizing the problem of accidents among motorcyclists especially in the location where the incident may not be seen or the evildoer may not be

able to provide timely assistance. Thus, all three sensors are used to detect accidents using various forms of shock detection to increase the chances of survivability of the injured. This system will send a notification to the mobile phone that is assigned a number in the system. The results obtained after testing the installed sensors in helmets into various scene patterns, which appear to be able to give the designed alarm, with an average accuracy of more than 90%.

**Keywords:** Accident, Alert

## 1. บทนำ

### 1.2 ที่มาและความสำคัญ

ด้วยได้พบว่ามิจานวิจัยจำนวนมากที่เกี่ยวข้องกับการล้มหรือการกระแทก[2] ข้อดีของงานวิจัยนี้คือ ใช้เซ็นเซอร์ที่ไม่ได้ติดบนร่างกายทำให้เกิดความคล่องตัวกับผู้ใช้ที่ไม่ต้องทำอะไรมาติดที่ตัวเพื่อวัด แต่งานวิจัยนี้ก็มีข้อเสียคือ จะต้องติดตั้งอุปกรณ์นี้ในทุกที่ที่ต้องการจะตรวจจับงานวิจัยต่อมาที่ได้นำเสนอ การออกแบบชุดตรวจจับการล้มของผู้สูงอายุด้วยเซ็นเซอร์การเอียง โดยนำเซ็นเซอร์ตรวจจับการเอียงและตรวจจับการเร่ง[3] มาติดตั้งบริเวณระหว่างขอบเอวจากนั้นจะอาศัยการตรวจจับมุมที่เกิดจากการเปลี่ยนไปตามแรงโน้มถ่วงของโลก เมื่อผู้สูงอายุประสบอุบัติเหตุล้มขึ้นเซ็นเซอร์จะตรวจจับการเอียงของมุมที่ถูกกำหนดไว้ก่อนหน้านี้ ชุดเตือนภัยก็จะส่งสัญญาณเตือนเสียงโทนอย่างต่อเนื่องเตือนให้กับคนรอบข้าง

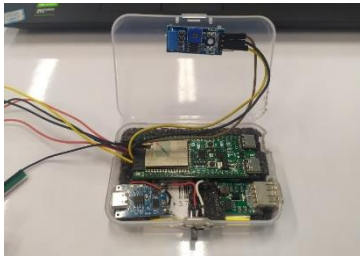
ที่อยู่ใกล้เคียง ข้อดีของงานวิจัยนี้คือ เป็นอุปกรณ์ที่ติดตั้งง่ายและความเข้มของแสงไม่มีผลกับการตรวจจับเหมือนกับการใช้การประมวลผลภาพทำให้ความแม่นยำของงานวิจัยนี้มากกว่าการประมวลผลภาพ โดยการประมวลผลภาพจะมีความแม่นยำอยู่ที่ 66.67% และในงานวิจัย[1] ที่ได้นำเสนอระบบตรวจจับการล้มแบบ 2 มิติด้วย Bluetooth Accelerometer Sensor โดยทำการติดเซ็นเซอร์ไว้ที่บริเวณเอวแล้วทำการทดสอบการล้มจากนั้นบันทึกค่าความเร่งที่ได้จากเซ็นเซอร์ แล้วนำค่าที่ได้มาประมวลผลว่าเป็นการล้มหรือไม่ หากเป็นการล้มระบบจะแสดงการแจ้งเตือนว่าเกิดการล้มไปในทิศทางไหน อย่างไรซึ่งผลการทดสอบพบว่าอุปกรณ์นี้ให้ความแม่นยำถึงร้อยละ 83.33-90 เป็นต้น งานวิจัยที่สองและสามนั้นได้ทำการวิจัยการตรวจจับการล้มที่เกิดขึ้นกับคน และเหมาะสมกับการนำไปตรวจจับกับการล้มของผู้ที่ขับขี่รถจักรยานยนต์ เนื่องจากสะดวกในการติดตั้งและมีความแม่นยำที่สูง เราจึงได้เปลี่ยนเซ็นเซอร์ที่ใช้ตรวจจับจากเดิมที่เป็นแบบเข็มขัดมาเป็นหมวกกันน็อกแทน

## 2. วิธีการดำเนินงาน

### 2.1 การออกแบบด้านฮาร์ดแวร์

การออกแบบทางด้านฮาร์ดแวร์ ตัวไมโครคอนโทรลเลอร์และเซ็นเซอร์จะถูกบรรจุลงในกล่องพลาสติกใสปิดโดยตัวกล่องจะถูกติดตั้งไว้ภายในและอยู่ส่วนด้านในของหมวกกันน็อก เนื่องจากด้านในของหมวกกันน็อกเป็นตำแหน่งที่มีการกระแทกน้อยที่สุดเมื่อมีการเกิดอุบัติเหตุ ส่งผลให้อากาศที่จะเกิด

ความเสียหายต่อตัวไมโครคอนโทรลเลอร์และเซ็นเซอร์เนื่องมาจากการเกิดการเกิดอุบัติเหตุขึ้นน้อย และภายในหมวกจะมีเซ็นเซอร์ Impact Sensor ติดอยู่ด้านข้างภายในหมวกสองข้างเพื่อทำการเช็คว่ามีผู้สวมหมวกกันน็อคอยู่หรือไม่



รูปที่ 1 การติดตั้งไมโครคอนโทรลเลอร์ภายในกล่องพลาสติก

## 2.2 การออกแบบด้านซอฟต์แวร์

### 2.2.1 การออกแบบแอปพลิเคชัน

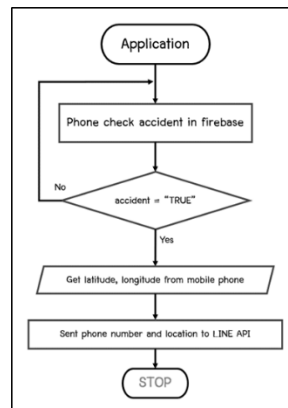
การออกแบบแอปพลิเคชันนั้นถูกออกแบบโดยใช้โปรแกรม Android Studio เวอร์ชัน 4.0.1 ในการออกแบบ โดยแอปพลิเคชันจะทำหน้าที่เป็นเสมือน Internet Hotspot ให้กับไมโครคอนโทรลเลอร์ และเป็นตัวตรวจเช็คค่าของตัวแปร Accident ที่ถูกเก็บไว้ในฐานข้อมูล firebase เมื่อแอปพลิเคชันตรวจเช็คได้ว่าค่า Accident ในฐานข้อมูลมีค่าเป็น True แอปพลิเคชันจะทำการส่งพิกัดปัจจุบันของผู้ขับขี่ผ่านทาง LINE API ให้กับผู้ที่เกี่ยวข้องทันที โดยในหน้าจอหลักจะมีส่วนประกอบ คือ ชื่อ Hotspot รหัสผ่าน ปุ่มตั้งค่า ตัวอักษรบอกสถานะของการเชื่อมต่อ และ QR Code เพื่อใช้ในการเพิ่มเพื่อนไลน์บอกรับการแจ้งเตือนเมื่อเกิดอุบัติเหตุ



รูปที่ 2 หน้าจอหลักแอปพลิเคชัน

### 2.2.2 การทำงานของแอปพลิเคชัน

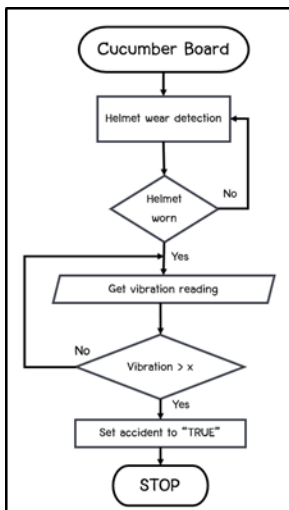
การทำงานของแอปพลิเคชัน จะมีการทำงานคือ แอปพลิเคชันจะทำการเช็คค่าตัวแปร Accident ที่ถูกเก็บอยู่ในฐานข้อมูล Firebase แบบเรียลไทม์ เพื่อทำการตรวจเช็คว่ามีเหตุการณ์เกิดอุบัติเหตุหรือไม่ หากมีการเกิดอุบัติเหตุค่าตัวแปร Accident จะเป็น True แอปพลิเคชันจะทำการดึงค่าตำแหน่งปัจจุบันและเบอร์โทรศัพท์ ส่งข้อมูลตำแหน่งและเบอร์โทรศัพท์ของผู้ที่เกิดอุบัติเหตุผ่านทาง Line API



รูปที่ 3 ผังงานแสดงการทำงานของแอปพลิเคชัน

### 2.2.3 การทำงานของไมโครคอนโทรลเลอร์

การทำงานของไมโครคอนโทรลเลอร์ จะมีหลักการทำงานคือ Switch Infrared Sensor จะทำการตรวจเช็คว่ามีผู้สวมหมวกกันน็อคอยู่หรือไม่ หากมีผู้สวมหมวกกันน็อค ไมโครคอนโทรลเลอร์จะทำการเช็ค Vibration Sensor ว่ามีค่าเกินกว่าที่กำหนดหรือไม่ หากค่าเกินกว่าที่กำหนดไมโครคอนโทรลเลอร์จะทำการเปลี่ยนค่าตัวแปร accident เป็น True



รูปที่ 4 Flowchart แสดงการทำงานของไมโครคอนโทรลเลอร์

### 3. ผลการดำเนินงาน

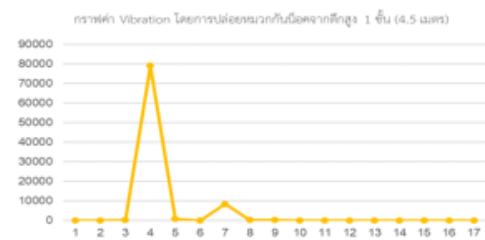
#### 3.1 การทดสอบการตกกระแทกของหมวกกันน็อคที่ติดตั้งเซ็นเซอร์

ในผลการทดสอบในระดับความสูง 4.5 เมตร โดยใช้ความสูงเป็นตัวสร้างแรงกระแทกเข้าสู่หมวกกันน็อค ซึ่งเซ็นเซอร์ทั้งสองชนิดติดตั้งที่หมวกเพื่อตรวจสอบแรงกระแทกและตรวจสอบการเคลื่อนไหวของหมวกกันน็อค โดยเซ็นเซอร์ตรวจสอบแรง

กระแทกให้ผลอย่างชัดเจนในการกระแทกของหมวกกันน็อคตลอดจนถึงใจโลสามารถตรวจสอบการกระแทกเกิดขึ้นเมื่อจุดกระแทกทำให้เกิดการหยุดกระทันหันของแนวแกนที่มีแรงกระแทกเกิดขึ้นดังในรูปที่ 5



(ก)

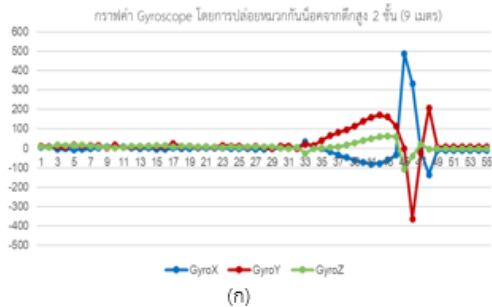


(ข)

รูปที่ 5 (ก) เป็นค่าของเซ็นเซอร์ใจโล (ข)เป็นค่าของเซ็นเซอร์ตรวจสอบแรงกระแทก

ในผลการทดสอบในระดับความสูง 9 เมตร โดยใช้ความสูงเป็นตัวสร้างแรงกระแทกเข้าสู่หมวกกันน็อค ซึ่งเซ็นเซอร์ทั้งสองชนิดติดตั้งที่หมวกเพื่อตรวจสอบแรงกระแทกและตรวจสอบการเคลื่อนไหวของหมวกกันน็อค โดยเซ็นเซอร์ตรวจสอบแรงกระแทกให้ผลอย่างชัดเจนในการกระแทกของหมวกกันน็อคตลอดจนถึงใจโลสามารถตรวจสอบการกระแทกเกิดขึ้นเมื่อจุดกระแทกทำให้เกิดการ

หยุดกระแทกของแนวแกนที่มีแรงกระแทกเกิดขึ้นดังในรูปที่ 6



รูปที่ 6 (ก) เป็นค่าของเซ็นเซอร์ไจโร (ข) เป็นค่าของเซ็นเซอร์ตรวจสอบแรงกระแทก

จากผลของการทดสอบสามารถสรุปได้ดังตารางที่ 1

ตารางที่ 1 แสดงค่าความถูกต้องจากการทดสอบ 10 ครั้ง

| ความสูง | Vmax mean | Gmax mean | ผลที่คาดหวัง | ครั้งที่ถูกต้อง (10 ครั้ง) |
|---------|-----------|-----------|--------------|----------------------------|
| 1 ชั้น  | 62080     | 428       | แจ้งเตือน    | 9                          |
| 2 ชั้น  | 95320     | 519       | แจ้งเตือน    | 8                          |

#### 4. สรุปผลการทดสอบ

โดยผลการทดสอบที่ได้คือ การทดสอบปล่อยจากตึกสูง 1 ชั้น (4.5 เมตร) ค่า Vibration สูงสุดเฉลี่ยที่ได้จากการปล่อย 10 ครั้งคือ 62080 จำนวนครั้งที่

ทดสอบตรงตามที่คาดหวังคือ 9 จากทั้งหมด 10 ครั้ง คิดเป็นความแม่นยำคือ 90% และในการทดสอบปล่อยจากตึกสูง 2 ชั้น (9 เมตร) ค่า Vibration สูงสุดเฉลี่ยที่ได้จากการปล่อย 10 ครั้งคือ 95320 จำนวนครั้งที่ทดสอบตรงตามที่คาดหวังคือ 8 จากทั้งหมด 10 ครั้ง คิดเป็นความแม่นยำคือ 80% และในการทดสอบจำลองขณะอยู่ที่ขังไม่ได้อยู่บน

รถจักรยานยนต์ การทดสอบทั้งหมดตรงตามที่คาดหวังคือ 10 จากทั้งหมด 10 ครั้ง คิดเป็นความแม่นยำคือ 100%

#### เอกสารอ้างอิง

- [1] พงษ์พันธ์ สมแพง. (2555). ระบบตรวจจับการล้มแบบ 2 มิติด้วย Bluetooth Accelerometer Sensor. วิทยานิพนธ์. มหาวิทยาลัยธุรกิจบัณฑิตย์
- [2] ชีรศักดิ์ โชติกวนิชย์. (2555). ระบบสมองกลฝังตัวสำหรับตรวจจับการล้มขณะอาบน้ำด้วยกล้องที่รักษา ความเป็นส่วนตัว. วิทยานิพนธ์. มหาวิทยาลัยสงขลานครินทร์
- [3] ฉวีวุฒิ ถาวรวงษ์. (2554). การออกแบบชุดตรวจจับการล้มของผู้สูงอายุด้วยเซ็นเซอร์การเอียง. วิทยานิพนธ์. มหาวิทยาลัยเทคโนโลยีพระจอมเกล้าธนบุรี

# เว็บเบสระบบสารสนเทศท่อแก๊สทางการแพทย์ A Web-based Information System for Medical Gas Cylinders

ฐิติพงษ์ คำเคนทรพนาช<sup>1</sup>, นพดล จุลตามระ<sup>2</sup>, ปัทมพร พลเดช<sup>3</sup>, ปิยะฉัตร แยมสุริโยทัย<sup>4</sup>,  
รวินท์ ปิ่นน้อย<sup>5</sup>, ศิริภรณ์ ม่วงทองกลาง<sup>6</sup>, ศุภศักดิ์ โชคกฤติยา<sup>7</sup>, สรณธรรม ใจสมคม<sup>8</sup>,  
อุษณีย์ ฆลองโกศลชัย<sup>9</sup>, ปิยะมาศ เสือเพ็ง<sup>1</sup>

<sup>2-9</sup>สาขาวิศวกรรมชีวการแพทย์ ภาควิชาฟิสิกส์อุตสาหกรรมและอุปกรณ์การแพทย์ คณะวิทยาศาสตร์  
ประยุกต์ มหาวิทยาลัยเทคโนโลยีพระจอมเกล้าพระนครเหนือ กรุงเทพมหานคร 10800

<sup>1</sup>คณะวิทยาศาสตร์และเทคโนโลยีสุขภาพ มหาวิทยาลัยนวมินทราธิราช กรุงเทพมหานคร 10300

Email: thitiphong.kha@nmu.ac.th

## บทคัดย่อ

ระบบแก๊สทางการแพทย์มีความสำคัญอย่างมากในการรักษาผู้ป่วย จึงต้องมีงานบริการทางด้านแก๊สทางการแพทย์โดยเฉพาะ เพื่อให้ระบบแก๊สทางการแพทย์ใช้งานได้อย่างต่อเนื่อง ปลอดภัย ซึ่งเว็บเบสระบบสารสนเทศท่อแก๊สทางการแพทย์สามารถแสดงประวัติของท่อแก๊สที่มีอยู่ สถานที่ที่ใช้งานในปัจจุบัน และสามารถลงทะเบียนท่อแก๊สที่รับมาใหม่ได้ เพื่อลดปัญหาท่อแก๊สหาย และลดค่าใช้จ่ายภายในองค์กร โดยระบบสามารถแจ้งเตือนรอบการทดสอบท่อแก๊ส เพื่อให้ผู้ดูแลทำการส่งทดสอบท่อแก๊สได้ตรงตามแผนที่วางไว้ อ้างอิงมาตรฐานทั้งในประเทศและต่างประเทศ ซึ่งในการเข้าถึงข้อมูลระบบสารสนเทศท่อแก๊สทางการแพทย์ จะถูกควบคุมการเข้าถึงข้อมูล เพื่อป้องกันการแก้ไขข้อมูลจากผู้อื่นที่นอกเหนือจากผู้ดูแล

**คำสำคัญ:** เว็บเบส ระบบสารสนเทศท่อแก๊สทางการแพทย์ ท่อแก๊สทางการแพทย์

## Abstract

The medical gas system is very important in the treatment of patients. Therefore, must have a specific medical gas service to make the medical gas system work continuously, be safe, web based

medical gas cylinders information system. Able to show the history of existing gas cylinders. The place of use and able to register the newly gas cylinder to reduce gas cylinder loss problems and reduce costs within the organization. The system can notify the gas cylinder test and preventive maintenance e schedule. So that the caretaker can send a test of the gas cylinder exactly as planned reference standards both in Thailand and international. By which access to the information system, medical gas cylinders are controlled to access information. To prevent editing of information by others other than the administrator.

**Keywords:** Web- based, Medical Gas Cylinders Information System, Medical Gas Cylinders

## 1. บทนำ

แก๊สออกซิเจน (Oxygen) มีความสำคัญอย่างยิ่งต่อการดำรงชีวิต โดยคุณสมบัติของแก๊สออกซิเจน คือ ไม่มีสี ไม่มีกลิ่น ไม่มีรสชาติ และช่วยให้ติดไฟ ซึ่งหากเซลล์ของอวัยวะต่างๆในร่างกายได้รับออกซิเจนลดลง หรือขาดออกซิเจนจะทำให้อวัยวะนั้นๆ ตายได้ ส่งผลต่อชีวิต [1] โดยร้อยละของออกซิเจนในอากาศมีปริมาณ 20.95 [2] ซึ่งแก๊ส

ออกซิเจนทางการแพทย์จะนำไปใช้กับผู้ป่วยที่ไม่สามารถหายใจได้ตามปกติ เพื่อเป็นการเพิ่มออกซิเจนให้เพียงพอกับความต้องการของร่างกาย [3] โดยมีปริมาณรองจากแก๊สไนโตรเจน (Nitrogen) ที่มีอยู่ในอากาศร้อยละ 78.08 มีคุณสมบัติ ไม่มีสี ไม่มีกลิ่น ไม่ติดไฟ [4] ในการใช้งานไนโตรเจนทางการแพทย์ จะใช้ภายในห้องปฏิบัติการ ในขณะที่แก๊สคาร์บอน ไดออกไซด์ (Carbon dioxide) มีคุณสมบัติ ไม่มีสี ไม่มีกลิ่น ไม่มีรส [5] และไม่ไวต่อปฏิกิริยา ร้อยละของคาร์บอนไดออกไซด์ในอากาศมีปริมาณ 0.03 ในทางการแพทย์จะนำไปใช้ในการอัดขยายหน้าห้อง ในการผ่าตัดที่มีการเปิดแผลขนาดเล็ก แก๊สอาร์กอน (Argon) [6, 7] ในอากาศมีปริมาณร้อยละ 0.93 ใช้ในการทำลายเนื้อเยื่อ การผ่าตัด มีคุณสมบัติ คือ ไม่มีสี ไม่มีกลิ่น ไม่มีรส แต่เป็นอันตรายเมื่ออยู่ในพื้นที่ปิด จึงควรมีการจัดเก็บ และการจัดการที่เหมาะสม ไนตรัสออกไซด์ (Nitrous oxide) [8] ที่ อุณหภูมิห้องจะมีสถานะเป็นแก๊ส ไม่มีสี มีกลิ่น และรสหอมหวานอ่อนๆ ไม่ติดไฟ ในทางการแพทย์ ใช้เป็นยาสลบและระงับปวด แก๊สอีกหนึ่งชนิดที่สำคัญในทางการแพทย์ คือ อากาศทางการแพทย์ (Medical Air) [9, 10] มีคุณสมบัติ เป็นก๊าซบริสุทธิ์ ไม่ติดไฟ ไม่มีสี และไม่มีกลิ่น นำไปใช้เป็นแหล่งอากาศสำหรับหายใจ ควบคู่กับแก๊สออกซิเจน เนื่องจากโรงพยาบาลมีการใช้แก๊สทางการแพทย์ในการรักษาผู้ป่วยเป็นจำนวนมาก ซึ่งเป็นผู้ป่วยที่อยู่ตามแผนกต่างๆ ทางโรงพยาบาลจึงต้องมีการจัดซื้อ และเตรียมความพร้อมของท่อแก๊สเพื่อให้มีเพียงพอและส่งถึงผู้ป่วยได้ตามเวลาที่กำหนด ซึ่งปัญหาที่พบในปัจจุบันอันเนื่องมาจากท่อแก๊สจำนวนมาก มีการเคลื่อนย้ายบ่อยครั้ง ทำให้ ท่อแก๊สหาย, ท่อแก๊สปนกันระหว่างบริษัทภายนอก หรือระหว่างตึกอื่นๆ จากการที่ท่อแก๊สหายทำให้เกิดปัญหาตามมา คือ ท่อชำรุด เนื่องจากไม่ได้รับการดูแลรักษา, ท่อหลุด

การทดสอบ และหาค่าการ preventive maintenance ทำให้โรงพยาบาลไม่ผ่านมาตรฐาน และอาจจะส่งผลกระทบต่อผู้ป่วยได้ ทางคณะผู้จัดทำจึงได้จัดทำ เว็บไซต์ระบบสารสนเทศท่อแก๊สทางการแพทย์ เพื่อตรวจสอบประวัติ และติดตามข้อมูลปัจจุบันของท่อแก๊สภายในโรงพยาบาล เพื่อแก้ปัญหาดังที่กล่าวมาข้างต้น

## 2. ระเบียบวิธีวิจัย

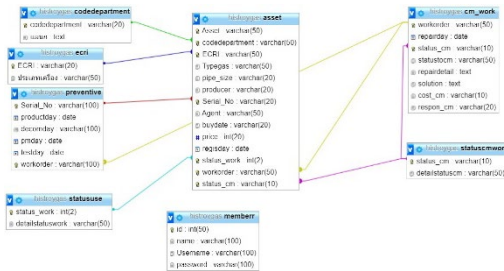
### 2.1 การออกแบบฐานข้อมูลสารสนเทศข้อมูลท่อแก๊สทางการแพทย์

การพัฒนาเว็บไซต์ระบบสารสนเทศข้อมูลสารสนเทศข้อมูลท่อแก๊สทางการแพทย์ใช้คำสั่ง PHP Script ร้องขอสารสนเทศจาก My SQL Database Server ซึ่งเป็นที่จัดเก็บฐานสารสนเทศข้อมูลท่อแก๊สทางการแพทย์ซึ่งประกอบด้วยตารางข้อมูลหลัก ได้แก่ ตารางข้อมูลท่อแก๊สทางการแพทย์ ตารางข้อมูลรหัสแผนก ตารางข้อมูลรหัส ECRI ตารางข้อมูลการบำรุงการรักษารหัส ตารางข้อมูลสถานะการใช้งานตารางข้อมูลงานซ่อมบำรุง ตารางข้อมูลสถานการณ์ซ่อมโดยแต่ละตารางข้อมูลมีความสัมพันธ์กันดังรูปที่ 1

### 2.2 การออกแบบเว็บไซต์ระบบสารสนเทศท่อแก๊สทางการแพทย์

เว็บไซต์ระบบสารสนเทศท่อแก๊สทางการแพทย์เป็นสถาปัตยกรรมเครื่องลูกข่ายและเครื่องแม่ข่ายข้อกำหนดที่สำคัญที่สุดประการหนึ่งสำหรับระบบคือ แอปพลิเคชันต้องทำงานบนเว็บอย่างสมบูรณ์วิธีนี้จะทำให้เข้าถึงข้อมูลได้สะดวกมากขึ้น ยิ่งไปกว่านั้นเทคโนโลยีบนเว็บจะช่วยให้ระบบสามารถใช้งานได้จากทุกที่ทุกเวลา ซึ่งเป็นปัจจัยสำคัญสำหรับการใช้งานทางการแพทย์ ที่เวลาไม่ก็ชั่วโมงอาจแสดงถึงความแตกต่างระหว่างการวินิจฉัยในช่วงปลายและการช่วยชีวิต เว็บไซต์ระบบสารสนเทศ

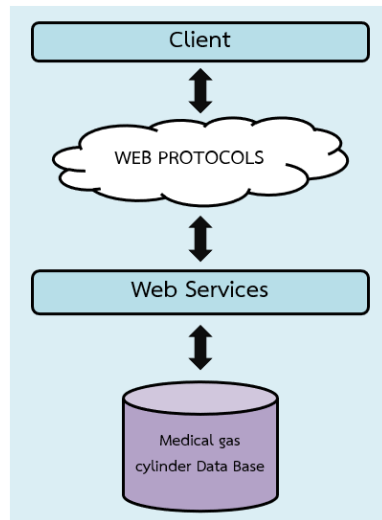
รับผิดชอบในการอัปเดตข้อมูลผู้ป่วยพร้อมกับรูปภาพที่เกี่ยวข้อง สิ่งนี้ดำเนินการโดยใช้ฐานข้อมูล (MySQL) ซึ่งใช้ฐานข้อมูลเชิงสัมพันธ์ที่เชื่อถือได้ และได้รับการพิสูจน์แล้วเพื่อจัดการทั้งข้อมูลข้อความและรูปภาพ



รูปที่ 1 แผนผังแสดงความสัมพันธ์ของแต่ละตารางข้อมูลในฐานข้อมูลสารสนเทศต่อแก้สทางการแพทย์

เซิร์ฟเวอร์ Apache 2.4.23 และเอ็นจินการเขียนสคริปต์ PHP ถูกนำมาใช้เพื่อพัฒนาฟังก์ชันอินเทอร์เน็ตเฟสผู้ใช้บนเว็บ สถาปัตยกรรมของระบบแสดงในรูปแบบที่ 2 ข้อมูลสรุปต่อแก้สทางการแพทย์รูปแบบดิจิทัลได้รับการรวบรวมจากฐานข้อมูลแผนกเครื่องมือแพทย์ ฝ่ายงานแก้สทางการแพทย์ บริษัท อาร์เอฟเอส จำกัด ข้อมูลเหล่านั้นเรียกรวมกันว่า ข้อมูลอินพุต ข้อได้เปรียบของความสามารถในการค้นหาของ MySQL คือ ข้อมูลทั้งหมดที่ดึงมาจากรายงาน ข้อความ และคำอธิบายประกอบ สามารถค้นหาได้ในเว็บเบสระบบสารสนเทศต่อแก้สทางการแพทย์เว็บเบสระบบสารสนเทศต่อแก้สทางการแพทย์ให้ตัวเลือกมากมายสำหรับการค้นหา เช่น การค้นหาหมายเลขของต่อแก้สทางการแพทย์ การค้นหาหมายเลขซีเรียลของต่อแก้สทางการแพทย์ การค้นหาหมายเลขของงานซ่อมการค้นหาหมายเลขของต่อแก้สทางการแพทย์ การค้นหาชื่อแผนกที่ใช้งาน ส่วนข้อความของเว็บ

เบสระบบสารสนเทศต่อแก้สทางการแพทย์ถูกแบ่งออกเป็นสาขาต่าง ๆ ซึ่งเชื่อมโยงกันผ่าน asset number ข้อมูลต่อแก้สทางการแพทย์ทั้งหมด อาจอนุญาตให้ผู้ดูแล ฝ่ายงานแก้สทางการแพทย์ แผนกเครื่องมือแพทย์ บริษัท อาร์เอฟเอส จำกัด เข้าถึงได้ เพื่อจำกัดระดับการเข้าถึงของข้อมูลและปกป้องข้อมูลที่สำคัญของบริษัท



รูปที่ 2 องค์ประกอบหลักของเว็บเบสระบบสารสนเทศต่อแก้สทางการแพทย์

### 3. ผลการทดลองและการอภิปรายผล

การใช้เว็บเซิร์ฟเวอร์เพื่อเก็บข้อมูลของต่อแก้สทางการแพทย์ เว็บเบสระบบสารสนเทศต่อแก้สทางการแพทย์ไม่จำเป็นต้องติดตั้งหรือปรับแต่งซอฟต์แวร์คอมพิวเตอร์ฝั่งเครื่องลูกข่าย ในฐานะที่เป็นฐานข้อมูลออนไลน์ จึงสามารถเข้าถึงได้โดยผ่านทุกระบบปฏิบัติการใด ๆ ซึ่งช่วยให้ผู้ใช้หลายคนเข้าถึงสารสนเทศได้แบบเรียลไทม์ สิ่งนี้จะเป็นประโยชน์อย่างยิ่ง อีกทั้งผู้ใช้งานยังสามารถใช้สำหรับศึกษาและอภิปรายเกี่ยวกับระบบการบริหารจัดการต่อแก้สทางการแพทย์ และอาจเป็น



ประโยชน์สำหรับสถาบันหรือสถานพยาบาลที่ไม่มี การเข้าถึง PACS จากที่พิกัดอาศัย จุดมุ่งหมายของเว็บ เบสระบบสารสนเทศต่อแก้สทางการแพทย์ คือ การ สร้างระบบสารสนเทศสำหรับฝ่ายงานแก้สทาง การแพทย์ แผนกเครื่องมือแพทย์ เพื่อลดจำนวนต่อ แก้สที่ปนกัน, ต่อแก้สที่หายและชำรุดให้ได้มาก ที่สุด, ลดค่าใช้จ่ายของโรงพยาบาล, แจ้งเตือนรอบ การทดสอบ, ลดจำนวนการหลุดทดสอบของต่อ แก้ส, แจ้งเตือนการจัดซื้อต่อแก้สรอบต่อไป, ให้ โรงพยาบาลมีต่อแก้สที่ปลอดภัย พร้อมใช้งาน และ เพื่อเป็นส่วนหนึ่งที่ทำให้โรงพยาบาลเป็นไปตาม มาตรฐานทั้งในประเทศ และต่างประเทศ เว็บเบส ระบบสารสนเทศต่อแก้สทางการแพทย์เป็น แหล่งข้อมูลออนไลน์ที่เต็มไปด้วยเนื้อหาสำหรับ การวิจัยและการศึกษา นอกจากนี้ยังมีชุดฟังก์ชัน แบบโต้ตอบสำหรับบุคลากรทางการแพทย์และ ผู้ดูแลระบบ ในการเรียกดูข้อมูลต่อแก้สทาง การแพทย์และรูปภาพ ตัวเลือกการค้นหาข้อมูล สามารถ เพิ่ม ลบ แก้ไขข้อมูลต่อแก้สทางการแพทย์ เว็บเบสสามารถใช้งานได้ง่าย ลักษณะการทำงานของเว็บเบสระบบสารสนเทศต่อแก้สทางการแพทย์ คือ หน้าหลักของเว็บมีการให้เข้าสู่ระบบ จากนั้นจะ มีตารางข้อมูลต่อแก้สทางการแพทย์ขึ้นมา และมี รายการให้เลือกรูข้อมูลในหน้าอื่นๆ ผู้ใช้งานหลัก ของเว็บเบสระบบสารสนเทศต่อแก้สทางการแพทย์ ได้แก่ บุคลากรทางการแพทย์ และผู้ดูแลระบบ เว็บ เบสระบบสารสนเทศต่อแก้สทางการแพทย์จึง ออกแบบมา เพื่อให้สามารถรวมชุดข้อมูลทั้ง ข้อความและรูปภาพได้อย่างไม่จำกัด

#### 4. สรุปการทดลอง

งานวิจัยนี้อธิบายถึงการพัฒนาระบบสารสนเทศ ข้อมูลต่อแก้สทางการแพทย์ ซึ่งเป็น ระบบ สารสนเทศทางการแพทย์ออนไลน์แบบรวมศูนย์ สำหรับการศึกษาค้นคว้าข้อมูลต่อแก้สทางการแพทย์

สมบัติที่สำคัญของเว็บเบสระบบสารสนเทศข้อมูล ต่อแก้สทางการแพทย์ ประกอบด้วย 1) รูปภาพของ ต่อแก้สทางการแพทย์ และ ข้อมูลต่อแก้สทาง การแพทย์ไว้ในฐานข้อมูลเดียว 2) ตัวเลือกการ ค้นหา ที่หลากหลาย ช่วยเพิ่มความสามารถในการ สืบค้นข้อมูล 3) สามารถ เพิ่ม ลบ แก้ไข ข้อมูลต่อ แก้สทางการแพทย์ได้ 4) เว็บเบสระบบสารสนเทศ ต่อแก้สทางการแพทย์ใช้งานได้ง่าย เว็บเบสระบบ สารสนเทศต่อแก้สทางการแพทย์ได้รับการพัฒนา และแสดงให้เห็นถึงประโยชน์ในการนำไปใช้งาน ทางทางการแพทย์ตามวัตถุประสงค์



รูปที่ 3 หน้าหลักของระบบฐานข้อมูลต่อแก้สทาง การแพทย์



รูปที่ 4 สำหรับการกรอกข้อมูลเพิ่มในระบบ ฐานข้อมูลต่อแก้สทางการแพทย์

#### 5. กิตติกรรมประกาศ

งานวิจัยนี้ได้รับการสนับสนุนเป็นอย่างดีจาก ภาควิชาฟิสิกส์อุตสาหกรรมและอุปกรณ์การแพทย์ มหาวิทยาลัยเทคโนโลยีพระจอมเกล้าพระนคร เหนือและ แผนกเครื่องมือแพทย์ บริษัท อาร์เอฟเอส

จำกัด คณะผู้จัดทำขอขอบพระคุณอาจารย์ที่ปรึกษา และ แผนกเครื่องมือแพทย์ ฝ่ายงานแก๊สทางการแพทย์ บริษัท อาร์เอฟเอส จำกัด ที่กรุณาให้คำแนะนำและคำปรึกษาเป็นอย่างดีในการจัดทำระบบสารสนเทศข้อมูลต่อแก๊สทางการแพทย์ สำหรับการประชุมวิชาการเทคโนโลยีสุขภาพแห่งประเทศไทย (The Conference on Health Technology of Thailand) นี้

## เอกสารอ้างอิง

- [1] Healthcareplus, “ความสำคัญของก๊าซออกซิเจน,” [Online]. Available: <http://www.arokaplus.com/index.php/importance-of-oxygen.html>. [Accessed: 22 เมษายน 2564].
- [2] Joomla template, “บรรยากาศ,” [Online]. Available: <http://cms574.bps.in.th/group9/atmospheress1>. [Accessed: 22 เมษายน 2564].
- [3] วิศวกรรมความปลอดภัยและสิ่งแวดล้อมในโรงพยาบาล กองวิศวกรรมการแพทย์, “ตัวอย่างก๊าซที่มีการนำไปใช้ประโยชน์ทางการแพทย์ และ ดัชนี อื่น ๆ,” [Online]. Available: [https://web.facebook.com/SEEHOSP/posts/663873023682310/?\\_rdc=1&\\_rdr](https://web.facebook.com/SEEHOSP/posts/663873023682310/?_rdc=1&_rdr). [Accessed: 22 เมษายน 2564].
- [4] InterSol Engineering And Technology, “เราสามารถนำ ไนโตรเจน มาใช้ในการฉีดขึ้นรูปพลาสติกได้,” [Online]. Available: <https://www.intersol-eng.com/เราสามารถนำไนโตรเจน-มา/>. [Accessed: 22 เมษายน 2564].
- [5] มูลนิธิสัมมาอาชีวะ, “Carbon dioxide,” [Online]. Available: [https://www.summacheeva.org/occtox/carbon\\_dioxide](https://www.summacheeva.org/occtox/carbon_dioxide). [Accessed: 22 เมษายน 2564].
- [6] เอ็นพีทีอุปกณ์งานเชื่อม, “แก๊สอาร์กอน (Argon) คืออะไร มาทำความรู้จักกัน,” [Online]. Available: [https://web.facebook.com/1691297351087058/posts/1701404370076356/?\\_rdc=1&\\_rdr](https://web.facebook.com/1691297351087058/posts/1701404370076356/?_rdc=1&_rdr). [Accessed: 22 เมษายน 2564].
- [7] ไทยอินเตอร์แก๊ส แอนด์ เคมีคัล ซัพพลาย, “ชนิดของแก๊สอาร์กอน(Argon) และขนาดบรรจุ,” [Online]. Available: <https://www.tigcs.co.th/17068529/แก๊สอาร์กอนargon>. [Accessed: 22 เมษายน 2564].
- [8] มูลนิธิสัมมาอาชีวะ, “Nitrous oxide,” [Online]. Available: [https://www.summacheeva.org/occtox/nitrous\\_oxide](https://www.summacheeva.org/occtox/nitrous_oxide). [Accessed: 22 เมษายน 2564].
- [9] LABGAZ, “Air gases - ก๊าซแอร์,” [Online]. Available: <https://www.labgaz.com/15515097/11-airgases>. [Accessed: 22 เมษายน 2564].
- [10] วิศวกรรมความปลอดภัยและสิ่งแวดล้อมในโรงพยาบาล กองวิศวกรรมการแพทย์, “บทนิยามความหมายของค่า ในระบบก๊าซทางการแพทย์,” [Online]. Available: [https://web.facebook.com/SEEHOSP/posts/346419482094334/?\\_rdc=1&\\_rdr](https://web.facebook.com/SEEHOSP/posts/346419482094334/?_rdc=1&_rdr). [Accessed: 29 เมษายน 2564].

# ระบบนับและจำกัดจำนวนคนโดยใช้การเรียนรู้ของเครื่อง ในสถานการณ์การแพร่ระบาดของโรคติดเชื้อ COVID-19

## Counting and Limiting People System Using Machine Learning for COVID-19 Pandemic Situation

นฤดล อิมมุดม<sup>1</sup> นัฐพล ขจรวัฒนากุล<sup>1</sup> ชีรธร ฤไกรวงศ์<sup>1</sup> ศตวรรษ ภิรมย์สุข<sup>1</sup>  
อนุชิต นีรภัย<sup>2</sup> วัชรชัย วิริยะสุทธีวงศ์<sup>1</sup>

<sup>1</sup>ภาควิชาวิศวกรรมคอมพิวเตอร์ คณะวิศวกรรมศาสตร์ มหาวิทยาลัยศรีนครินทรวิโรฒ  
องครักษ์ นครนายก 26120 Email: watch@g.swu.ac.th

<sup>2</sup>ภาควิชาวิศวกรรมชีวการแพทย์ วิทยาลัยวิศวกรรมชีวการแพทย์ มหาวิทยาลัยรังสิต  
เมือง ปทุมธานี 12000 Email: anuchit@rsu.ac.th

### บทคัดย่อ

บทความวิจัยนี้นำเสนอการออกแบบและพัฒนาระบบ AI สำหรับนับและจำกัดจำนวนคนในสถานที่ที่กำหนดต่างๆ เพื่อช่วยลดความเสี่ยงต่อการติดเชื้อตามแนวปฏิบัติเพื่อป้องกันการแพร่ระบาดของโรคโควิด-19 ในร้านสะดวกซื้อ ร้านอาหาร สถานบันเทิง หรือสถานบริการต่างๆ ระบบสามารถนับและจำกัดจำนวนคนเข้าในพื้นที่ที่กำหนด เมื่อได้รับเฟรมภาพจากกล้องจะผ่านการประมวลผลภาพและการเรียนรู้ของเครื่อง ระบบจะแจ้งเตือนเมื่อปรากฏว่ามีผู้ใช้บริการเข้า-ออกภายในสถานที่นั้นครบตามจำนวนที่กำหนดไว้ผ่าน GUI ของระบบตามที่ออกแบบไว้ได้จริง

**คำสำคัญ:** โควิด-19 การเรียนรู้ของเครื่อง ระบบนับจำนวนคน

### Abstract

This research paper presents the design and development of an AI system for counting and numbering people in a given location. To help reduce the risk of infection, follow guidelines for preventing the spread of COVID-19 In convenience stores, restaurants, entertainment venues or other service venues. The system can count and limit the number of people entering a specific area. Once the frame is obtained from the camera, it goes through image processing and machine learning. The system will notify you when it appears that There is a full number of users entering and exiting within that place through the GUI of the system as it is actually designed.

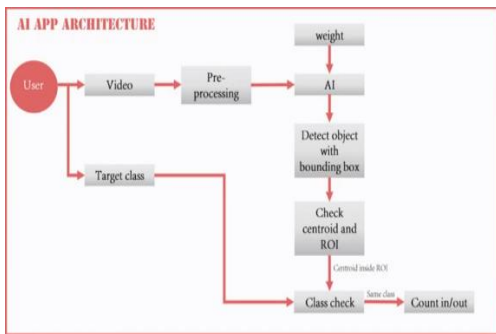
**Keywords:** COVID-19, Machine Learning, Counting System

## 1. บทนำ

ปัจจุบันมีผู้ติดเชื้อโควิด 19 ทั่วโลกจำนวนมากซึ่งในประเทศไทยมีผู้ติดเชื้อสะสม 72,788 คน (ข้อมูล ณ วันที่ 4/5/2021) โดยที่มีทั้งผู้ที่ทราบว่าตนเองติดเชื้อและผู้ที่ไม่ทราบว่าตนเองติดเชื้อโควิด 19 เดินทางเข้ามาใช้บริการตามร้านค้าและสถานบริการต่างๆ ซึ่งไม่สามารถทราบได้ว่า ผู้ใช้บริการคนใดได้รับเชื้อโควิด 19 บ้างและไม่ทราบจำนวนผู้ให้บริการที่เข้ามาภายในร้านได้ ณ ขณะนั้นได้ จากปัญหาข้างต้น งานวิจัยนี้จึงนำเสนอการออกแบบระบบ AI นับและจำกัดจำนวนคนในร้านค้า ที่สามารถบอกจำนวนผู้ให้บริการและแจ้งเตือนห้ามเข้าเมื่อจำนวนผู้ให้บริการครบตามกำหนด โดยนำเทคนิคการประมวลผลภาพและโครงข่ายประสาทเทียม มาประยุกต์ใช้เพื่อให้ทราบจำนวนผู้ให้บริการ ณ ขณะนั้น ได้ถูกต้องและแม่นยำ และป้องกันการแพร่ระบาดของโรคโควิด-19

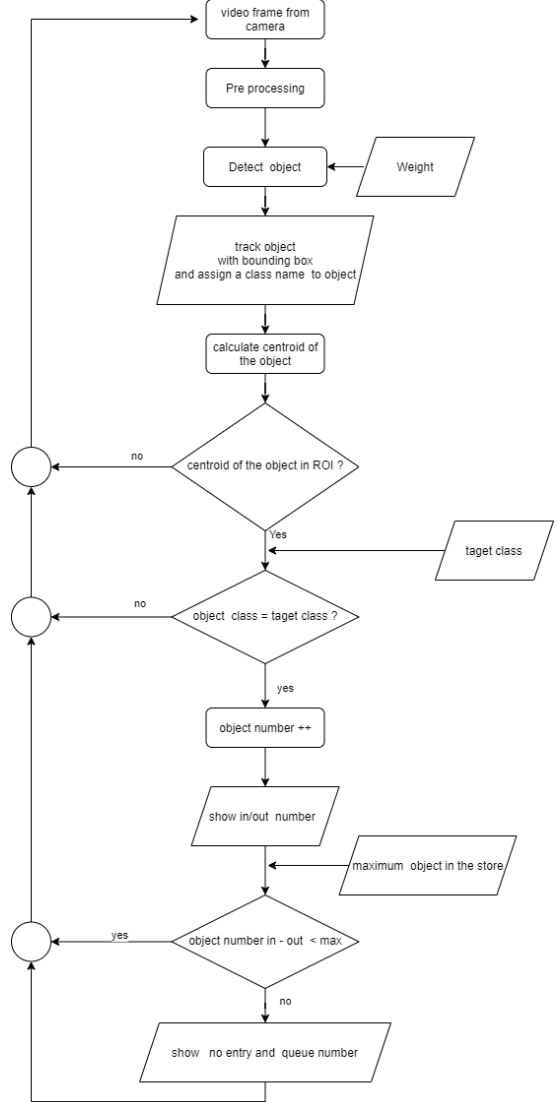
## 2. การออกแบบระบบ

สถาปัตยกรรมของระบบ AI สำหรับนับและจำกัดจำนวนคนในการวิจัยนี้ สามารถแสดงได้ดังรูปที่ 1.



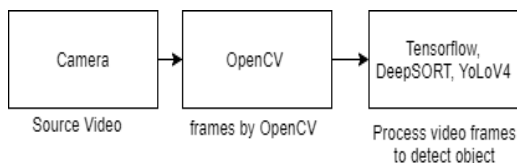
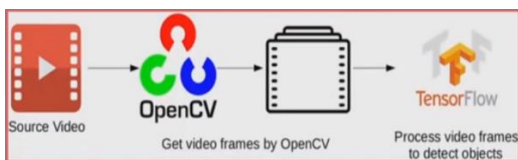
รูปที่ 1. สถาปัตยกรรมระบบ (System Architecture)

การออกแบบระบบ AI นับและจำกัดจำนวนคนในการวิจัยนี้ แบ่งออกเป็น 2 ส่วน คือ การออกแบบระบบตรวจจับผู้ให้บริการที่เข้า-ออกร้านค้า และการนับจำนวนผู้ให้บริการ



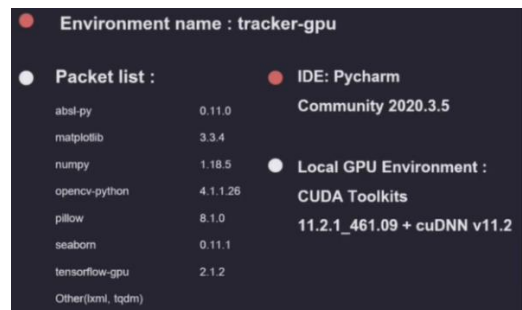
รูปที่ 2. Work Flow ของระบบ

จากรูปที่ 2 จะเห็นว่า ขั้นตอนการทำงานของระบบนั้น เริ่มจากรับเฟรมภาพจากกล้องเข้ามาทำงานจากนั้นนำไปจัดเตรียมข้อมูลก่อนการประมวลผล จากนั้นจะทำการตรวจจับวัตถุโดยใช้ข้อมูลที่ผ่านการเตรียมและค่าถ่วงน้ำหนัก เมื่อได้เมื่อตรวจจับได้แล้วจะทำการสร้างสี่เหลี่ยมล้อมวัตถุนั้น พร้อมกับ กำหนด Class ให้กับวัตถุนั้นๆ ซึ่งทั้งหมดข้างต้นนั้นจะเป็นการทำงานของระบบในส่วนที่ 1 จากนั้นเข้าสู่ส่วนที่ 2 คือนับจำนวนผู้ใช้บริการ จะเริ่มจากข้อมูลที่ได้ในส่วนที่ 1 มาคำนวณหาค่าจุดศูนย์กลางของวัตถุ จากนั้นจะทำการตรวจสอบว่าจุดศูนย์กลางของวัตถุ นั้น อยู่บริเวณภายใน ROI หรือไม่ ถ้าอยู่ใน จะทำการตรวจสอบ Class ของวัตถุ ว่า ตรงกับ Class ที่ผู้ใช้งานเป็นผู้กำหนดหรือไม่ ถ้าตรงกัน จะเพิ่มจำนวนเข้า-ออก และทำการแสดงจำนวน เข้า-ออก ของวัตถุ จากนั้นจะทำการตรวจสอบว่าผลต่างของเข้าและออกมีค่าน้อยกว่าจำนวนสูงสุดของผู้ใช้บริการที่สามารถเข้ามาในร้านได้ ถ้าเป็นเท็จให้แสดงข้อความห้ามเข้ารวมถึงแสดงจำนวนคิวที่ต้องรอ

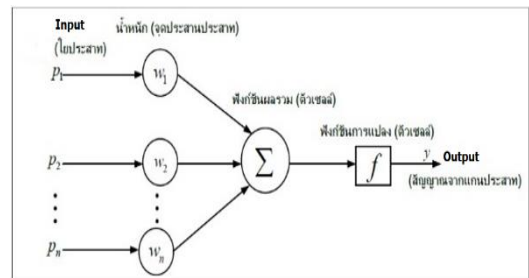


รูปที่ 3. System Environment

ตามสภาพแวดล้อมการทำงานของระบบ จะเริ่มจากวิดีโอ จากกล้องวิดีโอส่งผ่านมายัง OpenCV โดยที่ OpenCV จะทำการแยกวิดีโอออกเป็นเฟรมภาพ เมื่อได้เฟรมภาพแล้วจะส่งต่อไปยัง TensorFlow, DeepSORT, YoLo V4 เพื่อทำการตรวจจับวัตถุ ดังรูปที่ 3. ส่วนรายละเอียดของ Tools & Environment ที่ใช้ในการพัฒนา สามารถแสดงได้ดังรูปที่ 4. และการเรียนรู้ของเครื่อง เป็นไปตามแบบจำลองโครงข่ายประสาทเทียมดังรูปที่ 5.



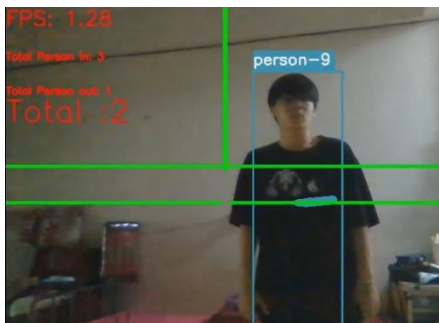
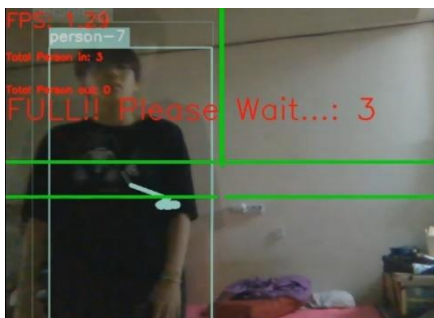
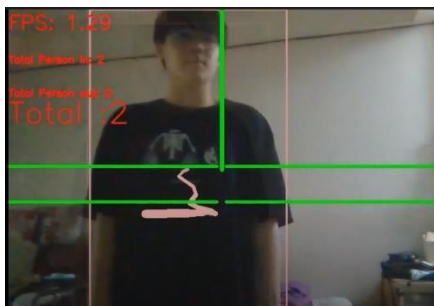
รูปที่ 4. Tools & Environment ที่ใช้ในการพัฒนา



รูปที่ 5. แบบจำลองโครงข่ายประสาทเทียม

### 3. การทดสอบระบบ

จากการทดสอบการทำงานของระบบโดยทดลองให้ผู้ใช้เดินเข้า-ออกในพื้นที่ที่กำหนดไว้ จะเห็นว่า เมื่อผู้ใช้บริการเดินเข้ามาทางด้านขวา ซึ่งเรากำหนดให้เป็น



รูปที่ 6. ตัวอย่างผลการทดสอบระบบ

ทางเข้าและเมื่อจุดศูนย์กลางของวัตถุเข้ามายังบริเวณระหว่างเส้นสีเขียว (ROI) จะทำให้จำนวนคนเข้ามีค่าเพิ่มขึ้น เมื่อผู้ใช้บริการเข้ามาในร้านครบกำหนดซึ่งในกรณีนี้กำหนดให้สูงสุด 3 คน จะมีข้อความแสดงบอกว่าเต็ม และบอกจำนวนคิวที่ต้องรอ และเมื่อผู้ใช้บริการเดินออกจากร้านทางด้านขวามือจะทำให้จำนวนออกเพิ่มขึ้น และข้อความแสดงว่าเต็มจะเปลี่ยนเป็นจำนวนคนในร้านขณะนั้น ดังตัวอย่างในรูปที่ 6.

#### 4. บทสรุป

ระบบ AI ตรวจจับนี้ออกแบบและพัฒนาให้เป็นระบบตรวจจับผู้ใช้บริการภายในบริเวณที่กำหนด โดยผ่านโปรแกรมภาษา Python โดยใช้เทคนิคการประมวลผลภาพเพื่อนำภาพเข้ามาและเตรียมข้อมูลและใช้เทคนิคการเรียนรู้ของเครื่องในการตรวจจับคน โดยหาจากข้อมูลที่เตรียมมาข้างต้น จากนั้นนำไปคำนวณหาจุดศูนย์กลางของวัตถุและนำไปเปรียบเทียบกับพื้นที่ ROI ในเฟรมภาพโดยถ้าจุดศูนย์กลางอยู่ในพื้นที่ ROI จะทำการแจ้งจำนวนเข้า-ออก รวมไปถึงการแจ้งเตือนห้ามเข้าและจำนวนคิวได้

อย่างไรก็ตาม ในส่วนของการถ่ายวิดีโอ อาจจะไม่สามารถตรวจจับผู้ใช้บริการได้ หากผู้ใช้บริการเกิดการซ้อนทับกัน เพื่อแก้ปัญหาดังกล่าวจึงควรให้ผู้ใช้บริการต่อแถวเรียงหนึ่งเพื่อเดินเข้าออกภายในบริเวณที่กำหนดไว้ และอาจจะมีข้อจำกัดในเรื่องของสถานที่ซึ่งไม่เอื้ออำนวยต่อการถ่ายภาพ เช่น ประตูมีแสงเข้ามาเกินไปทำให้เฟรมภาพที่ได้เกิดการย้อนแสงทำให้ไม่สามารถตรวจจับวัตถุได้ มีทางเข้าออกมากกว่าหนึ่งทาง

## 5. กิตติกรรมประกาศ

ขอขอบคุณภาควิชาวิศวกรรมคอมพิวเตอร์ คณะ  
วิศวกรรมศาสตร์ มหาวิทยาลัยศรีนครินทรวิโรฒ และ  
วิทยาลัยวิศวกรรมชีวการแพทย์ มหาวิทยาลัยรังสิต ที่  
ให้การสนับสนุนการวิจัยในครั้งนี้

## 6. เอกสารอ้างอิง

- [1] Pramod Singh. Learn TensorFlow 2.0: Implement Machine Learning and Deep Learning Models with Python 1st ed. Edition, Apress, 2020.
- [2] Krishna Rungta. Learn Testing in 1 Day: Definitive Guide to Learn Software Testing for Beginners Kindle Edition, 2021.
- [3] Venkata Reddy Konasani. Machine Learning and Deep Learning Using Python and TensorFlow 1st Edition. McGrawHill., 2021.
- [4] Yuxi (Hayden) Liu. Python Machine Learning By Example. Packt Publishing Ltd., 2020.

# เว็บเบสระบบสารสนเทศของหน่วยงานโภชนาการ

## A Web-based Information of Nutrition Department for In Patient Department

กำไร วรณช<sup>1</sup>, ปัทิตตา ลิมสาขหัว<sup>2</sup>, วรินทร หุ่นสุนทร<sup>3</sup>, จิตาภรณ์ เทวจินดาพันธุ์<sup>4</sup>, นฤเบศร เกตุถิ่น<sup>5</sup>,  
ปิยะธิดา กิจธัญญะสัมพันธ์<sup>6</sup>, พริศร สุขยิ่ง<sup>7</sup>, ภาณุวัฒน์ ดินคำ<sup>8</sup>, วิศิษฎ์ เปี่ยมเมตตา<sup>9</sup>, ปิยะมาศ เสือเพ็ง<sup>1</sup>

2-9สาขาวิศวกรรมชีวการแพทย์ ภาควิชาฟิสิกส์อุตสาหกรรมและอุปกรณ์การแพทย์ คณะวิทยาศาสตร์  
ประยุกต์ มหาวิทยาลัยเทคโนโลยีพระจอมเกล้าพระนครเหนือ กรุงเทพมหานคร 10800

<sup>1</sup>ภาควิชาเทคโนโลยีสุขภาพ คณะวิทยาศาสตร์และเทคโนโลยีสุขภาพ มหาวิทยาลัยนวมินทราธิราช

กรุงเทพมหานคร 10300 Email: thitiphong.kha@nmu.ac.th

### บทคัดย่อ

หน่วยงานโภชนาการเป็นหน่วยงานที่สำคัญในโรงพยาบาลมีหน้าที่หลัก คือ การดูแล รับผิดชอบ การผลิตและบริการอาหารแก่ผู้ป่วย โดยระบบสารสนเทศออนไลน์ที่ใช้เก็บรวบรวมข้อมูลผู้ป่วยเกี่ยวกับสารอาหารที่ควรได้รับ ช่วยลดภาระการทำงาน เพิ่มความสะดวก รวดเร็ว และถูกต้องของข้อมูล ผู้นิพนธ์จึงได้พัฒนาระบบสารสนเทศจากแบบประเมินภาวะโภชนาการของโรงพยาบาลแห่งหนึ่งให้อยู่ในรูปแบบเว็บเบส เพื่อป้องกันการเข้าถึงข้อมูลจากผู้ที่ไม่ได้รับอนุญาต และลดพื้นที่การจัดเก็บข้อมูลในรูปแบบอื่น ๆ ซึ่งระบบได้จัดเตรียมแพลตฟอร์มการเพิ่ม ลบ และเรียกดูข้อมูลได้ตามสิทธิ์การเข้าถึงของผู้ใช้งานนั้น ๆ

**คำสำคัญ:** เว็บเบส หน่วยงานโภชนาการ ผู้ป่วยในปริมาณและสารอาหาร

### Abstract

The nutrition department is an important unit in the hospital, whose primary function is to supervise the production and service of food to the patients. By an online information system that is used to collect patient information about the nutritional information that should be received. It is to help reduce the workload, increase the convenience, speed, and accuracy of information. This work has

developed an information system from the nutritional assessment from the paper form of somewhere healthcare to web-base. To prevent unauthorized access to information and reduce the storage space in other ways. The system provides a platform to add, delete, and retrieve information according to the access rights of that user.

**Keywords:** Web-based, The Nutrition Department, In Patient Department, Nutrient

### 1. บทนำ

สารอาหารที่มนุษย์ได้รับในแต่ละวันมีความจำเป็นอย่างยิ่งในการทำงานตามปกติของร่างกาย และความจำเป็นอย่างยิ่งเมื่อร่างกายได้รับการบาดเจ็บหรือมีอาการเจ็บป่วย ผู้ที่ได้เข้ารับการรักษาในโรงพยาบาล หรือ ที่เรียกว่าผู้ป่วยใน (In Patient Department : IPD) ควรได้รับสารอาหารที่เพียงพอและครบถ้วนตรงกับความต้องการเพื่อให้ร่างกายซ่อมแซมและฟื้นฟูได้อย่างรวดเร็วและมีประสิทธิภาพ จึงจำเป็นต้องมีการคิดคำนวณเกี่ยวกับปริมาณและสารอาหารที่ผู้ป่วยควรได้รับเป็นลักษณะรายบุคคล ซึ่งหน่วยงานที่มีหน้าที่รับผิดชอบเกี่ยวกับอาหารของผู้ป่วยใน คือ หน่วยงานโภชนาการ ทีมบุคลากรทางการแพทย์ในโรงพยาบาลที่มีส่วนเกี่ยวข้องกับปริมาณและสารอาหารที่ผู้ป่วยควรได้รับ เริ่มต้นจากแพทย์



เจ้าของไข้ มีบทบาทสำคัญกล่าวคือเป็นผู้ดูแลหลักหรือรับปรึกษารกณณที่ผู้ป่วยมีปัญหาทุพโภชนาการ เช่น การคัดกรองและประเมินภาวะ โภชนาการ และการพิจารณาการรักษาที่เหมาะสมสำหรับผู้ป่วยในแต่ละบุคคล รวมทั้งการพิจารณาเลือกใช้รูปแบบเทคนิค วิธีการให้อาหาร เช่น ให้อาหารทางหลอดเลือดดำหรือทางเดินอาหาร บุคลากรทางการแพทยัที่สำคัญในด้านนี้ คือ พยาบาลและพยาบาลโภชนบำบัด (Nutrition Nurse) ที่เป็นผู้ประสานงานระหว่างทีมโภชนบำบัด ในระบบการดูแลทางโภชนบำบัด รวมทั้งติดตามและประเมินผลการรักษาด้ำนโภชนบำบัดของผู้ป่วย อีกรูคณาการทางการแพทยัที่สำคัญ คือ นักโภชนาการ/นักกำหนดอาหาร ซึ่งมีหน้าที่หลักในการปฏิบัติงำนให้โภชนบำบัดรายบุคคล โดยครอบคลุมกระบวนการคัดกรอง และประเมินภาวะ โภชนาการ ปรับปรุงประยุดต์และดำเนินแผนการให้โภชนบำบัด โดยการจัดการกระบวนการที่เกี่ยวข้องกับการบริการอาหารและสารอาหารที่เกี่ยวข้องในรูปแบบต่าง ๆ ให้เป็นไปตามหลักการ โภชนบำบัดที่เหมาะสมแก่ความเจ็บป่วยและแผนการรักษาของแพทยั [1]

ในปัจจุบันระบบสารสนเทศในส่วนที่เกี่ยวข้องกับข้อมูลอาหารของผู้ป่วยในยังคงเก็บรักษาข้อมูลในรูปแบบกระดาษ (Hard Copy) ซึ่งคณะผู้จัดทำได้เล็งเห็นถึงปัญหาที่เกิดขึ้น จึงได้พัฒนาระบบจัดการฐานข้อมูลของหน่วยงาน โภชนาการ เพื่อความรวดเร็ว ถูกต้อง แม่นยำของข้อมูล และช่วยลดพื้นที่การจัดเก็บข้อมูลในรูปแบบกระดาษ ในงานวิจัยนี้คณะผู้จัดทำได้อธิบายถึงการออกแบบและใช้งานเว็บระบบสารสนเทศของหน่วยงานโภชนาการเพื่อรวบรวมข้อมูลที่เกี่ยวข้องกับปริมาณและสารอาหารที่ผู้ป่วยควรได้รับ เช่น วิตามิน เกลือแร่ ปริมาณคาร์โบไฮเดรต โปรตีน และไขมัน รวมทั้งข้อมูลของผู้ป่วยที่มีส่วนเกี่ยวข้องกับการคำนวณปริมาณและสารอาหารที่ควรได้รับ เช่น น้ำหนัก ส่วนสูง ค่าดัชนีมวลกาย (Body Mass Index : BMI) ปริมาณน้ำตาลในเลือด เป็นต้น โดยหน้าเว็บเบสมิแพลตฟอร์มที่เข้าใจได้ง่าย สามารถเพิ่ม ลบ และเรียกดูข้อมูลได้ตามสิทธิ์การเข้าถึงข้อมูลของผู้ใช้งาน เพื่อป้องกันการเข้าถึงข้อมูลของผู้ป่วยจาก

ผู้ที่ไม่ได้รับอนุญาตหรือผู้ที่ไม่มีสิทธิ์ดูข้อมูลในบางส่วน

## 2. ระเบียบวิธีวิจัย

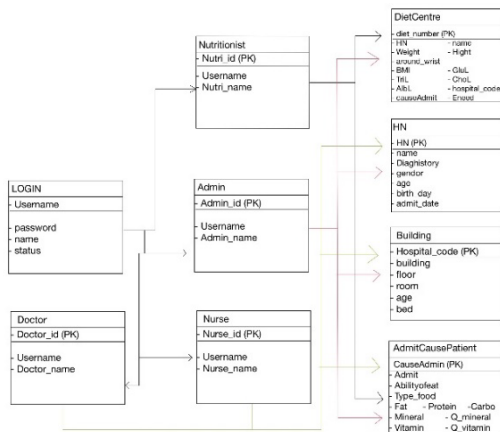
### 2.1 การออกแบบฐานข้อมูลสารสนเทศหน่วยงานโภชนาการ

การพัฒนาเว็บระบบสารสนเทศของหน่วยงานโภชนาการทำโดยใช้คำสั่ง PHP Script ร้องขอสารสนเทศจาก My SQL Database Server ซึ่งเป็นที่จัดเก็บฐานข้อมูลสารสนเทศหน่วยงานโภชนาการประกอบด้วยตารางข้อมูลหลัก ได้แก่ หมายเลขของผู้ป่วย (Hospital Number), ชื่อ-นามสกุล, น้ำหนัก, ส่วนสูง, ความยาวรอบข้อมือ, ค่าดัชนีมวลกาย (Body Mass Index : BMI), ระดับไตรกลีเซอไรด์ (Triglyceride), ระดับโคเลสเตอรอล (Cholesterol), ระดับอัลบูมิน (Albumin), ที่อยู่ผู้ป่วย, สาเหตุการเข้ารับการรักษาในโรงพยาบาล (Admit) และระดับพลังงานที่ร่างกายต้องการ โดยแต่ละตารางข้อมูลมีความสัมพันธ์กันดังรูปที่ 1

### 2.2 การออกแบบเว็บระบบสารสนเทศของหน่วยงานโภชนาการ

เว็บระบบสารสนเทศของหน่วยงานโภชนาการเป็นเซิร์ฟเวอร์เครื่องแม่ข่ายที่ให้บริการแก่เครื่องลูกข่าย โดยเรียกใช้งานผ่านทางออนไลน์ทั้งระบบอินเทอร์เน็ต หรืออินทราเน็ต (Intranet) โดยใช้โปรโตคอล TCP/IP เป็นมาตรฐานในการสื่อสารข้อมูล ผู้ใช้งานสามารถติดต่อสื่อสาร หรือเรียกใช้งานโปรแกรมผ่านบราวเซอร์ (Browser) บนอุปกรณ์ต่าง ๆ เช่น คอมพิวเตอร์ แท็บเล็ต สมาร์ทโฟน ข้อดีของเว็บระบบสารสนเทศหน่วยงานโภชนาการ คือ สามารถเข้าใช้งานได้ทันที โดยไม่ต้องติดตั้งซอฟต์แวร์ (Software) บนอุปกรณ์ของเครื่องลูกข่าย อีกทั้งยังสามารถอัปเดตแอปพลิเคชันและข้อมูลต่างๆ ได้อย่างสะดวก รวดเร็ว เหมาะสมกับระบบที่ให้บริการแบบเรียลไทม์ (Real Time) หรือระบบที่ต้องใช้ข้อมูลออนไลน์ [2] และเทคโนโลยีบนเว็บทำให้ระบบสามารถเข้าใช้งานได้ทุกที่ทุกเวลา เป็นปัจจัยสำคัญสำหรับงานทางการแพทย์ที่มีผลต่อการรักษาผู้ป่วยอย่างมีประสิทธิภาพ ข้อมูลบนเว็บระบบสารสนเทศ

หน่วยงานโภชนาการสามารถเข้าถึงได้จากผู้ชมจำนวนมาก โดยไม่มีข้อจำกัดเรื่องชนิดของระบบคอมพิวเตอร์ ผ่านการดำเนินการโดยใช้ฐานข้อมูล (MySQL) ซึ่งเป็นโปรแกรมระบบจัดการฐานข้อมูลที่มีหน้าที่เก็บข้อมูลอย่างเป็นระบบ รองรับคำสั่ง SQL [3] โดยเป็นข้อมูลเชิงสัมพันธ์ที่เชื่อถือได้ เนื่องจากได้รับการพิสูจน์แล้ว เพื่อจัดการข้อมูลตามที่ผู้ใช้งานต้องการ

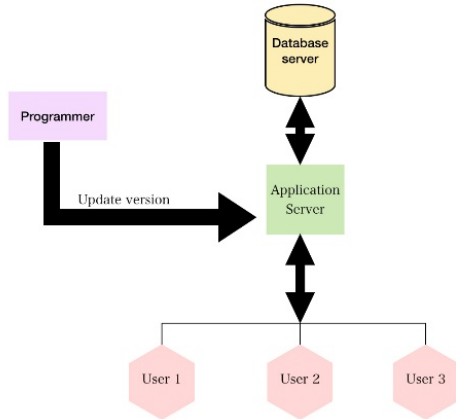


รูปที่ 1 แผนผังแสดงความสัมพันธ์ของแต่ละตารางข้อมูลในฐานข้อมูลเว็บระบบสารสนเทศของหน่วยงานโภชนาการ

การนำเสนอข้อมูลบนเว็บระบบสารสนเทศหน่วยงานโภชนาการเป็นการสื่อสารโดยตรงจากผู้ส่งสารไปยังผู้รับสารโดยใช้เวลาอันสั้น รูปแบบการนำเสนอข้อมูลมีลักษณะเป็นแบบไฮเปอร์เท็กซ์ (Hypertext) และ ไฮเปอร์มีเดีย (Hypermedia) ทำให้สามารถนำเสนอข้อมูลที่น่าสนใจในรูปแบบมัลติมีเดียที่สามารถเชื่อมโยงไปยังข้อมูลอื่น ๆ ที่เกี่ยวข้องได้ การนำเสนอข้อมูลบนเว็บระบบสารสนเทศของหน่วยงานโภชนาการมีลักษณะเป็นแบบอินเตอร์แอคทีฟ (Interactive) คือ มีส่วนที่ให้ผู้ใช้งานสามารถกรอกข้อมูลผู้ป่วยลงไปได้ รวมถึงสามารถแก้ไขข้อมูล ลบข้อมูลหรือค้นหาข้อมูลจากข้อมูลหลักได้และข้อมูลบนอินเตอร์เน็ตมีลักษณะ

เป็นแบบไดนามิก (Dynamic) คือ มีการปรับปรุงข้อมูลให้เป็นปัจจุบันโดยอัตโนมัติเมื่อมีการเพิ่มหรือแก้ไขข้อมูลในฐานข้อมูลผ่านบนหน้าเว็บไซต์ระบบสารสนเทศของหน่วยงานโภชนาการถูกพัฒนาขึ้นโดยการเขียนโปรแกรมในภาษาที่ถูกออกแบบมาสำหรับการพัฒนาแอปพลิเคชันบนระบบเครือข่ายอินเทอร์เน็ต ได้แก่ PHP ที่เป็นภาษาคำหรับทำงานด้านฝั่งของเซิร์ฟเวอร์ สามารถฝังกับโค้ดของ HTML ได้, HTML, JavaScript และ CSS ที่ใช้ในการตกแต่งหน้าเว็บไซต์ เพื่ออำนวยความสะดวกให้แก่ผู้ใช้งานในการเข้าใช้งาน [4-5] รูปแบบของเว็บระบบสารสนเทศของหน่วยงานโภชนาการ แสดงในรูปที่ 2 ข้อมูลทั้งหมดที่อยู่ในรูปแบบดิจิทัลได้รับการรวบรวมจากฐานข้อมูล โดยจะเรียกข้อมูลเหล่านี้ว่า ข้อมูลอินพุต กล่าวคือ เป็น ข้อมูลที่ถูกป้อนเข้าไปเก็บลงฐานข้อมูลโดยผู้ใช้งาน ซึ่งผู้ใช้งานท่านอื่นที่มีส่วนเกี่ยวข้องตามสิทธิ์การเข้าถึงข้อมูลสามารถค้นหาข้อมูลที่เกี่ยวข้องกับปริมาณและสารอาหารที่ผู้ป่วยควรได้รับบนหน้าเว็บระบบสารสนเทศของหน่วยงานโภชนาการได้โดยตรง เว็บระบบสารสนเทศหน่วยงานโภชนาการได้ออกแบบให้มีตัวเลือกที่หลากหลาย ในส่วนของการป้อนข้อความลงในระบบ เว็บระบบสารสนเทศหน่วยงานโภชนาการสามารถจำแนกประเภทข้อมูลได้ตามรหัสข้อมูลที่อยู่บนฐานข้อมูล โดยข้อมูลเหล่านั้นจะถูกบันทึกลงฐานข้อมูลและแสดงบนหน้าเว็บระบบสารสนเทศของหน่วยงานโภชนาการทันที ในส่วนของการลบข้อมูล บนหน้าเว็บระบบสารสนเทศของหน่วยงานโภชนาการมีการกำหนดสิทธิ์การลบข้อมูลตามสิทธิ์การลบข้อมูลของผู้ใช้งาน เพื่อป้องกันการเข้าถึงข้อมูลและความเป็นส่วนตัวของผู้ป่วย ในส่วนของการเรียกดูข้อมูลหรือการค้นหาข้อมูล เว็บระบบสารสนเทศหน่วยงานโภชนาการ ใช้สำหรับการค้นหาข้อมูลส่วนตัวของผู้ป่วย การค้นหาผลแลปของผู้ป่วย ไม่ว่าจะเป็นระดับไตรกลีเซอไรด์, ระดับโคเลสเตอรอล หรือระดับอัลบูมิน การค้นหารหัสที่อยู่ผู้ป่วยเพื่อการขนส่งอาหารไปยังปลายทางที่ชั้น ห้องและเตียงของ

ผู้ป่วยได้อย่างถูกต้อง การค้นหาสาเหตุการเข้ารับการรักษาในโรงพยาบาล โดยข้อมูลทั้งหมดเป็นข้อมูลที่เกี่ยวข้องกับปริมาณและสารอาหารที่ผู้ป่วยควรได้รับเป็นรายบุคคล



รูปที่ 2 รูปแบบเว็บระบบสารสนเทศของหน่วยงานโภชนาการ

### 3. ผลการทดลองและการอภิปรายผล

เว็บระบบสารสนเทศของหน่วยงานโภชนาการถูกเก็บลงบนฐานข้อมูลออนไลน์ที่สามารถเรียกใช้ข้อมูลผ่านบราวเซอร์ เช่น Internet Explorer, Firefox หรือ Google Chrome บนอุปกรณ์ต่าง ๆ ได้ เช่น คอมพิวเตอร์, แท็บเล็ต หรือสมาร์ทโฟน โดยไม่จำเป็นต้องติดตั้งหรือปรับแต่งซอฟต์แวร์คอมพิวเตอร์ฝั่งเครื่องลูกข่าย (Client) ผู้ใช้สามารถเข้าถึงเว็บระบบสารสนเทศของหน่วยงานโภชนาการได้แบบเรียลไทม์ จุดมุ่งหมายของเว็บระบบสารสนเทศหน่วยงานโภชนาการ คือ การพัฒนาระบบจัดการฐานข้อมูลของหน่วยงานโภชนาการออนไลน์สำหรับทีมบุคลากรทางแพทย์ที่มีความจำเป็นต้องเพิ่ม ลบ หรือเรียกดูข้อมูลของผู้ป่วยใน ไม่ว่าจะเป็นแพทย์เจ้าของไข้ พยาบาล พยาบาลโภชนบำบัด นักโภชนาการ นักกำหนดอาหาร หรือบุคลากรทางแพทย์อื่น ๆ ที่มีส่วนเกี่ยวข้อง เพื่อความรวดเร็ว ถูกต้อง แม่นยำและป้องกันการเข้าถึงข้อมูลจากผู้ที่ไม่ได้รับอนุญาต อีกทั้งยังช่วยลดพื้นที่ในการจัดเก็บข้อมูลในรูปแบบ

กระดาษ เว็บระบบสารสนเทศของหน่วยงานโภชนาการเป็นแหล่งข้อมูลที่สามารถเพิ่ม ลบ และเรียกดูข้อมูลได้ ไม่ว่าจะเป็นข้อมูลผู้ป่วยใน หรือข้อมูลที่เกี่ยวข้องกับหน่วยงานโภชนาการ เช่น น้ำหนัก ส่วนสูง ค่าดัชนีมวลกาย ระดับน้ำตาลในเลือด เป็นต้น โดยมีการดึงข้อมูลมาจากฐานข้อมูลที่ไว้เก็บไว้ในระบบสารสนเทศ ลักษณะการทำงานของเว็บระบบสารสนเทศของหน่วยงานโภชนาการสรุปไว้ในตารางที่ 1 และหน้าเว็บระบบสารสนเทศหน่วยงานโภชนาการระบุไว้ในภาพที่ 3 โดยแสดงเทียบเคียงกัน เพื่อให้เกิดความเข้าใจได้ง่าย งานวิจัยนี้มุ่งเน้นไปที่หน่วยงานโภชนาการเนื่องจากเป็นหน่วยงานหลักในโรงพยาบาลที่มีหน้าที่สำคัญในเรื่องของอาหารผู้ป่วยในที่ส่งผลกระทบต่อปริมาณและสารอาหารที่ผู้ป่วยควรได้รับ ซึ่งเว็บระบบสารสนเทศหน่วยงานโภชนาการสามารถรวบรวมชุดข้อมูลที่จำเป็นได้อย่างไม่จำกัด

ตารางที่ 1 ลักษณะสำคัญการทำงานของเว็บระบบสารสนเทศของหน่วยงานโภชนาการ

| หน้าเว็บ (Web Page) | เนื้อหา (Contents)  |
|---------------------|---|
| Register            | ผู้ใช้งานเข้าสู่ระบบด้วย Username และ Password  |
| Home                | ข้อมูลผู้ป่วยที่เกี่ยวข้องที่ผู้ใช้นั้น ๆ สามารถเรียกดูได้                              |
| Add                 | ประเภทข้อมูลผู้ป่วยในส่วนที่เกี่ยวข้องที่ผู้ใช้งานนั้น ๆ มีสิทธิ์เพิ่มข้อมูลลงฐานข้อมูล |
| Delete              | แสดงข้อมูลที่ผู้ใช้นั้น ๆ สามารถลบได้ตามสิทธิ์การลบข้อมูล                               |

### 4. สรุปการทดลอง

งานวิจัยนี้อธิบายถึงการพัฒนาเว็บระบบสารสนเทศหน่วยงานโภชนาการ ซึ่งเป็นระบบสารสนเทศทางการแพทย์ออนไลน์ที่มีความสำคัญ

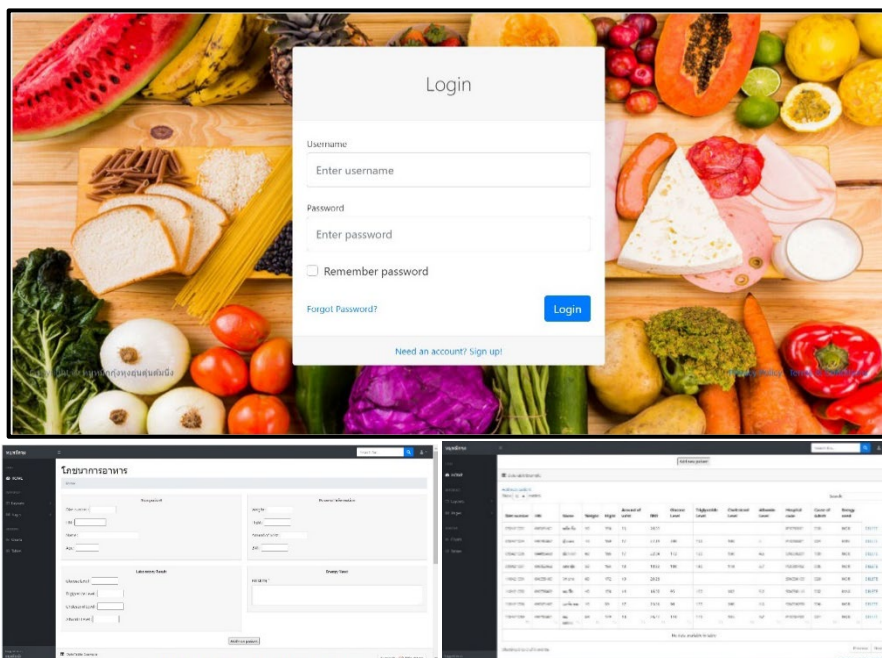
กับหน่วยงานโภชนาการ คุณสมบัติที่สำคัญของเว็บเบสระบบสารสนเทศของหน่วยงานโภชนาการประกอบด้วย 1) การเพิ่มข้อมูลในส่วนที่เกี่ยวข้องกับปริมาณและสารอาหารที่ผู้ป่วยในควรได้รับ 2) การลบข้อมูลบางส่วนในฐานข้อมูลผ่านหน้าเว็บเบส 3) การเรียกดูข้อมูลตามสิทธิ์การเข้าถึงของผู้ใช้งาน เว็บเบสระบบสารสนเทศของหน่วยงานโภชนาการได้รับการพัฒนาและแสดงให้เห็นประโยชน์ในการนำไปใช้งานทางการแพทย์ตามวัตถุประสงค์

### 5. กิตติกรรมประกาศ

งานวิจัยนี้ได้รับการสนับสนุนเป็นอย่างดีจากภาควิชาฟิสิกส์อุตสาหกรรมและอุปกรณ์การแพทย์ มหาวิทยาลัยเทคโนโลยีพระจอมเกล้าพระนครเหนือ และผู้สนับสนุนของขอพระคุณที่ปรึกษาและคณะกรรมการสมาคมเทคโนโลยีสุขภาพไทย (Advisory and Thai HTA Committee) ที่กรุณาให้คำแนะนำเป็นอย่างดีในการจัดหารูปแบบบทความภาษาไทย สำหรับการประชุมวิชาการเทคโนโลยีสุขภาพแห่งประเทศไทย (The Conference on Health Technology of Thailand) นี้

### เอกสารอ้างอิง

- [1] คณะทำงานพัฒนาคู่มือและตัวชี้วัด สายวิชาชีพนักโภชนาการ โภชนาการ กระทรวงสาธารณสุข ปี 2560. (2560). เถวลิน ชื่นเจริญสุข (บรรณาธิการ). **คู่มือการปฏิบัติงานโภชนาการในโรงพยาบาล บทที่ 1**(หน้า 5-6). พิมพ์ครั้งที่ 1. นนทบุรี: กองบริการสาธารณสุขสำนักงานปลัดกระทรวงสาธารณสุข.
- [2] อาอุน ไทย. **Web Based Application**. ค้นเมื่อ 28 เมษายน 2564, จาก <https://seo-web.aun-thai.co.th/services/web-creative>.
- [3] Networks365. **MySQL**.ค้นเมื่อ 28 เมษายน 2564, จาก <http://www.networks365.net>.
- [4] ไอทีจีเนียส เอ็นจิเนียริ่ง.(2557). **Web-based Application**.ค้นเมื่อ 28 เมษายน 2564, จาก <https://www.itgenius.co.th/article/Web-based>.
- [5] MarcusCode.**ภาษา PHP** (2559).ค้นเมื่อ 28 เมษายน 2564, จาก <http://marcuscode.com>.



รูปที่ 3 เว็บเบสระบบสารสนเทศของหน่วยงานโภชนาการและฟังก์ชันการทำงาน

# เครื่องบีบถุงลมช่วยหายใจอัตโนมัติ Auto AMBU Bag

ศิริภรณ์ ม่วงทองหลวง<sup>1</sup>, อุษณีย์ ฆอลงโกศศิลาชัย<sup>1</sup>, รตจรินทร์ บุญทวัน<sup>1\*</sup>, พยุง เดชอยู่<sup>1</sup>, อนุภาพ มากมี<sup>2</sup>,  
ชลนิตา หมอสินธุ์<sup>2</sup>, ณัฐอนันต์ญา นุ่มจ้อย<sup>2</sup>, ศิริพร ภูมิถาวร<sup>2</sup>

<sup>1</sup>สาขาวิศวกรรมชีวการแพทย์ ภาควิชาฟิสิกส์อุตสาหกรรมและอุปกรณ์การแพทย์ คณะวิทยาศาสตร์ประยุกต์  
มหาวิทยาลัยเทคโนโลยีพระจอมเกล้าพระนครเหนือ กรุงเทพมหานคร 10800

Email: rodjarin.r@sci.kmutnb.ac.th

<sup>2</sup>บริษัท อาร์เอฟเอส จำกัด โรงพยาบาลรามาริบัติ กรุงเทพมหานคร 10400

Email: anupape.m@rfs.co.th

## บทคัดย่อ

ในสถานการณ์การแพร่ระบาดของเชื้อโควิด-19 ทำให้จำนวนของผู้ป่วยที่ใช้เครื่องช่วยหายใจในการรักษามีมากขึ้น ในระหว่างการเปลี่ยนเครื่องช่วยหายใจ หรือเคลื่อนย้ายผู้ป่วยนั้น ต้องบีบถุงลมช่วยหายใจ เพื่อให้อากาศกับผู้ป่วยตลอดเวลา ทางคณะผู้จัดทำจึงมีแนวคิดที่จะทำเครื่องบีบถุงลมช่วยหายใจอัตโนมัติ นี้ขึ้นมา เพื่อให้การบีบถุงลมช่วยหายใจ มีประสิทธิภาพและเที่ยงตรงมากยิ่งขึ้น ลดภาระหน้าที่ และความเสี่ยงในการติดเชื้อจากผู้ป่วยให้กับบุคลากรทางการแพทย์ โดยเครื่องสามารถควบคุมผ่านแอปพลิเคชันในระยะมากกว่า 2 เมตร และสร้างอัตราการหายใจได้  $\pm 10\%$  ของค่าที่ตั้ง

**คำสำคัญ:** ถุงลมช่วยหายใจ เครื่องช่วยหายใจ โควิด-19

## Abstract

In the situation of the epidemic of COVID-19, there is an increase in the number of patients who use ventilator in the treatment. During ventilator replacement or transport, the AMBU Bag must compress to provide air to the patient at all times. We have the idea to build the Auto AMBU Bag to

be used in squeezing AMBU bag more efficient and accurate, reduce work and the risk of infection from patients to healthcare providers. the product could actually be used. It can control via an app over a distance of 2 m and generates a respiration rate of  $\pm 10\%$  of the set value.

**Keywords:** AMBU Bag, bag valve mask (BVM), ventilator, COVID-19

## 1. บทนำ

ในปัจจุบัน AMBU Bag [6] เป็นอุปกรณ์ช่วยหายใจที่ให้อากาศแรงดันบวกกับผู้ป่วย สามารถทำงานได้ด้วยระบบ Manual จากการบีบ โดยผู้ใช้งานที่มีความรู้ความเชี่ยวชาญ เพื่อควบคุมปริมาณแรงดันความเข้มข้นของออกซิเจนในอากาศ รวมทั้งอัตราการหายใจที่ผู้ป่วยควรได้รับ [4] จากการสังเกตพบว่าขณะที่รื้อเปลี่ยนเครื่องช่วยหายใจ หรือเคลื่อนย้ายผู้ป่วย บุคลากรทางการแพทย์จะต้องทำการบีบ AMBU Bag ตลอดช่วงเวลานั้น เพื่อช่วยในการหายใจ ของผู้ป่วยจนกระทั่งเครื่องช่วยหายใจ [1] มาถึง ซึ่งการบีบ AMBU Bag ในบางครั้งต้องใช้เวลานานและต่อเนื่อง จึงอาจทำให้เกิดความเหนื่อยล้าและส่งผลให้ประสิทธิภาพในการบีบ AMBU -

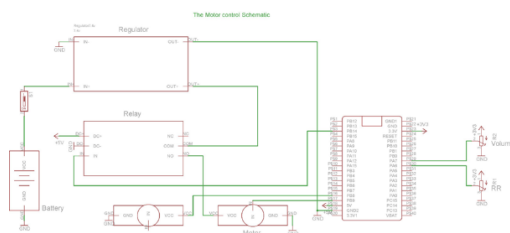
Bag ลดลง รวมทั้งทำให้เสียบุคลากรไปกับการบีบ AMBU Bag และเนื่องจากสถานการณ์ในปัจจุบันมีผู้ป่วยที่ติดเชื้อโควิด19 ที่จำเป็นจะต้องใช้เครื่องช่วยหายใจ [5] ในการรักษา โดย AMBU Bag มีความจำเป็นอย่างยิ่งขณะรอเครื่องช่วยหายใจในการช่วยเหลือผู้ป่วย ซึ่งอาจจะส่งผลให้ผู้ที่ทำการบีบ AMBU Bag ได้รับเชื้อจากอากาศที่ออกมาจากผู้ป่วยได้ โดยคณะผู้จัดทำได้สังเกตเห็นถึงปัญหานี้ จึงคิดริเริ่มทำโครงการ Auto AMBU Bag นี้ขึ้น เพื่อให้ประสิทธิภาพในการบีบคังที่ ลดภาระหน้าที่ และลดความเสี่ยงในการติดเชื้อจากผู้ป่วยให้กับบุคลากรทางการแพทย์

## 2. วิธีการดำเนินงานวิจัย

### 2.1 การออกแบบด้านฮาร์ดแวร์

#### 2.1.1 การออกแบบและสร้างส่วนควบคุมการทำงานของมอเตอร์

ในการบีบ AMBU Bag จะใช้ Servo motor เนื่องจากมีความแม่นยำของตำแหน่งในการหมุน ส่งผลถึงความคงที่ของปริมาณอากาศที่ให้กับผู้ป่วย Servo motor ที่เลือกใช้ คือ RDS5160 แรงบิด 60 kg•cm แกนหมุนได้ 270 องศา ทำงานร่วมกับบอร์ด stm32f103c [2] โดย Servo motor [3] จะใช้ไฟฟ้ากระแสตรงที่ได้จาก Battery lithium การต่อวงจรแสดงดังรูปที่ 1

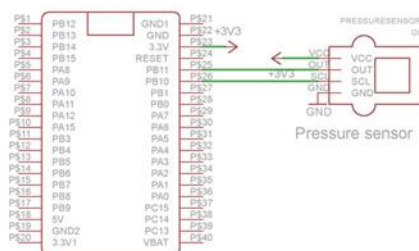


รูปที่ 1 แสดงการออกแบบวงจรการควบคุมมอเตอร์

#### 2.1.2 การออกแบบและสร้างส่วนการวัดแรงดันอากาศ

ในส่วนของ การวัดค่าแรงดันอากาศที่ผู้ป่วยได้รับในแต่ละครั้ง ทางคณะผู้จัดทำใช้ MPS20N0040D สามารถวัดค่าได้แรงดันได้ตั้งแต่ 0-40 kPa หรือ 0-400 cmH2O ติดตั้งมากับ HX711 วงจรขยายสัญญาณ สามารถแปลงสัญญาณแรงดันที่เป็น Analog signal สัญญาณต่ำจาก MPS20N0040D เป็น Digital signal 24bit I2C ส่งสัญญาณเข้าสู่บอร์ด stm32f103c เพื่ออ่านค่าและแสดงผล การต่อวงจรแสดงดังรูปที่ 2

The Pressure Schematic

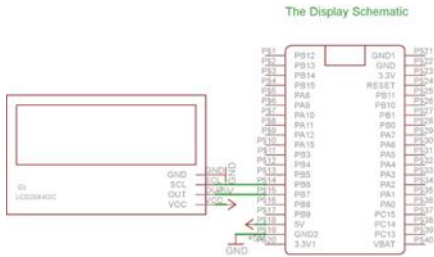


รูปที่ 2 แสดงการออกแบบวงจรการวัดแรงดัน

#### 2.1.3 การออกแบบและสร้างส่วนแสดงผลผ่านหน้าจอเครื่อง

ส่วนของ การแสดงผลผ่านหน้าจอ จะแสดงบนจอ LCD ขนาด 20 ตัวอักษร 4 บรรทัด ที่ถูกติดตั้งไว้กับเครื่อง โดยจอ LCD ดังกล่าวได้ติดตั้ง Module I2C เพื่อลดจำนวนของการเชื่อมต่อของ LCD กับบอร์ด stm32f103c ซึ่งทำให้ต่อ LCD เพียงแค่ 4 เส้น คือ VCC, SDA, SCL และ GND การต่อวงจรแสดงดังรูปที่ 3

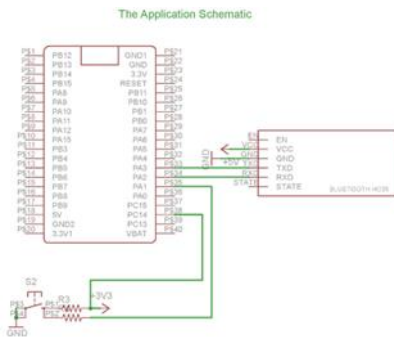




รูปที่ 3 แสดงการออกแบบวงจรส่วนแสดงผลผ่านหน้าจอเครื่อง

### 2.1.4 การออกแบบและสร้างส่วนแสดงผลบน Application

ในขั้นตอนการออกแบบและสร้างส่วนแสดงผลบน Application สามารถทำได้ด้วยการต่อ Bluetooth module HC05 เข้ากับบอร์ด stm32f103c ทำให้บอร์ดควบคุมกลายเป็น Master ที่อุปกรณ์อื่นสามารถเชื่อมต่อกับบอร์ดควบคุมได้ เป็นการสื่อสารผ่าน Serial port การต่อวงจรแสดงดังรูปที่ 4



รูปที่ 4 แสดงการออกแบบวงจรส่วนแสดงผลผ่าน Application

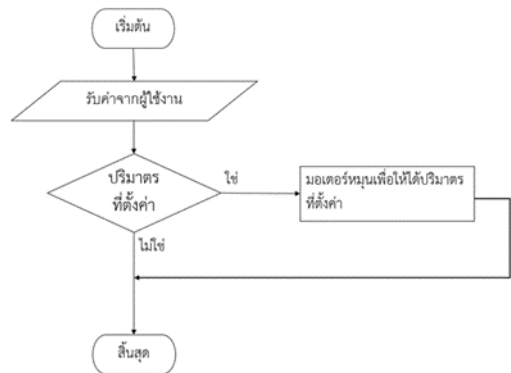
ในการออกแบบวงจรดังที่ได้กล่าวมาทั้งหมดข้างต้น ทางคณะผู้จัดทำจึงได้ออกแบบโครงสร้างภายนอกของเครื่อง Auto AMBU Bag ดังรูปที่ 5



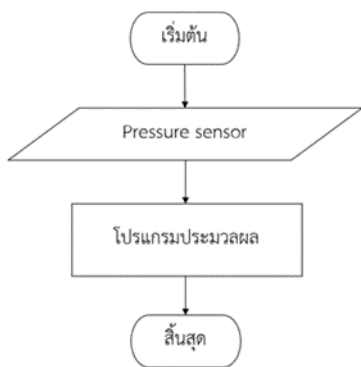
รูปที่ 5 แสดงภาพเครื่องโครงสร้างภายนอกของเครื่อง Auto AMBU Bag

### 2.2 การออกแบบด้านซอฟต์แวร์

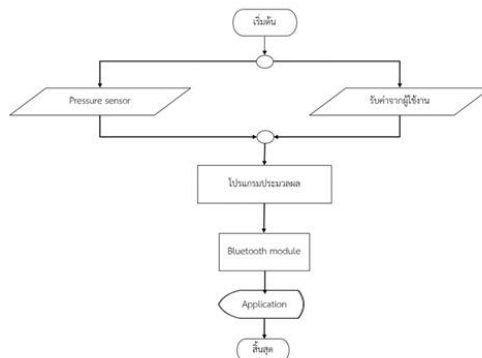
ในส่วนของการควบคุมมอเตอร์ การวัดแรงดันอากาศ และการแสดงผลผ่านหน้าจอเครื่อง โปรแกรมที่ใช้คือ โปรแกรม Arduino IDE [7] โปรแกรมดังกล่าวเมื่อเขียนเสร็จแล้วจะถูกอัปโหลดลงบอร์ด stm32f103c ซึ่งมีผังงาน (Flow Chart) ในส่วนต่าง ๆ ดังนี้



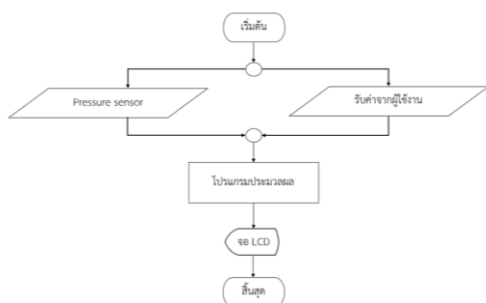
รูปที่ 6 แสดงผังการออกแบบโปรแกรมการควบคุมมอเตอร์



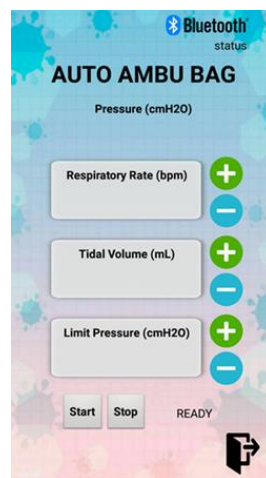
รูปที่ 7 แสดงผังการออกแบบโปรแกรมการวัดแรงดันอากาศ



รูปที่ 9 แสดงผังการออกแบบโปรแกรมการแสดงผลผ่าน Application



รูปที่ 8 แสดงผังการออกแบบโปรแกรมการแสดงผลผ่านหน้าจอ



และในส่วนการแสดงผลบน Application จะใช้โปรแกรม Arduino IDE และ MIT App Inventor [8] โปรแกรม Arduino IDE เมื่อเขียนเสร็จแล้วจะถูกอัปโหลดลงบอร์ด stm32f103c ส่วนโปรแกรม MIT App Inventor จะถูกดาวน์โหลดลง Smart phone เพื่อใช้ในการเชื่อมต่อ Bluetooth ระหว่าง Smart phone และบอร์ดควบคุมเครื่อง Auto AMBU Bag มีผังงาน (Flow Chart) ดังนี้

รูปที่ 10 แสดงหน้า display ของ Application

### 3 การทดสอบอุปกรณ์

ในการทดสอบอุปกรณ์นั้นทางคณะผู้จัดทำแบ่งเป็น 2 การทดสอบ ดังนี้  
การทดสอบที่ 1 ทดสอบอัตราการหายใจ และปริมาตรอากาศ

1. ทำการต่อเครื่อง Auto AMBU Bag เข้ากับเครื่องวิเคราะห์สัญญาณ ตั้งค่า อัตราการ

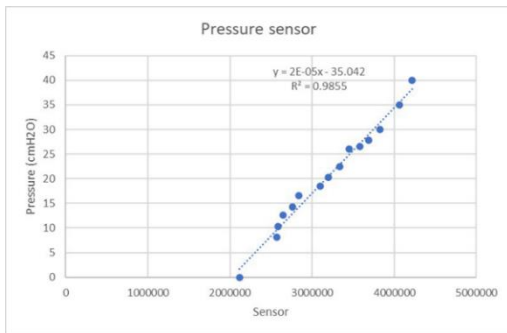


หายใจ และปริมาตรอากาศ จากเครื่อง Auto AMBU Bag อ่านค่าที่ได้จากเครื่องวิเคราะห์สัญญาณ

- เก็บบันทึกและเปรียบเทียบค่า อัตราการหายใจ และปริมาตรอากาศ ที่เครื่อง Auto AMBU Bag ได้ กับค่าที่แสดงบนเครื่องวิเคราะห์สัญญาณ

**การทดสอบที่ 2 ทดสอบการวัดแรงดันอากาศ**

- ต่ออุปกรณ์วัดแรงดันอากาศ เข้ากับเครื่อง simulator หรือ เครื่องช่วยหายใจ และเครื่องวิเคราะห์สัญญาณเพื่อสร้างกราฟแสดงความสัมพันธ์ระหว่าง สมการแรงดันอากาศที่เครื่องวิเคราะห์สัญญาณอ่านได้ และ เซนเซอร์อ่านได้



รูปที่ 11 แสดงกราฟความสัมพันธ์ระหว่างค่าที่ pressure sensor อ่านได้ และ ค่า pressure ที่เครื่องวิเคราะห์สัญญาณวิเคราะห์ได้

$$y = (2 \times 10^{-5})x - 35.042 \quad (1)$$

สมการ(1) สมการแสดงความสัมพันธ์ระหว่างค่าที่ pressure sensor อ่านได้ และ ค่าที่เครื่องวิเคราะห์สัญญาณวิเคราะห์ได้

- บันทึกค่า และทำการเปรียบเทียบค่า ระหว่างค่าที่อ่านได้จาก อุปกรณ์วัดแรงดันอากาศ ค่าที่ตั้งไว้ในเครื่องช่วยหายใจ และค่าที่เครื่องวิเคราะห์สัญญาณวิเคราะห์ได้ จากนั้นทำการปรับปรุงแก้ไขให้เครื่อง Auto AMBU Bag มีประสิทธิภาพและเที่ยงตรงมากยิ่งขึ้น

**4. ผลการทดลองและอภิปรายผลการทดลอง**

การทดสอบการให้อัตราการหายใจของเครื่อง Auto AMBU Bag จากการทำงานของ Servo motor ในองศาที่แตกต่างกันได้ผลการทดลองดังตารางที่ 1

ตารางที่ 1 แสดงจำนวนครั้งอัตราการหายใจที่ได้จากองศาต่างๆที่ Servo motor ใช้

| จำนวนครั้งอัตราการหายใจที่กำหนด | จำนวนครั้งอัตราการหายใจที่ได้จากองศาต่างๆที่ Servo motor ใช้ |          |          |          |         |         |         |  |
|---------------------------------|--|----------|----------|----------|---------|---------|---------|--|
|                                 | 180 องศา   | 150 องศา | 130 องศา | 110 องศา | 90 องศา | 70 องศา | 50 องศา |  |
| 20                              | 19   | 19       | 19       | 19       | 19      | 19      | 19      |  |
| 15                              | 15   | 15       | 15       | 15       | 15      | 15      | 15      |  |
| 10                              | 10   | 10       | 10       | 10       | 10      | 10      | 10      |  |
| 5                               | 5  | 5        | 5        | 5        | 6       | 6       | 5       |  |

จากตารางที่ 1 จะเห็นได้ว่าในแต่ละองศาที่ Servo motor ของเครื่อง Auto AMBU Bag ใช้สามารถให้จำนวนครั้งของอัตราการหายใจได้ใกล้เคียงกับค่าที่กำหนด อาจมีความคลาดเคลื่อนเล็กน้อย ที่กำหนดอัตราการหายใจ 20 ครั้งต่อนาที ซึ่ง Servo motor แต่ละองศาให้อัตราการหายใจได้ 19 ครั้งต่อนาที และในช่วงที่กำหนดอัตราการหายใจ 5 ครั้งต่อนาที และ Servo motor ที่ 90 องศา และ 70 องศาให้อัตราการหายใจ 6 ครั้งต่อนาที โดยความคลาดเคลื่อนนี้อยู่ในเกณฑ์ที่ยอมรับได้

การทดสอบการวัดแรงดันอากาศของเครื่อง Auto AMBU Bag จากการทำงานของ pressure sensor ที่ตัวเครื่อง ได้ผลการทดลองดังตารางที่ 2

ตารางที่ 2 ค่า PIP ที่ Pressure sensor ของเครื่องวัดได้ เทียบกับ เครื่องวิเคราะห์สัญญาณ ( $cmH_2O$ )

| เครื่องช่วยหายใจ | เครื่องวิเคราะห์สัญญาณ | Pressure sensor |            |            |
|------------------|------------------------|-----------------|------------|------------|
|                  |                        | ครั้งที่ 1      | ครั้งที่ 2 | ครั้งที่ 3 |
| 0                | -                      | 2               | 2          | 2          |
| 8                | 8                      | 10              | 10         | 10         |
| 10               | 10.52                  | 10              | 10         | 10         |
| 12               | 12.54                  | 12              | 12         | 11         |
| 14               | 14.5                   | 14              | 15         | 13         |
| 16               | 17.56                  | 16              | 17         | 18         |
| 18               | 19.63                  | 20              | 19         | 19         |
| 20               | 20.92                  | 21              | 22         | 21         |
| 22               | 23.01                  | 23              | 23         | 24         |

จากตารางที่ 2 จะเห็นได้ว่าค่า peak inspiratory pressure (PIP) ที่ตั้งจากเครื่องช่วยหายใจ เครื่องวิเคราะห์สัญญาณสามารถอ่านค่าได้ตามตาราง ซึ่งตัว pressure sensor ของเครื่อง Auto AMBU Bag สามารถวัดค่า PIP ได้ใกล้เคียงกับค่าที่เครื่องวิเคราะห์สัญญาณอ่านได้ มีความคลาดเคลื่อนไม่เกิน  $\pm 10\%$  ของค่าที่ตั้ง

## 5. สรุปผลการทดลอง

จากการทดสอบสามารถกล่าวสรุปผลการวิจัยได้ว่าเครื่อง Auto AMBU Bag ที่จัดทำขึ้น สามารถตั้งค่าอัตราการหายใจ และ ปริมาตรอากาศในการหายใจเข้า หรือออกที่ต้องการจ่ายให้กับผู้ป่วยได้รวมทั้งยังติดตามแรงดันอากาศที่ผู้ป่วยได้รับ หากแรงดันอากาศเกินกว่าที่ผู้ใช้งานตั้งค่าไว้ ระบบจะทำการตัดการทำงานของ Servo motor ป้องกันอันตรายที่อาจจะส่งผลต่อปอดของผู้ป่วย และมีการแจ้งเตือนด้วยไฟ LED ในกรณีที่ Battery ต่ำเพื่อเตือนให้ผู้ใช้งานทำการชาร์จ เตรียมความพร้อมสำหรับการใช้งานเครื่องในครั้งถัดไป

## 6. กิตติกรรมประกาศ

งานวิจัยนี้ได้รับการสนับสนุนเป็นอย่างดีจากภาควิชาฟิสิกส์อุตสาหกรรมและอุปกรณ์การแพทย์

มหาวิทยาลัยเทคโนโลยีพระจอมเกล้าพระนครเหนือและ แผนกเครื่องมือแพทย์ บริษัท อาร์เอฟเอส จำกัด คณะผู้จัดทำขอขอบพระคุณอาจารย์ที่ปรึกษาและ แผนกเครื่องมือแพทย์ บริษัท อาร์เอฟเอส จำกัด ที่กรุณาให้คำแนะนำและคำปรึกษาเป็นอย่างดีในการจัดทำ เครื่องบีบถุงลมช่วยหายใจอัตโนมัติ นี้ขึ้น

## เอกสารอ้างอิง

- [1] คงศักดิ์ สุวรรณรักษ์. (2564). เครื่องช่วยหายใจ Ventilator คืออะไร มีกี่แบบ และมีวิธีใช้งานอย่างไร. ค้นเมื่อ 24 พฤศจิกายน 2563, จาก <https://www.nksleepcare.com/blog/what-is-ventilator/>
- [2] ลุงเมกเกอร์. (2563). การใช้งานบอร์ด STM32 STM32F103C8T6 กับ Arduino IDE. ค้นเมื่อ 30 พฤศจิกายน 2563, จาก <http://www.lungmaker.com/การใช้งานบอร์ด-stm32f103c8t6/>
- [3] สนธยา นงนุช. (2563). ทุกเรื่องที่คุณควรรู้เกี่ยวกับเซอร์โวมอเตอร์และการใช้งาน. ค้นเมื่อ 28 พฤศจิกายน 2563, จาก <https://www.ioxhop.com/article/105/> ทุกเรื่องที่คุณควรรู้เกี่ยวกับเซอร์โวมอเตอร์และการใช้งาน
- [4] สราวุธ สุธีรวงศ์. (2558). ระบบหายใจ. ค้นเมื่อ 24 พฤศจิกายน 2563, จาก <http://www.kruserawut.net/wp/?p=10649>
- [5] AMANDA BAIER. (2020). Designing an Automated Manual Resuscitator for Emergency Overflow During the COVID-19 Crisis. Retrieved December 4, 2020, from <https://www.vecnarobotics.com/designing-an->

automated-manual-resuscitator-for-emergency-overflow-during-the-covid-19-crisis/

- [6] Chris Nickson. (2020). Bag- Valve- Mask (BVM) Ventilation. Retrieved November 26, 2020, from <https://litfl.com/bag-valve-mask-bvm-ventilation/>
- [7] Kasipon. (2563). Arduino คืออะไร ?. คั่นเมื่อ 25 พฤศจิกายน 2563, จาก <http://www.monkub.com/2020/05/14/what-is-arduino/>
- [8] Wichian. (2564). MIT App Inventor ตอนที่ 1. คั่นเมื่อ 25 พฤศจิกายน 2563, จาก <http://wichianrt.blogspot.com/2018/09/mit-app-inventor-1.html>

# การศึกษาโครงสร้างวัสดุของหน้ากากทางการแพทย์ A Study of Material Structure of Medical Mask

ปิยะมาส เสือเพ็ง<sup>1</sup>, ณัฐยา ขาวอาราม<sup>2</sup>, ดาริกา ชุตติจิรนาท<sup>3</sup>, ศลิษา สืบคล้าย<sup>4</sup>

1,2,3,4ภาควิชาเทคโนโลยีสุขภาพ คณะวิทยาศาสตร์และเทคโนโลยีสุขภาพ มหาวิทยาลัยนวมินทราชินราชมงคล  
กรุงเทพมหานคร 10300 Email: piyamas.sua@nmu.ac.th

## บทคัดย่อ

ในปัจจุบันมีการศึกษาบางงานได้รายงานว่าพบเชื้อโรคหลากหลายชนิดในสภาพแวดล้อมของโรงพยาบาล จึงมีความจำเป็นที่ต้องหาวิธีในการป้องกันในการแพร่กระจายของจุลชีพ โดยการสวมใส่หน้ากากทางการแพทย์ในระหว่างการปฏิบัติงาน ซึ่งเป็นแนวทางปฏิบัติงานที่สำคัญ งานวิจัยนี้มุ่งเน้นไปที่การศึกษาการแบ่งประเภทและการผลิตหน้ากากทางการแพทย์ที่มีจำหน่ายในประเทศไทย โดยอาศัยการวิเคราะห์โครงสร้างวัสดุด้วยกล้องจุลทรรศน์อิเล็กตรอนแบบส่องกราดที่มีกำลังขยาย 6 – 1,000,000 เท่า ทำให้สามารถศึกษาโครงสร้างขนาดเล็กระดับนาโนเมตรถึงไมโครเมตร และถ่ายภาพตัวอย่างได้หลากหลายโดยไม่มีผลจำเป็นต้องเคลือบผิวด้วยสารตัวนำไฟฟ้าก่อนการถ่ายภาพ ผลการวิจัยแสดงให้เห็นว่าขนาดของเส้นใยที่ใช้ผลิตหน้ากากทางการแพทย์ขึ้นอยู่กับเทคโนโลยีการผลิตหน้ากากทางการแพทย์

**คำสำคัญ:** หน้ากากทางการแพทย์ กล้องจุลทรรศน์อิเล็กตรอนแบบส่องกราด ผ้าไม่ทักไม่ทอ

## Abstract

Currently, some studies report that a variety of pathogens are found in hospital environments. Therefore, it is necessary to find a way to prevent the spread of microorganisms. An important

operation guideline is wearing a medical mask during operations. This research focuses on the study, classification and manufacture of medical masks in Thailand. The study was using a scanning electron microscope for material structure analysis with a magnification of 6 - 1,000,000 times. This makes to study small structures at micrometer to nanometer scale and imaging a variety of samples without the need for a conductive coating before imaging. The results shown that the size of the fiber of medical mask depends on the manufacture technology of the medical mask.

**Keywords:** Medical Mask, Scanning Electron Microscope, Non-oven

## 1. บทนำ

ในปัจจุบันมีการศึกษาบางงานได้รายงานว่าพบเชื้อโรคหลากหลายชนิดในสภาพแวดล้อมของโรงพยาบาล โดยที่การคิดเชื้อในโรงพยาบาลที่พบ ได้แก่ เอสเชอริเชีย โคลิ (*Escherichia coli*) ซูโดโมเนอแว แอรูจิโนซา (*Pseudomonas aeruginosa*) เอ็นเทอโรคอคคัส ฟีคาลิส (*Enterococcus faecalis*) แคนดิดาอัลบิแคนส์ (*Candida albicans*) และ สแตฟิโลค็อกคัส ออเรียส (*Staphylococcus aureus*) จึงมีความจำเป็นที่ต้องหาวิธีในการป้องกันในการแพร่กระจายของจุลชีพ โดยการสวมใส่

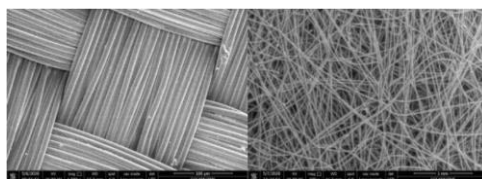
หน้ากากทางการแพทย์ในระหว่างการปฏิบัติงานซึ่งเป็นแนวทางปฏิบัติงานที่สำคัญ [1] Krishnan Jayaraman (2004) ได้ทำการศึกษาเกี่ยวกับ Polymer nanofibers ที่มีขนาดเส้นผ่านศูนย์กลางระดับนาโนเมตร และมีการอธิบายถึงกระบวนการผลิตนาโนไฟเบอร์ ได้แก่ Drawing, Template Synthesis, Phase Separation, Self-Assembly, Electrospinning ในกระบวนการผลิตที่กล่าวมา Electrospinning ได้ถูกนำไปใช้เปลี่ยน Polymer เป็น Nanofibers เพราะเป็นกระบวนการผลิตที่มีประสิทธิภาพที่สุดสำหรับการผลิตจำนวนมาก แต่สำหรับการศึกษาเกี่ยวกับการทดสอบแรงดึง ความแข็งแรงและการขยายยืดจะเป็นไปได้ยากเพราะเส้นผ่านศูนย์กลางเส้นใยที่มีขนาดเล็ก แต่ยังเป็นคุณสมบัติที่สำคัญต่อการทำนาโนไฟเบอร์ [2] ดร.จตุรรัตน์ ประสาน (2009) ได้ทำการศึกษาวิจัยเกี่ยวกับโครงของผ้าไม่ถักไม่ทอซึ่งเป็นโครงสร้างที่ใช้ในการผลิตหน้ากากอนามัย เพื่อเป็นแหล่งข้อมูลสำหรับการศึกษาวิธีการขึ้นโครงสร้างและคุณสมบัติ ความเหมาะสมในการใช้งานด้านต่าง ๆ ของหน้ากาก [3] โครงการนี้จึงมุ่งเน้นไปที่การศึกษาการแบ่งประเภทและการผลิตหน้ากากทางการแพทย์ที่มีจำหน่ายในประเทศไทย โดยอาศัยการวิเคราะห์โครงสร้างวัสดุด้วยเทคโนโลยี SEM (Scanning Electron Microscope) กล้องจุลทรรศน์อิเล็กตรอนที่มีกำลังขยาย 6–1,000,000 เท่า ทำให้สามารถศึกษาโครงสร้างขนาดเล็กระดับนาโนเมตรถึงไมโครเมตร สามารถถ่ายภาพตัวอย่างได้หลากหลาย โดยไม่มีความจำเป็นต้องเคลือบผิวด้วยสารตัวนำ

ไฟฟ้าก่อนการถ่ายภาพ โดยเลือกระบบสูญญากาศในห้องใส่ตัวอย่างที่เหมาะสมสำหรับตัวอย่างแต่ละประเภท

## 2. หน้ากากทางการแพทย์ (Medical mask)

### 2.1 วัสดุหน้ากากทางการแพทย์

หน้ากากทางการแพทย์ผลิตโดยใช้เทคโนโลยีการขึ้นรูปผ้า ด้วยผ้าทอ (Woven) ผ้าไม่ถักไม่ทอ (Non-woven) และการถัก (Knitted) แม้ว่าจะมีเทคโนโลยีการขึ้นรูปผ้าสามแบบ แต่ปัจจุบัน หน้ากากทางการแพทย์ส่วนใหญ่ทำจากผ้าไม่ถักไม่ทอและทิ้งภายหลังจากการใช้แล้ว



รูปที่ 1 โครงสร้างในผ้าทอ (ซ้าย) และผ้าไม่ถักไม่ทอ (ขวา)

หน้ากากทางการแพทย์ในปัจจุบันจึงมี 2 ประเภท ได้แก่ หน้ากากศัลยกรรม (Surgical Masks) และ หน้ากากกรองอากาศ (Respirator Masks) จัดเป็นอุปกรณ์การแพทย์ที่ใช้ป้องกันอนุภาคขนาดเล็กเข้าสู่ร่างกายผลิตจากผ้าแบบไม่ถักไม่ทอ (Non-woven) ที่ขึ้นรูปโดยใช้เส้นใยจากผลิตภัณฑ์ปิโตรเคมี ซึ่งหน้ากากทั้งสองแบบมีความแตกต่างกันที่ประสิทธิภาพการกรองอนุภาค อันเนื่องจากเทคโนโลยีการผลิตที่แตกต่าง สำหรับหน้ากากศัลยกรรมจะกรองอนุภาคในระดับ 3 ไมครอน มีจุดประสงค์หลัก เพื่อป้องกันการติดต่อของเชื้อโรค

ทั้งในรูปแบบของสารคัดหลั่ง เช่น น้ำลาย น้ำเหลือง และเลือด หรือละอองอากาศที่ปนเปื้อนเชื้อโรค ซึ่งสามารถแพร่กระจายเข้าสู่ร่างกายผ่านทางปากและจมูก ส่วนหน้ากากกรองอากาศจะใส่กระดาษกรองที่ช่วยกรองอนุภาคในระดับ 0.3 – 0.1 ไมครอน เช่น หน้ากาก N95 ที่สามารถกรองฝุ่นละออง PM 2.5 ซึ่งเป็นฝุ่นละอองในอากาศที่มีขนาดเส้นผ่านศูนย์กลางน้อยกว่า 2.5 ไมครอน [4]

ผ้าและแผ่นกรองหน้ากากทางการแพทย์ทำจาก Polypropylene เป็นส่วนประกอบสำคัญในการผลิตหน้ากากทางการแพทย์ทั้งสองแบบ โดยผ้าชั้นในและชั้นนอกผลิตจากเส้นใยไม่ถักไม่ทอประเภท Polypropylene Non-woven ซึ่งสาเหตุที่ต้องใช้เส้นใยจาก Polypropylene เนื่องจากมีจุดหลอมเหลวต่ำเมื่อเทียบกับพลาสติกชนิดอื่น จึงเหมาะที่จะนำมาหลอมเพื่อทำเป็น Melt-blown Non-woven และทำให้ได้เส้นใยที่มีลักษณะเล็กละเอียดในระดับนาโนเมตร-ไมโครเมตร มีคุณสมบัติในการป้องกันเชื้อโรคหรือฝุ่นละอองขนาดเล็ก แต่ระบายอากาศได้ดีกว่าผ้าทอ นอกจากนี้ยังเป็นวัสดุที่มีน้ำหนักเบา ต้นทุนต่ำ เหมาะแก่การใช้แล้วทิ้ง ดังนั้นผ้า Polypropylene Non-woven จึงเป็นส่วนประกอบสำคัญที่ขาดไม่ได้ในกระบวนการผลิตหน้ากากทางการแพทย์

## 2.2 เทคโนโลยีการผลิต

หน้ากากทางการแพทย์ใช้เทคโนโลยีการขึ้นรูปด้วยผ้าแบบไม่ถักไม่ทอ (Non-woven) ซึ่งเป็นการนำเส้นใยมาวางอย่างมีทิศทางหรือจัดกระจายอย่าง

ไม่มีทิศทาง แล้วทำให้เส้นใยยึดติดกันด้วยการใช้สารเคมีหรือความร้อนหรือผสมกันก็ได้ ผลลัพธ์ที่ได้คือผ้าไม่ถักไม่ทอจำแนกได้เป็น 2 ประเภท คือผลิตภัณฑ์ชนิดใช้แล้วทิ้ง (Disposable Uses) ซึ่งเน้นการใช้ประโยชน์ส่วนใหญ่ทางด้านสุขอนามัย ความสะอาด ความปลอดภัย เช่น ผ้าอนามัย ผ้าอ้อมเด็ก ชุดสำหรับศัลยกรรม และยังรวมถึงหน้ากากทางการแพทย์ด้วย ผลิตภัณฑ์ที่ใช้ได้ทนนาน (Durable Applications) เน้นการใช้ประโยชน์ด้านเครื่องนุ่งห่ม เครื่องเรือน เช่น ผ้าซับในปกเสื้อ ผ้ามัดแต่งเครื่องเรือน

กระบวนการผลิตผ้าไม่ถักไม่ทอ มี 3 ขั้นตอน คือ การสร้างแผ่นเส้นใย (Web Formation) เป็นกระบวนการแรกที่สำคัญที่สุด โดยจะนำก้อนเส้นใยมากุยให้เส้นใยกระจายออกจากกัน และทำให้เส้นใยเรียงตัวเป็นแผ่น (Web) การสร้างแรงยึดเกาะ (Web bonding) แผ่นเส้นใยที่ได้จากการผลิตแบบแห้งและแบบเปียก จะยึดกันอย่างหลวม ๆ และมีความแข็งแรงต่ำ จำเป็นต้องทำให้ยึดติดกันแน่นเพื่อให้เหมาะกับการนำไปใช้ และการตกแต่งสำเร็จ (Finishing treatment) หลังจากทำเส้นใยเป็นแผ่นตามต้องการ จะตามด้วยการทำให้เส้นใยมีความแข็งแรงเหมาะสม และอาจตกแต่งเพิ่มความสวยงามให้เหมาะกับการใช้งานต่อไป

## 2.3 การเก็บรวบรวมข้อมูล

รูปแบบการวิจัยเป็นแบบวิจัยโดยการทดลองเชิงวิเคราะห์ โครงสร้างของเส้นใยหน้ากากทางการแพทย์ ประชากรและกลุ่มตัวอย่างหน้ากากทาง

การแพทย์และหน้ากากกรองอากาศ N95 ที่โรงพยาบาลวชิรพยาบาลได้รับการบริจาคในช่วงการแพร่ระบาดของเชื้อโควิด 19 การดำเนินการเก็บข้อมูลโครงสร้างหน้ากากทางการแพทย์โดยการถ่ายภาพโครงสร้างของเส้นใยใช้กล้องจุลทรรศน์อิเล็กตรอนแบบส่องกราด (Scanning Electron Microscope หรือ SEM) ยี่ห้อ FEI รุ่น Quanta 450 ร่วมกับซอฟต์แวร์ Image J สำหรับการประมวลผลภาพทางวิทยาศาสตร์เพื่อวัดขนาดเส้นผ่านศูนย์กลางของเส้นใยที่ใช้ผลิตหน้ากากทางการแพทย์แต่ละชั้น จากนั้นใช้สถิติในการวิเคราะห์ข้อมูล ได้แก่ ค่าเฉลี่ยและค่าส่วนเบี่ยงเบนเฉลี่ยของขนาดเส้นผ่านศูนย์กลางของเส้นใย การตรวจสอบโครงสร้างด้วยเทคโนโลยี SEM โดยเริ่มจากการรวบรวมหน้ากากทางการแพทย์ที่ได้รับบริจาคจากโรงพยาบาลวชิรพยาบาล นำตัวอย่างที่ได้มาแบ่งชนิดของกลุ่มตัวอย่างหน้ากากทางการแพทย์เป็น 2 กลุ่ม คือ หน้ากากศัลยกรรมและหน้ากากกรองอากาศ (N95) และนำมาจัดทำทะเบียนของตัวอย่างหน้ากากทางการแพทย์ทั้ง 2 กลุ่ม คือ หมวด A คือ หน้ากากศัลยกรรม โดยในหมวด A หมวด B คือ หน้ากาก N95 จากนั้นเตรียมตัวอย่างหน้ากากทางการแพทย์ โดยเป็นหน้ากา ศัลยกรรม จำนวน 30 ชิ้น ซึ่งในหน้ากา 1 ชิ้น ประกอบด้วยแผ่นวัสดุประมาณ 3 - 4 ชั้น โดยนำวัสดุแต่ละชั้นตัดเป็นชิ้นตัวอย่าง ขนาด 1x1 เซนติเมตร รวมเป็นตัวอย่างหน้ากา ศัลยกรรม จำนวน 108 ตัวอย่าง และเป็นหน้ากา N95 จำนวน 11 ชิ้น ซึ่งในหน้ากา 1 ชิ้น ประกอบด้วยแผ่นวัสดุ

ประมาณ 3 - 4 ชั้น โดยนำวัสดุแต่ละชั้นตัดเป็นชิ้นตัวอย่าง ขนาด 1x1 เซนติเมตร รวมเป็นตัวอย่าง หน้ากา N95 จำนวน 50 ตัวอย่าง นำตัวอย่าง หน้ากาทางการแพทย์ไปถ่ายภาพด้วยกล้องจุลทรรศน์อิเล็กตรอนแบบส่องกราด ด้วย 4 กำลังขยาย คือ x100, x500, x1000, x2000 โดยถ่ายภาพหน้ากา ศัลยกรรมทั้งหมด 432 ภาพ และถ่ายภาพ หน้ากา N95 ทั้งหมด 200 ภาพ โดยประมาณ นำภาพที่ได้จากการถ่ายภาพด้วยกล้องจุลทรรศน์อิเล็กตรอนแบบส่องกราดมาทำการวัดขนาดเส้นผ่านศูนย์กลางของเส้นใยในภาพแบบสุ่มพื้นที่จำนวน 20 ตำแหน่ง โดยเลือก 1 ภาพ กำลังขยายที่เห็นภาพรวมโครงสร้างของเส้นใยที่ชัดที่สุดต่อ 1 ตัวอย่าง ดังนั้นจะต้องดำเนินการวัดขนาดเส้นผ่านศูนย์กลางเส้นใยในภาพทั้งหมด 3,160 ตำแหน่ง สุดท้ายนำข้อมูลที่ได้ทั้งหมดมาคำนวณการหาค่าเฉลี่ยและหาค่าเบี่ยงเบนเฉลี่ยของขนาดเส้นผ่านศูนย์กลางของเส้นใย

### 3. ผลการทดลองและการอภิปรายผล

ตารางที่ 1 ตัวอย่างค่าเฉลี่ยและหาค่าเบี่ยงเบนเฉลี่ยของขนาดเส้นผ่านศูนย์กลางของเส้นใยของตัวอย่าง หน้ากา ศัลยกรรม

| Code   | Magnification | Diameter ( $\mu\text{m}$ ) |          |          |
|--------|---------------|----------------------------|----------|----------|
|        |               | Sum                        | Average  | S.D.     |
| A001-1 | 1000x         | 412.763                    | 20.63815 | 1.573368 |
| A001-2 | 1000x         | 395.232                    | 19.7616  | 1.690808 |
| A002-1 | 1000x         | 327.564                    | 16.3782  | 1.050043 |
| A002-2 | 2000x         | 169.521                    | 8.47605  | 5.84975  |
| A002-3 | 1000x         | 437.19                     | 21.8595  | 5.959628 |
| A003-1 | 1000x         | 528.682                    | 26.4341  | 3.220756 |
| A003-2 | 1000x         | 530.255                    | 26.51275 | 5.53969  |

| Code   | Magnification | Diameter ( $\mu\text{m}$ ) |          |          |
|--------|---------------|----------------------------|----------|----------|
|        |               | Sum                        | Average  | S.D.     |
| A003-3 | 1000x         | 498.064                    | 24.9032  | 10.43557 |
| A004-1 | 1000x         | 413.343                    | 20.66715 | 1.693917 |
| A004-2 | 2000x         | 103.483                    | 5.17415  | 2.130746 |
| A004-3 | 1000x         | 344.907                    | 17.24535 | 3.882153 |
| A005-1 | 1000x         | 441.286                    | 22.0643  | 4.851146 |
| A005-2 | 2000x         | 105.811                    | 5.29055  | 2.290106 |
| A005-3 | 1000x         | 402.795                    | 20.13975 | 4.700622 |
| A006-1 | 1000x         | 377.131                    | 18.85655 | 2.709569 |

ตารางที่ 2 ตัวอย่างค่าเฉลี่ยและหาค่าเบี่ยงเบนเฉลี่ยของขนาดเส้นผ่านศูนย์กลางของเส้นใยของตัวอย่างหน้ากากกรองอากาศ (N95)

| Code   | Magnification | Diameter ( $\mu\text{m}$ ) |         |          |
|--------|---------------|----------------------------|---------|----------|
|        |               | Sum                        | Average | S.D.     |
| B006-3 | 1000x         | 453.81                     | 22.6905 | 6.107989 |
| B007-1 | 1000x         | 97.502                     | 4.8751  | 0.441715 |
| B007-2 | 1000x         | 95.186                     | 4.7593  | 0.82717  |
| B007-3 | 2000x         | 53.777                     | 2.68885 | 1.335354 |
| B007-4 | 1000x         | 82.819                     | 4.14095 | 0.698316 |
| B008-1 | 1000x         | 60.728                     | 3.0364  | 0.196575 |
| B008-2 | 2000x         | 73.769                     | 3.68845 | 1.836829 |
| B008-3 | 1000x         | 63.221                     | 3.16105 | 1.481597 |
| B009-1 | 1000x         | 99.921                     | 4.99605 | 0.351277 |
| B009-2 | 2000x         | 89.536                     | 4.4768  | 1.574246 |
| B009-3 | 2000x         | 83.607                     | 4.18035 | 2.260914 |
| B009-4 | 1000x         | 105.387                    | 5.26935 | 0.480984 |
| B010-1 | 1000x         | 128.733                    | 6.43665 | 0.267215 |
| B010-2 | 2000x         | 69.411                     | 3.47055 | 1.285786 |
| B010-3 | 1000x         | 123.759                    | 6.18795 | 0.378926 |
| B011-1 | 1000x         | 147.771                    | 7.38855 | 0.487326 |
| B011-2 | 1000x         | 86.298                     | 4.3149  | 1.653331 |
| B011-3 | 2000x         | 10.752                     | 0.5376  | 0.232896 |
| B011-4 | 2000x         | 336.976                    | 16.8488 | 3.611145 |

#### 4. สรุปผลการทดลองและข้อเสนอแนะ

หน้ากากทางการแพทย์ผลิตโดยใช้เทคโนโลยีการขึ้นรูปผ้าด้วยผ้าทอ ผ้าไม่ถักไม่ทอ และการถัก แต่ปัจจุบันหน้ากากทางการแพทย์ส่วนใหญ่ทำจากผ้าไม่ถักไม่ทอและทิ้งภายหลังจากการใช้แล้ว และหากเราสังเกตดูก็จะเห็นว่า ผ้าไม่ถักไม่ทอในหน้ากากทางการแพทย์ผ้าไม่ถักไม่ทอนี้จะมีหน้าตาคคล้ายกระดาษ แต่ก็ให้สัมผัสความนุ่มคล้ายผ้า โดยนิยามแล้วผ้าไม่ถักไม่ทอ คือ ผ้าที่เกิดจากการขึ้นรูปจากเส้นใยโดยตรง ซึ่งแตกต่างจากผ้าทอหรือผ้าถักโดยทั่วไป ที่มีการขึ้นรูปเส้นใยให้เป็นเส้นด้ายก่อนแล้วจึงนำไปขึ้นรูปเป็นผ้า ซึ่งจากผลการทดสอบแสดงให้เห็นว่า ค่าเฉลี่ยและหาค่าเบี่ยงเบนเฉลี่ยของขนาดเส้นผ่านศูนย์กลางของเส้นใยที่ใช้ผลิตหน้ากากทางการแพทย์ขึ้นอยู่กับเทคโนโลยีการผลิต หน้ากากทางการแพทย์ นอกจากนี้ถ้าเรานำเอาแผ่นผ้าไม่ถักไม่ทอมาส่องกล้องขยายดูโครงสร้าง ก็จะเห็นเป็นเส้นใยพาดสานกันไปมาในทุกทิศทาง ผ้าไม่ถักไม่ทอมี ข้อเด่น คือ สามารถออกแบบให้มีลักษณะและสมบัติที่หลากหลาย เพื่อให้เหมาะสมสำหรับการใช้งานที่แตกต่างกันไป ซึ่งลักษณะและสมบัติที่หลากหลายของผ้าไม่ถักไม่ทอนี้เกิดจากการเลือกใช้เส้นใยที่มีอยู่หลากหลายชนิด ทั้งเส้นใยธรรมชาติและเส้นใยประดิษฐ์ผสมผสานกับกระบวนการขึ้นรูปผ้าไม่ถักไม่ทอ ที่สามารถทำได้หลายเทคนิค เทคโนโลยีการขึ้นรูปผ้าไม่ถักไม่ทอมีกระบวนการผลิตรวดเร็ว ผลิตได้ในปริมาณมาก และต้นทุนการผลิตต่ำกว่าเทคโนโลยีการขึ้นรูปผ้าด้วยผ้าทอหรือผ้าถัก จึงสามารถใช้สำหรับผลิตภัณฑ์ที่ใช้แล้วทิ้ง (Disposable) ได้

#### 5. กิตติกรรมประกาศ

งานวิจัยนี้ได้รับการสนับสนุนเป็นอย่างดีจาก คณะแพทยศาสตร์วชิรพยาบาล วิทยาลัยพัฒนาชุมชนเมือง และวิทยาลัยพัฒนามหานคร มหาวิทยาลัยนวมินทราชินราช และผู้นิพนธ์



ขอขอบพระคุณที่ปรึกษาและคณะกรรมการสมาคมเทคโนโลยีสุขภาพไทย (Advisory and ThaiHTA Committee) ที่กรุณาให้คำแนะนำเป็นอย่างดี ในการจัดทำรูปแบบบทความภาษาไทย สำหรับการประชุมวิชาการเทคโนโลยีสุขภาพแห่งประเทศไทย (The Conference on Health Technology of Thailand) นี้

## เอกสารอ้างอิง

- [1] รศ.นพ.อนันต์ มโนมัยพิบูลย์, *ปิยะมาศ เสือเพ็ง*, ศติษา สืบคล้ายและคณะ. หน้ากากทางการแพทย์ (Medical masks). วารสารวิชาการเทคโนโลยีสุขภาพประเทศไทย. 2564; ฉบับที่ ๑ มกราคม-มิถุนายน.
- [2] Krishnan Jayaraman. Recent advances in polymer nanofibers [อินเทอร์เน็ต]. 2547[เข้าถึงเมื่อ 28 ก.พ. 2564]. เข้าถึงได้จาก: <https://pubmed.ncbi.nlm.nih.gov/15112541/>
- [3] ดร.จวีร์รัตน์ ประสาร. นอนูฟเวน ผ้าไม่ถักไม่ทอ {อินเทอร์เน็ต}. 2552[เข้าถึงเมื่อ 12 ก.พ. 2564]. เข้าถึงได้จาก: [https://www2.mtec.or.th/th/e-magazine/admin/upload/246\\_21-27.pdf](https://www2.mtec.or.th/th/e-magazine/admin/upload/246_21-27.pdf)
- [4] ฉัฐนันท์ อภินันท์วัฒนกุล. EIC มองโอกาสลงทุนผ้าทำหน้ากากอนามัย เพื่อคนไทยมีใช้อย่างยั่งยืน [อินเทอร์เน็ต]. [เข้าถึงเมื่อ 8 ก.พ. 2564]. เข้าถึงได้จาก: [https://www.scbeic.com/th/detail/file/product/6833/fnlfdIolkr/EIC\\_Note\\_Mask\\_20200520.pdf](https://www.scbeic.com/th/detail/file/product/6833/fnlfdIolkr/EIC_Note_Mask_20200520.pdf)
- [5] A. Tcharktchi and et al. An overview of filtration efficiency through the masks: Mechanisms of the aerosols [อินเทอร์เน็ต]. [เข้าถึงเมื่อ 20 ก.พ. 2564]. เข้าถึงได้จาก: <https://www.ncbi.nlm.nih.gov/pmc/articles/PMC7426537/>.
- [6] Chih-Chieh Chen, PhD and Klaus Willeke, PhD. Aerosol penetration through surgical masks [อินเทอร์เน็ต]. 2535[เข้าถึงเมื่อ 23 ก.พ. 2564]. เข้าถึงได้จาก: [https://www.ajicjournal.org/article/S0196-6553\(05\)80143-9/pdf](https://www.ajicjournal.org/article/S0196-6553(05)80143-9/pdf).
- [7] FEI Company. Quanta 450 FEG [อินเทอร์เน็ต]. [เข้าถึงเมื่อ 10 ก.พ. 2564]. เข้าถึงได้จาก: <https://engineering.temple.edu/sites/engineering/files/Specification%20of%20Quanta450%20FEG.pdf>.
- [8] FEI Company. Quanta 450 FEG [อินเทอร์เน็ต]. [เข้าถึงเมื่อ 10 ก.พ. 2564]. เข้าถึงได้จาก: [http://www.feico.jp/\\_documents/DS0005-05-2015\\_Quanta\\_450\\_FEG-WEB.pdf](http://www.feico.jp/_documents/DS0005-05-2015_Quanta_450_FEG-WEB.pdf).
- [9] K.P. Chellamani and et al. Surgical Face Masks: Manufacturing Methods and Classification [อินเทอร์เน็ต]. 2556[เข้าถึงเมื่อ 27 ก.พ. 2564]. เข้าถึงได้จาก: <http://jairjp.com/NOVEMBER%202013/02%20CHELLAMANI%201.pdf>.
- [10] Lizzie Enfield. A history of medical masks [อินเทอร์เน็ต]. [เข้าถึงเมื่อ 15 ก.พ. 2564]. เข้าถึงได้จาก: <https://wellcomecollection.org/articles/XwMmcBQAAGwR9GY8>.

# เครื่องส่องไฟรักษาทารกภาวะตัวเหลืองอัจฉริยะแบบแอลอีดี

## Smart LED Phototherapy

ชนิษฐา ศรีวิชขงกูร<sup>1</sup>, โสธรา เตี้ยวงษ์สุวรรณ<sup>1</sup>, ธิดารัตน์ หวังคำ<sup>1</sup>, พยุง เดชอยู่<sup>1</sup>, บรรจง ถันทอง<sup>2</sup>

<sup>1</sup>สาขาวิชาวิศวกรรมชีวการแพทย์ ภาควิชาฟิสิกส์อุตสาหกรรม และอุปกรณ์การแพทย์ คณะวิทยาศาสตร์  
ประยุกต์ มหาวิทยาลัยเทคโนโลยีพระจอมเกล้าพระนครเหนือ บางซื่อ กรุงเทพมหานคร 10800

Email: honey\_kik@hotmail.co.th, s6004035630356@email.kmutnb.ac.th, thidarat.w@sci.kmutnb.ac.th,  
pdyimil@gmail.com

<sup>2</sup>งานนวัตกรรมทางการแพทย์ โรงพยาบาลราชวิถี กรุงเทพมหานคร 10400

Email: banchong.bme@gmail.com

### บทคัดย่อ

ภาวะตัวเหลืองเป็นปัญหาที่พบบ่อยที่สุดในทารกแรกเกิด คณะผู้จัดทำจึงมีแนวคิดที่จะทำเครื่องส่องไฟรักษาแบบแอลอีดีที่ให้แสงที่มีความยาวคลื่นจำเพาะในช่วง 420-460 nm มีการควบคุมความเข้มแสงได้อย่างคงที่ มีหน้าจอแสดงผลแบบแอลซีดี ซึ่งนำมาใช้แสดงค่าต่าง ๆ พร้อมทั้งบันทึกส่งข้อมูลและแสดงค่าผ่านระบบมอเนิเตอร์แบบ Web base จากการทดลองพบว่าในการใช้หลอดไฟแอลอีดีแบบด้านเดียวและสองด้านมีความเข้มแสงเชิงสเปกตรัมสูงสุด 20 และ 24  $\mu\text{w}/\text{cm}^2/\text{nm}$  ที่ระยะห่างระหว่างทารกกับโคมไฟประมาณ 30 เซนติเมตร

**คำสำคัญ:** เครื่องส่องไฟ ภาวะตัวเหลือง แอลอีดี

### Abstract

Hyperbilirubinemia in the newborn is the most problem in the newborn. The team therefore has an idea to create a LED is being used as light sources for phototherapy with a wavelength of 420-460 nm. It can control the spectrum intensity stable. The LCD display can show parameters. It links with a web base to record, send, and monitor data. As a

result, it can provide the spectrum intensity in single mode and double mode about 20 and 24  $\mu\text{w}/\text{cm}^2/\text{nm}$  at a distance of 30 centimeters from the baby

**Keywords:** Phototherapy, Jaundice, LED lamp

### 1. บทนำ

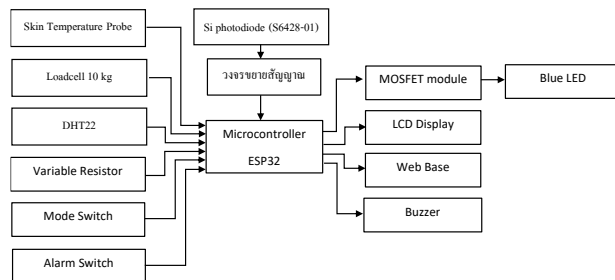
ภาวะตัวเหลืองในทารกเป็นปัญหาที่พบบ่อยที่สุดในทารกแรกเกิด จะพบภาวะตัวเหลืองจากสรีรภาวะสูงถึงร้อยละ 45-60 และในทารกที่เกิดก่อนกำหนดพบสูงถึงร้อยละ 80 ภายในสัปดาห์แรกหลังคลอด และพบมากเมื่อวันที่ 2 หลังคลอด ซึ่งอาการตัวเหลืองของทารกเกิดจากสารสีเหลืองที่เรียกว่า “บิลิรูบิน” ในเลือดสูงกว่าปกติ มีสาเหตุมาจากเม็ดเลือดแดงของทารกที่หมดอายุซึ่งจะถูกทำลายที่ตับและม้าม เมื่อเม็ดเลือดแดงแตกสารสีเหลืองบิลิรูบินในเลือดจะถูกปล่อยออกมา แต่เนื่องจากตับของทารกยังทำหน้าที่ไม่สมบูรณ์ ทำให้การขับถ่ายสารสีเหลืองออกจากร่างกายไม่ดีเท่าที่ควร จึงทำให้สารสีเหลืองคั่งค้างอยู่ในร่างกายมากขึ้นและจับตามผิวหนัง ทำให้มองเห็นผิวหนังทารกเป็นสีเหลือง ถ้าระดับบิลิรูบินสูงมากอาจทำให้เด็กมีภาวะสมองพิการถาวร (Kernicterus) และ ถ้าระดับบิลิรูบินสูงเกิน 20 มิลลิกรัมเปอร์เซ็นต์

อาจมีผลต่อการไถ่ของเด็กลง ดังนั้นการดูแลทารกที่มีภาวะตัวเหลืองอย่างมีประสิทธิภาพจึงมีความสำคัญเพราะจะช่วยลดภาวะแทรกซ้อนของโรค ลดระยะเวลาในการรักษา และลดปัญหาความวิตกกังวลหรือปัญหาสุขภาพจิตของพ่อแม่และญาติลงได้จึงมีความจำเป็นที่ต้องให้การรักษาเพื่อป้องกันอันตรายที่จะขึ้นกับทารก โดยการรักษาในปัจจุบันมี 2 วิธี คือการส่องไฟ (Phototherapy) และการเปลี่ยนถ่ายเลือด แต่ในปัจจุบันการส่องไฟรักษามีประสิทธิภาพมากขึ้นทำให้โอกาสของการเปลี่ยนถ่ายเลือดลดลง ซึ่งการใช้ LED Phototherapy ในการรักษาก็เป็นหนึ่งในแนวทางการรักษาที่สำคัญ เนื่องจากมีความเสี่ยงน้อยกว่าวิธีการรักษาอื่นๆ อีกทั้งยังให้ผลการรักษาที่ดีและค่าใช้จ่ายไม่ค่อสูง โดยมีหลักการคือใช้พลังงานจากแสงสว่างโดยเฉพาะแสงสีฟ้า ที่มีความยาวคลื่นจำเพาะในช่วง 420-460 นาโนเมตรจะต้องมีความเข้มแสงเชิงสเปกตรัมสูงกว่า  $30 \mu\text{W}/\text{cm}^2/\text{nm}$  ที่ระยะห่างระหว่างตัวเด็กกับโคมไฟประมาณ 30-50 cm จะช่วยลดระดับของบิลิรูบินที่ละลายในไขมันลงได้ โดยแสงจะทำปฏิกิริยาทำให้เกิดการเปลี่ยนแปลงโครงสร้างของโมเลกุลของบิลิรูบินชนิดที่ไม่ละลายน้ำให้เป็นสารที่ละลายน้ำได้ การเปลี่ยนแปลงที่เกิดขึ้นในเส้นเลือดฝอยบริเวณผิวหนังหรือชั้นไขมันใต้ผิวหนัง โดยพลังงานของแสงจะทำให้บิลิรูบินแตกตัวเป็นโมเลกุลที่เล็กลง และเหมาะสมที่จะถูกขับออกจากร่างกายซึ่งขับออกทางปัสสาวะและอุจจาระการให้ผิวหนังทารกมีโอกาสถูกแสงมากที่สุด แต่ต้องปิดตา เพื่อไม่ให้แสงทำอันตรายต่อประสาทตาของทารกได้ ระหว่างที่ส่องไฟทารกอาจมีถ่ายเหลวเล็กน้อย มีผื่นตามผิวหนัง และสูญเสียน้ำเพิ่มขึ้นทารกจึงมักจะคุณนมเพิ่มขึ้นเองเพื่อป้องกันการขาดน้ำได้ดังนั้นผู้จัดทำจึงได้มีความคิดในการสร้างเครื่องส่องไฟรักษาทารกภาวะตัวเหลืองอัจฉริยะแบบแอลอีดี (Smart LED Phototherapy) เพื่อใช้ใน

การรักษาภาวะตัวเหลืองของทารก โดยสามารถทำการควบคุมระดับปริมาณความเข้มของแสงที่ใช้ในส่องรักษาทารก ซึ่งน้ำหนักของทารก แสดงค่าอุณหภูมิและความชื้นสัมพัทธ์โดยรอบและอุณหภูมิร่างกายทารกผ่านผิวหนัง (Skin Temperature Sensor) เพื่อบ่งบอกถึงความเหมาะสมในการรักษา ทำให้การรักษาของแพทย์มีประสิทธิภาพมากขึ้นได้ พร้อมทั้งสามารถบันทึก และติดตามผลผ่านทางจอมอนิเตอร์ได้แบบเรียลไทม์และยังสามารถเรียกดูได้จากฐานข้อมูล (Database) หรือผ่านทางโทรศัพท์มือถือ เพื่อเป็นข้อมูลในการพัฒนาเครื่องมือหรือติดตามผลย้อนหลังต่อไปได้

## 2. การดำเนินการ และขั้นตอนการทำงาน

บล็อกไดอะแกรมของการทำงานของเครื่องส่องไฟรักษาทารกภาวะตัวเหลืองอัจฉริยะแบบแอลอีดีที่พัฒนาขึ้นสามารถแสดงได้ดังรูปที่ 1



รูปที่ 1 แผนภาพแสดงระบบการทำงาน

## 2.1 Microcontroller

เป็นไมโครคอนโทรลเลอร์โมดูล Wi-Fi ESP-32 รุ่น ESP-WROOM-32 โมดูล Wi-Fi +Bluetooth 4.2 + Touch/Temp Sensor ทำงานแบบ Dual Core ที่ความเร็ว 160 MHz มี SRAM 512K หน่วยความจำ Flash สำหรับอัปเดตโปรแกรมขนาด 16M มีขา GPIO 30 ขา ความละเอียดในการอ่านค่า ADC 12Bit สามารถเขียนโปรแกรมผ่าน Arduino IDE ได้

## 2.2 การออกแบบและสร้างส่วนวัดอุณหภูมิและความชื้นสัมพัทธ์

DHT22 เป็นเซนเซอร์สำหรับวัดอุณหภูมิและความชื้นสัมพัทธ์ มีความแม่นยำสูง จะใช้ขาสัญญาณดิจิทัลเพียงเส้นเดียว (one wire bus) ในการเชื่อมต่อแบบบิตอนุกรมสองทิศทาง (serial data, bi-directional) โดยนำมาเชื่อมต่อกับขา Arduino เพื่ออ่านค่าจากเซนเซอร์ [1]

## 2.3 การออกแบบและสร้างส่วนวัดอุณหภูมิผิวหนัง

Skin temperature probe เป็น Transducer ที่เปรียบเสมือนตัวต้านทานแบบปรับค่าได้โดยเมื่อได้รับอุณหภูมิที่สูงขึ้นค่าความต้านทานไฟฟ้าก็จะมากขึ้น ทำให้แรงดันไฟฟ้าภายในวงจรต่ำลง แล้วเราจะใช้วงจรแบ่งแรงดันในการ ช่วยวัดค่าแรงดันไฟฟ้า แล้วจะถูกส่งไปยังบอร์ดประมวลผลเพื่อออกมาเป็นค่าของอุณหภูมิผิวหนัง และเมื่ออุณหภูมิร่างกายเกิน 37.8 องศาเซลเซียส Buzzer จะส่งเสียงสัญญาณเตือน

## 2.4 การออกแบบและสร้างส่วนวัดปริมาณความเข้มแสง

Si photodiode 6428-01 เป็นอุปกรณ์เชิงแสงชนิดหนึ่ง เมื่อได้รับไบอัสกลับ (Reverse Bias)

และมีความเข้มของแสงในช่วงสเปกตรัมที่ 460 นาโนเมตร มาตกกระทบจะแปรผันตรงกับกระแสไฟฟ้าที่ไหลในวงจร นำแรงดันไฟฟ้าที่ถูกควบคุมด้วยกระแสมาขยาย ถูกส่งไปยังบอร์ดเพื่ออ่านค่าความเข้มของแสง [2]

## 2.5 การออกแบบและสร้างส่วนการชั่งน้ำหนัก

Load Cell เป็นอุปกรณ์ที่ใช้ในการเปลี่ยนจากน้ำหนักที่กระทำต่อตัวโหลดเซลล์ เป็นสัญญาณทางไฟฟ้า ซึ่งเป็นความต้านทานที่จะเปลี่ยนแปลงค่าไปตามแรงกด [3]

## 2.6 การออกแบบและสร้างส่วนการควบคุมปริมาณความเข้มแสง

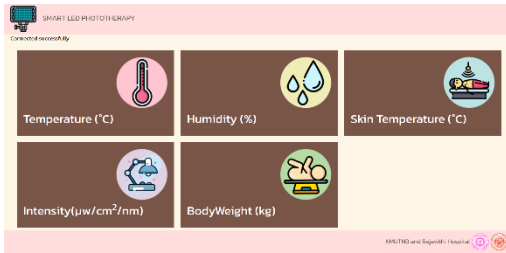
ใช้ตัวต้านทานปรับค่าได้ส่งสัญญาณอินพุตเข้าบอร์ด แล้วจับสัญญาณแบบ PWM ไปควบคุม IRF520N MOSFET Driver Module เพื่อปรับความสว่างหลอดไฟ LED สามารถเลือกโหมดในการทำงานได้โดยผ่าน Switch

## 2.7 การออกแบบและสร้างส่วนการแสดงผลผ่านจอมอนิเตอร์

TFT LCD ILI9341 SPI interface เป็นโมดูลจอแสดงผลขนาด 2.4 นิ้ว เชื่อมต่อกับบอร์ดไมโครคอนโทรลเลอร์ผ่าน SPI ใช้แสดงค่าต่างๆ [4]

## 2.8 การออกแบบและสร้างส่วนบันทึกและแสดงผลผ่าน Web base

สร้างระบบฐานข้อมูลและสร้างส่วนของการส่งข้อมูลเข้าสู่ระบบฐานข้อมูล แล้วออกแบบและสร้างระบบมอนิเตอร์บนเว็บไซต์ด้วยภาษา PHP [5] จะแสดงผลแบบ Real Time ดังรูปที่ 2 แสดงผลแบบตารางและกราฟ ดังรูปที่ 3



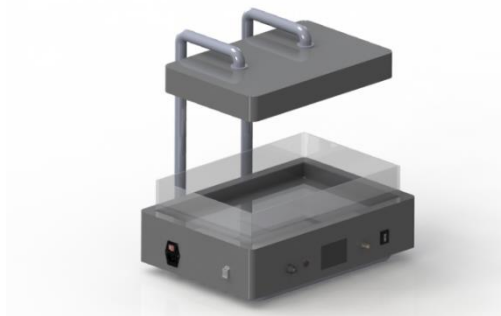
รูปที่ 2 การแสดงผลแบบ Real Time



รูปที่ 3 การแสดงผลแบบตารางและกราฟ

## 2.9 การออกแบบและสร้างส่วนของตัวเครื่อง

ในการออกแบบเครื่องทางผู้จัดทำได้ออกแบบโดยใช้ Polyvinylchloride (PVC) เป็นวัสดุในการทำตัวเครื่อง ใช้อะคริลิกในการทำ Crib ที่ใช้สำหรับให้ทารกนอน และส่วนตัวเสาทำจากสแตนเลส โดยเสาสามารถปรับระดับได้ เพื่อให้ตัวเครื่องสามารถพกพาได้ ดังแสดงในรูปที่ 4



รูปที่ 4 แสดงการออกแบบตัวเครื่อง

## 3. ผลการทดลอง

### 3.1 ผลการออกแบบ

ตัวเครื่องทางผู้จัดทำได้ออกแบบโดยใช้ Polyvinylchloride (PVC) เป็นวัสดุในการทำตัวเครื่องมีความแข็งแรง ทนทาน อะคริลิกในการทำ Crib มีความใสและไม่บดบังแสงสีฟ้า และส่วนตัวเสาทำจากสแตนเลส โดยเสาสามารถปรับระดับได้อย่างสะดวก ดังแสดงในรูปที่ 5



รูปที่ 5 เครื่องส่องไฟรักษาทารกภาวะตัวเหลือง อังกริยะ แบบแอลอีดีที่ทำการพัฒนาขึ้น

### 3.2 ผลการทดสอบ

#### 3.2.1 การทดสอบการทำงานของส่วนวัดปริมาณความเข้มแสง

การทดสอบการทำงานของส่วนวัดปริมาณความเข้มแสง โดยเปรียบเทียบกับเครื่องตรวจวิเคราะห์เครื่องส่องไฟรักษาเด็กตัวเหลืองแบบแอลอีดี ยี่ห้อ IRRADIAN รุ่น PR203 โดยทำการทดสอบที่ความเข้มแสงเชิงสเปกตรัมในช่วง 0-20  $\mu\text{w}/\text{cm}^2/\text{nm}$  เปรียบเทียบกับผลการวัดจากเครื่องส่องไฟรักษาทารกภาวะตัวเหลือง อังกริยะ แบบแอลอีดีในโหมด 3 โหมดได้แก่โหมด Bottom Single , โหมด Top Single และ โหมด Double ดังแสดงในตารางที่ 1 2 และ 3

ตารางที่ 1 การเปรียบเทียบปริมาณความเข้มแสงระหว่างเครื่องตรวจวิเคราะห์เครื่องส่องไฟรักษาเด็กตัวเหลืองแบบแอลอีดี ซีห้อ IRRADIAN รุ่น PR203 กับเครื่องส่องไฟรักษาทารกภาวะตัวเหลืองอัจฉริยะแบบแอลอีดีในโหมด Bottom Single

| ปริมาณความเข้มแสงจากเครื่องตรวจวิเคราะห์มาตรฐาน ( $\mu\text{w}/\text{cm}^2/\text{nm}$ ) | ค่าเฉลี่ยปริมาณความเข้มแสงโหมด Bottom Single ( $\mu\text{w}/\text{cm}^2/\text{nm}$ ) | Percentage of Error (%) |
|---|--|-------------------------|
| 2   | 2.17   | 8.33                    |
| 4   | 4.10   | 2.50                    |
| 6   | 6.17   | 2.78                    |
| 8   | 8.17   | 2.08                    |
| 10  | 10.47  | 4.67                    |
| 12  | 12.33  | 2.78                    |
| 14  | 14.67  | 4.76                    |

ตารางที่ 2 การเปรียบเทียบปริมาณความเข้มแสงระหว่างเครื่องตรวจวิเคราะห์เครื่องส่องไฟรักษาเด็กตัวเหลืองแบบแอลอีดี ซีห้อ IRRADIAN รุ่น PR203 กับเครื่องส่องไฟรักษาทารกภาวะตัวเหลืองอัจฉริยะแบบแอลอีดีในโหมด Top Single

| ปริมาณความเข้มแสงจากเครื่องตรวจวิเคราะห์มาตรฐาน ( $\mu\text{w}/\text{cm}^2/\text{nm}$ ) | ค่าเฉลี่ยปริมาณความเข้มแสงในโหมด Top Single ( $\mu\text{w}/\text{cm}^2/\text{nm}$ ) | Percentage of Error (%) |
|---|---|-------------------------|
| 2   | 2.13  | 6.67                    |
| 4   | 3.97  | -0.83                   |

|    |        |      |
|----|--------|------|
| 6  | 6.13   | 2.22 |
| 8  | 8.20   | 2.50 |
| 10 | 10.27  | 2.67 |
| 12 | 12.27  | 2.22 |
| 14 | 14.17  | 1.19 |
| 16 | 16.237 | 1.46 |
| 18 | 18.27  | 1.48 |

ตารางที่ 3 การเปรียบเทียบปริมาณความเข้มแสงระหว่างเครื่องตรวจวิเคราะห์เครื่องส่องไฟรักษาเด็กตัวเหลืองแบบแอลอีดี ซีห้อ IRRADIAN รุ่น PR203 กับเครื่องส่องไฟรักษาทารกภาวะตัวเหลืองอัจฉริยะแบบแอลอีดีในโหมด Double

| ปริมาณความเข้มแสงจากเครื่องตรวจวิเคราะห์มาตรฐาน ( $\mu\text{w}/\text{cm}^2/\text{nm}$ ) | ค่าเฉลี่ยปริมาณความเข้มแสงในโหมด Double ( $\mu\text{w}/\text{cm}^2/\text{nm}$ ) | Percentage of Error (%) |
|---|---|-------------------------|
| 2   | 2.2   | 10.00                   |
| 4   | 4.07  | 1.67                    |
| 6   | 6.17  | 2.78                    |
| 8   | 8.20  | 2.50                    |
| 10  | 10.40   | 4.00                    |
| 12  | 12.33   | 2.78                    |
| 14  | 14.43   | 3.09                    |
| 16  | 15.43   | -3.54                   |
| 18  | 16.43   | -8.70                   |
| 20  | 17.30   | -13.50                  |

### 3.2.2 การทดสอบความยาวคลื่นจำเพาะของแสงสีฟ้า

การทดสอบความยาวคลื่นจำเพาะของแสงสีฟ้า ทดสอบโดยใช้เครื่อง Spectrometer ยี่ห้อ Ocean Optics รุ่น USB4000-UV-VIS-ES ได้ค่าความยาวคลื่นจำเพาะเท่ากับ 452.168 นาโนเมตร ซึ่งอยู่ในช่วง 420-460 นาโนเมตร

### 3.2.3 การทดสอบการทำงานของส่วนวัดอุณหภูมิร่างกายทางผิวหนัง

การทดสอบการทำงานของส่วนวัดอุณหภูมิร่างกายทางผิวหนัง โดยเปรียบเทียบกับเครื่องวัดอุณหภูมิร่างกายแบบไม่สัมผัสที่ผ่านการสอบเทียบ เปรียบเทียบกับผลการวัดจาก Skin Temperature Probe ที่เชื่อมต่อกับเครื่องส่องไฟรักษาอาการภาวะตัวเหลืองอัจฉริยะ แบบแอลอีดี ดังแสดงในตารางที่ 4

ตารางที่ 4 การเปรียบเทียบอุณหภูมิที่วัดได้ระหว่างเครื่องวัดอุณหภูมิร่างกายแบบไม่สัมผัสที่ผ่านการสอบเทียบกับ Skin Temperature Probe ที่เชื่อมต่อกับเครื่องส่องไฟรักษาอาการภาวะตัวเหลืองอัจฉริยะ แบบแอลอีดี

| อุณหภูมิที่วัดได้จากเครื่องวัดอุณหภูมิร่างกายแบบไม่สัมผัสที่ผ่านการสอบเทียบ (°C) | อุณหภูมิที่วัดได้จาก Skin Temperature Probe (°C) | Percentage of Error (%) |
|--|--|-------------------------|
| 36.6   | 36.6   | 0                       |
| 36.5   | 36.5   | 0                       |
| 36.5   | 36.4   | -0.27                   |
| 36.5   | 36.8   | 0.82                    |

|      |      |       |
|------|------|-------|
| 36.5 | 36.1 | -1.09 |
| 36.6 | 36.6 | 0     |
| 36.5 | 36.4 | -0.27 |
| 36.6 | 36.5 | -0.27 |
| 36.5 | 36.5 | 0     |
| 36.5 | 36.7 | 0.54  |

### 3.2.4 การทดสอบการทำงานของส่วนวัดอุณหภูมิและความชื้นสัมพัทธ์ภายนอก

การทดสอบการทำงานของส่วนวัดอุณหภูมิและความชื้นสัมพัทธ์ภายนอก โดยเปรียบเทียบกับเครื่องวัด Indoor Air Quality Meter ยี่ห้อ TSI รุ่น 7545 เปรียบเทียบกับผลการวัดจากเซ็นเซอร์ DHT22 ที่เชื่อมต่อกับเครื่องส่องไฟรักษาอาการภาวะตัวเหลืองอัจฉริยะ แบบแอลอีดี ภายในเวลา 1 ชั่วโมงทุกๆ 5 นาที ดังแสดงในตารางที่ 5 และ 6

ตารางที่ 5 การเปรียบเทียบอุณหภูมิภายนอกที่วัดได้ระหว่างเครื่องวัด Indoor Air Quality Meter ยี่ห้อ TSI รุ่น 7545 กับ เซ็นเซอร์ DHT22 ที่เชื่อมต่อกับเครื่องส่องไฟรักษาอาการภาวะตัวเหลืองอัจฉริยะ แบบแอลอีดี

| เวลา (นาที) | อุณหภูมิภายนอกที่วัดได้จากเครื่องสอบเทียบ (°C) | อุณหภูมิที่วัดได้จากเซ็นเซอร์ DHT22 (°C) | Percentage of Error (%) |
|-------------|--|--|-------------------------|
| 0           | 26.2   | 26.6                                     | 1.53                    |
| 5           | 26.3   | 26.5                                     | 0.76                    |
| 10          | 26.5   | 26.5                                     | 0                       |
| 15          | 26.6   | 26.4                                     | -0.75                   |

|    |      |      |       |
|----|------|------|-------|
| 20 | 26.6 | 26.4 | -0.75 |
| 25 | 26.7 | 26.5 | -0.75 |
| 30 | 26.6 | 26.7 | 0.38  |
| 35 | 26.7 | 26.7 | 0     |
| 40 | 27   | 26.9 | -0.37 |
| 45 | 27   | 26.9 | -0.37 |
| 50 | 26.9 | 26.8 | -0.37 |
| 55 | 27   | 26.9 | -0.37 |
| 60 | 27   | 26.9 | -0.37 |

ตารางที่ 6 การเปรียบเทียบความชื้นสัมพัทธ์ภายนอกที่วัดได้จากเครื่องวัด Indoor Air Quality Meter ยี่ห้อ TSI รุ่น 7545 กับ เซ็นเซอร์ DHT22 ที่เชื่อมต่อกับเครื่องส่งไฟฟ้าทวารกวางตัวเหลืองอัจฉริยะ แบบแอลอีดี

| เวลา (นาที) | ความชื้นสัมพัทธ์ภายนอกที่วัดได้จากเครื่องสอบเทียบ (%Rh) | ความชื้นสัมพัทธ์ภายนอกที่วัดได้จากเซ็นเซอร์ DHT22 (%Rh) | Percentage of Error (%) |
|-------------|---|---|-------------------------|
| 0           | 74.2  | 76.5  | 3.10                    |
| 5           | 75.6  | 77.2  | 2.12                    |
| 10          | 74.6  | 77  | 3.22                    |
| 15          | 73.4  | 76.4  | 4.09                    |
| 20          | 73  | 77.1  | 5.62                    |
| 25          | 71.8  | 77  | 7.24                    |
| 30          | 70.8  | 75.3  | 6.36                    |
| 35          | 71.9  | 76  | 5.70                    |
| 40          | 71.2  | 76.3  | 7.16                    |
| 45          | 71.8  | 76.1  | 5.99                    |
| 50          | 71.2  | 75.9  | 6.60                    |

|    |      |      |      |
|----|------|------|------|
| 55 | 70.9 | 76.1 | 7.33 |
| 60 | 71   | 76.4 | 7.61 |

### 3.2.5 การทดสอบการทำงานของส่วนวัดน้ำหนักร่างกาย

การทดสอบการทำงานของส่วนวัดน้ำหนักร่างกายโดยนำชุดคีมน้ำหนักมาตรฐานสำหรับสอบเทียบมาเปรียบเทียบกับผลการวัดจาก Loadcell 10 กิโลกรัม ดังแสดงในตารางที่ 7

ตารางที่ 7 การเปรียบเทียบน้ำหนักร่างกายที่วัดได้ระหว่างชุดคีมน้ำหนักมาตรฐานสำหรับสอบเทียบมาเปรียบเทียบกับผลการวัดจาก Loadcell 10 กิโลกรัม

| คีมน้ำหนักมาตรฐาน (กิโลกรัม) | ค่าเฉลี่ยน้ำหนักร่างกายที่วัดได้จาก Loadcell 10 กิโลกรัม (กิโลกรัม) | Percentage of Error (%) |
|------------------------------|---|-------------------------|
| 1                            | 1.03  | 3.33                    |
| 2                            | 2   | 0                       |
| 3                            | 3.1   | 3.33                    |
| 4                            | 4.03  | 0.83                    |
| 5                            | 5.2   | 4                       |
| 6                            | 6.03  | 0.56                    |
| 7                            | 7.1   | 1.43                    |
| 8                            | 8.1   | 1.25                    |
| 9                            | 9.03  | 0.37                    |
| 10                           | 10.03   | 0.33                    |

### 4. วิเคราะห์และสรุปผล

จากผลการทดสอบพบว่าปริมาณความเข้มแสงที่วัดได้จากเซนเซอร์ มีค่าความคลาดเคลื่อน



จากค่าที่วัดจากเครื่องตรวจวิเคราะห์เครื่องส่องไฟรักษาเด็กตัวเหลืองแบบแอลอีดี ยี่ห้อ IRRADIAN รุ่น PR203 ในโหมด Bottom Single ไม่เกิน  $\pm 8.33$  เปอร์เซ็นต์ โหมด Top Single ไม่เกิน  $\pm 6.67$  เปอร์เซ็นต์ และ โหมด Double ไม่เกิน  $\pm 13.5$  เปอร์เซ็นต์ ในโหมด Double มีความคลาดเคลื่อนสูงกว่าโหมดอื่นเนื่องจากเครื่องมาตรฐานที่นำมาวัดวัดได้แค่ทิศทางเดียว ปริมาณความเข้มแสงสูงสุดในโหมด Bottom Single , โหมด Top Single และ โหมด Double มีค่าเท่ากับ 14.67 , 20.00 และ 24.47 ตามลำดับ และแสงสีฟ้านี้มีความยาวคลื่นจำเพาะเท่ากับ 452.168 นาโนเมตรซึ่งอยู่ในช่วง 420-460 นาโนเมตร อุณหภูมิร่างกายทางผิวหนังที่วัดได้จากเซนเซอร์ มีค่าความคลาดเคลื่อนจากค่าที่วัดจากเครื่องวัดอุณหภูมิร่างกายแบบไม่สัมผัสที่ผ่านการสอบเทียบไม่เกิน  $\pm 1.09$  เปอร์เซ็นต์ อุณหภูมิและความชื้นสัมพัทธ์ภายนอกที่วัดได้จากเซนเซอร์ มีค่าความคลาดเคลื่อนจากค่าที่วัดจากเครื่อง Indoor Air Quality Meter ยี่ห้อ TSI รุ่น 7545 ไม่เกิน  $\pm 1.53$  เปอร์เซ็นต์และไม่เกิน  $\pm 7.61$  เปอร์เซ็นต์ ตามลำดับ และ น้ำหนักร่างกายที่วัดได้จากเซนเซอร์ มีค่าความคลาดเคลื่อนจากค่าน้ำหนักมาตรฐานสำหรับสอบเทียบ ไม่เกิน  $\pm 3.33$  เปอร์เซ็นต์

## 5. กิตติกรรมประกาศ

ขอขอบพระคุณนายบรรจง ถันทอง จากหน่วยงานวัดกรรมโรงพยาบาลราชวิถี ได้ช่วยให้คำแนะนำ และคำปรึกษาในด้านข้อมูลการทำวิจัย การทดสอบวิจัย พร้อมทั้งเป็นผู้สนับสนุนอุปกรณ์ในการทำวิจัย

ขอขอบคุณงานวิศวกรรมชีวการแพทย์ โรงพยาบาลราชวิถี ผู้อำนวยการกองคลังแพทยกรรม แพทย์ทหารบก และ ผศ.ดร.ปณกมล ทองหล่อ ที่สนับสนุนอุปกรณ์ต่าง ๆ ในการทดสอบเป็นอย่างดี

## เอกสารอ้างอิง

- [1] Tenergy Innovation. (2563). การอ่านค่าอุณหภูมิและความชื้นตัวเซนเซอร์ DHT22 ผ่าน onewire bus. ค้นเมื่อวันที่ 20 กุมภาพันธ์ 2564, จาก [https://www.tenergyinnovation.co.th/arduino\\_1\\_earning\\_kit/arduino-learning-kit-ep7-การอ่านค่าอุณหภูมิ/](https://www.tenergyinnovation.co.th/arduino_1_earning_kit/arduino-learning-kit-ep7-การอ่านค่าอุณหภูมิ/)
- [2] HAMAMATSU. (2015). Si photodiode S6428-01. Retrieved 1, December,2020, from [https://www.hamamatsu.com/resources/pdf/ssd/s6428-01\\_etc\\_kspd1013e.pdf](https://www.hamamatsu.com/resources/pdf/ssd/s6428-01_etc_kspd1013e.pdf)
- [3] KMU Technology Co.. (ม.ป.ป.). Load Cell และ HX711 กับ Arduino. ค้นเมื่อวันที่ 3 มีนาคม 2564, จาก <http://www.kmutech.com/2019/04/23/load-cell-และ-hx711-กับ-arduino/>
- [4] สนธยา นงนุช. (2563). การใช้งานจอ LCD TFT ร่วมกับ ESP32 ด้วยไลบรารี TFT\_eSPI. ค้นเมื่อวันที่ 3 มีนาคม 2564, จาก [https://www.ioxhop.com/article/109/การใช้งานจอ-lcd-tft-ร่วมกับ-esp32-ด้วยไลบรารี-tft\\_espi](https://www.ioxhop.com/article/109/การใช้งานจอ-lcd-tft-ร่วมกับ-esp32-ด้วยไลบรารี-tft_espi)
- [5] บัญชา ปะสิละเตตัง. (2553). พัฒนาเว็บแอปพลิเคชันด้วย PHP ร่วมกับ MySQL และ Dreamweaver. กรุงเทพฯ: ซีเอ็ดดูเคชั่น
- [6] Dr. Taiga. (2013). DIY Science: Measuring Light with a Photodiode II. Retrieved March 3, 2021, from <https://outsidescience.wordpress.com/2012/11/03/diy-science-measuring-light-with-a-photodiode-ii/>

[7] Murat Yurdakök. (2015). Phototherapy in the newborn: what's new? *Journal of Pediatric and Neonatal Individualized Medicine*, 4(2), 4-18. Retrieved March 3, 2021, from <https://jpnim.com/index.php/jpnim/article/Download/040255/310/1212>

# เครื่องวัดปริมาณก๊าซสำหรับตู้เพาะเลี้ยงเชื้อห้องปฏิบัติการ Gas Monitoring Device for Laboratory Incubator

วรินทร์ หุ่นสุนทร<sup>1</sup>, นฤเบศร เกตุถิ่น<sup>1</sup>, สุเมธ อ้าชิด<sup>1</sup>, ธิดารัตน์ หวังคำ<sup>1</sup>, บรรจง ถันทอง<sup>2</sup>

<sup>1</sup>สาขาวิชาวิศวกรรมชีวการแพทย์ ภาควิชาฟิสิกส์อุตสาหกรรมและอุปกรณ์การแพทย์  
คณะวิทยาศาสตร์ประยุกต์ มหาวิทยาลัยเทคโนโลยีพระจอมเกล้าพระนครเหนือ บางซื่อ กรุงเทพมหานคร

10800 Email: sumet.u@sci.kmutnb.ac.th

<sup>2</sup>งานนวัตกรรมทางการแพทย์ โรงพยาบาลราชวิถี กรุงเทพมหานคร 10400

## บทคัดย่อ

งานวิจัยนี้สร้างเครื่องวัดปริมาณก๊าซสำหรับตู้เพาะเลี้ยงเชื้อห้องปฏิบัติการ การเพาะเลี้ยงเชื้อเป็นการนำเชื้อที่ต้องการวิจัยมาเพาะเลี้ยง ซึ่งต้องควบคุมสภาวะการเพาะเลี้ยงให้เหมาะต่อการเจริญเติบโต เพื่อป้องกันเชื้อลุกลามในตู้เพาะเลี้ยงเชื้อเดียวกัน เครื่องวัดปริมาณก๊าซสำหรับตู้เพาะเลี้ยงเชื้อห้องปฏิบัติการ สร้างขึ้นเพื่อติดตามปริมาณก๊าซคาร์บอนไดออกไซด์ภายในตู้ อุณหภูมิและความชื้นสัมพัทธ์ภายในและนอกตู้ และความเข้มข้นของก๊าซคาร์บอนไดออกไซด์ในบรรยากาศภายนอกตู้ แสดงผลบนเว็บออนไลน์ จากการทดลองพบว่าผลที่ได้อยู่ในเกณฑ์มาตรฐาน

**คำสำคัญ:** เครื่องวัดปริมาณก๊าซ ตู้เพาะเลี้ยงเชื้อ ปริมาณก๊าซคาร์บอนไดออกไซด์ อุณหภูมิ ความชื้นสัมพัทธ์

## Abstract

This research proposes presents a Gas Monitoring Device for Laboratory Incubator. A microbiological culture is a method of multiplying microbial organisms under controlled conditions of culture to suit growth. In order to prevent infection from spreading. Gas monitoring Device for laboratory incubator built for monitoring such as Carbon Dioxide inside, Temperature and Relative humidity both of inside and outside, and Carbon Dioxide Concentration in Air outside of incubator. The

results showed on the online website. The error is within considered acceptable.

**Keywords:** Gas Monitoring, Incubator, Carbon-dioxide, Temperature, Relative Humidity

## 1. บทนำ

ตู้เพาะเลี้ยงเชื้อ หรือ ตู้อบเพาะเชื้อ (Incubator) ในห้องปฏิบัติการเป็นเครื่องมือที่มีการควบคุมอุณหภูมิของอากาศภายในตู้ เพื่อใช้ในการรอบเพาะเชื้อจุลชีพ (Microbial) ซึ่งภายในตู้เพาะเลี้ยงเชื้อมีส่วนประกอบที่สำคัญคือ แหล่งกำเนิดความร้อน ตู้เพาะเลี้ยงเชื้อบางชนิดจะมีพัดลมในการช่วยกระจายความร้อนให้มีความสม่ำเสมอ เนื่องจากอุณหภูมิมีผลต่อการเจริญเติบโตของจุลชีพ ดังนั้นจึงจำเป็นต้องสอบเทียบและตรวจสอบอุณหภูมิภายในตู้ เพื่อให้มั่นใจว่าเป็นไปตามความต้องการใช้งานของผู้ใช้งาน สำหรับตู้เพาะเลี้ยงเชื้อชนิดคาร์บอนไดออกไซด์ (CO<sub>2</sub> Incubator) จะมีระบบบรรจุและควบคุมคาร์บอนไดออกไซด์ (CO<sub>2</sub>) และความชื้นสัมพัทธ์ภายในตู้ [1] และเพื่อการติดตามค่าพารามิเตอร์ตลอดเวลา ขณะที่ตู้เพาะเลี้ยงเชื้อกำลังใช้งานว่ามีค่าเป็นไปตามที่ผู้ใช้ได้กำหนดไว้หรือไม่ ผู้จัดทำจึงได้ออกแบบ พัฒนา และสร้างเครื่องวัดปริมาณก๊าซสำหรับตู้เพาะเลี้ยงเชื้อห้องปฏิบัติการที่มีข้อดีคือ สามารถติดตามและแจ้งเตือนค่าพารามิเตอร์ ทั้งค่าที่ปกติและผิดปกติ สำหรับตู้เพาะเลี้ยงเชื้อห้องปฏิบัติการได้แบบเรียลไทม์ ได้แก่ ปริมาณก๊าซคาร์บอนไดออกไซด์ภายในตู้เพาะเลี้ยงเชื้อ อุณหภูมิและความชื้น

สัมผัสทั้งภายในและภายนอกตู้เพาะเลี้ยงเชื้อ และความเข้มข้นของก๊าซคาร์บอนไดออกไซด์ในบรรยากาศภายนอกตู้เพาะเลี้ยงเชื้อ ซึ่งค่าพารามิเตอร์ทั้งหมดจะถูกแสดงผ่านหน้าเว็บเบสออนไลน์ที่ได้พัฒนาขึ้น โดยหน้าเว็บเบสมีแพลตฟอร์มที่เข้าใจได้ง่าย สามารถเรียกดูค่าพารามิเตอร์ภายในตู้เพาะเลี้ยงเชื้อได้พร้อมกันทั้ง 3 ตู้ในเวลาเดียวกัน อีกทั้งยังได้จัดทำตารางรวบรวมข้อมูลค่าพารามิเตอร์ล่าสุดบนหน้าเว็บเบส พร้อมทั้งกราฟที่แสดงข้อมูลค่าพารามิเตอร์ย้อนหลัง 30 นาที ค่าพารามิเตอร์ทั้งหมดถูกควบคุมโดยบอร์ด ESP8266 ซึ่งเป็นบอร์ด ไมโครคอนโทรลเลอร์ที่ใช้ติดต่อกับไวไฟ (Wi-Fi) แบบเชื่อมต่อระหว่างบอร์ดกับคอมพิวเตอร์ (Serial) สามารถเขียนโปรแกรมลงไปในชิพ (Chip) เพื่อควบคุมการทำงานและแสดงผลผ่านการใช้โปรแกรม Arduino IDE [2] ซึ่งการพัฒนาเว็บเบสของเครื่องวัดปริมาณก๊าซสำหรับตู้เพาะเลี้ยงเชื้อห้องปฏิบัติการทำโดยการใช้คำสั่ง PHP Script ร้องขอข้อมูลค่าพารามิเตอร์ทั้งหมดจาก My SQL Database Sever ซึ่งเป็นที่เก็บฐานข้อมูลค่าพารามิเตอร์ของเครื่องวัดปริมาณก๊าซสำหรับตู้เพาะเลี้ยงเชื้อห้องปฏิบัติการออกมาแสดงผ่านหน้าเว็บเบส สำหรับงานวิจัยนี้ยังพบข้อด้อยในส่วนของจำนวนเครื่องวัดค่าปริมาณก๊าซสำหรับตู้เลี้ยงเชื้อห้องปฏิบัติการยังไม่ครอบคลุมจำนวนตู้เพาะเลี้ยงเชื้อทั้งหมดที่มีในโรงพยาบาล อีกทั้งตัวเครื่องยังไม่เป็นไปตามจุดประสงค์ของการปลดเชื้อสำหรับตู้เพาะเลี้ยงเชื้อ ซึ่งงานวิจัยนี้สามารถนำข้อด้อยดังกล่าวไปพัฒนาให้ดียิ่งขึ้นต่อไปได้

## 2. การดำเนินการและขั้นตอนการทดลอง

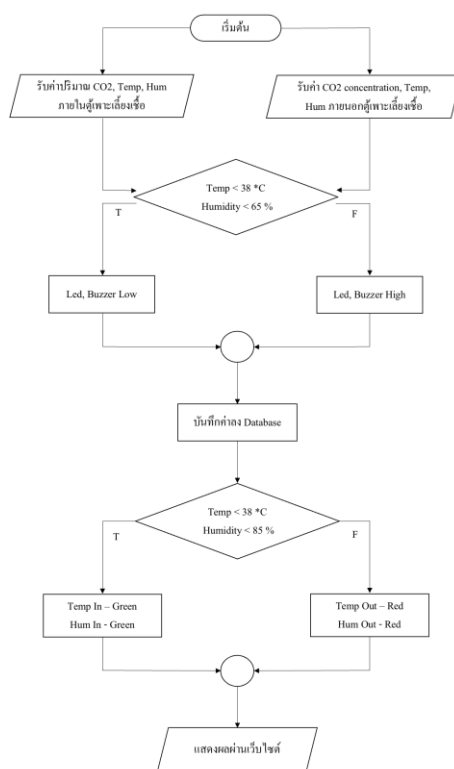
ภาพลือกไดอะแกรมแสดงการทำงานของระบบของเครื่องวัดปริมาณก๊าซสำหรับตู้เพาะเลี้ยงเชื้อห้องปฏิบัติการ แสดงดังรูปที่ 1

### 2.1 อุปกรณ์

#### 2.1.1 ไมโครคอนโทรลเลอร์ (Microcontroller)

ไมโครคอนโทรลเลอร์บอร์ดเป็นบอร์ดควบคุมการทำงานทั้งซอฟต์แวร์ (Software) และฮาร์ดแวร์

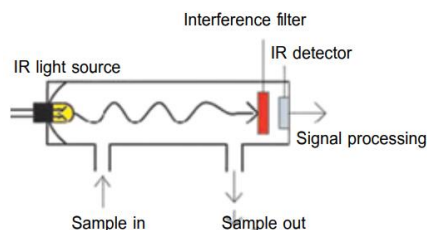
(Hardware) ให้ทำงานสอดคล้องกัน โดยในการวิจัยนี้ได้ใช้ NodeMCU ESP8266 V2 ซึ่งเป็นบอร์ด ไมโครคอนโทรลเลอร์ที่มีลักษณะการทำงานตามคำสั่งภาษาซี (C) คล้ายกับบอร์ด Arduino แต่มีลักษณะพิเศษกว่าตรงที่สามารถเชื่อมต่อกับไวไฟ (WiFi) ได้ ในการควบคุมการทำงานของบอร์ดสามารถใช้โปรแกรม Arduino IDE ได้เช่นเดียวกับบอร์ด Arduino [3] ซึ่งในงานวิจัยใช้ในการควบคุมการทำงานของเซนเซอร์วัดปริมาณก๊าซคาร์บอนไดออกไซด์ อุณหภูมิ, ความชื้นสัมพัทธ์ และความเข้มข้นของก๊าซคาร์บอนไดออกไซด์ในบรรยากาศ



รูปที่ 1 แผนภาพแสดงระบบการทำงาน

#### 2.1.2 เซนเซอร์วัดปริมาณก๊าซคาร์บอนไดออกไซด์ (Carbon Dioxide Sensor)

เป็น โมดูลที่ใช้วัดปริมาณก๊าซคาร์บอนไดออกไซด์ โดยใช้อินฟราเรด (Infrared) ในงานวิจัยนี้เลือกใช้ MH-Z16 ซึ่งเป็นเซนเซอร์แบบ NDIR (Non-Dispersive Infrared) ทำให้สามารถตรวจวัดปริมาณก๊าซคาร์บอนไดออกไซด์ที่ผสมกับก๊าซออกซิเจนได้ โดยหลักการทำงานของเซ็นเซอร์ แสดงดังรูปที่ 2 ตัวกำเนิดแสงอินฟราเรดติดตั้งอยู่ที่ปลายด้านหนึ่ง แล้วส่องแสงผ่าน ไปยังกระบอกก๊าซ ซึ่งก๊าซคาร์บอนไดออกไซด์จะดูดกลืนแสงที่คลื่นความยาวจำเพาะผ่านไปยังตัวรับสัญญาณที่ปลายอีกด้านหนึ่ง จากนั้นจะเปลี่ยนเป็นพลังงานไฟฟ้า เพื่อส่งค่าไปที่บอร์ด ไมโครคอนโทรลเลอร์ผ่าน โปรแกรม Arduino IDE



รูปที่ 2 การทำงานแบบ NDIR ของเซ็นเซอร์วัดปริมาณก๊าซคาร์บอนไดออกไซด์ (MH-Z16) [4]

### 2.1.3 เซนเซอร์วัดอุณหภูมิและความชื้นสัมพัทธ์ (Temperature and Relative Humidity Sensor)

เป็นอุปกรณ์ที่สามารถนำมาวัดและควบคุมอุณหภูมิและความชื้นสัมพัทธ์ อุปกรณ์ประเภทนี้มีความแตกต่างกันตามผู้ผลิต ราคา ความแม่นยำ ความละเอียด ในการวัด และการให้ค่าแบบดิจิทัล (Digital) หรือ แบบแอนะล็อก (Analog) เป็นต้น ในงานวิจัยนี้เลือกใช้งาน โมดูล DHT22 ที่ให้ค่าเป็นแบบดิจิทัล มีการใช้ขาสัญญาณดิจิทัลเพียงเส้นเดียวในการเชื่อมต่อแบบบิตอนุกรมสองทิศทาง (Serial Data, Bi-Directional) โดยนำมาเชื่อมต่อกับบอร์ด ไมโครคอนโทรลเลอร์ผ่านโปรแกรม Arduino IDE เพื่ออ่านค่าที่รับได้จากเซ็นเซอร์ [5]

### 2.1.4 เซนเซอร์วัดความเข้มข้นของก๊าซคาร์บอนไดออกไซด์ในบรรยากาศ (Carbon Dioxide Concentration in Air Sensor)

เป็น โมดูลตรวจวัดก๊าซที่ไวต่อก๊าซที่เป็นอันตรายต่อร่างกายมนุษย์ เช่นก๊าซในกลุ่ม NH<sub>3</sub>, Alcohol, Benzene, CO, CO<sub>2</sub> ฯลฯ ทำให้ถูกนำมาใช้ในงานควบคุมสภาพอากาศ, ควบคุมการทำงานของเครื่องฟอกอากาศ เป็นต้น ในงานวิจัยนี้เลือกใช้โมดูลตรวจวัดความเข้มข้นของก๊าซคาร์บอนไดออกไซด์ในบรรยากาศ MQ-135 ที่สามารถให้เอาต์พุต (Output) ทั้งสัญญาณอนาล็อก ซึ่งเป็นค่าที่วัดได้จริง และสัญญาณดิจิทัลที่สามารถปรับตั้งระดับแจ้งเตือนได้

## 3. ผลการทดลองและวิเคราะห์ผล

### 3.1 การทดสอบเซนเซอร์วัดอุณหภูมิและความชื้นสัมพัทธ์

ทดสอบเซนเซอร์วัดอุณหภูมิและความชื้นสัมพัทธ์ เทียบกับการวัดด้วยเครื่องทดสอบ Imtmedical FlowAnalyser PF-301 โดยวัดค่าพารามิเตอร์เทียบกันในทุก 5 นาที เป็นระยะเวลา 1 ชั่วโมง จากนั้นนำค่าพารามิเตอร์ทั้งหมดมาคำนวณค่าเปอร์เซ็นต์ความคลาดเคลื่อน แสดงดังตารางที่ 1 และ 2

ตารางที่ 1 แสดงค่าการเปลี่ยนแปลงของอุณหภูมิ

| เวลา (นาที) | อุณหภูมิ (°C)   |                 | %Error |
|-------------|-----------------|-----------------|--------|
|             | เครื่องที่พัฒนา | เครื่องสอบเทียบ |        |
| 5           | 29.50           | 29.4            | 0.34   |
| 10          | 29.60           | 29.4            | 0.68   |
| 15          | 29.60           | 29.6            | 0.00   |
| 20          | 29.40           | 29.7            | 1.01   |
| 25          | 29.60           | 29.8            | 0.67   |
| 30          | 29.60           | 29.9            | 1.00   |
| 35          | 29.40           | 30.0            | 2.00   |
| 40          | 29.40           | 30.1            | 2.33   |
| 45          | 29.40           | 30.2            | 2.65   |
| 50          | 29.40           | 30.3            | 2.97   |
| 55          | 29.40           | 30.3            | 2.97   |

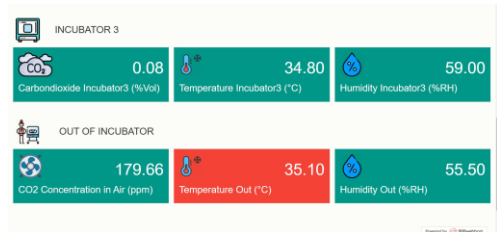
|                               |       |        |      |
|-------------------------------|-------|--------|------|
| 60                            | 29.40 | 30.4   | 3.29 |
| ค่าเปอร์เซ็นต์ความคลาดเคลื่อน |       | 1.66 % |      |

ตารางที่ 2 แสดงค่าการเปลี่ยนแปลงของความชื้นสัมพัทธ์

| เวลา (นาท)                    | ความชื้นสัมพัทธ์ (% RH) |                 | %Error |
|-------------------------------|-------------------------|-----------------|--------|
|                               | เครื่องที่พัฒนา         | เครื่องสอบเทียบ |        |
| 5                             | 70.50                   | 70              | 0.7    |
| 10                            | 69.90                   | 71              | 1.5    |
| 15                            | 68.60                   | 70              | 2.0    |
| 20                            | 68.90                   | 69              | 0.1    |
| 25                            | 68.60                   | 69              | 0.6    |
| 30                            | 68.60                   | 69              | 0.6    |
| 35                            | 68.60                   | 69              | 0.6    |
| 40                            | 68.60                   | 69              | 0.6    |
| 45                            | 68.60                   | 69              | 0.6    |
| 50                            | 68.60                   | 69              | 0.6    |
| 55                            | 68.60                   | 69              | 0.6    |
| 60                            | 68.60                   | 68              | 0.9    |
| ค่าเปอร์เซ็นต์ความคลาดเคลื่อน |                         | 0.8 %           |        |

### 3.2 เว็บไซต์ติดตามค่าพารามิเตอร์

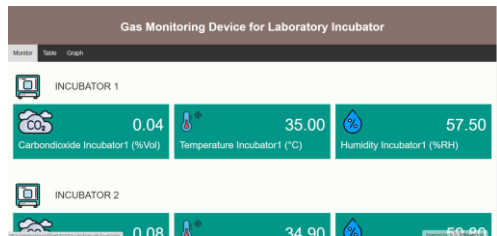
เมื่อเข้าสู่หน้าเว็บของเครื่องวัดปริมาณก๊าซสำหรับตู้เพาะเลี้ยงเชื้อห้องปฏิบัติการ บนหน้าเว็บประกอบไปด้วย 3 ตัวเลือก คือ 1) หน้าจอหลัก (Monitor) 2) หน้าแสดงค่าพารามิเตอร์ในรูปแบบตาราง (Table) 3) หน้าแสดงค่าพารามิเตอร์ในรูปแบบกราฟ (Graph) ซึ่งเว็บของเครื่องวัดปริมาณก๊าซสำหรับตู้เพาะเลี้ยงเชื้อห้องปฏิบัติการเป็นระบบการติดตามและแจ้งเตือนค่าพารามิเตอร์บนระบบเฝ้าระวัง (Monitor System) ทั้งค่าที่ปกติและผิดปกติสำหรับตู้เพาะเลี้ยงเชื้อห้องปฏิบัติการ แสดงดังรูปที่ 3 โดยค่าพารามิเตอร์ที่ปกติจะแสดงในกล่องข้อความสีเขียว และค่าพารามิเตอร์ที่ผิดปกติหรือมากเกินไปที่ผู้ใช้กำหนดจะแสดงกล่องข้อมูลเปลี่ยนเป็นสีแดง



รูปที่ 3 หน้าแสดงการแจ้งเตือนค่าพารามิเตอร์ที่มากเกินไปที่ผู้ใช้กำหนด

#### 3.2.1 หน้าจอหลัก (Monitor)

หน้าจอหลักแสดงการติดตามและแจ้งเตือนค่าพารามิเตอร์ทั้งหมดจากตู้เพาะเลี้ยงเชื้อทั้ง 3 ตู้ รวมทั้งค่าพารามิเตอร์ที่อยู่ภายนอกตู้เพาะเลี้ยงเชื้อ โดยแสดงค่าการเปลี่ยนแปลงพารามิเตอร์แต่ละค่าด้วยแพลตฟอร์มที่ผู้ใช้งานสามารถเข้าใจได้ง่าย แสดงดังรูปที่ 4



รูปที่ 4 หน้าจอหลักของเว็บไซต์

#### 3.2.2 หน้าแสดงค่าพารามิเตอร์ในรูปแบบตาราง (Table)

เป็นหน้าเว็บที่แสดงค่าพารามิเตอร์ในรูปแบบตารางจำนวน 5 ค่าล่าสุด แสดงดังรูปที่ 5 โดยในแต่ละตารางจะประกอบไปด้วย วัน เวลา และค่าพารามิเตอร์ที่ต่างๆ ที่วัดได้ อันได้แก่ ปริมาณก๊าซคาร์บอนไดออกไซด์ภายในตู้ อุณหภูมิและความชื้นสัมพัทธ์ภายในและนอกตู้ และความเข้มข้นของก๊าซคาร์บอนไดออกไซด์ในบรรยากาศภายนอกตู้

Gas Monitoring Device for Laboratory Incubator

Date : 2021-05-21

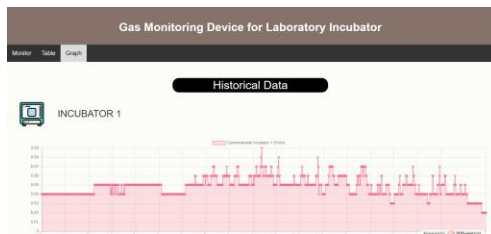
| Time                | CO2 (ppm) | Temperature (°C) | Humidity (%) |
|---------------------|-----------|------------------|--------------|
| 2021-05-19 09:25:05 | 0.04      | 36.00            | 57.50        |
| 2021-05-19 09:25:07 | 0.04      | 36.00            | 57.50        |
| 2021-05-19 09:25:09 | 0.04      | 36.00            | 57.50        |
| 2021-05-19 09:25:11 | 0.04      | 36.00            | 57.50        |
| 2021-05-19 09:25:13 | 0.04      | 36.00            | 57.50        |

รูปที่ 5 หน้าแสดงค่าพารามิเตอร์ในรูปแบบตารางของเว็บไซต์

### 3.2.3 หน้าแสดงค่าพารามิเตอร์ในรูปแบบกราฟ

#### (Graph)

เป็นหน้าเว็บไซต์ที่แสดงค่าพารามิเตอร์ทั้งหมดในรูปแบบกราฟ ค่าพารามิเตอร์ทั้งหมดที่วัดได้จากไมโครคอนโทรลเลอร์บอร์ดจะถูกเก็บบันทึกลงฐานข้อมูลของเว็บไซต์และแสดงค่าพารามิเตอร์บนกราฟแบบเรียลไทม์ ซึ่งแต่ละค่าพารามิเตอร์จะถูกระบุวันและเวลาที่วัดได้ โดยแสดงค่าพารามิเตอร์เพียงหนึ่งชนิดต่อหนึ่งกราฟ แสดงดังรูปที่ 6



รูปที่ 6 หน้าแสดงค่าพารามิเตอร์ในรูปแบบกราฟของเว็บไซต์

### 4. สรุปผลการทดลอง

งานวิจัยเรื่องเครื่องวัดปริมาณก๊าซสำหรับตู้เพาะเลี้ยงเชื้อห้องปฏิบัติการได้นำไปทดสอบการใช้งานจริงได้ผลการทดลองของปริมาณก๊าซคาร์บอนไดออกไซด์ภายในตู้เพาะเลี้ยงเชื้อ อุณหภูมิ

และความชื้นสัมพัทธ์ทั้งภายในและภายนอกตู้เพาะเลี้ยงเชื้อ และความเข้มข้นของก๊าซคาร์บอนไดออกไซด์ในบรรยากาศภายนอกตู้เพาะเลี้ยงเชื้อ สรุปผลได้ดังนี้ ค่าอุณหภูมิภายในตู้เพาะเลี้ยงเชื้อมีค่าความคลาดเคลื่อนเฉลี่ย 1.66 % และ ค่าความชื้นสัมพัทธ์ภายในตู้เพาะเลี้ยงเชื้อมีค่าความคลาดเคลื่อนเฉลี่ย 0.8 % เครื่องวัดปริมาณก๊าซสำหรับตู้เพาะเลี้ยงเชื้อห้องปฏิบัติการแสดงให้เห็นประโยชน์ในการนำไปใช้งานทางการแพทย์ตามวัตถุประสงค์

### 5. กิตติกรรมประกาศ

งานวิจัยนี้ขอขอบพระคุณคณาจารย์ภาควิชาฟิสิกส์ อุตสาหกรรมและอุปกรณ์การแพทย์ คณะวิทยาศาสตร์ประยุกต์ มหาวิทยาลัยเทคโนโลยีพระจอมเกล้าพระนครเหนือที่ได้ให้ความรู้ต่างๆ มาประกอบการทำงานวิจัยนี้ รวมทั้งช่วยติดต่อประสานงาน และหน่วยงานนวัตกรรมทางการแพทย์ โรงพยาบาลราชวิถีที่สนับสนุนอุปกรณ์ต่างๆ ในการทำงานวิจัยเสมอมา

### เอกสารอ้างอิง

- [1] กรมวิทยาศาสตร์การแพทย์ กระทรวงสาธารณสุข, “คู่มือมาตรฐานห้องปฏิบัติการจุลชีววิทยาทางการแพทย์และสาธารณสุข,” [Online]. Available:[http://narst.dmsc.moph.go.th/manual/standard\\_manual\\_2560.pdf](http://narst.dmsc.moph.go.th/manual/standard_manual_2560.pdf). [Accessed: 4 มีนาคม 2564].
- [2] Sanya Sunya. “Arduino ESP8266” [Online]. Available:[http://www.geocities.ws/sunya/microcontroller/arduino/NodeMCU\\_LAB1.pdf](http://www.geocities.ws/sunya/microcontroller/arduino/NodeMCU_LAB1.pdf). [Accessed: March. 10, 2021].
- [3] บริษัท อาร์ทอน ซอป จำกัด, “ESP8266 ตอนที่ 1 รู้จักกับ ESP และรุ่นที่นิยมใช้งาน,” [Online]. Available:<https://www.ioxhop.com/article/13/e>

sp8266-ตอนที่1-รู้จักกับ-esp-และรุ่นที่นิยมใช้งาน. [Accessed: 23 เมษายน 2564].

- [ 4] Sandboxelectronics. “MH- Z16 Intelligent Infrared Gas Module” [ Online] . Available: [https:// sandboxelectronics. com/ wp- content/ uploads/ 2 0 1 8 / 0 8 / Z1 6 DS. pdf](https://sandboxelectronics.com/wp-content/uploads/2018/08/Z16DS.pdf). [ Accessed: March. 8, 2021].
- [5] พันพงษ์ ภูริภักย์, “เอกสารประกอบการเรียนวิชา ไมโครคอนโทรลเลอร์เบื้องต้น,” [Online]. Available:[https://www.sbt.ac.th/new/sites/default/files/TNP\\_Unit\\_10.pdf](https://www.sbt.ac.th/new/sites/default/files/TNP_Unit_10.pdf). [ Accessed: 27 กุมภาพันธ์ 2564].
- [6] วิชัย ตันติพิมพ์กุล, Valsala เครื่องวัดคาร์บอนไดออกไซด์ออกไซด์, กรุงเทพฯ: สำนักพิมพ์เมเจอร์โทรนิกส์, 2554.
- [ 7] Thaieasyelec, “Gas Sensor Getting Started” [Online].Available:[https://www.thaieasyelec. com/ articlewiki/ review- product- article/ gas- sensor- getting- started. html](https://www.thaieasyelec.com/articlewiki/review-product-article/gas-sensor-getting-started.html). [Accessed: March. 15, 2021].
- [8] Components101, “MQ-135 - Gas Sensor for Air Quality”[Online].Available:[https://components 101. com/ sensors/ mq135- gas- sensor- for- air- quality](https://components101.com/sensors/mq135-gas-sensor-for-air-quality). [Accessed: April. 20, 2021].



# ระบบเรียกพยาบาลแบบไร้สาย Wireless Nurse Call System

ณัฐกนิษฐ์ ช่างรู้จัก<sup>1</sup>    ลักษณะทิพย์ ปิ่นจันทิก<sup>1</sup>    วิศิษฐ์ เปี่ยมเมตตา<sup>1</sup>    สุรพันธ์ ยิ้มมั่น<sup>1</sup>  
รศจรินทร์ รัตนสุนทร<sup>1</sup>

<sup>1</sup>สาขาวิชาวิศวกรรมชีวการแพทย์ ภาควิชาฟิสิกส์อุตสาหกรรมและอุปกรณ์การแพทย์  
มหาวิทยาลัยเทคโนโลยีพระจอมเกล้าพระนครเหนือ บางซื่อ 10800  
Email: nattakanitchangrukit@gmail.com

## บทคัดย่อ

งานวิจัยนี้จัดทำขึ้นเพื่อพัฒนาระบบความปลอดภัยภายในโรงพยาบาล จึงได้มีการนำระบบเรียกพยาบาลมาใช้ ปัญหาที่พบคือ ระบบเรียกพยาบาลไม่มีการบันทึกข้อมูลการเรียกทำให้เกิดปัญหาฟ้องร้องขึ้น ทางคณะผู้จัดทำจึงได้มีแนวคิดในระบบเรียกพยาบาลแบบไร้สายขึ้น

งานวิจัยนี้ใช้อุปกรณ์ทางอิเล็กทรอนิกส์และออกแบบการแสดงผลผ่านเว็บไซต์ จากนั้นทำการทดสอบระบบ ผลการทดสอบคือเมื่อมีการกดปุ่มจะแจ้งเตือนไปยัง Website สามารถเรียกดูประวัติการกดย้อนหลังได้ ได้ระยะทาง 70 เมตร ซึ่งจากการทดสอบสามารถใช้งานได้จริง

**คำสำคัญ:** ระบบเรียกพยาบาลแบบไร้สาย, ความปลอดภัยของผู้ป่วย, การดูแลผู้ป่วย

## Abstract

This research was designed to improve safety in hospital. So nurse call system was introduced which the problem is most nurse call systems do not record data, leading to prosecution problems Therefore, my team had the idea to create a wireless nurse call system.

This research uses electronic devices and web design. Then tested the system. The result of the test is that when the button is pressed, it will alert you to the website and can be view the history. The transmission distance must not exceed 70 meters which as a result of the test, can be used a practical  
**Keywords:** Wireless nurse call system, The safety of patients, Patients care

## 1. บทนำ

ความปลอดภัยของผู้ป่วยในโรงพยาบาลมีความสำคัญเป็นอย่างมาก นอกจากจะแสดงให้เห็นถึงการพัฒนาคุณภาพการบริการพยาบาลทางด้านของความปลอดภัยที่มีมาตรฐานแล้ว ยังสามารถสร้างความเชื่อมั่นให้แก่ผู้ใช้บริการ ไม่ว่าจะเป็นผู้ป่วยหรือแม้กระทั่งญาติของผู้ป่วย ก็ต้องการการบริการที่มีความปลอดภัยปราศจากความอันตรายหรือความเสียหายที่อาจจะเกิดจากการรักษา ซึ่งในอดีตมักไม่มีการร้องเรียนหรือฟ้องร้องผู้ประกอบการช่วยเหลือชีวิตมนุษย์ แต่ในปัจจุบันเนื่องจากสังคมในยุคนี้มีความเจริญก้าวหน้าทางวิทยาศาสตร์และเทคโนโลยี ทำให้นักคลส่วนหนึ่งมองเห็นโอกาสในการนำเรื่องของการรักษาพยาบาลไปประกอบธุรกิจที่แสวงหาผลกำไร

ประกอบกับมีประเด็นทางด้านสิทธิและการคุ้มครองผู้บริโภคเข้ามาเกี่ยวข้อง หากผู้ป่วยได้รับอันตรายจากการดูแลรักษา อาจนำไปสู่การร้องเรียนหรือการฟ้องร้องขึ้นภายหลัง อย่างเช่น การปล่อยปละละเลยทอดทิ้งผู้ป่วย เป็นต้น ดังนั้นความปลอดภัยของผู้ป่วยจึงเป็นสิ่งที่พยาบาลและผู้ประกอบวิชาชีพทางด้านสุขภาพทุกคนต้องตระหนักและให้ความสำคัญตลอดระยะเวลาที่ให้การดูแลรักษา จากเหตุการณ์การปล่อยปละละเลยทอดทิ้งผู้ป่วย ทำให้ในปัจจุบันในโรงพยาบาลสถานีนอนมัยหรือแม้กระทั่งคลินิกได้มีการนำระบบเรียกพยาบาล หรือ Nurse Call System มาใช้กันอย่างแพร่หลาย โดยระบบเรียกพยาบาล หรือ Nurse Call System คือ ระบบสำหรับการสื่อสารระหว่างผู้ป่วยกับพยาบาลหรือผู้ดูแล เพื่อที่จะช่วยสร้างความอุ่นใจและความไว้วางใจจากผู้ป่วยและญาติ โดยเฉพาะ เวลาเรียกขอความช่วยเหลือซึ่งอาจจะเกิดขึ้นได้ตลอดเวลา แต่ระบบเรียกพยาบาล หรือ Nurse Call System ที่ใช้อยู่ทั่วไปนั้น มีราคาค่อนข้างสูง และมีการติดตั้งค่อนข้างยาก เนื่องจากต้องทำการเดินสายไฟ

จากที่กล่าวมาข้างต้น ทำให้ผู้จัดทำเล็งเห็นถึงความสำคัญของความปลอดภัยของผู้ป่วย จึงได้มีแนวคิดที่จะพัฒนาระบบเรียกพยาบาล ให้เป็นระบบเรียกพยาบาลแบบไร้สาย ซึ่งทำให้สะดวกต่อการติดตั้งเนื่องจากไม่มีการเดินสายไฟ เมื่อผู้ป่วยกดเรียก ที่โต๊ะพยาบาลจะมีการแจ้งเตือนโดยแสดงหมายเลขห้องหรือหมายเลขเตียงที่กดพร้อมแสดงเสียงแจ้งเตือนและการกดเรียกสามารถเรียกได้พร้อมๆกัน โดยจะแสดงตามลำดับการกดก่อนหรือหลังอีกทั้งยังสามารถบันทึกวันและเวลาที่ผู้ป่วยกดเรียกได้

## 2. วิธีการดำเนินงาน

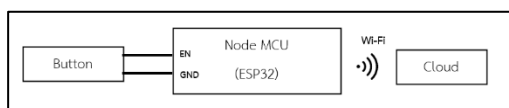
### 2.1 การออกแบบและสร้างส่วนส่ง-รับข้อมูลแบบไร้สาย

งานวิจัยนี้ได้เลือกใช้ Node MCU เนื่องจากมีความเหมาะสมกับการใช้งานและสามารถนำมาประยุกต์ใช้กับงานวิจัยนี้ได้ โดยมีรายละเอียดดังต่อไปนี้

#### 2.1.1 ส่วนส่งข้อมูลแบบไร้สาย

ก. Node MCU ใช้โมดูล ESP32 เป็นชิปไมโครคอนโทรลเลอร์ที่มาพร้อม Wi-Fi มาตรฐาน 802.11 b/g/n และบลูทูธเวอร์ชัน 4.2 CPU ใช้สถาปัตยกรรม Tensilica LX6 จำนวน 2 คอร์ สัญญาณนาฬิกา 240 MHz สามารถแยกการทำงานระหว่าง โปรแกรมจัดการ Wi-Fi และแอปพลิเคชันออกจากกันได้ ทำให้มีเสถียรภาพเพิ่มขึ้นมาก มีแรม 520 KB มาในตัว นอกจากนี้ยังมี GPIO เพิ่มขึ้นมาก และมีช่อง ADC เพิ่มขึ้นเป็น 12 ช่อง ใช้แรงดันไฟฟ้า 3.3 V ในโหมด Sleep ใช้กระแสไฟฟ้าเพียง 2.5 uA

ข. การส่งข้อมูลไปยัง Website โดยจะมีการส่งข้อมูลตัวรับคือ Cloud ผ่านทางสัญญาณ Wi-Fi ดังภาพที่ เป็นการแสดงถึงการต่อใช้งานและส่งข้อมูลไปยัง Website



รูปที่ 1 แสดงการเชื่อมต่อใช้งานระหว่าง Node MCU (ESP32) กับ Cloud

#### 2.1.2 ส่วนรับข้อมูลแบบไร้สาย

งานวิจัยนี้ได้เลือกใช้ Cloud เป็นตัวรับข้อมูลจาก Node MCU (ESP32) ด้วยสัญญาณ Wi-Fi เพื่อส่งข้อมูลไปยัง Website และ Database

Cloud หรือ Cloud Computing เป็นระบบคอมพิวเตอร์ที่ทำเพื่อรองรับการทำงานของผู้ใช้งานในด้านต่างๆทั้งด้านระบบเครือข่าย การจัดเก็บ

ข้อมูล การติดตั้งฐานข้อมูล หรือการใช้งานซอฟต์แวร์เฉพาะด้านในธุรกิจต่างๆ เป็นต้น โดยที่ไม่จำเป็นต้องติดตั้งระบบฮาร์ดแวร์และซอฟต์แวร์เพียงแค่เชื่อมต่อบนระบบ Cloud Computing ผ่านระบบอินเทอร์เน็ตเท่านั้น

## 2.2 การออกแบบและสร้างส่วนประมวลผล

การออกแบบส่วนประมวลผลงานวิจัยนี้เลือกใช้โปรแกรม Arduino IDE (IDE นั้นย่อมาจาก Integrated Development Environment) เนื่องจากเป็นโปรแกรมที่ใช้งานง่ายและเป็นโปรแกรมที่เขียนด้วยภาษา C ซึ่งใช้งานได้ทั้งบนระบบปฏิบัติการ Window (XP, Vista, 7, 8) ทั้ง 32 และ 64 บิต โดยโปรแกรม Arduino สามารถใช้งานได้กับบอร์ด ESP32 DOIT DEVKIT V1 เป็นบอร์ดที่ใช้งานง่ายและมีราคาไม่แพงและยังมี โมดูล Wi-Fi + Bluetooth 4.2 + Touch/Temp Sensor ในตัวที่ใช้งานง่ายและมีราคาไม่แพงและยังมี โมดูล Wi-Fi + Bluetooth 4.2 + Touch/ Temp Sensor ในตัว ซึ่ง บอร์ด ESP32 DOIT DEVKIT V1 เป็นโมดูล Wi-Fi ESP-32 รุ่น ESP-WROOM-32 มีการเชื่อมต่อ Bluetooth Low-Energy (BLE, BT4.0, Bluetooth Smart) เข้าไป โดยเปรียบเทียบได้จากภาพที่ 1 บอร์ด ESP32 ทำงานแบบ Dual Core ที่ความเร็ว 160 Mhz มี SRAM 512K หน่วยความจำ Flash สำหรับอัปเดตโปรแกรมขนาด 16M มีขา GPIO 36 ขา โดยจะมีขาของพอร์ต ADC เพิ่มขึ้นมา มีความละเอียดในการอ่านค่า ADC 12Bit สามารถต่อ USB เข้ากับช่องคอมพิวเตอร์ ก็สามารถ Run โปรแกรมที่ Board ได้

## 2.3 การออกแบบและสร้างส่วนจ่ายไฟให้กับไมโครคอนโทรลเลอร์

การออกแบบและสร้างส่วนจ่ายไฟให้กับไมโครคอนโทรลเลอร์ได้เลือกใช้ Lithium polymer battery 3.7 v 10000mAh และได้มีการเพิ่ม Charger Module (TP4056) เพื่อใช้ในการ Charging battery

และเนื่องจาก Lithium polymer battery นั้นมีค่าโวลต์ 3.7 v จึงต้องนำ Module Step up มาต่อเพื่อทำการแปลงค่าโวลต์ให้สูงขึ้นพอที่จะจ่ายไฟให้กับบอร์ดในวงจร

### 2.3.1 Lithium polymer battery

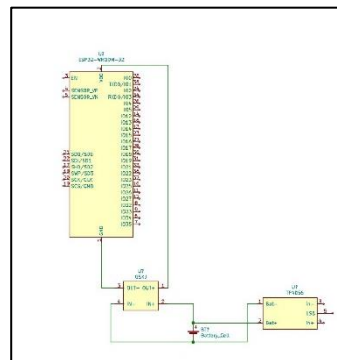
แบตเตอรี่ 3.7 โวลต์ เป็น lithium battery ความจุ 5000 mAh 2 ก้อนต่อแบบขนานกันความจุรวมเท่ากับ 10000 mAh แรงดันไฟฟ้าคงที่ 4.2 โวลต์ กระแสไฟฟ้าสูงสุด 5A

### 2.3.2 Charger Module (TP4056)

โมดูลสำหรับชาร์จแบตเตอรี่ลิเทียม ใช้ไฟ 5 โวลต์ จากหัว micro USB กระแสชาร์จสูงสุด 1 แอมป์ โดยตัวบอร์ดเป็นชิป TP4056 ซึ่งตัวบอร์ดรุ่นนี้มีวงจรป้องกันการชาร์จแบตเตอรี่ลิเทียม โดยมีการป้องกัน 3 แบบ โดยใช้ CHIP DW01+ และ mosfet 8205A

### 2.3.3 Step up module (1 – 5V to 5.1-5.2V)

Step Up เป็น Module แปลงไฟขึ้นจาก 1-5 โวลต์ เป็น 5 โวลต์



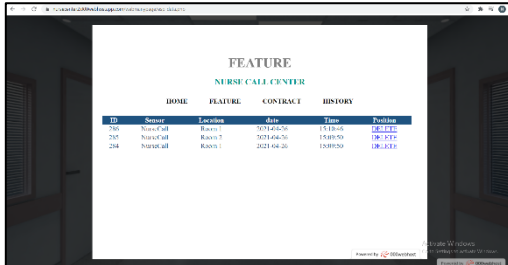
รูปที่ 2. แสดงการต่อวงจรการจ่ายไฟให้กับไมโครคอนโทรลเลอร์

## 2.4 การออกแบบและสร้างส่วนแสดงผลการเรียกพยาบาล

ในการออกแบบการแสดงผลของงานวิจัยระบบเรียกพยาบาลแบบไร้สายได้มีการออกแบบเป็น การ

แสดงผลบน Website ที่ออกแบบแสดงผลผ่านคอมพิวเตอร์ โดยมีรายละเอียดดังนี้

### 2.4.1 การออกแบบส่วนแสดงผลบนเว็บไซต์



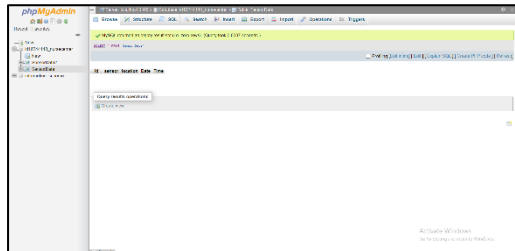
รูปที่ 3. ภาพจำลองการแสดงผลที่คอมพิวเตอร์ของพยาบาล

Website จะทำการดึงข้อมูลที่ได้จาก Node MCU ESP32 ที่ผ่าน Cloud ด้วยสัญญาณ Wi-Fi ประมวลผลเพื่อแสดงผลบน Website ซึ่งในการออกแบบทางคณะผู้จัดทำงานวิจัยเลือกใช้โปรแกรม Cloud ใช้ภาษา Javascript , PHP ในการประมวลผลการแจ้งเตือน ซึ่งจะทำให้ได้ Website ในภาษา HTML เพื่อสะดวกต่อการใช้งานผ่านไฟล์ Website (nurescall.php) โดยไม่ต้องเปิดผ่านโปรแกรม Cloud

การแสดงผลบนหน้าจอเป็นข้อความและเสียง คือ เมื่อมีการกดจะแจ้งเตือนเป็นข้อมูลและเสียง ( ลำดับ , ห้องผู้ป่วย , วันที่กกดเรียก , เวลาที่กกดเรียก และมีปุ่มกดลบ ) ต้องกดลบข้อมูลผู้ป่วยทุกครั้งเมื่อรับทราบการกกดเรียกและหยุดการแจ้งเตือนในรูปแบบเสียง

**2.5 การออกแบบและสร้างส่วนเก็บฐานข้อมูล**  
งานวิจัยนี้ได้เลือกใช้โปรแกรม phpMyAdmin เป็นโปรแกรมประเภท MySQL Client เป็นโปรแกรมตัวหนึ่งที่ใช้ในการจัดการฐานข้อมูล MySQL ผ่านบราวเซอร์ได้โดยตรงเป็นการเขียนในรูปแบบของ PHP

phpMyAdmin จะทำงานผ่าน Web server เป็น PHP Application ที่ใช้ควบคุมการจัดการกับMySQL

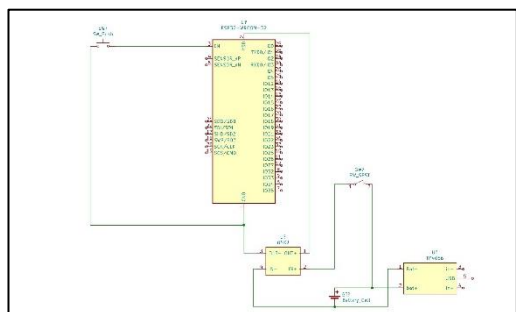


Server โดยจะเก็บข้อมูลในรูปแบบของตาราง

รูปที่ 4. แสดงรูปแบบการเก็บฐานข้อมูล

### 2.6 การออกแบบและสร้างส่วนของเครื่องเรียกพยาบาลแบบไร้สาย

งานวิจัยนี้ได้ใช้บอร์ด ESP32 DOIT DEVKIT V1 โดยต่อเข้ากับ ปุ่มกด จากนั้นตัวบอร์ด ESP32 DOIT DEVKIT V1 จะรับการจ่ายไฟจาก Lithium polymer battery 3.7 v โดยต้องต่อกับ Step up module (1 – 5V to 5.1-5.2V) เพื่อปรับโวลต์ในสูงขึ้นก่อนจ่ายไฟเข้าบอร์ดและ Lithium polymer battery 3.7 ต่อกับ Charger Module (TP4056) เพื่อชาร์จประจุ โดยเครื่องเรียกพยาบาลแบบไร้สายจะมี Switch เปิด - ปิด เครื่องการต่อวงจรของเครื่องจะเป็นดังรูปที่ 5



รูปที่ 5 การต่อวงจรของเครื่องเรียกพยาบาลแบบไร้สาย

### 3. ผลการทดสอบและอภิปรายผล

การทดสอบการทำงานในส่วนต่างๆ โดยการทดสอบการทำงานของระบบเรียกพยาบาลแบบไร้สาย (Wireless Nurse Call System) ว่าสามารถใช้งานได้อย่างสมบูรณ์หรือไม่ โดยจะแบ่งการทดสอบออกเป็นสามส่วน ดังนี้

3.1 ทดสอบในส่วนของระยะทางในแนวราบ ตารางที่ 1 ตารางแสดงผลการทดลองส่วนของ Wifi และระยะทาง

| ระยะทาง (m) | ผลที่ได้                    |
|-------------|-----------------------------|
| 5           | ✓                           |
| 10          | ✓                           |
| 20          | ✓                           |
| 30          | ✓                           |
| 40          | ✓                           |
| 50          | ✓                           |
| 60          | ✓                           |
| 70          | เชื่อมต่อได้แต่ส่งข้อมูลช้า |
| 75          | -                           |
| 80          | -                           |

\*\*\*หมายเหตุ ✓ หมายถึง ระบบเรียกพยาบาลแบบไร้สายสามารถส่งข้อมูลได้

- หมายถึง ระบบเรียกพยาบาลแบบไร้สายไม่สามารถส่งข้อมูลได้

3.2 ทดสอบส่วนของ Webpage

จากการทดสอบเมื่อกดปุ่มเรียกพยาบาล Webpage สามารถแจ้งเตือนการกดปุ่มได้โดยจะแจ้งเตือนในรูปแบบเสียง และเมื่อมีการกดเรียกพร้อมกันสามารถแจ้งเตือนที่หน้า Webpage ได้

3.3 ทดสอบในส่วนของ Database

จากการทดสอบการกดปุ่มเรียกพยาบาล สามารถเรียกดูประวัติการกดย้อนหลังได้ โดยจะแสดงวันและเวลาที่ทำการกด

### 4. สรุปผลการทดลอง

งานวิจัยนี้เป็นการออกแบบและการสร้างระบบเรียกพยาบาลแบบไร้สาย (Wireless Nurse Call System)

ซึ่งจากการดำเนินงานพบว่า ระบบเรียกพยาบาลแบบไร้สายสามารถทำงานได้อย่างมีประสิทธิภาพ โดยสามารถติดตั้งบริเวณด้านข้างของเตียงผู้ป่วย เมื่อผู้ป่วยกดปุ่มเรียกพยาบาลจะมีการส่งสัญญาณแจ้งเตือนในรูปแบบเสียงไปที่หน้า Webpage ของพยาบาล และสามารถเรียกดูประวัติการกดย้อนหลังได้ โดยระยะทางในการส่งข้อมูลต้องไม่เกิน 70 เมตร ผลจากการทดสอบประสิทธิภาพของอุปกรณ์ทั้งหมดที่กล่าวมานี้สรุปได้ว่าระบบเรียกพยาบาลแบบไร้สายสามารถใช้งานได้จริงตามวัตถุประสงค์ที่ได้ตั้งไว้

### 5. กิตติกรรมประกาศ

งานวิจัยนี้ได้รับการสนับสนุนเป็นอย่างดีจาก สาขาวิศวกรรมชีวการแพทย์ ภาควิชาฟิสิกส์อุตสาหกรรม และอุปกรณ์การแพทย์ คณะวิทยาศาสตร์ประยุกต์ มหาวิทยาลัยเทคโนโลยีพระจอมเกล้าพระนครเหนือ คณะผู้จัดทำขอขอบพระคุณอาจารย์ที่ปรึกษาที่กรุณาให้คำแนะนำเป็นอย่างดีในการจัดทำ ระบบเรียกพยาบาลแบบไร้สายนี้ขึ้น

### เอกสารอ้างอิง

- [ 1 ] Sara Santos( 2020) ESP- NOW with ESP32: Receive Data from Multiple Boards (many-to-one) Retrieved December 4, 2020 from <https://randomnerdtutorials.com/esp-now-many-to-one-esp32/>
- [ 2 ] Anonymous (2012) การเขียนโปรแกรมภาษา HTML ค้นเมื่อ 1 มกราคม 2564 จาก <http://worryut.blogspot.com/>
- [ 3 ] ลาวัญย์ นันทโวาทย์(2559) บทความแนะนำเรื่อง CSS เริ่มต้นด้วย HTML + CSS ค้นเมื่อ 1 มกราคม 2564 จาก <https://www.w3.org/Style/Examples/011/firstcss.th.html>

- [ 4] ปิยะคนัย วิเคียน(2560) พื้นฐานภาษา HTML  
ค้นเมื่อ 2 มกราคม 2564 <https://krupiyadanai.wordpress.com/บทเรียน-html/รู้จักภาษา-html/>
- [ 5] devbanban (2562) Bonus.8 สอนสมัครโฮสฟรี,  
การสมัคร Hosting ฟรี ! สำหรับเอาเว็บไซต์ขึ้น  
ใช้งานบน Server จริง 000webhost ค้นเมื่อ 13  
กุมภาพันธ์ 2564 จาก <https://www.youtube.com/watch?v=6Gz7FvINGGY>
- [ 6] Rangforever Project (2560) วิธีลบข้อมูล Mysql  
ด้วย PHP ค้นเมื่อ 8 มีนาคม 2564, จาก  
<https://www.youtube.com/watch?v=Yq59A4Ns7EY>
- [ 7] Admin (2553) พื้นฐานภาษา HTML ค้นเมื่อ 10  
มีนาคม 2564 [http://www.sonfree.com/detail.php?page\\_id=13](http://www.sonfree.com/detail.php?page_id=13)
- [ 8] thatsawan (2557) PHP & MySQL : การใช้คำสั่ง  
ในการ DELETE ข้อมูลจากฐานข้อมูล ค้นเมื่อ  
15 มีนาคม 2564 จาก <https://www.mindphp.com/บทเรียนออนไลน์/บทเรียน-php/3095-delete-data.html>

# เว็บเบสระบบสารสนเทศของการฉีดวัคซีนสำหรับเด็ก A Web-based Information System of Vaccination for Child

ศลิษา สืบคล้าย<sup>1</sup>, ฤบติ รักษ์เกิด<sup>2</sup>, ณัฐกนิษฐ์ ช้างรู้จัก<sup>3</sup>, พรภวิชัย สิ้นสุขอุดมชัย<sup>4</sup>, ชีระพล จรทผา<sup>5</sup>,  
ลักษณะทิพย์ ปิ่นจันทิก<sup>6</sup>, วีระชา ตรีวงนอก<sup>7</sup>, สุกัษชา บัวเดือน<sup>8</sup>, ปิยะมาศ เสือเพ็ง<sup>1</sup>  
<sup>2-8</sup>สาขาวิศวกรรมชีวการแพทย์ ภาควิชาฟิสิกส์อุตสาหกรรมและอุปกรณ์การแพทย์ คณะวิทยาศาสตร์  
ประยุกต์ มหาวิทยาลัยเทคโนโลยีพระจอมเกล้าพระนครเหนือ กรุงเทพมหานคร 10800  
<sup>1</sup>ภาควิชาเทคโนโลยีสุขภาพ คณะวิทยาศาสตร์และเทคโนโลยีสุขภาพ มหาวิทยาลัยนวมินทราธิราช  
กรุงเทพมหานคร 10300 Email: salisa@nmu.ac.th

## บทคัดย่อ

เนื่องจากในปัจจุบันมีความต้องการในการฉีดวัคซีนของผู้ป่วยเพิ่มมากขึ้น ทำให้ต้องมีการจัดการข้อมูล ที่ถูกต้อง, แม่นยำ, และง่ายต่อการเข้าถึง ซึ่งระบบสารสนเทศออนไลน์สามารถช่วยลดภาระในการจัดเก็บเอกสาร และลดความเสี่ยงในการสูญหายของข้อมูล การวิจัยนี้ได้พัฒนาเว็บเบสระบบสารสนเทศ สำหรับการบันทึกข้อมูลการฉีดวัคซีนในรูปแบบอิเล็กทรอนิกส์ เพื่อเพิ่มความปลอดภัยในการจัดเก็บข้อมูลการฉีดวัคซีน และช่วยให้การเข้าถึงข้อมูลเป็นระบบมากยิ่งขึ้น ซึ่งได้มีการจัดเตรียมระบบฐานข้อมูลที่สามารถบันทึกข้อมูลและเรียกดูข้อมูลได้อย่างรวดเร็ว ระบบสารสนเทศนี้สามารถสนับสนุนการทำงานของบุคลากรทางการแพทย์ และเพิ่มประสิทธิภาพในการจัดเก็บข้อมูลเป็นระเบียบ

**คำสำคัญ:** วัคซีน แบบฟอร์มการฉีดวัคซีน เว็บเบส

## Abstract

The present, the patients have an increased need for vaccination . This makes it necessary to manage information that is accurate, precise, and easy to access. Online information systems can help reduce the burden of documents storage and reduce the risk of data loss. This research has developed an

information system webbase for recording vaccination data in electronic form. It increase the security of vaccination data storage and provide more systemic access to data. A database system is provided that can quickly save data and retrieve data. This information system can support the work of medical staff and increase data storage performance

**Keywords:** Vaccine, Information, Web-based

## 1. บทนำ

ในปัจจุบันเทคโนโลยีสารสนเทศและอินเทอร์เน็ตเข้ามามีบทบาทต่อการดำเนินงานภายในโรงพยาบาลมากยิ่งขึ้น ส่งผลให้มีความสะดวก รวดเร็วต่อการทำงานภายในองค์กร

โดยปัจจุบันการฉีดวัคซีนในโรงพยาบาลส่วนใหญ่ จะเก็บข้อมูลในรูปแบบของการบันทึกข้อมูลการฉีด วัคซีนลงในแบบฟอร์ม ทำให้มีความเสี่ยงต่อการสูญหายของข้อมูลได้ และเนื่องจากในวัยเด็กมี วัคซีนที่จำเป็นหลายชนิด รวมทั้งวัคซีนเสริมต่างๆ เช่น วัคซีนป้องกันไวรัสตับอักเสบบ, วัคซีนป้องกัน ไข้หวัดใหญ่, และวัคซีนป้องกันวัณโรค เป็นต้น ซึ่ง อาจจะทำให้ผู้ปกครองเกิดความสับสนหรือลืมวัน นัดหมายในการฉีดวัคซีนครั้งถัดไป อาจส่งผลให้ เกิดอันตรายต่อสุขภาพของเด็กได้

จากที่กล่าวมาข้างต้น ทางผู้ทำวิจัยจึงเห็นถึงความสำคัญของการบันทึกข้อมูลการฉีดวัคซีนและรวมถึงการควั่นนัดหมายครั้งถัดไป โดยการนำข้อมูลการฉีดวัคซีนมาเก็บข้อมูลในรูปแบบอิเล็กทรอนิกส์แทนการจดบันทึกลงแบบฟอร์มเพื่อให้สะดวกในการดูแลข้อมูลการฉีดวัคซีนของผู้ป่วย นอกจากนี้ยังสามารถป้องกันไม่ให้ข้อมูลเกิดการสูญหายหรือรั่วไหล และทำให้เจ้าหน้าที่สามารถจัดเก็บข้อมูลการฉีดวัคซีนของผู้ป่วยได้สะดวกมากยิ่งขึ้น

## 2. วิธีการดำเนินงาน

### 2.1 การออกแบบฐานข้อมูลสารสนเทศสำหรับการบันทึกข้อมูลการฉีดวัคซีนเด็กในรูปแบบอิเล็กทรอนิกส์

การพัฒนาเว็บเบสของระบบสารสนเทศจะใช้คำสั่ง PHP Script ในการร้องขอข้อมูลสารสนเทศจากระบบฐานข้อมูลของ My SQL ซึ่งเป็นการจัดเก็บข้อมูลการฉีดวัคซีนของเด็กในรูปแบบข้อมูลอิเล็กทรอนิกส์ประกอบไปด้วย ตารางข้อมูลหลักของระบบสารสนเทศ ได้แก่ ตารางข้อมูลการฉีดวัคซีน จะประกอบไปด้วยข้อมูลส่วนตัวของผู้ป่วย, ข้อมูลเกี่ยวกับเวชภัณฑ์, ข้อมูลอื่นๆ อาทิเช่น แพทย์ผู้ฉีด, วันนัดหมายครั้งถัดไป เป็นต้น และตารางข้อมูลย่อย ได้แก่ ตารางข้อมูลเลขประจำตัวผู้ป่วย(HN), ตารางข้อมูลของแพทย์, ตารางข้อมูลของพยาบาล, และตารางข้อมูลของเวชภัณฑ์ โดยในแต่ละตารางข้อมูลจะมีความสัมพันธ์กันดังรูปที่ 1

### 2.2 การออกแบบเว็บเบสระบบสารสนเทศสำหรับการบันทึกข้อมูลการฉีดวัคซีนในรูปแบบอิเล็กทรอนิกส์

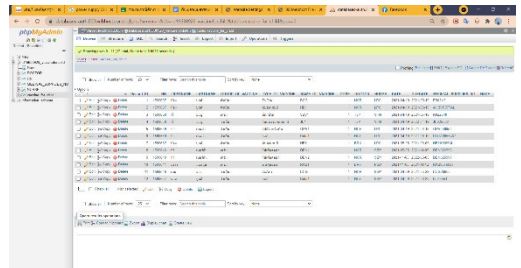
เว็บเบสระบบสารสนเทศทางโรงพยาบาลสำหรับการบันทึกข้อมูลการฉีดวัคซีนในรูปแบบอิเล็กทรอนิกส์ โดยความสำคัญของระบบ

สารสนเทศเกี่ยวข้องกับการจัดการ, การจัดเก็บ, และการประมวลผลข้อมูลในรูปแบบที่สามารถเรียกใช้ข้อมูลได้ทันที โดยบุคลากรที่เกี่ยวข้องจะสามารถเข้าถึงข้อมูลได้อย่างสะดวกยิ่งขึ้น ซึ่งเป็นปัจจัยที่สำคัญในทางการแพทย์



รูปที่ 1 แผนผังแสดงความสัมพันธ์ของแต่ละตารางข้อมูลในฐานข้อมูลสารสนเทศสำหรับการบันทึกข้อมูลการฉีดวัคซีนในรูปแบบอิเล็กทรอนิกส์

โดยเว็บเบสสามารถอัปเดตข้อมูลต่างๆ ของผู้ป่วยได้โดยผ่านการใช้ระบบฐานข้อมูลของ My SQL ซึ่งเป็นฐานข้อมูลเชิงสัมพันธ์ที่สามารถเชื่อถือได้และเป็นความจริง เพื่อใช้ในการจัดเก็บข้อมูลของผู้ป่วย ดังรูปที่ 2

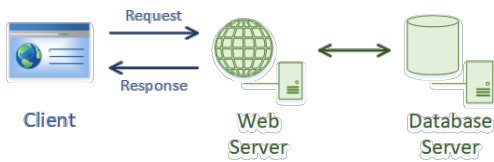


รูปที่ 2 ระบบฐานข้อมูล My SQL ที่จัดเก็บข้อมูลในส่วนต่างๆ

เซิร์ฟเวอร์ 000webhost และเอ็นจินการเขียน คือ สคริปต์ PHP ในการนำมาใช้ เพื่อพัฒนาส่วนการแสดงผลสำหรับผู้ใช้งานเว็บไซต์ โดย



สถาปัตยกรรมการออกแบบของระบบจะเป็นไปดังรูปที่ 3



รูปที่ 3 องค์ประกอบหลักของเว็บระบบสารสนเทศสำหรับการบันทึกข้อมูลการฉีดวัคซีนในรูปแบบอิเล็กทรอนิกส์

ข้อมูลการฉีดวัคซีนของผู้ป่วยจะถูกรวบรวมเป็นข้อมูลอิเล็กทรอนิกส์และจัดเก็บภายในระบบฐานข้อมูล เรียกข้อมูลเหล่านี้ว่า “ข้อมูลอินพุต” ข้อได้เปรียบของความสามารถในการค้นหาของระบบฐานข้อมูล My SQL คือ ข้อมูลทั้งหมดถูกดึงมาจากข้อมูลเบื้องต้นของผู้ป่วย, ข้อมูลเกี่ยวกับเวชภัณฑ์, ข้อมูลการฉีดวัคซีน รวมไปถึงข้อมูลของรายชื่อแพทย์และพยาบาล ซึ่งสามารถค้นหาข้อมูลได้ผ่านเว็บเซิร์ฟเวอร์สำหรับการบันทึกข้อมูลการฉีดวัคซีนในรูปแบบอิเล็กทรอนิกส์ที่มีตารางข้อมูลหลัก ได้แก่ ตารางการฉีดวัคซีน และตารางข้อมูลย่อย ได้แก่ ตารางข้อมูลเลขประจำตัวผู้ป่วย(HN), ตารางข้อมูลของแพทย์, ตารางข้อมูลของพยาบาล, และตารางข้อมูลของเวชภัณฑ์ เช่น การค้นหาข้อมูลผู้ป่วย ซึ่งสามารถค้นหาได้จากชื่อของผู้ป่วย, การค้นหาข้อมูลแพทย์และพยาบาล, การค้นหาข้อมูลการฉีดวัคซีนของผู้ป่วย, และการค้นหาข้อมูลของเวชภัณฑ์ นอกจากนี้ยังใช้ตัวดำเนินการบูลีนและไวด์การ์ดเป็นเครื่องมือค้นหา เพื่อให้สามารถดึงข้อมูลได้อย่างยืดหยุ่นและครอบคลุม ส่วนข้อมูลที่ป้อนลงในระบบจะสามารถแยกประเภทของข้อมูลได้ โดยจะแยกประเภทของข้อมูลโดยการจำแนกขึ้นกับการลงทะเบียนข้อมูลผู้ป่วย ข้อมูลของการฉีดวัคซีน ข้อมูลแพทย์และพยาบาล ส่วนข้อมูลของเว็บ

เบสระบบสารสนเทศสำหรับการบันทึกข้อมูลการฉีดวัคซีนในรูปแบบอิเล็กทรอนิกส์ถูกแบ่งออกตามระบบฐานข้อมูลและเชื่อมโยงกันผ่านตารางข้อมูลย่อย ข้อมูลเหล่านี้อนุญาตให้เข้าถึงได้ด้วยการระบุตัวตนเพื่อป้องกันความเป็นส่วนตัวของผู้ป่วย ซึ่งดำเนินการโดยใช้อัลกอริทึมคีย์ เพื่อสร้างรหัสสำหรับระบุตัวตนในการเข้าถึงข้อมูลที่เก็บไว้ในเว็บระบบสารสนเทศทางโรงพยาบาลสำหรับการบันทึกข้อมูลการฉีดวัคซีนในรูปแบบอิเล็กทรอนิกส์

### 3. ผลการทดลองและการอภิปรายผล

การใช้เว็บเซิร์ฟเวอร์เพื่อจัดเก็บข้อมูลการฉีดวัคซีนของเด็ก โดยเว็บระบบสารสนเทศสำหรับการบันทึกข้อมูลการฉีดวัคซีนในรูปแบบอิเล็กทรอนิกส์ไม่จำเป็นต้องปรับแต่งซอฟต์แวร์คอมพิวเตอร์ของบุคคลากรที่เกี่ยวข้องเนื่องจากเป็นระบบฐานข้อมูลที่แสดงผลในรูปแบบออนไลน์ ช่วยให้บุคคลากรทางการแพทย์สามารถเข้าถึงระบบสารสนเทศได้ จุดมุ่งหมายของเว็บระบบสารสนเทศทางสารสนเทศสำหรับการบันทึกข้อมูลการฉีดวัคซีนในรูปแบบอิเล็กทรอนิกส์ คือ การสร้างระบบสารสนเทศในการแสดงข้อมูล, การจัดเก็บข้อมูล, การค้นหาข้อมูล, การแก้ไขข้อมูล, การเพิ่มและการลบข้อมูล เพื่อสนับสนุนการป้องกันการสูญหายของข้อมูล นอกจากนี้ผู้ป่วยสามารถเข้าถึงข้อมูลส่วนตัวของตนเองได้

ในการแสดงข้อมูลมีลักษณะที่ใช้งานง่าย มีการดึงข้อมูลมาจากระบบฐานข้อมูล My SQL ในส่วนของการค้นหาข้อมูลจะดำเนินการโดยการกรอกข้อมูลลงไป ตัวอย่างเช่น ชื่อของผู้ป่วย, หมายเลขเวชภัณฑ์ของวัคซีน เป็นต้น ลักษณะการทำงานของเว็บระบบสารสนเทศสำหรับการบันทึกข้อมูลการฉีดวัคซีนในรูปแบบอิเล็กทรอนิกส์ สรุปไว้ดังตารางที่

1 และรูปที่ 4 จะแสดงถึงลักษณะสำคัญของหน้าเว็บเบส โดยแสดงรูปภาพดิจิทัลและข้อความ ผู้ใช้งานหลักของเว็บเบสระบบสารสนเทศสำหรับการบันทึกข้อมูลการฉีดวัคซีนในรูปแบบอิเล็กทรอนิกส์ ได้แก่ ผู้ป่วย, แพทย์, และเจ้าหน้าที่ดูแลระบบ เพื่ออำนวยความสะดวกในการจัดเก็บข้อมูล, ลดความเสี่ยงในการสูญหายของข้อมูล, และเพื่อป้องกันความเสียหายของข้อมูล งานวิจัยนี้มุ่งเน้นไปที่การบันทึกข้อมูลการฉีดวัคซีนของเด็กในรูปแบบอิเล็กทรอนิกส์ เนื่องจากการจดบันทึกลงในแบบฟอร์มอาจทำให้เกิดการสูญหาย นอกจากนี้เพื่อความเป็นระเบียบของข้อมูล ดังนั้น ระบบเว็บเบสสารสนเทศสำหรับการบันทึกข้อมูลการฉีดวัคซีนในรูปแบบอิเล็กทรอนิกส์สามารถรวบรวมข้อมูลการฉีดวัคซีน, ข้อมูลผู้ป่วย, ข้อมูลเวชภัณฑ์, และข้อมูลของบุคลากรทางแพทย์ได้

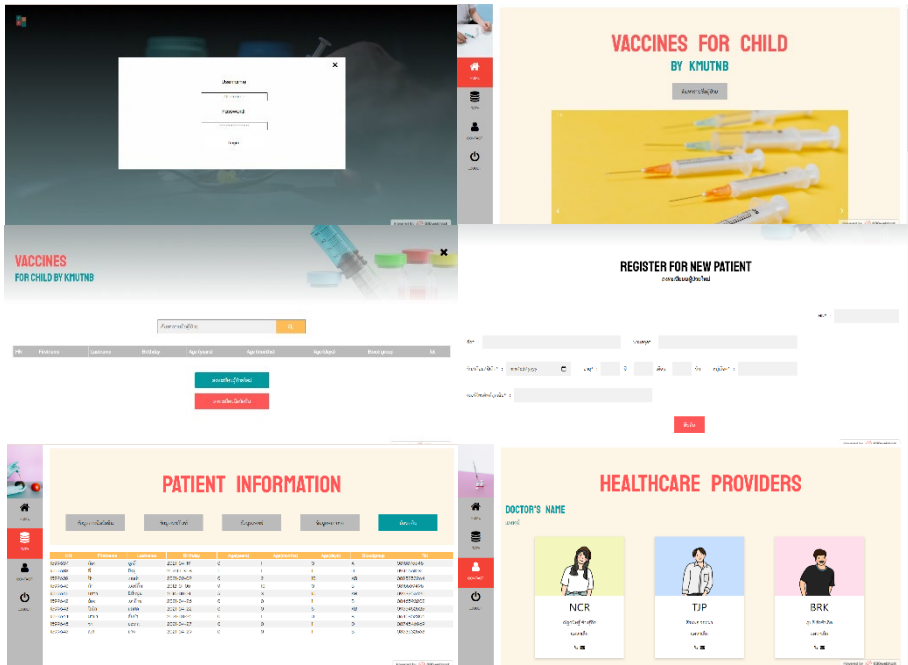
ตารางที่ 1 ลักษณะสำคัญในการทำงานของเว็บเบสสารสนเทศสำหรับการบันทึกข้อมูลการฉีดวัคซีนในรูปแบบอิเล็กทรอนิกส์

| หน้าเว็บเบส | เนื้อหา   |
|-------------|---|
| Login       | เข้าสู่ระบบเพื่อดูข้อมูลภายในเว็บเบสโดยจะแบ่งเป็น 3 ระดับในการเข้าถึง ดังนี้<br>1) การเข้าถึงของผู้ป่วย<br>2) การเข้าถึงของแพทย์<br>3) การเข้าถึงของผู้ดูแลระบบ (Admin) |
| Home        | ค้นหารายชื่อผู้ป่วยในระบบฐานข้อมูลเพื่อตรวจสอบข้อมูลในระบบฐานข้อมูลก่อนการลงทะเบียนการฉีดวัคซีน โดยถ้าไม่มีข้อมูลผู้ป่วยในระบบฐานข้อมูลให้ทำการลงทะเบียน                |

|         |  |
|---------|--|
|         | ผู้ป่วยก่อน แต่ถ้าเป็นผู้ป่วยเดิมสามารถลงทะเบียนฉีดวัคซีนได้เลย  |
| Data    | สำหรับการดูข้อมูลในระบบฐานข้อมูล, ค้นหาข้อมูลในระบบฐานข้อมูล, การเพิ่มข้อมูลในระบบฐานข้อมูล, การแก้ไขข้อมูลในระบบฐานข้อมูล, และการลบข้อมูลในระบบฐานข้อมูล โดยจะจำกัดการเข้าถึงตามระดับ |
| Contact | รวบรวมประวัติของแพทย์และพยาบาล   |
| Logout  | ออกจากระบบ   |

#### 4.สรุปผลการทดลอง

งานวิจัยนี้อธิบายถึงการพัฒนาระบบสารสนเทศสำหรับบันทึกข้อมูลการฉีดวัคซีนแบบอิเล็กทรอนิกส์เป็นการพัฒนาและเพิ่มประสิทธิภาพของระบบสารสนเทศเพื่อติดตามข้อมูลการฉีดวัคซีน คุณสมบัติที่สำคัญของเว็บเบสระบบสารสนเทศสำหรับบันทึกข้อมูลการฉีดวัคซีนแบบอิเล็กทรอนิกส์ จะประกอบด้วย 1) การรวบรวมข้อมูลที่จำเป็นในการบันทึกข้อมูลลงในระบบฐานข้อมูลเดียวกัน 2) ตัวเลือกในการค้นหาข้อมูลที่หลากหลายทำให้สามารถสืบค้นข้อมูลได้ง่ายมากขึ้น 3) มีการแก้ไขข้อมูลและลบข้อมูลเพื่อเพิ่มความถูกต้องในการรวบรวมข้อมูลลงบนฐานข้อมูล 4) การรักษาความปลอดภัยของข้อมูลผ่านการเข้าสู่ระบบของเว็บเบส โดยผลการพัฒนาระบบสารสนเทศเพื่อติดตามข้อมูลการฉีดวัคซีนของผู้ป่วย จะส่งผลให้สามารถตรวจสอบข้อมูลและติดตามผลได้อย่างครบถ้วน ซึ่งสามารถแสดงให้เห็นถึงประโยชน์ในการใช้งานได้ตรงตามวัตถุประสงค์



รูปที่ 4 เว็บไซต์ระบบสารสนเทศสำหรับการบันทึกข้อมูลการฉีดวัคซีนในรูปแบบอิเล็กทรอนิกส์และฟังก์ชันการทำงาน

### 5. กิตติกรรมประกาศ

งานวิจัยนี้ได้รับการสนับสนุนเป็นอย่างดีจาก สาขาวิชาวิศวกรรมชีวการแพทย์ ภาควิชาฟิสิกส์ อุตสาหกรรมและอุปกรณ์การแพทย์ คณะ วิทยาศาสตร์ประยุกต์ มหาวิทยาลัยเทคโนโลยีพระ จอมเกล้าพระนครเหนือ และผู้สนับสนุน ของขอบพระคุณที่ปรึกษา ศศ.ดร ปิยะมาศ เสือเพ็ง ที่กรุณาให้คำแนะนำเป็นอย่างดีในการจัดทำ รูปแบบบทความภาษาไทย สำหรับการประชุม วิชาการเทคโนโลยีสุขภาพแห่งประเทศไทย ( The Conference on Health Technology of Thailand ) ใน ครั้งนี้

### เอกสารอ้างอิง

[1] วรินดา นวนกัน. (ม.ป.ป.). เทคโนโลยี สารสนเทศ. ค้นหามือ 29 เมษายน 2564, จาก

<https://sites.google.com/site/thekhnoloyisarsnt hesit/laksna-sakhay-khxng-thekhnoloyi-sarsnth es?fbclid=IwAR0bGcusGelixT1ijOrISctnaAy gWD84LIZd53ISnzEpbpT4Y6vaFlshw7U>

[2] เรืองพิลาศ อารีวงศ์ และคณะ. (2559). เทคโนโลยีสารสนเทศ. ค้นหามือ 29 เมษายน 2564, จาก [https://sites.google.com/site/thek hnoloyisarsntthes000000/-rabb-sarsntthes-khux xari?fbclid=IwAR1j8SoEe3-iWdCYjB26WU- ZLSyAiyL9r0R2G2n-\\_7-8yOuc14yzmYFL ksA](https://sites.google.com/site/thek hnoloyisarsntthes000000/-rabb-sarsntthes-khux xari?fbclid=IwAR1j8SoEe3-iWdCYjB26WU- ZLSyAiyL9r0R2G2n-_7-8yOuc14yzmYFL ksA)

# ผลของสารสกัดสมุนไพรในครัวเรือนต่อประสิทธิภาพการยับยั้งเชื้อรา

## *Aspergillus niger*

### Effect of Household Herb Extracts on Antifungal Activity in *Aspergillus niger*

ปริญญ์ อารีวงศ์<sup>1</sup> สุรเชษฐ์ จันทร์ปาน<sup>2</sup> ชีรารัตน์ ทองงามดี<sup>3</sup> จรรย์ยานพรัตน์<sup>4</sup>  
กำไร วรรณช<sup>5</sup> สมภพ พินิจ<sup>6</sup>

<sup>1</sup> หน้ผู้ป่วยหนักห้องแยกโรคผู้ป่วยติดเช้ระบบทางเดินหายใจ

โรงพยาบาลพุทธชินราช พิษณุโลก 65000 Email: maikew20@gmail.com

<sup>2</sup> คณะครุศาสตร์ มหาวิทยาลัยราชภัฏพิบูลสงคราม พิษณุโลก 65000 Email: toto40188@gmail.com

<sup>3</sup> สาระการเรี้นรู้วิทยาศาสตร์ โรงเรียนพิษณุโลกพิทยาคม พิษณุโลก 65000 Email: t.re.rat16@gmail.com

<sup>4</sup> สำนักงานคณบดี คณะวิทยาศาสตร์และเทคโนโลยีสุขภาพ มหาวิทยาลัยนวมินทราชิราช

ดุสิต กรุงเทพมหานคร 10300 Email: Junya@nmu.ac.th

<sup>5</sup> ภาควิชาการศึกษาทั่วไป คณะวิทยาศาสตร์และเทคโนโลยีสุขภาพ มหาวิทยาลัยนวมินทราชิราช

ดุสิต กรุงเทพมหานคร 10300 Email: kamrai.w@nmu.ac.th.com

<sup>6</sup> หลักสูตรเทคโนโลยีชีวภาพ คณะวิทยาศาสตร์ จุฬาลงกรณ์มหาวิทยาลัย

ปทุมวัน กรุงเทพมหานคร 10330 Email: kunpop3579@hotmail.com (Corresponding author)

#### บทคัดย่อ

การเจริญและปนเปื้อนของเชื้อราที่มีการสร้างสารพิษอาจส่งผลกระทบต่อสุขภาพในระยะยาวจากการทดสอบฤทธิ์ยับยั้งเชื้อรา *Aspergillus niger* ของสารสกัดจากพืชสมุนไพรในครัวเรือน 19 ชนิดพบว่า สารสกัดจากพืช 7 ชนิด ได้แก่ พลู่ จิง กระเทียม ไพร ขมิ้น ข่า และว่านหางจระเข้ มีประสิทธิภาพในการยับยั้งเชื้อราได้ดีตามลำดับ ซึ่งสามารถนำไปประยุกต์ใช้ในการยับยั้งเชื้อราและป้องกันการถูกทำลายของวัตถุดิบที่ใช้ในการประกอบอาหาร เพื่อทดแทนการใช้สารเคมียับยั้งเชื้อรา

**คำสำคัญ:** ประสิทธิภาพการยับยั้งเชื้อรา สมุนไพรในครัวเรือน

#### Abstract

Contamination of fungi, which produced aflatoxin, affects people's health that may causes diseases in long term. Plant extracts of 19 household herbs were tested on *Aspergillus niger* inhibition. The result showed that 7 plant extracts indicated positive inhibition efficiency, including, *Piper betle*, *Zingiber officinale*, *Allium sativum*, *Zingiber cassumunar*, *Curcuma longa*, *Alpinia galanga*, *Aloe vera*, respectively. These plant extractions can be conveniently applied to fungal inhibition and ingredient protection instead of chemical fungicides.

**Keywords:** Antifungal activity, Household herb

## 1. บทนำ

*Aspergillus niger* มักพบปนเปื้อนในวัตถุดิบประกอบอาหารหลายชนิด เช่น พริกแห้งหอม และกระเทียม เป็นต้น นอกจากสร้างความเสียหายให้กับวัตถุดิบประกอบอาหารเหล่านั้นแล้วยังส่งผลเสียต่อร่างกายเป็นอย่างมาก เนื่องจาก *Aspergillus niger* มีการสร้างสารพิษที่เรียกว่า Ochratoxin A[1] ที่มีความเป็นพิษต่อไต ส่งผลให้เกิดเนื้องอกและมะเร็งในสัตว์ทดลองหลายชนิด[2, 3] เนื่องจาก Ochratoxin A มีผลต่อการเสื่อมสภาพของไมโทคอนเดรีย ที่ส่งผลต่อเนื้อเยื่อให้เกิดการสะสมของอนุมูลอิสระ และเกิดการตายของเซลล์ในที่สุด[4] แม้ว่าในปัจจุบันผลการศึกษาในมนุษย์ยังไม่มีความชัดเจน แต่ก็มีแนวโน้มไปได้สูงว่าการรับประทานอาหารที่ปนเปื้อนของ *Aspergillus niger* จะเป็นอีกความเสี่ยงหนึ่งที่ส่งผลเสียต่อสุขภาพของผู้บริโภค[2]

ในปัจจุบันการยับยั้งการเจริญเติบโตของ *Aspergillus niger* ในผลผลิตทางการเกษตรนั้น ใช้สารเคมีกำจัดเชื้อรา (Fungicides) ซึ่งตกค้างและส่งผลต่อสุขภาพของผู้บริโภคในระยะยาว ด้วยเหตุนี้การเลือกใช้สารสกัดจากธรรมชาติจึงเป็นอีกทางเลือกหนึ่งที่ช่วยลดความเสี่ยงผลกระทบของสารเคมีตกค้างได้ เช่น การศึกษาของ สุพรรณษา พร้อมสุข และคณะ [5] ที่พบว่าสารสกัดจากใบพลูมีผลยับยั้งการเจริญเติบโตของเชื้อรา *Sclerotium* sp. และ *Fusarium solani* ได้อย่างมีประสิทธิภาพ นอกจากนี้มีการศึกษาฤทธิ์ต้านการเจริญของเชื้อรา *Aspergillus niger* ในพืชทั่วโลกมากกว่า 90 สายพันธุ์ ซึ่งพบว่ามีความสามารถในการยับยั้งการเจริญของเชื้อรา *Aspergillus niger* ที่แตกต่างกัน [6, 7]

แต่อย่างไรก็ตามยังมีการศึกษาเกี่ยวกับฤทธิ์ต้านการเจริญของเชื้อราของพืชสมุนไพรในครัวเรือนไม่มากนัก พืชสมุนไพรในครัวเรือน

เหล่านี้หาได้ง่ายและสะดวกต่อการประยุกต์ใช้อีกทั้งสามารถนำมาใช้ได้อย่างปลอดภัย ด้วยเหตุนี้ทางคณะผู้วิจัยจึงมีความสนใจในการศึกษาฤทธิ์ของสารสกัดของพืชสมุนไพรในครัวเรือนต่อการยับยั้งการเจริญของเชื้อรา *Aspergillus niger*

## 2. เนื้อหาหลัก

### 2.1 วิธีการวิจัย

#### 2.1.1 พืชสมุนไพร

พืชสมุนไพรในครัวเรือนที่ใช้ในการศึกษา จำนวน 19 ชนิด ดังตารางที่ 1 โดยเก็บตัวอย่างพืชสมุนไพรชนิดต่าง ๆ ในบริเวณพื้นที่ ต.ท่าโพธิ์ อ.เมือง จ.พิษณุโลก เก็บตัวอย่างพืชสายพันธุ์ละ 5 ตัวอย่างจากต้นที่อยู่ในพื้นที่ที่แตกต่างกัน เพื่อลดความแปรปรวนของปัจจัยแวดล้อมที่อาจส่งผลต่อปริมาณสารที่แตกต่างกัน

ตารางที่ 1 ตัวอย่างพืชที่ใช้ในการศึกษา

| ชื่อไทย       | ชื่อวิทยาศาสตร์   | ชั้นส่วน |
|---------------|---|----------|
| มะลิซ้อน      | <i>Jasminum sambac</i> L.   | ใบ       |
| ว่านหางจระเข้ | <i>Aloe vera</i> (L.) Burm.f.                                     | ใบ       |
| ข่า           | <i>Alpinia galanga</i> (L.) Willd.                                | เหง้า    |
| สะเดา         | <i>Azadirachta indica</i> A. Juss. var. <i>siamensis</i> Valetton | ใบ       |
| ผักชีลาว      | <i>Anethum graveolens</i> L.                                      | ใบ       |
| สะระแหน่      | <i>Mentha cordifolia</i> Opiz.                                    | ใบ       |
| กระชาย        | <i>Boesenbergia rotunda</i> (L.) Mansf.                           | ราก      |
| ขมิ้น         | <i>Curcuma longa</i> L.   | เหง้า    |
| พลู่          | <i>Piper betle</i> L.   | ใบ       |
| ยี่ห่วย       | <i>Cuminum cyminum</i> L.   | ใบ       |
| ตะไคร้        | <i>Cymbopogon citratus</i> Stapf.                                 | ใบ       |
| ชะพลู         | <i>Piper sarmentosum</i> Roxb.                                    | ใบ       |
| ขิง           | <i>Zingiber officinale</i> Roscoe.                                | เหง้า    |
| ไพล           | <i>Zingiber cassumunar</i> Roxb.                                  | เหง้า    |
| กระเทียม      | <i>Allium sativum</i> L.  | ใบสะสม   |
| โหระพา        | <i>Ocimum basilicum</i> L.  | ใบ       |
| กระดังงา      | <i>Cananga odorata</i> (Lam.) Hook. f. & Thomson.                 | ใบ       |
| น้อยหน่า      | <i>Annona squamosa</i> L.   | ใบ       |

### 2.1.2 เชื้อรา

เชื้อรา *Aspergillus niger* จากภาควิชาชีววิทยา คณะวิทยาศาสตร์ มหาวิทยาลัยนเรศวร โดยเพาะเลี้ยงบนอาหาร Potato dextrose agar (PDA) ที่อุณหภูมิ  $30 \pm 2$  องศาเซลเซียส เป็นเวลา 10 วัน เพื่อใช้ในการทดสอบประสิทธิภาพของสารสกัด

### 2.1.3 การสกัดสารสกัดหยาบ

นำพืชสมุนไพรทั้ง 19 ชนิด ล้างทำความสะอาด และอบที่อุณหภูมิ 40 องศาเซลเซียส นาน 7 วัน นำพืชที่ผ่านการอบแห้งบดละเอียดด้วยเครื่องบดไฟฟ้า สกัดสารสกัดโดยการผสมตัวอย่างพืชบดละเอียด 10 กรัม ในเอทิลแอลกอฮอล์ 95 เปอร์เซ็นต์ ปริมาตร 50 มิลลิลิตร เป็นเวลา 3 วัน ในที่มืด กรองสารสกัดด้วยกระดาษกรอง Whatman No.1 ทำการละลายตัวทำละลายออกด้วยเครื่องกลั่นระเหยสุญญากาศ ที่อุณหภูมิ 40 องศาเซลเซียส ความดัน 150 ปอนด์/ตารางนิ้ว และผสมกับน้ำกลั่น ปริมาตร 10 มิลลิลิตร

### 2.1.4 การทดสอบประสิทธิภาพการยับยั้งเชื้อรา

ชุดสปอร์ของเชื้อรา *Aspergillus niger* ที่เลี้ยงบนอาหาร PDA 1 มิลลิกรัม ละลายในน้ำกลั่นนิ่งฆ่าเชื้อ 10 มิลลิลิตร นำสารแขวนลอยสปอร์ 0.1 มิลลิลิตร ทาให้ทั่วพื้นผิวหน้าอาหารเลี้ยงเชื้อ PDA นำกระดาษทดสอบ (Paper disc) ชุบสารสกัดที่กรองผ่าน Syringe filter ขนาดรูพรุน 0.22 ไมครเมตร นำกระดาษทดสอบวางบนอาหารเลี้ยงเชื้อที่ทาสปอร์เชื้อราบนผิวหน้า บ่มที่อุณหภูมิ  $30 \pm 2$  องศาเซลเซียส เป็นเวลา 5 วัน หลังจากนั้นทำการวัดขนาดของส่วนใส (Clear zone)

### 2.1.5 การคำนวณและวิเคราะห์ทางสถิติ

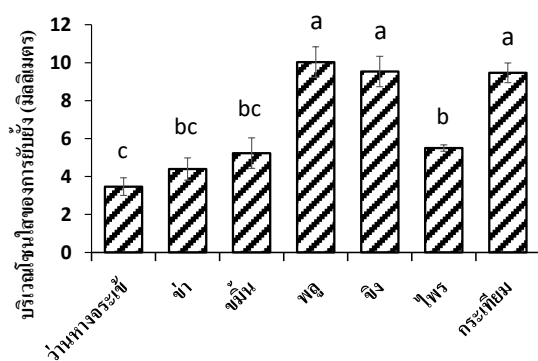
วางแผนการทดลองแบบ Completely randomized design (CRD) ภายใต้สภาพควบคุม โดยทำการทดลอง จำนวน 3 ครั้ง โดยแต่ละครั้งประกอบด้วย 10 ตัวอย่างทดลอง ( $n=30$ ) และรายงานผลการทดลองในรูปแบบค่าเฉลี่ย  $\pm$  ค่าคลาดเคลื่อนมาตรฐาน (Standard error) วิเคราะห์ความแปรปรวนทางเดียว (One-Way ANOVA) ด้วยวิธี Duncan's multiple range tests (DMRT) ที่  $P \leq 0.05$

## 2.2 ผลการทดลองและอภิปรายผล

จากการศึกษาประสิทธิภาพการยับยั้งการเจริญของเชื้อรา *Aspergillus niger* ของสารสกัดพืชสมุนไพรในครัวเรือน จำนวน 19 ชนิด (ตารางที่ 1) พบว่า มีสารสกัดจากพืชเพียง 7 ชนิด ประกอบด้วยว่านหางจระเข้ ข่า ขมิ้น พลู จิง ไพล และกระเทียมเท่านั้น ที่สามารถยับยั้งการเจริญของเชื้อรา (รูปที่ 1) โดยพบ โชนาใสรอบกระดาษชุบสารสกัดอย่างชัดเจน ในขณะที่ชุดควบคุมและสารสกัดจากพืชชนิดอื่นไม่พบ โชนาใสเกิดขึ้น ในการศึกษาพบว่ามีประสิทธิภาพในการยับยั้งเชื้อราได้สูงที่สุดอย่างมีนัยสำคัญทางสถิติ สามารถเกิดโชนาใสได้มากถึง 10.03 9.53 และ 9.47 มิลลิเมตร ตามลำดับ นอกจากนั้นพบว่า พลู จิง และกระเทียมมีความสามารถในการยับยั้งเชื้อราได้มากกว่า ไพร ขมิ้น ข่า และว่านหางจระเข้ ถึง 50-60 เปอร์เซ็นต์

จากการศึกษาของ Ali และคณะ[8] พบว่าไบโพลูมีสารทุติยภูมิ (Secondary metabolite) ชนิด Hydroxychavicol ที่มีความสามารถในการยับยั้งการ

เจริญของเชื้อราหลายกลุ่ม โดยเฉพาะในยีสต์และเชื้อราสกุล *Aspergillus* [8, 9] นอกจากนี้ยังมีการศึกษาสารสำคัญเพิ่มเติมอีกหลายชนิดประกอบด้วย 4-allylpyrocatechol, eugenol,  $\alpha$ -pinene และ  $\beta$ -pinene ที่มีประสิทธิภาพในการยับยั้งเชื้อรา *Plasmopara viticola* ซึ่งเป็นสาเหตุของโรคราน้ำค้างในองุ่น [10]



รูปที่ 1 ประสิทธิภาพของสารสกัดจากพืชสมุนไพรในครัวเรือนชนิดต่างๆ ในการยับยั้งการเจริญของเชื้อรา *Aspergillus niger* ข้อมูลแสดงค่าเฉลี่ย  $\pm$  ค่าคลาดเคลื่อนมาตรฐาน (n = 30) โดยในค่าเดียวกันตัวอักษรที่แตกต่างกันแสดงความแตกต่างกันอย่างมีนัยสำคัญทางสถิติที่  $P \leq 0.05$  วิเคราะห์โดย DMRT

เหง้าของขิงประกอบด้วยสารสำคัญมากกว่า 400 ชนิด เช่น zingerone, shogaols, gingerols,  $\beta$ -sesquiphellandrene, bisabolene and farnesene,  $\beta$ -phellandrene, cineol และ citral เป็นต้น [11] ในหลายการศึกษาชี้ให้เห็นตรงกันว่าขิงมีประสิทธิภาพในการต้านเชื้อราได้หลายสกุล เช่น

*Aspergillus*, *Penicillium*, *Fusarium*, *Candida* และ *Cladosporium* เช่น [7, 12, 13] เช่นเดียวกับไพรที่อยู่ในสกุล *Zingiber* เช่นเดียวกัน แต่มีความแตกต่างในด้านปริมาณและการสะสมที่แตกต่างกัน [14] ในงานวิจัยจำนวนมากพบว่ากระเทียมถูกนำมาใช้ในการยับยั้งเชื้อราและแบคทีเรียในหลายชนิด [15-17] เนื่องจากกระเทียมอุดมไปด้วยสารสำคัญจำนวนมาก โดยเฉพาะ Allicin [18] ที่มีความสามารถในการยับยั้งเชื้อราและแบคทีเรียได้อย่างมีประสิทธิภาพ รวมถึงขมิ้น ข่า และว่านหางจระเข้ต่างมีรายงานถึงความสามารถในการยับยั้งเชื้อราชนิดต่าง ๆ ได้อย่างมีประสิทธิภาพเช่นกัน [19-24]

ในพืชชนิดอื่น ๆ ที่สารสกัดไม่สามารถยับยั้งเชื้อรา *Aspergillus niger* ได้ หรือมีประสิทธิผลที่แตกต่างกันนั้น อาจเป็นผลจากตัวทำละลายที่มีข้อจำกัดในการสกัดสารสำคัญ เนื่องจากการศึกษาครั้งนี้ทางผู้วิจัยมีจุดประสงค์มุ่งเน้นเพื่อหาสารสกัดที่ง่ายต่อการประยุกต์ใช้ จึงเลือกใช้พืชนอกที่มีความปลอดภัยเป็นตัวทำละลาย ซึ่งสามารถสกัดได้เฉพาะสารในกลุ่ม Hydrophilic compound จึงทำให้ไม่สามารถสกัดสารในกลุ่มอื่นที่อาจมีประสิทธิภาพในการยับยั้งเชื้อราได้เช่นกัน [25] นอกจากนี้ผู้วิจัยได้ทำการศึกษาผลของสารสกัดโดยยึดจากปริมาณตัวอย่างพืชเริ่มต้น จึงอาจทำให้ปริมาณสารสกัดที่ได้มีความแตกต่างกันไปตามความสามารถในการสะสมของพืชแต่ละชนิด โดยจะเห็นได้ค่อนข้างชัดเจนว่าสารสกัดพืชที่มีผลการยับยั้งเชื้อราได้ดีนั้นได้จากส่วนเหง้าใต้ดินและใบ

สะสมอาหาร เนื่องจากเป็นแหล่งที่มีการสะสมของสารพิษขี้หมามากกว่าในส่วนใบที่มีการสร้างสารปฏิสัมพันธ์เป็นหลัก [26] แต่อย่างไรก็ตามการเลือกใช้ชิ้นส่วนอวัยวะอื่นของพืชก็ส่งผลต่อความยากที่มากขึ้นในการนำไปประยุกต์ใช้จริง ซึ่งไม่ตอบโจทย์ของการศึกษาในครั้งนี้

### 3. สรุป

การทดสอบความสามารถในการยับยั้งการเจริญของเชื้อรา *Aspergillus niger* จากสารสกัดพืชสมุนไพรในครัวเรือน แสดงให้เห็นว่า พลู จิง และกระเทียม เป็นพืชที่มีความสามารถในการต่อต้านเชื้อรา และสามารถประยุกต์ใช้สารสกัดดังกล่าวเพื่อป้องกันการทำลายของเชื้อรา *Aspergillus niger* ในวัตถุดิบประกอบอาหารได้อเนกนาค

### 4. กิตติกรรมประกาศ

ทีมผู้วิจัยขอขอบพระคุณ อาจารย์กัมปนาท สุขนิตย์ อาจารย์อัญญา แก้วพินิจ อาจารย์สมฤทัย จินต้วง อาจารย์พิทูล คำภิระปาวงศ์ อาจารย์อภิวัฒน์ มาสขรัตน์ อาจารย์สมศรี สอนเศรษฐ และกลุ่มสาระการเรียนรู้วิทยาศาสตร์ โรงเรียนพิษณุโลกพิทยาคม ที่ช่วยสนับสนุนอุปกรณ์และสถานที่วิจัยจนทำให้งานวิจัยนี้สำเร็จลุล่วงไปได้ด้วยดี และขอขอบคุณภาควิชาชีววิทยาศาสตร์ มหาวิทยาลัยนเรศวร ที่ให้การอนุเคราะห์เชื้อราในการทดลอง

### เอกสารอ้างอิง

[1] C. Z. Blumenthal. (2004). "Production of toxic metabolites in *Aspergillus niger*, *Aspergillus oryzae*, and *Trichoderma*

reesei: justification of mycotoxin testing in food grade enzyme preparations derived from the three fungi," *Regul Toxicol Pharmacol*, vol. 39, no. 2, doi: 10.1016/j.yrtph.2003.09.002.

[2] T. R. Bui-Klimke and F. Wu. (2015). "Ochratoxin A and human health risk: a review of the evidence," (in eng), *Crit Rev Food Sci Nutr*, vol. 55, no. 13, doi: 10.1080/10408398.2012.724480.

[3] O. S. Abbas, D. A. Abdul-Shaheed, and R. M. Anwer. (2018). "Induce Cancer by Ochratoxin A," *Journal of Pure and Applied Microbiology*, vol. 12, no. 4, doi: 10.22207/jpam.12.4.16.

[4] Q. Li *et al.* (2019). "Ochratoxin A causes mitochondrial dysfunction, apoptotic and autophagic cell death and also induces mitochondrial biogenesis in human gastric epithelium cells," *Archives of Toxicology*, vol. 93, no. 4, doi: 10.1007/s00204-019-02433-6.

[5] สุพรรณษา พร้อมสุข, สมภพ พินิจ และ กำไร วรนุช. (2560). "ผลของสารสกัดใบพลูต่อการยับยั้งเชื้อรา *Sclerotium* sp. และ *Fusarium solani*," in รายงานการประชุมวิชาการ วิทยาศาสตร์วิจัย ครั้งที่ 9, ชลบุรี, ประเทศไทย, pp. BI 275 - BI 281.



- [6] V. Bobbarala, P. Katikala, K. Naidu, and S. Penumajji. (2009). "Antifungal activity of selected plant extracts against phytopathogenic fungi *Aspergillus niger* F2723," *Indian Journal of Science and Technology*, vol. 2, doi: 10.17485/ijst/2009/v2i4/29438.
- [7] V. Surapuram, W. N. Setzer, R. L. McFeeters, and H. McFeeters. (2014). "Antifungal activity of plant extracts against *Aspergillus niger* and *Rhizopus stolonifer*," (in eng), *Nat Prod Commun*, vol. 9, no. 11.
- [8] I. Ali *et al.* (2010). "In vitro antifungal activity of hydroxychavicol isolated from *Piper betle* L," (in eng), *Ann Clin Microbiol Antimicrob*, vol. 9, doi: 10.1186/1476-0711-9-7.
- [9] B. Sivareddy, B. A. Reginald, D. Sireesha, M. Samatha, K. H. Reddy, and G. Subrahmanyam. (2019). "Antifungal activity of solvent extracts of *Piper betle* and *Ocimum sanctum* Linn on *Candida albicans*: An in vitro comparative study," (in eng), *J Oral Maxillofac Pathol*, vol. 23, no. 3, doi: 10.4103/jomfp.JOMFP\_167\_19.
- [10] A. Yoshinao, T. Nguyen Van, and S. Shunji. (2018). "Impact of *Piper betle* leaf extract on grape downy mildew: effects of combining 4-allylpyrocatechol with eugenol,  $\alpha$ -pinene or  $\beta$ -pinene," *Plant Protection Science*, vol. 55, no. No. 1, doi: 10.17221/53/2018-pps.
- [11] S. Chrubasik, M. H. Pittler, and B. D. Roufogalis. (2005). "Zingiberis rhizoma: a comprehensive review on the ginger effect and efficacy profiles," (in eng), *Phytomedicine*, vol. 12, no. 9, doi: 10.1016/j.phymed.2004.07.009.
- [12] S. Supreetha, S. Mannur, S. P. Simon, J. Jain, S. Tikare, and A. Mahuli. (2011). "Antifungal activity of ginger extract on *Candida albicans*: An in-vitro study," *J Dent Sci Res*, vol. 2.
- [13] D. Tagoe, S. Essien-Baidoo, I. Dadzie, V. Kangah, and H. Nyarko. (2010). "A Comparison Of The Antimicrobial (Antifungal) Properties Of Garlic, Ginger And Lime On *Aspergillus Flavus*, *Aspergillus Niger* And *Cladosporium Herbarum* Using Organic And Water Base Extraction Methods," *The Internet Journal of Tropical Medicine*, vol. 7.
- [14] M. Sharifi-Rad *et al.* (2017). "Plants of the Genus *Zingiber* as a Source of Bioactive Phytochemicals: From Tradition to Pharmacy," *Molecules*, vol.

- 2 2 , no. 1 2 , doi: 10.3390/molecules22122145.
- [15] F. Aala, U. K. Yusuf, R. Nulit, and S. Rezaie. (2014). "Inhibitory effect of allicin and garlic extracts on growth of cultured hyphae," (in eng), *Iran J Basic Med Sci*, vol. 17, no. 3. [Online]. Available: <https://pubmed.ncbi.nlm.nih.gov/24847416>  
<https://www.ncbi.nlm.nih.gov/pmc/articles/PMC4016684/>.
- [16] E. Abdallah. (2017). "Potential Antifungal Activity of Fresh Garlic Cloves (*Allium sativum* L.) from Sudan," *Journal of Biotechnology Research*, vol. 3.
- [17] D. Musa. (1970). "Antifungal Activity of Garlic (*Allium sativum*) Extract on Some Selected Fungi," *Journal of Medicinal Herbs and Ethnomedicine*, doi: 10.25081/jmhe.2018.v4.3383.
- [18] C. Cavallito, J. Buck, and C. Suter. (1994). "Allicin, the antibacterial principle of *Allium sativum*. Determination of the chemical composition," *Journal of the American Chemical Society*, vol. 60.
- [19] C. Chen *et al.* (2018). "Antifungal activity, main active components and mechanism of *Curcuma longa* extract against *Fusarium graminearum*," *PLOS ONE*, vol. 13, no. 3, doi: 10.1371/journal.pone.0194284.
- [20] M. Wuthi-udomlert, W. Gritsanapan, O. Luanratana, and W. Caichompoo. (2000). "Antifungal activity of *Curcuma longa* grown in Thailand," *The Southeast Asian journal of tropical medicine and public health*, vol. 31 Suppl 1.
- [21] A. Khodavandi *et al.* (2013). "Antifungal Activity of Rhizome *coptidis* and *Alpinia galangal* against *Candida* species," *Journal of Pure and Applied Microbiology*, vol. 7.
- [22] J. J. C. Scheffer, A. Gani, and A. Baerheim Svendsen. "Antifungal Activity of *Alpinia glanga*," (in En).
- [23] J. Saniasiaya, R. Salim, I. Mohamad, and A. Harun. (2017). "Antifungal Effect of Malaysian Aloe vera Leaf Extract on Selected Fungal Species of Pathogenic Otomycosis Species in In Vitro Culture Medium," (in eng), *Oman Med J*, vol. 32, no. 1, doi: 10.5001/omj.2017.08.
- [24] A. Haq, Q. Ali, M. S. Rashid, F. Waheed, S. Hayat, and A. Malik. (2020).

"Antibacterial and Antifungal activity of Aloe vera plant," *Life Science Journal*, vol. 17, no. 7.

[25] D. A. J. Starmans and H. H. Nijhuis. (1996). "Extraction of secondary metabolites from plant material: A review," *Trends in Food Science & Technology*, vol. 7, no. 6, doi: [https://doi.org/10.1016/0924-2244\(96\)10020-0](https://doi.org/10.1016/0924-2244(96)10020-0).

[26] S. Pagare, M. Bhatia, N. Tripathi, and Y. K. Bansal. (2015). "Secondary metabolites of plants and their role: Overview," *Current Trends in Biotechnology and Pharmacy*, vol. 9.

การทดสอบความเที่ยงตรงและความเชื่อมั่นของแบบประเมินการรับรู้  
ทัศนคติ แรงจูงใจ พฤติกรรมการใช้สื่อและการตัดสินใจบริจาคโลหิต  
ของประชากรกลุ่มเจนเนอเรชันวาย ในสถานการณ์  
การระบาดของโรคโควิด-19

VALIDITY AND RELIABILITY OF PERCEIVE ATTITUDE  
MOTIVATION MEDIA BEHAVIOR AND BLOOD DONATION  
DECISION OF GENERATION Y DURING COVID-19 SITUATION

กฤษณิศา นวลตา<sup>1</sup> ปชานนท์ นัน ไทยทวีกุล<sup>2</sup>

<sup>1</sup>นิสิตระดับปริญญาโท สาขาวิชาการจัดการความเสี่ยงและภัยพิบัติ บัณฑิตวิทยาลัย จุฬาลงกรณ์มหาวิทยาลัย  
ปทุมวัน กรุงเทพมหานคร 10330 Email: 6187204920@student.chula.ac.th

<sup>2</sup>ผู้ช่วยศาสตราจารย์ ดร. คณะพยาบาลศาสตร์ จุฬาลงกรณ์มหาวิทยาลัย ปทุมวัน กรุงเทพมหานคร 10330  
Email: Pachanut.t@chula.ac.th

### บทคัดย่อ

การศึกษาครั้งนี้มีวัตถุประสงค์เพื่อตรวจสอบความ  
เที่ยงตรงและความเชื่อมั่นของแบบประเมินการรับรู้  
ทัศนคติ แรงจูงใจ พฤติกรรมการใช้สื่อและการ  
ตัดสินใจบริจาคโลหิตของประชากรกลุ่มเจนเน  
อเรชันวาย ในสถานการณ์การระบาดของโรคโควิด-  
19 โดยมีค่าดัชนีความเที่ยงตรง 0.83, 0.83, 0.86,  
0.81 และ 0.80 (ตามลำดับ) ความเชื่อมั่นของแบบ  
ประเมินมีค่าสัมประสิทธิ์อัลฟาของครอนบาค 0.85,  
0.84, 0.89, 0.80 และ 0.91 (ตามลำดับ) ดังนั้น แบบ  
ประเมินมีความเที่ยงตรงและความเชื่อมั่นสำหรับ  
นำมาศึกษาใช้กับประชากรกลุ่มเจนเนอเรชันวาย ใน  
กรุงเทพมหานคร ในสถานการณ์การระบาดของ  
โรคโควิด-19

**คำสำคัญ:** ความเที่ยงตรง, ความเชื่อมั่น, การรับรู้  
ทัศนคติ, แรงจูงใจ, พฤติกรรมการใช้สื่อ, การ  
ตัดสินใจ, บริจาคโลหิต, เจเนอเรชันวาย, โรคโควิด-  
19

### Abstract

This study aims to verify the validity and reliability  
of Perceive Attitude Motivation Media Behavior  
and Blood Donation Decision of Generation Y  
During COVID-19 Situation. Content Validity  
Index with the averaged of 0.83, 0.83, 0.86, 0.81  
and 0.80 respectively. The Cronbach's Alpha  
coefficient with the averaged 0.85, 0.84, 0.89, 0.80  
and 0.91 respectively. Summary this survey is  
validity and reliability to study Generation Y in  
Bangkok During COVID-19 Situation.

**Keywords:** Validity, reliability, Perceive, Attitude,  
Motivation, Media Behavior, Decision, Blood  
Donation, Generation Y, COVID-19

### 1. บทนำ

โรคอุบัติใหม่โควิด-19 ถือเป็นโรคระบาด  
ใหม่ที่ส่งผลกระทบต่ออวัยวะระบบต่างๆของ

ร่างกาย โดยเชื่อได้มีการแพร่จากคนสู่คนอย่างรวดเร็วและต่อเนื่อง ส่งผลกระทบต่อประชากรทั่วโลก และยังคงส่งผลกระทบต่อระบบการจัดการทางด้านสาธารณสุข ไม่ว่าจะเป็นการจัดการด้านทรัพยากรบุคคล และอื่นๆ

ทรัพยากรสำคัญอย่างหนึ่ง ที่มีความจำเป็นต้องใช้และสามารถช่วยชีวิตผู้ป่วยที่ต้องเข้ารับการรักษาพยาบาล ในช่วงการระบาดของโรคโควิด-19 ได้ คือ โลหิต แต่จากภาวะวิกฤต ณ.ปัจจุบันส่งผลกระทบต่อจำนวนประชาชนที่มาบริจาคโลหิตลดน้อยลงอย่างชัดเจน ส่งผลให้เกิดปัญหาขาดแคลนโลหิตอย่างหนักในหลายประเทศ [1] เช่นเดียวกับในประเทศไทย จำนวนผู้บริจาคโลหิตลดลงอย่างต่อเนื่อง จนเกิดเป็นวิกฤติขาดแคลนโลหิตอย่างหนัก ส่งผลกระทบต่อผู้ป่วยที่ต้องใช้โลหิตในการผ่าตัด รวมทั้งผู้ป่วยโรคเลือดที่จำเป็นต้องใช้โลหิตเป็นประจำ [2] ในเดือนมีนาคม-พฤษภาคม 2563 พบว่าจำนวนผู้มาบริจาคโลหิตที่ศูนย์บริการโลหิตแห่งชาติลดลงร้อยละ 23 ภาคบริการโลหิตแห่งชาติลดลงร้อยละ 27 และสาขาบริการโลหิตแห่งชาติลดลงร้อยละ 57 ซึ่งส่งผลให้จำนวนโลหิตสำรองคลังลดลงและขาดแคลนในบางสัปดาห์ [3] อีกทั้งหลายหน่วยงานที่ได้นัดหมายล่วงหน้าในการจัดกิจกรรมบริจาคโลหิตแจ้งยกเลิกจำนวนมาก เนื่องจากมีการเฝ้าระวังการเข้าพื้นที่เพื่อป้องกันการแพร่ระบาด ทำให้จำนวนการบริจาคโลหิตลดลงต่อเนื่อง จนบางช่วงในแต่ละเดือนไม่ถึงวันละ 1,000 ยูนิต จากเป้าหมาย 2,000 – 2,500 ยูนิตต่อวัน [4] ซึ่งส่งผลกระทบต่อผู้ป่วยที่จำเป็นต้องใช้โลหิตในการรักษาอย่างยิ่ง อย่างไรก็ตาม ศูนย์บริการโลหิตแห่งชาติ สภากาชาดไทย ก็ได้พยายามหาแนวทางการรับมือ โดยการสื่อสารแก่ประชาชนในการสร้างความมั่นใจที่จะมาบริจาคโลหิต ให้เป็นสถานที่ปลอดภัยจากโรคโควิด-19 ทั้งด้านสถานที่ ด้านอุปกรณ์การรับบริจาคโลหิต การ

สร้างความรู้ ความเข้าใจ การคัดกรองตนเองก่อนการบริจาคโลหิต เพื่อธรรงค์ให้ประชาชนที่มีสุขภาพร่างกายแข็งแรง มีคุณสมบัติและมีอายุที่อยู่ในเกณฑ์ที่สามารถบริจาคได้มาบริจาคโลหิต [5] รวมไปถึงการใช้มาตรการเชิงรุก และการสื่อสารทางตรง โดยการรับบริจาคนอกสถานที่ ณ ที่พักอาศัยให้กับประชาชนที่สามารถรวมกลุ่มได้ตรงตามจำนวนที่กำหนด [6] และการสื่อสารทางตรง โดยการส่งข้อความหาประชาชนโดยตรงจากระบบฐานข้อมูลผู้ที่เคยมาบริจาคโลหิต ผลจากการธรรงค์ ประชาสัมพันธ์การรับบริจาคโลหิตของศูนย์บริการโลหิตแห่งชาติ สภากาชาดไทย ทำให้มีประชาชนจำนวนมากเห็นความสำคัญของการบริจาคโลหิตเพื่อช่วยเหลือชีวิตผู้ป่วย ส่งผลให้มีปริมาณโลหิตเพิ่มขึ้นบ้างแต่ก็ยังไม่เพียงพอกับความต้องการ[2]

ในปัจจุบันสถานการณ์โลกและประเทศไทย กลุ่มประชากรเจนเอเรชั่นวาย ที่เกิดตั้งแต่ปี พ.ศ. 2523 – 2540 เป็นกลุ่มคนรุ่นใหม่ (New Generation) ที่มีจำนวนมากที่สุด โดยปัจจุบันกลุ่มประชากรเจนเอเรชั่นวาย มีจำนวนกว่า 2 พันล้านคน คิดเป็นสัดส่วนร้อยละ 32 ของประชากรโลก หรือคิดเป็นประมาณหนึ่งในสามของประชากรโลกทั้งหมด และมีแนวโน้มว่าในอนาคตกลุ่มคนเจนเอเรชั่นวายจะยังคงมีจำนวนขนาดใหญ่กว่าเจนเอเรชั่นอื่นๆ [7] สำหรับประเทศไทยจำนวนกลุ่มคนเจนเอเรชั่นวาย มีแนวโน้มที่คล้ายคลึงกับทั่วโลก คือมีจำนวนกลุ่มคนเจนเอเรชั่นวาย กว่า 19 ล้านคน จากจำนวนประชากรทั้งหมดในประเทศประมาณ 67 ล้านคน [8] คิดเป็นสัดส่วนร้อยละ 28 ของประชากรในประเทศ [9] โดยจากข้อมูลทางสถิติพบว่าในกรุงเทพมหานครมีจำนวนประชากรกลุ่มเจนเอเรชั่นวาย ทั้งหมด 1,443,716 คน [10] จากการศึกษาวิจัยกับพัฒนาการของมนุษย์ พบว่าประชากรที่มีอายุอยู่ในช่วง 18-35 ปี ถือเป็นวัย

ผู้ใหญ่ตอนต้น (กลุ่มเจนเอเรชั่นวาย) ที่มีการพัฒนาทางร่างกายอย่างเต็มที่ทั้งเพศหญิงและเพศชาย โดยพัฒนาการทางด้านร่างกาย สามารถทำได้อย่างสมบูรณ์เต็มที่ และมีประสิทธิภาพสูงสุดเมื่ออายุ 20-30 ปี โดยระบบหัวใจและหลอดเลือด จะมีประสิทธิภาพสูงสุดเมื่ออายุ 20-30 ปี หลังจากนั้นจะเริ่มลดลงเรื่อยๆ ปีละ 0.7% [11] ดังนั้น การได้รับบริจาคโลหิตจากประชากรกลุ่มคนรุ่นใหม่หรือเจนเอเรชั่นวาย ที่มีอายุอยู่ในช่วงของวัยผู้ใหญ่ตอนต้น จึงมีความสำคัญอย่างยิ่งในการบริจาคโลหิตในอนาคต เนื่องจากเป็นกลุ่มประชากรที่มีจำนวนมากที่สุดในปัจจุบันและมีความสมบูรณ์ของร่างกายเหมาะสมแก่การบริจาคโลหิต

การศึกษาปัจจัยที่สัมพันธ์กับการตัดสินใจบริจาคโลหิตของประชากรกลุ่มเจนเอเรชั่นวาย ในกรุงเทพมหานคร ในสถานการณ์การระบาดของโรคโควิด-19 จึงเป็นแนวทางหนึ่งที่จะช่วยแก้ไขปัญหาการขาดแคลนโลหิตได้และจากการทบทวนวรรณกรรม พบว่า ความรู้ การรับรู้ ทักษะคิด แรงจูงใจ ความกังวลต่อการระบาดของโรคโควิด-19 พฤติกรรมการใช้สื่อ มีความสัมพันธ์กับการตัดสินใจบริจาคโลหิต ดังนั้น ผู้วิจัยจึงสนใจศึกษา ปัจจัยเหล่านี้ต่อการตัดสินใจในการบริจาคโลหิตและได้พัฒนาแบบประเมินต่างๆพร้อมทั้งหาค่าความเที่ยงตรงและความเชื่อมั่นของเครื่องมือเพื่อให้ได้เครื่องมือที่มีความน่าเชื่อถือสำหรับนำมาใช้ประเมินการตัดสินใจต่อไป (ในบทความวิจัยนี้เป็นส่วนหนึ่งในการศึกษาวิทยานิพนธ์ เรื่อง ปัจจัยที่ส่งผลต่อการตัดสินใจบริจาคโลหิตของประชากรกลุ่มเจนเอเรชั่นวาย ในกรุงเทพมหานคร ในสถานการณ์การระบาดของโรคโควิด-19 ผู้วิจัย

จึงได้นำเสนอความตรง ความเที่ยงของเครื่องมือบางส่วนเท่านั้น)

## 2. วัสดุและวิธีการ

กลุ่มตัวอย่าง คือ ประชากรกลุ่มเจนเอเรชั่นวาย ในเขตของกรุงเทพมหานคร จำนวน 30 คน ที่มีคุณสมบัติตามกลุ่มตัวอย่าง

เครื่องมือที่ใช้ในการเก็บรวบรวมข้อมูลมี 8 ส่วน (ขอนำเสนอเพียง 6 ส่วน) ดังนี้

ส่วนที่ 1 แบบสอบถามข้อมูลทั่วไป จำนวน 10 ข้อ ได้แก่ อายุ เพศ ศาสนา ระดับการศึกษา อาชีพ รายได้ โรคประจำตัว และประวัติการบริจาคโลหิต ผู้วิจัยเป็นผู้พัฒนาเอง

ส่วนที่ 2 แบบประเมินการรับรู้เกี่ยวกับการบริจาคโลหิต โดยผู้วิจัยพัฒนาจากแบบสอบถามการรับรู้เกี่ยวกับการบริจาคโลหิตของ ดวงนภา อินทรสงเคราะห์ [12] ประกอบด้วยข้อคำถามจำนวน 11 ข้อ เป็นมาตรฐานประมาณค่า 5 ระดับ คือ เห็นด้วยอย่างยิ่ง เห็นด้วย ไม่แน่ใจ ไม่เห็นด้วย ไม่เห็นด้วยอย่างยิ่ง โดยมีทั้งคำถามเชิงบวกและเชิงลบ

ส่วนที่ 3 แบบประเมินทัศนคติเกี่ยวกับการบริจาคโลหิต โดยผู้วิจัยพัฒนาจากแบบสอบถามทัศนคติในการบริจาคโลหิตของ เชาวศิลป์ ยูชัย [13] ประกอบด้วยข้อคำถามจำนวน 7 ข้อ เป็นมาตรฐานประมาณค่า 5 ระดับ คือ เห็นด้วยอย่างยิ่ง เห็นด้วย ไม่แน่ใจ ไม่เห็นด้วย ไม่เห็นด้วยอย่างยิ่ง โดยมีทั้งคำถามเชิงบวกและเชิงลบ

ส่วนที่ 4 แบบประเมินแรงจูงใจเกี่ยวกับการบริจาคโลหิต โดยผู้วิจัยพัฒนาจากแบบสอบถามแรงจูงใจในการบริจาคโลหิตของ เชาวศิลป์ ยูชัย

[13] ประกอบด้วยข้อคำถามจำนวน 17 ข้อ เป็นมาตรส่วนประมาณค่า 5 ระดับ คือ เห็นด้วยอย่างยิ่ง เห็นด้วย ไม่แน่ใจ ไม่เห็นด้วย ไม่เห็นด้วยอย่างยิ่ง โดยมีทั้งคำถามเชิงบวกและเชิงลบ

ส่วนที่ 5 แบบประเมินพฤติกรรมการใช้สื่อเกี่ยวกับการบริจาคโลหิต ประกอบด้วย รูปแบบการใช้สื่อ และความน่าเชื่อถือต่อการใช้สื่อ โดยผู้วิจัยพัฒนาขึ้นเองจากการทบทวนวรรณกรรม ประกอบด้วยข้อคำถามจำนวน 2 ข้อ

ส่วนที่ 6 แบบประเมินการตัดสินใจบริจาคโลหิต วัดการตัดสินใจบริจาคโลหิต โดยเลือกตอบ 3 ระดับ คือ บริจาคโลหิต ไม่บริจาคโลหิต และไม่แน่ใจ โดยผู้วิจัยพัฒนาจากแบบสอบถามการตัดสินใจบริจาคโลหิตของ ดวงนภา อินทรสงเคราะห์ [12] ประกอบด้วยข้อคำถามจำนวน 6 ข้อ

## 2.1 การตรวจสอบคุณภาพของเครื่องมือ

1. การตรวจสอบความตรงตามเนื้อหา (Content validity) แบบประเมิน ทำการตรวจสอบความตรงตามเนื้อหา ความชัดเจน ความเหมาะสมของภาษาที่ใช้ ความถูกต้องของเกณฑ์การให้คะแนนและการแปลความหมาย โดยผู้ทรงคุณวุฒิจำนวน 5 ท่าน

2. การตรวจสอบความเที่ยง (Reliability) นำแบบประเมินที่ตรวจสอบความตรงตามเนื้อหาแล้ว มาตรวจสอบความเที่ยง โดยนำไปทดลองใช้ (Try out) กับบุคคลที่มีคุณสมบัติตามกลุ่มตัวอย่าง แต่ไม่ได้อยู่ในพื้นที่ที่จะเก็บข้อมูล จำนวน 30 คน และนำข้อมูลมาวิเคราะห์ค่าความเชื่อมั่นด้วยวิธีของครอนบาคอัลฟา (Cronbach's Alpha)

## 3. ผลการวิจัย

### 3.1 ข้อมูลทั่วไป

กลุ่มตัวอย่างจำนวน 30 คน อายุเฉลี่ย 32.07 ปี (SD = 5.58) ร้อยละ 60 เป็นเพศหญิง ร้อยละ 90 นับถือศาสนาพุทธ ร้อยละ 46.7 การศึกษาในระดับมัธยมศึกษาตอนปลาย หรือ ปวช. ร้อยละ 73.3 มีอาชีพรับจ้าง ร้อยละ 93.3 รายได้ต่อเดือนตั้งแต่ 10,001 – 50,000 บาท ร้อยละ 93.3 ไม่มีโรคประจำตัว ร้อยละ 60 มีประวัติเคยบริจาคโลหิต ร้อยละ 36.7 เคยบริจาคโลหิต 1 – 15 ครั้ง และ ร้อยละ 43.3 บริจาคโลหิตที่หน่วยรับบริจาคโลหิตเคลื่อนที่ (ตารางที่ 1)

ตารางที่ 1 ลักษณะทั่วไปของกลุ่มตัวอย่าง (n=30)

| ลักษณะทั่วไป       | จำนวน | ร้อยละ |
|--------------------|-------|--------|
| <b>เพศ</b>         |       |        |
| ชาย                | 12    | 40     |
| หญิง               | 18    | 60     |
| <b>เพศทางเลือก</b> |       |        |
|                    | 0     | 0      |
| <b>ศาสนา</b>       |       |        |
| พุทธ               | 27    | 90     |
| คริสต์             | 1     | 3.3    |
| อิสลาม             | 2     | 6.7    |
| อื่นๆ              | 0     | 0      |
| <b>การศึกษา</b>    |       |        |
| ประถมศึกษา         | 0     | 0      |
| มัธยมต้น           | 4     | 13.3   |
| มัธยมปลาย          | 14    | 46.7   |
| อนุปริญญา/ปวส.     | 3     | 10     |
| ปริญญาตรี          | 9     | 30     |
| สูงกว่าปริญญาตรี   | 0     | 0      |
| ข้าราชการ          | 3     | 10     |

|                                   |    |      |
|-----------------------------------|----|------|
| <b>อาชีพหลัก</b>                  |    |      |
| พนักงานรัฐวิสาหกิจ                | 4  | 13.3 |
| รับจ้าง                           | 22 | 73.3 |
| ธุรกิจส่วนตัว                     | 1  | 3.3  |
| อื่นๆ                             | 0  | 0    |
| <b>รายได้ต่อเดือน</b>             |    |      |
| ต่ำกว่า 10,000 บาท                | 0  | 0    |
| ตั้งแต่ 10,001-50,000 บาท         | 28 | 93.3 |
| ตั้งแต่ 50,000-100,000 บาท        | 2  | 6.7  |
| 100,000 บาท ขึ้นไป                | 0  | 0    |
| <b>โรคประจำตัว</b>                |    |      |
| ไม่มีโรคประจำตัว                  | 28 | 93.3 |
| มีโรคประจำตัว                     | 2  | 6.7  |
| <b>ประวัติการบริจาคโลหิต</b>      |    |      |
| เคยบริจาค โลหิต                   | 18 | 60   |
| ไม่เคยบริจาคโลหิต                 | 12 | 40   |
| <b>จำนวนครั้งในการบริจาคโลหิต</b> |    |      |
| บริจาคเป็นครั้งแรก                | 7  | 23.3 |
| 1 – 15 ครั้ง                      | 11 | 36.7 |
| 16 -30 ครั้ง                      | 0  | 0    |
| 31 – 45 ครั้ง                     | 0  | 0    |
| 46 – 75 ครั้ง                     | 0  | 0    |
| มากกว่า 75 ครั้ง                  | 0  | 0    |
| <b>สถานที่ที่บริจาคโลหิต</b>      |    |      |
| ศูนย์บริการโลหิตแห่งชาติ          | 0  | 0    |
| หน่วยรับบริจาคโลหิตเคลื่อนที่     | 13 | 43.3 |
| โรงพยาบาลของรัฐ                   | 4  | 13.3 |
| โรงพยาบาลเอกชน                    | 1  | 3.3  |

### 3.2 การตรวจสอบความตรงตามเนื้อหา (Content Validity Index หรือ CVI)

ผลประเมินระดับความเห็นด้วยของผู้เชี่ยวชาญต่อข้อคำถามนั้นๆ มาหาค่าดัชนีความเที่ยงตรงตามเนื้อหา (Content Validity Index หรือ

CVI) เพื่อตรวจสอบคุณภาพของเครื่องมือ โดยกำหนดว่า ต้องมากกว่า 0.80 [14] (ตารางที่ 2)

**ตารางที่ 2** ค่าดัชนีความเที่ยงตรงตามเนื้อหา (Content Validity Index หรือ CVI)

| แบบประเมิน                | (Content Validity Index หรือ CVI) |
|---------------------------|-----------------------------------|
| 1. การรับรู้              | 0.83                              |
| 2. ทักษะคิด               | 0.83                              |
| 3. แรงจูงใจ               | 0.86                              |
| 4. พฤติกรรมการใช้สื่อ     | 0.81                              |
| 5. การตัดสินใจบริจาคโลหิต | 0.80                              |

จากตารางที่ 2 แบบประเมินการรับรู้ ทักษะคิด แรงจูงใจ พฤติกรรมการใช้สื่อ การตัดสินใจบริจาคโลหิตมีค่าดัชนีความเที่ยงตรงตามเนื้อหา (Content Validity Index หรือ CVI) เท่ากับ 0.83, 0.83, 0.86, 0.81 และ 0.80 (ตามลำดับ) โดยผู้วิจัยได้มีการปรับแก้และเพิ่มข้อคำถามตามคำแนะนำของผู้เชี่ยวชาญเพื่อให้ข้อคำถามสอดคล้องกับทฤษฎีและเนื้อหาที่เกี่ยวข้อง นอกจากนี้ยังได้ทำการปรับภาษาในข้อคำถามบางข้อให้มีความเหมาะสมกับความเข้าใจ

### 3.3. การหาความเชื่อมั่น (Reliability)

เมื่อนำผลประเมินที่ได้มาทดสอบหาความสอดคล้องภายใน (Internal consistency reliability) ได้ค่า Cronbach's Alpha coefficient และ ค่า Corrected Item-total correlation รายข้อ (ตารางที่ 3)



ตารางที่ 3 ค่า Cronbach's Alpha coefficient และ ค่า Corrected Item-total correlation รายข้อ

| แบบประเมิน                     | Cronbach's Alpha coefficient | Corrected Item-total correlation |
|--------------------------------|------------------------------|----------------------------------|
| 1. การรับรู้                   | 0.85                         | 0.32 – 0.75                      |
| 2. ทักษะคิด                    | 0.84                         | 0.30 – 0.70                      |
| 3. แรงจูงใจ                    | 0.89                         | 0.28 – 0.71                      |
| 4. พฤติกรรมการใช้สื่อ          | 0.80                         | 0.00 – 0.58                      |
| 5. การตัดสินใจ<br>ปรึกษาโลกहित | 0.91                         | 0.53– 0.90                       |

จากตารางที่ 3 พบว่า

1. แบบประเมินการรับรู้ ทดสอบหาความสอดคล้องภายใน (Internal consistency reliability) ได้ค่า Cronbach's Alpha coefficient = 0.85 มีค่า Corrected Item -total correlation รายข้ออยู่ในช่วง 0.32 – 0.75

2. แบบประเมินทักษะคิดทดสอบหาความสอดคล้องภายใน (Internal consistency reliability) ได้ค่า Cronbach's Alpha coefficient = 0.84 มีค่า Corrected Item-total correlation รายข้ออยู่ในช่วง 0.30 – 0.70

3. แรงจูงใจทดสอบหาความสอดคล้องภายใน (Internal consistency reliability) ได้ค่า Cronbach's Alpha coefficient = 0.89 มีค่า Corrected Item-total correlation รายข้ออยู่ในช่วง 0.28 – 0.71

4. พฤติกรรมการใช้สื่อทดสอบหาความสอดคล้องภายใน (Internal consistency reliability) ได้ค่า Cronbach's Alpha coefficient = 0.80 มีค่า Corrected Item-total correlation รายข้ออยู่ในช่วง 0.00 - 0.58

5. การตัดสินใจปรึกษาโลกहितทดสอบหาความสอดคล้องภายใน (Internal consistency reliability) ได้ค่า Cronbach's Alpha coefficient = 0.91 มีค่า Corrected Item-total correlation รายข้ออยู่ในช่วง 0.53 – 0.90

## 6. สรุปผลการศึกษาวิจัย

จากตารางที่ 2 พบว่า ค่าดัชนีความเที่ยงตรงตามเนื้อหา (Content Validity Index หรือ CVI) แบบประเมินการรับรู้ การทักษะคิด แรงจูงใจ พฤติกรรมการใช้สื่อและการตัดสินใจปรึกษาโลกहित มีค่าความเที่ยงตรงเชิงเนื้อหามากกว่า .80 ซึ่งหมายถึงว่า แบบประเมินนี้มีตรงตามเนื้อหา น่าเชื่อถือ และเหมาะสมในการนำไปใช้ต่อไป

จากตารางที่ 3 พบว่า ค่า Cronbach's Alpha coefficient ของแบบประเมินทุกชุดมีค่ามากกว่า .80 สอดคล้องกับงานวิจัยของ Murphy และ Davidshofer [15] ได้อธิบาย เกี่ยวกับการแปลผลค่าความเชื่อถือได้ของเครื่องมือว่า หากเครื่องมือมีค่าความเชื่อถือได้ตั้งแต่ 0.71 – 1.00 แสดงว่า เครื่องมือนั้นมีความเที่ยงตรงสูง ดังนั้น แบบประเมินการรับรู้ ทักษะคิด แรงจูงใจ พฤติกรรมการใช้สื่อ และการตัดสินใจปรึกษาโลกहित มีความเหมาะสมเพื่อนำไปศึกษาวิจัย เรื่อง ปัจจัยที่ส่งผล

ต่อการตัดสินใจบริจาคโลหิตของประชากรกลุ่มเจเนอเรชันวาย ในกรุงเทพมหานคร ในสถานการณ์การระบาดของโรคโควิด-19 ต่อไป

## 7. กิตติกรรมประกาศ

ขอขอบคุณผู้เชี่ยวชาญทั้ง 5 ท่าน ได้แก่ ดร.ปัทมา ตันวัฒนะ ผู้ช่วยศาสตราจารย์ ดร.เพ็ญนภา แดงด้อมยุทธ์ ผู้ช่วยศาสตราจารย์ พันตำรวจเอกหญิง ดร.สุชฤดี รัชชกุลการสกุล ผู้ช่วยศาสตราจารย์ ดร.พิมาน วีระรัตนสุนทร และนางคะนิงนิจ จันทรทิน ที่ให้ความอนุเคราะห์เป็นผู้เชี่ยวชาญตรวจสอบคุณภาพเครื่องมือในการวิจัย

## เอกสารอ้างอิง

- [1] World Health Organization [WHO]. (2021). *Announcing world blood donor day 2021* [Online]. Available: <https://www.who.int/>. [Accessed: Apr. 20, 2021].
- [2] National Blood Centre, The Thai Red Cross Society. (2020). *PLUS 1: Increase the number of times, add blood stocks, and add your chances of survival* [Online]. Available: <https://www.redcross.or.th>. [Accessed: Nov. 2, 2020].
- [3] The Thai Society of Hematology. (n.d.). *Blood donation in the COVID-19 era*, [Online]. Available: <http://tsh.or.th>. [Accessed: Nov. 2, 2020].
- [4] National Blood Centre, The Thai Red Cross Society. (2020). *The Red Cross Thai society plan for the blood donation units nationwide to safety from COVID-19* [Online]. Available: <https://www.redcross.or.th>. [Accessed: Nov. 2, 2020].
- [5] S. Kulapsri. (2020). Joint blood treatment to help COVID-19 patients. *Blood Transfusion Services News*, 11(3), 1.
- [6] M. Chaivoraporn, and S. Piekkhantod. (2014). Management guidelines to promote blood donation. *Journal of Hematology and Transfusion Medicine*, 24(4), 325-328.
- [7] Economic Intelligence Center [EIC], Siam Commercial Bank. (2014). *Insight strategies for Gen Y consumer*. Bangkok: EIC SCB.
- [8] Central Registration Office, Department of Provincial Administration, Thailand. (2019). Announcement of the Central Registration Office regarding the number of citizens throughout the Kingdom According to the evidence of civil registration: *Government gazette* (Vol. 136, Special Section no. 36 d): pp. 32-34, Bangkok, Thailand.
- [9] Thai health project. (2016). 12 indicators for Thai people of different generations. In *Thai health people* (pp. 8-9). Nakhon Phathom: Institute for Population and Social Research, Mahidol University.

- [10] Central Registration Office, Department of Provincial Administration. (2020). *Registration statistics system information in 2020*. Bangkok: Central Registration Office, Department of Provincial Administration.
- [11] K. Kasemsuk, and U. Boonbunjob. (2018). Health promotion of early adulthood development: nurses' important role. *Royal Thai Air Force Medical Gazette*, 64(3), 101-107.
- [12] D. Intonsongkhro. (2012). *Blood donation decision in Bangkok*. Master's Thesis, Faculty of Public Health, Mahidol University.
- [13] C. Yuchai. (2011). *Factor affecting blood donation of donors at regional centre X Thai red cross society Chiang Mai Province*. Master's Thesis, Graduate School, Chiangmai University.
- [14] D. F. Polit, and C. T. Beck (2012). *Nursing research. Generating and assessing evidence for nursing practice* (9<sup>th</sup> ed.). Philadelphia, PA: Lippincott, Williams &Wilkins.
- [15] K. R. Murphy, and C. O. Davidshofer. (1998). *Psychological testing*. New Jersey: Prentice Hall.

**ผลของฤทธิ์ต้านอนุมูลอิสระจากแบคทีเรียสังเคราะห์แสง  
และการประยุกต์ใช้ในจิ้งหรีด ปลากัดไทย และมะเขือเทศ**  
**Effect of antioxidant activity from photosynthetic bacteria  
and the applications in cricket, Siamese fighting fish, and tomato**

จารุกิตต์ จันทร์งาม<sup>1</sup> ภูณลิขต์ สัมมามิตร<sup>2</sup> เขตแดน นูนคาน<sup>3</sup> ศุภกฤต วรธนะกุลกิจ<sup>4</sup>  
ปฏิภาณ เสือเปรม<sup>5</sup> พงศ์พันธุ์ คงปราโมทย์<sup>6</sup> ชนณสิทธิ์ ทรัพย์พึ่ง<sup>7</sup> อภิวัฒน์ คงเนียม<sup>8</sup>  
พงศธร หล่อฐานันท์<sup>9</sup> ณัฐคนัย เมืองพระฝาง<sup>10</sup> จรรย์ยานพรัตน์<sup>11</sup> กำไร วรนุช<sup>12</sup>  
สมภพ พิณใจ<sup>13\*</sup>

<sup>1</sup>คณะพยาบาลศาสตร์ วิทยาลัยพยาบาลบรมราชชนนี พุทธชินราช พิษณุโลก 65000 Email:  
jarukit60@bcnb.ac.th

<sup>2</sup>ภาควิชาการบัญชี คณะบริหารธุรกิจ มหาวิทยาลัยเชียงใหม่ เชียงใหม่ 50200 Email:  
phunalitsummamit@gmail.com

<sup>3</sup> Faculty of medicine and surgery, Capital medical university, Beijing, China, 100069

<sup>4</sup>สาขาวิชาวิทยาศาสตร์การอาหารและโภชนาการ คณะเทคโนโลยีและนวัตกรรมผลิตภัณฑ์การเกษตร  
มหาวิทยาลัยศรีนครินทรวิโรฒ องครักษ์ นครนายก 26120 Email: Supakit.4710@gmail.com

<sup>5</sup>ภาควิชาภาษาอังกฤษ คณะมนุษยศาสตร์ มหาวิทยาลัยนเรศวร พิษณุโลก 65000 Email:  
gameswift13@gmail.com

<sup>6</sup>วิทยาลัยการศึกษา มหาวิทยาลัยพะเยา พะเยา 56000 Email: phongphan5958@gmail.com

<sup>7</sup>ภาควิชาเคมี คณะวิทยาศาสตร์ มหาวิทยาลัยเชียงใหม่ เชียงใหม่ 50200 Email: chonnasit17@gmail.com

<sup>8</sup>คณะสาธารณสุขศาสตร์ มหาวิทยาลัยนเรศวร พิษณุโลก 65000

<sup>9</sup>ภาควิชาภาษาอังกฤษ คณะมนุษยศาสตร์ มหาวิทยาลัยนเรศวร พิษณุโลก 65000

<sup>10</sup>คณะรัฐศาสตร์และรัฐประศาสนศาสตร์ มหาวิทยาลัยเชียงใหม่ เชียงใหม่ 50200

<sup>11</sup>สำนักงานคณบดี คณะวิทยาศาสตร์และเทคโนโลยีสุขภาพ มหาวิทยาลัยนวมินทราธิราช คูสิิด  
กรุงเทพมหานคร 10300 Email: Junya@nmu.ac.th

<sup>12</sup>ภาควิชาการศึกษาทั่วไป คณะวิทยาศาสตร์และเทคโนโลยีสุขภาพ มหาวิทยาลัยนวมินทราธิราช คูสิิด  
กรุงเทพมหานคร 10300 Email: kamrai.w29@gmail.com

<sup>13\*</sup>หลักสูตรเทคโนโลยีชีวภาพ คณะวิทยาศาสตร์ จุฬาลงกรณ์มหาวิทยาลัย

ปทุมวัน กรุงเทพมหานคร 10330 Email: kunpop3579@hotmail.com (Corresponding author)

**บทคัดย่อ**

แบคทีเรียสังเคราะห์แสงเป็นแหล่งรวม  
ของรงควัตถุหลายชนิด โดยเฉพาะแบคทีเรีย โอ

คลอโรฟิลล์ที่มีประสิทธิภาพในการต้านอนุมูล  
อิสระ การคัดเลือกเชื้อจากพื้นที่เกษตรกรรม พบ  
เชื้อแบคทีเรีย จำนวน 12 ไอโซเลท จากการศึกษา

ความสามารถในการต้านอนุมูลอิสระและปริมาณแบคทีเรียโคลิกโลโรฟิลล์พบว่ามีความสัมพันธ์กันที่  $R = 0.95$  โดยเชื้อแบคทีเรียที่มีความสามารถในการต้านอนุมูลอิสระสูงและต่ำถูกเลือกเพื่อทำการทดสอบในจิ้งหรีด ปลากัดไทย และต้นอ่อนมะเขือเทศ จากผลการศึกษาพบว่า เชื้อแบคทีเรียที่มีความสามารถในการต้านอนุมูลอิสระสูง โดยเฉพาะ ไอโซเลท S3 และ S10 มีความสามารถในการส่งเสริมการวางไข่ในจิ้งหรีด ส่งเสริมการเจริญเติบโตของปลากัดไทย และส่งเสริมการเจริญเติบโตของต้นอ่อนมะเขือเทศ จากหลักฐานเหล่านี้ชี้ให้เห็นว่าแบคทีเรียสังเคราะห์แสงที่มีความสามารถในการต้านอนุมูลอิสระสูงสามารถประยุกต์ใช้ในการส่งเสริมสุขภาพได้ทั้งทางตรงและทางอ้อม

**คำสำคัญ:** สารต้านอนุมูลอิสระ แบคทีเรียสังเคราะห์แสง

## Abstract

Photosynthetic bacteria contain several photosynthetic pigments, particularly bacteriochlorophyll which potentially provides antioxidant activity. A total of 12 isolates of photosynthesis bacteria were screened from agricultural area. High correlation between antioxidant activity and total bacteriochlorophyll was found with  $R = 0.95$ . High and low performance isolates were applied in cricket, Siamese fighting fish, and tomato. The results showed that the high antioxidant activity isolates, especially S3 and S10 isolates, enhanced egg fertility in cricket female, body growth in Siamese fighting fish, and plant growth in tomato seedling. These evidence suggested that high performance photosynthetic bacteria with high antioxidant

activity can be applied for direct and indirect health promotion.

**Keywords:** Antioxidant, Photosynthetic bacteria

## 1. บทนำ

แบคทีเรียสังเคราะห์แสงเป็นสิ่งมีชีวิตที่พบได้ทั่วไปในธรรมชาติ มีความสามารถในการสังเคราะห์ด้วยแสงและมีบทบาทในฐานะผู้ผลิตในระบบนิเวศ แบคทีเรียสังเคราะห์แสงถูกนำไปใช้ประโยชน์ในหลายด้าน เช่น การบำบัดน้ำเสีย การส่งเสริมการเจริญของพืช การใช้เป็นอาหารสัตว์ การใช้ในเครื่องสำอางและผลิตภัณฑ์เสริมอาหาร และเนื่องจากแบคทีเรียสังเคราะห์แสงมีความสามารถในการสร้างสารสำคัญหลายชนิด เช่น วิตามินบี1 และ 2 โคเอนไซม์คิวเท็น (coenzyme Q10) และกรดอะมิโนลิวูลินิก (5-aminolevulinic acid; ALA) เป็นต้น [1] นอกจากนี้ภายในเซลล์ของแบคทีเรียสังเคราะห์แสงยังเป็นแหล่งอุดมไปด้วยรงควัตถุ (Pigments) ชนิดต่าง ๆ ที่มีความสำคัญต่อการเก็บเกี่ยวแสง (Light harvesting) ในกระบวนการสังเคราะห์ด้วยแสง โดยเฉพาะแบคทีเรียโคลิกโลโรฟิลล์ (Bacteriochlorophyll) ที่เป็นรงควัตถุสำคัญ มีโครงสร้างเป็นพอร์ไฟริน (Porphyrin structure) คล้ายคลอโรฟิลล์ในพืช ซึ่งทำหน้าที่เป็นศูนย์กลางปฏิกิริยา (Reaction Center) ของแบคทีเรียสังเคราะห์แสง [2, 3] และก็มีความสามารถในการต้านอนุมูลอิสระได้อย่างมีประสิทธิภาพอีกด้วย [4]

สารต้านอนุมูลอิสระ (Antioxidant) เป็นสารที่มีความสามารถในการต้านทานอนุมูลอิสระ (Free radicle) ในร่างกายที่ก่อให้เกิดความเสื่อมของเซลล์และอวัยวะ อันนำไปสู่การเกิดโรคต่างๆ เช่น โรคมะเร็ง โรคหลอดเลือดหัวใจ โรคต่อกระดูก และการแก่ก่อนวัย เป็นต้น [5] ในปัจจุบันสารต้านอนุมูลอิสระจากธรรมชาติเป็นวัตถุดิบหลักเป็นที่ต้องการในการส่งเสริมสุขภาพทั้งทางตรงและ

ทางอ้อม โดยเฉพาะการใช้เชิงอุตสาหกรรม เช่น อุตสาหกรรมอาหาร ผลิตภัณฑ์เสริมอาหาร และเครื่องสำอาง

จากการศึกษาของ Kim และคณะ [4] พบว่าแบคทีเรียโอคคลอโรฟิลล์ที่ได้จากแบคทีเรียสังเคราะห์แสง สายพันธุ์ *Rhodobacter sphaeroides* มีความสามารถในการต้านอนุมูลอิสระได้อย่างมีประสิทธิภาพ ซึ่งมีผลยับยั้งการแก่ก่อนวัยในผิวหนังมนุษย์ ด้วยเหตุนี้ทางคณะผู้วิจัยจึงมีความสนใจในการคัดแยกเชื้อแบคทีเรียสังเคราะห์แสงจากพื้นที่เกษตรกรรมเพื่อศึกษาปริมาณแบคทีเรียโอคคลอโรฟิลล์และประสิทธิภาพในการต้านอนุมูลอิสระ เพื่อทดสอบความสามารถในการประยุกต์ใช้ในการส่งเสริมการเจริญเติบโตของจิ้งหรีด ปลากัดไทย และต้นอ่อนมะเขือเทศ

## 2. เนื้อหาหลัก

### 2.1 วิธีการวิจัย

#### 2.1.1 การเก็บตัวอย่างและการแยกเชื้อบริสุทธิ์

เก็บตัวอย่างดิน และน้ำจากพื้นที่เกษตรกรรมบริเวณ ตำบลท่าโพธิ์ อำเภอเมือง จังหวัดพิษณุโลก ทำการแยกเชื้อบริสุทธิ์ด้วยการใช้ลูปเขี่ยเชื้อจากตัวอย่างลงบนจานอาหารเลี้ยงเชื้อสูตร Glutamate-Malate medium (GM) [6] ด้วยวิธี cross streak ทำการบ่มเชื้อภายในโถแก้วที่ทำการดูดอากาศออกและแทนที่ด้วยก๊าซไนโตรเจน โดยควบคุมความเข้มแสงประมาณ 2,000 Lux ที่อุณหภูมิ 30-35 องศาเซลเซียส เป็นระยะเวลา 3 วัน ทำการแยกเชื้อบริสุทธิ์โดยการเขี่ยเชื้อที่เป็นโคโลนีเดี่ยวลงบนอาหารสูตรเดิม โดยทำการ cross streak อีกหนึ่งครั้งเพื่อให้มั่นใจว่าได้เชื้อบริสุทธิ์ [7]

#### 2.1.2 การเตรียมเชื้อแบคทีเรีย

ทำการเลี้ยงเชื้อแบคทีเรียสังเคราะห์แสงที่แยกได้ในอาหารเหลวสูตร GM ทำการบ่มเชื้อ

ภายใต้สภาวะไร้อากาศ-มีแสง เป็นระยะเวลา 2 วัน เมื่อครบกำหนดทำการวัดค่าดูดกลืนแสง (OD) ที่ 660 นาโนเมตร และทำการเจือจางเชื้อแบคทีเรียให้มีค่า OD<sub>660</sub> ที่ 0.8 คูดเชื้อแบคทีเรียแต่ละไอโซเลท (5%) ลงในอาหารเหลวสูตรเดียวกัน ปริมาตร 100 มิลลิลิตร ทำการเลี้ยงต่อไปในสภาวะเดียวกันเป็นระยะเวลาอีก 2 วัน

#### 2.1.3 การวิเคราะห์แบคทีเรียโอคคลอโรฟิลรวม

ทำการปั่นเหวี่ยงเชื้อแบคทีเรียสังเคราะห์แสงที่ความเร็ว 9,000 rpm เป็นระยะเวลา 10 นาที ทำการสกัดตรงควัดจากตะกอนเซลล์ด้วยสารละลายอะซิโตน ความเข้มข้น 90 เปอร์เซ็นต์ โดยทำการวัดแบคทีเรียโอคคลอโรฟิลรวมด้วยเครื่องวัดการดูดกลืนแสงที่ความยาวคลื่น 771 นาโนเมตร และทำการคำนวณปริมาณแบคทีเรียโอคคลอโรฟิลรวมตามสมการ (1)

ปริมาณแบคทีเรียโอคคลอโรฟิล = ค่าดูดกลืนแสงที่ 771 X 1000 / (76 x ความกว้างของควัดในหน่วยเซนติเมตร x ค่าการเจือจาง) [8] (1)

#### 2.1.4 การทดสอบแอนติออกซิแดนด้วยวิธี DPPH Radical scavenging activity

ทดสอบความสามารถในการต้านอนุมูลอิสระจากสารละลายเหนือตะกอน (Supernatant) และสารสกัดจากตัวเซลล์ (Cell extraction) ของแบคทีเรียสังเคราะห์แสง โดยทำการปั่นเหวี่ยงเชื้อแบคทีเรียสังเคราะห์แสงที่ความเร็ว 9,000 rpm เป็นระยะเวลา 10 นาทีเพื่อแยกส่วนของตะกอนเซลล์ออกจากสารละลายเหนือตะกอน โดยสกัดสารต้านอนุมูลอิสระจากตะกอนเซลล์ด้วยการเติมเมทานอล ปริมาตร 1 มิลลิลิตร บ่มไว้ในที่มืดเป็นระยะเวลา 24 ชั่วโมง

ทำการทดสอบได้โดยการเติมสารละลาย DPPH (0.04 mM DPPH ละลายในเมทานอล) ปริมาตร 2 มิลลิเมตร ผสมกับตัวอย่างทดสอบ 1 มิลลิเมตร ให้เข้ากันและบ่มในที่มืดเป็นเวลา 30 นาที จึงนำไปวัดการดูดกลืนแสงที่ 517 นาโนเมตร จากนั้นทำการคำนวณ % Scavenging activity ตามวิธีการของ Sánchez-Moreno [9] ดังสมการ (2)

$$\% \text{ Activity} = 1 - (A1 - A2) / A0 \times 100 \quad (2)$$

โดยที่ A0 คือ ค่าดูดกลืนแสงชุดควบคุม (อาหารเหลวสูตร GM หรือ เมทานอล)

A1 คือ ค่าดูดกลืนแสงของชุดตัวอย่างทดสอบที่ทำปฏิกิริยากับ DPPH

A2 คือ ค่าดูดกลืนแสงของชุดตัวอย่างทดสอบที่ไม่ได้ทำปฏิกิริยากับ DPPH

### 2.1.5 การทดสอบผลของแบคทีเรียสังเคราะห์แสงต่อการเจริญเติบโตของจิ้งหรีด

นำจิ้งหรีด (*Gryllus bimaculatus*) สายพันธุ์ ทองคำ ระยะ 5 วันที่ได้จากพ่อแม่เดียวกันและขนาดเท่า ๆ กัน เลี้ยงในกล่องพลาสติกโดยให้อาหารไก่สำเร็จรูป เติมน้ำและแบคทีเรียสังเคราะห์แสง ความเข้มข้น 10 เปอร์เซ็นต์ ในน้ำสำหรับเลี้ยงจิ้งหรีด หลังจากเพาะเลี้ยงเป็นเวลา 4 สัปดาห์ วัดความยาว ความกว้างลำตัว และจำนวนไข่

### 2.1.6 การทดสอบผลของแบคทีเรียสังเคราะห์แสงต่อการเจริญของปลาปักไทย

นำลูกปลาปักไทย (*Betta splendens*) เพศผู้ อายุ 2 เดือน ที่มาจากพ่อแม่เดียวกัน เพาะเลี้ยงปลาปักในขวดแก้วขนาด 1 ลิตร ที่เติมน้ำและแบคทีเรียสังเคราะห์แสง ความเข้มข้น 1 เปอร์เซ็นต์ ลงในน้ำสำหรับเลี้ยงปลาปัก ให้อาหารปลาสำเร็จรูป

ทุกวัน วันละ 1 ครั้ง หลังจากเพาะเลี้ยงเป็นระยะเวลา 2 เดือน ทำการวัดความยาวและความกว้างของครีบบปลากัด

### 2.1.7 การทดสอบผลของแบคทีเรียสังเคราะห์แสงต่อการเจริญของต้นอ่อนมะเขือเทศ

ทำการฟอกฆ่าเชื้อเมล็ดมะเขือเทศด้วยสารฟอกขาว (ไฮเตอร์, ประเทศไทย) ความเข้มข้น 10 เปอร์เซ็นต์ เป็นเวลา 10 นาที ล้างด้วยน้ำกลั่นหนึ่งฆ่าเชื้อ 3 รอบ และวางเมล็ดที่ฟอกฆ่าเชื้อแล้วลงบนอาหารกึ่งแข็งสูตร Murashige and Skoog medium (MS) [10] ที่เติมสารละลายเห็ดตะกอนของแบคทีเรียสังเคราะห์แสง (ที่ผ่านการกรองผ่านไซริงค์ฟิวเตอร์ปลอดเชื้อที่มีรูพรุน ขนาด 0.22 ไมโครเมตร) ความเข้มข้น 10 เปอร์เซ็นต์

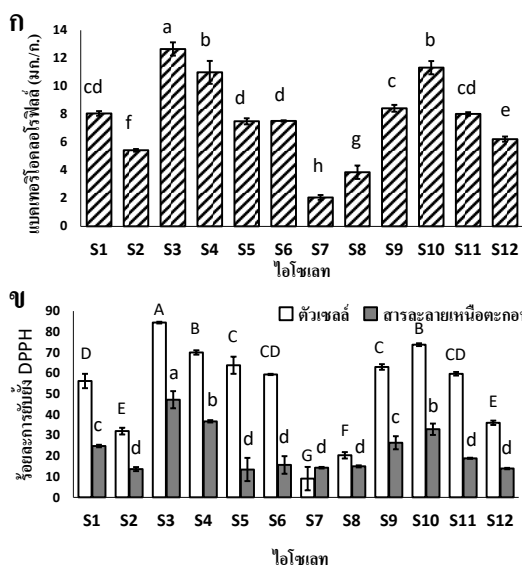
### 2.1.8 การคำนวณและวิเคราะห์ทางสถิติ

การศึกษาในแต่ละการทดลองในรายงานฉบับนี้ได้จากตัวอย่างทดลองอย่างน้อย 3 ตัวอย่าง และรายงานผลการทดลองในรูปแบบค่าเฉลี่ย  $\pm$  ส่วนเบี่ยงเบนมาตรฐาน (Standard deviation) วิเคราะห์ความแปรปรวนทางเดียว (One-Way ANOVA) ด้วยวิธี Duncan's multiple range tests (DMRT) ที่  $P \leq 0.05$

## 2.2 ผลการทดลองและอภิปรายผล

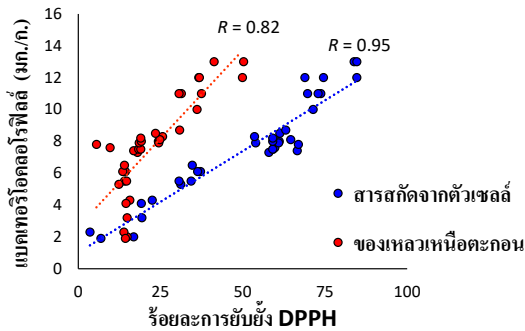
จากการแยกเชื้อบริสุทธิ์ของแบคทีเรียสังเคราะห์แสงที่เก็บได้จากพื้นที่ต่าง ๆ ภายในพื้นที่จังหวัดพิษณุโลก สามารถแยกเชื้อแบคทีเรียสังเคราะห์แสงได้ 12 ไอโซเลท ซึ่งมีความแตกต่างของลักษณะโคโลนีที่เจริญบนอาหารเลี้ยงเชื้อ โดยเมื่อตรวจวัดปริมาณรงควัตถุที่ใช้ในการสังเคราะห์

แสงมีความแตกต่างกันอย่างมีนัยสำคัญทางสถิติ (ภาพที่ 1ก) จากการตรวจวัดแบคทีเรียโคลิกโคโรฟิลล์รวมพบว่า แบคทีเรียโคลิกโคโรฟิลล์ S3 มีปริมาณแบคทีเรียโคลิกโคโรฟิลล์รวมสูงที่สุด (12.66 มิลลิกรัมต่อกรัม) ซึ่งสอดคล้องกับความสามารถในการต่อต้านอนุมูลอิสระด้วยวิธี DPPH Radical scavenging activity (ภาพที่ 1ข) โดยมีร้อยละการยับยั้งสูงถึง 84.42 และ 47.16 ในสารสกัดที่ได้จากตัวเซลล์และสารละลายเหนือตะกอน ตามลำดับ ในทางกลับกันพบว่าโคลิกโคโรฟิลล์ S7 มีปริมาณแบคทีเรียโคลิกโคโรฟิลล์อยู่น้อยเพียง 2.06 มิลลิกรัมต่อกรัม ซึ่งส่งผลให้มีร้อยละการยับยั้ง DPPH เพียง 9.07 และ 14.33 ในสารสกัดที่ได้จากตัวเซลล์และสารละลายเหนือตะกอน ตามลำดับ เมื่อพิจารณา ร่วมกับโคลิกโคโรฟิลล์อื่น ๆ พบว่าปริมาณแบคทีเรียโคลิกโคโรฟิลล์และค่าร้อยละการยับยั้ง DPPH ของสารสกัดที่ได้จากแบคทีเรียสังเคราะห์แสงโคลิกโคโรฟิลล์ต่าง ๆ มีความสัมพันธ์กันอย่างมีนัยสำคัญ (ภาพที่ 2) โดยเฉพาะความสัมพันธ์ในสารสกัดที่ได้จากตัวเซลล์ที่มีค่าสหสัมพันธ์แบบเพียร์สัน (Pearson correlation) สูงถึง  $R = 0.95$  และมีความสัมพันธ์รองลงมาในสารสกัดที่ได้จากของเหลวเหนือตะกอน ที่  $R = 0.82$  ซึ่งสอดคล้องกับการศึกษาของ Kim และคณะ [4] ที่พบว่าแบคทีเรียโคลิกโคโรฟิลล์มีความสามารถในการต่อต้านอนุมูลอิสระได้ การเพิ่มขึ้นหรือลดลงของปริมาณแบคทีเรียโคลิกโคโรฟิลล์มีผลแปรผันตรงต่อความสามารถในการต้านอนุมูลอิสระที่เปลี่ยนแปลงไป



ภาพที่ 1 ปริมาณแบคทีเรียโคลิกโคโรฟิลล์รวมของแบคทีเรียสังเคราะห์แสงโคลิกโคโรฟิลล์ต่าง ๆ (ก) และความสามารถในการต่อต้านอนุมูลอิสระด้วยวิธี DPPH Radical scavenging activity ของสารสกัดที่ได้จากตัวเซลล์และของเหลวเหนือตะกอนของแบคทีเรียสังเคราะห์แสง (ข) ข้อมูลแสดงค่าเฉลี่ย  $\pm$  ส่วนเบี่ยงเบนมาตรฐาน ( $n = 3$ ) โดยในค่าเดียวกันตัวอักษรที่ต่างกันแสดงความแตกต่างกันอย่างมีนัยสำคัญทางสถิติที่  $P \leq 0.05$  วิเคราะห์โดย DMRT





ภาพที่ 2 ความสัมพันธ์ระหว่างปริมาณเบคเทอรีโอคลอโรฟิลล์และความสามารถในการต่อต้านอนุมูลอิสระด้วยวิธี DPPH Radical scavenging activity ของสารสกัดที่ได้จากตัวเซลล์และของเหลวเหนือตะกอนของแบคทีเรียสังเคราะห์แสง

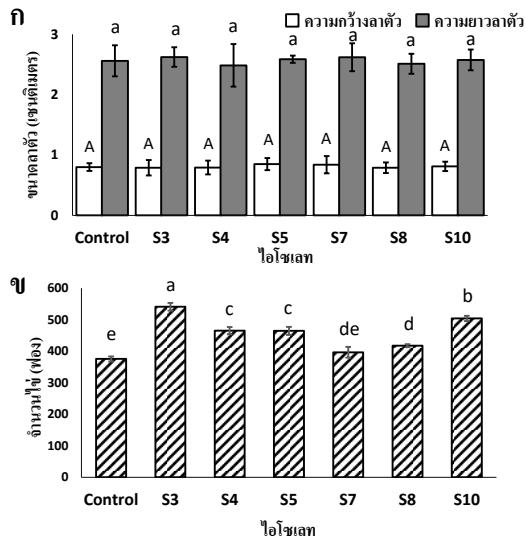
จากปริมาณเบคเทอรีโอคลอโรฟิลล์และความสามารถในการต้านอนุมูลอิสระที่แตกต่างกันในแบคทีเรียสังเคราะห์แสงแต่ละไอโซเลท ผู้วิจัยได้เลือกเชื้อ ไอโซเลท S3 S10 S4 และ S5 เป็นตัวแทนของไอโซเลทที่มีความสามารถในการต่อต้านอนุมูลอิสระในระดับสูง ตามลำดับ และได้คัดเลือกเชื้อ ไอโซเลท S7 และ S8 เป็นตัวแทนของไอโซเลทที่มีสารต้านอนุมูลอิสระในระดับต่ำ เพื่อใช้ในการทดสอบการประยุกต์ใช้แบคทีเรียสังเคราะห์แสงในการส่งเสริมการเจริญเติบโตของจิ้งหรีด ปลากัดไทย และต้นอ่อนมะเขือเทศ ที่อาจเป็นผลมาจากสารต้านอนุมูลอิสระที่ได้จากแบคทีเรียสังเคราะห์แสง

หลังจากเพราะเลี้ยงจิ้งหรีดโดยการให้แบคทีเรียสังเคราะห์แสงลงในน้ำดื่มของจิ้งหรีด

พบว่า การเจริญเติบโตในด้านขนาดความยาวและความกว้างของลำตัวไม่มีการเพิ่มขึ้นอย่างมีนัยสำคัญทางสถิติ เมื่อเปรียบเทียบกับชุดควบคุม (Control) (ภาพที่ 3ก) แต่อย่างไรก็ตามพบว่า การเลี้ยงจิ้งหรีดโดยให้แบคทีเรียสังเคราะห์แสงมีผลต่อปริมาณการผลิตไข่ของจิ้งหรีดอย่างเห็นได้ชัด โดยพบว่า การเติมเชื้อแบคทีเรียสังเคราะห์แสงในกลุ่มที่มีความสามารถต้านอนุมูลอิสระสูงสามารถเพิ่มปริมาณไข่ของจิ้งหรีดได้ถึงร้อยละ 23.69 – 44.01 เมื่อเปรียบเทียบกับชุดควบคุม โดยไอโซเลท S3 สามารถกระตุ้นให้จิ้งหรีดผลิตไข่ได้สูงสุดถึง 541.00 ฟอง ซึ่งมากกว่าชุดควบคุมที่ผลิตไข่ได้เพียง 375.67 ฟองเท่านั้น ในขณะที่การเติมเชื้อกลุ่มที่มีความสามารถต้านอนุมูลอิสระในระดับต่ำทำให้ปริมาณไข่เพิ่มขึ้นได้เพียงร้อยละ 5.59-11.18 เท่านั้น (รูปภาพที่ 3ข)

จากการศึกษาของ Sharma และคณะ [11] พบว่า ปริมาณและชนิดของสารต้านอนุมูลอิสระมีผลต่อการเจริญเติบโตของหนอนกระทู้ โดยเฉพาะการเพิ่มปริมาณการวางไข่ของหนอนกระทู้ ซึ่งสอดคล้องกับการศึกษาในครั้งนี้โดยแบคทีเรียไอโซเลทที่มีการสร้างสารต้านอนุมูลอิสระในปริมาณสูงมีผลต่อการวางไข่ของจิ้งหรีดมากกว่าการให้แบคทีเรียกลุ่มที่มีสารต้านอนุมูลอิสระในระดับต่ำ แต่เนื่องจากการศึกษานี้มีการให้แบคทีเรียแก่จิ้งหรีดในปริมาณน้อย จึงอาจยังไม่เพียงพอต่อการส่งเสริมการเจริญของขนาดตัวจิ้งหรีดได้ โดยสารต้านอนุมูลอิสระน่าจะมีส่วนสำคัญในการลดการสะสมของอนุมูลอิสระออกซิเจน (Reactive oxygen

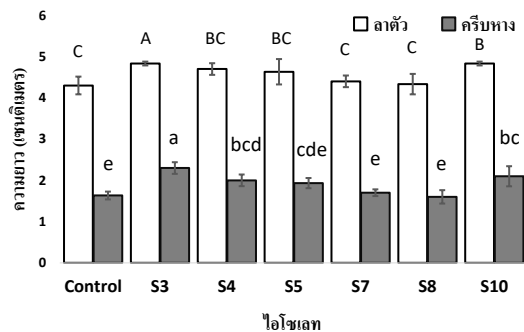
species หรือ ROS) ที่ส่งผลทางลบต่อการเจริญและ พัฒนาของแมลง [12]



**ภาพที่ 3** การเจริญเติบโตของจิ้งหรีดที่ถูกเลี้ยงด้วย แแบคทีเรียสังเคราะห์แสงไอโซเลทต่าง ๆ โดยแสดง ความกว้างและความของลำตัว (ก) และจำนวนไข่ ของจิ้งหรีด (ข) ค่าเฉลี่ย  $\pm$  ส่วนเบี่ยงเบนมาตรฐาน ( $n = 10$ ) โดยในค่าเดียวกันตัวอักษรที่แตกต่างกัน แสดงความแตกต่างกันอย่างมีนัยสำคัญทางสถิติที่  $P \leq 0.05$  วิเคราะห์โดย DMRT

จากการทดสอบโดยการเติมแบคทีเรียสังเคราะห์แสงลงในน้ำสำหรับเพาะเลี้ยงปลากัดไทยเป็นระยะเวลา 8 สัปดาห์ พบว่า การเติมแบคทีเรียที่มีปริมาณสารต้านอนุมูลอิสระที่แตกต่างกันส่งผลต่อการเจริญเติบโตของปลากัดไทย (ภาพที่ 4) โดยแบคทีเรียในกลุ่มที่มีสารต้านอนุมูลอิสระ

ในระดับสูง (S3 S10 และ S4) สามารถเพิ่มความยาวของลำตัวและครีบกางได้อย่างมีนัยสำคัญทางสถิติเมื่อเปรียบเทียบกับชุดควบคุม ในขณะที่ไม่พบการเพิ่มขึ้นอย่างมีนัยสำคัญในการเติมไอโซเลท S7 และ S8 ที่มีความสามารถต้านอนุมูลอิสระได้ในระดับต่ำ ซึ่งมีอัตราการเจริญเติบโต ไม่แตกต่างกับชุดควบคุมอย่างมีนัยสำคัญทางสถิติ สอดคล้องกับการศึกษา ก่อนหน้านี้พบว่าสารต้านอนุมูลอิสระมีผลส่งเสริมการเจริญของปลานิล โดยส่งผลต่อการลดลงของ ปริมาณ Lipid peroxidation และ Antioxidant enzymes ส่งเสริมระบบภูมิคุ้มกัน รวมถึงการเจริญที่คึกซึ้งของตับและลำไส้ของปลานิลอย่างเห็น ได้ชัด ซึ่งส่งผลต่อการเจริญเติบโตที่เพิ่มมากขึ้นของปลานิลในภาพรวม [13, 14]

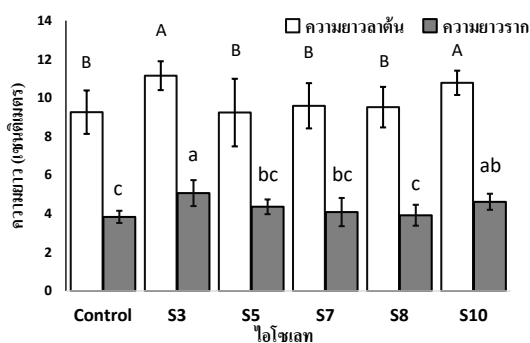


**ภาพที่ 4** ความยาวของลำตัวและครีบกางของปลากัดไทยที่ถูกเลี้ยงด้วยแบคทีเรียสังเคราะห์แสงไอโซเลทต่าง ๆ ข้อมูลแสดงค่าเฉลี่ย  $\pm$  ส่วนเบี่ยงเบนมาตรฐาน ( $n = 3$ ) โดยในค่าเดียวกันตัวอักษรที่แตกต่างกันแสดงความแตกต่างกันอย่างมีนัยสำคัญทางสถิติที่  $P \leq 0.05$  วิเคราะห์โดย DMRT

การทดสอบด้วยการเติมสารละลายเห็ด  
ตะกอนของแบคทีเรียสังเคราะห์แสงไอโซเลทต่าง  
ๆ ลงในอาหารสูตร MS เพื่อเพาะเลี้ยงต้นอ่อน  
มะเขือเทศในสภาพปลอดเชื้อ หลังจาก 1 สัปดาห์  
พบว่าต้นอ่อนมะเขือเทศที่เติมสารละลายเห็ด  
ตะกอนของเชื้อไอโซเลท S3 และ S10 ที่มีสารต้าน  
อนุมูลอิสระในระดับสูง มีความยาวรากและลำต้น  
มากกว่าชุดควบคุมอย่างมีนัยสำคัญทางสถิติ (ภาพที่  
5) โดยในการทดลองนี้พบว่าไอโซเลท S5 ไม่ส่งผล  
ต่อความยาวที่เพิ่มขึ้นของลำต้นและราก อัน  
เนื่องมาจากของเหลวเหนือตะกอนของไอโซเลท S5  
ที่มีปริมาณสารต้านอนุมูลอิสระในปริมาณที่น้อย

จากการศึกษาก่อนหน้าพบว่าแบคทีเรีย  
สังเคราะห์แสงถูกนำไปให้ประโยชน์ในการในการ  
ส่งเสริมการเจริญเติบโตของพืชอย่างแพร่หลาย  
ด้วยความสามารถในการผลิต ALA (5-  
aminolevulinic acid) ที่มีผลต่อการเจริญเติบโตของ  
พืช โดย ALA มีความสามารถในการส่งเสริม  
กระบวนการสังเคราะห์ด้วยแสงในพืช และช่วยให้  
พืชมีความทนทานต่อภาวะเครียดได้ดียิ่งขึ้น [15]  
โดยจากการศึกษาในรายละเอียดพบว่า ALA ส่งผล  
ต่อการลดระดับอนุมูลอิสระในพืช โดยการเพิ่มการ  
ทำงานของเอนไซม์ที่เกี่ยวข้องกับการต้านอนุมูล  
อิสระ [16, 17] นอกจากนั้นสารต้านอนุมูลอิสระ  
แบบอื่นๆ เช่น แคลโรทีนอย วิตามินอี หรือฟลาโวน  
อย เป็นต้น มีประสิทธิภาพในการส่งเสริมการ  
เจริญเติบโตของพืชได้เช่นกัน [18] ด้วยเหตุเหล่านี้  
ผลการเจริญของต้นมะเขือเทศในสภาวะปลอดเชื้อ  
ที่เติมเชื้อแบคทีเรียสังเคราะห์แสงนั้นอาจเป็นผล

ร่วมของการต้านอนุมูลอิสระที่ได้จากแบคทีเรีย  
สังเคราะห์แสง โดยเฉพาะแบคทีเรียโอคโลโรฟิลล์  
ที่มีความสัมพันธ์กับประสิทธิภาพในการต่อต้าน  
อนุมูลอิสระที่พบในระดับสูงในเชื้อไอโซเลท S3  
และ S10 ดังผลการทดลองข้างต้น



ภาพที่ 5 ความยาวรากและลำต้นของต้นมะเขือเทศ  
ที่เติมแบคทีเรียสังเคราะห์ไอโซเลทต่าง ๆ ในสภาพ  
ปลอดเชื้อ ข้อมูลแสดงค่าเฉลี่ย  $\pm$  ส่วนเบี่ยงเบน  
มาตรฐาน (n=10) โดยในค่าเดียวกันตัวอักษรที่  
แตกต่างกันแสดงความแตกต่างกันอย่างมีนัยสำคัญ  
ทางสถิติที่  $P \leq 0.05$  วิเคราะห์โดย DMRT

### 3. สรุป

ประสิทธิภาพการต่อต้านอนุมูลอิสระจาก  
สารสกัดที่ได้จากแบคทีเรียสังเคราะห์แสงไอโซเลท  
ต่าง ๆ มีความสัมพันธ์กับปริมาณแบคทีเรียโอคโล  
โรฟิลล์ และจากการประยุกต์ใช้แบคทีเรียสังเคราะห์  
แสงในการเพาะเลี้ยงจิงหรีด ปลากัดไทย และต้น  
อ่อนมะเขือเทศ พบว่าแบคทีเรียสังเคราะห์แสงมีผล  
ต่อการวางไข่ที่เพิ่มขึ้นของจิงหรีด การเจริญเติบโต  
ของปลากัดไทย และส่งผลต่อพัฒนาของรากและลำ

ต้นของต้นอ่อนมะเขือเทศ โดยพบว่าเชื้อแบคทีเรียสังเคราะห์แสง ไอโซเลท S3 และ S10 มีความเหมาะสมในการประยุกต์ใช้มากที่สุด ซึ่งสอดคล้องกับปริมาณสารต้านอนุมูลอิสระที่มีอยู่ในปริมาณมากที่สุดด้วย จึงสามารถนำไปประยุกต์ใช้ในด้านอื่น ๆ เช่น การเติมในอาหาร เครื่องสำอาง อาหารเสริมสุขภาพ หรืออาจใช้ในด้านการศึกษาเพื่อผลิตอาหารที่มีผลดีต่อสุขภาพในทางอ้อม

#### 4. กิตติกรรมประกาศ

ทีมผู้วิจัยขอขอบพระคุณ ดร.สงกรานต์ เชื้อครุฑ และ ผศ.ดร.คงศักดิ์ พร้อมเทพ ที่ได้ให้คำแนะนำตลอดระยะเวลาการทำการวิจัย และขอขอบพระคุณ คุณอนัญญา แก้วพินิจ คุณสมฤทัย จินด้าง คุณพิศกุล คำภิระปาวงศ์ คุณอภิวิทย์ มาศขรัตน์ คุณสมศรี สวนเศรษฐ และกลุ่มสาระวิทยาศาสตร์ โรงเรียนพิชญ์โลกพิทยาคม ที่ช่วยสนับสนุนอุปกรณ์และสถานที่วิจัยจนทำให้งานวิจัยนี้สำเร็จลุล่วงไปได้ด้วยดี

#### เอกสารอ้างอิง

- [1] K. Sasaki, T. Tanaka, and S. Nagai, "Use of photosynthetic bacteria for the production of SCP and chemicals from organic wastes," in *Bioconversion of Waste Materials to Industrial Products*, A. M. Martin Ed. Boston, MA: Springer US, 1998, pp. 247-292.
- [2] T. N. Kropacheva and A. J. Hoff, "Electrochemical Oxidation of Bacteriochlorophyll a in Reaction Centers and Antenna Complexes of

Photosynthetic Bacteria," *The Journal of Physical Chemistry B*, vol. 105, no. 23, pp. 5536-5545, 2001/06/01 2001, doi: 10.1021/jp003381b.

- [3] Y. Saga *et al.*, "Selective oxidation of B8 0 0 bacteriochlorophyll a in photosynthetic light-harvesting protein LH2," *Sci Rep*, vol. 9, no. 1, p. 3636, Mar 6 2019, doi: 10.1038/s41598-019-40082-y.
- [4] N. Y. Kim, T. B. Yim, and H. Y. Lee, " Skin Anti-Aging Activities of Bacteriochlorophyll a from Photosynthetic Bacteria, *Rhodobacter sphaeroides*," *J Microbiol Biotechnol*, vol. 25, no. 10, pp. 1589-98, Oct 2015, doi: 10.4014/jmb.1503.03080.
- [5] V. Lobo, A. Patil, A. Phatak, and N. Chandra, "Free radicals, antioxidants and functional foods: Impact on human health," (in eng), *Pharmacogn Rev*, vol. 4, no. 8 , pp. 1 1 8 - 1 2 6 , 2 0 1 0 , doi: 10.4103/0973-7847.70902.
- [6] J. Lascelles, "The synthesis of porphyrins and bacteriochlorophyll by cell suspensions of *Rhodopseudomonas spheroides*," (in eng), *Biochem J*, vol. 62, no. 1 , pp. 7 8 - 9 3 , Jan 1 9 5 6 , doi: 10.1042/bj0620078.

- [7] ศ. เชื้อครุฑ, เซลล์อืดเม็ดตามธรรมชาติ จากแบคทีเรียสังเคราะห์แสงน้ำเค็มสายพันธุ์ใหม่. กรุงเทพฯ : มหาวิทยาลัยเกษตรศาสตร์, 1995.
- [8] Q. Zhou, P. Zhang, and G. Zhang, "Biomass and carotenoid production in photosynthetic bacteria wastewater treatment: Effects of light intensity," *Bioresource Technology*, vol. 171, pp. 330-335, 2014/11/01/ 2014, doi: <https://doi.org/10.1016/j.biortech.2014.08.088>.
- [9] C. Sánchez-Moreno, "Review: Methods Used to Evaluate the Free Radical Scavenging Activity in Foods and Biological Systems," *Food Science and Technology International*, vol. 8, no. 3, pp. 121-137, 2002/06/01 2002, doi: 10.1106/108201302026770.
- [10] T. Murasnige and F. Skoog, "A revised medium for rapid growth and bio assays with tohaoco tissue cultures," *Physiol. plant*, vol. 15, no. 3, pp. 473-497, 1962.
- [11] K. Sharma, J. Sridhar, and R. Sharma, "Effect of dietary antioxidants on growth and development of Taro caterpillar, *Spodoptera litura* (Fab.)," 2018.
- [12] C. B. Summers and G. W. Felton, "Prooxidant effects of phenolic acids on the generalist herbivore *Helicoverpa zea* (Lepidoptera: Noctuidae): Potential mode of action for phenolic compounds in plant anti-herbivore chemistry," *Insect Biochemistry and Molecular Biology*, vol. 24, no. 9, pp. 943-953, 1994/10/01/ 1994, doi: [https://doi.org/10.1016/0965-1748\(94\)90023-X](https://doi.org/10.1016/0965-1748(94)90023-X).
- [13] E. A. Abd El-Gawad and A. M Abd El-latif, "Enhancement of Antioxidant Activity, Non-specific Immunity and Growth Performance of Nile Tilapia, *Oreochromis Niloticus* by Dietary Fructooligosaccharide," *Journal of Aquaculture Research & Development*, vol. 07, no. 05, 2016, doi: 10.4172/2155-9546.1000427.
- [14] R. E. Ibrahim *et al.*, "Influence of vitamin C feed supplementation on the growth, antioxidant activity, immune status, tissue histomorphology, and disease resistance in Nile tilapia, *Oreochromis niloticus*," *Aquaculture Reports*, vol. 18, p. 100545, 2020 / 11 / 01 / 2020, doi: <https://doi.org/10.1016/j.aqrep.2020.100545>.
- [15] Y. Wu *et al.*, "5 - Aminolevulinic Acid (ALA) Alleviated Salinity Stress in Cucumber Seedlings by Enhancing

- Chlorophyll Synthesis Pathway," (in English), *Frontiers in Plant Science*, Original Research vol. 9, no. 635, 2018-May-15 2018, doi: 10.3389/fpls.2018.00635.
- [16] Y. P. Sun, Z. P. Zhang, and L. J. Wang, "Promotion of 5 - aminolevulinic acid treatment on leaf photosynthesis is related with increase of antioxidant enzyme activity in watermelon seedlings grown under shade condition," *Photosynthetica*, vol. 47, no. 3, p. 347, 2009/11/11 2009, doi: 10.1007/s11099-009-0055-y.
- [17] A. Zhen, Z. L. Bie, Y. Huang, Z. X. Liu, and M. L. Fan, "Effects of 5 - aminolevulinic acid on the H<sub>2</sub>O<sub>2</sub>-content and antioxidative enzyme gene expression in NaCl-treated cucumber seedlings," *Biologia Plantarum*, vol. 56, no. 3, pp. 566-570, 2012/09/01 2012, doi: 10.1007/s10535-012-0118-y.
- [18] M. Ashraf, "Biotechnological approach of improving plant salt tolerance using antioxidants as markers," *Biotechnol Adv*, vol. 27, no. 1, pp. 84-93, Jan-Feb 2009, doi: 10.1016/j.biotechadv.2008.09.003.

การทดสอบความเที่ยงตรงและความเชื่อมั่นของแบบประเมิน  
การปฏิบัติบทบาทของอาสาสมัครสาธารณสุขในการจัดการภัยพิบัติ  
ช่วงสถานการณ์การระบาดของโรคโควิด-19

VALIDITY AND RELIABILITY OF PERFORMANCE ON  
DISASTER MANAGEMENT OF VILLAGE HEALTH  
VOLUNTEERS'ROLE WITH EPIDEMIC COVID-19

ธนชัย วีระวัฒนานันท์<sup>1</sup> ปชานนท์ นันไทยทวิกุล<sup>2</sup>

<sup>1</sup> นิสิตระดับปริญญาโท สาขาวิชาการจัดการความเสี่ยงและภัยพิบัติ บัณฑิตวิทยาลัย จุฬาลงกรณ์มหาวิทยาลัย

ปทุมวัน กรุงเทพมหานคร 10330 Email: 6187265120@student.chula.ac.th

<sup>2</sup> ผู้ช่วยศาสตราจารย์ ดร. คณะพยาบาลศาสตร์ จุฬาลงกรณ์มหาวิทยาลัย ปทุมวัน กรุงเทพมหานคร 10330

Email: Pachanut.t@chula.ac.th

### บทคัดย่อ

การศึกษานี้มีวัตถุประสงค์เพื่อตรวจสอบความเที่ยงตรงและความเชื่อมั่นของแบบสอบถามการปฏิบัติบทบาทของอาสาสมัครสาธารณสุขในการจัดการภัยพิบัติ ช่วงสถานการณ์การระบาดของโรคโควิด-19 หาด้านความเที่ยงตรงเชิงเนื้อหาโดยผู้ทรงคุณวุฒิ 5 ท่าน เท่ากับ 0.9 จากนั้นนำไปทดสอบหาความเชื่อมั่นกับอาสาสมัครสาธารณสุขที่ปฏิบัติงานช่วงสถานการณ์การระบาดของโรคโควิด-19 ในเขตหนองจอก กรุงเทพมหานคร จำนวน 30 คน ค่าความค่าสัมประสิทธิ์อัลฟ่าของครอนบาคเท่ากับ 0.91 ดังนั้น แบบประเมินนี้มีความเที่ยงตรงและมีความเชื่อมั่นสำหรับการนำมาศึกษาต่อไป

**คำสำคัญ:** ความเที่ยงตรง, ความเชื่อมั่น, โควิด-19, อาสาสมัครสาธารณสุข, การปฏิบัติบทบาท

### Abstract

This study aims to verify the validity and reliability of Performance on disaster Management of Village

Health Lolunteers'Role with Epidermic COVID-19. Content Validity Index of the were evaluated by 5 experts with the average CVI of 0.9 The Cronbach's Alpha coefficient reliability study were then undertaken in a sample group of 30 people in Nongchok, Bangkok with the average of 0.91 Summary this survey is validity and reliability to study.

**Keywords:** Validity, Reliability, COVID-19, Health Volunteers, Performance

### 1. บทนำ

จากสถานการณ์การระบาดของโรคอุบัติใหม่โควิด-19 ได้ส่งผลกระทบต่อระบบสาธารณสุขและสุขภาพของประชาชนในประเทศไทย โดยโรคโควิด-19 คือ โรคติดต่อซึ่งเกิดจากไวรัสโคโรนาชนิดที่มีการค้นพบล่าสุด ไวรัสและโรคอุบัติใหม่นี้ไม่เป็นที่รู้จัก ก่อนที่จะมีการระบาดในเมืองอุฮั่น

ประเทศจีนในเดือนธันวาคมปี 2019 ซึ่งในขณะนี้ โควิด-19 ได้มีการระบาดอย่างต่อเนื่อง ส่งผลกระทบแก่หลายประเทศทั่วโลก [1]

ประเทศไทย นับถึงสิ้นเดือนธันวาคม 2563 ประเทศไทยพบผู้ติดเชื้อโควิด-19 อย่างน้อย 6,884 คน เสียชีวิตแล้วอย่างน้อย 61 คน [2] ซึ่งน้อยกว่าที่หลายฝ่ายหวั่นเกรงกันในช่วงต้นเดือนที่ตัวเลขผู้ติดเชื้อรายใหม่เพิ่มขึ้นเรื่อย ๆ ในแต่ละวัน เมื่อประกอบกับสถิติผู้ที่รักษาหายจำนวนมากก็ทำให้ระบบสาธารณสุขของประเทศไทยยังสามารถรองรับสถานการณ์นี้ได้อยู่ อย่างไรก็ดี ไม่ได้มีแค่ประเทศไทยที่ต้องเผชิญหน้ากับเชื้อโควิด-19 และคิดค้นมาตรการขึ้นมารับมือ ระหว่างที่สังคมโลกกำลังเผชิญหน้ากับวิกฤตการณ์นี้เช่นเดียวกัน แต่ละประเทศก็ตัดสินใจใช้ แนวนโยบายที่แตกต่างกัน บางประเทศอาจใช้นโยบายแบบ "อำนาจนิยม" เช่น จีน สหรัฐอาหรับเอมิเรตส์ ที่เน้นการควบคุมพฤติกรรมประชาชน ด้วยการออกกฎหมายมาสั่งห้ามอย่างเด็ดขาด ซึ่งย่อมสร้างผลกระทบต่อเสรีภาพ เศรษฐกิจ ชีวิตความเป็นอยู่ และผลกระทบทางสังคมในระยะยาว ขณะเดียวกันบางประเทศเลือกใช้นโยบายแบบ "เสรีนิยม" ที่เน้นให้ความสำคัญกับสิทธิเสรีภาพ พยายามคงสภาพการใช้ชีวิตให้ปกติเท่าที่เป็นไปได้ และลดผลกระทบทางสังคมให้น้อย แต่ก็อาจแลกมาด้วยจำนวนผู้ติดเชื้อที่สูง [3]

จากข้อมูลในปี พ.ศ. 2562 รายงาน Global Health Security Index จัดอันดับให้ประเทศไทยเป็นอันดับ 6 ของประเทศที่มีความมั่นคงด้านสาธารณสุขสูงสุด โดยมี 3 องค์ประกอบย่อยที่ติด 5 อันดับแรก คือ การป้องกันโรค การตอบสนองที่เร็ว และระบบสาธารณสุขที่เข้มแข็ง [4] รวมถึงได้มีการจัดให้ประเทศไทยเป็นอันดับ 1 ที่มีดัชนีการฟื้นตัวจากสถานการณ์การแพร่ระบาดของโรคโควิด-19 จาก 184 ประเทศทั่วโลก [4] และยังได้รับคำชมจาก

องค์การอนามัยโลก (WHO) และนานาชาติว่าสามารถรับมือกับโรคโควิด-19 ได้ดี จากการที่มีระบบดูแลสุขภาพในระดับครอบครัวที่ดี จากการทำงานของอาสาสมัครสาธารณสุขประจำหมู่บ้าน (อสม.) ซึ่งเป็นกลุ่มทำงานกลุ่มหนึ่งที่มีบทบาทสำคัญในการปฏิบัติการงานรับมือกับโรคโควิด-19 ในครั้งนี้ [5]

อสม.หรือ อาสาสมัครสาธารณสุขประจำหมู่บ้าน คือ บุคคลที่ได้รับการคัดเลือกจากชาวบ้านในแต่ละกลุ่มบ้านและได้รับการอบรมตามหลักสูตรที่กระทรวงสาธารณสุขกำหนด โดยมีบทบาทหน้าที่สำคัญในฐานะผู้นำการเปลี่ยนแปลงด้านพฤติกรรมสุขภาพอนามัย (Change agents) การสื่อสารสาธารณสุข การแนะนำเผยแพร่ความรู้ การวางแผนและประสานกิจกรรมพัฒนาสาธารณสุข ตลอดจนให้บริการสาธารณสุขด้านต่าง ๆ เช่น การส่งเสริมสุขภาพ การเฝ้าระวังและป้องกันโรค การช่วยเหลือและรักษาพยาบาลขั้นต้น โดยใช้ยาและเวชภัณฑ์ตามขอบเขตที่กระทรวงสาธารณสุขกำหนด การส่งต่อผู้ป่วยไปรับบริการการฟื้นฟูสุขภาพ และการคุ้มครองผู้บริโภคด้านสุขภาพ [6]

จากความสำเร็จในการรับมือกับการระบาดของโรคโควิด-19 แสดงให้เห็นถึงระบบสุขภาพที่มีความเข้มแข็ง [7] ซึ่งอาสาสมัครสาธารณสุขประจำหมู่บ้าน ถือเป็นส่วนหนึ่งของระบบสาธารณสุขที่มีหน้าที่ค้นหา ป้องกันและติดตาม โดยเริ่มจากการคัดกรองในระดับหมู่บ้าน เน้นการให้ความรู้ ข้อมูล และคำแนะนำในการป้องกันเกี่ยวกับโรคโควิด-19 กับประชาชนในแต่ละหมู่บ้านโดยตรง ส่งผลให้ประเทศไทยมีการควบคุมการระบาดได้ดีกว่าในหลายๆประเทศ [8] โดยในประเทศไทยมีจำนวนอาสาสมัครสาธารณสุขประจำหมู่บ้านทั้งหมด 1,040,000 คน และอาสาสมัครสาธารณสุขกรุงเทพมหานครอีก 15,000 คน [9] โดยทำงานร่วมกับเจ้าหน้าที่ในท้องถิ่น ปฏิบัติหน้าที่



ออกเคาะประตูบ้านของประชาชนในแต่ละหลังคาเรือน เพื่อให้ความรู้ และ ความสำคัญกับมาตรการการเว้นระยะห่าง [10] ซึ่งนับว่าเป็นพลังฮีโร่เงียบสู้โรคโควิด-19 และยังเป็นตัวอย่างให้กับหลายประเทศใช้เป็นแนวทางในการควบคุมโรคได้เป็นอย่างดี [7] โดยบทบาทของอสม.จะมุ่งเน้นไปยังกลุ่มเป้าหมายที่เป็นกลุ่มเสี่ยง โดยทำงานร่วมกับเจ้าหน้าที่โรงพยาบาลส่งเสริมสุขภาพตำบล ซึ่งจะทำให้งานควบคุมและป้องกันโรคในระดับชุมชนมีประสิทธิภาพ เนื่องจาก อสม.เป็นผู้ที่เข้าถึงข้อมูลข่าวสาร ความเคลื่อนไหว ในระดับครัวเรือนได้เป็นอย่างดี ทำให้การคัดกรองกลุ่มเสี่ยงเพื่อเข้าสู่ระบบรักษาเร็ว [9]

จากผลของการที่ประเทศไทยสามารถควบคุมโรคได้ในระดับต้นๆของโลก ซึ่งแสดงถึงการปฏิบัติงานที่มีประสิทธิภาพของสาธารณสุขไทยและบุคคลที่เป็นกลไกสำคัญคือกลุ่มอาสาสมัครสาธารณสุขประจำหมู่บ้าน (อสม.) [8] ซึ่งในสถานการณ์การระบาดของโรคโควิด-19 ได้ส่งผลกระทบต่อเศรษฐกิจและสังคม [11] การดำเนินชีวิตของประชาชนในประเทศที่เปลี่ยนแปลงไป ในสภาวะการณ์ที่ไม่แน่นอนและมีความเสี่ยงต่อการระบาดของโรคโควิด-19 ซึ่งเป็นต้นเหตุของการเจ็บป่วยและเสียชีวิต ซึ่งอาสาสมัครสาธารณสุขประจำหมู่บ้าน เป็นประชาชนกลุ่มหนึ่งที่มีหน้าที่และความสำคัญต่อระบบสาธารณสุขฐานรากที่เข้มแข็งของประเทศ เป็นกำลังสำคัญและผู้ให้การช่วยเหลือสนับสนุนเพื่อให้ชุมชนสามารถพึ่งตนเองในด้านสุขภาพได้ จากภาระงานที่หนัก ความยากลำบากในการปฏิบัติหน้าที่ ความเสี่ยงต่อสุขภาพที่เพิ่มมากขึ้นกว่าสถานการณ์ปกติและภาระหน้าที่รับผิดชอบในการปฏิบัติงาน เพื่อเป้าหมายในการควบคุมและป้องกันการระบาดของผู้ติดเชื้อ ดังนั้น ผู้วิจัยจึงสนใจที่จะศึกษาถึงการปฏิบัติบทบาทของอาสาสมัครสาธารณสุขในการ

จัดการภัยพิบัติ ช่วงสถานการณ์การระบาดของโรคโควิด-19 ในอำเภอบางน้ำเปรี้ยว จังหวัดฉะเชิงเทรา เพื่อประโยชน์ต่อการหารูปแบบการดำเนินงานเฝ้าระวังโรคดังกล่าวหรือโรคอุบัติใหม่ในชุมชนได้อย่างมีประสิทธิภาพและเป็นรูปธรรมต่อไปในอนาคต

## 2 วัตถุประสงค์และวิธีการ

กลุ่มตัวอย่าง คือ อาสาสมัครสาธารณสุขที่ปฏิบัติงานช่วงสถานการณ์การระบาดของโรคโควิด-19 ในเขตหนองจอก กรุงเทพมหานคร จำนวน 30 คนที่มีคุณสมบัติตามกลุ่มตัวอย่าง

เครื่องมือที่ใช้ในการเก็บรวบรวมข้อมูลมี 2 ส่วน ดังนี้

ส่วนที่ 1 ข้อมูลส่วนบุคคล ได้แก่ เพศ อายุ ระดับการศึกษา สถานภาพ รายได้ อาชีพ ประสบการณ์ในการทำงานในตำแหน่งอาสาสมัครสาธารณสุข ซึ่งผู้วิจัยเป็นผู้สร้างขึ้น

ส่วนที่ 2 แบบสอบถามที่เกี่ยวกับการปฏิบัติบทบาทของอาสาสมัครสาธารณสุขในการจัดการภัยพิบัติช่วงสถานการณ์การระบาดของโรคโควิด-19 ซึ่งพัฒนาโดยผู้วิจัย โดยแบบสอบถามมีทั้งหมด 29 คำถาม ประกอบไปด้วย 4 ด้าน ได้แก่ ด้านการส่งเสริมสุขภาพ 2 ข้อ ด้านการป้องกันและควบคุมโรค 22 ข้อ ด้านการรักษาพยาบาล 3 ข้อ และด้านการฟื้นฟูสุขภาพ 2 ข้อ

### 2.1 การตรวจสอบคุณภาพของเครื่องมือ

1.การตรวจสอบความตรงตามเนื้อหา (Content validity) แบบสอบถามทำการตรวจสอบความตรงตามเนื้อหา ความชัดเจน ความเหมาะสมของภาษาที่ใช้ ความถูกต้องของเกณฑ์การให้

คะแนนและการแปลความหมาย โดยผู้ทรงคุณวุฒิ จำนวน 5 ท่าน

2. การตรวจสอบความเที่ยง (Reliability) นำแบบสอบถามที่ตรวจสอบความตรงตามเนื้อหา แล้ว มาตรวจสอบความเที่ยงของแบบวัด โดยนำไปทดลองใช้ (Try out) กับบุคคลที่มีคุณสมบัติตามกลุ่มตัวอย่างแต่ไม่ได้อยู่ในพื้นที่ที่จะเก็บข้อมูล จำนวน 30 คน และนำข้อมูลมาวิเคราะห์ค่าความเชื่อมั่นด้วยวิธีของครอนบาคอัลฟา (Cronbach's Alpha)

### 3. ผลการวิจัย

#### 3.1 ข้อมูลทั่วไป

กลุ่มตัวอย่างจำนวน 30 คน อายุเฉลี่ย 59.63 ปี (SD = 9.80) ร้อยละ 70 เป็นเพศหญิง ร้อยละ 60 การศึกษาในระดับต่ำกว่ามัธยมศึกษาตอนปลาย ร้อยละ 70 มีสถานภาพเป็นสมรส/อยู่ด้วยกัน ร้อยละ 53.3 มีรายได้เฉลี่ยต่ำกว่า 5,000 บาทต่อเดือน ร้อยละ 36.7 มีอาชีพรับจ้าง ร้อยละ 70 มีประสบการณ์ในการเป็นอาสาสมัครสาธารณสุขมากกว่า 3 ปีขึ้นไป (ตารางที่ 1)

ตารางที่ 1 ลักษณะทั่วไปของกลุ่มตัวอย่าง (n=30)

| ลักษณะทั่วไป             | จำนวน | ร้อยละ |
|--------------------------|-------|--------|
| <b>เพศ</b>               |       |        |
| ชาย                      | 9     | 30.0   |
| หญิง                     | 21    | 70.0   |
| <b>ระดับการศึกษา</b>     |       |        |
| ต่ำกว่ามัธยมศึกษาตอนปลาย | 18    | 60.0   |

|                        |   |      |
|------------------------|---|------|
| มัธยมศึกษาตอนปลาย/ปวช. | 7 | 23.3 |
| ปวส. หรืออนุปริญญา     | 1 | 3.3  |
| ปริญญาตรี              | 3 | 10.0 |
| ปริญญาโทขึ้นไป         | 1 | 3.3  |

| สถานภาพสมรส           |    |      |
|-----------------------|----|------|
| โสด                   | 4  | 13.3 |
| คู่/อยู่ด้วยกัน       | 21 | 70.0 |
| หม้าย/หย่า/แยกกันอยู่ | 5  | 16.7 |

| รายได้เฉลี่ยต่อเดือน      |    |      |
|---------------------------|----|------|
| ต่ำกว่า 5,000 บาท         | 16 | 53.3 |
| 5,001-10,000 บาท          | 8  | 26.7 |
| 10,001-15,000 บาท         | 2  | 6.7  |
| 15,001-20,000 บาท         | 1  | 3.3  |
| 20,001-25,000 บาท         | 0  | 0.0  |
| มากกว่า 25,000 บาท ขึ้นไป | 3  | 10.0 |

| อาชีพ          |    |      |
|----------------|----|------|
| ไม่ประกอบอาชีพ | 2  | 6.7  |
| รับจ้าง        | 11 | 36.7 |
| ธุรกิจส่วนตัว  | 4  | 13.3 |
| เกษตรกร/ประมง  | 7  | 23.3 |
| อื่นๆ          | 6  | 20.0 |

| ประสบการณ์ในการเป็นอาสาสมัครสาธารณสุข |    |      |
|---------------------------------------|----|------|
| น้อยกว่า 1 ปี                         | 0  | 0.0  |
| มากกว่า 1 ปี ถึง 2 ปี                 | 4  | 13.3 |
| มากกว่า 2 ปี ถึง 3 ปี                 | 5  | 16.7 |
| มากกว่า 3 ปีขึ้นไป                    | 21 | 70.0 |

#### 3.2 การตรวจสอบความตรงตามเนื้อหา (Content Validity Index หรือ CVI)

ผลประเมินระดับความเห็นด้วยของผู้เชี่ยวชาญต่อข้อคำถามนั้นๆ มาหาค่าดัชนีความเที่ยงตรงตามเนื้อหา (Content Validity Index หรือ CVI) เพื่อตรวจสอบคุณภาพของเครื่องมือ โดยกำหนดว่า ต้องมากกว่า .80 [12] โดยแบบสอบถามการปฏิบัติบทบาทของอาสาสมัครสาธารณสุขใน

การจัดการภัยพิบัติ ช่วงสถานการณ์การระบาดของโรคโควิด-19 มีค่าดัชนีความเที่ยงตรงตามเนื้อหา (Content Validity Index หรือ CVI) เท่ากับ 0.9 โดยผู้วิจัยได้มีทำการปรับภาษาในข้อคำถามบางข้อตามคำแนะนำของผู้เชี่ยวชาญให้ตรงกับเนื้อหาและนิยามเชิงปฏิบัติการ

### 3.3. การหาความเชื่อมั่น (Reliability)

เมื่อนำผลประเมินที่ได้มาทดสอบหาความสอดคล้องภายใน (Internal consistency reliability) ได้ค่า Cronbach's Alpha coefficient และ ค่า Corrected Item-total correlation พบว่าแบบประเมินการปฏิบัติบทบาทของอาสาสมัครสาธารณสุขในการจัดการภัยพิบัติ ช่วงสถานการณ์การระบาดของโรคโควิด-19 ได้ค่า Cronbach's Alpha coefficient = 0.91 และ มีค่า Corrected Item -total correlation รายข้ออยู่ในช่วง 0.16 – 0.83 (ตารางที่ 2)

ตารางที่ 2 ค่า Cronbach's Alpha coefficient และ ค่า Corrected Item-total correlation ของแบบประเมินทั้ง 4 ด้าน

| แบบประเมิน                     | Cronbach's Alpha coefficient | Corrected Item-total correlation |
|--------------------------------|------------------------------|----------------------------------|
| 1. ด้าน การส่งเสริมสุขภาพ      | 0.75                         | 0.51-0.70                        |
| 2. ด้าน การป้องกันและควบคุมโรค | 0.91                         | 0.08-0.86                        |
| 3. ด้าน การรักษาพยาบาล         | 0.74                         | 0.51-0.63                        |
| 4. ด้านการฟื้นฟูสภาพ           | 0.79                         | 0.65-0.65                        |
| รวม                            | 0.91                         | 0.16-0.83                        |

จากตารางที่ 2 แบบประเมินการปฏิบัติบทบาทของอาสาสมัครสาธารณสุขในการจัดการภัยพิบัติ ช่วงสถานการณ์การระบาดของโรคโควิด-19 ในเขตหนองจอก กรุงเทพฯ พบว่า

1. ด้านการส่งเสริมสุขภาพ ทดสอบหาความสอดคล้องภายใน (Internal consistency reliability) ได้ค่า Cronbach's Alpha coefficient = 0.75 มีค่า Corrected Item -total correlation รายข้ออยู่ในช่วง 0.51-0.70

2. ด้านการป้องกันและควบคุมโรค ทดสอบหาความสอดคล้องภายใน (Internal consistency reliability) ได้ค่า Cronbach's Alpha coefficient = 0.91 มีค่า Corrected Item -total correlation รายข้ออยู่ในช่วง 0.08-0.86

3. ด้านการรักษาพยาบาล ทดสอบหาความสอดคล้องภายใน (Internal consistency reliability) ได้ค่า Cronbach's Alpha coefficient = 0.74 มีค่า Corrected Item -total correlation รายข้ออยู่ในช่วง 0.51-0.63

4. ด้านการฟื้นฟูสภาพ ทดสอบหาความสอดคล้องภายใน (Internal consistency reliability) ได้ค่า Cronbach's Alpha coefficient = 0.79 มีค่า Corrected Item -total correlation รายข้ออยู่ในช่วง 0.65-0.65

#### 4. สรุปผลการศึกษาวิจัย

ค่าดัชนีความเที่ยงตรงตามเนื้อหา (Content Validity Index หรือ CVI) แบบสอบถามการปฏิบัติบทบาทของอาสาสมัครสาธารณสุขในการจัดการภัยพิบัติ ช่วงสถานการณ์การระบาดของโรคโควิด-19 มีค่าดัชนีความเที่ยงตรงตามเนื้อหา (Content Validity Index หรือ CVI) เท่ากับ 0.9 ซึ่งหมายถึง แบบสอบถามมีความตรงตามเนื้อหาสูงเหมาะสมต่อการนำไปใช้

ค่า Cronbach's Alpha coefficient ของแบบประเมินทั้งหมดมีค่ามากกว่า .90 และเมื่อพิจารณาทางด้าน พบว่า แบบประเมินด้านการส่งเสริมสุขภาพ ด้านการป้องกันและควบคุมโรค ด้านการรักษาพยาบาล และด้านการฟื้นฟูสภาพ มีค่า Cronbach's Alpha coefficient เท่ากับ 0.75, 0.91, 0.74 และ 0.79 ตามลำดับ สอดคล้องกับงานวิจัยของ Murphy & Davidshofer [13] ใค้อธิบาย เกี่ยวกับการแปลผลค่าความเชื่อถือได้ของเครื่องมือว่า หากเครื่องมือมีค่าความเชื่อถือได้ตั้งแต่ 0.71 – 1.00

แสดงว่าเครื่องมือนี้มีความเที่ยงตรงสูง ดังนั้นแบบประเมินการปฏิบัติบทบาทของอาสาสมัครสาธารณสุขในการจัดการภัยพิบัติ ช่วงสถานการณ์การระบาดของโรคโควิด-19 มีความเหมาะสมเพื่อนำไปศึกษาวิจัย เรื่อง การปฏิบัติบทบาทของอาสาสมัครสาธารณสุขในการจัดการภัยพิบัติ ช่วงสถานการณ์การระบาดของโรคโควิด-19 ในอำเภอบางน้ำเปรี้ยว จังหวัดฉะเชิงเทรา ต่อไป

#### 5. กิตติกรรมประกาศ

ขอขอบคุณผู้เชี่ยวชาญทั้ง 5 ท่าน ได้แก่ ผู้ช่วยศาสตราจารย์ พันตำรวจเอกหญิง ดร.สุขฤดี ชัยศฤงคารสกุล นางนภาพิณญ์ จันใด ดร.ปิ่นหทัย สุกเมธพร ดร.ปิ่นจิตา ตันวิฒนะ ผู้ช่วยศาสตราจารย์ ดร.พิมาน ชีระรัตตสุนทร ที่ให้ความอนุเคราะห์เป็นผู้เชี่ยวชาญตรวจสอบคุณภาพเครื่องมือในการวิจัย

#### เอกสารอ้างอิง

- [1] World Health Organization. (2021). *Announcing world blood donor day 2021*[Online]. Available: <https://www.who.int/>. [Accessed: Apr. 20, 2021].
- [2] Center for COVID-19 Situation Administration. (2021). *Coronavirus disease 2019 (COVID-19) at 31<sup>st</sup> December 2020*[Online]. Available: <https://www.media.thaigov.go.th>. [Accessed: Jan. 10, 2020].

- [3] iLaw. (2020). *Compare the measures against COVID in Thailand with that of the world* [Online]. Available: <https://ilaw.or.th/node/> [Accessed: Nov. 5, 2020].
- [4] Nuclear Threat Initiative, and Johns Hopkins Center for Health Security. (2019). *Global Health Security Index 2019: Building collective action and accountability*. Washington, DC: Nuclear Threat Initiative.
- [5] S. Jantapong, T. Tonghui, and K. Sukruang. (2020). *COVID-19 crisis and health economics perspectives* [Online]. Available: <https://www.bot.or.th>. [Accessed: Nov. 5, 2020].
- [6] *Village health volunteer manual* [Online]. (2020). Available: <https://government.icti.co.th> [Accessed: Nov. 5, 2020].
- [7] World Health Organization. (2020). *The Ministry of Public Health and the World Health Organization review Thailand's COVID-19 response* [Online]. Available: <https://www.who.int>. [Accessed: Nov. 5, 2020].
- [8] World Health Organization. (2020). *1 million village health volunteers unsung heroes are helping guard communities nationwide from COVID-19* [Online]. Available: <https://www.who.int>. [Accessed: Nov. 5, 2020].
- [9] Lamphun Public Relations Office. (2020). *Village health volunteer (VHV) knock a door houses that are affected to decrease the number of new patients in upcountry until WHO admire Thailand control COVID-19 so well* [Online]. Available: <https://region3.prd.go.th>. [Accessed: Nov. 5, 2020].
- [10] Y. Yaebkai, and P. Wongsawat. (2020). Main role performances of village health volunteers. *Journal of Phrapokklao Nursing College*, 31(2), 269-275.
- [11] S. Rungrat, S. Maso, and Y. Kadem. (2021). The economic and social impacts from the COVID-19 pandemic toward the people in Yala city municipality Yala Province. *Journal of Social Science and Buddhist Anthropology*, 6(2), 160-174.
- [12] D. F. Polit, and C. T. Beck. (2012). *Nursing research. Generating and assessing evidence for nursing practice* (9<sup>th</sup> ed.). Philadelphia, PA: Lippincott, Williams &Wilkins.
- [13] K. R. Murphy, and C. O. Davidshofer. (1998). *Psychological testing*. New Jersey: Prentice Hall.

# Development of a web-based validating system for improving the nutritional surveillance system in under-five children: A Field-testing in Trang Province, Thailand

Songyos Rajborirug<sup>1</sup>, Tippawan Liabsuetrakul<sup>1</sup>, Tagoon Prapple<sup>1</sup>,  
Panu Pakdeesan<sup>2</sup>

<sup>1</sup>Department of Epidemiology, Faculty of Medicine, Prince of Songkla University,  
Hat Yai, Songkhla, 90110, Thailand.

<sup>2</sup>Dansai Crown Prince Hospital, Muang Loei, Loei, 42120 Thailand

## **Abstract**

A nutritional surveillance system for children under five was implemented in Thailand for years. However, issues of repetitive data entry and data errors detected in this conventional system remain challenging. We thus aimed to develop a web-based validation system to overcome these problems and assess its usability. Our validation system developed can help to reduce the repetition of data entry and notify potentially erroneous data entered. This system is assessed to be feasible and usable by the users who are village health volunteers.

**Keywords** - *nutritional surveillance, under-five children, web-based system, data validation*

## **I. INTRODUCTION**

The nutritional surveillance system is globally implemented for monitoring the health of children under five, including Thailand [1–3]. Exhaustive weight and height measurements are the widely adopted design that helps detect children with malnutrition in advance and assists the development of response policy [1,2]. However, due to its massive workload nature, problems of inefficiency and poor data quality exist, often preventing the full potential use of the surveillance data [4,5].

Developing the automated data validating system can help to overcome these problems [6–8]. A study showed that applying data validation during entering anthropometric data could improve the accuracy of malnutrition estimation [9]. Besides, the goals of the new system will not be achieved if the users are not

willing to use it. The usability should be considered when the electronic system is implemented or changed [10,11].

In Thailand, the height and weight of all children are measured at community levels by village health volunteers (VHVs) or health officers (HOs) of Health Promoting Hospital (HPH) at each subdistrict. The data are then entered into the system at HPH [3,12]. The study from 2016 reported that the national prevalence of stunting, wasting, and overweight in children under five were 10.5%, 5.4%, and 8.2%, respectively [13]. However, no study over the effect of erroneous data is found, even though the malnutrition problem remains problematic.

Haad Samran district of Trang province, located in the South of Thailand, has existing nutritional surveillance systems without a validating process. The initial investigation by the collaboration between Trang Provincial Health Office and the Epidemiology Unit, Prince of Songkla University, found the distinctly high prevalence of malnutrition with stunting, wasting, and overweight at 20.9%, 12.0%, and 12.6%, respectively. Moreover, coverage of the nutritional surveillance system only ranged from 69.7% to 90.6 %, while erroneous records vary from 3.0% to 7.1%. Hence, this study aimed to develop the new web-based data validating system and assess the usability of this new system by field-testing at Haad Samran district, Trang province, Thailand. This validating system will help to improve the efficiency and the accuracy of the nutritional

surveillance for under-five children in the Haad Samran district and other districts in Thailand in the future. Moreover, other countries with the nutritional surveillance system using similar contexts can modify this concept and design into their countries.

## **II. METHODOLOGY**

### **1. System design and development**

#### ***1.1 Development tool***

A web-based application (web app) was designed for this data entry platform due to the flexibility of operating systems and ease to access. The system can be accessed on all desktop and smartphone browsers that support the hypertext markup language version 5 (HTML5), including Microsoft Edge, Safari, Chrome, and Firefox. Information in the online database can be added, deleted, or updated using jQuery and Hypertext Preprocessor (PHP).

#### ***1.2 Workflow design of the under-five nutritional surveillance***

All under-five children are quarterly monitored for their weight and height run by the responsible HOs at HPH. For the conventional system, the surveillance procedures start when the HOs prepare the paper-based data collecting forms containing the name list and address of the children who should be measured during the quarter before distributing them to the VHVs. Children's height and weight measures are then collected either by the VHVs at home or HOs at the HPH. Data gathered by the VHVs are recorded on paper and require the HO to reenter to the hospital information system (HIS). All surveillance data are first stored in the HPH database before uploading onto the Provincial Health Offices' server at the end of each quarter. The completeness and validity of the surveillance data can only be reviewed manually by the HOs after all data collection processes are done.

For a new validation system, the paper-based name lists are replaced by a web-based system. Figure 1 shows the workflows of the new

system comparing with the conventional system. The new system is designed to facilitate information exchange between HOs and VHVs as well as validate and provide feedback on the data quality entered by the user. The system functionalities specified for two levels of the authorized user are made: level 1 for VHV and level 2 for HO.

Level 1 users, VHV, can use the web application from their mobile phone to record weight, height, and the date of measurement of the children under their jurisdiction. The entered data are automatically validated on a case-by-case basis, using the WHO biological implausible cutoffs to determine the correctness of the data. If the potential error is detected, the system alerts the user and provides the instruction for mitigation [8]. If no error is found, the child's nutritional status is assessed and summarized by comparing weight and height data with WHO child growth standard for a given age and sex [14].

Level 2 user, HO, is responsible for monitoring the quarterly weight and height data gathered by VHV and facilitating the data synchronization between a web-based platform and the HIS. Upon their approval, the children's name list can be uploaded from HIS to the web-based application, while weight and height data on the platform can be downloaded and integrated into the conventional system.

#### ***1.3 Data security techniques***

To ensure security, the username and password are required to authenticate the user and automatically log out users after 10 minutes of inactivity. LINE Login v2.1 is also integrated into the verification system. All activities performed by users are recorded in the system log file. A multiple-level firewall is applied for server protection. The HOs are responsible for authenticating and managing users in their respective systems. The data of users and children recorded in the system are encrypted to protect the personal identity and keep the confidentiality basis.

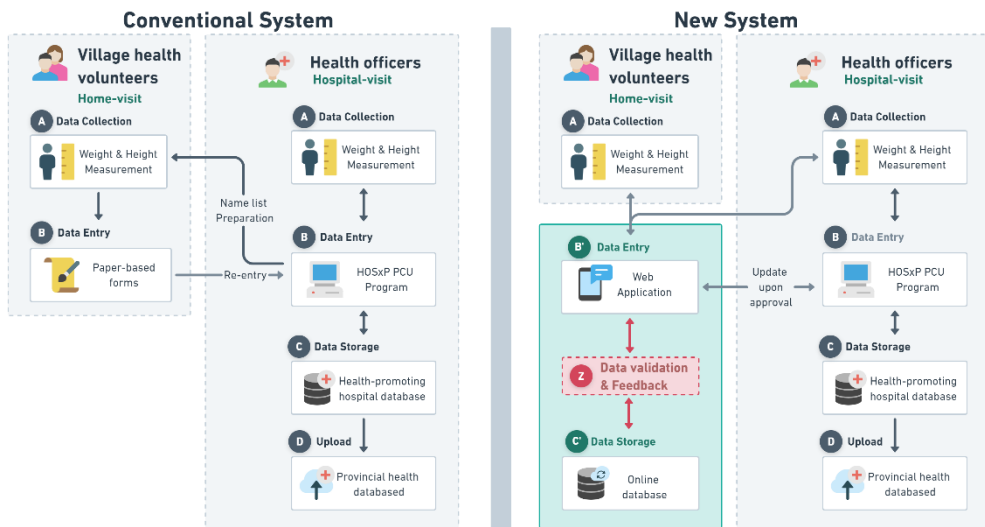


Figure 1 Workflows of the conventional nutritional surveillance system and the new data validating system

## 2. Testing system

Haad Samran district is subdivided into three subdistricts and 22 villages. Its nutritional surveillance system has been operated by over 200 VHV and 25 HO from 4 HPH in the district. In each quarter, the surveillance system measures approximately 880 children under five.

All VHV and HO were invited to attend a one-day meeting and training workshop in their respective HPH in February 2021. The data validating system was installed in each hospital before the appointed date. The workshop was intended to orientate them about the study, asked for informed consent for participation, and provide training on how to use the system.

During the workshop, the system's operations were explained, and both HO and VHV were given opportunities to practice data entry with simulated cases with and without error through the mobile phone. Moreover, the HO were trained to synchronize and monitor the data on the platform. At the end of the workshop, the evaluation of the web-based system was performed using the self-answered usability questionnaires developed based on the Health

IT usability evaluation model (Health-ITUEM) [15]. It consisted of 19 items for nine dimensions of measurement: ease of use, performance speed, information need, learnability, memorability, error prevention, flexibility, perceived impact, and intention to use.

Participants were asked to compare the conventional system with the new web-based system over each item using the 5-rating scale (1 – Prefer the conventional system, 2 – Slightly prefer the conventional system, 3 – Neutral, 4 – Slightly prefer the web-based system, and 5 – Prefer the web-based system). The content validity was checked, and the reliability, measured by Cronbach's Alpha, was above 0.83 in all items. The demographic data, including age, sex, highest education level, and working experiences, were also asked. Information in usability questionnaires was double entered into the primary investigator computer using Epidata 3.1 and analyzed in R software. The usability was grouped as preferring conventional system, neutral, or preferring new system. Participant's characteristics and their response to the usability of the system were analyzed descriptively as a percentage.



### III. RESULTS

#### 1. Availability of web-based application system

The web-based application was built and integrated with the HOSxP PCU program; the conventional HIS used to enter data for the nutritional surveillance in the four HPHs of Haad Samran. All HOs and VHV, who registered to the system, were first verified by the responsible HO before accessing the new system through the provided URL.

#### 2. Web-based application for the level 1 user

Figure 2 shows children's name lists and the data entering form for each child. After the level 1 user accessed the system, names of children from their village who had yet to be measured or those with prior erroneous measurement were listed (Figure 2A). The users further accessed the data entry form by clicking the child's name. Three blank fields, including date of measurement, weight, and height, should be completed, as shown in Figure 2B. If the potential erroneous weight or height entered was detected, the notification alert and instruction were shown in Figure 3.

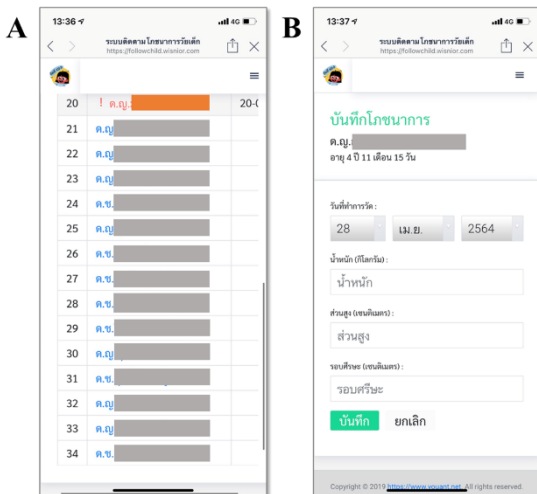


Figure 2 The web-based application for the level 1 user, VHV. A) Children's name list, B) Data entering form



Figure 3 The web-based application for the level 1 user, VHV on alert notification upon potential erroneous data entered

#### 3. Web-based application for the level 2 user

In addition to the function available for those in level 1, the level 2 user could access and review children's weight and height data from all villages under their HPH responsibility (Figure 4). They could also send the notification over the work progress via the LINE application to the level 1 user from the same HPH, as shown in Figure 5. Lastly, they could check and initiate the data syncing process between the web-based application conventional system from the HPH's computer.

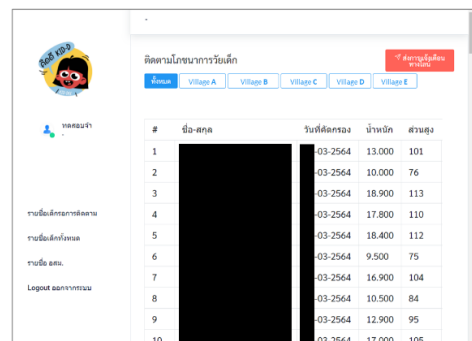


Figure 4 The web-based application for the level 2 user, HO on children's name list

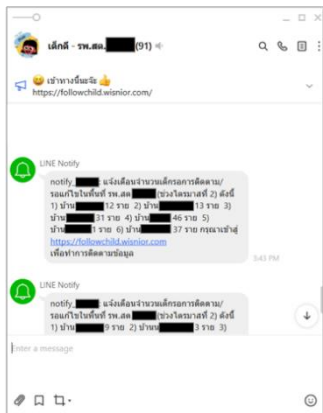


Figure 5 The web-based application for the level 2 user, HO on notifications for progress tracking in LINE application

#### 4. Usability evaluation

There were 218 VHV's participated in the field-testing study and their characteristics are shown in Table 1. Most of them are female, with less than half attaining a high school education or above. Participants' age was primarily between 30-60 years old, with varying working experiences.

Table 1 Participant's Characteristics

| Characteristic (N = 218)       | N (%)      |
|--------------------------------|------------|
| <b>Female</b>                  | 203 (93.1) |
| <b>Highest education level</b> |            |
| - Secondary school or lower    | 116 (53.2) |
| - High school                  | 76 (34.9)  |
| - Above high school            | 19 (8.7)   |
| - Missing                      | 7 (3.2)    |
| <b>Age group (years)</b>       |            |
| - Under 30                     | 7 (3.2)    |
| - 30 – 44                      | 80 (36.7)  |
| - 45 -59                       | 110 (50.5) |
| - 60 and above                 | 17 (7.8)   |
| - Missing                      | 4 (1.8)    |
| <b>Work experience (years)</b> |            |
| - Under 10                     | 64 (29.3)  |
| - 10 - 19                      | 77 (35.3)  |
| - 20 and above                 | 51 (23.4)  |
| - Missing                      | 26 (11.9)  |

The results of usability assessed by the users are presented in Table 2. The majority of users, approximately 80%, replied with the preference for the new system in all aspects of evaluation. The highest preference for the new system was found in the ease of use in interpreting weight and height data (86.1%), whereas the highest preference for the conventional system was found in the data entry (16.7%). Neutral responses were rated range from 2.4% to 18.4%. The rate of intention to use the new system was 82.1%

Figure 6 shows distributions of system preference on nine dimensions of usability across different age groups. In most dimensions, the younger the participants, the higher preference for the new system showed. In contrast, the elderly participants preferred the conventional system. However, only 66.7% and 50.0% of users under 30 preferred the new system in the dimensions of information needed and perceived impact. Among users aged above 60, 57.1% rated intention to use the new system.

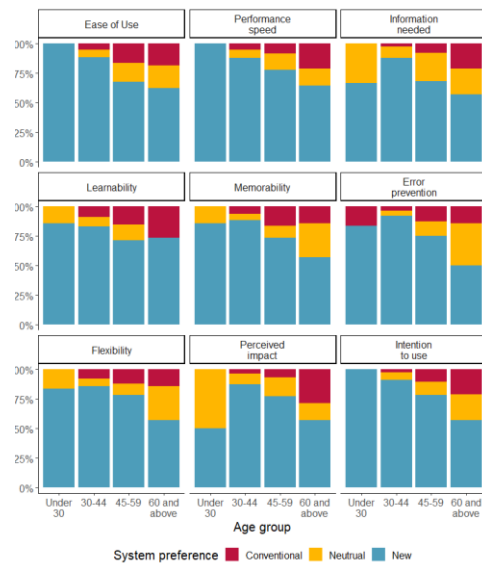


Figure 6 Distribution of usability scores across different age groups

Table 2 Usability scores

| Item  | Assessment scale, N (%)    |           |                   |
|---|----------------------------|-----------|-------------------|
|   | Prefer conventional system | Neutral   | Prefer new system |
| <b>Ease of use in:</b>  |                            |           |                   |
| Distributing children name list                               | 32 (15.8)                  | 17 (8.4)  | 154 (75.9)        |
| Data entry  | 34 (16.7)                  | 11 (5.4)  | 158 (77.8)        |
| Interpreting weight and height data                           | 24 (11.5)                  | 5 (2.4)   | 179 (86.1)        |
| Validating data   | 24 (11.7)                  | 10 (4.9)  | 172 (83.5)        |
| Determining whether all children in the village were measured | 24 (11.6)                  | 15 (7.2)  | 168 (81.2)        |
| <b>Overall</b>  | 24 (11.6)                  | 26 (12.6) | 157 (75.8)        |
| <b>Performance speed in:</b>                                  |                            |           |                   |
| Distributing children name list                               | 23 (11.2)                  | 24 (11.7) | 159 (77.2)        |
| Data entry  | 22 (10.6)                  | 15 (7.2)  | 170 (82.1)        |
| Interpreting weight and height data                           | 19 (9.2)                   | 10 (4.9)  | 177 (85.9)        |
| Validating data   | 19 (9.2)                   | 11 (5.3)  | 176 (85.4)        |
| Determining whether all children in the village were measured | 18 (8.7)                   | 20 (9.6)  | 170 (81.7)        |
| <b>Overall</b>  | 16 (7.8)                   | 22 (10.7) | 167 (81.5)        |
| <b>Information needed</b>                                     | 13 (6.6)                   | 36 (18.4) | 147 (75.0)        |
| <b>Learnability</b>   | 28 (13.6)                  | 21 (10.2) | 157 (76.2)        |
| <b>Memorability</b>   | 24 (11.5)                  | 20 (9.6)  | 164 (78.8)        |
| <b>Error prevention</b>                                       | 19 (9.3)                   | 22 (10.7) | 164 (80.0)        |
| <b>Flexibility</b>  | 22 (10.6)                  | 20 (9.7)  | 165 (79.7)        |
| <b>Perceived impact</b>                                       | 14 (6.8)                   | 29 (14.1) | 163 (79.1)        |
| <b>Intention to use</b>                                       | 16 (7.7)                   | 21 (10.1) | 170 (82.1)        |

#### IV. DISCUSSION

A web-based validating system is successfully developed and integrated into the nutritional surveillance system, which is acceptable to use among the users in terms of intention to use, performance speed, error prevention, flexibility, perceived impact, memorability, learnability, ease of use, and information needed, respectively.

The accomplishment in developing a web-based validation system in our study was possible due to various supports. Firstly, the health information reforming policy was initiated in Thailand in 2014, leading to the improvement

of Thailand's health information system [16]. Secondly, Trang province had standardized its computer system infrastructure and integrated its nutritional surveillance system with the National Health Data Center (HDC) since 2017 [17]. Thirdly, we have the IT experts as the research team who are familiar with the operational functions of the conventional system. Lastly, the collaboration and support from the team at Trang Provincial Health Office and Haad Samran District Health Office, who are responsible for the nutritional surveillance system, are essential.

Few studies from the literature review emphasized the development of mobile-based

or web-based collecting systems for growth monitoring in the community [18]. A study was conducted in the Republic of Mauritius, which executed the mobile application designed for the health personnel to collect weight, sex, and age of the child visiting the primary care center. However, the proposed system operated independently from the routine work of the health personnel, and the data analysis included validating the data quality or determining the nutritional status, could only be done post hoc [18]. Another study in Indonesia used a mobile application to collect data, determine the child's nutritional status and growth velocity, and provide visual feedback for the data collectors while integrating with routine growth monitoring activities, similar to our study [19]. Nevertheless, the workflows of the nutritional surveillance between Thailand and Indonesia are fundamentally different. Indonesian's system is monthly conduct by VHV with the support of the HO at a central place in the community, while our VHVs independently measure weight and height at each child's house.

Most of the VHVs participated in the field-testing periods preferred the new system over the conventional system in all nine dimensions. The VHVs rated the highest preference in interpreting weight and height data. This finding could be explained by automated calculating the child's nutritional status making their work faster and easier. It is also supported by another study in Thailand which showed that about half of the volunteers could not plot and interpret the child growth chart [20]. Older participants were less likely to prefer the new validating systems, which were similar to the finding of previous studies reporting that increasing years of age was negatively associated with the adoption of new technology [21,22].

This web-based validating system is the first platform specifically designed to improve the conventional nutritional surveillance of Thailand on the quality of data entered. In addition, our system allowed VHVs in our

system to be more participated and aware of the quality of height and weight measurement in their surveillance responsibility compared to their previous conventional system works.

There were some limitations in the study. First, the new validating system is still in a field-testing phase which might not reflect the actual situation of the nutritional surveillance system. Further follow-up time is needed to ensure the operational reliability of the new system. Secondly, the VHV's responses on the system's usability may produce the acquiescence bias in which the participants tend to choose the answer that pleases the investigator. Finally, our system was explicitly built to integrate with the HOSxP PCU program, which limits the generalizability of system implementation

## V. CONCLUSION

A web-based validation system is possible and feasible to use by the village health volunteers, and it is well integrated with the conventional nutritional surveillance system. High rates on usability were found in terms of intention to use, performance speed, error prevention, flexibility, perceived impact, memorability, learnability, ease of use, and information needed.

## ACKNOWLEDGMENT

The study was part of the Master degree fulfillment of the first author at Prince of Songkla University supported under the scholarship of Discipline of Excellence in Epidemiology and Faculty of Medicine, Prince of Songkla University. We would like to thank Trang Provincial Health Office and Had Samran District Health Office to support our study as well as all village health volunteers in the district who participated.

## REFERENCES

1. Friedman G. Review of National Nutrition Surveillance Systems. Washington, DC: FHI 360/FANTA.; 2014.
2. Tuffrey V. Nutrition surveillance systems: their use and value [Internet]. London: Save the Children UK; 2016 [cited 2020 Mar 7].
3. Konnark K, Bureau of Nutrition, DoH, MoPH. Thailand Nutrition Surveillance System (NSS Thailand) [Internet]. Manila, Philippines: 2008 [cited 2020 Apr 8].
4. Ashworth A, Shrimpton R, Jamil K. Growth monitoring and promotion: review of evidence of impact. *Matern Child Nutr* 2008;4 Suppl 1:86–117.
5. Barnett I, Gallegos JV. Using Mobile Phones for Nutrition Surveillance: A Review of Evidence [Internet]. *IDS*; 2013 [cited 2021 Apr 30].
6. Shi J, Korsiak J, Roth DE. New approach for the identification of implausible values and outliers in longitudinal childhood anthropometric data. *Ann Epidemiol* 2018;28:204–211.e3.
7. Freedman DS, Lawman HG, Skinner AC, McGuire LC, Allison DB, Ogden CL. Validity of the WHO cutoffs for biologically implausible values of weight, height, and BMI in children and adolescents in NHANES from 1999 through 2012. *Am. J. Clin. Nutr.* 2015;102:1000–6.
8. World Health Organization, the United Nations Children’s Fund (UNICEF), 2019. Recommendations for data collection, analysis and reporting on anthropometric indicators in children under 5 years old [Internet]. Geneva: 2019 [cited 2019 Dec 5].
9. Crowe S, Seal A, Grijalva-Eternod C, Kerac M. Effect of nutrition survey ‘cleaning criteria’ on estimates of malnutrition prevalence and disease burden: secondary data analysis. *PeerJ* [Internet] 2014 [cited 2020 Jan 23].
10. Sousa VEC, Lopez KD. Towards Usable E-Health. *Appl Clin Inform* 2017;8:470–90.
11. Carayon P, Hoonakker P. Human Factors and Usability for Health Information Technology: Old and New Challenges. *Yearb Med Inform* 2019;28:71–7.
12. Chachoengsao Provincial Health Office, Ministry of Public Health, Minis. Standard Operating Procedure, Health Promotion Subdivision [Internet]. 2018 [cited 2020 Apr 8].
13. National Statistical Office, United Nations Children’s Fund. Thailand Multiple Indicator Cluster Survey 2015–2016, Final Report [Internet]. Bangkok: 2016 [cited 2020 Jun 18].
14. World Health Organization, editor. WHO child growth standards: length/height-for-age, weight-for-age, weight-for-length, weight-for-height and body mass index-for-age; methods and development. Geneva: WHO Press; 2006.
15. Yen P-Y. Health Information Technology Usability Evaluation: Methods, Models, and Measures. *BiblioBazaar*; 2011.
16. Office of Policy and Strategy, Office of the Permanent Secretary, Ministry of Public Health. Operation Manual: Data storage and transfer according to the health information standard structure. 2.1. Bangkok: SP Copy Print Limited Partnership; 2016.
17. Center of Information and Communication Technology, Office of the Permanent Secretary, Ministry of

Public Health. Training materials: Health Data Center, Version 2.0 [Internet]. 2014 [cited 2020 Apr 3].

18. Irache A, Murachpersad R, Caleyachetty R. The development and application of a mobile-based data collection system for a growth monitoring programme in selected primary care centres in the Republic of Mauritius. *BMJ Glob Health* [Internet] 2019 [cited 2021 Apr 30].
19. Barnett I, Yosellina, Sulisty S, Befani B, KariSari K, Sharmin S, et al. Mixed-Method Impact Evaluation of a Mobile Phone Application for Nutrition Monitoring in Indonesia [Internet]. *IDS*; 2016 [cited 2021 Apr 30].
20. Chotivichien S, Tharmaphornpilas P, Sinawat S. Evaluation of Growth Monitoring and Promotion (GMP) Surveillance System Thailand 2002. *Asia Pac J Public Health* 2006;18:42–5.
21. Czaja SJ, Charness N, Fisk AD, Hertzog C, Nair SN, Rogers WA, et al. Factors Predicting the Use of Technology: Findings From the Center for Research and Education on Aging and Technology Enhancement (CREATE). *Psychol Aging* 2006;21:333–52.
22. Phichitchaisopa N, Naenna T. Factors affecting the adoption of healthcare information technology. *EXCLI Journal* 2013;12:413.

# Authors Index

- กิ่งพัชฌา บุตรศาสตร์ 126  
กมลภา เหล่าบัวบาน 76  
เกียรติศักดิ์ โมอ่อน 97  
กริชเพชร สนธิระ 126  
กำไร วรนุช 141, 185, 201  
เขตแดน นูนคาน 201  
คัทลียา พุ่มเจริญ 86  
จิรภัทร นุดาดี 80  
จิตติวัฒน์ สุวรรณหัต 66  
จันทิมา ปานทอง 76  
จิรสิน ขึ้นเทศ 92  
จรรยา นพรัตน์ 185, 201  
จุมพล บำรุงวงศ์ 49  
จารุกิตติ์ จันทรงาม 201  
เฉลิมพล สงกา 32  
ชนะภัย มุกดาकरण 92  
ชนิศวรา พงษ์สุพรรณ 76  
ชนิดา ปโตชิการ 106  
ชนนสิษฐ์ ทรัพย์พิง 201  
ชนิษฐา ศรีวิชายงกูร 159  
ชาติศักดิ์ ประกอบบุญกุล 66  
ชาญชัย โภคะนุทรานนท์ 106  
ชยพัทธ์ แก้วเพ็ง 37, 54  
ชัยณรงค์ คล้ายมณี 92, 126  
เชาวนนต์ อุดมางคบรร 97  
ชลนิศา หมอสินธุ์ 146  
ลลิตพงษ์ คำเคนทรงพานุช 131  
ลลิตาภรณ์ เทวจินดาพันธุ์ 121, 141  
ณัฐกนิษฐ์ ช่างรู้จัก 174, 180  
ณัฐดนัย เมืองพระฝาง 201  
ณัฐนนท์ สุวรรณแสง 22  
ณัฐกร คณานุสรณ์ 22  
ณัฐยา ชาวอาราม 115, 153  
ณัฐสินี เบ็ญชัยยี่สีลาศ 66  
ณัฐอนันัญญา นุ่มจัย 146  
ณัฐพล เตียรวัฒนานนท์ 22  
ณนนท์ แก้วประไพ 37  
ดาริกา ชติจิรนาท 115, 153  
ธิดารัตน์ หวังคำ 54, 159, 168  
ธิดิวัฒน์ ประชาธำรงพิวัฒน์ 1  
ธนชัย วีระวัฒนานันท์ 212  
ธนภรณ์ ขอมอบกลาง 76  
ธีระพล จทรพา 32  
ธีรวุฒิ นาคนครสิงห์ 54  
ธีรารัตน์ ทองงามดี 185  
ธีรธร ฤไกรวงศ์ 136  
ธีระพล จทรพา 180  
ธีรภัทร มีธรรม 106  
นงลักษณ์ ทองไทย 97  
นัฐพล ขจรวัดนากุล 136  
นิพนธ์ ธีรอำพน 19  
นพดล จุลตามระ 131  
นฤตล อิมอดม 136  
นฤเบศร เกตถิน 141, 168  
นภััสสร คำแหง 80  
นิธิพร รัตนวัน 76  
ปชาณัฐ นันไทยทวีกุล 193, 212  
ปทิตตา ลิมสายหัว 141  
ปภาสรณ์ หล้าเนียม 37, 60  
ปิยธิดา จินดาวัฒน์ 76  
ปฎิภาณ เหลืองอ่อน 106  
ปฎิภาณ เสือเปรม 201  
ปัทมพร พลเดช 131  
ปิยฉัตร แยมสุริโยทัย 97, 131  
ปิยะธิดา กิจธัญญะสัมพันธ์ 121, 141  
ปรัชญา อารีวงศ์ 185  
ปิยะมาศ เสือเพ็ง 37, 76, 86, 115,  
131, 141, 153,  
180

# Authors Index

- ประสงค์ ชุสรานนท์ 86  
เบญจพร พลายบัว 37  
บรรจง ถิ่นทอง 49, 80, 159, 168  
พิมพ์ชนก ภูมิจิตต์ 49  
พยุง เดชข่อย 54, 60, 97, 146, 159  
พรภวิษย์ สิ้นสุขอุดมชัย 42, 180  
พรสวรรค์ อัยวรรณ 76  
ปริสสร สุขยิ่ง 141  
พงศ์พันธุ์ คงปราโมทย์ 201  
พงศธร หล่อฐานนท์ 201  
ภูณเลิศษ์ สัมมามิตร 201  
ภาณุวัฒน์ ดินดำ 60, 141  
ภูบดี รักข้าเกิด 180  
ภักขิรา วงษ์เนิน 49  
ภุชณีศา นวลตา 193  
เมธาพันธ์ กิจพรธีรานันท์ 66  
เมธาวี รอดเสม 37  
ยลดา โอสถสงเคราะห์ 76  
รวินท์ ปิ่นน้อย 97, 131  
รสจรินทร์ รัตนสุนทร 32, 42, 80, 97,  
121, 174  
รสจรินทร์ บุญทวัน 146  
ลักษณะทิพย์ ปิ่นจันทิก 174, 180  
วัชรชัย วิริยะสทิววงศ์ 22, 66, 106, 136  
วารภรณ์ ศรีจันทา 37  
วีระยา ตรวจนอก 32, 180  
วรินทร์ หุ่นสุนทร 141, 168  
วิศิษฐ์ เปี่ยมเมตตา 141, 174  
วัลลภ นโรดม 42  
ศุภกฤต วรรณะกุลกิจ 201  
ศุภกฤษ์ บวรภิญโญ 21  
ศุภศักดิ์ โชคกฤตติยา 131  
ศตวรรษ ภิรมย์สุข 136  
ศรนรินทร์ ทุนไธสง 60  
ศลิษา สืบคล้าย 76  
ศวรรยา วิภูศิริ 22  
ศิวกร โชติพิณีจ 126  
ศิริภรณ์ ม่วงทองกลาง 131, 146  
ศิริพร ภูมิถาวร 146  
ศลิษา สืบคล้าย 115, 153, 180  
เสฏฐวุฒิ มาलयสุวรรณ 92  
สุดารัตน์ สุนทโรภาส 121  
สมภพ พิณีจ 185, 201  
สมศักดิ์ ล่าใจ 97  
สมิตานันท์ แสนสุภา 37  
สุทธิชัย คำคลอง 97  
สุนทร อ่ำขิด 60, 80, 168  
สุภัชชา บัวเผื่อน 42, 180  
สุนาทะ พงศเกียรติ 37  
สุรพันธ์ ยิ้มมัน 32, 49, 80, 121, 174  
สรณธรรมใจสมคม 54  
สรวุฒิ พงศ์โรจน์เผ่า 22  
สรเชษฐ จันทรปาน 185  
สรณธรรมใจสมคม 131  
โสธรา เตียวงษ์สุวรรณ 159  
อนชิต นีรภัย 22, 66, 136  
อับดุลบาซิช ปาแนมาแล 76  
อริยาอรร ธีราเวชชปัญญา 37  
อรอุมา เปรมสุข 76  
อภิวัฒน์ คงนิยม 201  
อิทธิ สุวรรณโอบษฐ 106  
อนภาพ มากมี 146  
อุษณีย์ ฉลวงโชคศิลป์ 131, 146  
Panu Pakdeesan 219  
Songyos Rajborirug 219  
Tippawan Liabsuetrakul 219  
Tagoon Prappre 219





<https://www.thaihta.org/htcon2021>